



This is a digital copy of a book that was preserved for generations on library shelves before it was carefully scanned by Google as part of a project to make the world's books discoverable online.

It has survived long enough for the copyright to expire and the book to enter the public domain. A public domain book is one that was never subject to copyright or whose legal copyright term has expired. Whether a book is in the public domain may vary country to country. Public domain books are our gateways to the past, representing a wealth of history, culture and knowledge that's often difficult to discover.

Marks, notations and other marginalia present in the original volume will appear in this file - a reminder of this book's long journey from the publisher to a library and finally to you.

Usage guidelines

Google is proud to partner with libraries to digitize public domain materials and make them widely accessible. Public domain books belong to the public and we are merely their custodians. Nevertheless, this work is expensive, so in order to keep providing this resource, we have taken steps to prevent abuse by commercial parties, including placing technical restrictions on automated querying.

We also ask that you:

- + *Make non-commercial use of the files* We designed Google Book Search for use by individuals, and we request that you use these files for personal, non-commercial purposes.
- + *Refrain from automated querying* Do not send automated queries of any sort to Google's system: If you are conducting research on machine translation, optical character recognition or other areas where access to a large amount of text is helpful, please contact us. We encourage the use of public domain materials for these purposes and may be able to help.
- + *Maintain attribution* The Google "watermark" you see on each file is essential for informing people about this project and helping them find additional materials through Google Book Search. Please do not remove it.
- + *Keep it legal* Whatever your use, remember that you are responsible for ensuring that what you are doing is legal. Do not assume that just because we believe a book is in the public domain for users in the United States, that the work is also in the public domain for users in other countries. Whether a book is still in copyright varies from country to country, and we can't offer guidance on whether any specific use of any specific book is allowed. Please do not assume that a book's appearance in Google Book Search means it can be used in any manner anywhere in the world. Copyright infringement liability can be quite severe.

About Google Book Search

Google's mission is to organize the world's information and to make it universally accessible and useful. Google Book Search helps readers discover the world's books while helping authors and publishers reach new audiences. You can search through the full text of this book on the web at <http://books.google.com/>



Über dieses Buch

Dies ist ein digitales Exemplar eines Buches, das seit Generationen in den Regalen der Bibliotheken aufbewahrt wurde, bevor es von Google im Rahmen eines Projekts, mit dem die Bücher dieser Welt online verfügbar gemacht werden sollen, sorgfältig gescannt wurde.

Das Buch hat das Urheberrecht überdauert und kann nun öffentlich zugänglich gemacht werden. Ein öffentlich zugängliches Buch ist ein Buch, das niemals Urheberrechten unterlag oder bei dem die Schutzfrist des Urheberrechts abgelaufen ist. Ob ein Buch öffentlich zugänglich ist, kann von Land zu Land unterschiedlich sein. Öffentlich zugängliche Bücher sind unser Tor zur Vergangenheit und stellen ein geschichtliches, kulturelles und wissenschaftliches Vermögen dar, das häufig nur schwierig zu entdecken ist.

Gebrauchsspuren, Anmerkungen und andere Randbemerkungen, die im Originalband enthalten sind, finden sich auch in dieser Datei – eine Erinnerung an die lange Reise, die das Buch vom Verleger zu einer Bibliothek und weiter zu Ihnen hinter sich gebracht hat.

Nutzungsrichtlinien

Google ist stolz, mit Bibliotheken in partnerschaftlicher Zusammenarbeit öffentlich zugängliches Material zu digitalisieren und einer breiten Masse zugänglich zu machen. Öffentlich zugängliche Bücher gehören der Öffentlichkeit, und wir sind nur ihre Hüter. Nichtsdestotrotz ist diese Arbeit kostspielig. Um diese Ressource weiterhin zur Verfügung stellen zu können, haben wir Schritte unternommen, um den Missbrauch durch kommerzielle Parteien zu verhindern. Dazu gehören technische Einschränkungen für automatisierte Abfragen.

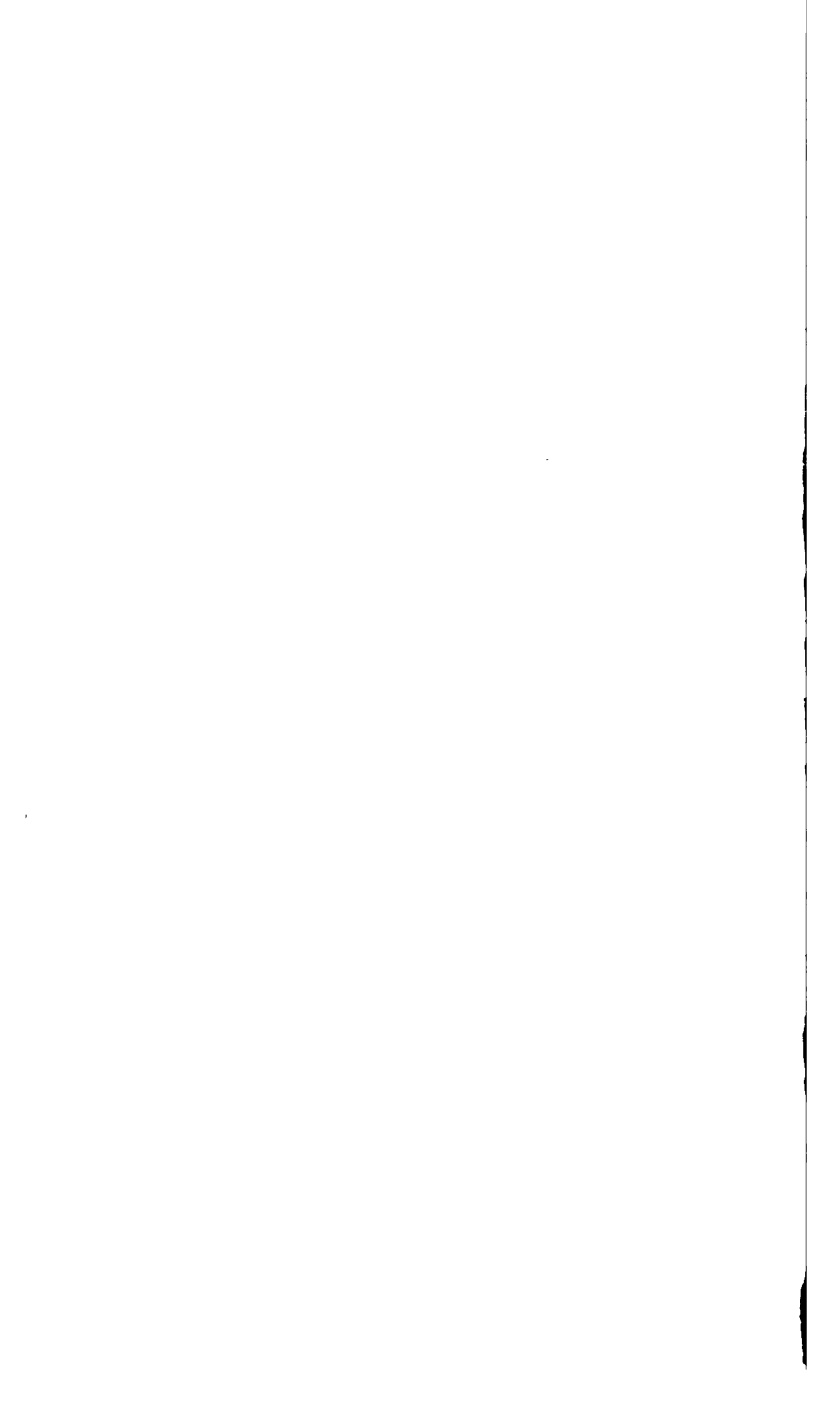
Wir bitten Sie um Einhaltung folgender Richtlinien:

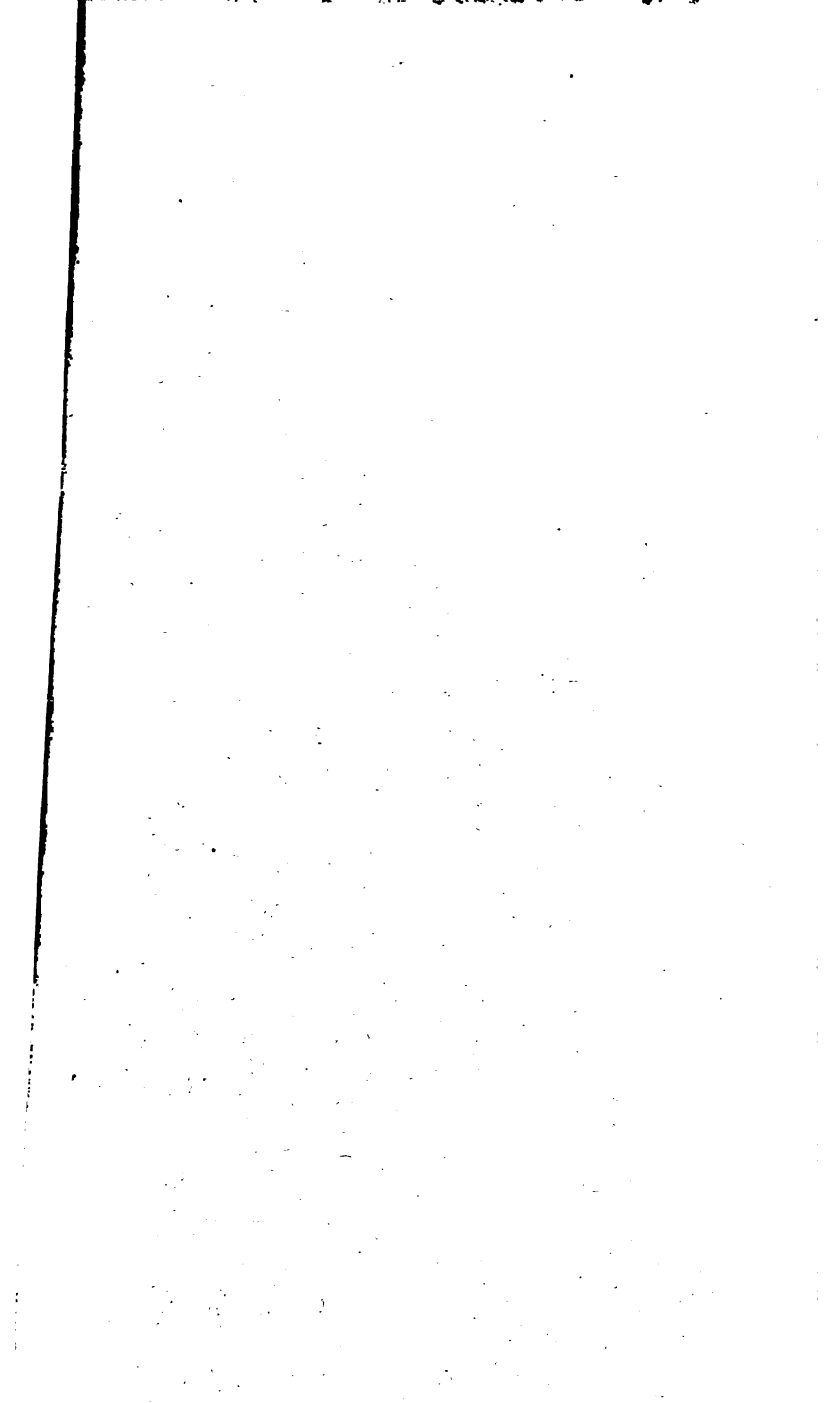
- + *Nutzung der Dateien zu nichtkommerziellen Zwecken* Wir haben Google Buchsuche für Endanwender konzipiert und möchten, dass Sie diese Dateien nur für persönliche, nichtkommerzielle Zwecke verwenden.
- + *Keine automatisierten Abfragen* Senden Sie keine automatisierten Abfragen irgendwelcher Art an das Google-System. Wenn Sie Recherchen über maschinelle Übersetzung, optische Zeichenerkennung oder andere Bereiche durchführen, in denen der Zugang zu Text in großen Mengen nützlich ist, wenden Sie sich bitte an uns. Wir fördern die Nutzung des öffentlich zugänglichen Materials für diese Zwecke und können Ihnen unter Umständen helfen.
- + *Beibehaltung von Google-Markenelementen* Das "Wasserzeichen" von Google, das Sie in jeder Datei finden, ist wichtig zur Information über dieses Projekt und hilft den Anwendern weiteres Material über Google Buchsuche zu finden. Bitte entfernen Sie das Wasserzeichen nicht.
- + *Bewegen Sie sich innerhalb der Legalität* Unabhängig von Ihrem Verwendungszweck müssen Sie sich Ihrer Verantwortung bewusst sein, sicherzustellen, dass Ihre Nutzung legal ist. Gehen Sie nicht davon aus, dass ein Buch, das nach unserem Dafürhalten für Nutzer in den USA öffentlich zugänglich ist, auch für Nutzer in anderen Ländern öffentlich zugänglich ist. Ob ein Buch noch dem Urheberrecht unterliegt, ist von Land zu Land verschieden. Wir können keine Beratung leisten, ob eine bestimmte Nutzung eines bestimmten Buches gesetzlich zulässig ist. Gehen Sie nicht davon aus, dass das Erscheinen eines Buchs in Google Buchsuche bedeutet, dass es in jeder Form und überall auf der Welt verwendet werden kann. Eine Urheberrechtsverletzung kann schwerwiegende Folgen haben.

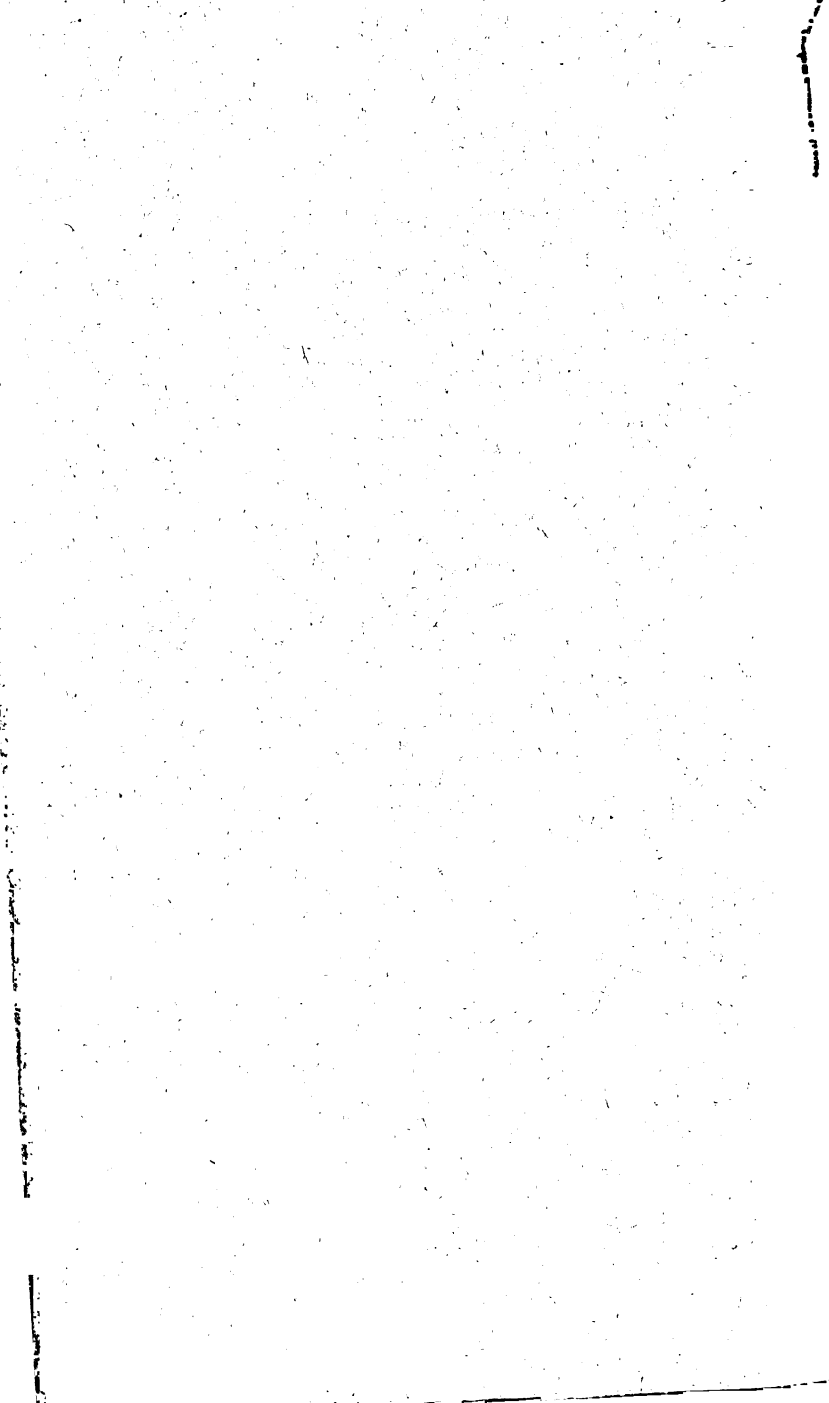
Über Google Buchsuche

Das Ziel von Google besteht darin, die weltweiten Informationen zu organisieren und allgemein nutzbar und zugänglich zu machen. Google Buchsuche hilft Lesern dabei, die Bücher dieser Welt zu entdecken, und unterstützt Autoren und Verleger dabei, neue Zielgruppen zu erreichen. Den gesamten Buchtext können Sie im Internet unter <http://books.google.com> durchsuchen.

General Library System
University of Wisconsin-Madison
728 State Street
Madison, WI 53706-1494
U.S.A.









LIBRARY
—OF THE—
No.
UNIVERSITY OF WISCONSIN.

Die
Dampfmaschinen.

Nachdruck sowie Abdruck von einzelnen Abschnitten oder Tabellen ist ohne Einwilligung des Verfassers nicht gestattet. Ebenfalls wird das Recht der Uebersetzung in fremde Sprachen vorbehalten.

Die
Dampfmaschinen
unter hauptsächlichster Berücksichtigung
completer Dampfanlagen, sowie
marktfähiger Maschinen
von 200—1000 mm Kolbenhub
mit den gebräuchlichsten Schiebersteuerungen.

EIN HANDBUCH
für
Entwurf, Construction, Gewichts- und Kostenbestimmungen, Ausführung und Untersuchung der Dampfmaschinen, sowie für damit zusammenhängende Kesselanlagen, Rohrleitungen, Pumpen etc.

Aus der Praxis für die Praxis

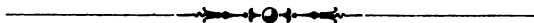
bearbeitet von

HERM. HAEDER

Civil-Ingenieur

Duisburg a/Rh.

Mit 1155 Figuren, 206 Tabellen und zahlreichen Beispielen.



Düsseldorf.

Druck und Commissions-Verlag von L. Schwann.

1890.

Ratschläge aus den Kreisen der Fachgenossen betreffs Mitteilung von Unrichtigkeiten und Abänderungsvorschlägen für Neuauflagen werden vom Verfasser stets dankbar entgegengenommen.



695 | 510

THD
•HII

Vorwort.

—•—

Bei dem heutigen Stande des Weltmarktes darf der Constructeur nicht zu viel Zeit mathematischen Untersuchungen opfern, er muss Resultate aus der Praxis sammeln, dieselben sich einprägen und notieren und zwar in Form von wirklichen Werten, nicht in sog. Formeln nach Bezugseinheiten, denn letztere sind nur in gewissen Grenzen brauchbar und lassen immer die Möglichkeit von Rechenfehlern zu. Vergleicht man die Resultate von Formeln des einen Schriftstellers mit denen des anderen, so finden sich oft die grössten Widersprüche. Das vorliegende Werk bringt Erfahrungsergebnisse aus der Praxis, und um seinen Wert wesentlich zu erhöhen, sind die Tabellen so eingerichtet, dass zwischen den einzelnen Rubriken noch Vergleichs- resp. Zwischenwerte eingetragen werden können. Text ist möglichst vermieden, dagegen ist auf Deutlichkeit der Tabellen und Zeichnungen (als die Sprache des Technikers) Rücksicht genommen. Die Abschnitte I—VIII behandeln speciell die Dampfmaschinen. Der weitere Inhalt soll als Leitfaden beim Projectieren, Veranschlagen, Ausführen und Untersuchen der Dampfanlagen dienen.

Denjenigen Firmen und Collegen, welche mich bei Bearbeitung des Werkes mit Rat und That unterstützten, sage ich hiermit besten Dank.

Möge sich denn dieses Buch und seine Methode viele Freunde erwerben.

Duisburg a/Rh., im Juni 1890.

Der Verfasser:

Inhalts-Verzeichnis.

Abschnitt I.

A. Hauptdimensionen.

	Seite
Wahl der Hauptdimensionen	1
Tabellen über Eincylinder-Transmissions-Dampfmaschinen	2—3
" " Compound-Dampfmaschinen mit Condensation	4—5
" " Kleinmotoren	6—7
" " Schnellgehende Eincylinder-Dampfmaschinen	8—9
" " Schnellgehende Compound-Dampfmaschinen	10—11

B. Bauarten.

Maschinen mit Gabelrahmen	12
" " Bajonettrahmen	12—13
" " ganz aufliegendem Rahmen	13

C. Benennungen.

Benennungen der einzelnen Dampfmaschinenteile	14—15
---	-------

Abschnitt II.

Constructions-Erläuterungen.

Fundamentrahmen	18—21
Kurbelwellenlager	22
Kreuzköpfe	23
Treibstangenköpfe	24—25
Treibstangen	26
Kurbeln und Kurbelscheiben	27
Gekröpfte Kurbelwelle	27
Dampfeylinder	28—29
Verbindung des Dampfeylinders mit dem Rahmen	30—31
Stopfbüchsen	31
Hintere Cylinderdeckel	32
Hintere Kolbenstangenführungen	32—33
Schieberkastendeckel	33
Dampfkolben	34
Kolbenringe	35
Einfache Schieber	36
Doppelschieber	37
Halbierte Schieber	38
Kanalschieber	39
Schieberstangenführungen	40
Gelenkstücke	40
Stellvorrichtungen für Meyer'sche Steuerung	41
Stellvorrichtung für Rider'sche Steuerung	41
Angriff des Regulators für Rider'sche Steuerung	42—44
Excenter und Excenterbügel	44
Schwungräder	45
Direct wirkende Regulatoren	46
Indirect wirkende Regulatoren	46—47
Condensatoren mit Luftpumpe	48—51
Schaltwerke (Anstellvorrichtung)	52

Abschnitt III.

Normalien der Dampfmaschinen

von 200—1000 mm Kolbenhub.

	Seite
Gabelrahmen und Kurbelwelle mit Tabelle	54—55
Bajonettrahmen mit Tabelle	56—57
Parabelconstruction für das Fenster	58
Anschluss der Rundführung an den Flantsch	58
Rahmenfüsse mit Tabelle	59
Seitliche Begrenzung der Rahmenfüsse	59
Kurbelwellenlager mit Tabelle	60—61
Verschiedene Lagerconstructions	62
Form der vorderen Rahmenfüsse	62
Bearbeitung der Lagerschalen	63
Vordere Rahmenfüsse mit Tabelle	63
Kreuzköpfe mit Tabelle	64—65
Kreuzkopfbolzen mit Tabelle	66
Verschiedenes: (Schmiergefäß der Rundführung, Nocken der Fundamentanker, Anschluss der Schutzstangen, Schmierfänger des Kurbellagers) mit Tabelle	67
Kurbeln und Kurbelzapfen mit Tabelle	68—69
Treibstange mit Tabelle	70—71
Treibstangenköpfe für Maschinen mit gekröpfter Kurbelwelle m. Tab.	72
Form des runden Schaftes der Treibstangen	72
Kurbelwellen mit Tabelle	73
Dampfzylinder von 150—350 Drchm. für einfache Steuerung m. Tab.	74—75
Dampfzylinder von 250—550 Drchm. für Doppelschieber-Steuerung mit Tabelle	76—77
Dampfzylinder mit Dampfmantel	78
Füße der Dampfzylinder mit Tabelle	79
Indikatornocken	79
Schieberkasten mit Deckel für Meyer'sche Steuerung mit Tabelle	80—81
Schieberkasten für einfache Steuerung mit Tabelle	82
Schieberkasten für Rider-Steuerung mit Tabelle	83
Schieberspiegel	83
Hintere Cylinderdeckel mit Tabelle	84—85
Vordere Cylinderdeckel mit Tabelle	86
Dampfkolben von 150—350 Drchm. ohne Deckelschrauben m. Tab.	87
Dampfkolben von 350—1000 Drchm. mit Deckelschrauben m. Tab.	88—89
Selbstspannende Kolbenringe von 100—1000 Drchm. mit Tabelle	90—91
Kolbenstange mit Tabelle	92—93
Einfache Schieber-Steuerung A_e	
Schieberdiagramm	96
Dampfdiagramm	96
Druckdiagramm	96
Tabelle zu den Diagrammen	97
Muschelschieber mit Tabelle	98—99
Expansionsschieber-Steuerung $o C$	
Schieberdiagramm	100
Dampfdiagramm	100
Druckdiagramm	100
Tabelle zu den Diagrammen	101
Schieber für fixe Expansion mit Tabelle	102—103
Schieber für Meyer'sche Steuerung mit Tabelle	104—105
Riderbüchsenchieber mit Tabelle	106—107
Expansionsschieberspiegel für Ridersteuerung mit Tabelle	108—109
Offener Riderschieber mit Tabelle	110—111
Expansionsschieber-Steuerung $m C$	
Schieberdiagramm	114
Dampfdiagramm	114
Druckdiagramm	114
Tabelle der Diagramme	115
Schieber für fixe Expansion mit Tabelle	116—117
Schieber für Meyer'sche Steuerung mit Tabelle	118—119
Riderbüchsenchieber mit Tabelle	120—121
Expansionsschieberspiegel für Ridersteuerung mit Tabelle	122—123
Riderbüchsenchieber anderer Construction	124

Normalien (Fortsetzung)	Seite
Excenter und Excenterbügel mit Tabelle	126—127
Gelenkstücke der Schieber- und Excenterstangen mit Tabelle	128—129
Schieberstangenführungen für Meyer'sche u. einfache Steuerung mit Tabelle	130—131
Stellvorrichtungen für Meyer'sche Steuerung mit Tabelle	132
Stellvorrichtungen für Meyer'sche Steuerung mit Tabelle	133
Schieber- und Excenterstangen für Steuerung A_e und o C m. Tab.	134—135
Schieberstangenführungen und Regulatorantrieb für Rider-Steuerung mit Tabelle	136—137
Schutzstangen für die Kurbeln mit Tabelle	138
Fundamentanker und Platten mit Tabelle	139
Schwungräder für Riemen- und Seil-Betrieb mit Tabelle	140—141
Maschinenfundamente mit Tabelle	142—143
Condensatoren mit Tabelle	144—145
Kessel-Speisepumpen mit Tabelle	146—147
Schaltwerke (Anstellvorrichtungen)	148

Abschnitt IV.

Gewichte, Hauptmaasse, Raumbedarf und Modellkosten.

A. Gewichte der einzelnen Dampfmaschinenteile.

Gewichtstabelle der Rahmen mit Lagerdeckel und Lagerschalen	150
" " Kreuzköpfe mit Bolzen	150
" " Treibstangen und Lagerschalen	151
" " Kurbeln und Kurbelzapfen	151
" " Dampfzylinder, Deckel, Stopfbüchsen etc.	152—153
" " Kolben mit Deckel, Ringen etc.	154
" " Kolbenstangen	154
" " Schwungradwellen, Keile	155
" " Schwungräder	155
" " Hint. Lager, Schalen, Schrauben u. Sohlplatten	155
" " Riderbüchsenchieber	156
" " Schieberstangen und Stellbacken	156
" " Excenter und Excenterbügel	157
" " Excenterstangen	157
" " Schieberstangenführungsböcke mit Regulator-säulen, Consolen, con. Rädern etc.	158
" " Fundamentanker und Platten	159
" " Schutzstangen für die Kurbeln	159
" " Schaltwerke (Anstellvorrichtungen)	159
Recapitulation der Gewichtstabellen	160

B. Hauptmaasse.

Hauptmaasse der Eincylinder-Dampfmaschinen mit Tabelle	161
--	-----

C. Raumbedarf.

Raubedarf der Eincylinder-Maschinen mit Tabelle	162
Raubedarf der Zweicylinder-Maschinen mit Tabelle	163

D. Modellkosten.

Modellkosten der Maschinen von 400—1000 Hub m. Ridersteuerung	164
---	-----

Abschnitt V.

Constructioneregeln.

Der Lagerhals der Kurbelwelle	166
Die Kurbelwelle für Eincylinder-Maschinen	167
Die Kurbelwelle für Zweicylinder-Maschinen mit Tabelle	167
Die gekröpfte Kurbelwelle	168
Treibstange	168—169
Der Sicherheitsgrad m mit Tabelle	168
Tabelle zur Treibstange	169
Kurbelzapfen	169
Kreuzkopfbolzen	170

	Seite
Treibstangenkopf	170
Treibstangenkopf mit Kappe mit Tabelle	170—171
Offener Treibstangenkopf mit Tabelle	172
Tabellen über Kolbenstangen, Kurbelwellenlager, Kurbelzapfen und Kreuzkopfbolzen	178—175
Der Fundamentrahmen	176
U förmiger Rahmen mit Tabelle	176
Querhaupt zum U förmigen Rahmen mit Tabelle	177
Ganz aufliegender Rahmen mit Rundführung mit Tabelle	178—179
Kolbenstange	180
Dampfkolben	180
Kolbenspiel mit Tabelle	180
Dampfeylinder	181
Schieberkasten und Deckel	181
Dampfhemd mit Tabelle	182
Schutzmantel (Umkleidung des Dampfeylinders)	182
Fuss des Dampfeylinders	182
Tabelle der Differenz der Cylinderlängen in kaltem und warmem Zustande	182
Dampfkäule	183
Kanal- und Rohrquerschnitte	183
Schieberführung	184
Schieberentlastung	184
Schieberrahmen mit Tabelle	185
Schieberbewegung und Schieberwiderstand mit Tabelle	186
Nocken für Condenshähne mit Tabelle	187
Condensationswasserhähne mit Tabelle	187
Schmiervorrichtungen für Dampfeylinder	188—189
Schwungrad mit Tabelle der Werte von i	190
Radkranz	191
Schrumpfringe und Schrauben	191
Drosselklappen mit Tabelle	192
Regulatorständer mit Tabelle	193
Oelpumpe der Regulatoren	194—195
Proell'sche Regulatoren mit leichter Urne mit Tabelle	196
" Regulatoren mit schwerer Urne mit Tabelle	197
" Federregulatoren mit Tabelle	198—199
Hartung'sche Regulir-Ventile mit Tabelle	200—201
Voss'scher Expansionsapparat mit Tabelle	202—203
Condensator Horn mit Tabelle von Brinckmann & Co., Witten	204
Condensator von Eisenhütte Prinz Rudolf, Dülmen, mit Tabelle	205
Oberflächen-Condensator	206

Abschnitt VI.

Steuerungen.

Das Dampfdiagramm	206—209
Die Expansionskurve	210
Die Compressionskurve	210
Einteilung der Steuerungen	211
Einfache Schiebersteuerung	212—213
Zeuner'sches Schieberdiagramm für einfache Steuerung	214
Die Excentrizität	215
Diagramme der einfachen Steuerung	216—217
Meyer'sche Schiebersteuerung	218
Das Schieberdiagramm	219
Diagramme der Meyer'schen Steuerung	220—221
Fehlerhafte Steuerung	222
Anderung der Füllungsgrade bei Maschinen mit fixer Expansion	223
Rider-Steuerung	224
Trapezschieber E. Leutert, Halle a. S.	224—225
Farcot'sche Schleppschiebersteuerung	226—227
Guhrauer'sche Schiebersteuerung	227
Kolbenschieber für einfache Schiebersteuerung	228
Kolbenschieber für Rider-Schiebersteuerung	228—229

Umsteuerungen:

Coulissensteuerung von Stephenson	230—231
" " Diagramm für offene Stangen	232
" " Diagramm für gekrzt. "	233—236

	Seite
Couliassensteuerung von Pius Fink	235
" " Heusinger von Waldegg	235
" " Polonceau	235
" " Gooch	236
" " Allan	237
Schieber-Ellipse für einfache Steuerung	238
" " Doppelschieber-Steuerung	239
Ventil-Steuerung:	
Steuer-Ventile	240
Ventil-Anordnung bei Förder-Maschinen	240—241
Collmann-Steuerung	242
Ventilsteuerung von Becke, zwangsläufig	243
" " Proell, "	244
" " Kliebisch, "	245
" " E. König, "	246
" " Hartung, "	247
" " Sulzer mit Klinke	248
Corlisssteuerung	249—250
Drehchiebersteuerung von Feod. Siegel	250

Abschnitt VII.

Effect-Berechnung und Dampfverbrauch.

Effect-Berechnung	252
Tabelle des Spannungskoeffizienten k	253
Arbeitsverlust durch Drosselung des Eintrittsdampfes	254
" " verfrühten Austritt	254
" " Gegendruck des abziehenden Dampfes	255
" " Compression	255
" " Spannungsabfall bei Compound-Maschinen	254
Schädl. Raum mit Tabelle	256
Vorläufige Werte von p_m	256
Tabelle der Endspannung für die vorteilhafteste Normalleistung	257
Tabelle der Füllungen bei gegebener Endspannung	258
Tabelle der Wirkungsgrade	259
Tabelle des Leergangswiderstandes	259
Werte der zusätzlichen Reibung	259
Werte des Gegendruckes und der Arbeitsverluste für normale Verhältnisse	260
Beispiel zur Berechnung einer Maschine ohne Condensation	260
Beispiel zur Berechnung einer Maschine mit Condensation	261
Maximalleistung	261
Werte des Gegendruckes und der Arbeitsverluste für die Maximalleistung	261
Tabelle der nominellen und Maximalleistungen für Eincylinder-Auspuff-Maschinen	262
Tabelle der nominellen und Maximalleistungen für Eincylinder-Condensation-Maschinen	263
Effectberechnung der Compound-Maschine	264
Beispiel zur Effectberechnung einer Compound-Maschine	264—265
Volumverhältnis des Hoch- und Niederdruckcylinders	265
Der Receiver	265
Tabelle der nominellen und Maximalleistungen für Compound-Maschinen	266
Dampfdiagramm der Normalleistung für Compound-Maschinen	267
Dampfdiagramm der Maximalleistung für Compound-Maschinen	267
Der Dampfverbrauch	268
Tabelle über den Einfluss des schädlichen Raumes auf den Dampfverbrauch ohne Condensation	269
Tabelle über den Einfluss des schädlichen Raumes auf den Dampfverbrauch mit Condensation	269
Tabelle des Dampfverbrauchs für Eincyl.-Auspuff-Maschinen	270
Tabelle des Dampfverbrauchs für Eincyl.-Condens.-Maschinen	271
Tabelle des Dampfverbrauchs für Compound-Maschinen mit Condensation	272
Kohlenverbrauch einiger Wasserwerke	273
Speisewassermenge mit Beispiel	274
Einspritzwassermenge	275
Die Luftpumpe	276

Abschnitt VIII.

Seite

Die Wirkung der Massen in der Dampfmaschine.

Gewicht der hin- und hergehenden Massen	276—277
Beschleunigungsdruck, Fliehkraft	276—279
Einfluss der Massen	280
Druckwechsel im Gestänge	280—281
Enddruck der Compression für Auspuff-Maschinen	281
Enddruck der Compression für Condensations-Maschinen	281
Tabelle über die auf die Kolbenfläche reduzierte Fliehkraft im toten Punkt für Maschinen bis 1800 Huh	282
Beispiel	282
Fehlerglied mit Tabelle	282

Abschnitt IX.

Brems- und Indikator-Versuche.

Bremsversuche	285
Der Prony'sche Zaum	285
Indikatoren	286
Hubreductoren	286
Hubreductions-Apparat	287
Stopfen, Rohrleitung und Dreiweghahn	287
Hauptgesichtspunkte bei Indikatorversuchen	288
Berechnung der Leistung aus den Diagrammen	289
Das Rankinisieren der Diagramme	290
Zusammenstellung von Indikator diagrammen	291
Fehlerhafte Steuerung	292

Abschnitt X.

Schiffsmaschinen und dreistufige Expansions-Maschinen.

Compound-Maschinen:

Compound-Schiffsmaschine für Raddampfer	294—296
Tabelle zur Compound-Schiffsmaschine für Raddampfer	297
Compound-Schiffsmaschine für Schraubendampfer	298
Tabelle zur Compound-Schiffsmaschine für Schraubendampfer	298

Umsteuerungen für Schiffsmaschinen:

Hackworth	299
Klug	299
Linke	299
Joy	299

Dreifach-Expansions-Maschinen.

a. Als Schiffsmaschine:

Verschiedene Bauarten	300
Tabelle für den Entwurf von Dreistufig-Expansions-Maschinen mit Condensation	301
Stellung der Kurbeln zu einander	301

b. Als stationäre Maschine:

Versuche an einer Dreifach-Expansions-Maschine mit Tabelle der Hauptdimensionen	302
Diagramme dazu sowie Angabe der indiz. Leistung	303

Abschnitt XI.

Dampfkessel und Schornsteine.

Dampfkessel der Görlitzer Maschinen-Bau-Anstalt	306—309
Cylindrischer (einfach-runder) Kessel	306
Cylindrischer Ober- und Unter-Kessel	306
Kessel mit Wellrohr und innerer Feuerung	306
Galloway-Kessel mit innerer Feuerung	306

	Seite
Cornwallkessel mit 2 Feuerröhren und äusserer Feuerung	307
Cornwallkessel mit 2 Feuerröhren und innerer Feuerung	307
Röhrenkessel mit untenliegender Feuerung	307
Combinierter Cornwall- und Röhrenkessel	308
Röhrenkessel (System Dupuis)	308
Field'scher Röhrenkessel	309
Wasserrohrkessel von Petry-Dereux, Düren	308
Stehender Röhrendampfkessel von Arndt & Marichal, Aachen	309
Cornwallkessel mit Pat.-Feuerrohr von Moritz Jahr, Gera	309
Willmanns-Wasserröhrenkessel von E. Willmann, Dortmund	310
Batterie-Dampferzeuger der Motorenfabrik Merseburg	310
Röhrenkessel von Dürr & Cie., Ratingen	311
Circulations-Dampfkessel von Petry-Dereux, Düren	311
Normalien der Cornwallkessel mit Tabelle	312
Einmauerung der Cornwallkessel mit Tabelle	313
Raumbedarf der Circulations-Röhrenkessel mit Tabelle	314
Schornsteine mit Tabelle	315
Exact-Deflectoren von Keidel & Cie., Berlin	316
Polizeiliche Bestimmungen über die Anlage von Dampfkesseln	316—318
Auszug aus den Verordnungen vom 24. Juni 1872	319

Abschnitt XII.

Bohrleitung und Armaturen.

Der Leitungswiderstand	321
Tabelle der Werte des Leitungswiderstandes resp. des Spannungs- abfalles	321
Beispiel	321
Die Dampf-Condensation in der Rohrleitung	322
Beispiel mit Tabelle der Vergleichswerte zur Ermittlung der günstigsten Dampfgeschwindigkeit	322—323
Wasserabscheider und Wasserableiter	323
Rohrleitungs-Umhüllungen und Preistabelle	323

Wasserabscheider:

J. Losenhausen	324
Bopp & Reuter	324
Hainholzer Wasserabscheider	324
Ang. C. Funke	324

Condensationswasserableiter:

J. Losenhausen	325
Hainholzer Condensstopf	325
Maschinen- und Armaturfabrik Frankenthal	325
Maschinen- und Armaturfabrik Magdeburg	325
C. W. Jul. Blanke & Cie.	325
Raumbedarf u. Preise d. Wasserabscheider u. Wasserableiter m. Tab.	326
Condenswasserhahn am Absperrventil	326
Ausdehnung der Rohrleitungen	327
Federrohre und Krümmer aus Kupfer mit Tabelle	327
Normal-Tabelle für gusseiserne Flantschenröhren	328—329
Flantschenverbindungen für schmiedeeiserne Röhren	330
Tabelle der Wandstärken für Kupferröhren	331
Kostenvoranschlag für Frischdampfleitungen mit Tabelle	331
Abdampfleitung und Wasserabscheider auf Auspuffrohre	332
Rohrleitung und Speisevorrichtungen zum Kessel	332
Tabelle der Durchmesser der Speiseleitungen	332
Vorwärmer der Eisenhütte Prinz Rudolf, Dülmen mit Tabelle	333

Verfahren zum Reinigen von Kesselspeisewasser:

A. L. G. Dehne	334
E. Kreiss	334
Grimme, Natalis & Cie.	335
Maschinen- und Armaturfabrik, Frankenthal	336

Verfahren zum Reinigen der Kessel:

Zirnité & Hasse	336
Martin van Look	337

Abschnitt XIII.

Seite

Lieferungsbedingungen, Garantien und Kosten der Dampfanlagen

Lieferungsbedingungen und Garantien für Dampfmaschinen . . .	338
Lieferungsbedingungen und Garantien für Dampfkessel . . .	339
Kostenüberschlagstabelle von compl. Dampfanlagen von 10—150 Pfdst. . .	340
Kohlenverbrauch der compl. Dampfanlagen von 10—150 Pfdst. . .	340

Abschnitt XIV.

Verschiedene Motoren.

Horizontale Dampfmaschinen:

Wegelin & Hübner, Halle a/S.	342—345
E. Leutert, Halle a/S.	346
Sundwiger Eisenhütte, Sundwig	346
Arndt & Marichal, Aachen	346

Wanddampfmaschinen:

Wegelin & Hübner, Halle a/S.	347—348
E. Leutert, Halle a/S.	349

Stehende Dampfmaschinen:

E. Leutert, Halle a/S.	350—351
Wegelin & Hübner, Halle a/S.	352—353

Receiver Compound-Maschinen:

Ph. Swiderski, Leipzig	354—355
Görlitzer Maschinenbau-Anstalt, Görlitz	356

Schnellgehende Dampfmaschinen:

Feod. Siegel, Schönebeck a/d. E.	357
Ph. Swiderski, Leipzig	358
Sundwiger Eisenhütte, Sundwig	358
Proell'sche Hahnsteuerung	358
K & Th. Möller, Brackwede i/Westf.	359

Locomobilen:

R. Wolf, Magdeburg	360—361
Menk & Hambrock, Ottensen	361

Gasmotoren:

O. & E. Wilberg, Magdeburg	362
Gasmotorenfabrik Deutz	363

Heissluftmotor:

H. F. Eckert, A. G., Berlin	363
---------------------------------------	-----

Abschnitt XV.

Verschiedene Normalien und Tabellen.

Tabelle für Gasgewinde	365
Tabelle für flaches Gewinde	365
Whitworth'sche Schraubentabelle	366
Schraubensicherung mit Tabelle	367
Lagerschalen aus Weiss- und Rotguss mit Tabelle	364
Stirnzapfen und Abrundung der Lagerläufe mit Tabelle	369
Torsionskeile (Hohl-, Flach-, Nuten- und Doppelkeile) mit Tabelle	370
Keilverbindungen (für Kolbenstangen etc.) mit Tabelle	371
Durchlasshähne mit Tabelle	372
Stopfbüchsen und Stopfbüchsegehäuse mit Tabelle	372—373
Ventilkegel mit Tabelle	374
Absperrventile mit Tabelle	375
Tabelle der Elasticitäts- und Festigkeitscoefficienten	376—377
Zug- und Druckfestigkeit	378

	Seite
Schub- oder Scheerfestigkeit	378
Biegezugfestigkeit	378
Torsionsfestigkeit	379
Zusammensetzung der Torsions- und Biegezugfestigkeit	379—380
Trägheits- und Widerstandsmomente für verschiedene Querschnitte mit Tabelle	380
Werte des polaren Trägheits- und Widerstandsmomentes	380
Tabelle der Trägheits- und Widerstandsmomente des runden Querschnittes für $d = 1-100$	381
Kreisumfang- und Inhaltstabelle	382—383
Reductionstabelle von At. abs. auf Pfund per □ Zoll engl.	383
Reductionstabelle von At. abs. auf Quecksilbersäule in cm	383
Temperatur und Gewichte der gesättigten Wasserdämpfe	384
Spezifische Gewichte	385
Gewichtstabelle von Quadrat- und Rundeisen	385
Gewichtstabelle von Metallblech	385
Gewichtstabelle von Flacheisen	386

Abschnitt XVI.

Pumpen und Compressoren.

a. Wasserpumpen:

Berechnung der Pumpen	388
Anordnung der Windkessel	388
Kraftbedarf	388
Tabelle der Gefällverluste in der Rohrleitung	389
Beispiel und Allgemeines	389
Tabelle der gusseisernen Röhren mit hohem Druck	390—391
Handspeisepumpen	392
Pumpen mit Dampf- und Riemenbetrieb	393—395
Duplex-Pumpen	396—398
Pumpe mit Kurbelschleife	398
Dimensionen und Preise der Kesselspeisepumpen	398—399

b. Compressionsmaschinen:

Berechnung der Leistung	399—400
Werte der Endtemperatur	400
Kraftbedarf	400
Kühlvorrichtungen	400—401
Dimensionen, Gewichte und Preise der Luftcompressoren	401
Der Druckausgleich resp. die Überströmung	401
Luftcompressionsmaschinen mit Tabelle von Rud. Meyer, Mülheim (Ruhr)	402—403
Schieber-Luftcompressor von Burckhardt & Weiss, Basel	404—405
Nachtrag	406—410

Alphabetisches Sachregister

(kurz gefasst.)

Die Zahlen bedeuten die Nummern der Seiten. T, dass eine Tabelle;
Tn, dass mehrere Tabellen folgen, GT Gewichtstabelle.

Anker und Platten für Fundamente	T 189, GT 189
Ausdehnung des Dampfeylinders	182
Bauarten der Horizontal-Maschinen	12
Benennungen der einzelnen Teile	14
Bremsversuche	285
Compression	255, Tn 281
Compressoren	Tn 349
Compound-Maschinen	Tn 4, Tn 354, 356, 284, T 266
Condensatoren	48, T 144, Tn 304, 410
Condensation in der Rohrleitung	322, Tn 406
Corliss-Steuerung	249
Cylinder (Dampf-)	28, Tn 74, GT 152, 181
Cylinderdeckel	32, Tn 84
Dampfhemd	78, 182
Dampfkessel	Tn 305
Dampfverbrauch	Tn 268
Diagramm (Dampf-)	208, 254, 267, 289
Diagramm (Schieber-)	214
Drehschieber	250
Dreifache Expansionsmaschine	Tn 300
Drosselklappe	T 192
Effect-Berechnung	252
Einspritzwassermenge s. Nachtrag.	
Eincylinder-Maschine	Tn 2, T 342
Endspannung	Tn 257
Excenter	44, T 126, GT 157
Excenterstangen	T 184, GT 157, 186
Fehlerglied	T 283
Festigkeitstabelle	Tn 376
Fundament	T 142
Füllungsgrade	T 258
Gasmotoren	362
Gewinde (Gas-)	T 365
Gewinde (Whitworth)	T 366
Gewinde (Flach-)	T 365
Gewichtstabellen für Dampfmaschinenenteile	Tn 149
Gewichtstabellen für Flacheisen etc.	Tn 385
Gelenkstücke	40, T 128
Hauptdimensionen	1
Hähne für Condenswasser etc.	T 187, 372
Heissluftmotor	T 363
Indicatorversuche	285
Indicatornocken	76
Kanäle (Dampf-)	183
Keilverbindungen (Kolbenstangen)	T 371
Kleinmotoren	Tn 6
Kolben und Ringe	34, Tn 87, GT 154, 180
Kolbenstangen	T 92, GT 154, Tn 173, 190
Kolbenspiel	T 180
Kohlenverbrauch	340
Kosten der Dampfanlagen	Tn 262, T 340
Kreuzköpfe	23, T 64, GT 150, T 177
Kreuzkopfbolzen	T 68, Tn 173, 170, 177
Kreisumfänge und Inhalte	T 382
Kurbeln und Kurbelscheiben	27, T 68, GT 151
Kurbelwellen	T 173, GT 185, 186
Kurbelzapfen	68, 169, Tn 173

Lager für Kurbelwellen	22, Tn 60, 173, T 398
Leitungswiderstand	T 321, Tn 406
Lieferungsbedingungen	338
Locomobilen	360
Luftpumpe	275
Modellkosten	T 164
Masseneinwirkung	96, 100, 114, 276, T 232
Nutzeffect	259
Nachtrag	Tn 406
Pumpen	T 388
Rahmen	18, Tn 54, GT 150, Tn 176, 178
Raumbedarf	Tn 161
Regulatoren	43, Tn 196
Regulatorantrieb	T 186, GT 158, T 193
Reductionstabelle At. auf \square Zoll engl.	T 343
Reductionstabelle At. auf Quecksilbersäule	T 383
Regulier-Apparate	Tn 200
Receiver	265
Rohre (Normalien)	Tn 328
Rohrleitung	Tn 321, Tn 406
Ständer-Dampfmaschinen	T 298, T 350
Stellvorrichtung der Steuerung	41, Tn 182
Stirnzapfen	T 369
Stopfbüchsen	31, T 372
Spannungsabfall in der Rohrleitung	T 321
Spannungscoeffizienten	T 258
Speisepumpe	T 146
Speisewasserreiniger	334
Schaltwerk (Drehvorrichtung)	52, 148, GT 159
Schädlicher Raum	T 256
Schieberbewegung	188
Schieberellipse	258
Schieberkastendeckel	33, Tn 80, 181
Schieberspiegel und Schieberführung	83, 184
Schieberstangenführungen	40, T 180
Schiebersteuerung (einfache)	86, Tn 96, 212
Schiebersteuerung (fixe Expansion)	37, T 102, T 118, 218
Schiebersteuerung (Meyersche)	87, Tn 104, T 118, 218
Schiebersteuerung (Rider)	37, Tn 106, Tn 120, GT 156, 224
Schieberwiderstand	T 186
Schieberrahmen	T 185
Schiffmaschinen	Tn 204
Schleppschiebersteuerung (Farcot)	226
Schmiervorrichtungen für Dampfzylinder	158
Schnellgehende Einzylinder-Maschinen	Tn 8
Schnellgehende Compound-Maschinen	Tn 10
Schnellgehende Maschinen	T 367
Schornsteine	T 315
Schraubensicherungen	T 367
Schutzstange für Treibstangen	T 198, GT 159
Schwungräder	45, T 140, GT 155, 190
Torsionskeile	T 370
Treibstangen und Köpfe	24, Tn 70, GT 151, 168, Tn 170
Umkleidung des Dampfzylinders	182
Umsteuerungen	280, 299
Ventile	Tn 374
Ventilsteuerung	240
Vorwärmer	T 338
Wand-Dampfmaschinen	55, 247
Wandstärken bei hohem Druck	T 390
Wasserabscheider und Ableiter	328
Wasserdämpfe	T 384
Wirkungsgrade	T 269

Vor Gebrauch des Buches wolle man folgende **Berichtigungen** eintragen:

- S. 4 Tab. 8 setze unter Rubrik *V*: *v* 2,82 statt: 2,67; 2,80 statt: 2,84; 2,70 statt: 2,67; 2,70 statt: 2,76.
- S. 51 Z. 4 v. u. muss es heissen: Condensator der Dampf- und Spinnerei-Maschinen-Fabrik in Chemnitz.
- S. 53 Z. 4 v. o. Vorderer Rahmenfuss* statt: Hinterer Rahmenfuss.
- S. 55 in Tab. 23 ist „*H*“ und „*D*“ zu vertauschen.
- S. 93 in Tab. 46 in der Reihe der Maschine 200/300,
Rubrik unter „*g*“ 169 statt: 159; unter „*t*“ 690 statt: 590.
- S. 156 in Tab. 78 im Tab.-Kopf Stellbacken Rtg statt: Schr.
- S. 166 Z. 3 v. u. *p · v* bis zu 50 statt: *p · v* bis zu 100.
- S. 166—168 vor Gleich. 1, 3, 4 ist zu setzen, wenn, wie gewöhnlich, $M_b < M_d$. s. auch S. 379.
- S. 168 Z. 6 v. o. und für d_2 statt: und für d_I .
- S. 180 Z. 3 v. o. $E = 2000000$ statt: $E 20000$.
- S. 181 Z. 3 v. o. lies $\delta = 2 + \frac{D}{100}$ in cm.
- S. 183 Z. 7 v. o. *F* statt: *Q*.
- S. 184 Z. 12 v. o. Tab. 104 statt: Tab. 103.
- S. 209 Z. 3 v. o. lies: Kolbenweges sich die Temperatur nicht ändert, ist:
- S. 231 Z. 1 v. u. dessen Radius statt: dessen Länge.
- S. 231 Z. 5 v. u. muss es heissen:

$$X_m = l + l_I - \frac{r^2}{2l} \cos^2 \delta + (c^2 - u^2) \frac{l - q}{2lq} = L.$$

- S. 234 Z. 4 v. u. $(a) = \frac{1}{2} r \sin \delta \pm \frac{1}{2} r \cos \delta$
statt: $(a) = \frac{1}{2} r (\sin \delta \pm \frac{1}{2} r \cos \delta)$.
- S. 235 Z. 3 v. o. wird er bei statt: wird bei.
- S. 237 Z. 5 v. u. ist zu setzen: $\frac{e}{f} = \frac{l_0}{l} \left(1 \pm \sqrt{1 + \frac{l}{l_I}} \right)$
- S. 239 Z. 3 v. o. in derselben Weise statt: in derselben.
- S. 241 Z. 2 v. u. $r \sin \delta = \frac{l}{l_I} (s + v)$ statt: $r \sin \delta = \frac{l}{l} (s + v)$.

S. 265 Z. 12 v. o. $h' = \frac{2,35 \cdot 1,05}{8,75} - 0,05 = 0,23$ statt:

$$h' = \frac{2,35 \cdot 1,05}{h' + 0,05} - 0,05 = 0,23.$$

S. 269 Z. 2 v. o. Dampfverbrauch S_i statt: Dampfverbrauch S .

S. 300 Z. 1 v. u. Zeitschr. d. Ver. deutsch. Ing. 1887 Seite 445
statt: Zeitschr. d. Ver. deutsch. Ing. 1837 Seite 445.

S. 405 Z. 2 v. o. Luft-Diagramm statt: Dampf-Diagramm.



Abschnitt I.

Hauptdimensionen, Bauarten, Benennungen.

Als Anhalt zur Beurteilung der Grösse einer Dampfmaschine gelte uns **der Durchmesser des Dampfcyinders** und der **Kolbenhub**. Inbezug auf die Güte resp. den Wert der Maschine kommen unter anderem hauptsächlich in Betracht:

Die Dimensionen und Construction des Kurbelzapfenlagers;

Die Dimensionen und Construction des Kurbelwellenlagers;

Grösse und Gewicht des Schwungrades;

Die Art der Steuerung.

Das Verhältniss des Kolbenhubes zum Cylinderdurchmesser variiert bei Transmissionsdampfmaschinen von 1,5 bis 2, bei sog. Schnellläufern von 0,75 bis 1,25.

Der Fabrikant der Dampfmaschinen muss darauf bedacht sein, mit möglichst wenig Modellen recht viele Maschinen in gleichmässig steigenden Leistungen herstellen zu können, er wird also bei der Construction einer neuen Maschine auf die bereits vorhandenen Modelle achten und sich von vorn herein für eine bestimmte Reihenfolge in den Hauptdimensionen entscheiden.

Am bequemsten ist es, die Maasse des Cylinderdurchmessers und des Kolbenhubes abzurunden, wenn auch das Verhältniss derselben nicht immer dasselbe ist.

In den nachstehenden Tabellen 1—22 sind die gebräuchlichsten Hauptdimensionen angegeben.

Eincylinder-Transmissionsdampfmaschinen	Tab. 1—6
Compound-Dampfmaschinen mit Condensation	" 7—10
Kleinmotoren	" 11—14
Schnellgehende Eincylinder-Dampfmaschinen	" 15—18
" Compound-Dampfmaschinen	" 19—22

Transmissionsdampfmaschinen (eincyl.). Tab. 1—6.

Tabelle 1 (lang bauend).

Kolbenhub	<i>H</i>	400	500	600	700	800	900	1000	1100	1200
Cylinderdurchmesser	<i>D</i>	200	250	300	350	400	450	500	550	600
Verhältnis	<i>H : D</i>	2	2	2	2	2	2	2	2	2
Umdrehungen pr. Minute	<i>n</i>	105	90	80	75	70	67,5	65	62,5	60
Durchm. des Schwungrades in <i>m</i>		1,7	2,1	2,5	3,0	3,5	4,0	4,5	5,0	5,5

Tabelle 2 (Erweiterung von Tab. 1).

Kolbenhub	<i>H</i>	400	400	500	500	600	600	700	700	800	800	900	900	1000	1000	1100	1100	1200	1200
Cylinderdurchmesser	<i>D</i>	200	225	250	275	300	325	350	375	400	425	450	475	500	525	550	575	600	650
Verhältnis	<i>H : D</i>	2	1,77	2	1,82	2	1,85	2	1,87	2	1,89	2	1,90	2	1,91	2	1,91	2	1,85
Umdrehungen pr. Minute	<i>n</i>	105	105	90	90	80	80	75	75	70	70	67,5	67,5	65	65	62,5	62,5	60	60
Durchm. des Schwungrades in <i>m</i>		1,7	1,9	2,1	2,3	2,5	2,7	3,0	3,2	3,5	3,7	4,0	4,2	4,5	4,7	5,0	5,2	5,5	5,7

Tabelle 3 (kurz bauend).

Kolbenhub	<i>H</i>	400	500	600	700	800	900	1000	1100	1200
Cylinderdurchmesser	<i>D</i>	250	300	350	400	450	500	550	600	650
Verhältnis	<i>H : D</i>	1,6	1,66	1,71	1,75	1,77	1,8	1,81	1,83	1,85
Umdrehungen pr. Minute	<i>n</i>	120	105	95	85	77	70	65	62	60
Durchm. des Schwungrades in <i>m</i>		1,8	2,1	2,5	3,0	3,5	4,0	4,5	5,0	5,5

Tabelle 4 (Erweiterung von Tab. 3).

Kolbenhub	<i>H</i>	400	400	500	500	600	600	700	700	800	800	900	900	1000	1000	1100	1100	1200	1200
Cylinderdurchmesser	<i>D</i>	225	250	275	300	325	350	375	400	425	450	475	500	525	550	575	600	650	700
Verhältnis	<i>H : D</i>	1,77	1,60	1,82	1,66	1,85	1,71	1,87	1,75	1,89	1,77	1,90	1,80	1,91	1,81	1,91	1,83	1,85	1,72
Umdrehungen pr. Minute	<i>n</i>	120	120	105	105	95	95	85	85	77	77	70	70	65	65	62	62	60	60
Durchm. des Schwungrades in <i>m</i>		1,8	1,8	2,1	2,1	2,5	2,5	3,0	3,0	3,5	3,5	4,0	4,0	4,5	4,5	5,0	5,0	5,5	5,5

Tabelle 5 (kurz bauend).

Kolbenhub	<i>H</i>	300	350	400	450	500	550	600	700	800	900	1000	1100	1200
Cylinderdurchmesser	<i>D</i>	200	225	250	275	300	325	350	400	450	500	550	600	650
Verhältnis	<i>H : D</i>	1,5	1,55	1,6	1,64	1,66	1,69	1,71	1,75	1,77	1,80	1,81	1,83	1,85
Umdreh. pr. Minute	<i>n</i>	145	130	120	112	105	100	95	85	77	70	65	62	60
Durchm. d. Schwungr. in <i>m</i>		1,5	1,65	1,8	1,9	2,1	2,3	2,5	3,0	3,5	4,0	4,5	5,0	5,5

Tabelle 6.

Kolbenhub	<i>H</i>																		
Cylinderdurchmesser	<i>D</i>																		
Verhältnis	<i>H : D</i>																		
Umdreh. pr. Minute	<i>n</i>																		
Durchm. d. Schwungr. in <i>m</i>																			

Compound-Dampfmaschinen mit Condensation. Tab. 7—10.

Tabelle 7.

Gemeinschaftlicher Hub	<i>H</i>	500	500	600	600	700	700	800	800	900	900	1000	1000	1100	1100	1200	1200
Durchm. des Hochdruckcylinders	<i>d</i>	250	275	300	325	350	375	400	425	450	475	500	525	550	575	600	625
" Niederdruckcylinders	<i>D</i>	400	435	470	510	550	590	630	670	710	750	790	830	870	910	950	1000
Verhältnis der Cylindervolumen	<i>V : v</i>	2,6	2,51	2,5	2,5	2,5	2,5	2,51	2,51	2,52	2,52	2,52	2,53	2,53	2,53	2,59	2,59
Verhältnis	<i>H : d</i>	2	1,81	2	1,84	2	1,86	2	1,88	2	1,89	2	1,90	2	1,91	2	1,92
Umdrehungen pr. Minute	<i>n</i>	90	90	80	80	75	75	70	70	67,5	67,5	65	65	62	62	60	60
Durchm. des Schwungrades in <i>m</i>		2,0	2,0	2,5	2,5	3,0	3,0	3,5	3,5	4,0	4,0	4,5	4,5	5,0	5,0	5,5	5,5

Tabelle 8.

Gemeinschaftlicher Hub	<i>H</i>	500	550	600	650	700	750	800	850	900	950	1000	1050	1100	1150	1200	1200
Durchm. des Hochdruckcylinders	<i>d</i>	250	275	300	325	350	375	400	425	450	475	500	525	550	575	600	600
" Niederdruckcylinders	<i>D</i>	420	460	500	540	580	620	660	700	740	780	820	860	900	950	1000	1000
Verhältnis der Cylindervolumen	<i>V : v</i>	2,5	2,5	2,81	2,8	2,79	2,77	2,76	2,75	2,74	2,73	2,72	2,71	2,71	2,7	2,75	2,75
Verhältnis	<i>H : d</i>	2	2	2	2	2	2	2	2	2	2	2	2	2	2	2	2
Umdrehungen pr. Minute	<i>n</i>	90	85	80	78	75	73	70	68	66	65	64	62	62	60	60	60
Durchm. des Schwungrades in <i>m</i>		2,0	2,2	2,5	2,7	3,0	3,2	3,5	3,7	4,0	4,2	4,5	4,7	5,0	5,2	5,5	5,5

Tabelle 9 (kurz bauend).

Gemeinschaftlicher Hub	H	500	600	700	800	900	1000	1100
Durchm. des Hochdruckcylinders . .	d	300	350	400	450	500	550	600
" Niederdruckcylinders . .	D	450	530	610	690	770	850	930
Verhältnis der Cylindervolumen . .	$V:v$	2,29	2,32	2,35	2,37	2,39	2,42	2,43
Verhältnis	$H:d$	1,66	1,71	1,75	1,77	1,8	1,81	1,83
Umdrehungen pr. Minute	n	90	80	75	70	67	65	60
Durchm. des Schwungrades in m		2,3	2,8	3,3	3,8	4,2	4,7	5,2

Tabelle 10.

Gemeinschaftlicher Hub	H								
Durchm. des Hochdruckcylinders . .	d								
" Niederdruckcylinders . .	D								
Verhältnis der Cylindervolumen . .	$V:v$								
Verhältnis	$H:d$								
Umdrehungen pr. Minute	n								
Durchm. des Schwungrades in m									

Kleinmotoren. Tab. 11—14.

Tabelle 11. (Aachener Dampfmaschinenfabrik, Arndt & Marichal, Aachen.)

Nummer d. Masch.	1	2	3	4	5	6	7	8	9	10	11	12	13	14	15	16	17	18	19	20	21	22	23	24	25
Kolbenhub . . .	130	130	150	150	150	180	180	180	210	210	210	210	230	230	230	230	250	250	250	250	250	300	300	350	350
Cylinderdurchm. .	75	90	90	105	120	105	120	135	120	135	150	170	120	135	150	170	135	150	170	185	200	185	200	200	225
Umdrehungen . .	250	250	225	225	225	200	200	200	175	175	175	175	160	160	160	160	150	150	150	150	150	130	130	115	115
Schwungrad-Durchm. <i>m</i>	0,5	0,5	0,6	0,6	0,6	0,7	0,7	0,7	0,8	0,8	0,85	0,85	0,85	0,85	0,9	0,9	1,0	1,0	1,2	1,2	1,2	1,35	1,35	1,50	1,50
" Breite . .	60	70	70	75	75	80	85	90	90	90	105	125	90	100	110	140	90	110	120	150	180	200	200	225	225
Gewicht ca. . . <i>kg</i>	160	180	200	220	250	300	325	350	360	380	400	440	450	480	510	550	575	625	675	725	800	925	975	—	—

Tabelle 12.

Kolbenhub	<i>H</i>	125	150	200	250	300	350		
Cylinderdurchmesser	<i>D</i>	90	110	135	160	190	225		
Verhältnis	<i>H:D</i>	1,38	1,36	1,48	1,56	1,50	1,55		
Umdrehungen pr. Minute	<i>n</i>	220	200	180	160	140	120		
Durchm. des Schwungrades in <i>m</i>		0,55	0,65	0,80	1,0	1,30	1,60		

Tabelle 13.

Kolbenhub	H	100	120	140	160	180	200	220	240	260	280	300	320	350
Cylinderdurchmesser	D	70	85	100	115	130	140	150	160	170	180	190	200	220
Verhältnis	$H : D$	1,42	1,41	1,4	1,39	1,38	1,42	1,46	1,5	1,53	1,55	1,57	1,6	1,59
Umdrehungen pr. Minute	n	240	230	220	210	200	190	180	170	160	150	140	130	120
Durchm. des Schwungrades in m		0,5	0,55	0,6	0,7	0,8	0,9	1,0	1,1	1,2	1,3	1,4	1,5	1,6

Tabelle 14.

Kolbenhub	H													
Cylinderdurchmesser	D													
Verhältnis	$H : D$													
Umdrehungen pr. Minute	n													
Durchm. des Schwungrades in m														

Schnellaufende Eincylinder-Dampfmaschinen. Tab. 15—18.

Tabelle 15 (Pokorny & Wittekind, Bockenheim-Frankfurt a./M.).

Kolbenhub	H				200	200	200	250	250	300	300	350	350	400	400	450
Cylinderdurchmesser	D				150	175	200	225	250	275	300	325	350	375	400	425
Verhältnis	$H:D$				1,33	1,14	1,25	1,11	1,2	1,09	1,16	1,07	1,14	1,06	1,12	1,05
Umdrehungen pr. Minute n					350	350	280	280	235	235	200	200	180	180	160	160
Durchm. d. 2 Schwungr. in m					1,0	1,0	1,25	1,25	1,5	1,5	1,75	1,75	2,0	2,0	2,25	2,25

Tabelle 16 (Menk & Hambrock, Ottensen).

Kolbenhub	H				170	180	200	220	240	260	280	300				
Cylinderdurchmesser	D				205	225	250	275	300	325	350	375				
Verhältnis	$H:D$				0,83	0,8	0,8	0,8	0,8	0,8	0,8	0,8				
Umdrehungen pr. Minute n					350	320	300	290	280	260	250	240				

Tabelle 17.

Kolbenhub	<i>H</i>	100	120	140	160	180	200	225	250	300	350	400	450
Cylinderdurchmesser . .	<i>D</i>	140	165	190	215	240	270	300	340	400	450	500	550
Verhältnis	<i>H : D</i>	0,71	0,72	0,73	0,74	0,75	0,74	0,75	0,75	0,75	0,77	0,8	0,81
Umdrehungen pr. Minute	<i>n</i>	410	390	370	350	330	310	290	270	250	220	190	160
Durchm. d. 2 Schwungr. in <i>m</i>		0,5	0,6	0,7	0,8	0,9	1,0	1,1	1,3	1,5	1,75	2,0	2,25

Tabelle 18.

Kolbenhub	H
Cylinderdurchmesser	.	.	D		
Verhältnis	.	.	H : D		
Umdrehungen pr. Minute	n				
Durchm. d. 2 Schwungr.	m				

Schnelllaufende Compound-Dampfmaschinen ohne Condensation. Tab. 19—22.

Tabelle 19 (Pokorny & Wittekind, Bockenheim-Frankfurt a./M.).

Gemeinschaftlicher Hub	H				250	250	300	300	350	350	400	400	450
Durchm. des Hochdruckcylinders . . d					175	195	210	230	250	270	285	320	355
" " Niederdruckcylinders . . D					250	275	300	325	350	375	400	450	500
Verhältnis der Cylindervolumen . . $V:v$					2	2	2	2	2	2	2	2	2
Verhältnis	$H:d$				1,42	1,28	1,43	1,3	1,4	1,3	1,4	1,25	1,27
Umdrehungen pr. Minute	n				280	280	235	235	200	200	180	180	160
Durchm. der 2 Schwungräder in m					1,25	1,25	1,50	1,50	1,75	1,75	2,0	2,0	2,25

Tabelle 20 (Menk & Hambrock, Ottensen).

Gemeinschaftlicher Hub	H	160	180	200	225	250	275	300	340	370	400		
Durchm. des Hochdruckcylinders . . d		175	195	210	225	250	275	300	340	370	400		
" " Niederdruckcylinders . . D		300	335	365	400	435	475	520	590	640	690		
Verhältnis der Cylindervolumen . . $V:v$		3	3	3	3	3	3	3	3	3	3		
Verhältnis	$H:d$	0,91	0,92	0,95	1	1	1	1	1	1	1		
Umdrehungen pr. Minute	n	360	320	300	280	270	250	240	220	210	200		
Durchm. der 2 Schwungräder in m		0,8	0,9	1,0	1,1	1,3	1,4	1,5	1,7	1,85	2,0		

Tabelle 21.

Gemeinschaftlicher Hub	H	150	200	250	300	350	400	450
Durchm. des Hochdruckcylinders	d	150	200	250	300	350	400	450
„ Niederdruckcylinders	D	240	320	400	480	560	630	700
Verhältnis der Cylindervolumen	$V:v$	2,5	2,5	2,5	2,5	2,5	2,5	2,5
Verhältnis	$H:d$	1	1	1	1	1	1	1
Umdrehungen pr. Minute	n	360	320	280	240	210	180	165
Durchm. der 2 Schwungräder in m		0,8	1,0	1,25	1,50	1,75	2,0	2,25

Tabelle 22.

Gemeinschaftlicher Hub	H							
Durchm. des Hochdruckcylinders	d							
„ Niederdruckcylinders	D							
Verhältnis der Cylindervolumen	$V:v$							
Verhältnis	$H:d$							
Umdrehungen pr. Minute	n							
Durchm. der 2 Schwungräder in m								

Bauarten.

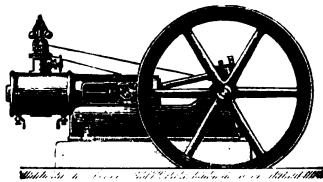


Fig. 1. Maschinen mit Gabelrahmen bis zu 350 Hub, die Kurbelwelle ist gekröpft, das Schwungrad sitzt auf Kopf ausserhalb eines Lagers.

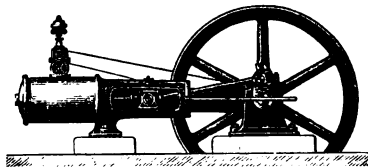


Fig. 2. Bauart bis zu 600 Hub, Cylinder freihängend, Bajonettrahmen zweimal unterstützt.

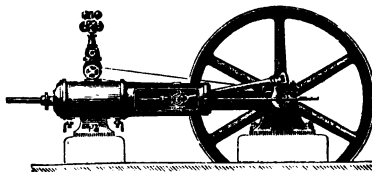


Fig. 3. Maschinen mit Bajonettrahmen bis 800 Hub und hinten geführter Kolbenstange.

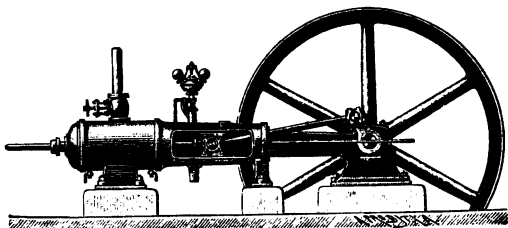


Fig. 4. Maschinen von 700 Hub aufwärts, der Bajonettrahmen ist in der Mitte nochmals unterstützt.

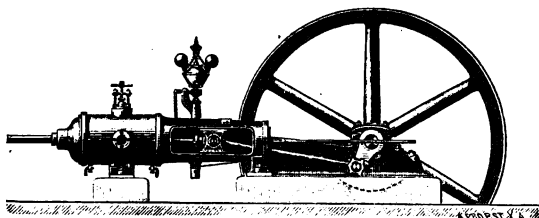


Fig. 5. Für Maschinen bis 2000 Hub; der Fuss des Dampf-cylinders kann sich in der mit einer Schlittenführung versehenen Sohlplatte bewegen, zur Ausgleichung der Ausdehnung des Cylinders.

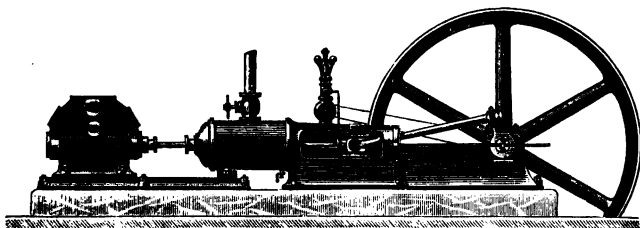
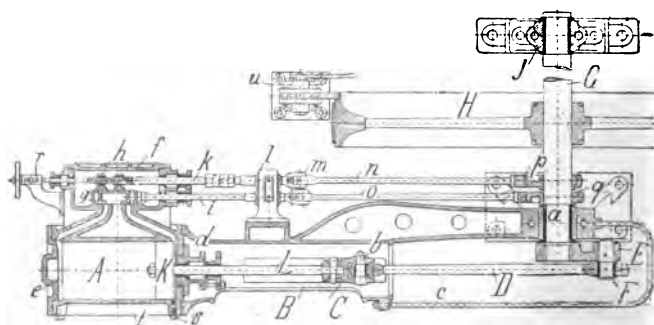
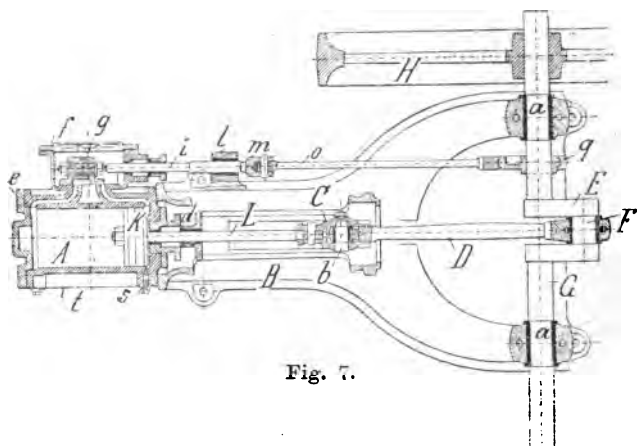


Fig. 6. Maschinen mit Condensation, Rahmen ganz aufliegend.



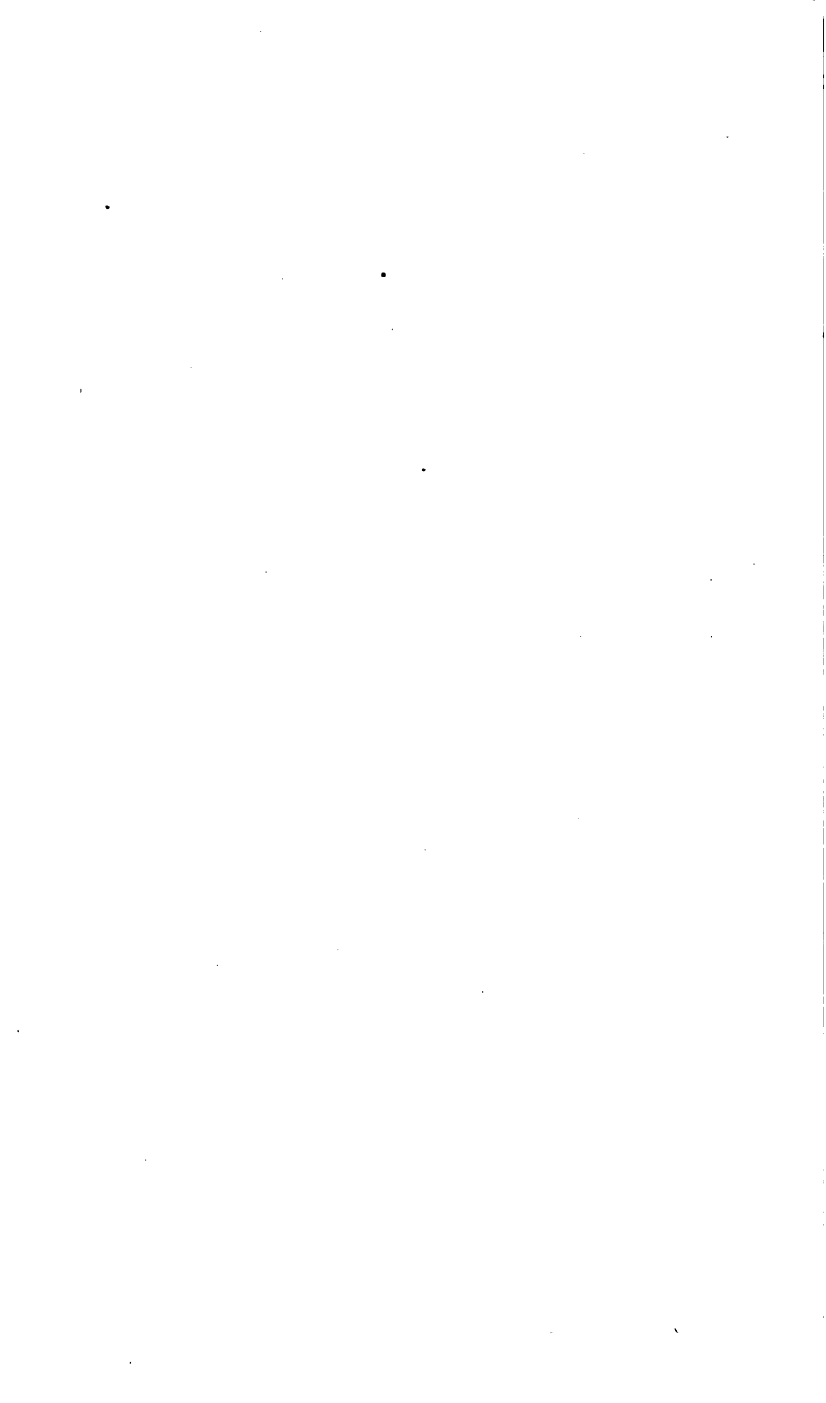
Benennungen

der einzelnen Dampfmaschinenteile.

Fig. 7—8.

- A. **Dampfcylinder, Cylinder.**
- B. **Rahmen, Gestell, Grundplatte, Geradföhrung, Bett.**
- C. **Kreuzkopf, Gleitstück, Schlitten, Querhaupt.**
- D. **Treibstange, Pleuelstange, Schubstange, Flügelstange.**
- E. **Kurbel.**
- F. **Kurbelzapfen, Kurbelfinger.**
- G. **Kurbelachse, Schwungradwelle.**
- H. **Schwungrad.**
- I. **Hinteres Kurbelwellenlager.**
- K. **Dampfkolben, Kolben.**
- L. **Kolbenstange.**
 - a. **Kurbelwellenlager, Kurbellager, Hauptlager.**
 - b. **Kreuzkopfbolzen, Kreuzkop Zapfen.**
 - c. **Schutzstange, Geländer.**
 - d. **Vorderer Cylinderdeckel, Stopfbüchsgeläuse.**
 - e. **Hinterer „ Cylinderboden.**
 - f. **Schieberkastendeckel.**
 - g. **Grundschieber, Verteilschieber, Hauptschieber.**
 - h. **Expansionsschieber.**
 - i. **Grundschieberstange.**
 - k. **Expansionsschieberstange.**
 - l. **Schieberstangenführungsbock.**
- m. **Gelenkstück.**
- n. **Excenterstange zum Expansionsschieber.**
- o. „ „ **Grundschieber.**
- p. **Expansionsschieberexcenter.**
- q. **Grundschieberexcenter.**
- r. **Stellvorrichtung zur Steuerung.**
- s. **Indikatornocken.**
- t. **Schutzmantel, Umkleidung.**
- u. **Schaltwerk, Drehvorrichtung, Anstellvorrichtung.**





Abschnitt II.

Constructions-Erläuterungen.

Fig. 9—389.

	Seite
Rahmen	18—21
Kurbelwellenlager	22
Kreuzköpfe	23
Treibstangenköpfe	24—25
Treibstangen	26
Kurbeln und Kurbelscheiben	27
Gekröpfte Kurbelwelle	27
Dampfeylinder	28—29
Verbindung des Dampfeylinders mit dem Rahmen	30—31
Stopfbüchsen	31
Hintere Cylinderdeckel	32
„ Kolbenstangenführungen	32—33
Schieberkastendeckel	33
Dampfkolben	34
Kolbenringe	35
Einfache Schieber	36
Doppelschieber	37
Halbierte Schieber	38
Kanalschieber	39
Schieberstangenführungen	40
Gelenkstücke	40
Stellvorrichtungen für Meyer'sche Steuerung	41
„ „ Rider- „	41
Angriff des Regulators für Rider-Steuerung	42—44
Excenter	44
Schwungräder	45
Direct wirkende Regulatoren	46
Indirect „ „	46—47
Condensatoren	48—51
Schaltwerke	52

Rahmen. Fig. 9—43.

In Fig. 9—22 sind Rahmen dargestellt für Maschinen bis 400 m/m Kolbenhub.

Die Kurbelachse ist gekröpft; das Schwungrad, gewöhnlich zugleich Riemenscheibe, sitzt ausserhalb eines Kurbelwellenlagers (Fig. 1).

Fig. 9—12 zeigen Rahmen mit **doppelseitiger Schlittenführung**.

Fig. 15—18 Rahmen mit **einseitiger Schlittenführung**.

Fig. 13—14 und 19—22 Rahmen mit **Rundführung**.

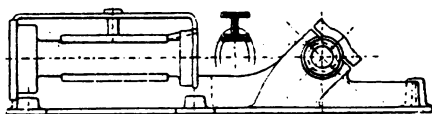


Fig. 9—12.

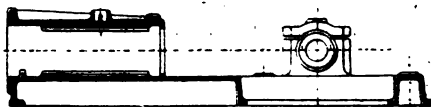
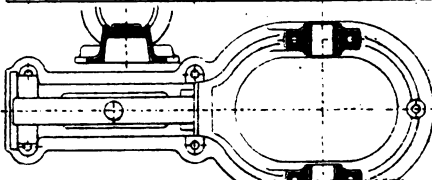
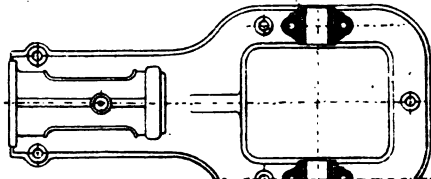


Fig. 13—14.



Am gebräuchlichsten sind die Rahmen Fig. 15—22, die Kurbelwellenlager sind meist zweiteilig, ohne Vorrichtung zum Nachstellen.

Mit geringen Änderungen finden diese Maschinen als Wandmaschinen Verwendung und können fertig montiert in einer Kiste per Bahn versandt werden.

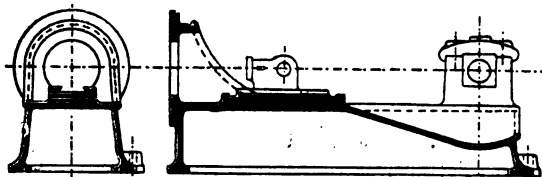


Fig.
15—18.

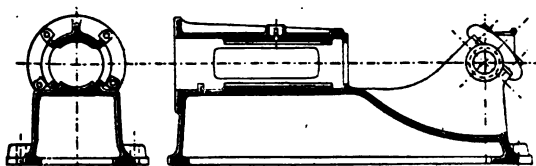
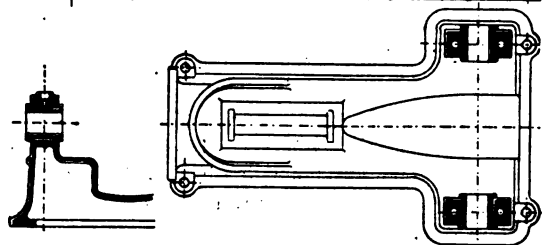
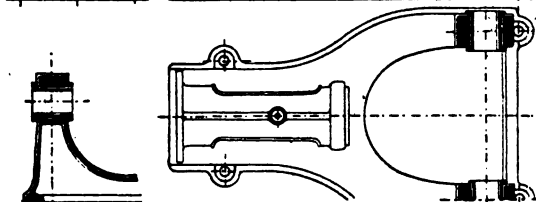


Fig.
19—22.



Der in Fig. 23—24 dargestellte Rahmen älterer Construction wird noch heute für grosse und kleine Maschinen häufig ausgeführt, er hat den Vorteil, eine grosse Auflagefläche zu bieten, und mit seinen Ankern viel Fundament zu fassen, er ist deshalb bei Fördermaschinen und Pumpen beliebt.

Fig. 23—24.

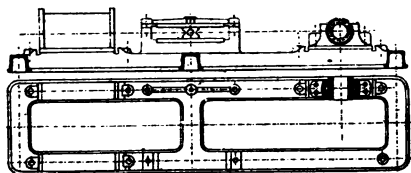


Fig. 26—43. Rahmen mit Rundführung für Maschinen von 300—2000 Kolbenhub.

Bei dem sehr häufig ausgeführten freitragenden Bajonett-rahmen Fig. 40—43 empfiehlt es sich, für Maschinen von 700 Kolbenhub aufwärts, den punktiert angedeuteten mittleren Rahmenfuss anzuordnen.

Eine Fördermaschine von etwa 1600 Kolbenhub in Herne, zeigte am freitragenden Rahmen den in Fig. 25 mit *a* bezeichneten Riss und konnte man eine Durchbiegung der Führung bei *c* beobachten. Der Riss wurde bei *b* abgebohrt und der Rahmen bei *c* mit einem gusseisernen Schuh unterstützt, somit die Gefahr beseitigt.

Fig. 25.

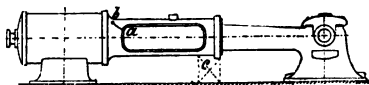


Fig. 26—27
Kuhn'scher
Rahmen.

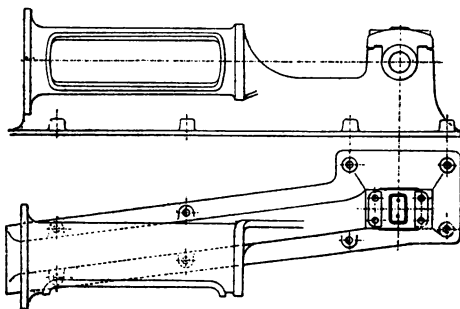


Fig.
28-31

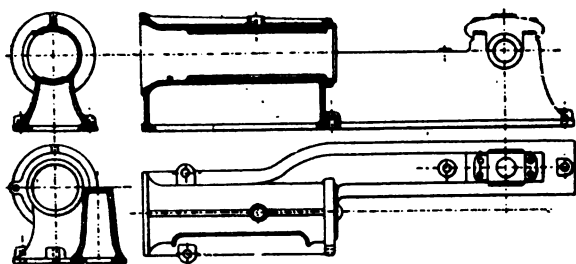


Fig.
32-35

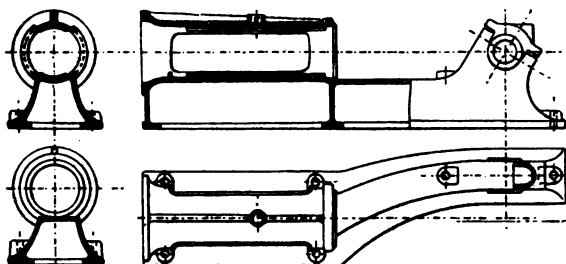


Fig.
36-39

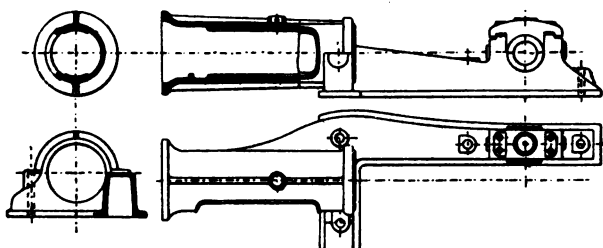
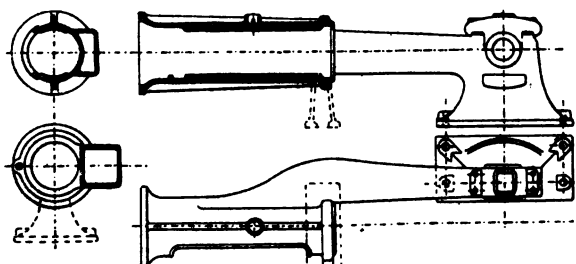


Fig.
40-43



Kurbelwellenlager, Fig. 44—58.

Fig. 44—47, 2 teilige Lager für kleine Maschinen.

„ 48—49, 3 „ „ „ mittlere „

„ 50—57, 4 „ „ „ mittl. u. gröss. Masch.

„ 58, 3 teiliges Lager
Patent Siegel.



Fig.
58.

Fig. 44.

Fig. 45.

Fig. 46.

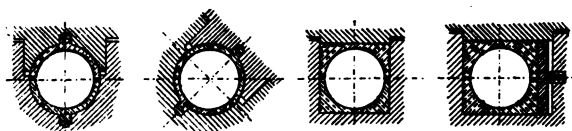


Fig.
47.

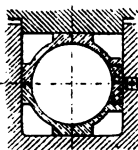


Fig. 48.

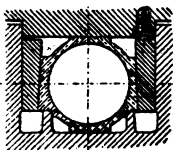


Fig. 49.

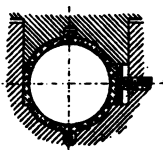


Fig. 50.

Fig. 51.

Fig. 52.

Fig. 53.

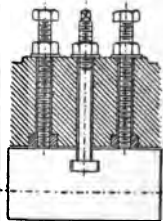
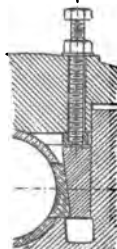
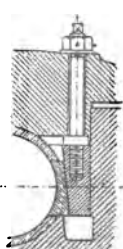
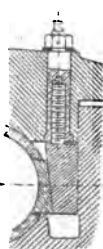
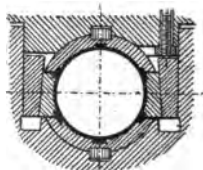
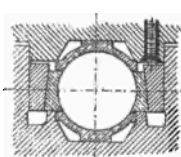
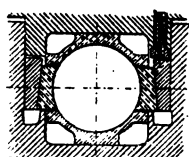


Fig. 54.

Fig. 55.

Fig. 56—57.

G. Gusseisen.
S. Schmiedeeisen.

Kreuzköpfe. Fig. 59—79.

Fig. 59—60.

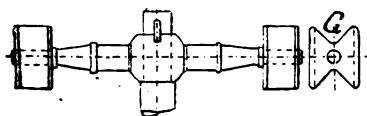


Fig. 61—62.

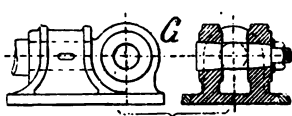


Fig. 63—64.

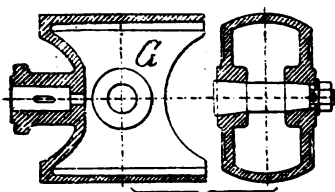


Fig. 65—66.

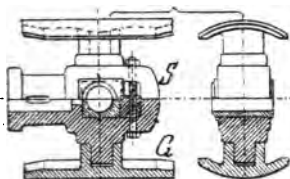
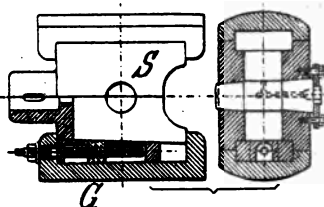


Fig. 67—68.

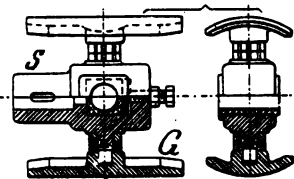


Fig. 69—70.

Fig. 71—72.

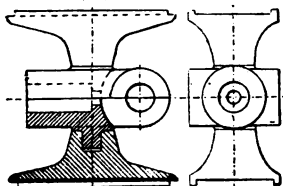
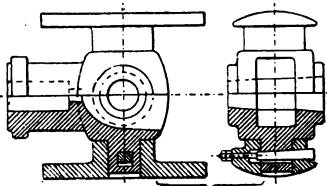
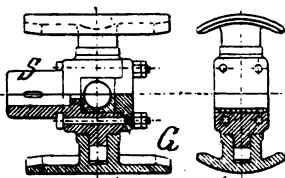
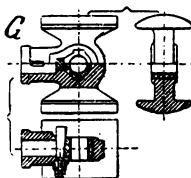


Fig. 73—74.

Fig.
75—76.Fig.
77—79.

Treibstangenköpfe. Fig. 80—111.

Fig. 80—81.

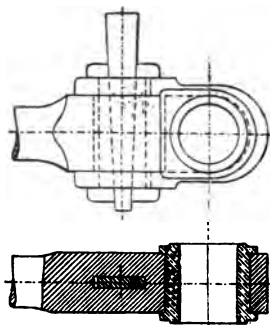


Fig. 82—83.

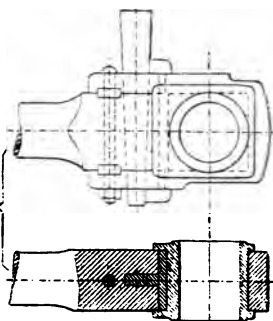


Fig. 84—85.

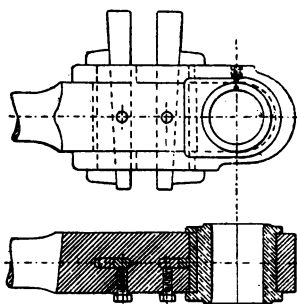


Fig. 86—87.

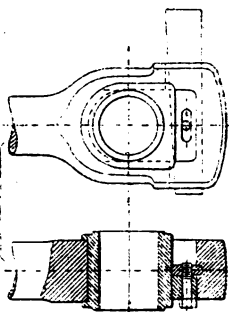


Fig. 88—89.

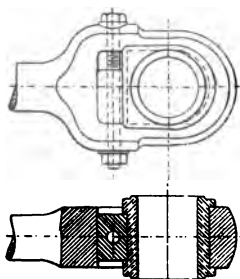


Fig. 90—92.

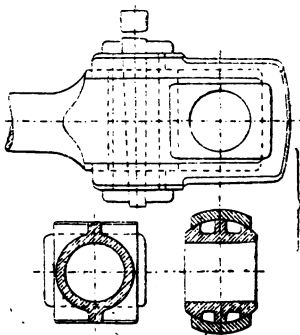


Fig. 80—81, Treibstangenkopf mit **Kappe**; durch Nachstellen der Schalen wird das Zapfenmittel der Stange genähert.

Fig. 82—83, **Sharp'scher** Treibstangenkopf; durch Nachstellen der Schalen wird das Zapfenmittel der Stange weiter abgelegt.

Fig. 84—85, **Bury'scher** Treibstangenkopf; Zapfenmittel kann der Stange beliebig genähert oder entfernt werden.

Fig. 97—103, Treibstangenköpfe für kleinere Maschinen.

Fig. 104—111, Köpfe für die **Kreuzkopfseite**.

Fig. 93—94.

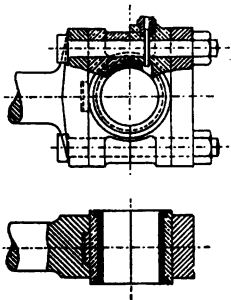


Fig. 95—96.

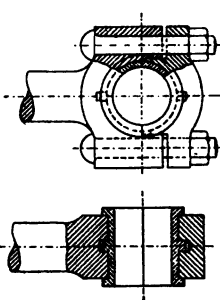


Fig. 97—98, 99—101, 102—103, 104—105, 106—107.

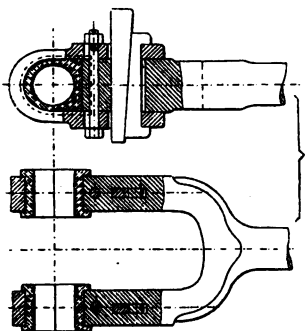
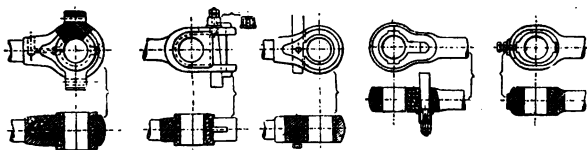


Fig. 108—109.

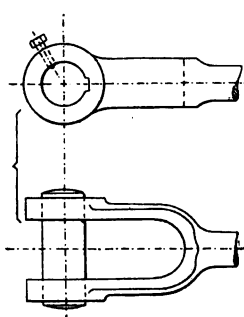


Fig. 110—111.

Der Schaft der Treibstange. Fig. 112—119.

Der Schaft wird meistens aus Schmiedeeisen hergestellt und erhält runden oder flachen Querschnitt, Fig. 112 bis 118. Bei kleineren Maschinen findet man häufig **T** Form, Fig. 119, in Stahlguss ausgeführt, der Schaft bleibt in diesem Falle roh und wird nur gestrichen.

Fig. 112—113.

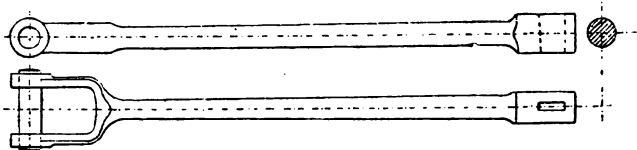
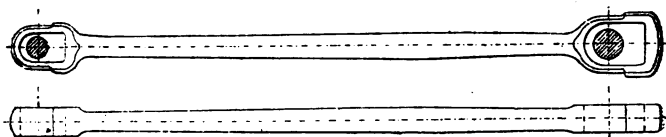
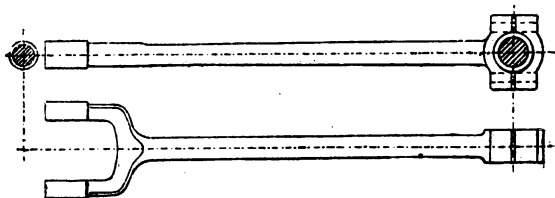
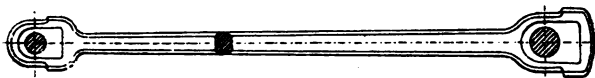
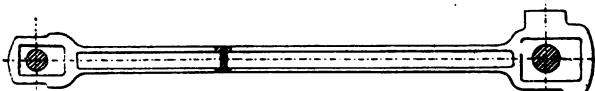


Fig. 114—115.

Fig.
116—117.Fig.
118.Fig.
119.

Kurbel, Kurbelscheibe, gekröpfte Kurbelwelle.

Fig. 120—134.

Fig. 120—121.

Fig. 122—126.

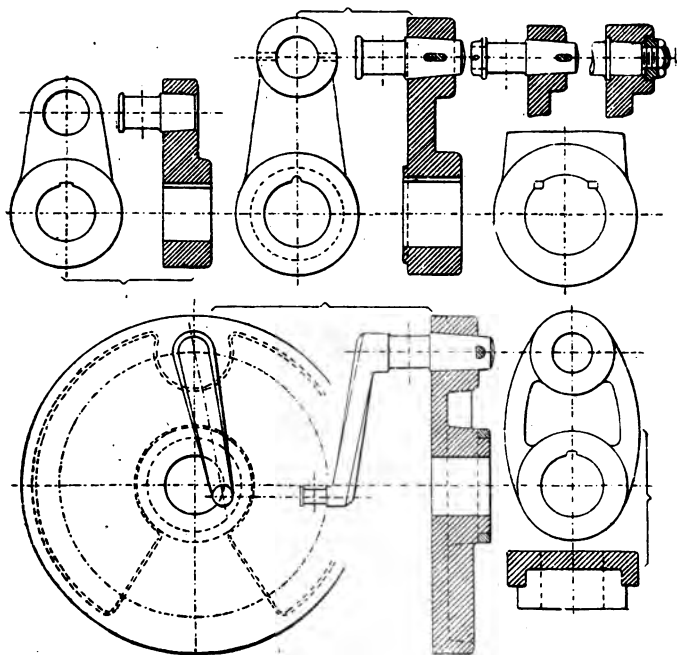


Fig. 127—128.

Fig. 129—130.

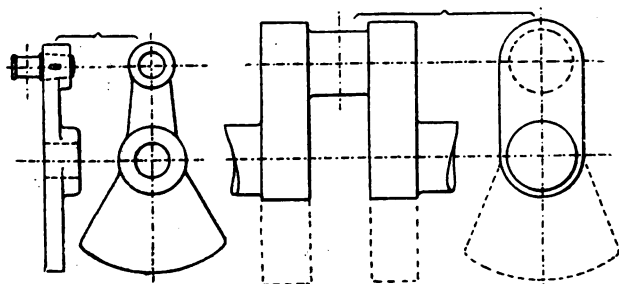


Fig. 131—132.

Fig. 133—134.

Dampfeylinder. Fig. 135—152.

Fig. 135—136, Dampfeylinder für **einfache** Schieber-
steuerung.

Fig. 137—138, Dampfeylinder für **Meyer'sche** Schieber-
steuerung.

Fig. 139—140, Dampfeylinder für **Rider-Schieber**-
steuerung.

Fig. 135—136.

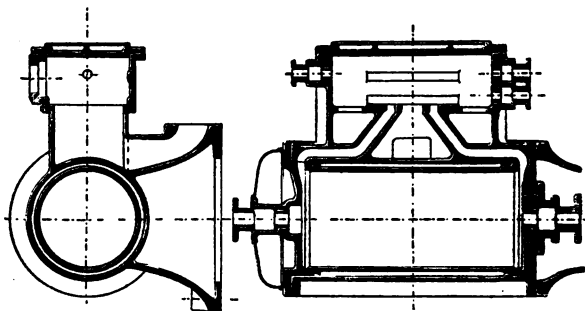
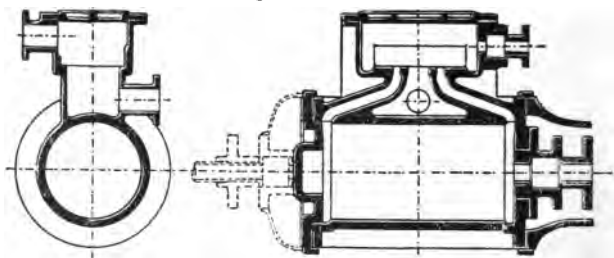


Fig. 137—138.

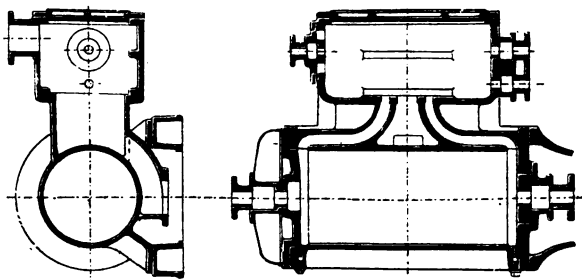


Fig. 139—140.

Fig. 141.

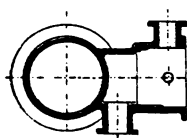


Fig. 142.

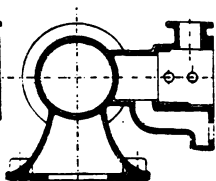


Fig. 143.

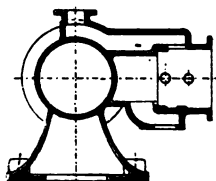


Fig. 144.

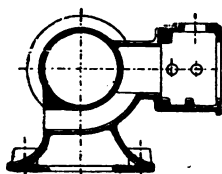


Fig. 145.

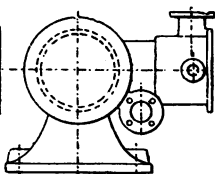


Fig. 146.

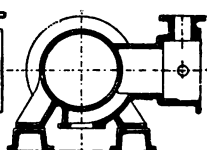


Fig. 147.

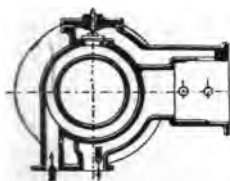


Fig. 148.

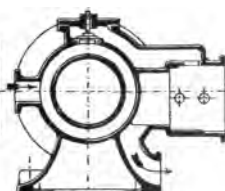


Fig. 149.

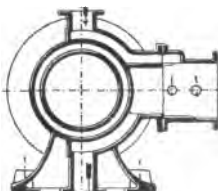


Fig. 150.

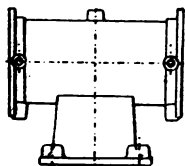


Fig. 151.

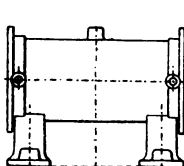
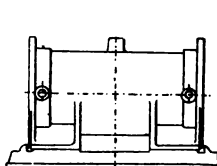


Fig. 152.



Verbindung von Dampfzylinder und Rahmen.

Fig. 153.

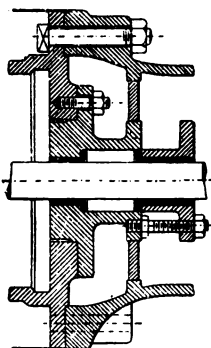


Fig. 154.

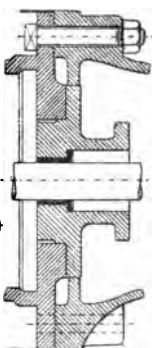


Fig. 155.

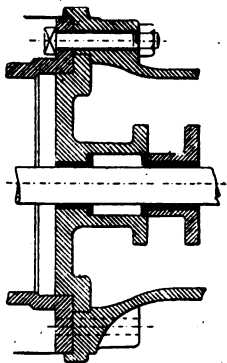


Fig. 156.

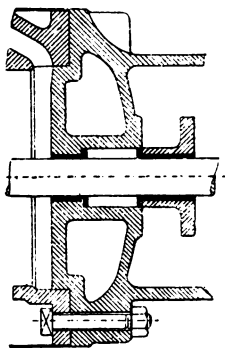


Fig. 157.

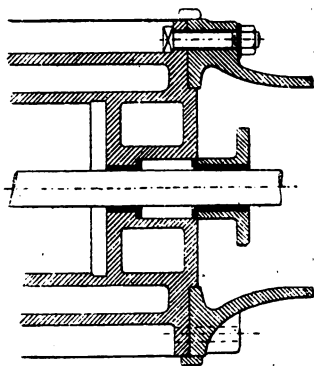


Fig. 158.

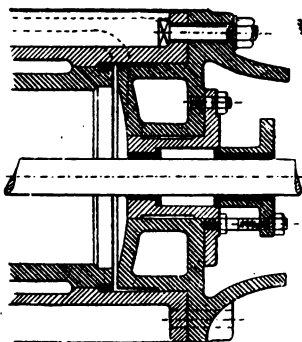


Fig. 159.

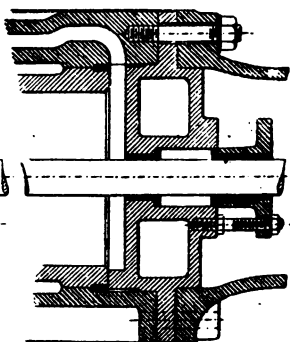
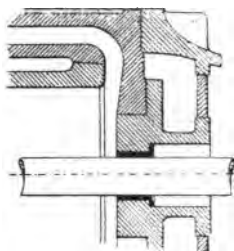
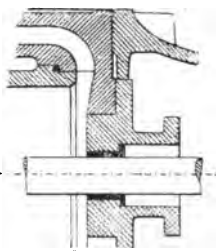


Fig.
160.Fig.
161.

Stopfbüchsen. Fig. 162 – 173.

Fig. 162.

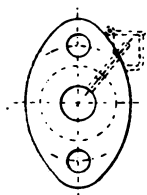


Fig. 163.

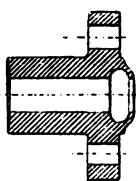


Fig. 164–165.

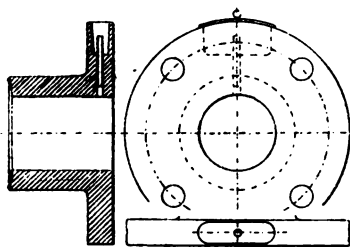
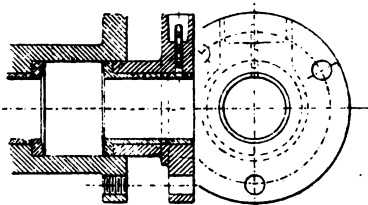


Fig. 166–168.

Fig. 169. Fig. 170.

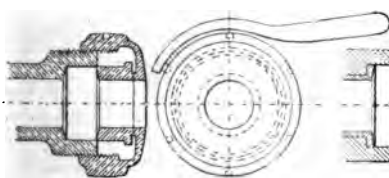
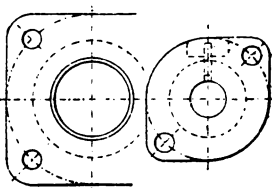


Fig. 171–172.

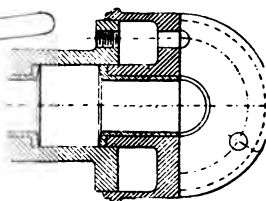


Fig. 173.

Hintere Cylinderdeckel u. Kolbenstangenführungen.

Fig. 174 190.

Fig. 174—175.

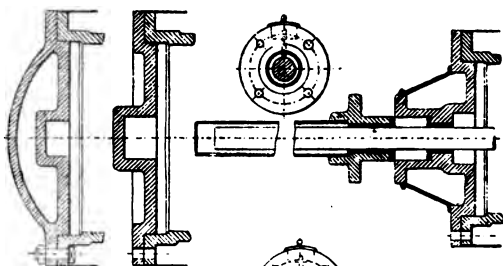


Fig.
176 177.

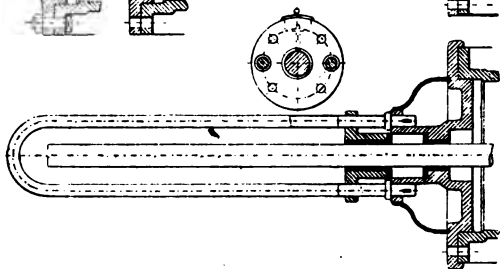


Fig.
178—179.

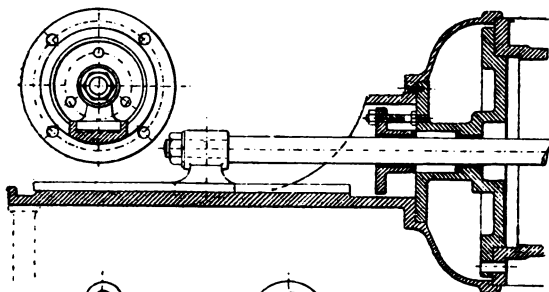


Fig.
180—181.

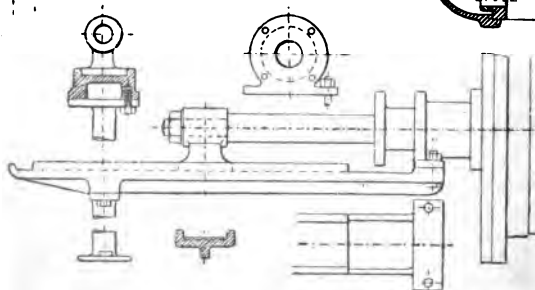


Fig.
182—186.

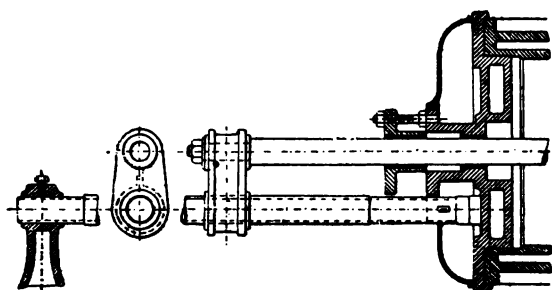


Fig.
187—188.

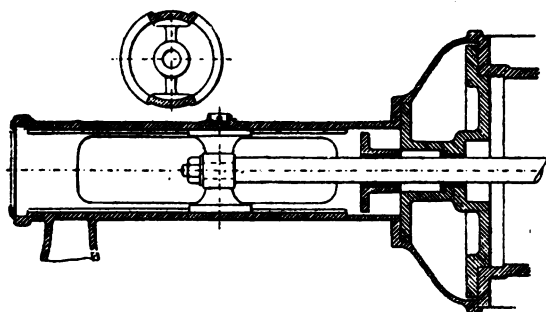


Fig.
189—190.

Schieberkastendeckel. Fig. 191—197.

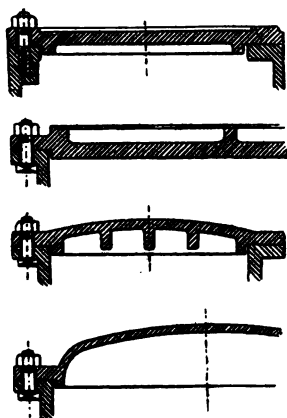
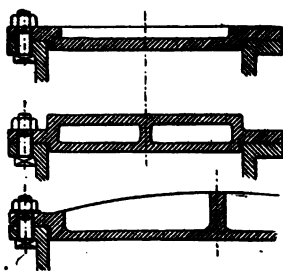


Fig. 191—197.



Dampfkolben. Fig. 198—209.

Fig. 198.

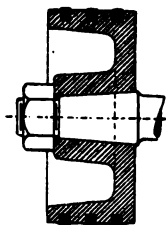


Fig. 199.

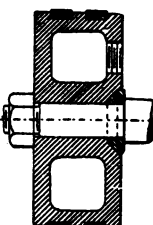


Fig. 200.

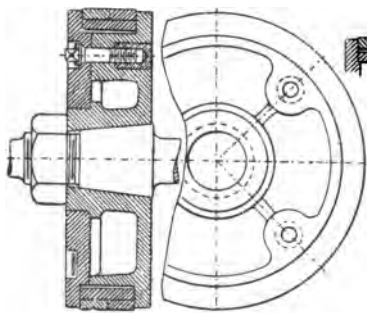
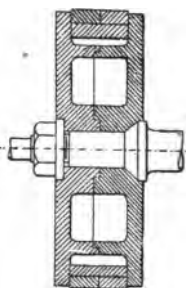


Fig. 201—202.

Fig. 203. Fig. 204.

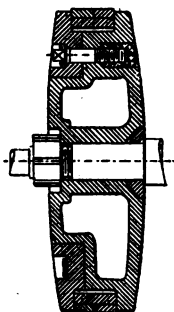
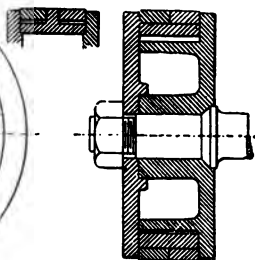


Fig. 205.

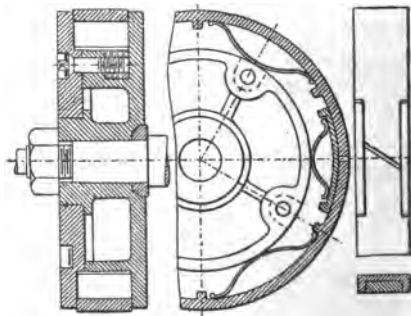


Fig. 206—209.

Kolbenringe. Fig. 210—221.

Fig. 210—214.

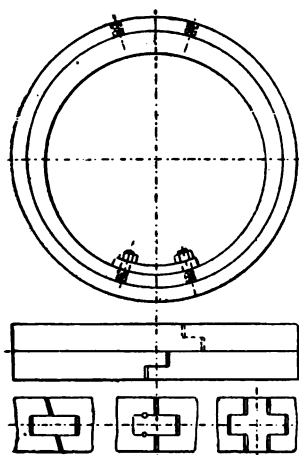


Fig. 215—216.

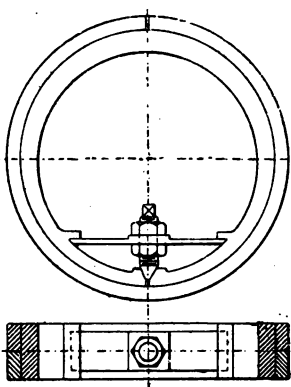


Fig. 217. Cremer's selbstspannender Kolbenliderungsring in Spiralform mit parallelen Kopf-
flächen.

Fig. 217.



Fig. 218—219.

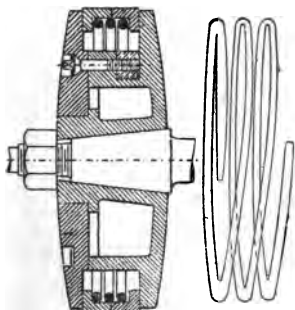
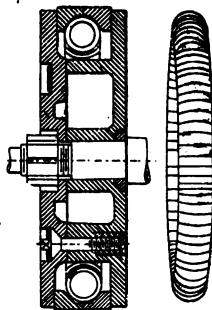


Fig. 220—221.



Schieber. Fig. 222—242.

Fig. 222—231 einfache Schiebersteuerung.

Fig. 232—234 Trick'scher Kanalschieber, hat doppelte Dampfeströmung; Kanalweite $a = 2c + d$, Excentricität $r = e + 2c$, eignet sich besonders für Maschinen mit hoher Kolbengeschwindigkeit.

Fig. 222—223.

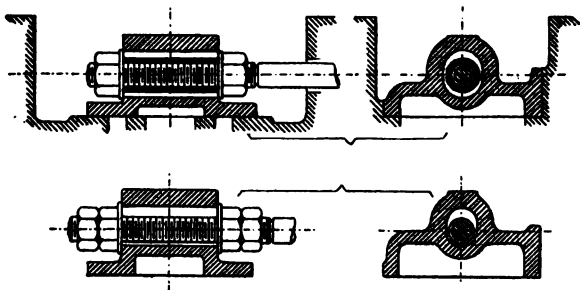


Fig. 224—225.

Fig. 226—227.

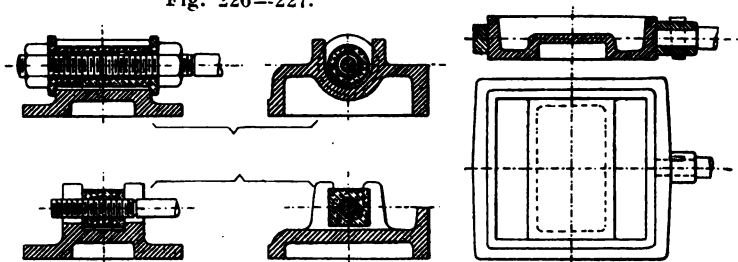


Fig. 228—229.

Fig. 230—231.



Fig. 232—234.

Fig. 235—236, Steuerung mit fixer Expansion.

Fig. 237—238, Meyer'sche Steuerung mit veränderlicher Expansion, gewöhnlich während des Ganges von Hand verstellbar.

Fig. 239—240 geschlossener, Fig. 241—242 offener Rider-Schieber werden vom Regulator beeinflusst.

Fig. 235—236.

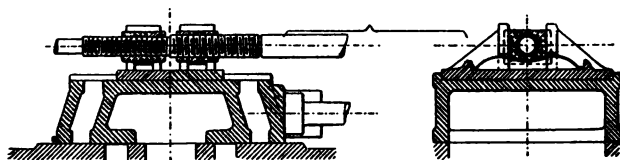
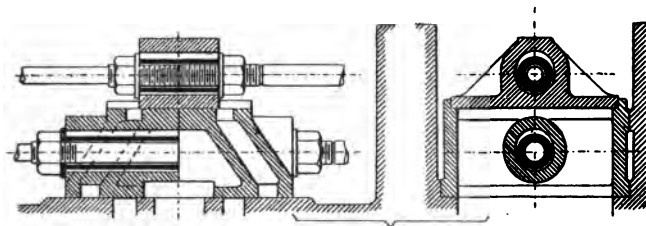


Fig. 237—238.

Fig. 239—240.

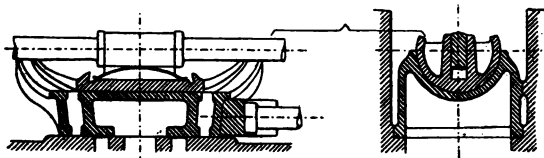
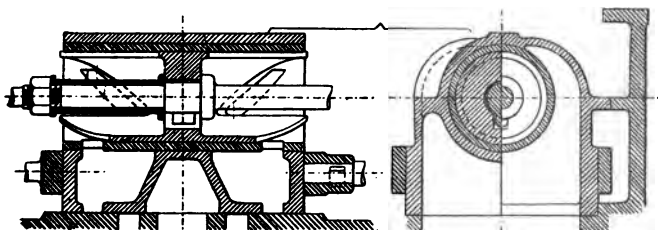


Fig. 241—242.

Geteilte Schieber. Fig. 243—246.

Zum Verkleinern der schädlichen Räume wird der halbierte oder geteilte Schieber angewandt.

Fig. 243 Kanalschieber, a Einströmkanäle, a_0 Ausströmkanal für beide Cylinderseiten.

Fig. 244, geteilter Muschelschieber, gemeinschaftlicher Dampfaustritt bei A.

Fig. 243.

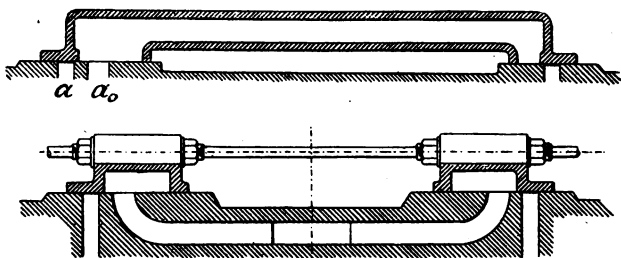


Fig. 244.

Fig. 245, geteilter Meyer'scher Schieber.

Fig. 246, „ offener Rider-Schieber.

Fig. 245.

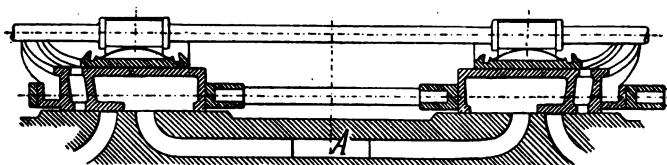
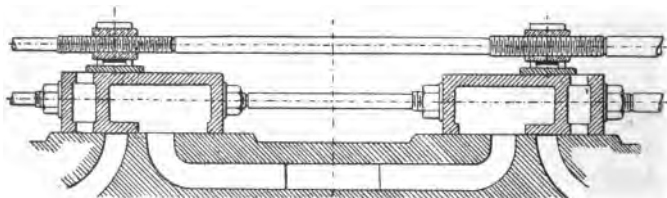


Fig. 246.

Der **Penn'sche Muschelschieber**, Fig. 247—248, hat für jede Cylindersseite 2 Dampfkanäle von halber Weite des berechneten, die Excentrizität ist also

$$r = 0,5a + e$$

die äussere Überdeckung e und das lineare Voreilen braucht ebenfalls nur halb so gross zu sein als bei gewöhnlichen Verhältnissen.

Die quer durch den Schieber gehenden Kanäle EE lassen den Frischdampf von jeder Seite eintreten, während die mit AA bezeichneten Räume für den Dampfaustritt dienen.

Fig. 247—248.

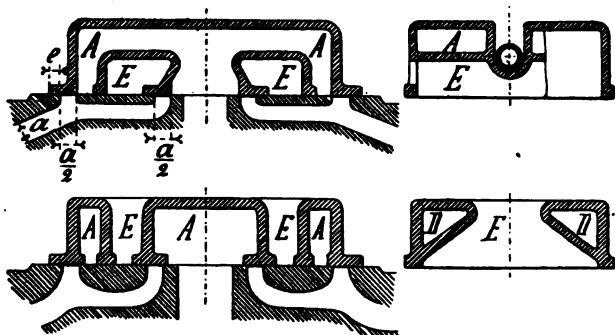
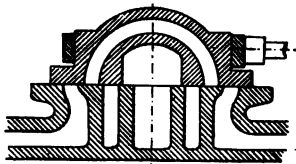


Fig. 249—250.

Der **Gitterschieber** von **Borsig**, Fig. 249—250, ist dem Penn'schen Schieber sehr ähnlich und gestattet die Anwendung von Expansionsplatten auf seinem Rücken. Die Auspuffkanäle AA sind durch die seitlichen Kanäle DD verbunden.

Fig. 251.

Fig. 251, Schieber von **Hick** für **Woolf'sche Maschinen** mit gleichgerichtetem Kolbenlauf.



Schieberstangenführungen und Gelenke.

Fig. 252—273.

Fig. 252.

253.

254.

255—256.

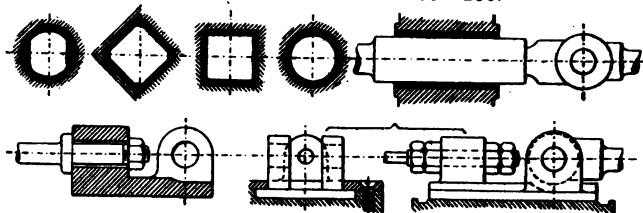


Fig. 257.

Fig. 258—259.

Fig. 260.

Fig. 261—262.

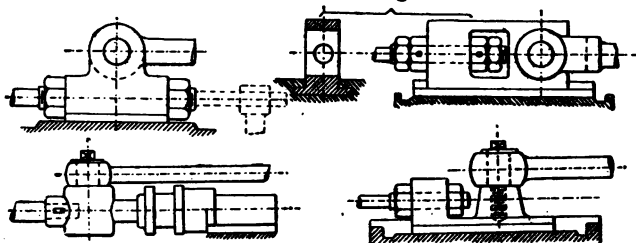


Fig. 263.

Fig. 264.

Fig. 265—266.

Fig. 267—268.

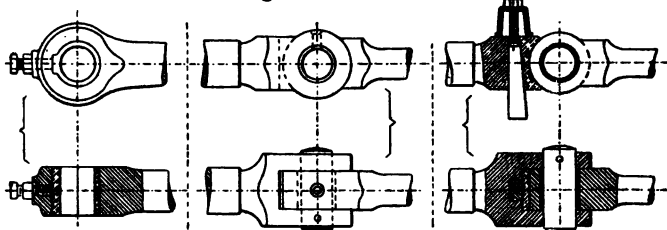


Fig. 269—270.

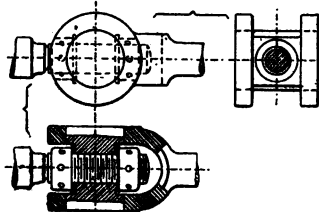


Fig.
271—273.

Stellvorrichtung für Meyer'sche Steuerung.

Fig. 274—293.

Fig. 274—276.

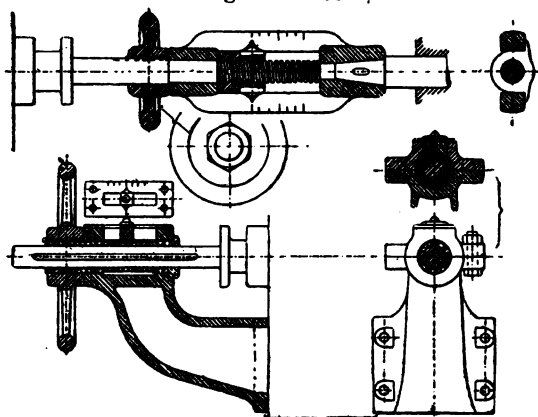


Fig. 277—280.

Fig. 281—282.

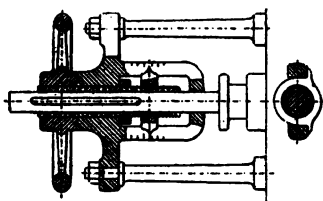
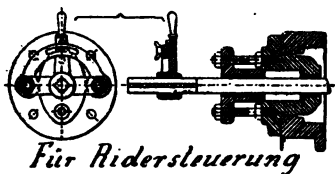
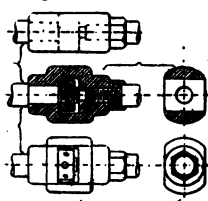


Fig. 285—291.



Für Rädersteuerung

Fig. 283—284.

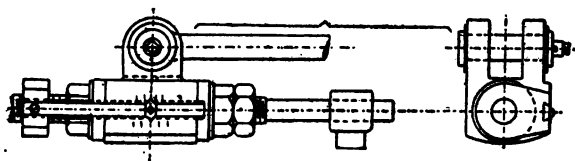


Fig. 292—293.

Fig. 294.

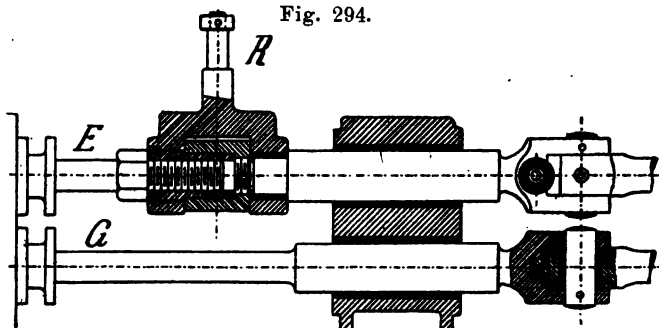


Fig. 295—296.

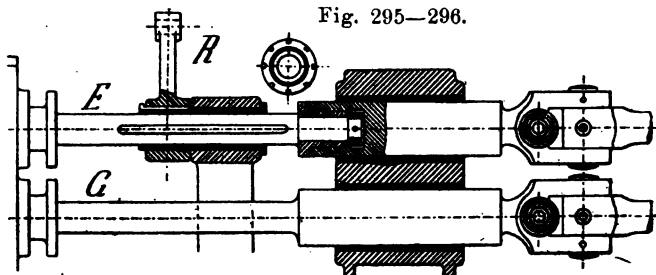


Fig. 297.

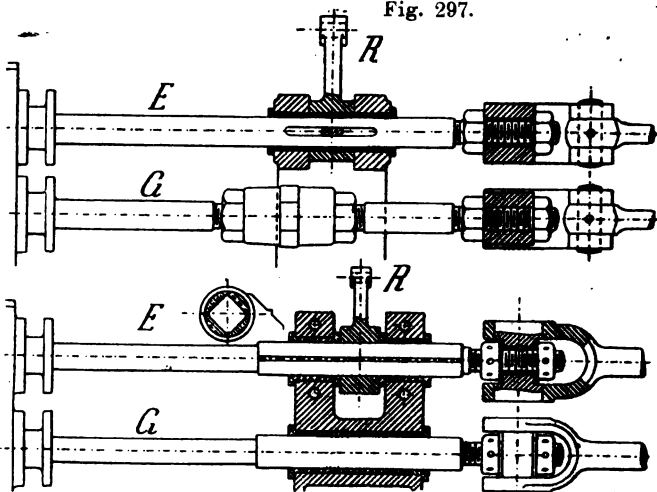


Fig. 298—299.

Einwirkung des Regulators auf Ridersteuerung.

Fig. 294—309.

G Grundschieberstange, *E* Expansionsschieberstange, *R* Hebel zum Angriff der Regulatorstange.

Fig. 300—301.

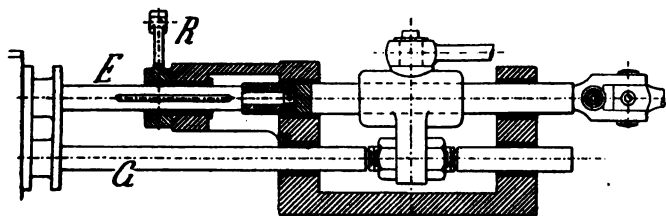
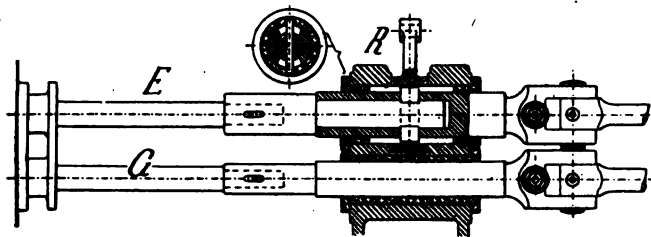


Fig. 302.

Fig. 303.

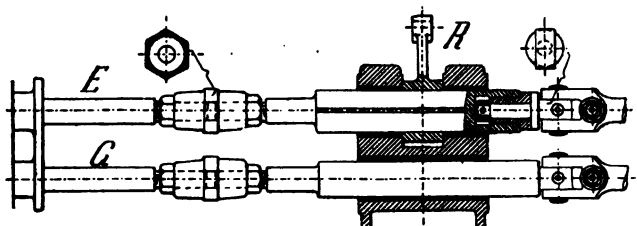
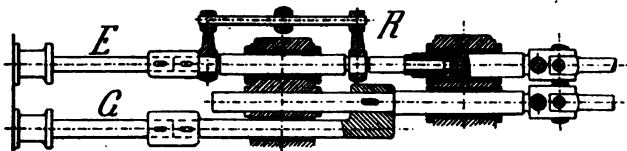
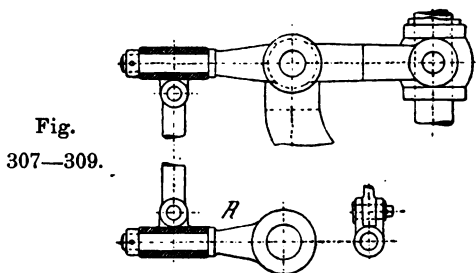


Fig. 304—306.

Der Regulatorhebel *R* in Fig. 294 macht die hin- und hergehende Bewegung der Expansionschieberstange *E* mit, die Verbindung mit dem Regulator geschieht am besten mit dem in Fig. 307 dargestellten **Doppelgelenk**.



Excenter und Excenterbügel. Fig. 310—327.

Fig. 310—311.

Fig. 312—313.

Fig. 314—315.

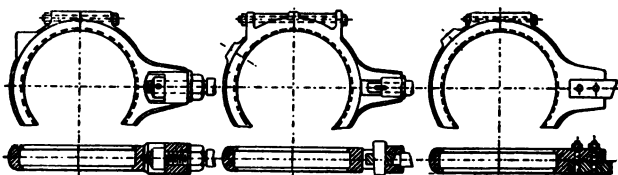
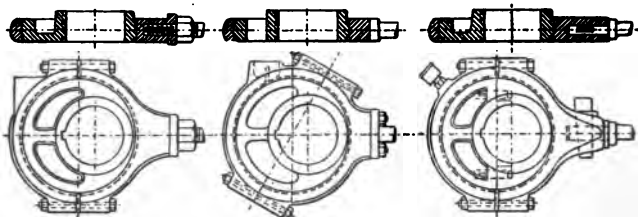


Fig. 316—317.

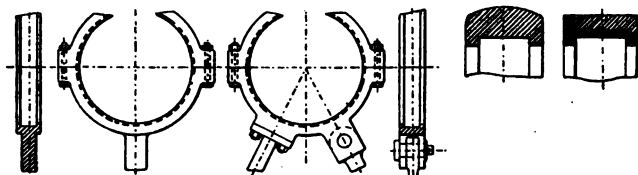
Fig. 318—319.

Fig. 320—321.

Fig. 322—323.

Fig. 324—325.

Fig. 326. 327.



Schwungräder. Fig. 328—331.

Fig. 328.

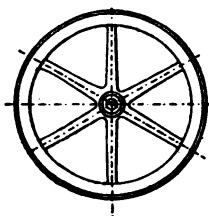


Fig. 329.

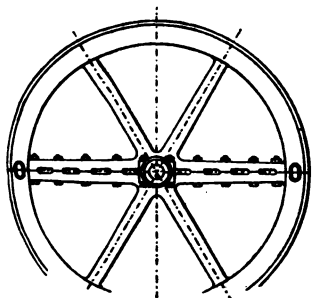
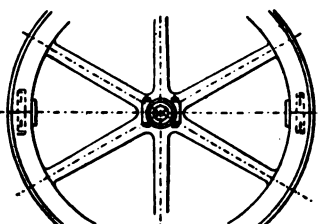


Fig. 330.

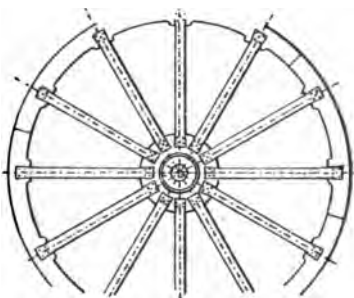
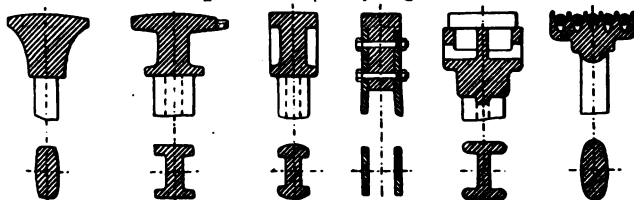
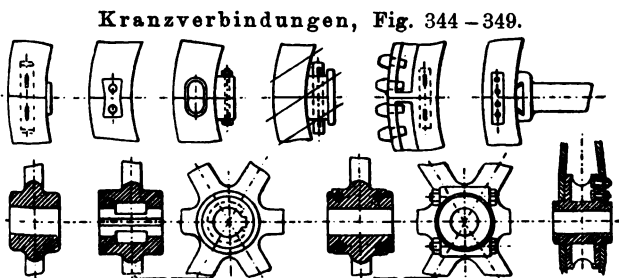


Fig. 331.

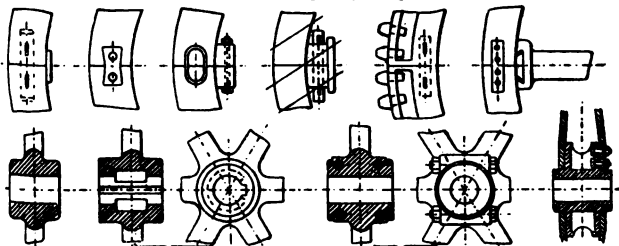
Kranzquerschnitte, Fig. 332—337.



Armquerschnitte, Fig. 338—343.



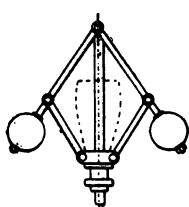
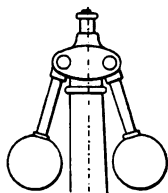
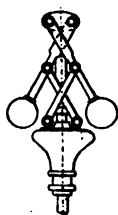
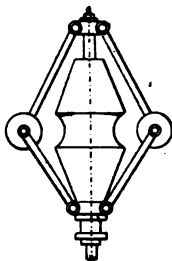
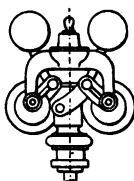
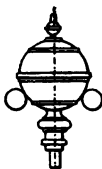
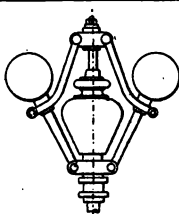
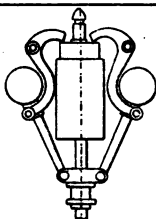
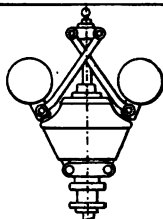
Kranzverbindungen, Fig. 344—349.



Schwungradnaben, Fig. 350—355.

Regulatoren. Fig. 356—370.

Fig. 356—364.

*Watt**Tangy**Buss**Cosinus**Proell**Proell, Feder-Reg.*

Der in Fig. 365—367 dargestellte indirect wirkende Regulator von Ed. König D. R.-P. ist für Meyer'sche Schiebersteuerung bestimmt und im „Prakt. Maschinen-Constructeur“ 1888 Heft 2 näher beschrieben.

Fig. 368—370 zeigt ebenfalls einen indirect wirkenden Regulator in $\frac{1}{12}$ d. nat. Gr. für 400—700 Cylinderdurchmesser.

Fig. 365—366.

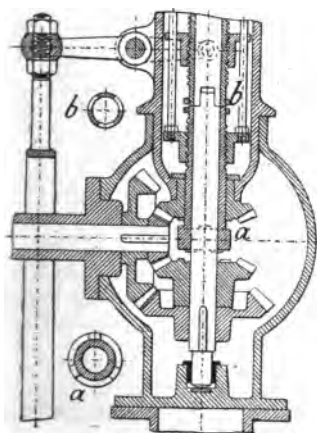
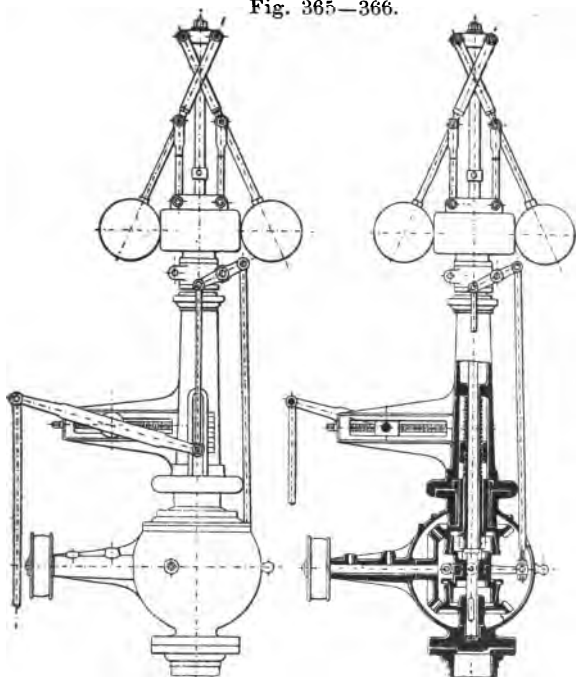


Fig. 368—370.

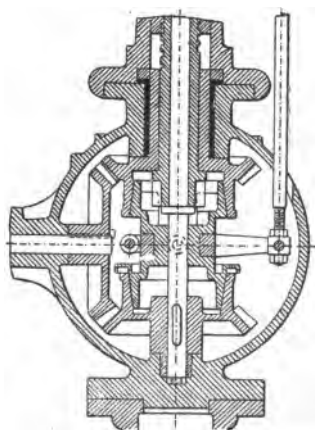


Fig. 367.

Luftpumpen - Condensatoren.

Fig. 371—383.

Fig. 371—372.

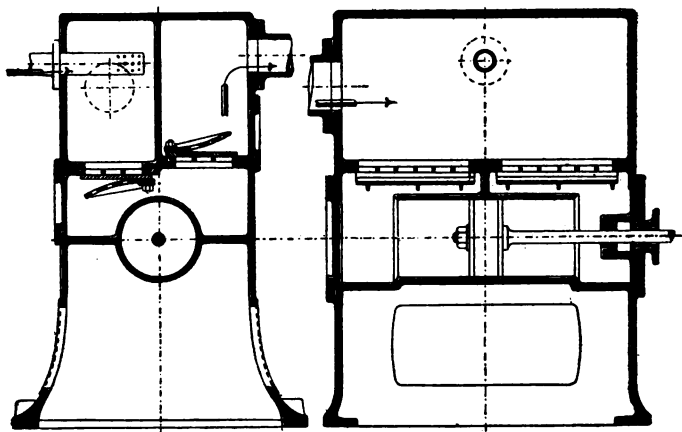


Fig. 373—374.

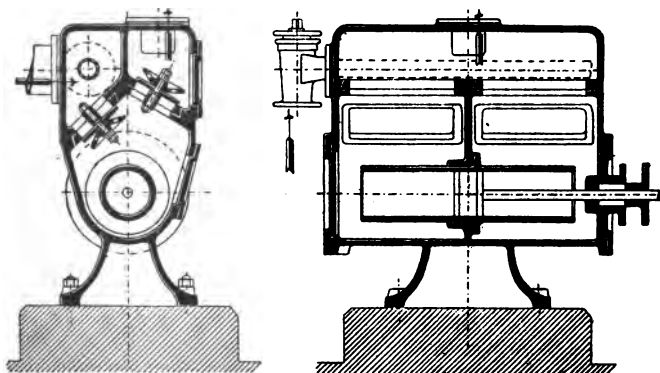


Fig. 373—374 (Prinz-Rudolph-Hütte, Dülmen).

Fig. 375—376.

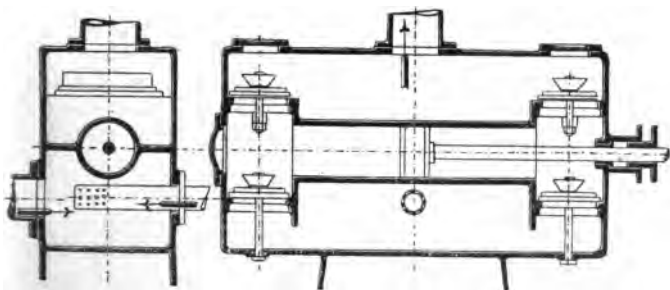
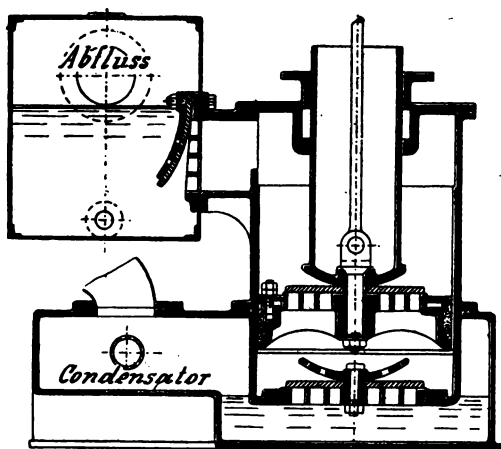
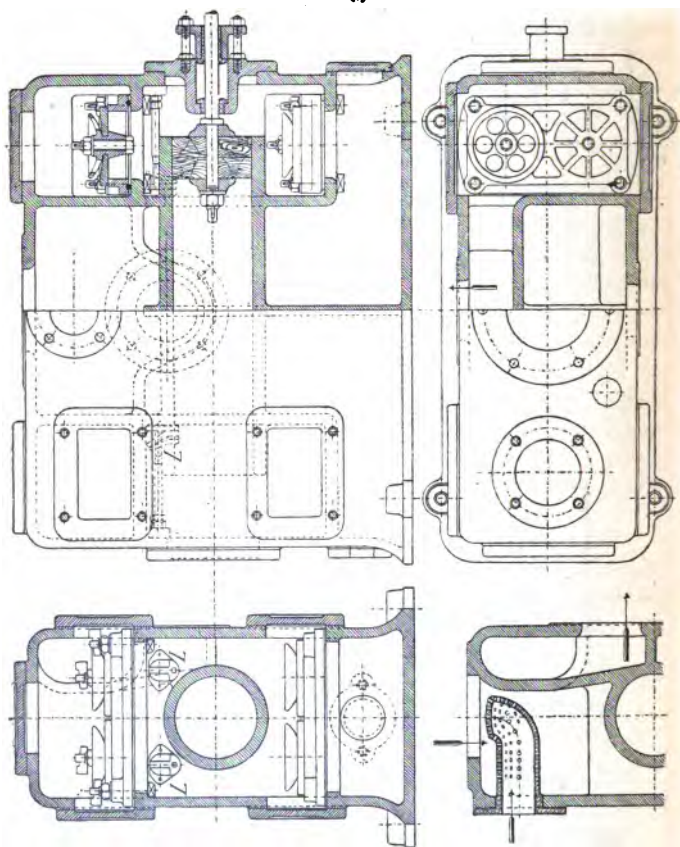


Fig. 377.



Der Luftpumpen-Condensator, Fig. 377, wird für Schiffsmaschinen sehr häufig angewandt.

Fig.
378—381.



Pat. Horn.

Luftpumpen-Condensator. Fig. 378—381.

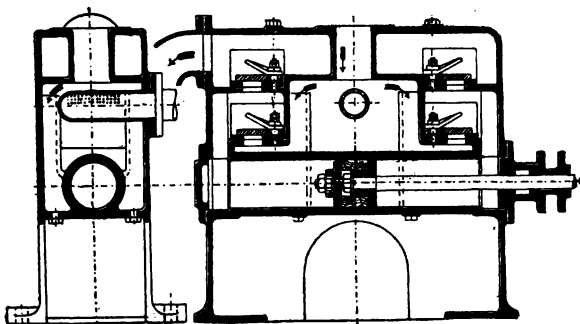
Pat. Horn, Maschinenfabrik G. Brinkmann & Co., Witten.

In Fig. 378—381 steht der Kolben rechts und beginnt seinen Lauf nach links. In diesem Moment ist der Raum zwischen Saugventil, Druckventil und Kolben voll Wasser. Beim Gange des Kolbens sinkt, während das Druckventil unter dem Atmosphärendruck fest geschlossen bleibt, der Wasserspiegel und bildet innerhalb des Druckventiles ein Vacuum; ist das Wasser so weit gesunken, dass die kleinen Luftventile von ihm nicht mehr ganz berührt werden, so tritt infolge der im Vacuumraum herrschenden grösseren Spannung sofort Luft durch die Luftventile in den Kolbenraum, ohne die Wassersaugventile zu passieren, zu gleicher Zeit geht das Wasser aus dem Vacuumraum in den Kolbenraum durch die sog. Saugventile und zwar nach dem Gesetz der communicirenden Röhren, weil beide betreffenden Räume sofort unter gleichem Druck stehen, ein Ansaugen findet also nicht mehr statt.

Wasser und Luft werden also durch verschiedene Ventile, nicht durch ein und dasselbe entfernt, die Luft tritt beim Anfang des Kolbenhubes, nicht gegen Ende desselben aus dem Vacuumraum in den Kolbenraum, die Saugventile übernehmen nur die Funktion von Communications-Ventilen.

Fig. 382—383, Condensator von Ed. König, D. R.-P. Nr. 30782. Der König'sche Condensator ist dem Horn'schen ähnlich, hier muss jedoch auch die Luft die Wasserventile passieren.

Fig.
382—383.



Schaltwerk. Fig. 384—389.

Fig. 384—387, einfach wirkendes Schaltwerk.

Fig. 388—389, doppelt wirkendes Schaltwerk.

Fig. 384—387.

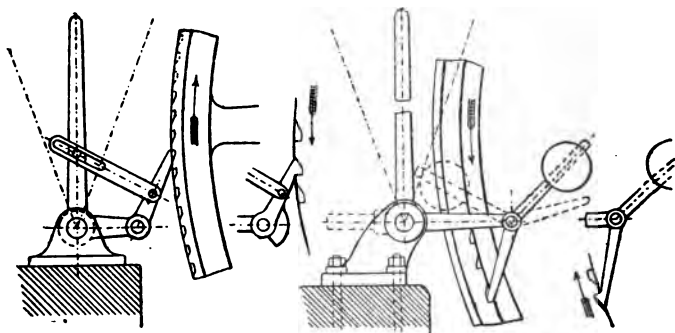
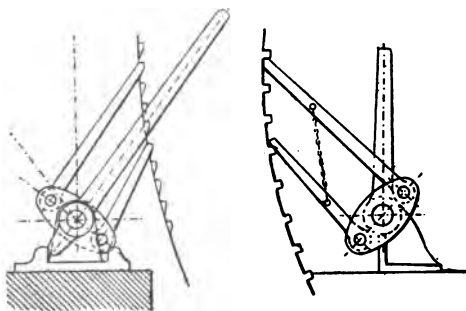


Fig. 388—389.



Abschnitt III.

Normalien der Dampfmaschinen

von 200 bis 1000 Kolbenhub.

	Seite
Fundamentrahmen	54—58
Rahmenfüsse	59
Kurbelwellenlager	60—63
Vorderer Hinterer Rahmenfuss	63
Kreuzköpfe	64—65
Kreuzkopf bolzen	66
Verschiedenes	67
Kurbeln	68—69
Treibstangen	70—72
Kurbelwellen	73
Dampfeylinder	74—78
Fuss des Dampfeylinders	79
Indicatornocken	79
Schieberkasten und Deckel	80—83
Schieberspiegel	83
Hinterer Cylinderdeckel	84—85
Vorderer Cylinderdeckel	86
Kolben	87—89
Kolbenringe	90—91
Kolbenstangen	92—93
Einfache Schiebersteuerung A e	95—99
Doppelschieber-Steuerung o C	100—111
" " m C	113—123
Fortsetzung der Normalien	125—148

Die Maasse in den Tabellen sind mm und bedeutet *H* den Kolbenhub der Maschine, *D* den Durchmesser des Dampfeylinders.

Vor Benutzung der Normalien beachte man Abschnitt V „**Constructionsregeln**“ hauptsächlich zur Feststellung der Dimensionen für das Kurbelwellenlager, den Kurbelzapfen und Kreuzkopfbolzen, ebenso Abschnitt VI „**Steuerungen**“ und Abschnitt VIII „**Masseneinwirkung**“.

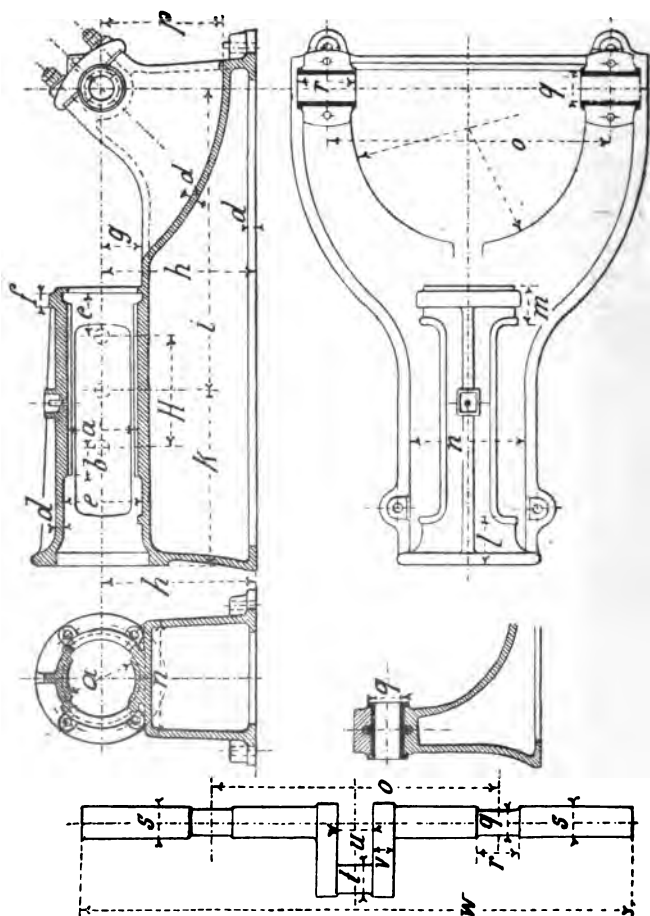


Fig.

390-394.

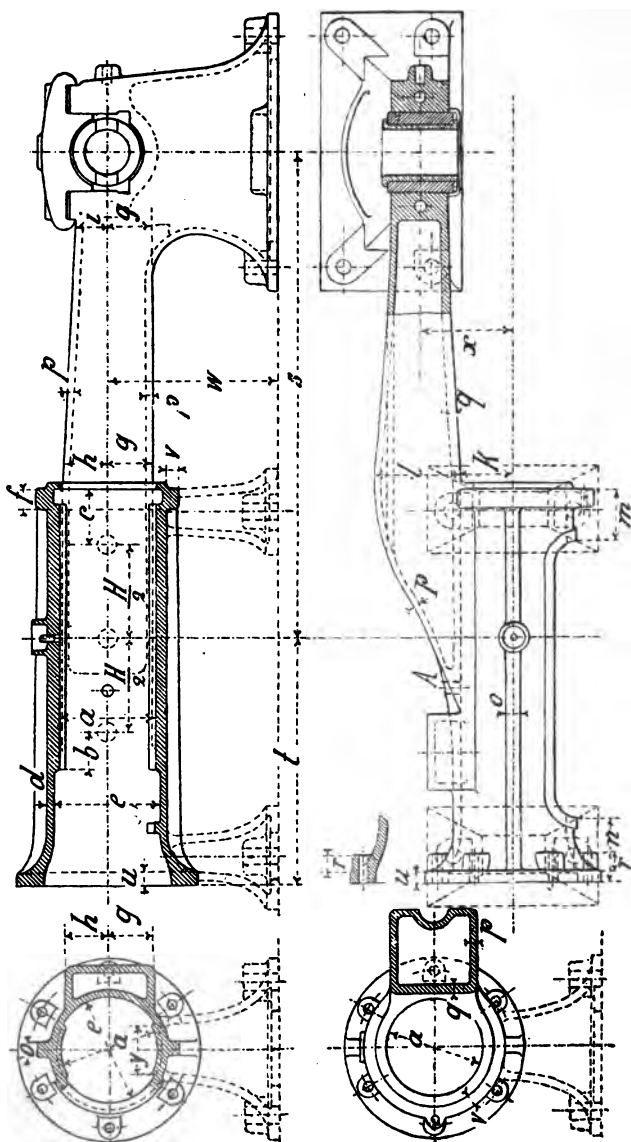
Rahmen und Kurbelwelle für kleinere Maschinen. Fig. 390—394.

Tabelle 23.

Maschine.	R a h m e n.															Lager.		Kurbelwelle.					
	a	b	c	d	e	f	g	h	i	k	l	m	n	o	p	q	r	s	t	u	v	w	
100																							
200	150	50	80	13	165	35	85	300	550	370	100	90	250	550	235	65	130	75	70	80	50	1200	
300	200	190	75	110	15	210	40	110	400	800	470	120	100	300	750	310	75	150	85	80	90	60	1450

Dieser Rahmen wird für liegende oder Wand-Dampfmaschinen bis zu 350 Kolbenhub ausgeführt. Zur Rundführung ist der Kreuzkopf Fig. 429—431 passend. Die Kurbelwelle ist auf beiden Seiten so lang, dass das Schwungrad rechts oder links aufgekehrt werden kann.

Fig. 395—399.



Der Rahmen. Fig. 395—399. Tabelle 24.

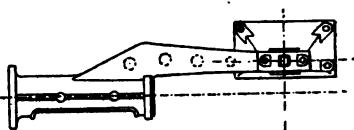
Maschine.																										
H	D	a	b	c	d	e	f	g	h	i	k	l	m	n	o	p	q	r	s	t	u	v	w	x	y	
400	250	220	90	120	15	240	50	100	90	65	120	185	125	140	30	18	22	40	1050	570	30	22	370	215	110	
500	300	260	105	142	17	280	55	120	110	78	140	220	140	165	35	19	23	45	1280	670	33	28	450	240	125	
600	350	300	120	162	18	325	60	140	130	90	160	250	160	190	40	20	25	50	1530	750	36	35	500	280	155	
700	400	340	135	184	20	365	65	160	150	102	180	290	175	205	45	21	26	55	1780	839	40	40	550	320	180	
800	450	380	150	200	21	410	70	180	170	115	200	320	195	220	50	22	27	60	2000	921	43	45	600	360	200	
900	500	430	160	220	22	460	75	200	185	128	230	360	210	240	55	23	28	70	2250	1003	46	52	650	400	220	
1000	550	480	170	240	23	510	80	220	200	140	250	390	230	260	60	24	30	80	2500	1115	50	57	700	440	240	

A Öffnung ca. 30 Φ zum Herausschlagen des Kreuzkopfkeiles, Fig. 399.

Normalien des ganz aufliegenden Rahmen mit Rundführung s. Abschnitt V, „Constructionsregeln“.

In Fig. 400 ist die Verbindung zwischen Rundführung und Kurbelwellenlager geradlinig begrenzt, die Herstellung des Modells ist dadurch etwas einfacher, die punktierten Kreise deuten die Öffnungen zum Herausholen des Lehmkernes nach dem Giessen an.

Fig. 400.



Das Fenster für den Kreuzkopf ist mit einer Parabel von 1:3 Axenverhältnis zu begrenzen, Fig. 401—403; die äussere Umfassung der Öffnung wird nach A oder B ausgeführt, in ersterem Falle ist die Fläche (15—30 breit) zu bearbeiten.

Fig. 401—403.

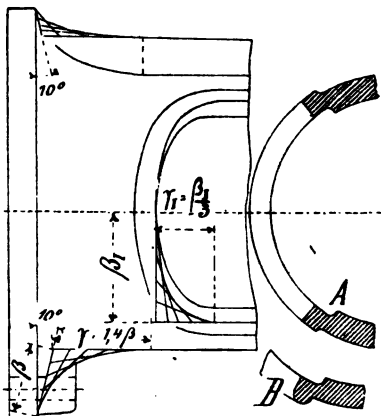


Fig. 401 zeigt ferner den Anschluss der Rundführung an den Flansch mittelst Parabel.

Dem sehr häufig ausgeführten Rahmen Fig. 404 ist der in Fig. 405 dargestellte vorzuziehen.

Fig. 404.

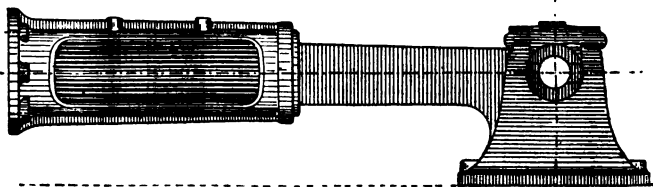
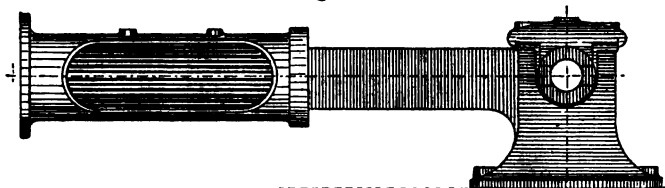


Fig. 405.

Fig. 406—407.

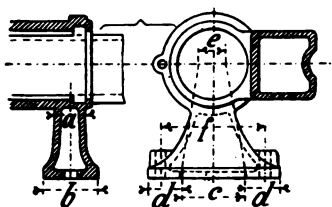
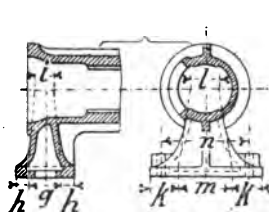


Fig. 408—409.

**Rahmenfüsse.** Fig. 406—409.**Tabelle 25.**

Maschine.		Mittlerer Rahmenfuss. Fig. 406—407.						Hinterer Rahmenfuss. Fig. 408—409.						
<i>H</i>	<i>D</i>	<i>a</i>	<i>b</i>	<i>c</i>	<i>d</i>	<i>e</i>	<i>f</i>	<i>g</i>	<i>h</i>	<i>i</i>	<i>k</i>	<i>l</i>	<i>m</i>	<i>n</i>
400	250	—	—	—	—	—	—	150	60	110	140	120	200	380
500	300	—	—	—	—	—	—	170	65	130	155	145	240	430
600	350	—	—	—	—	—	—	190	70	160	170	170	280	490
700	400	160	245	300	180	160	520	—	—	—	—	—	—	—
800	450	170	260	320	190	170	560	—	—	—	—	—	—	—
900	500	180	275	340	200	180	580	—	—	—	—	—	—	—
1000	550	190	290	360	220	190	640	—	—	—	—	—	—	—

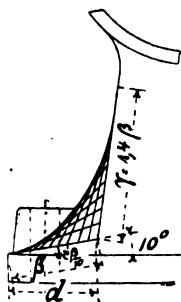


Fig. 410.

Kleinere Maschinen, etwa bis 600 Hub, werden häufig mit freitragendem Dampfeylinder ausgeführt (Fig. 2), in diesem Falle erhält der Rahmen den in Fig. 408—409 dargestellten hinteren Fuss.

Von 700 Hub aufwärts empfiehlt es sich, den Rahmen in der Mitte zu unterstützen (Fig. 4), die seitliche Begrenzung ist mit Parabel, Fig. 410, durchzuführen.

Fig. 411—415.

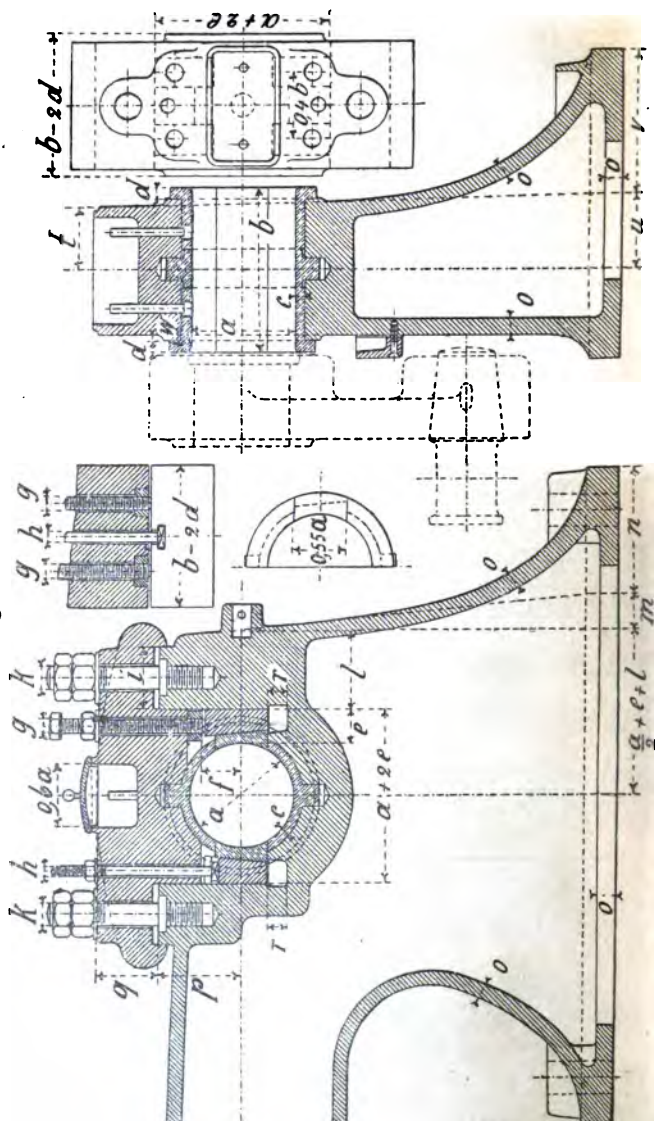


Tabelle 26.

Maschine.		Lagerschalen.									Deckel-schrauben.													
H	D	a	b	c	d	e	f	g	h	i	Zahl	k	l	m	n	o	p	q	r	t	u	v	w	
400	250	105	170	10	12	35	40	16	13	60	2	26	75	38	125	20	80	65	20	64	75	150	5	
500	300	120	200	12	14	40	47	16	13	70	2	29	90	45	145	22	95	75	23	76	90	170	5	
600	350	140	220	13	16	45	54	20	13	80	2	32	105	50	165	24	110	85	26	84	100	190	6	
700	400	160	250	14	17	45	61	20	13	90	2	32	120	55	190	26	125	95	30	95	110	210	7	
800	450	175	280	15	18	52	68	23	16	100	4	32	135	60	195	28	140	105	33	110	125	230	8	
900	500	190	310	16	19	55	74	23	16	115	4	36	150	65	210	30	160	115	36	122	140	250	9	
1000	550	210	340	18	20	58	80	23	16	130	4	36	170	70	217	32	175	125	40	135	150	275	10	

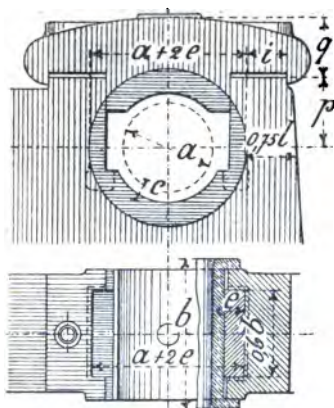


Fig. 416—417.

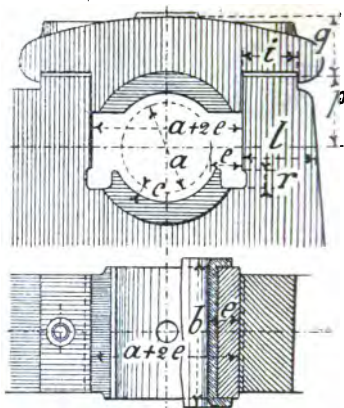


Fig. 418—419.

Es empfiehlt sich, die Construction des Lagerungsrumpfes nach Fig. 416 bis 417 zu wählen, obwohl das Einpassen der Stellkeile etwas schwieriger ist, als bei der Ausführung nach Fig. 418 bis 419. Fig. 420 zeigt das sehr beliebte gusseiserne Lager mit Weissgussfutter. Lagerdeckel von leichtem Gewicht sind in Fig. 421 und 423 angedeutet, ebenso andere Anordnung der Stellkeile für die seitlichen Lagerschalen.

Die äussere Begrenzung des Rahmenfusses mit Parabel siehe Fig. 424—425.

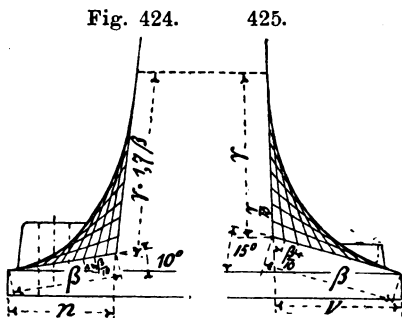


Fig. 424.

425.

Fig. 420.

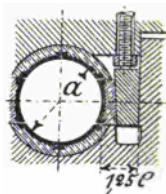


Fig. 421.

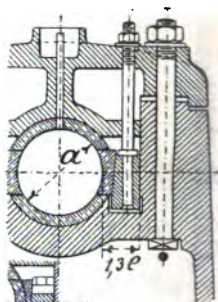


Fig. 422.

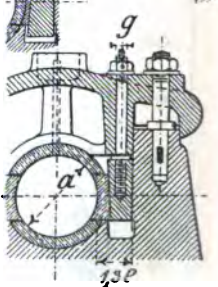


Fig. 423.

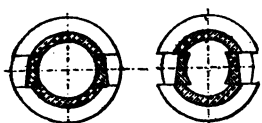


Fig. 426.

427.

Die Bearbeitung der Lagerschalen.

Nachdem die einzelnen Schalen-
teile gehobelt und zusammengelötet
sind, werden dieselben ausgebohrt und
der Kragen abgedreht, Fig. 426, ausein-
ander genommen, Fig. 427, zusamen-
gelötet, aussen gedreht, und in den Lagerrumpf eingepasst.

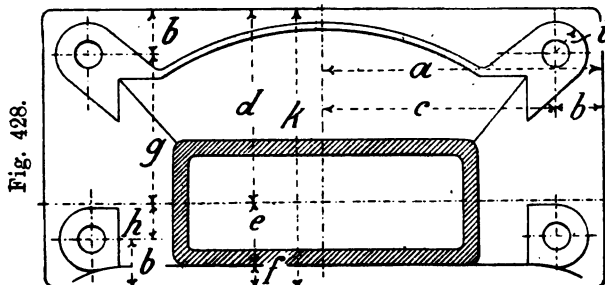


Fig. 428.

Vorderer Rahmenfuss. Fig. 428.

(Fuss des Kurbelwellenlagers, Fig. 411—415.)

Tabelle 27.

Maschine.											
H	D	a	b	c	d	e	f	g	h	i	k
400	250	325	50	275	225	68	27	175	45	40	320
500	300	380	60	320	260	81	29	200	50	45	370
600	350	435	65	370	290	88	37	225	60	50	415
700	400	490	70	420	320	101	44	250	75	55	465
800	450	530	70	460	355	114	46	285	90	55	515
900	500	575	80	495	390	127	58	310	105	60	575
1000	550	620	80	540	420	140	60	345	120	60	630

Fig. 429—431.

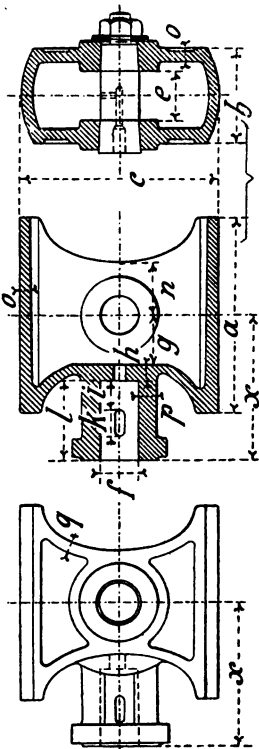


Fig. 432—433.

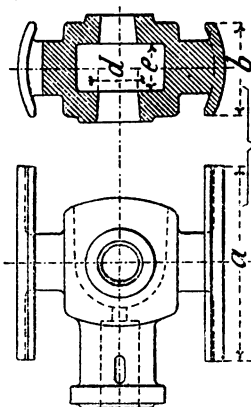


Fig. 434—436.

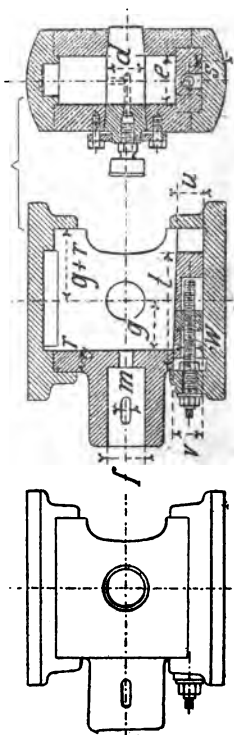
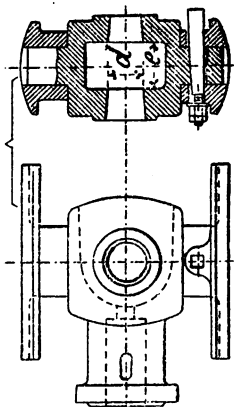


Fig. 437—438.



Kreuzköpfe zum Rahmen. Fig. 429—438.

Tabelle 28.

Maschine.		Gusseisen. Fig. 429—433.																Schmiedeeisen mit gusseisernem Gleitstück. Fig. 434—438.							
H	D	a	b	c	d	e	f	g	h	i	k	l	m	n	o	p	q	r	s	t	u	v	w	x	
200	150	150	75	150	35	45	26	45	12	21	21	63	8	45	10	13	8	—	—	—	—	—	—	120	
300	200	190	90	190	40	52	34	50	14	24	26	86	10	52	12	17	9	—	—	—	—	—	—	150	
400	250	220	110	220	45	60	40	56	17	30	33	97	12	60	14	20	10	—	—	—	—	—	—	170	
500	300	260	125	260	55	72	48	65	20	33	38	115	14	70	14	24	11	28	28	160	25	36	16	200	
600	350	300	155	300	65	80	53	75	22	36	43	123	16	78	15	27	12	30	32	180	30	42	16	220	
700	400	340	180	340	70	90	58	81	24	40	50	140	17	86	16	29	14	33	36	200	35	48	20	245	
800	450	370	200	380	75	95	62	89	26	43	53	150	18	94	17	31	16	36	40	220	40	54	20	265	
900	500	410	220	430	80	100	68	96	28	46	57	161	19	102	18	34	18	40	44	235	45	60	23	285	
1000	550	440	240	480	90	110	78	106	30	52	64	184	21	110	19	36	20	43	48	250	50	65	23	320	

Fig. 439.

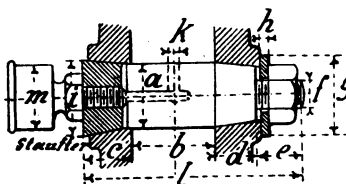
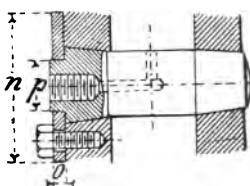


Fig. 440.



Kreuzkopfbolzen. Fig. 439—440.

Tabelle 29.

Maschine.																
<i>H</i>	<i>D</i>	<i>a</i>	<i>b</i>	<i>c</i>	<i>d</i>	<i>e</i>	<i>f</i>	<i>g</i>	<i>h</i>	<i>i</i>	<i>k</i>	<i>l</i>	<i>m</i>	<i>n</i>	<i>o</i>	<i>p</i>
200	150	35	45	30	25	30	16	50	4	42	6	130	20	—	—	—
300	200	40	52	35	30	35	20	58	5	48	6	152	30	—	—	—
400	250	45	60	40	35	35	20	65	5	54	6	170	30	—	—	—
500	300	55	72	45	40	40	23	75	6	70	7	197	40	100	10	40
600	350	65	80	50	45	40	23	85	7	76	7	215	40	115	13	45
700	400	70	90	55	50	45	25	95	8	82	7	240	50	130	15	50
800	450	75	95	60	55	45	27	105	9	89	8	255	50	140	16	55
900	500	80	100	70	65	50	28	115	10	96	8	285	60	150	17	60
1000	550	90	110	80	70	60	32	120	10	106	8	320	60	160	18	70

Ist der Kreuzkopf nicht genügend kräftig, so kann bei Anwendung des Bolzens Fig. 439, durch starkes Anziehen der Mutter das Maass *b* verspannt werden; dieses zu verhindern, dient die Construction Fig. 440.

Verschiedenes. Fig. 441—452.

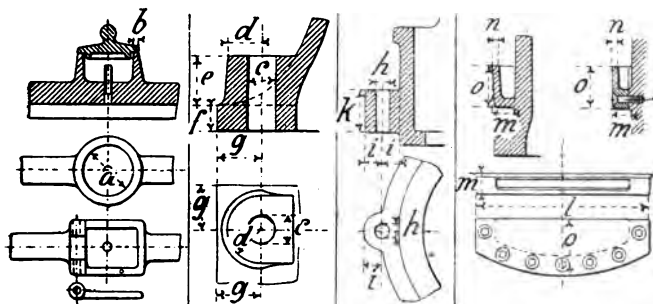
Tabelle 30.

Fig. 441—444.

445—446.

447—448.

449—452.



H	Schmiergefäß der Rundführung. Fig. 441—444.			Nocken der Fundamentanker Fig. 445—446.					Anschluss d. Schutzstange. Fig. 447—448.			Schmierfänger des Kurbellagers. Fig. 449—452.			
	Zahl	a	b	c	d	e	f	g	h	i	k	l	m	n	o
200	1	40	5	28	32	35	25	40	—	—	—	—	—	—	—
300	1	50	6	30	35	40	30	45	—	—	—	—	—	—	—
400	1	60	7	35	40	45	35	50	16	21	50	200	25	6	50
500	1	70	8	40	45	48	40	60	18	23	55	230	25	6	55
600	1	80	9	45	50	50	45	65	20	24	60	260	28	7	60
700	1	90	10	50	55	60	50	70	22	25	65	290	28	7	65
800	2	80	10	52	55	65	55	70	24	26	70	320	30	8	70
900	2	85	12	55	60	70	60	80	25	28	75	350	32	8	75
1000	2	90	12	55	60	75	65	80	26	30	80	380	35	8	80

Fig. 453—454.

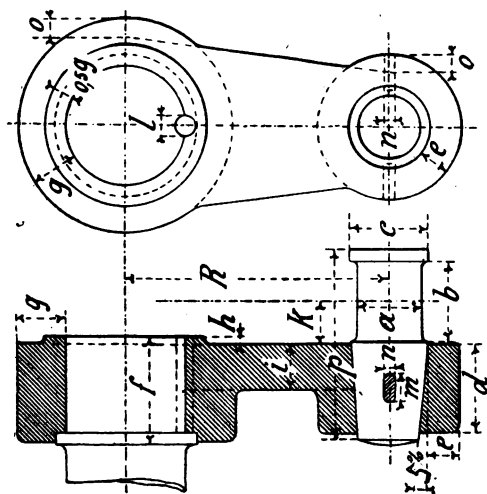
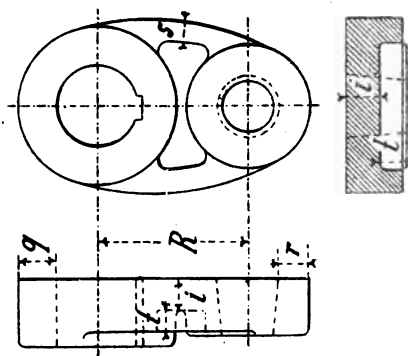


Fig. 455—457.

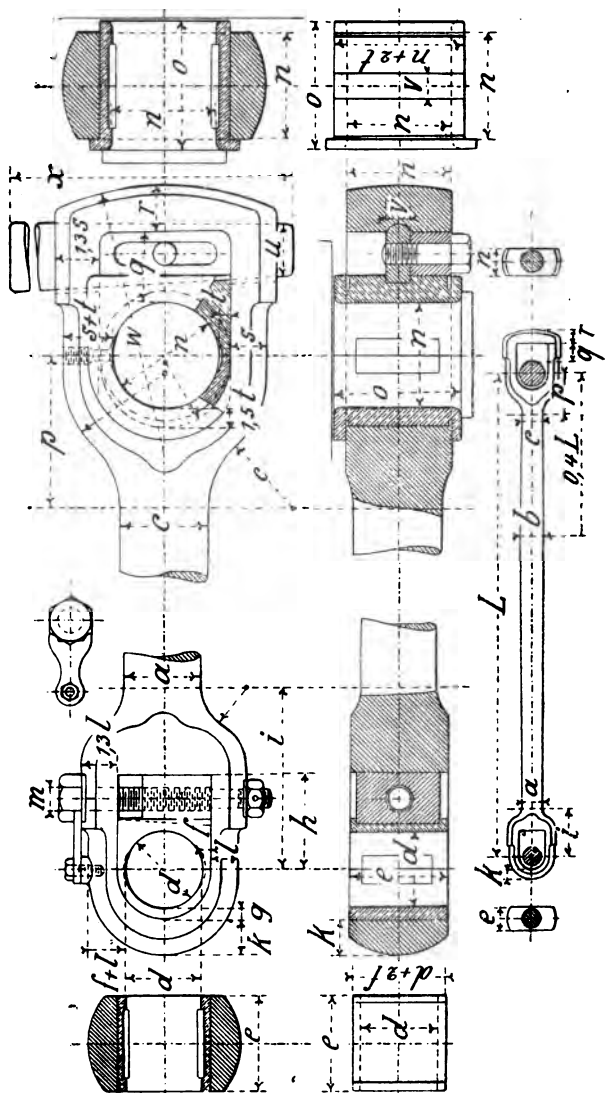


Kurbel und Kurbelzapfen. Fig. 453—457.

Tabelle 31.

Maschine.		Schmiedeeiserne Kurbel. Fig. 453—454.																Gusseisen. Fig. 455—457.			
H	D	R	a	b	c	d	e	f	g	h	i	k	l	m	n	o	p	q	r	s	t
400	250	200	60	75	80	80	25	90	50	—	45	40	20	26	10	20	170	50	40	30	30
500	300	250	70	85	90	100	30	106	55	9	50	43	22	30	11	22	200	58	45	33	35
600	350	300	80	100	100	110	35	128	60	10	55	52	25	34	12	24	230	66	50	36	40
700	400	350	85	105	105	120	40	150	65	10	65	55	28	38	14	26	245	75	55	40	45
800	450	400	95	120	110	130	45	168	70	10	75	62	30	42	16	28	270	—	—	—	—
900	500	450	105	135	125	145	50	187	75	12	85	70	32	45	18	30	300	—	—	—	—
1000	550	500	115	150	135	160	52	206	80	13	100	77	35	50	20	32	330	—	—	—	—

Fig. 458—469.

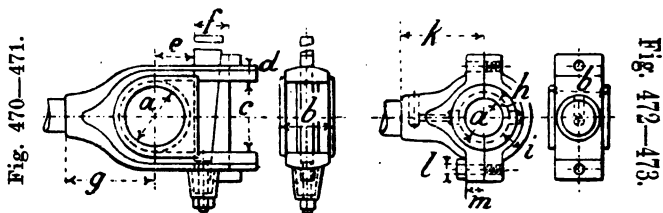


Treibstange. Fig. 458—469.

Tabelle 32.

Maschine.			Schaft.				Kreuzkopfseite.										Kurbelseite.									
H	D	L	a	b	c	d	e	f	g	h	i	k	l	m	n	o	p	q	r	s	t	u	v	w	x	
200	150	550	35	40	37	35	45	4	6	45	90	16	13	10	—	—	—	—	—	—	—	—	—	—	—	
300	200	800	40	46	43	40	52	4	6	52	100	18	14	10	—	—	—	—	—	—	—	—	—	—	—	
400	250	1050	45	55	52	45	60	5	8	60	110	20	16	13	60	75	85	42	28	22	6	32	20	160	190	
500	300	1280	50	65	60	55	72	5	8	70	130	24	19	16	70	85	100	45	32	24	7	34	23	190	220	
600	350	1530	55	73	65	65	80	6	9	80	145	26	20	16	80	100	115	50	35	26	8	36	26	225	250	
700	400	1780	60	80	70	70	90	6	10	85	155	28	21	16	85	105	130	55	38	30	9	38	28	260	280	
800	450	2000	70	90	80	75	95	7	11	90	165	30	22	16	95	120	145	60	40	34	10	41	32	295	310	
900	500	2250	75	95	85	80	100	8	12	95	170	33	24	20	105	135	160	66	42	36	10	45	36	330	340	
1000	550	2500	80	100	90	90	110	8	13	105	180	36	30	20	115	150	175	72	44	38	10	50	40	360	380	

Normalien der Treibstangenköpfe anderer Construction s. Abschnitt V, „Constructionsregeln“.



Treibstangenköpfe

für Maschinen mit gekröpfter Kurbelwelle. Fig. 470—473.

Tabelle 33.

Maschine.		Treibstangenkopf											
		Fig. 470—471.							Fig. 472—473.				
H	D	a	b	c	d	e	f	g	h	i	k	l	m
200	150	70	80	85	20	45	45	110	7,5	28	120	16	30
300	200	80	90	95	22	50	50	120	7,5	30	130	20	35

Die Form des runden Schaftes der Pleiße.

Die stärkste Stelle lege man etwa 0,4 L vom Pleißenzapfen entfernt, teile den Schaft in eine Anzahl gleicher Teile und bestimme zu einer nach beiden Seiten regelmässig verlaufenden Kurve die Durchmesser zu den betreffenden Teilpunkten.

Fig. 474 zeigt den Schaft der Pleiße zu Maschine 250/400.

„ 475 „ „ „ „ „ „ 450/800.

Fig. 474.

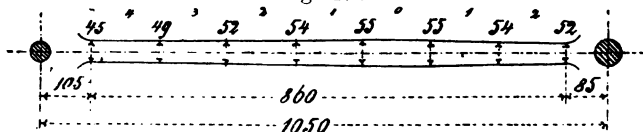


Fig. 475.

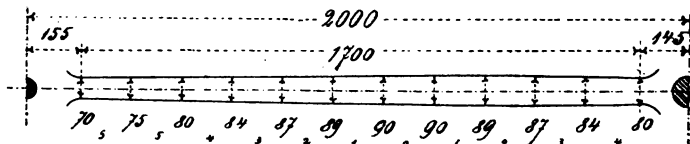
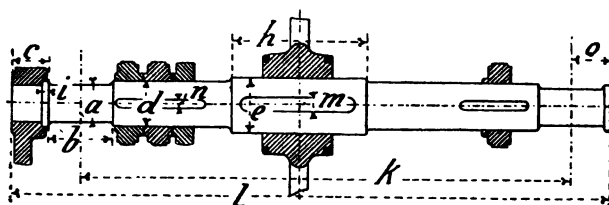


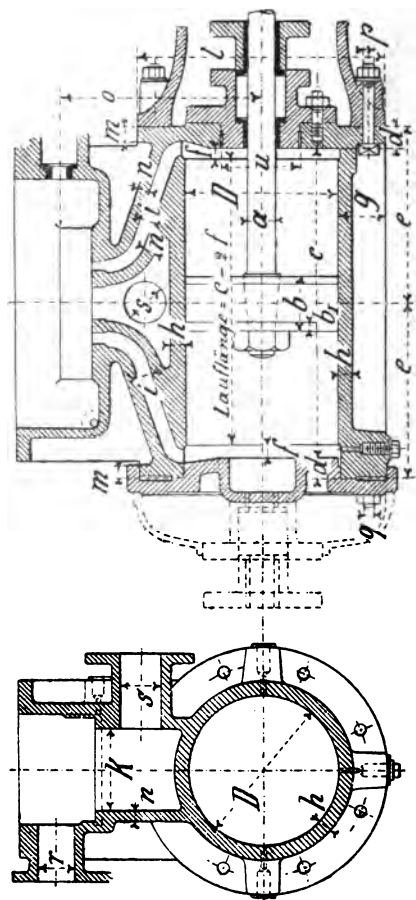
Fig. 476.

**Kurbelwelle.** Fig. 476.**Tabelle 34.**

Maschine.		Kurbel-lager.											
<i>H</i>	<i>D</i>	<i>a</i>	<i>b</i>	<i>c</i>	<i>d</i>	<i>e</i>	<i>h</i>	<i>i</i>	<i>k</i>	<i>l</i>	<i>m</i>	<i>n</i>	<i>o</i>
400	250	105	170	90	125	125	—	5	1300	1572	35	16	97
500	300	120	200	106	140	140	—	6	1450	1774	40	16	118
600	350	140	220	128	165	190	500	8	1600	1968	45	18	130
700	400	160	250	150	185	220	600	10	1750	2172	50	18	147
800	450	175	280	168	200	250	700	12	1900	2370	55	20	162
900	500	190	310	187	220	270	800	13	2100	2622	60	20	180
1000	550	210	340	206	240	290	900	15	2300	2871	65	22	195

Den Sitz des Schwungrades s. unter „Hauptmaasse“,
Abschnitt IV.

Fig. 477—478.

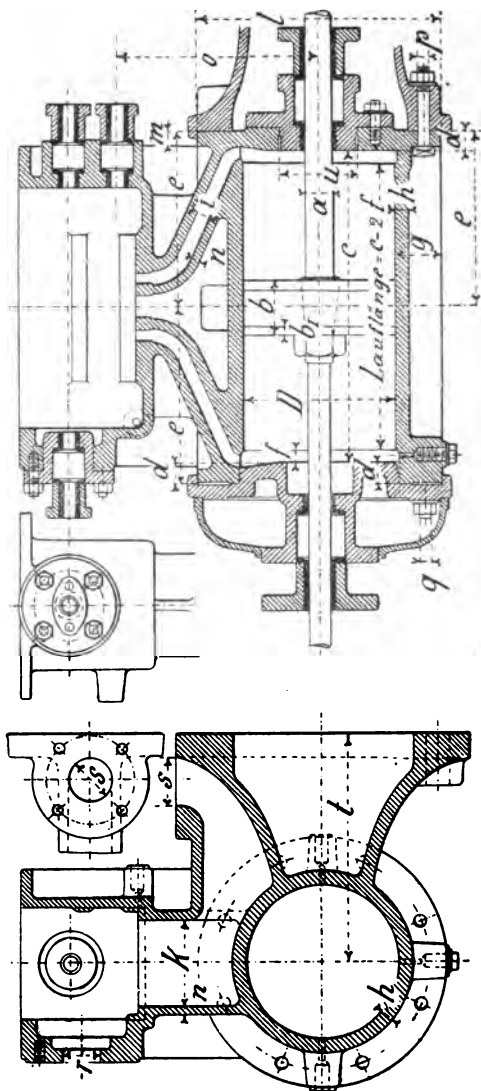


Dampfzylinder, Fig. 477—478, von 150—350 Durchmesser für einfache Schiebersteuerung.

Tabelle 35.

Maschine.		Kolben.				Kanal.						Schrb.				Schrb.							
H	D	a	b	b _r	c	d	e	f	g	h	i	k	l	m	n	o	Zahl	p	Zahl	q	r	s	u
200	150	28	75	12	280	20	160	17	65	20	12	80	280	21	12	—	4	20	6	20	35	45	80
300	200	36	80	12	390	25	220	18	70	20	14	110	340	23	13	—	4	20	6	20	45	55	105
400	250	43	90	14	500	30	280	20	75	22	18	140	400	25	14	330	4	23	8	20	60	70	130
500	300	50	100	16	610	35	340	22	85	23	24	170	470	28	16	380	5	26	8	23	75	90	160
600	350	55	110	18	720	40	400	24	95	24	28	210	540	30	18	420	5	29	10	23	90	110	190

Fig. 479—482.

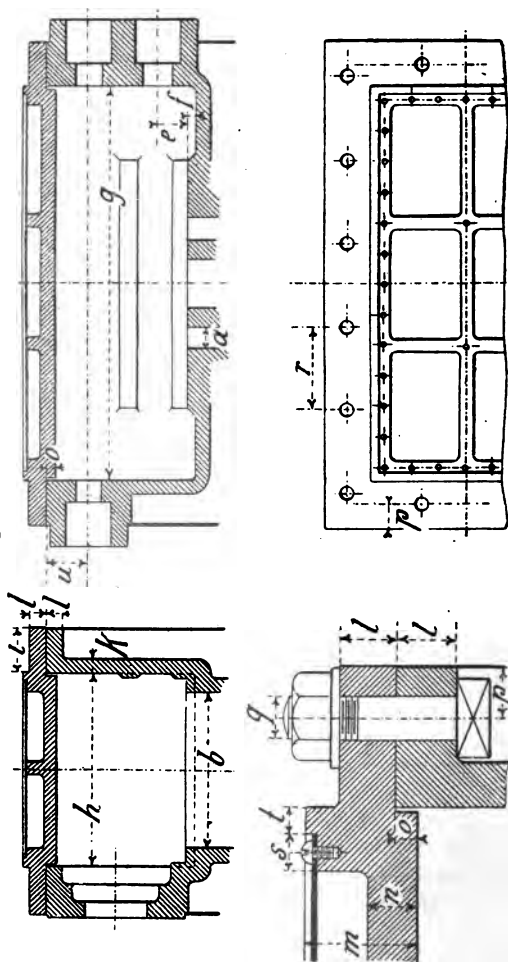


Dampfcylinder, Fig. 479—482,
von 250—550 Durchmesser für **Doppelschieber-Steuerung.**

Tabelle 36.

Maschine.			Kolben.									Kanal.							Schrb.		Schrb.						
H	D		a	b	br	c	d	e	f	g	h	i	k	l	m	n	o	Zahl	p	Zahl	q	r	s	t	u		
400	250		43	90	14	500	30	280	21	75	22	20	140	400	25	14	330	4	23	8	20	60	70	370	130		
500	300		50	100	16	610	35	340	22	85	23	24	170	470	28	16	375	5	26	8	23	75	90	450	160		
600	350		55	110	18	720	40	400	24	95	24	28	210	540	30	18	425	5	29	10	23	90	110	500	190		
700	400		60	120	20	832	45	461	27	100	24	32	250	600	33	20	480	6	29	10	23	105	125	550	220		
800	450		65	125	21	938	50	519	29	105	25	37	290	660	36	22	540	6	32	10	26	115	140	600	240		
900	500		70	130	22	1044	55	577	31	110	25	42	330	720	38	23	596	8	32	12	26	130	160	650	250		
1000	550		80	135	23	1150	60	635	32	115	26	46	370	780	40	24	658	8	35	14	26	145	180	700	280		

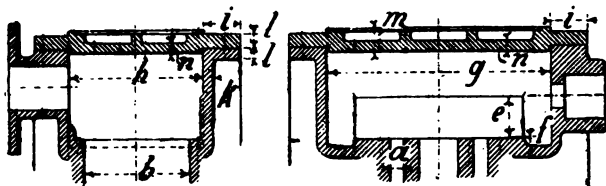
Fig. 490—493.



Schieberkasten mit Deckel
für Meyer'sche Steuerung. Fig. 490—493.
Tabelle 40.

Maschine.		Steuerung o C Schieber. Tabelle 50—51.																	m C Tab. 46—47.		
		Schraub.																			
H	D	a	b	e	f	g	h	i	k	l	m	n	o	p	zahl	q	r	s	t	u	g
300	200	12	110	26	10	270	145	50	13	15	30	13	5	16	10	13	100	13	8	45	280
400	250	16	140	30	10	320	180	52	14	16	35	15	6	18	12	16	110	14	8	50	330
500	300	20	170	35	10	380	225	56	16	20	40	18	7	20	14	16	115	14	9	55	400
600	350	25	210	40	10	440	265	60	18	23	45	20	8	24	16	20	120	15	10	60	460
700	400	29	250	45	15	504	305	65	20	27	50	24	9	26	18	20	120	15	11	65	530
800	450	33	290	50	15	570	355	70	23	29	55	26	10	28	20	23	120	15	12	70	600
900	500	38	330	50	20	650	400	75	27	31	60	28	11	30	20	23	125	16	13	75	680
1000	550	42	370	55	20	720	440	80	30	33	65	30	12	33	22	25	130	16	14	80	750

Fig. 494—495.



Schieberkasten, Fig. 494—495,
für einfache Schiebersteuerung,
passend zum Schieber Fig. 539—542.

Tabelle 38.

Maschine.												
<i>H</i>	<i>D</i>	<i>a</i>	<i>b</i>	<i>e</i>	<i>f</i>	<i>g</i>	<i>h</i>	<i>i</i>	<i>k</i>	<i>l</i>	<i>m</i>	<i>n</i>
200	150	9	80	40	10	150	115	48	12	13	23	10
300	200	12	110	50	10	190	145	50	13	15	25	12
400	250	16	140	55	10	230	180	50	13	16	30	13
500	300	20	170	60	10	300	220	52	14	18	34	14
600	350	25	210	65	10	360	265	54	15	20	38	16

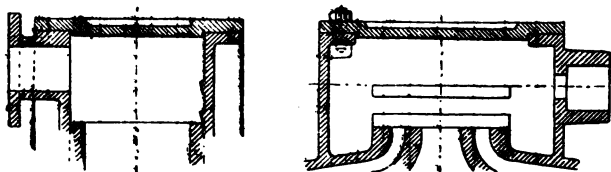
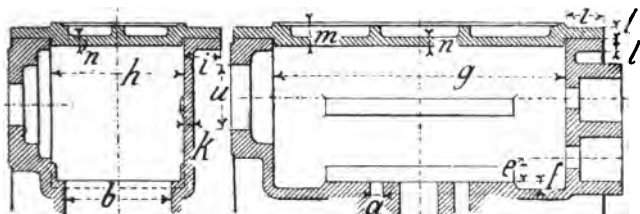


Fig. 496—497.

Fig. 498—499.



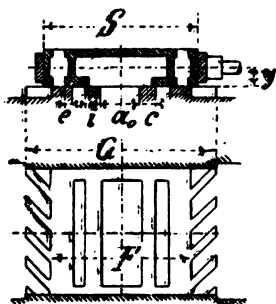
Schieberkasten, Fig. 498—499, für Rider-Steuerung.

Tabelle 39.

Zur Steuerung o C Fig. 558—561.	H	400	500	600	700	800	900	1000
	D	250	300	350	400	450	500	550
	u	85	105	125	145	170	190	215
	g	350	420	500	560	640	700	780
m C Fig. 568—591.	g	360	430	510	580	660	720	800

Schieberspiegel. Fig. 500—503.

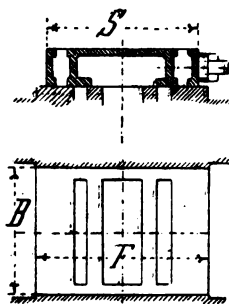
Fig. 500—501.



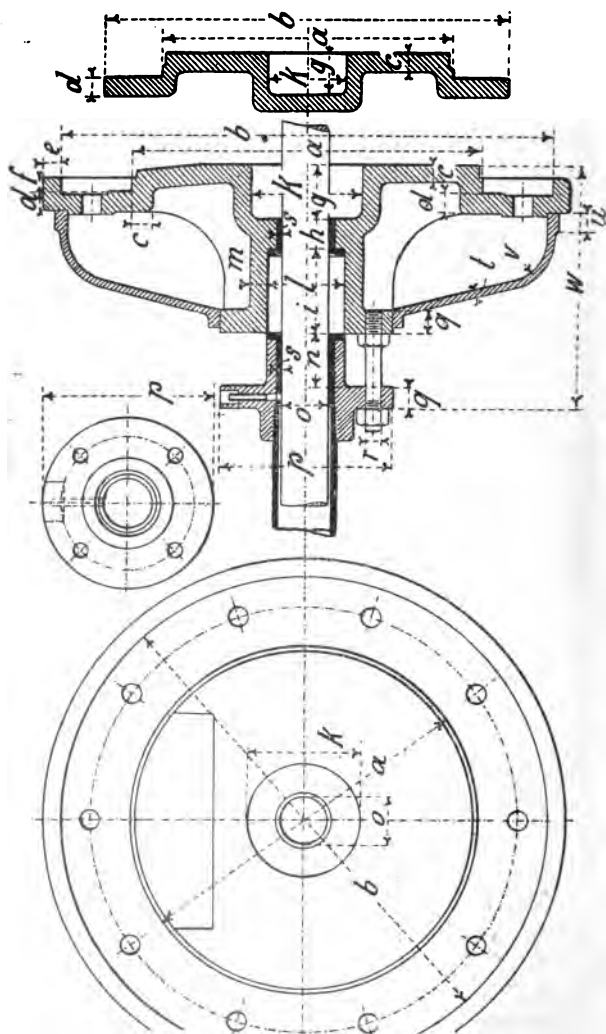
$$F = a_0 + 3c + 2r - 2i$$

$$G = S + 1,5r$$

Fig. 502—503.



$$F = S + r$$

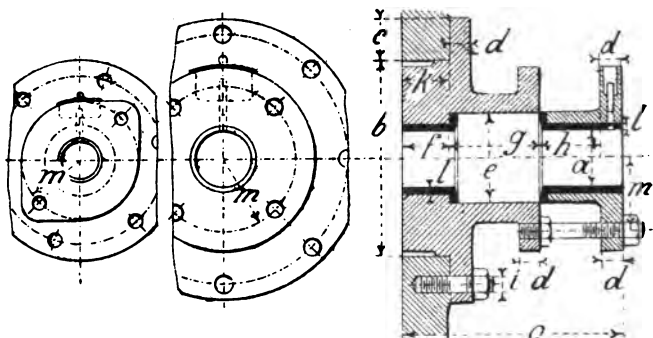


Hinterer Cylinderdeckel. Fig. 504—507.

Tabelle 41.

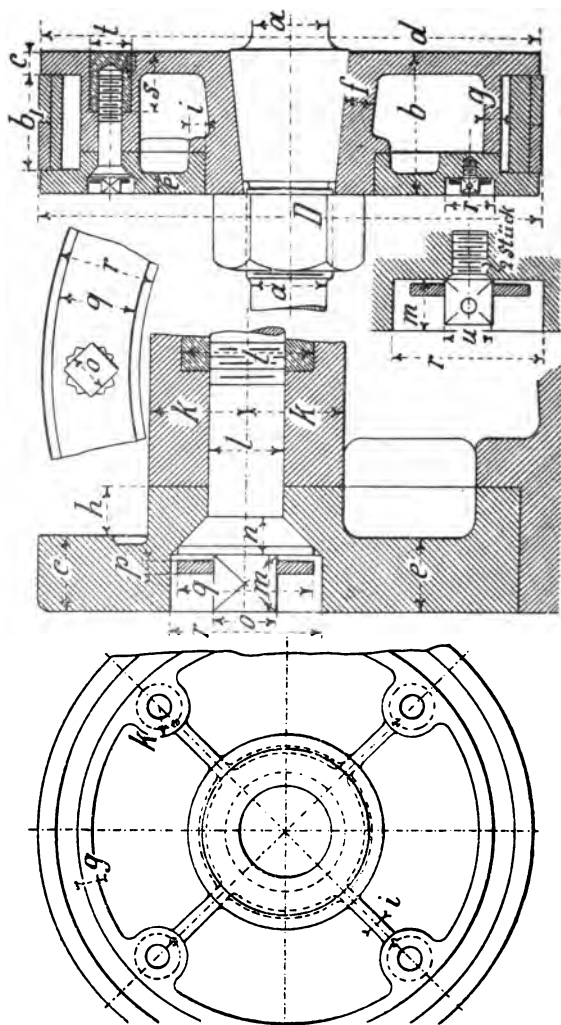
Maschine.																			Schr.		Schutzhaube			
H	D	a	b	c	d	e	f	g	h	i	k	l	m	n	o	p	q	zahl	r	s	t	u	v	w
200	150	160	280	18	20	—	—	35	—	—	70	—	—	—	—	—	—	—	—	—	—	—	—	—
300	200	210	340	20	21	—	—	45	—	—	85	—	—	—	—	—	—	—	—	—	—	—	—	—
400	250	260	400	22	23	—	—	55	—	—	110	—	—	—	—	—	—	—	—	—	—	—	—	—
500	300	310	470	23	24	15	14	60	30	95	115	90	18	60	50	206	26	3	20	6	7	15	60	271
600	350	365	540	24	26	16	15	65	35	100	120	95	20	64	55	212	27	3	20	6	8	16	65	291
700	400	415	600	26	28	20	16	70	40	105	130	100	21	68	60	216	28	3	20	7	9	18	65	311
800	450	465	660	28	30	22	18	75	40	110	150	105	22	72	65	230	29	3	23	7	10	20	70	326
900	500	515	720	30	32	24	20	80	45	115	155	110	23	76	70	234	30	3	23	8	11	22	75	346
1000	550	565	780	32	34	25	25	85	55	125	160	125	24	85	80	250	30	4	23	8	12	25	80	380

Fig. 508—510.

**Vorderer Cylinderdeckel.** Fig. 508—510.**Tabelle 42.**

Maschine.										Schr.b.					Schr.b.		
<i>H</i>	<i>D</i>	<i>a</i>	<i>b</i>	<i>c</i>	<i>d</i>	<i>e</i>	<i>f</i>	<i>g</i>	<i>h</i>	Zahl	<i>i</i>	<i>k</i>	<i>l</i>	<i>m</i>	Zahl	<i>n</i>	<i>o</i>
200	150	28	80	40	19	60	25	62	42	4	16	35	3	55	2	13	148
300	200	36	105	50	22	70	30	75	49	4	16	40	4	64	2	16	176
400	250	43	130	55	24	80	35	85	55	6	16	40	5	72	2	20	199
500	300	50	160	55	26	90	40	95	60	6	20	45	6	79	3	20	221
600	350	55	190	55	27	95	45	100	64	6	20	50	6	82	3	20	236
700	400	60	222	60	28	100	50	105	68	6	20	55	7	84	3	20	251
800	450	65	240	60	29	105	55	110	72	8	20	60	7	88	3	23	266
900	500	70	250	60	30	110	60	115	76	8	20	60	8	90	3	23	281
1000	550	80	260	60	30	120	70	125	85	8	20	65	8	98	4	23	310

Fig. 513—517.



Dampfkolben mit Deckelschrauben, Fig. 513—517, für 350—1000 Cylinderdurchmesser.

Tabelle 44.

														Deckelschrauben.									
D	d																						
		a	b	b ₁	c	e	f	g	h	i	k	zahl		l	m	n	o	p	q	r	s	t	u
350	349	55	110	74	18	16	22	12	13	10	25	4	20	13	11	16	3	36	40	50	36	13	
400	399	60	120	80	20	17	23	13	13	12	26	5	20	13	11	16	3	36	40	50	36	13	
450	449	65	125	83	21	18	24	14	14	13	30	5	23	15	12	18	3	40	46	55	40	13	
500	499	70	130	86	22	19	25	15	14	14	30	5	23	15	12	18	3	40	46	55	40	13	
550	549	80	135	89	23	20	26	16	14	15	30	6	23	15	12	18	3	40	46	55	40	13	
600	599	95	150	100	25	22	30	18	16	16	35	6	26	16	13	21	4	46	52	65	45	15	
700	698	110	170	116	27	23	35	19	18	18	35	7	26	16	13	21	4	46	52	65	45	15	
800	798	130	190	130	30	24	40	20	20	20	38	7	29	18	14	24	4	52	58	70	50	18	
900	898	150	210	146	32	25	45	22	22	22	38	8	29	18	14	24	4	52	58	70	50	20	
1000	998	170	220	150	35	26	50	24	24	24	42	8	32	20	16	26	5	56	64	74	54	20	

Selbstspannende Kolbenringe. Fig. 518—523.
Tabelle 45.

				Äußerer Federring					Innerer Federring				Spannschloss.		
				wird vor- gedreht auf	heraus- ge- schnitten	über- plattet	zu- sammen- gepresst gedreht auf	gebohrt auf	wird vor- gedreht auf	heraus- ge- schnitten	zu- sammen- gepresst gedreht auf				
D	b	a	c	Dr	f	e	D	d	dr	g ..	d	h	i	k	
100	45	8	13	106	—	10	100	84	85	—	84	5	50	8	
150	50	9	14	157	—	12	150	132	134	2	132	6	60	8	
200	56	10	15	208	—	16	200	180	182	3	180	6	70	8	
250	62	11	16	260	4	16	250	228	231	4	228	8	80	10	
300	68	12	18	311	8	16	300	276	280	5	276	8	90	10	
350	74	13	20	362	10	18	350	324	329	7	324	10	100	10	
400	80	14	21	414	12	20	400	372	378	10	372	10	110	13	
450	83	15	22	465	15	21	450	420	428	14	420	12	120	13	
500	86	16	23	517	17	22	500	468	477	16	468	12	130	13	
550	89	17	24	568	20	23	550	516	526	19	516	12	140	13	
600	100	18	26	619	23	25	600	564	576	24	564	13	150	16	
700	116	20	29	722	28	27	700	660	674	32	660	13	160	16	
800	130	21	31	825	30	32	800	758	774	35	758	14	170	16	
900	146	22	33	925	33	37	900	856	874	41	856	15	180	16	
1000	150	23	36	1030	40	38	1000	954	974	47	954	16	190	16	

Fig. 525—532.

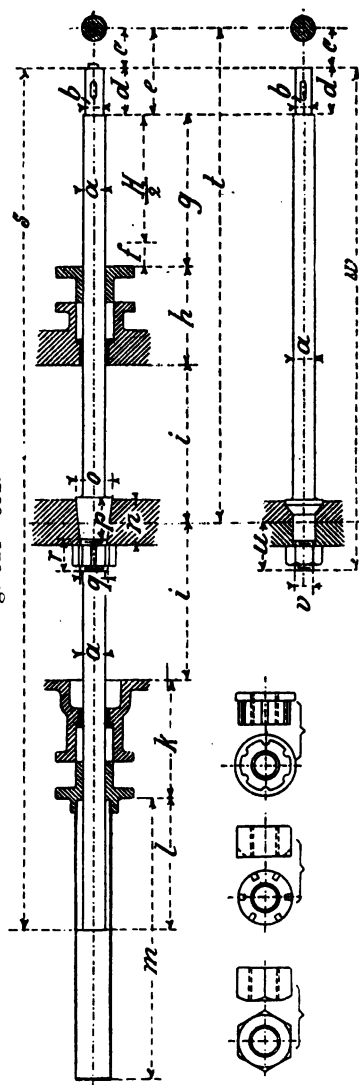
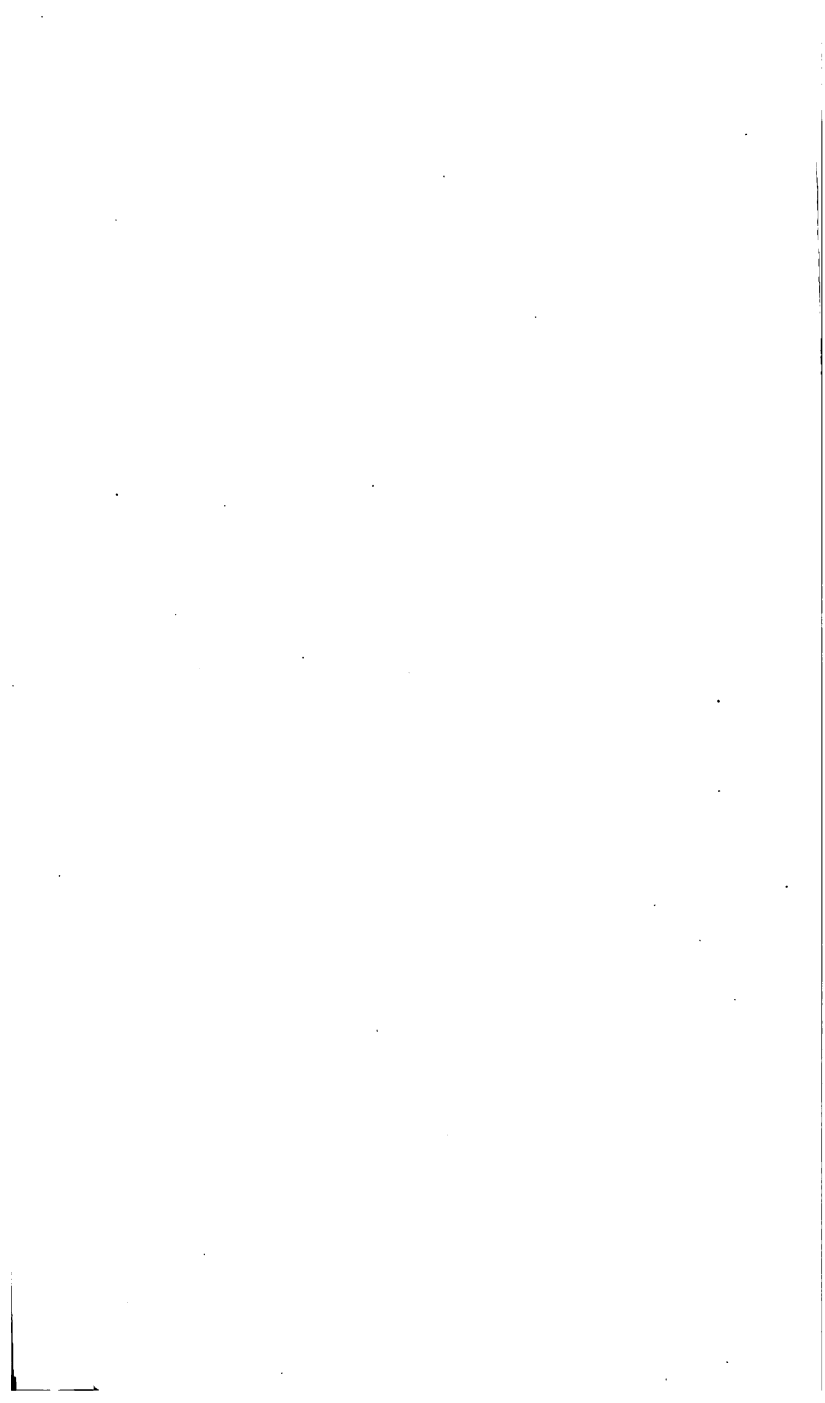


Tabelle 46.

Maschine.																								
H	D	a	b	c	d	e	f	g	h	i	k	l	m	n	o	p	q	r	s	t	u	v	w	
200	150	28	26	57	63	120	22	122	148	140	—	—	—	75	—	70	—	—	—	530	70	28	540	
300	200	36	34	64	86	150	19	169	176	195	—	—	—	80	—	75	—	—	—	690	80	35	706	
400	250	43	40	73	97	170	31	231	199	250	—	—	—	90	—	85	—	—	—	850	93	44	870	
500	300	50	48	85	115	200	34	284	221	305	271	250	540	100	82	95	58	60	1751	1010	—	—	—	
600	350	55	53	97	123	220	34	334	236	360	291	300	650	110	87	100	63	63	2004	1150	—	—	—	
700	400	60	58	105	140	245	38	388	251	416	311	350	760	120	94	110	69	70	2272	1300	—	—	—	
800	450	65	62	115	150	265	40	440	266	469	326	400	870	125	100	115	74	75	2520	1440	—	—	—	
900	500	70	68	124	161	285	42	492	281	522	346	450	980	130	110	120	80	80	2774	1580	—	—	—	
1000	550	80	78	136	184	320	45	545	310	575	380	485	1080	135	120	125	90	88	3054	1750	—	—	—	



Schiebersteuerung

A e und o C.

Einfache Schiebersteuerung A e.

	Seite
Schieberdiagramm	96
Dampfdiagramm	96
Druckdiagramm	96
Tabelle der Diagramme	97
Muschelschieber	98
Tabelle zum Muschelschieber	99

Expansionsschiebersteuerung o C.

Schieberdiagramm	100
Dampfdiagramm	100
Druckdiagramm	100
Tabelle der Diagramme	101
Schieber für fixe Expansion	102
Tabelle zum Schieber für fixe Expansion	103
Schieber für Meyer'sche Steuerung	104
Tabelle zum Schieber für Meyer'sche Steuerung	105
Riderbüchsenchieber	106
Tabelle zum Riderbüchsenchieber	107
Expansionsschieberspiegel für Ridersteuerung	108
Tabelle zum Expansionsschieberspiegel	109
Offener Riderschieber	110
Tabelle zum offenen Riderschieber	111

Vor Anwendung der Steuerungsnormalien beachte man Abschnitt VI, „Steuerungen“, und Abschnitt VIII, „Masseneinwirkung.“

Schieberdiagramm.

Es ist in der Kurbelstellung:

- OB Beg. d. Dampfeintritts,
- OT Dampfeintritt geschl.,
- OA Beg. d. Dampfaustritts,
- OC Dampfaustritt geschl.

Druckdiagramm I u. II.

q_I ist die auf die Kolbenfläche reduzierte Fliehkraft
der hin- und hergehenden Massen im toten Punkt (unendlich lange Treibstange.)

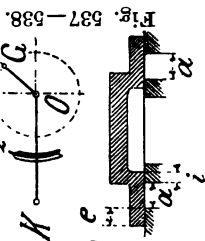
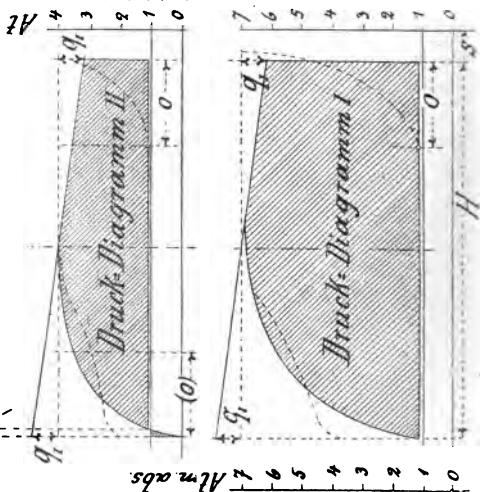
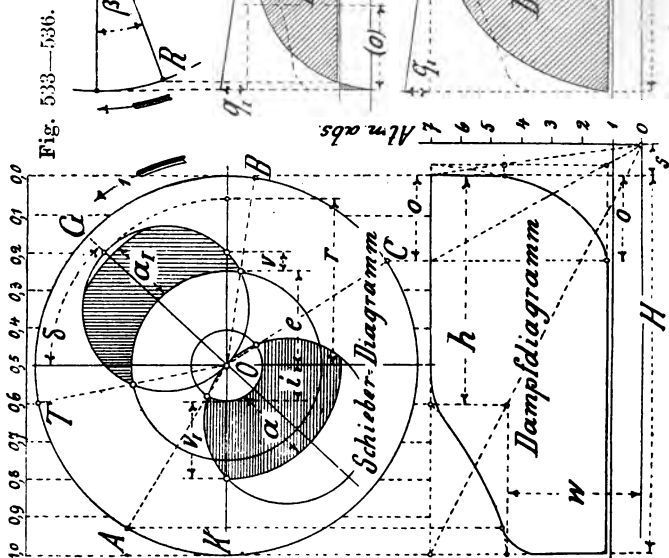
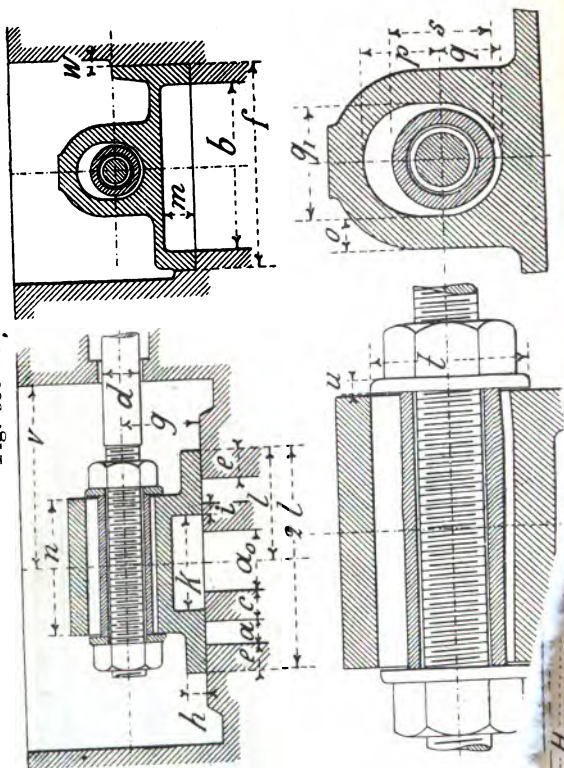


Fig. 539—542.



Kolbenhub

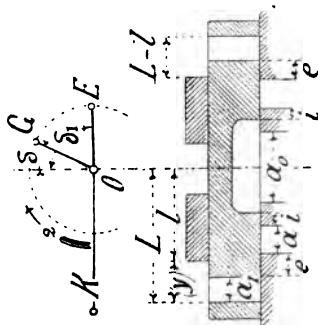
Tabelle 48.

H.	D	a ₀	a	b	c	d	e	f	g	h	i	k	l	m	n	o	p	q	q _I	s	t	u	v	w	Exa r
200	150	20	9	80	14	22	11	105	40	10	4	40	44	14	60	10	24	20	35	30	40	4	75	5	20
300	200	28	12	110	16	26	15	135	50	12	6	48	57	16	70	12	26	20	38	33	50	5	95	5	27
400	250	40	16	140	18	28	20	170	55	15	7	62	74	20	90	14	28	22	48	42	60	5	115	5	36
500	300	54	20	170	20	30	25	210	60	18	9	76	92	24	105	16	30	26	48	42	65	6	150	7,5	45
600	350	68	25	210	22	32	31	250	65	20	11	90	112	30	125	18	30	26	48	42	70	6	180	7,5	56

Fig. 543—546.

OK Richtung der Kurbel,
 OG " d. Grundexcenters,
 OE " " Exp. "

Es ist in der Kurbelstellung:
 OB Beginn des Dampfeintritts,
 OT " d. Exp. bei h -Füllung,
 OA " Dampfaustritts,
 OC " der Compression.



Druckdiagramm.

q_r ist die auf die Kol-
 benfläche reduz. Flieh-
 kraft der hin- und her-
 gehenden Massen i. toten
 Punkt (unendlich lange
 Treibstange).

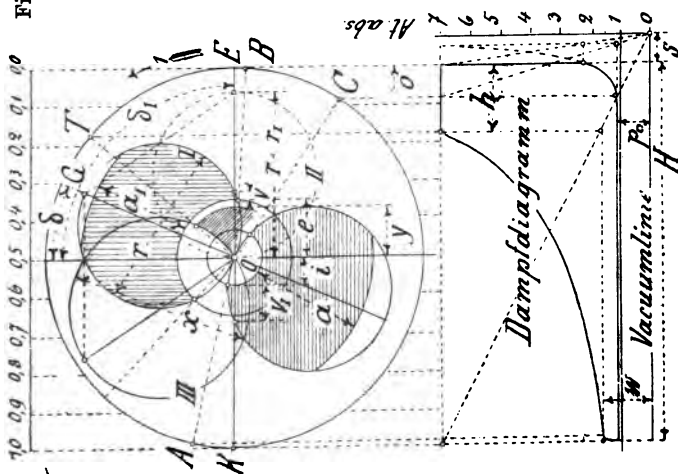
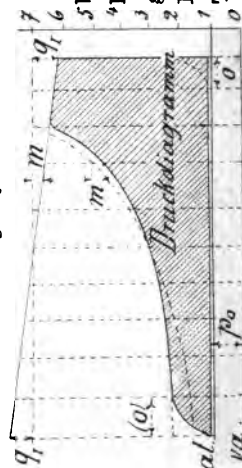


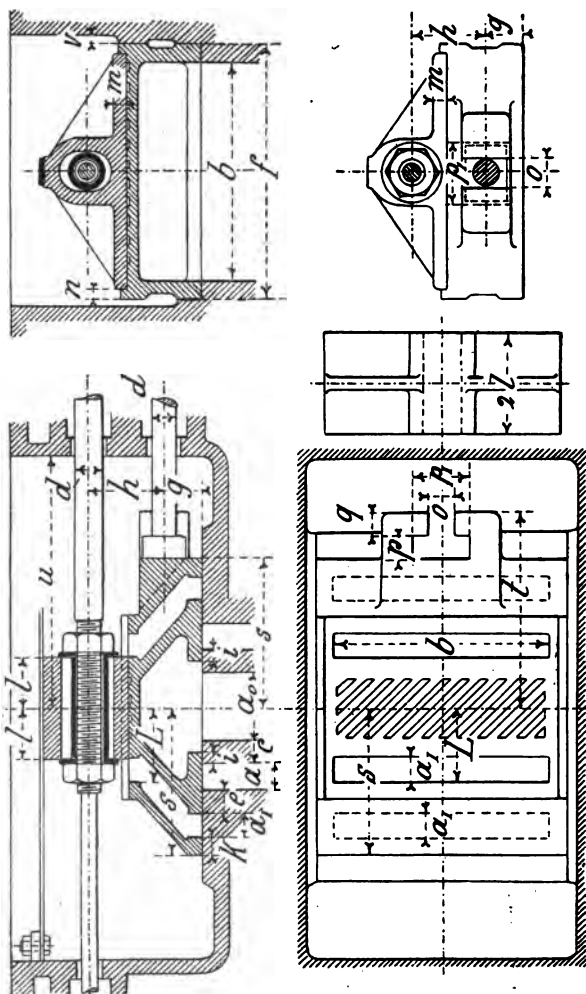
Diagramm der Expansionsschiebersteuerung vC. Fig. 543—546.

Tabelle 49.

Kelbenhub	H	300	400	500	600	700	800	900	1000
Cylindertrockmesser	D	200	250	300	350	400	450	500	550
Umdrehungen pr. Minute	n	150	120	106	95	85	77	70	65
Kanalweite im Schieberspiegel	a	12	16	20	25	29	33	37	42
Durchlasskanal im Grundschieber	a ₁	10	13	17	21	25	30	34	39
Aussere Deckung	e	6	9	11	13	15	17	19	21
Spanne	i	3	4	5	6	6,5	7	8	9
Excentricität beider Schieber	r = r ₁	18	25	31	38	44	50	57	63
Ausseres lineares Voreilen	v	2	2	2	2,5	3	4	5	6
Inneres	v ₁	5	6	8	10	12	14	15	18
Voreilwinkel d. Grundschiebers in Grad δ	δ	26	26	25	24	24	25	25	25
„ „ Expansionsschiebers . δ ₁	δ ₁	90	90	90	90	90	90	90	90
Grösste Entf. beider Schieber unter sich x	x	19	27	34	41	47	54	61	67
0,76 Füllung y	y	19	27	34	41	47	54	61	67
0,60 „ y	y	17	25	31	38	44	50	57	62
0,50 „ y	y	16	23	28	35	40	45	51	56
0,40 „ y	y	13	19	24	30	34	39	44	49
0,30 „ y	y	10	15	18	22	26	30	34	38
0,20 „ y	y	6	9	12	14	16	19	19	24
0,10 „ y	y	2	3	3	3	3	4	5	5
0,00 „ y	y	-10	-13	-16	-21	-24	-28	-32	-34

Die veränderliche Entfernung $L-l$ der arbeitenden Kanten, im Schieberdiagramm mit y bezeichnet für

Fig. 547—551.



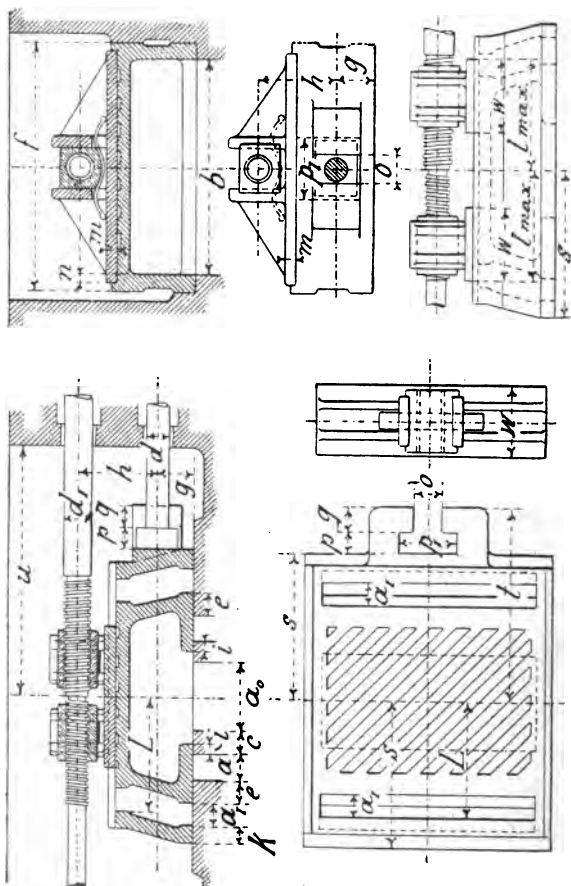
Doppelschiebersteuerung oC, fixe Expansion. Fig. 547—551.

(Hierzu Schieberdiagramm, Tab. 49.)

Tabelle 50.

Maschine																									
H	D	a ₀	a	a _I	b	c	d	e	f	g	h	i	k	m	n	o	p	p _I	q	s	t	u	v	Exa. r=r _I	
300	200	20	12	10	110	16	26	7	135	26	75	3	14	12	7	28	16	55	20	69	105	135	5	19	
400	250	30	16	13	140	18	28	9	170	30	80	4	15	13	8	30	18	60	22	86	126	160	5	25	
500	300	40	20	17	170	20	30	11	210	35	85	5	16	15	9	33	20	65	24	104	148	190	7,5	31	
600	350	50	25	21	210	22	32	13	250	40	90	6	17	16	10	36	22	70	26	123	171	220	7,5	38	
700	400	60	29	25	250	24	36	15	290	45	95	6,5	18	17	10	40	24	75	28	141	193	252	7,5	44	
800	450	70	33	30	290	27	38	17	335	45	100	7	20	18	11	42	26	80	30	162	218	285	10	50	
900	500	80	37	34	330	30	40	19	380	50	105	8	22	19	12	48	28	85	34	182	244	325	10	57	
1000	550	88	42	39	370	32	42	21	420	55	110	9	24	20	13	50	30	90	38	202	270	360	10	63	

Fig. 552—557.



Meyer'sche Steuerung oC, veränderliche Expansion. Fig. 552 – 557.
(Hierzu Schieberdiagramm, Tab. 49.)

Tabelle 51.

Maschine																										
H	D	a _o	a	a _I	b	c	d	d _I	e	f	g	h	i	k	m	n	o	p	p _I	q	s	t	u	v	Exo. r=r _I	
300	200	20	12	10	110	16	26	30	7	135	26	75	3	14	12	7	28	16	55	20	69	105	135	5	19	
400	250	30	16	13	140	18	28	33	9	170	30	80	4	15	13	8	30	18	60	22	86	126	160	5	25	
500	300	40	20	17	170	20	30	36	11	210	35	85	5	16	15	9	33	20	65	24	104	148	190	7,5	31	
600	350	50	25	21	210	22	32	39	13	250	40	90	6	17	16	10	36	22	70	26	123	171	220	7,5	38	
700	400	60	29	25	250	24	36	42	15	290	45	98	6,5	18	17	10	40	24	75	28	141	193	252	7,5	44	
800	450	70	33	30	290	27	38	48	17	335	45	105	7	20	18	11	42	26	80	30	162	218	285	10	50	
900	500	80	37	34	330	30	40	50	19	380	50	110	8	22	20	12	48	28	85	34	182	244	325	10	57	
1000	550	88	42	39	370	32	42	52	21	420	55	115	9	24	22	13	50	30	90	38	202	270	360	10	63	

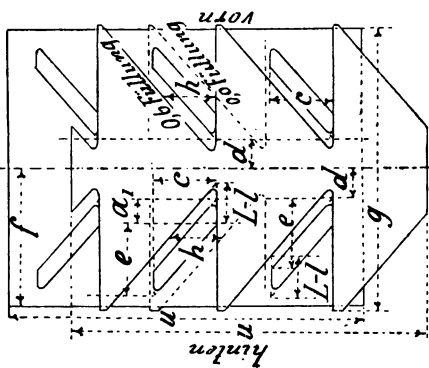
Rider-Büchschenschieber 0 C. Fig. 558—561.

(Hierzu Schieberdiagramm Tab. 49.)

Tabelle 52.

Maschine																								
H	D	a ₀	a	a _I	b	c	d	e	f	g	h	i	m	n	o	p	q	s	s _I	t	u	v	w	Exo. r=r _I
400	250	30	16	13	140	18	28	9	170	30	80	4	80	8	8	105	141	40	60	12	175	5	40	25
500	300	40	20	17	170	20	30	11	210	35	90	5	100	10	10	125	169	42	65	13	210	7,5	45	31
600	350	50	25	21	210	22	32	13	250	40	110	6	120	12	12	150	198	45	70	14	250	7,5	50	38
700	400	60	29	25	250	24	36	15	290	45	125	6,5	140	12	12	175	227	48	75	15	280	7,5	55	44
800	450	70	33	30	290	27	38	17	335	45	145	7	165	13	13	200	256	51	80	16	320	10	60	50
900	500	80	37	34	330	30	40	19	380	50	160	8	185	14	14	220	282	54	85	18	350	10	65	57
1000	550	88	42	39	370	32	42	21	420	55	180	9	210	15	15	245	313	57	90	20	390	10	70	63

Fig. 562—563.



Ansicht des aufgerollten inneren
Expansionsschieberspiegels

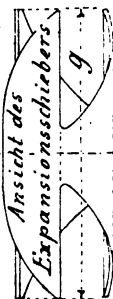
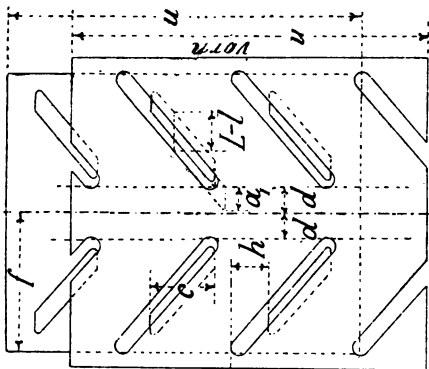
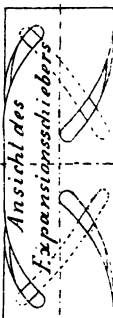


Fig. 564—565.



Ansicht des aufgerollten inneren
Expansionsschieberspiegels.

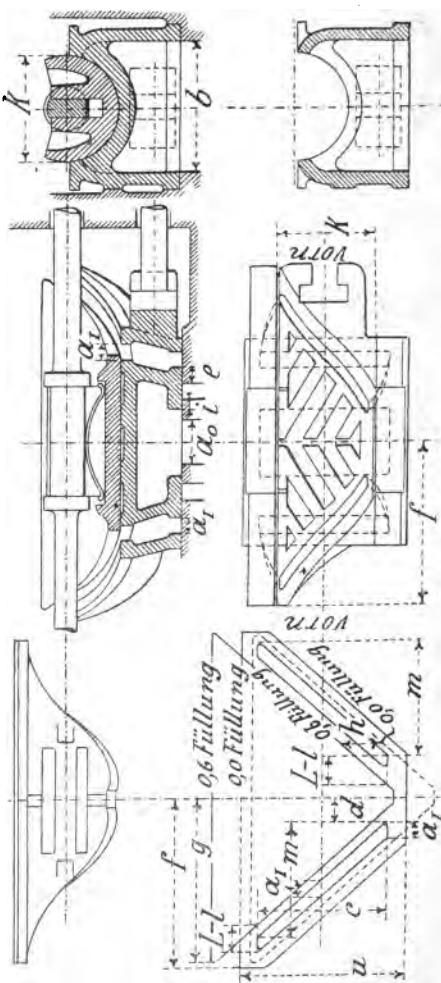


Expansionsschieberspiegel, Fig. 562—565, (zum Riderbüchsenschieber o C, Tab. 52.)

Tabelle 53.

Kolbenhub	<i>H</i>	400	500	600	700	800	900	1000
Cylinderdurchmesser	<i>D</i>	250	300	350	400	450	500	550
Durchmesser des Expansionsschiebers	<i>m</i>	80	100	120	140	165	185	210
Umfang "	<i>u</i>	251	314	377	440	518	581	660
<i>L-l</i> für 0,0 Füllung		—13	—16	—21	—24	—28	—32	—34
<i>L-l</i> " 0,6 "		25	31	38	44	50	56	62
Weite des Durchlasskanales	<i>a_I</i>	13	17	21	25	30	34	39
Kanalbreite	<i>b</i>	140	170	210	250	290	330	370
Kanalhöhe	<i>c</i>	45	58	70	85	100	110	125
Dimension	<i>d</i>	27	29	33	35	39	41	44
Dimension	<i>e</i>	50	67	80	99	115	127	143
Halbe Büchsenlänge	<i>f</i>	105	125	150	175	200	220	245
Länge des Expansionsschiebers	<i>g</i>	215	260	310	360	410	460	510
Ausschlagwinkel d. Expansionsschieb. in Grad β		47	47	50	48	47	48	46
Drehung d. Expansionsschiebers am Umfang <i>h</i>		33	41	52	58	68	77	84
Füllungsgrad bei Mittelstellung des Regul.		0,13	0,13	0,13	0,13	0,13	0,13	0,13

Fig. 566—571.

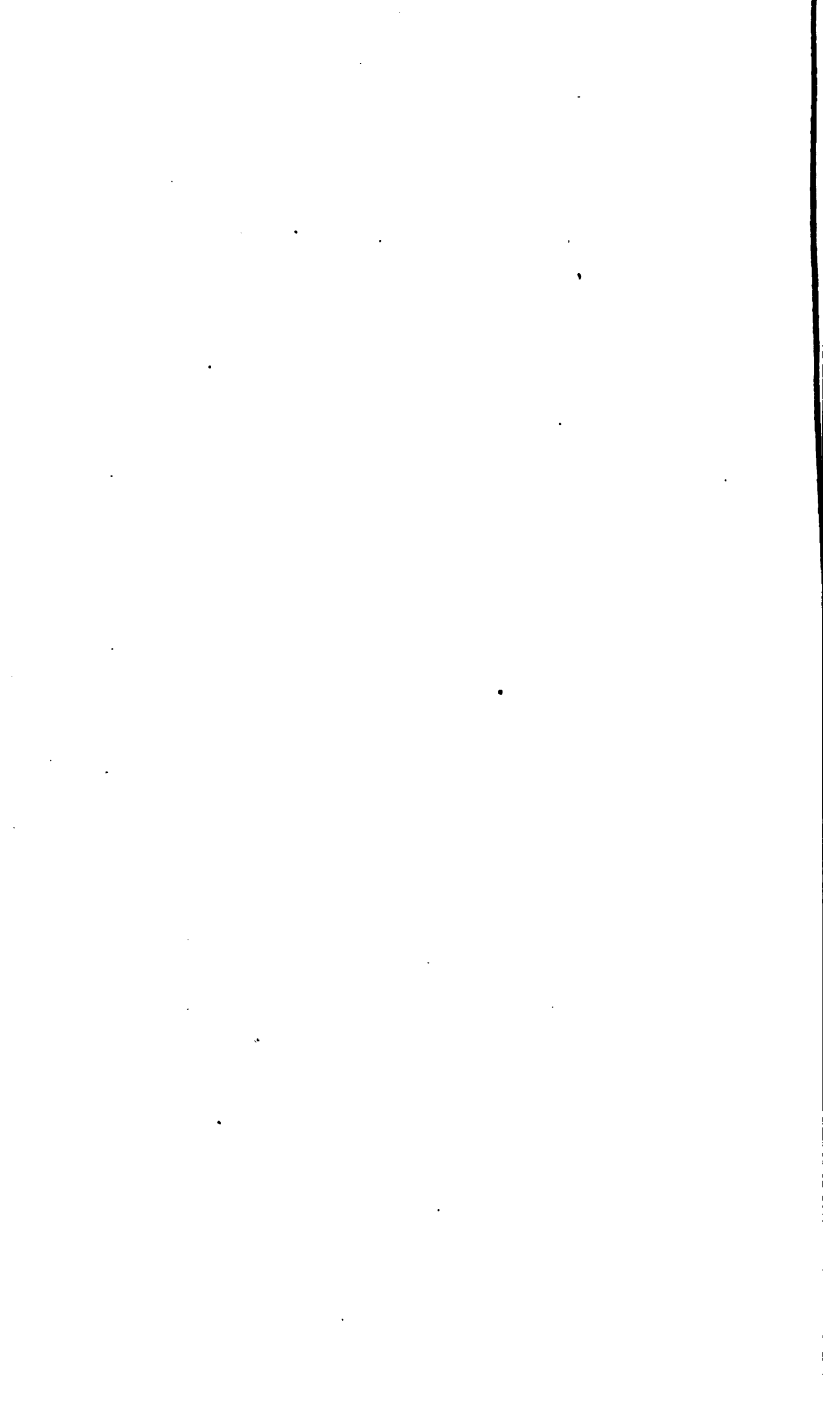


Offener Riderschieber. Fig. 566—571. (Hierzu Schieberdiagramm, Tab. 49.)

Tabelle 54.

Kolbenhub	<i>H</i>	300	400	500	600	700
Cylinderdurchmesser	<i>D</i>	200	250	300	350	400
Durchmesser des Expansionsschiebers	<i>k</i>	70	90	115	140	165
Halber Umfang	<i>u</i>	110	141	180	220	254
Weite des Durchlasskanales	<i>a_I</i>	12	13	17	21	25
<i>L</i> — <i>l</i> für 0,0 Füllung		—10	—13	—16	—21	—24
<i>L</i> — <i>l</i> „ 0,6 „		17	25	31	38	44
Kanalhöhe <i>c</i> = ca. 0,8 der Kanalbreite <i>b</i>	<i>c</i>	90	110	140	170	210
Dimension	<i>d</i>	18	22	28	34	40
Dimension	<i>m</i>	78	99	126	153	189
Halbe Länge des Grundschiebers	<i>f</i>	115	145	180	230	275
„ „ „ Expansionsschiebers	<i>g</i>	110	140	170	220	265
Drehung des Expansionsschiebers am Umfang	<i>h</i>	31	42	52	65	75
Ausschlagwinkel des Expansionsschiebers in Grad	<i>β</i>	51	53	52	53	52
Füllungsgrad bei Mittelstellung des Regulators		0,13	0,13	0,13	0,13	0,13

Will man mit dem offenen Riderschieber einen ebenso günstigen Dampfabschluss erreichen, als mit der Meyer'schen Steuerung, so ist die Kanalhöhe *c* = der Kanalbreite *b* zu nehmen. Zur Umgehung der daraus resultierenden grossen Schieberdimensionen begünstigt man sich häufig mit der Kanalhöhe *c* = 0,8 *b* und nimmt dadurch eine stärkere Drosselung des Eintrittsdampfes am Ende der Expansionsperiode in Kauf.



Schiebersteuerung

m C.

	Seite
Schieberdiagramm	114
Dampfdiagramm	114
Druckdiagramm	114
Tabelle der Diagramme	115
Schieber für fixe Expansion	116
Tabelle zum Schieber für fixe Expansion	117
Schieber für Meyer'sche Steuerung	118
Tabelle zum Schieber für Meyer'sche Steuerung	119
Riderbüchsenchieber	120
Tabelle zum Riderbüchsenchieber	121
Expansionsschieberspiegel für Ridersteuerung	122
Tabelle zum Expansionsschieberspiegel	123

Vor Benutzung der Steuerungsnormalien beachte man Abschnitt VI, „Steuerung“, und Abschnitt VIII, „Masseneinwirkung“.

Fig. 572—575.

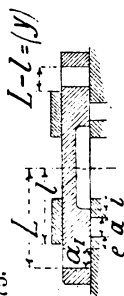
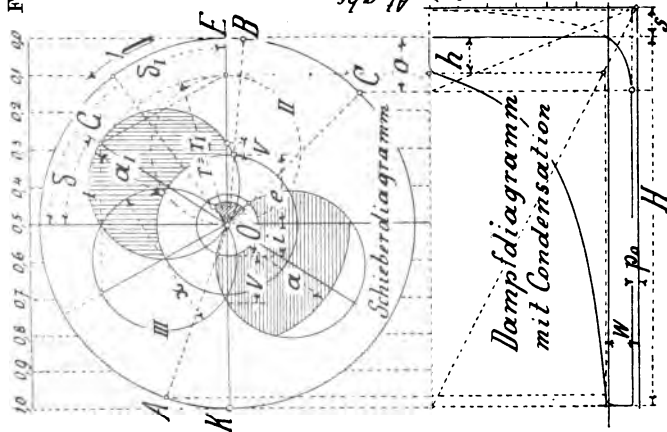
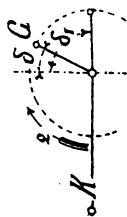


Fig. 576.



OK Richtung der Kurbel,
 OG " des Grund-
 excenters,
 OE " d. Expansi-
 onsexcent.

Schieberdiagramm:

OB Beginn des Dampf-
 eintritts,
 OA " des Dampf-
 austritts,
 OC " der Compres-
 sion.

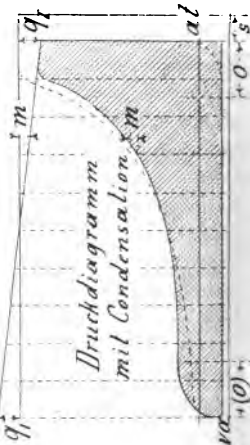
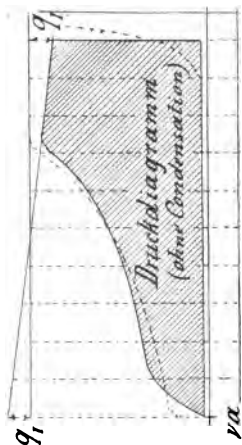


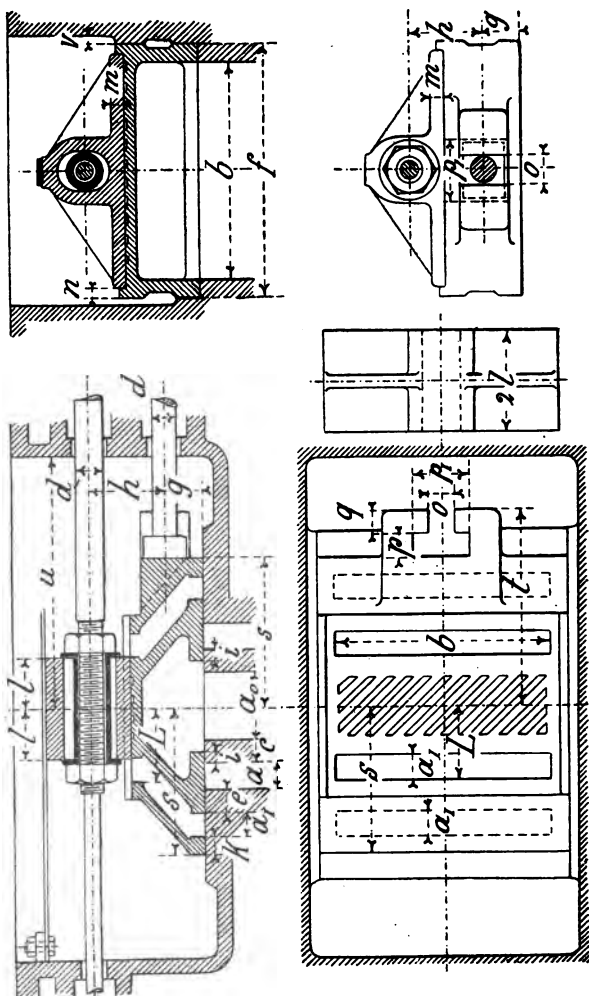
Diagramm der Expansionsschiebersteuerung m C. Fig. 572—576.

Tabelle 55.

Kolbenhub	300	400	500	600	700	800	900	1000
Cylinderdurchmesser	200	250	300	350	400	450	500	550
Umdrehungen pr. Minute	150	120	106	95	85	77	70	65
Kanalweite im Schieberspiegel	12	16	20	25	29	33	38	42
Durchlasskanal im Grundschieber	10	13	17	21	25	30	34	39
Äussere Deckung	10	12	16	19	23	27	30	33
Innere	5	6	7	8	10	13	14	15
Excentricität beider Schieber	20	25	33	40	48	57	64	72
Äusseres lineares Voreilen	1	1,5	2	2,5	3	4	5	6
Inneres	6	8	11	14	16	18	21	24
Voreilwinkel d. Grundschiebers in Grad δ	33	33	33	33	33	33	33	33
„ „ Expans. „ „ „ δ_I	90	90	90	90	90	90	90	90
Grösste Entf. beider Schieber unter sich α	19	24	31	38	46	56	61	69
0,73 Füllung y	19	24	31	38	46	56	61	69
0,60 „ „ y	18	23	30	36	43	53	58	66
0,50 „ „ y	16	21	27	33	39	49	53	60
0,40 „ „ y	14	18	24	30	34	43	46	53
0,30 „ „ y	12	15	19	23	27	35	38	42
0,20 „ „ y	8	10	13	16	18	22	26	29
0,10 „ „ y	3	3	4	5	8	9	10	10
0,00 „ „ y	—9	—11	—13	—18	—21	—25	—28	—32

Die veränderliche Entfernung $L-l$ der arbeitenden Schieberkanten, mit y bezeichnet für

Fig. 577—581.



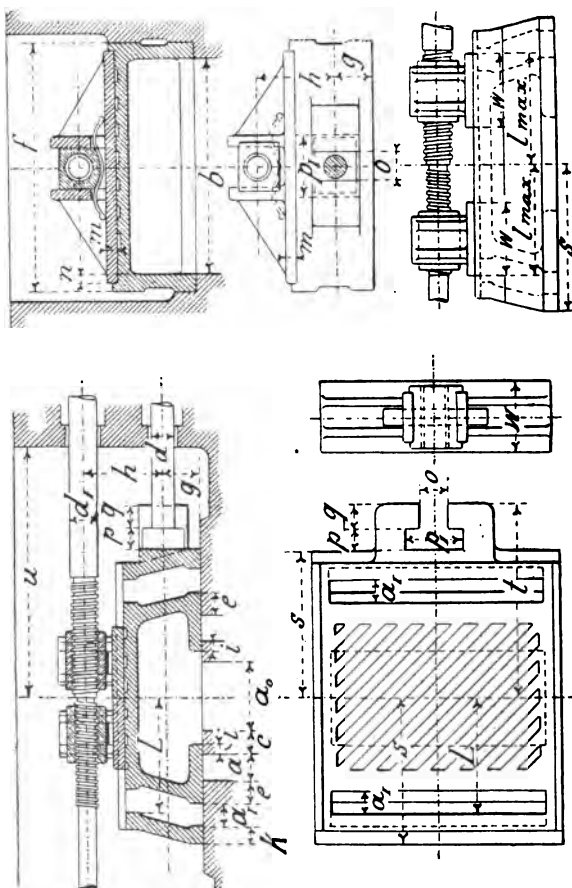
Doppelschiebersteuerung mC, fixe Expansion. Fig. 577—581.

(Hierzu Schieberdiagramm, Tab. 55.)

Tabelle 56.

Maschine.																									
H	D	a ₀	a	a _I	b	c	d	e	f	g	h	i	k	m	n	o	p	p _I	q	s	t	u	v	Exo. r=r _I	
300	200	26	12	10	110	16	26	10	135	26	75	5	14	12	7	28	16	55	20	75	111	140	5	20	
400	250	36	16	13	140	18	28	12	170	30	80	6	15	13	8	30	18	60	22	92	132	165	5	25	
500	300	48	20	17	170	20	30	16	210	35	85	7	16	15	9	33	20	65	24	113	157	200	7,5	33	
600	350	58	25	21	210	22	32	19	250	40	90	8	17	16	10	36	22	70	26	133	191	230	7,5	40	
700	400	68	29	25	250	24	36	23	290	45	95	10	18	17	10	40	24	75	28	153	205	265	7,5	48	
800	450	78	33	30	290	27	38	27	335	45	100	13	20	18	11	42	26	80	30	176	232	300	10	57	
900	500	90	37	34	330	30	40	30	380	50	105	14	22	19	12	48	28	85	34	198	260	340	10	64	
1000	550	100	42	39	370	32	42	33	420	55	110	15	24	20	13	50	30	90	38	220	288	375	10	72	

Fig. 582—587.



Für 0,1—0,76 Füllung kann die Lappenbreite $w = (l \text{ min.}) = 2,5a$ genommen werden.

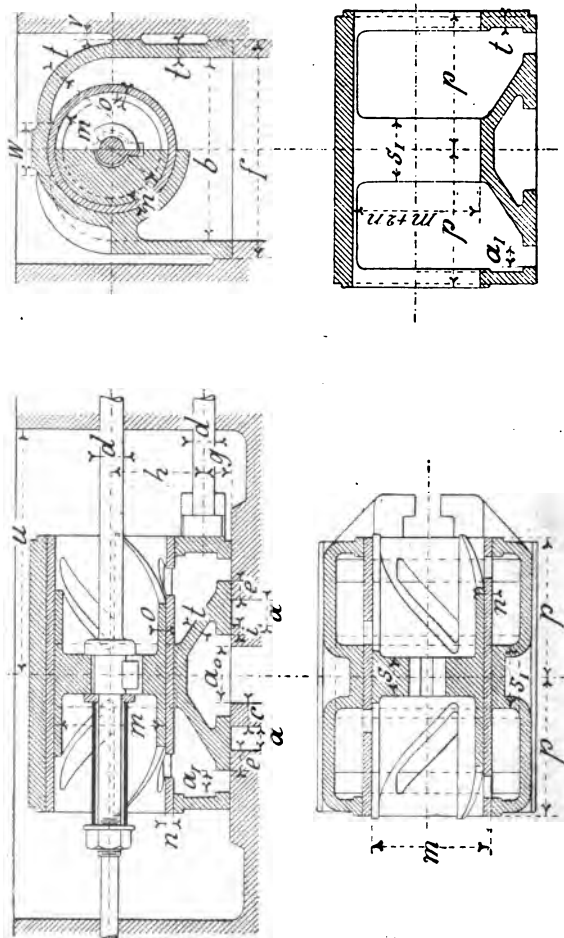
Meyer'sche Steuerung mC, veränderliche Expansion. Fig. 582—587.
(Hierzu Schieberdiagramm Tab. 55.)

Tabelle 57.

Maschine.																									Exc. $r-r_I$
H	D	a_0	a	a_I	b	c	d	d_I	e	f	g	h	i	k	m	n	o	p	p_I	q	s	t	u	v	
300	200	26	12	10	110	16	26	30	10	135	26	75	5	14	12	7	28	16	55	20	75	111	140	5	20
400	250	36	16	13	140	18	28	33	12	170	30	80	6	15	13	8	30	18	60	22	92	132	165	5	25
500	300	48	20	17	170	20	30	36	16	210	35	85	7	16	15	9	33	20	65	24	113	157	200	7,5	33
600	350	58	25	21	210	22	32	39	19	250	40	90	8	17	16	10	36	22	70	26	133	180	230	7,5	40
700	400	68	29	25	250	24	36	42	23	290	45	98	10	18	17	10	40	24	75	28	153	205	265	7,5	48
800	450	78	33	30	290	27	38	48	27	335	45	105	13	20	18	11	42	26	80	30	176	232	300	10	57
900	500	90	37	34	330	30	40	50	30	380	50	110	14	22	20	12	48	28	85	34	198	260	340	10	64
1000	550	100	42	39	370	32	42	52	33	420	55	115	15	24	22	13	50	30	90	38	220	288	375	10	72

Anzahl der Gewindegänge siehe Tab. 65.

Fig. 588—591.



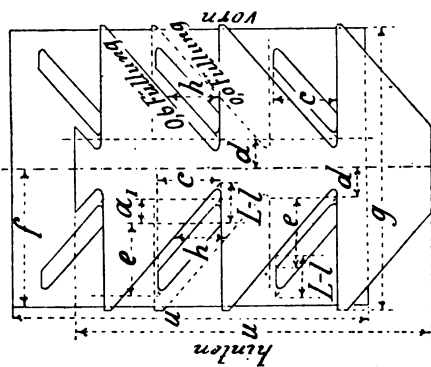
Rider-Büchschenschieber m C. Fig. 588—591.
(Hierzu Schieberdiagramm Tab. 55.)

Tabelle 58.

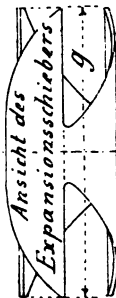
Maschine.																								
H	D	a ₀	a	a _I	b	c	d	e	f	g	h	i	m	n	o	p	q	s	s _I	t	u	v	w	Exc. r=r _I
400	250	36	16	13	140	18	28	12	170	30	80	6	80	8	8	105	145	38	60	12	180	5	40	25
500	300	48	20	17	170	20	30	16	210	35	90	7	100	10	10	125	169	42	65	13	215	7,5	45	33
600	350	58	25	21	210	22	32	19	250	40	110	8	120	12	12	150	198	45	70	14	255	7,5	50	40
700	400	68	29	25	250	24	36	23	290	45	125	10	140	12	12	175	227	48	75	15	290	7,5	55	48
800	450	78	33	30	290	27	38	27	335	45	145	13	165	13	13	200	256	51	80	16	330	10	60	57
900	500	90	37	34	330	30	40	30	380	50	160	14	185	14	14	220	282	54	85	18	360	10	65	64
1000	550	100	42	39	370	32	42	33	420	55	180	15	210	15	15	245	313	57	90	20	400	10	70	72

Abwicklung des Expansionschieberspiegels siehe Tab. 59.

Fig. 592—593.

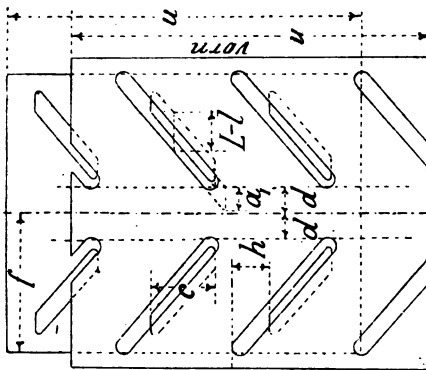


Ansicht des aufgerollten inneren
Expansionsschieberspiegels

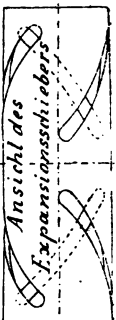


Ansicht des
Expansionsschiebers

Fig. 594—595.



Ansicht des aufgerollten inneren
Expansionsschieberspiegels.



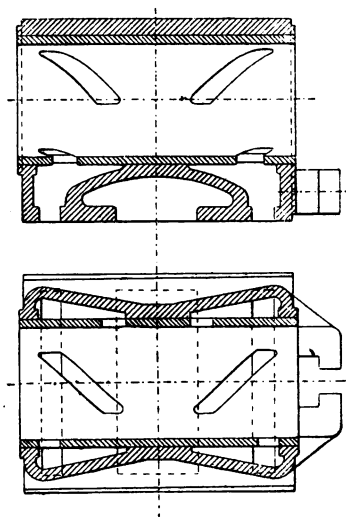
Ansicht des
Expansionsschiebers

Expansionsschieberspiegel, Fig. 592—595,
(zum Riderbüchsenchieber m C, Tab. 58.)

Tabelle 59.

Kolbenhub	400	500	600	700	800	900	1000
Cylinderdurchmesser	250	300	350	400	450	500	550
Durchmesser des Expansionsschiebers . . m	80	100	120	140	165	185	210
Umfang "	251	314	377	440	518	581	660
$L-l$ für 0,0 Füllung.	—11	—13	—18	—21	—25	—28	—32
$L-l$ " 0,6 "	23	30	36	43	53	58	66
Weite des Durchlasskanales a_I	13	17	21	25	30	34	39
Kanalbreite	140	170	210	250	290	330	370
Kanalhöhe $c = ca \frac{b}{3}$ c	45	58	70	85	100	110	125
Dimension d	27	29	33	35	39	41	44
Dimension e	52	67	80	99	115	127	143
Halbe Büchsenlänge f	105	125	150	175	200	220	245
Länge des Expansionsschiebers g	215	260	310	360	410	460	510
Ausschlagwinkel d. Expansionsschieb. in Grad β	42	43	45	45	47	46	47
Drehung d. Expansionsschiebers am Umfang h	29	37	47	55	68	74	86
Füllungsgrad bei Mittelstellung des Regul. .	0,13	0,13	0,13	0,13	0,13	0,13	0,13

Fig. 596—597.



Durch Anwendung des
Riderschiebers, Fig. 588—591,
wird der schädliche Raum
der Expansionsperiode
um ca. $\frac{1}{2}$ Proz. vergrößert;
es empfiehlt sich deshalb, den
Schieber nach Fig. 596—597
zu construieren.

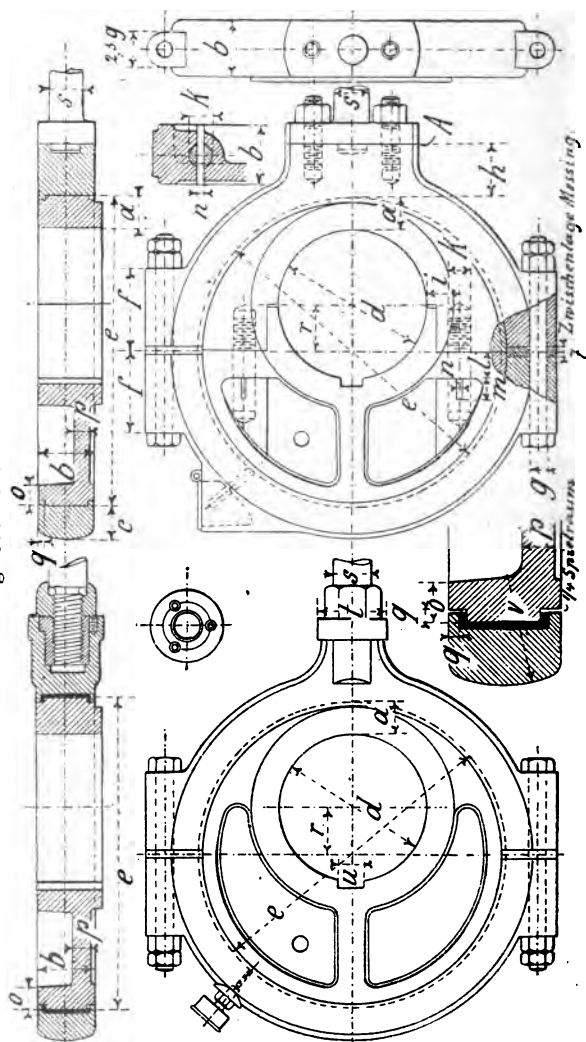


Normalien.

Fortsetzung.

	Seite
Excenter	126—127
Gelenkstücke	128—129
Schieberstangenführungsböcke	130—131
Stellvorrichtungen	132—133
Schieber- und Excenter-Stangen	134—135
Regulator-Antrieb	136—137
Schutzstangen	138
Anker	139
Schwungräder	140—141
Fundamente	142—143
Condensatoren	144—145
Speisepumpen	146—147
Schaltwerk	148

Fig. 598—605.



Excenter, Fig. 598—605, zu den Schiebersteuerungen o C, Tab. 49—52.

Tabelle 60.

Maschine.																							
H	D	r	d	a	b	c	e	f	g	h	i	k	l	m	n	o	p	q	s	t	u	v	
200	150	—	—	—	40	22	—	50	13	40	—	—	—	—	—	20	12	5	25	65	12	40	
300	200	—	—	—	45	24	—	60	13	45	—	—	—	—	—	22	13	6	30	70	14	50	
400	250	25	125	21	50	26	217	70	16	50	25	23	20	18	6	25	15	6	35	76	16	60	
500	300	31	140	28	55	28	258	80	20	55	30	26	22	19	7	28	16	7	38	80	16	65	
600	350	38	165	30	60	30	301	90	20	60	35	28	24	20	8	30	16	7	42	85	18	70	
700	400	44	185	33	65	33	339	100	23	65	40	30	26	21	9	33	18	8	46	90	18	75	
800	450	50	200	36	70	36	372	110	23	70	45	30	28	22	9	36	18	8	49	100	20	80	
900	500	57	220	40	75	38	414	120	25	75	50	33	30	23	9	38	20	9	52	105	20	85	
1000	550	63	240	42	85	40	450	130	25	80	55	35	32	24	10	40	22	10	55	112	22	90	

Die Anwendung von Weissgussfutter ist immer zu empfehlen, man nehme die Wandstärke des Futters = 0,15b.

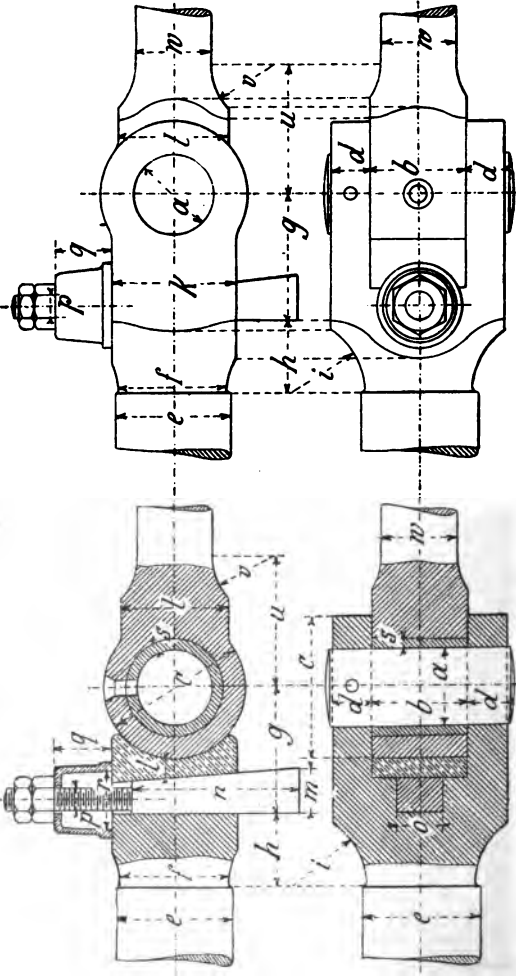


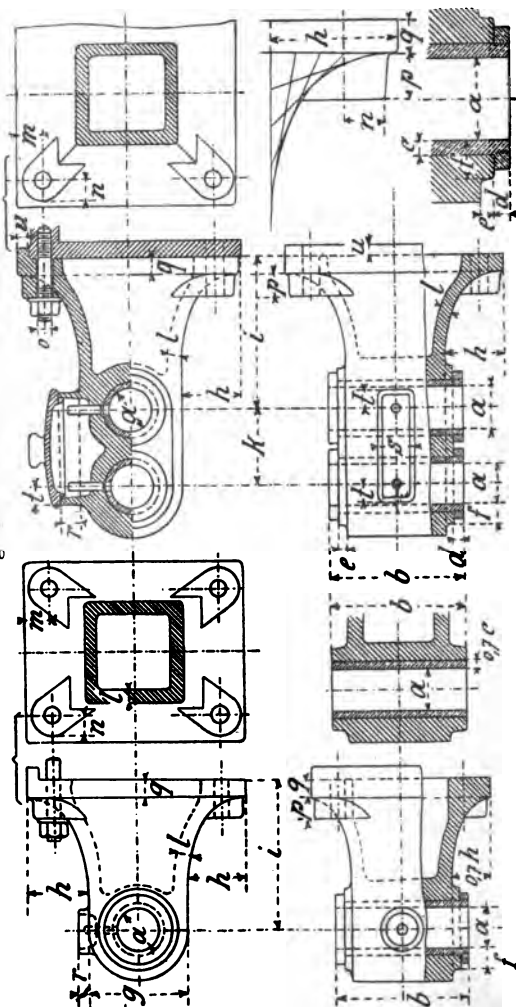
Fig. 606—609.

Tabelle 61.

Maschine.																								
H	D	a	b	c	d	e	f	g	h	i	k	l	m	n	o	p	q	r	s	t	u	v	w	
200	150	23	36	52	14	38	32	46	28	26	42	5	18	60	16	10	22	22	3	32	42	20	20	
300	200	26	38	56	16	40	36	50	30	28	46	7	18	62	18	10	24	24	4	36	46	21	23	
400	250	30	40	60	16	42	40	54	32	30	50	8	20	66	20	13	26	26	4	40	50	23	26	
500	300	32	42	64	17	46	44	58	33	32	54	8	20	70	20	13	28	26	4	44	54	25	30	
600	350	34	46	68	18	50	48	60	35	34	58	9	21	74	22	13	30	28	5	48	58	27	34	
700	400	36	48	70	19	54	50	62	36	36	60	9	22	78	22	13	32	28	5	50	62	29	38	
800	450	38	50	74	20	58	54	66	38	38	64	10	22	82	24	13	34	30	6	54	66	31	42	
900	500	40	52	78	21	62	58	68	40	40	68	10	23	86	24	13	36	30	6	58	70	33	46	
1000	550	42	54	82	22	68	60	70	42	42	72	11	24	90	26	13	38	32	7	60	75	35	50	

Die Bolzen und Buchsen der Excenterstangen sind aus Stahl und werden gehärtet.

Fig. 610—618.

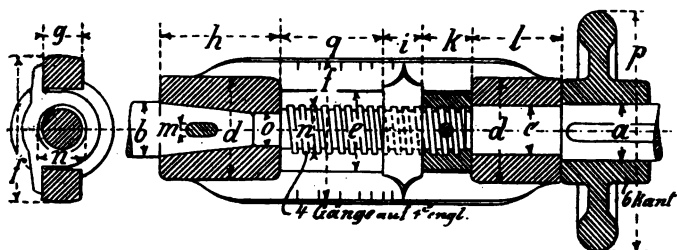


Schieberstangenführung, Fig. 610—618, für einfache und Meyer'sche Schiebersteuerung.

Tabelle 82.

Maschine.																						
H	D	a	b	c	d	e	f	g	h	i	k	l	m	n	o	p	q	r	s	t	u	
200	150	38	70	6	8	5	15	90	—	—	—	—	—	—	—	—	—	—	—	—	—	
300	200	40	90	6	8	5	17	95	—	—	—	—	—	—	—	—	—	—	—	—	—	
400	250	42	110	7	10	6	20	105	50	120	80	13	30	24	16	20	18	20	30	20	10	
500	300	46	130	8	10	6	22	115	60	146	85	14	32	24	16	22	20	20	30	20	11	
600	350	50	150	9	12	8	24	125	70	170	90	15	35	26	20	24	22	25	40	20	12	
700	400	54	170	9	12	8	26	130	80	200	98	16	38	26	20	26	24	25	50	22	13	
800	450	58	190	10	13	10	28	140	90	220	105	18	40	30	23	28	26	30	60	22	16	
900	500	62	210	10	13	10	30	150	100	240	110	20	42	30	23	30	28	35	70	25	17	
1000	550	68	220	10	13	10	30	160	105	260	115	20	45	32	26	32	30	35	75	25	18	

Fig. 619—620.



Stellvorrichtung mit Scala, Fig. 619—620,
zur Meyer'schen Schiebersteuerung o C.

Tabelle 63.

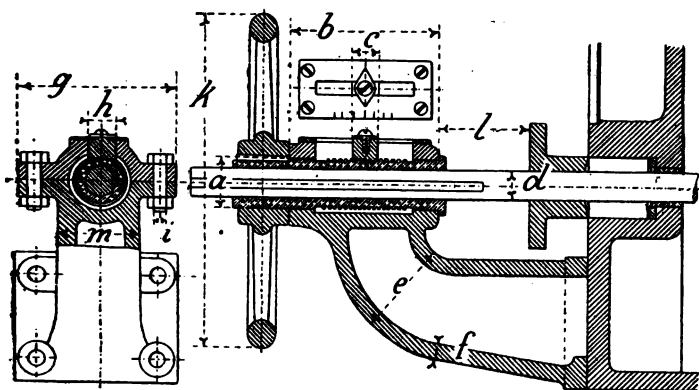
Maschine.																		
<i>H</i>	<i>D</i>	<i>a</i>	<i>b</i>	<i>c</i>	<i>d</i>	<i>e</i>	<i>f</i>	<i>g</i>	<i>h</i>	<i>i</i>	<i>k</i>	<i>l</i>	<i>m</i>	<i>n</i>	<i>o</i>	<i>p</i>	<i>q</i>	
300	200	26	28	25	48	38	70	18	60	19	25	43	5	24	18	122	29	
400	250	28	30	26	52	40	75	20	62	20	26	46	6	25	19	130	40	
500	300	30	32	27	56	43	80	22	64	21	27	49	8	26	20	138	50	
600	350	32	35	28	60	46	85	24	66	22	28	52	9	27	21	146	62	
700	400	36	38	32	63	49	90	26	72	24	32	56	9	30	25	158	71	
800	450	38	40	34	66	53	96	28	80	26	34	60	10	33	27	170	82	
900	500	40	42	36	70	56	104	30	90	28	36	64	11	35	28	178	70	
1000	550	42	44	38	72	60	114	32	100	30	38	68	12	36	29	186	76	

Bei dieser Construction fällt das Handrad sehr klein aus und wird deshalb mit einem Sechskant versehen, um event. mit dem Schraubenschlüssel verstellen zu können.

q ist für 0,0—0,76 Füllung bestimmt.

Gewinde der Schieberstange s. Tab. 65.

Fig. 621—623.



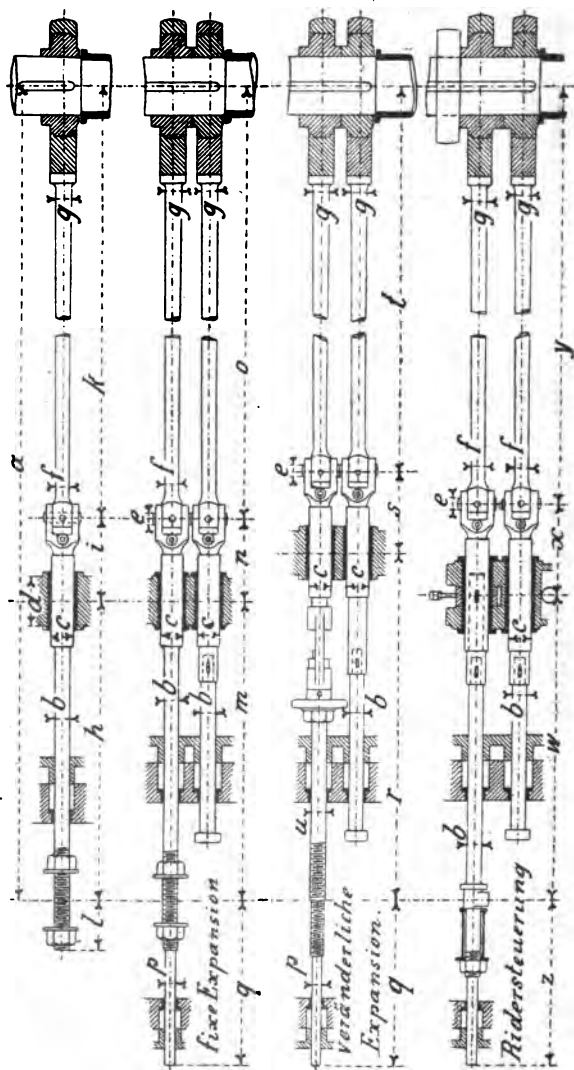
Stellvorrichtung mit Scala, Fig. 621—623,
zur Meyer'schen Schiebersteuerung o C.

Tabelle 64.

Maschine													
<i>H</i>	<i>D</i>	<i>d</i>	<i>a</i>	<i>b</i>	<i>c</i>	<i>e</i>	<i>f</i>	<i>g</i>	<i>h</i>	<i>i</i>	<i>k</i>	<i>l</i>	<i>m</i>
400	250	20	32	80	20	50	8	100	25	10	150	50	40
500	300	23	36	95	22	60	10	110	26	13	190	60	48
600	350	26	40	110	26	70	10	120	28	13	230	70	56
700	400	29	44	125	28	80	12	130	30	13	280	80	64
800	450	31	48	140	30	90	14	140	32	16	320	90	72
900	500	33	52	160	33	105	16	150	34	16	360	100	80
1000	550	34	55	180	35	120	18	160	35	16	400	110	90

Diese am hinteren Ende des Schieberkastens angebrachte Stellvorrichtung hat sich am meisten eingeführt.

Fig. 624—627.

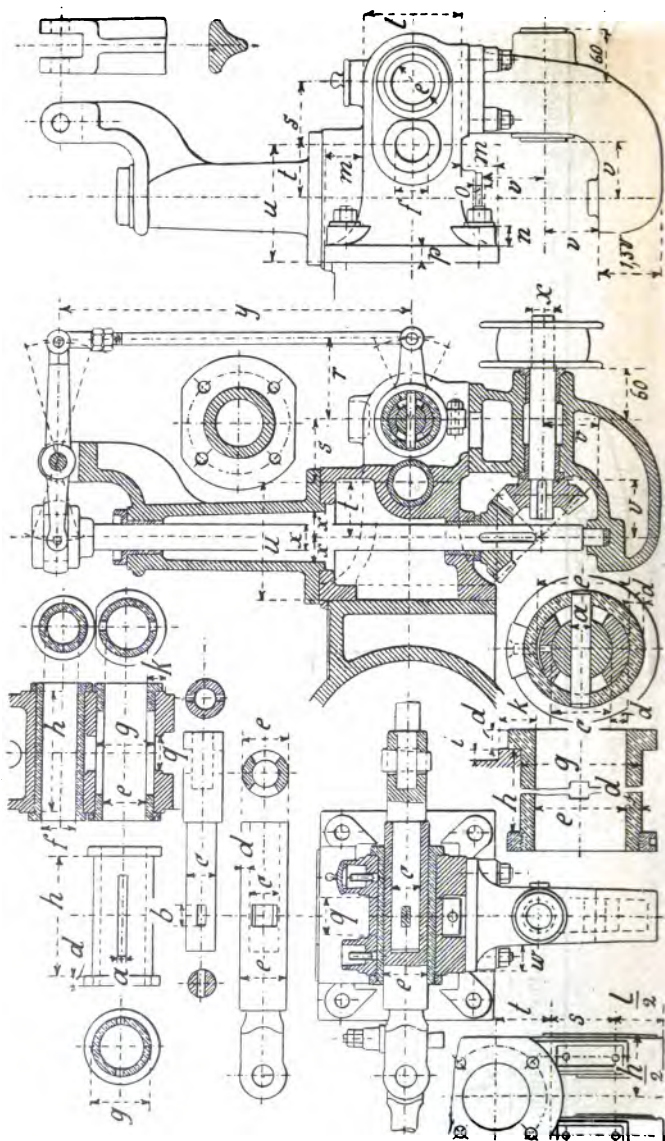


Schieber- und Excenterstangen, Fig. 624—627, zu den Schiebersteuerungen Ae und oC.

Tabelle 65.

Maschine		Gemeinschaftl. Maasse								Einf. Schieber- steuerung				Fixe Expansion				Meyer'sche Steuerung, von Hand verstellbar					Rider-Steuerung, v. Regul. beeinflusst			
H	D	a	b	c	d	e	f	g	h	i	k	l	m	n	o	p	q	r	s	t	u	Gang pr. 1"	w	x	y	z
200	150	1090	22	38	70	23	20	25	390	126	564	65	—	—	—	—	—	—	—	—	—	—	—	—	—	—
300	200	1480	26	40	90	26	23	30	450	146	814	75	520	146	814	20	330	650	146	684	30	4	—	—	—	—
400	250	1900	28	42	110	30	26	35	520	173	1127	90	600	167	1134	20	375	750	167	974	33	4	600	196	1104	360
500	300	2290	30	46	130	32	30	38	600	195	1395	110	700	189	1401	23	415	850	189	1251	36	4	700	216	1394	425
600	350	2680	32	50	150	34	34	42	700	220	1660	120	800	209	1671	26	470	950	209	1521	39	4	800	234	1646	480
700	400	3080	36	54	170	36	38	46	—	—	—	—	880	228	1974	29	520	1050	228	1802	42	4	900	252	1928	540
800	450	3440	38	58	190	38	42	49	—	—	—	—	960	251	2129	31	580	1150	251	2039	48	3	1000	277	2163	600
900	500	3830	40	62	210	40	46	52	—	—	—	—	1050	271	2505	33	620	1250	271	2309	50	3	1100	300	2430	640
1000	550	4250	42	68	220	42	50	55	—	—	—	—	1150	284	2820	34	670	1350	284	2644	52	3	1200	325	2935	700

Fig. 628—646.

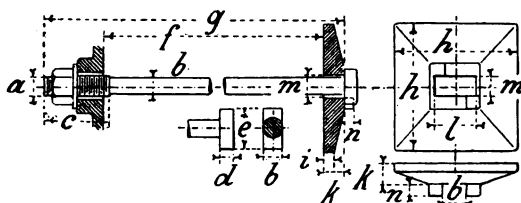


Schieberstangenführung und Regulatorantrieb, Fig. 628—646, zur Rider-Steuerung.
Tabelle 66.

Maschine																										
H	D	a	b	c	d	e	f	g	h	i	k	l	m	n	o	p	q	r	s	t	u	v	w	x	y	
400	250	12	24	35	10	55	42	75	160	5	26	127	50	23	16	20	46	100	80	70	140	76	34	35	400	
500	300	13	26	39	11	61	46	83	175	5	28	130	60	25	20	22	50	105	90	74	160	80	37	35	450	
600	350	14	28	43	12	67	50	91	190	6	30	150	70	27	20	24	54	110	110	78	180	84	40	40	500	
700	400	15	30	47	13	73	54	99	205	6	32	163	80	30	23	26	58	115	125	82	200	88	43	40	550	
800	450	16	32	51	14	79	58	107	230	8	34	175	90	33	26	28	62	120	145	86	220	92	46	40	600	
900	500	18	36	55	15	85	62	115	240	8	37	190	100	36	26	30	66	130	160	90	220	96	50	46	650	
1000	550	20	40	58	16	90	68	122	250	10	40	200	105	40	30	32	70	140	180	95	240	100	60	46	700	

Betreffs Anwendung einer Ölpumpe s. Abschnitt V „Constructionsregeln“.

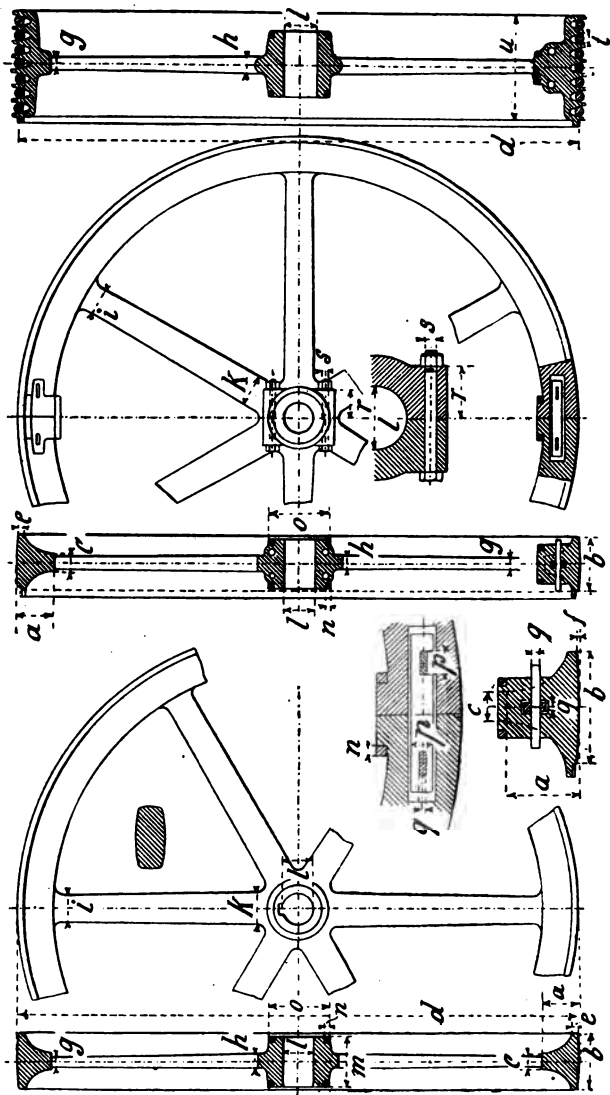
Fig. 650—654.



Fundament-Anker und Platten. Fig. 650—654.

Tabelle 68.

Maschine		Zoll													
H	D		a	b	c	d	e	f	g	h	i	k	l	m	n
200	150	7 ⁷ / ₈	23	120	25	65	1000	1130	200	20	30	75	28	25	
300	200	1	26	120	25	65	1200	1350	200	20	30	75	30	25	
400	250	11 ¹ / ₈	30	130	28	70	1400	1560	250	24	33	80	35	25	
500	300	11 ¹ / ₄	32	130	30	70	1600	1780	250	24	33	90	38	25	
600	350	11 ¹ / ₄	32	140	30	80	1800	2000	275	28	37	90	38	28	
700	400	1 ⁸ / ₈	32	140	30	80	1900	2120	275	28	37	90	38	28	
800	450	11 ¹ / ₂	32	140	30	80	2000	2230	300	30	40	90	38	28	
900	500	1 ⁵ / ₈	35	150	32	90	2150	2400	300	30	40	100	42	28	
1000	550	1 ⁵ / ₈	35	150	32	90	2300	2560	320	30	42	100	42	28	

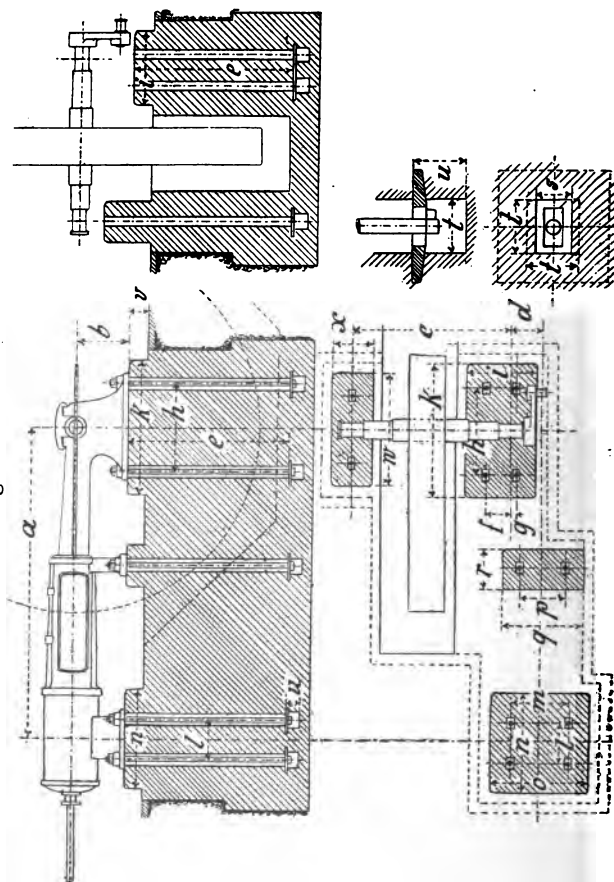


Schwungrad. Fig. 655—663.
Tabelle 69.

Maschine.		Als abgedrehtes Riemenscheiben - Schwungrad.																			Schwer- punkt Durchm.	Krans- Gew.	Als Seilscheibe.		
H	D	d	b	a	c	e	f	g	h	i	k	l	m	n	o	p	q	r	s	d _I	kg	Seil- zahl	t	u	
200	150	1000	150	80	50	8	3	22	30	50	65	75	120	—	150	—	—	—	—	940	130	—	—	—	
300	200	1450	175	95	55	8	3	30	40	60	80	85	150	—	170	—	—	—	—	1380	350	—	—	—	
400	250	1900	200	110	60	8	4	40	50	85	110	125	180	26	240	—	—	—	—	1820	550	3	40	170	
500	300	2350	250	125	70	8	5	50	60	110	135	140	220	30	280	—	—	—	—	2260	850	4	40	210	
600	350	2800	300	140	80	8	6	60	72	135	165	190	230	35	320	64	25	120	36	2700	1200	4	45	250	
700	400	3300	370	155	90	9	7	70	83	160	190	220	270	35	360	72	29	140	40	3190	1700	5	50	340	
800	450	3800	430	170	100	10	8	80	95	180	210	250	310	40	400	80	33	160	43	3680	2250	6	50	410	
900	500	4200	500	185	110	11	9	90	108	190	225	270	350	42	450	88	36	180	46	4070	3050	7	50	475	
1000	550	4700	550	200	125	12	10	100	120	200	240	290	400	45	490	100	40	200	50	4550	4500	8	50	540	

Für schnellgeh. Masch., ist die obige Kranzverbindung nicht geeignet, man beachte Abschn. V, „Constructionsregeln“.

Fig. 664—668.



Maschinenfundament. Fig. 664—668.

Tabelle 70.

Maschine.																									
H	D	a	b	c	d	e	f	g	h	i	k	l	m	n	o	p	q	r	s	t	u	v	w	x	M
400	250	1900	370	1300	215	1400	175	45	550	510	910	—	390	600	600	—	—	—	60	80	100	400	1000	400	5
500	300	2290	450	1450	240	1600	200	50	640	510	1030	350	450	700	700	—	—	—	60	80	120	375	1100	425	8
600	350	2680	500	1600	280	1800	225	60	740	640	1160	400	520	800	800	—	—	—	70	90	140	350	1200	450	11
700	400	3080	550	1750	320	1900	250	75	840	770	1300	450	580	900	900	520	900	500	70	100	160	325	1300	475	15
800	450	3440	600	1900	360	2000	285	90	920	770	1420	475	640	1000	1000	560	980	530	80	110	180	300	1400	500	20
900	500	3830	650	2100	400	2150	310	105	990	910	1530	500	700	1100	1100	580	1060	565	80	110	200	275	1500	525	25
1000	550	4250	700	2300	440	2300	345	120	1080	910	1690	550	750	1200	1200	640	1150	600	80	120	200	250	1600	550	30

M ist der Inhalt des Fundamentes in cbm. Zu einem cbm Mauerwerk gehören 400 Ziegelsteine.

Luftpumpen-Condensator. Fig. 669—671.
Tabelle 71.

Maschine.																								
H	D	a	b	c	d	e	f	g	h	i	k	l	m	n	o	p	q	r	s	t	u	v	w	
500	300	120	100	22	315	80	290	16	20	14	45	16	39	65	170	90	60	80	40	450	400	210	400	
600	350	140	110	22	370	90	320	16	20	14	45	16	44	75	200	110	75	95	40	510	465	245	440	
700	400	160	120	23	425	100	350	18	22	15	50	20	52	85	225	125	90	110	40	570	530	280	490	
800	450	170	130	24	485	120	380	18	22	15	50	20	62	100	250	140	105	125	40	630	595	320	540	
900	500	200	140	25	540	140	420	20	24	16	50	20	70	110	275	160	120	140	45	690	670	360	600	
1000	550	220	150	25	600	160	460	20	24	16	50	20	75	120	300	180	130	150	45	750	740	400	650	

Maasstabellen von Condensatoren anderer Construction s. Abschnitt V „Constructionsregeln“.

Fig. 672—677.

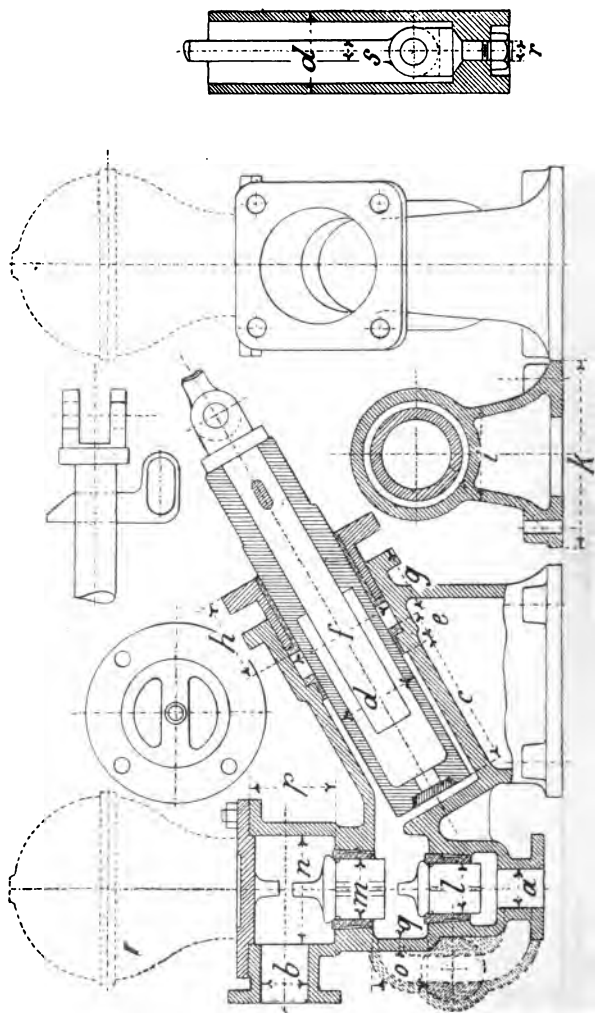


Tabelle 72.

Maschine.																					
D	H	d	нуб	a	b	c	e	f	g	h	i	k	l	m	n	o	p	q	r	s	
200	150	30	45	20	20	44	25	55	50	60	30	130	25	30	50	40	60	12	—	—	
300	200	40	50	30	25	48	30	70	65	70	40	140	35	43	60	50	70	12	—	—	
400	250	50	66	35	30	64	30	85	80	85	50	160	40	50	70	60	80	13	—	—	
500	300	70	80	40	35	78	35	105	95	100	70	180	50	60	85	70	90	13	26	30	
600	350	80	90	45	45	88	40	120	110	110	80	200	55	68	100	75	100	13	30	35	
700	400	90	100	50	50	98	45	130	125	120	90	210	60	72	110	80	110	14	30	40	
800	450	100	110	60	60	108	50	140	140	130	100	230	70	84	120	85	120	14	35	42	
900	500	110	125	70	70	120	60	150	150	135	115	250	80	94	140	90	130	14	35	45	
1000	550	120	140	80	80	135	70	160	160	140	130	270	90	106	150	100	140	15	35	50	

Abschnitt IV.

Gewichte, Hauptmaasse, Raumbedarf, Modellkosten.

A. Gewichte der einzelnen Dampfmaschinenteile.		Seite
Gewichte der	Rahmen, Lagerdeckel etc.	150
„	„ Kreuzköpfe, Kreuzkopfholzen	150
„	„ Treibstangen, Lagerschalen	151
„	„ Kurbeln, Kurbelzapfen	151
„	„ Dampfeylinder, Deckel etc.	152—153
„	„ Kolben, Kolbendeckel, Ringe	154
„	„ Kolbenstangen	154
„	„ Schwungradwellen, Keile	155
„	„ Schwungräder	155
„	„ hinteren Lager, Schalen, Schrauben	155
„	„ Riderbüchsenchieber	156
„	„ Schieberstangen, Stellbacken	156
„	„ Excenter, Excenterbügel	157
„	„ Excenterstangen	157
„	„ Schieberstangenführungen, Regulator-Säulen, Räder etc.	158
„	„ Fundamentanker, Platten	159
„	„ Schutzstangen	159
„	„ Schaltwerke	159
Recapitulation der	Gewichtstabellen	160

In den Gewichtstabellen bedeutet:

G	Gusseisen,	St	Stahl,
Rtg	Rotguss,	FE	Feinkorneisen,
Wg	Weissguss,	Schr	Schrauben,
E	Schmiedeeisen.		

B. Hauptmaasse.

Hauptmaasse der	Eincylinder-Dampfmaschinen	161
-----------------	--------------------------------------	-----

C. Raumbedarf.

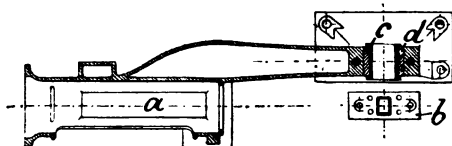
Raubedarf der	Eincylinder-Dampfmaschinen	162
„	„ Zweicylinder- „	163

D. Modellkosten.

Modellkosten der	Maschinen von 400—1000 Hub mit Rider- steuerung	164
------------------	--	-----

Fig. 680—681.

Fig. 682.



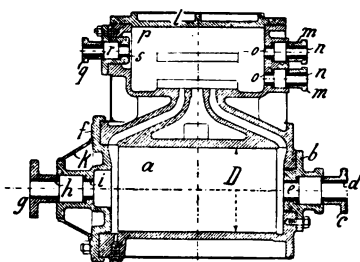
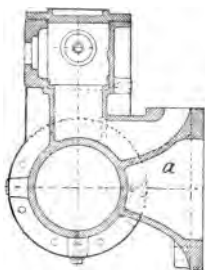
Rahmen und Kreuzköpfe. Fig. 680—682.

Tabelle 73. Gewichte in kg.

Maschine.		Rahmen. Fig. 680—681.									Kreuzköpfe. Fig. 682.		
Hub	Durchmesser	Rahmen a	Lagerdeckel b	Lagerschalen c	Stellkeile d	Rahmen complet mit Deckel a—d					Kreuzkopf e	Bolzen f	Summa
H	D	G	G	Rtg	E	G	Rtg	E	Schr	Summa	G	St	
200	150	300	—	—	—	300	—	—	—	300	7	1	8
300	200	350	12	5	—	362	5	—	3	370	11	1	12
400	250	450	24	7	4	474	7	4	5	490	19	2	21
500	300	650	38	10	6	688	10	6	6	710	29	3	32
600	350	900	61	15	7	961	15	7	7	990	41	5	46
700	400	1200	93	21	8	1293	21	8	8	1330	55	7	62
800	450	1600	124	28	9	1724	28	9	9	1770	70	9	79
900	500	2150	160	35	10	2310	35	10	10	2365	88	11	99
1000	550	2800	200	45	11	3000	45	11	11	3067	106	14	120

Das Gewicht der ganz aufliegenden Rahmen, Fig. 729—732, kann 13 % höher angesetzt werden.

Fig. 687—688.



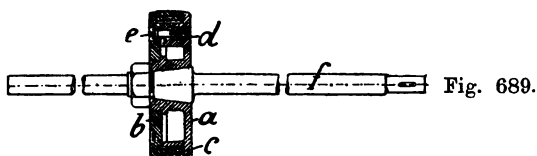
Dampfcylinder mit Deckel und Stopfbüchsen.

Fig. 687—688.

Tabelle 75. Gewichte in kg.

Maschine.		Cylinder a	vord. Deckel b	Stopfbüchse c	Buchse d	Grundring e	hint. Deckel f	Stopfbüchse g	Buchse h	Grundring i	Schutzhaube k	Schieber- kasten- deckel l
Hub	Durchm.											
H	D	G	G	G	Rtg	Rtg	G	G	Rtg	Rtg	G	G
200	150	120	6	2	0,3	0,2	10	—	—	—	—	5
300	200	200	10	3	0,5	0,3	18	—	—	—	—	12
400	250	295	16	4	0,7	0,5	27	—	—	—	—	18
500	300	460	22	5	1,0	0,7	43	5	1,2	0,5	10	32
600	350	660	29	6	1,3	1,0	65	7	1,5	0,7	14	57
700	400	900	36	7	1,6	1,2	95	9	1,8	0,9	18	82
800	450	1200	43	8	1,9	1,5	140	11	2	1,1	22	117
900	500	1500	51	10	2,2	1,7	200	14	2,2	1,4	26	142
1000	550	1800	60	12	2,5	2,0	260	17	2,5	1,7	30	170

Cylinder mit Dampfmantel, Fig. 483—485, wiegt 18 % mehr.



Kolben und Kolbenstange. Fig. 689.

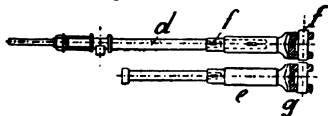
Tabelle 76. Gewichte in kg.

Maschine.		Kolbenkörper <i>a</i>	Kolbendeckel <i>b</i>	Federringe <i>c</i>	Kolbenmuttern <i>d</i>	Deckelschrb. <i>e</i>	Kolbenstange <i>f</i>	Kolben complet mit Stange <i>a—f</i>			
Hub	Durchm.							G	Rtg	St	Summa
<i>H</i>	<i>D</i>										
200	150	7	2	4	—	—	3	13	—	3	16
300	200	9	3	6	—	—	6	18	—	6	24
400	250	12	5	8	—	—	11	25	—	11	36
500	300	15	8	11	—	—	26	34	—	26	60
600	350	20	12	14	2	2	40	46	2	42	90
700	400	30	18	18	2	2	55	66	2	57	125
800	450	42	26	26	3	3	70	94	3	73	170
900	500	55	33	31	3	3	95	119	3	98	220
1000	550	72	43	42	4	4	130	157	4	134	295
1100	600	100	58	57	5	5	180	215	5	185	405
1200	700	150	85	87	6	7	330	322	6	337	665
1400	800	205	115	118	8	9	540	438	8	549	995
1600	900	260	150	154	10	12	790	564	10	802	1376
1800	1000	327	190	195	12	15	1100	712	12	1116	1840

Fig. 693.



Fig. 694—695.



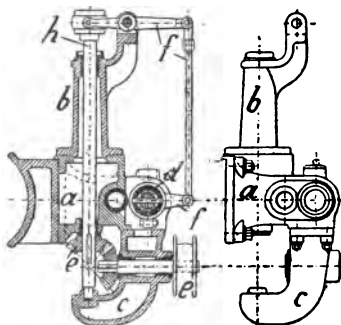
Riderschieber und Schieberstangen.

Fig. 693—695.

Tabelle 78. Gewichte in kg.

[illegible]

Fig. 700—701.



**Schieberstangenführungsböcke mit Regulator-
säulen, Consolen, con. Rädern, Wellen und Hebeln**
(excl. Regulator und Spindel). Fig. 700—701.

Tabelle 80. Gewichte in kg.

Maschine.		a Führungsbock	b Säule	c Consol	d Buchsen	e Räd., Riensch.	f Hebel	g Wellen, Buchs.	Schieberstangenführungsbock und Regulator-Antrieb complet. a—g						
Hub	Durchm.								G	G	G	Rtg	G	E	St
H	D	G	G	G	Rtg	G	E	St	G	Rtg	E	St	Sehr	Summa	
400	250	32	12	15	8	14	5	3	73	8	5	3	2	91	
500	300	50	18	18	11	17	7	3	103	11	7	3	3	127	
600	350	75	23	21	15	20	10	4	139	15	10	4	4	172	
700	400	98	30	24	18	24	12	4	176	18	12	4	5	215	
800	450	122	38	28	21	27	15	5	215	21	15	5	6	262	
900	500	146	47	31	24	29	17	5	253	24	17	5	7	306	
1000	550	170	55	35	28	32	20	6	292	28	20	6	8	354	

Recapitulation der Gewichtstabellen.

Tabelle 82.

Maschine.	Gusseisen		Rotguss		Schmiedeeisen		Stahl und Feinkorn-eisen		Schrauben		Gewicht ohne Schwungrad und ohne Regulator		Regulator		Schwungrad		Armatur, Ventile etc.		Tot.-Gewicht mit Rädersteuerung ohne Condensator		Condensator		Tot.-Gewicht mit Condensator		Speisepumpe mit Excenter	
	H	D	G	Rtg	E	St	St	St	Schr	kg	kg	kg	kg	kg	kg	kg	kg	kg	kg	kg	kg	kg	kg	kg	kg	kg
400	250		1142	31	143	170			34		1520		50		750	30			2350		—		—		40	
500	300		1761	47	230	276			46		2360		80		1150	40			3630		800		4430		50	
600	350		2347	71	342	453			57		3470		110		1620	50			5250		1400		6650		70	
700	400		3491	93	458	647			71		4760		140		2300	70			7250		1600		8850		100	
800	450		4519	116	598	857			90		6180		170		3000	80			9430		2000		11430		140	
900	500		5704	142	740	1079			105		7770		210		4100	90			12170		2500		14670		190	
1000	550		7010	170	902	1330			119		9530		250		6000	100			15880		3000		18880		240	
Material in Proz. }			75,1	2,1	9,4	11,2	2,2	100% (ohne Schwungrad) bei der Maschine 400 Hub.																		
			73,5	1,79	9,51	14,0	1,2	100%																		

B. Hauptmaasse.

Hauptmaasse der Eincylinder-Dampfmaschinen.

C. Raumbedarf.

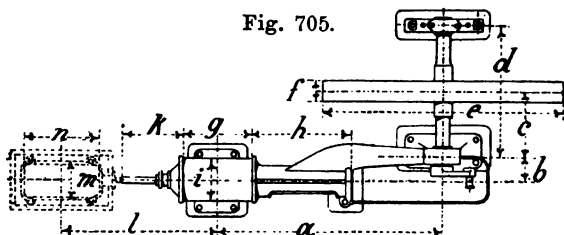
Raumbedarf der Eincylinder-Dampfmaschinen.

" " Zweicylinder- "

D. Modellkosten.

Modellkosten der Maschinen von 400—1000 Hub mit Ridersteuerung.

Fig. 705.

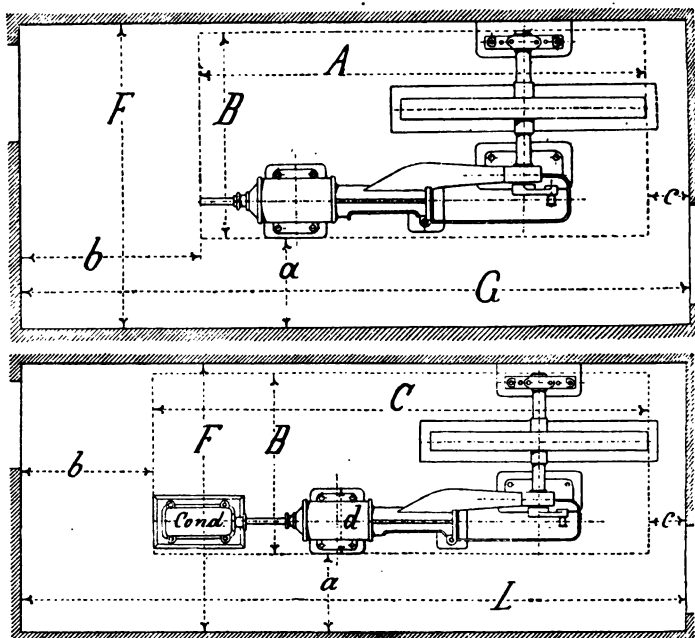


Hauptmaasse der Eincylinder-Dampfmaschinen
mit und ohne Condensation. Fig. 705.

Tabelle 83.

Hub H	a	b	c	d	e	f	g	h	i	k	l	m	n
400	1900	215	700	1300	1900	200	560	890	400	—	—	—	—
500	2290	240	750	1450	2350	250	680	1062	470	770	1800	450	850
600	2680	280	800	1600	2800	300	800	1212	540	901	1950	480	1000
700	3080	320	850	1750	3300	370	922	1343	600	1026	2100	510	1200
800	3440	360	900	1900	3800	430	1038	1521	660	1146	2500	600	1250
900	3830	400	1000	2100	4200	500	1154	1673	720	1271	2750	700	1650
1000	4250	440	1100	2300	4700	550	1270	1855	780	1406	3000	900	1650

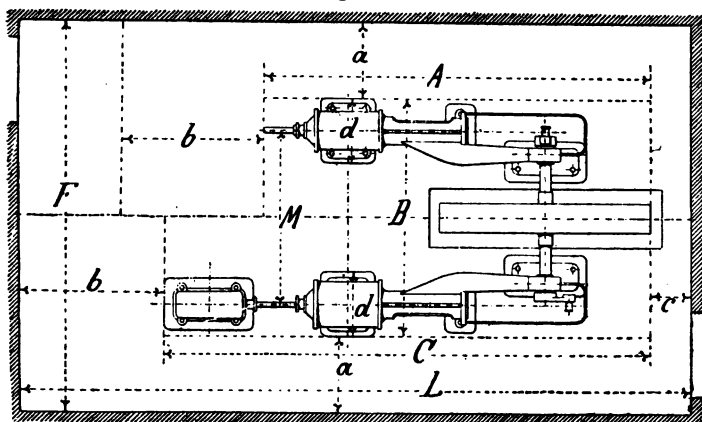
Die obige Tabelle soll das Projectiren der Dampfmaschinen erleichtern und das Nachsuchen in den Zeichnungen dadurch erspart werden.



Raumbedarf der Eincylinder-Maschinen mit und ohne Condensation. Fig. 706—707.
Tabelle 84.

Hub.	Ohne Condensation. Fig. 706.								Mit Cond. Fig. 707.	
<i>H</i>	<i>A</i>	<i>B</i>	<i>a</i>	<i>b</i>	<i>c</i>	<i>d</i>	<i>F</i>	<i>G</i>	<i>C</i>	<i>L</i>
400	3207	2015	800	1600	500	600	2800	5300	—	—
500	4581	2252	900	1700	500	700	3300	6800	5850	8050
600	5381	2505	1000	1800	600	800	3650	7800	6700	9100
700	6217	2757	1100	1900	600	900	4050	8700	7620	10120
800	7005	3010	1200	2000	700	1000	4400	9700	8690	11390
900	7778	3312	1300	2100	700	1100	4800	10600	9740	12540
1000	8641	3615	1400	2200	700	1200	5200	11500	10700	13600

Fig. 708.



Raumbedarf der Zweicylinder-Maschinen

mit und ohne Condensation. Fig. 708.

Tabelle 85.

Hub	Ohne Condensation.								Mit Condens.	
<i>H</i>	<i>A</i>	<i>B</i>	<i>M</i>	<i>a</i>	<i>b</i>	<i>c</i>	<i>d</i>	<i>F</i>	<i>C</i>	<i>L</i>
400	3207	2700	2100	800	1600	500	600	4300	—	—
500	4581	3000	2300	900	1700	500	700	4800	5850	8050
600	5381	3300	2500	1000	1800	600	800	5300	6700	9100
700	6217	3600	2700	1100	1900	600	900	5800	7620	10120
800	7005	3850	2850	1200	2000	700	1000	6250	8690	11390
900	7778	4100	3000	1300	2100	700	1100	6700	9740	12540
1000	8641	4400	3200	1400	2200	700	1200	7200	10700	13600

Das Maass *c* kann auch = 0 oder negativ genommen werden, in letzterem Falle ist die Mauer für das Schwungrad ausgespart.

Modellkosten

(complet mit Kernkasten) in Mark, der in Abschnitt III behandelten Normalien.

(Für Maschinen von 400 bis 1000 Hub mit Ridersteuerung.) **Tabelle 86.**

Kolbenhub mm	400	500	600	700	800	900	1000
Cylinderdurchmesser. "	250	300	350	400	450	500	550
Rahmen m. Lagerdeckel u. Lagerschal. Mk.	250	264	285	300	320	350	390
Kreuzkopf "	25	30	38	44	50	60	65
Lagerschalen zur Treibstange "	5	6	7	8	9	10	12
Cylinder mit Deckel u. Stopfbüchsen "	195	210	220	240	260	280	300
Kolben mit Deckel und Ringen "	24	26	29	31	35	40	45
Hinteres Lager "	33	36	41	46	55	60	70
Riderschieber "	70	75	80	85	95	105	115
Stellbacken d. Gelenkst. d. Schieberst. "	1	1	1	2	2	2	2
Excenter mit Bügel "	30	35	40	45	50	57	65
Schieberstangenführ., Regulatorsäule, con. Räder, Buchsen u. Riemensch. "	70	80	90	105	115	130	150
Ankerplatten "	3	3	3,5	3,5	3,5	3,5	3,5
Schaltwerk "	9	9	10,5	10,5	12,5	12,5	12,5
Speisepumpe. "	120	130	140	150	160	170	185
Summe in Mark	835	905	985	1070	1165	1280	1415

Die Modelle sind so eingerichtet, dass die Maschine rechts oder links bauen kann.

Abschnitt V.

Constructions-Regeln.

Die Kurbelwelle.	Seite
Lagerhals der Kurbelwelle	166
Kurbelwelle für Eincylinder-Maschinen	167
" " Zweicylinder-	167
Gekröpfte Kurbelwelle	168
Die Treibstange	168—169
Der Kurbelzapfen	169
Der Kreuzkopfbolzen	170
Der Treibstangenkopf	170
Normalien des offenen Treibstangenkopfes mit Kappe	170—171
sog. Schiffskopf	172
Tabelle 92—96. Kolbenstangen, Kurbelwellenlager, Kurbelzapfen und Kreuzkopfbolzen	173—175
Der Fundamentrahmen	176
Normalien des U förmigen Rahmens	176
" der Querhäupter zu demselben	177
" des ganz aufliegenden Rahmens mit Bundführung	178—179
Die Kolbenstange	180
Der Dampfkolben	180
Kolbenspiel	180
Der Dampfeylinder	181
Schieberkasten und Schieberkastendeckel	181
Das Dampfhemd	182
Der Schutzmantel	182
Der Fuss des Dampfeylinders	182
Ausdehnung des Dampfeylinders	183
Die Dampfkanäle	183
Kanal- und Rohrquerschnitte	183
Schieberführung	184
Schieberentlastung	184
Schieberrahmen	185
Schieberbewegung und Schieberwiderstand	186
Condenswasserhähne und Nocken	187
Schmiervorrichtung für Dampfeylinder	188—189
Das Schwungrad (Gleichförmigkeit, Radkranz, Schrumpfring, Arme)	190—191
Die Drosselklappe, Normalien	192
Regulatoren und Expansionsapparate.	
Regulatorständer	193
Öelpumpe	194—195
Tabelle 110—112, Proell'sche Regulatoren	196—199
" 118, Hartung'scher Universal-Regulier-Apparat	200—201
" 114, Voss'scher Expansions-Regulier-Apparat	202—203
Condensatoren.	
Tab. 115, Condensator von Brinkmann & Cie., Witten (Pat. F. Horn)	204
" 116, " Eisenhütte Prinz Rudolf, Dülmen	205
Oberflächen-Condensator	206

Der Lagerhals der Kurbelwelle.

Material der Lagerschalen:
Rotguss oder Gusseisen mit Weissguss-
futter.

Es bezeichne in Fig. 709:

P den Kolbendruck in kg,

$M_b = Pl$ das Biegemoment
in cmkg,

$M_d = Pr$ das Drehmoment
in cmkg,

k die Beanspruchung des Ma-
terials pro qcm,

so ist das ideale Biegemoment:

$$M_b \leq M_d \quad (M_b)i = 0,625 M_b + 0,6 M_d = Wk \quad \dots (1).$$

Beispiel:

Für Maschine: $D = 40$ cm $H = 70$ cm $l = 32$ cm ist bei
 $p = 6$ Atm. $P = 7360$ kg, also:

$$(M_b)i = 0,625 \cdot 7360 \cdot 32 + 0,6 \cdot 7360 \cdot 35 = 301760 \text{ cmkg}.$$

Die Beanspruchung pro qcm $k = 800$ kg genommen er-
giebt als Widerstandsmoment:

$$W = 0,1 d^3 = \frac{301760}{800} = 377,2$$

woraus $d = 15,5 = \sim 16$ cm.

In Bezug auf das Heisslaufen ist es vorteilhaft, das Lager
dünn und lang zu machen; häufig wird jedoch die zulässige
Grenze überschritten und die Kurbelwelle federt während des
Betriebes, in diesem Falle ist das Warmlaufen des Lagers
fast unvermeidlich.

Man nehme als Verhältnis $\frac{b}{d} = 1,5-1,8$.

Bedeutet:

$v = \frac{d \pi n}{100 \cdot 60}$ die Umfangsgeschwindigkeit in m pro Sec.

$p = \frac{P}{d b}$ der Maximal-Flächendruck pro qcm (d u. b in cm),

so sei beim Kurbelwellenlager:

$$p \leq 19$$

$$p \cdot v \leq 18 \quad \dots (2).$$

Für obiges Beispiel wäre, wenn $n = 85$, $b = 25$ cm,

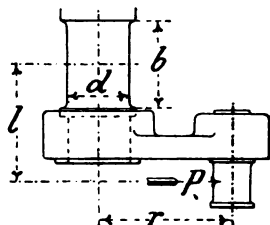
$$v = \frac{0,16 \cdot 3,14 \cdot 85}{60} = \sim 0,8$$

$$p = \frac{7360}{16 \cdot 25} = \sim 19$$

also $v \cdot p = 0,8 \cdot 19 \sim 15$.

(Das Warmlaufen des Lagers kann aus sehr verschiedenen Ursachen
entstehen, man findet Kurbelwellenlager, welche den Wert $p \cdot v$ bis zu
100 aufweisen und doch nicht heiss laufen, ebenso Lager, bei denen $p \cdot v$
unter 10 beträgt und die nicht kalt zu halten sind.)

Fig. 709.



Die Kurbelwelle.

Material: Feinkorneisen oder Stahl.

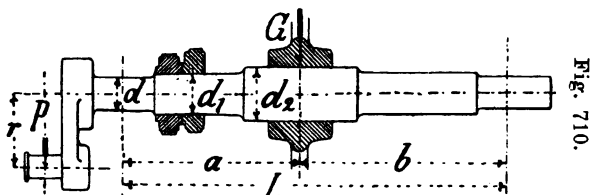


Fig. 710.

Ist die Stärke d des Kurbelwellenlagers nach Seite 166 bestimmt, so nehme man Fig. 710

$$d_1 = 1,15d; \quad d_2 = 1,4d.$$

Unter normalen Verhältnissen beträgt dann die Beanspruchung bei d_2 ca. 200—400 kg pro qcm.

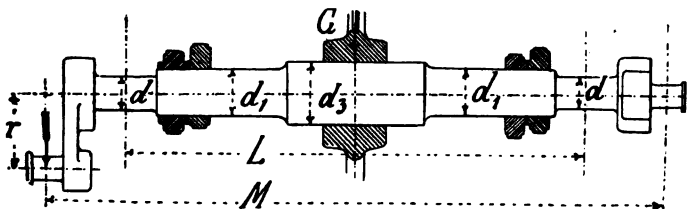
G sei das Gewicht des Schwungrades in kg, so ist das ideale Biegemoment für d_2 :

Wenn $M_b < M_d$

$$(M_b)_i = Wk = 0,625 G \frac{a b}{L} + 0,6 Pr. \quad (3).$$

Achsen für Zweicylinder-Maschinen.

Fig. 711.



Achsen für Zweicylinder-Maschinen. Fig. 711.

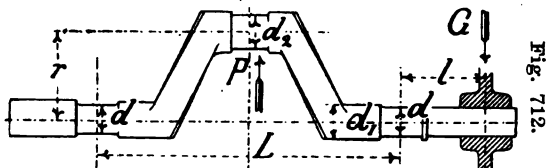
Tabelle 87. mm.

Bub H	400	500	600	700	800	900	1000
M	2100	2300	2500	2700	2850	3000	3200
L	1670	1820	1940	2060	2130	2200	2300

Die Kurbelachsen für **Zwillings-** und **Compound-Maschinen** erhalten meist dieselben Zapfenstärken d als die **Eincylinder-Maschinen**, der Durchmesser in der Mitte $d_3 = 1,3$ bis $1,5d$.

Die gekröpfte Kurbelwelle.

Material: geschmiedet oder von Rundeisen gebogen.



Die Zapfendurchmesser d werden für die ganze Maschinenleistung N berechnet.

Es ist für d wenn $M_b < M_k$

$$(M_b)_i = Wk = 0,625 G l + 0,6 P r \quad (4).$$

und für d_2

$$M_b = \frac{P L}{4} \quad (5).$$

Bei kleinen Maschinen wird $d_1 = 1,1 d$; $d_2 = 1,2 d$.
In Bezug auf Warmlaufen gelte Gleichung 2.

Die Treibstange.

Material: Schmiedeeisen.

Querschnitt des Schaftes rund oder flach, Fig. 713—714.

P Kolbendruck in kg,

l Länge der Treibstange in cm,

d Durchmesser des runden Schaftes in der Mitte in cm,

m Sicherheitsgrad, s. Tab. 88,

so ist:

$$d = 0,32 \sqrt[4]{m P l^2} \quad (6).$$

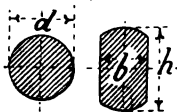


Fig. 713—714.

Sicherheitsgrad m .

Tabelle 88.

Kolbengeschw. $c =$	1	2	3	4 m pro Sec.
Sicherheitsgrad $m =$	30	20	15	10

Bei Schiffsmaschinen und Locomotiven findet sich häufig $m = 6$ bis 10.

Der Durchmesser der Treibstange am Kreuzkopfende wird $0,7 d$, am Kurbelende $0,8 d$.

Der flache Querschnitt der Treibstange.

Sind in Fig. 714 b und h die Breite und Höhe des flachen Querschnittes, so kann nach Tab. 89 der runde Querschnitt in einen rechteckigen verwandelt werden.

Umwandlung des runden Querschnittes in den rechteckigen. Fig. 713—714.

Tabelle 89.

$\frac{h}{b}$	1,5	1,75	2	2,25	2,5
$\frac{b}{d}$	0,79	0,76	0,74	0,72	0,7
$\frac{h}{d}$	1,19	1,33	1,48	1,62	1,75

Beispiel:

Eine Dampfmaschine hat $P = 7000$ kg Kolbendruck, die Treibstange ist $l = 180$ cm lang, die Kolbengeschwindigkeit $c = 2$ m pro Sec.

Für den kreisförmigen Querschnitt ergibt sich:

$$d = 0,32 \sqrt{20 \cdot 7000 \cdot 180^2} = 8,2 \text{ cm.}$$

Für den rechteckigen Querschnitt mit dem Verhältnis

$$h:b = 1,75 \text{ ist nach Tabelle: } \frac{b}{d} = 0,76 \text{ also}$$

$$b = 0,76 \cdot 8,2 = 6,2 \text{ cm, } h = 1,33 \cdot 8,2 = 10,9 \text{ cm.}$$

Der Kurbelzapfen.

Material: Stahl; Lager: Rotguss oder Weissguss.

d Durchmesser des Kurbelzapfens in cm,

b Länge des Kurbelzapfens in cm,

P Maximalkolbendruck in kg,

so ist:

$$M_b = P \frac{b}{2} = Wk = 0,1 d^3 k \quad \dots \quad (7).$$

Die Beanspruchung k kann = 500—800 kg pro qcm angenommen werden.

Um das Warmlaufen zu vermeiden, macht man den Kurbelzapfen gewöhnlich grösser, als es die Rechnung auf Festigkeit ergibt.

Es sei wieder:

$$p = \frac{P}{d \cdot b} \text{ der Flächendruck pro qcm in kg,}$$

$$v = \frac{d \pi n}{100 \cdot 60} \text{ die Umfangsgeschwindigkeit des Zapfens}$$

in m pro Sec.

so sei: $p \leq 80$

und $v p \leq 32 \quad \dots \quad (8).$

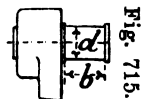


Fig. 715.

Der Kreuzkopfbolzen.

Material: Stahl; Lager: Rotguss.

Der Kreuzkopfbolzen bietet, auf Flächendruck berechnet, hinreichende Festigkeit.

Der Maximal-Flächendruck kann hier zu $p = 110$ kg pro qcm angenommen werden.

Ist die Treibstange gegabelt, so wird $b = 2d$, bei gegabeltem Kreuzkopf dagegen $b = 1,25d$.

Der Treibstangenkopf.

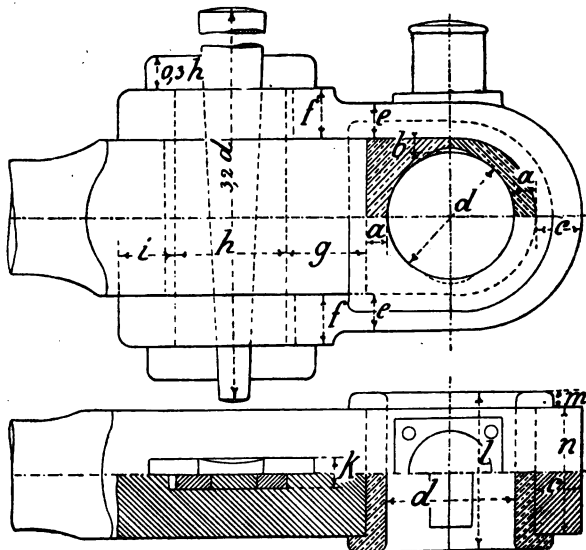
Es ist wichtig, dafür Sorge zu tragen, dass die Schalen an den Teilstellen oben und unten, Fig. 716 und 719, nicht anliegen. Die Schalen für grössere Zapfen bohrt man deshalb etwas weiter, als der Durchmesser des Zapfens beträgt.

Nachstehend:

Offener Treibstangenkopf mit Kappe, Fig. 716—717.

sog. Schiffskopf, Fig. 718—720.

Fig. 716—717.



Offener Schubstangenkopf mit Kappe. Fig. 716—717.

Tabelle 90. mm.

Zapfen												
<i>d</i>	<i>l</i>	<i>a</i>	<i>b</i>	<i>c</i>	<i>e</i>	<i>f</i>	<i>g</i>	<i>h</i>	<i>i</i>	<i>k</i>	<i>m</i>	<i>n</i>
50	65	9	6	24	15	20	24	42	23	12	7,5	50
60	75	10	6	25	16	24	30	48	26	13	7,5	60
70	85	12	7	28	19	27	36	54	30	15	7,5	70
80	100	13	8	31	22	30	42	60	35	17	10	80
90	115	14	9	34	25	33	48	70	40	20	12,5	90
100	130	15	10	37	28	36	54	80	45	23	15	100
110	140	16	10	40	30	40	60	90	50	26	15	110
120	150	18	11	44	32	44	65	100	55	28	15	120
130	165	20	12	48	35	48	70	110	60	30	15	135
140	180	21	12	54	38	52	75	120	65	32	15	150
150	190	22	13	60	41	56	80	130	70	34	16	158
160	205	23	14	66	44	60	85	140	75	36	16	173
170	220	24	15	72	46	64	90	150	80	38	16	183
180	230	26	16	78	48	68	95	160	85	40	18	194
190	240	28	16	84	50	72	100	170	90	42	18	204
200	250	30	17	90	52	76	105	180	95	44	18	214

Normalien des geschlossenen Treibstangenkopfes s. Tab. 32.

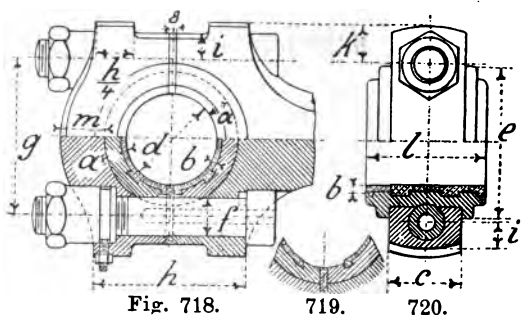


Fig. 718.

719.

720.

Offener Treibstangenkopf, Fig. 718—720, sogen. Schiffskopf.

Tabelle 91. mm.

Zapfen											
<i>d</i>	<i>l</i>	<i>a</i>	<i>b</i>	<i>c</i>	<i>e</i>	<i>f</i>	<i>g=h</i>	<i>i</i>	<i>k</i>	<i>m</i>	
50	65	16	4	50	110	28	110	18	28	30	
60	75	16	5	55	120	30	120	20	30	34	
70	85	18	5	60	125	32	130	23	35	38	
80	100	18	5	70	140	36	145	27	40	42	
90	115	20	5	80	155	40	162	29	43	46	
100	130	20	6	85	170	44	180	32	47	50	
110	140	22	6	95	185	48	195	37	52	55	
120	150	22	6	100	195	52	210	42	57	60	
130	165	24	7	110	215	56	230	42	60	65	
140	180	26	7	120	230	60	245	45	65	70	
150	190	28	7	125	240	65	260	50	70	75	
160	205	30	8	135	260	70	280	52	72	80	
180	230	32	8	150	290	80	315	57	80	90	
200	250	35	8	170	310	85	345	67	90	100	

Kolbenstange, Kurbelwellenlager, Kurbelzapfen und Kreuzkopfbolzen

für Maschinen von $6\frac{1}{2}$ bis $7\frac{1}{2}$ Atm. Überdruck.

Tabelle 92. mm.

Maschine					Kolb.- stange	Kurbel- wellenlag.		Kurbel- zapfen.		Kreuzkopf- bolzen.	
<i>H</i>	<i>D</i>	<i>n</i>	<i>c</i>	<i>Ne</i>	<i>d</i>	<i>d</i>	<i>l</i>	<i>d</i>	<i>l</i>	<i>d</i>	<i>l</i>
200	150	200	1,33	6	28	—	—	—	—	40	50
300	200	150	1,50	10	38	—	—	—	—	45	60
400	250	120	1,60	15	43	110	180	65	80	50	70
500	300	106	1,70	25	50	130	210	70	90	60	80
600	350	95	1,90	40	55	150	240	80	105	70	90
700	400	85	1,98	55	60	175	270	95	115	80	100
800	450	77	2,05	75	65	200	300	105	130	90	110
900	500	70	2,10	90	70	225	330	120	145	100	120
1000	550	65	2,16	110	80	250	370	130	160	110	130
1100	600	60	2,20	140	95	280	420	145	180	125	145
1200	700	57	2,28	200	110	310	470	160	200	140	160
1400	800	53	2,47	280	130	350	530	190	230	160	180
1600	900	50	2,66	380	150	390	600	220	260	180	200
1800	1000	47	2,82	520	170	430	650	240	290	200	230
2000	1100	45	3,00	670	190	470	720	260	330	220	260

Für diese Zapfendimensionen passt der Rahmen Tabelle 99,
Kurbelwellenlager von Gusseisen mit Weissgussfutter.

Kurbelwellenlager, Kurbelzapfen, Kreuzkopfbolzen.

Die oberen Maasse gelten für Maschinen bis $7\frac{1}{2}$ Atm. Überdruck.

" unteren " " " " " 6 " "

Die Längen der Lagerläufe und das Maass x Fig. 721 sind constant gewählt, um dasselbe Rahmenmodell benutzen zu können.

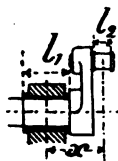


Fig. 721.

Tabelle 93. mm.

Cylind.- Durchm.	Kurbelwellen- lager.		Kurbelzapfen		Kreuzkopf- bolzen.		Fig. 721.
	D	d_1 l_1	d_2 l_2	d_3 l_3	$x = 0,9 (l_1 + l_3)$		
250	110	180	65	80	50	70	230
	100	180	55	80	50	70	
300	130	210	70	90	55	80	270
	115	210	65	90	55	80	
350	160	240	80	105	65	90	310
	130	240	75	105	65	90	
400	175	270	95	115	75	100	350
	150	270	85	115	75	100	
450	190	300	105	130	85	110	390
	170	300	95	130	85	110	
500	220	330	120	145	90	120	430
	190	330	105	145	90	120	
550	250	370	130	160	100	130	470
	210	370	115	160	100	130	

Die Zapfendimensionen der in Abschnitt III behandelten Normalien sind für einen Dampfdruck von $5\frac{1}{2}$ — 6 Atm. Überdruck bestimmt. Bei Neuankfertigung von Modellen ist es zu empfehlen, auf hohen Dampfdruck, also auch auf grössere Zapfendimensionen nach Tabelle 92 oder 93 Rücksicht zu nehmen.

Der Fundament-Rahmen.

Mit Festigkeitsrechnung ist zur Bestimmung der Dimensionen des Rahmens nicht weit zu kommen, letztere haben sich durch Erfahrungen von selbst ergeben.

Die Dimensionen für den Bajonettrahmen bis 1000 Hub sind in Tab. 24 enthalten.

Tab. 97. **U förmiger Rahmen** (s. auch Seite 20).

Tab. 99. Sehr solider Rahmen mit **Rundführung**.

Fig. 722—723.

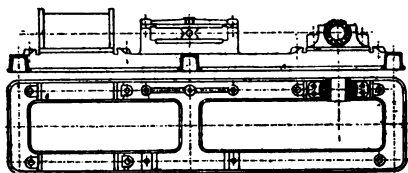
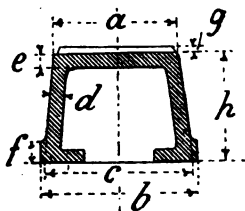


Fig. 724.

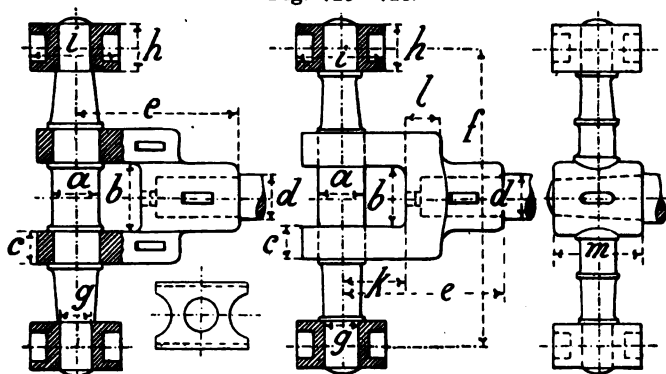


Fundament-Rahmen, Fig. 722—724,
mit U förmigem Querschnitt.

Tabelle 97. mm.

Maschine.									
H	D	h	b	a	c	d	e	f	g
400	250	160	140	110	125	18	18	20	5
600	350	210	180	140	160	20	20	25	8
800	450	260	220	170	200	23	22	30	10
1000	550	310	260	220	235	26	24	35	10
1200	700	350	300	235	270	28	26	40	15
1400	800	400	340	260	300	30	28	45	15
1600	900	450	380	290	325	32	30	50	15
1800	1000	500	420	320	370	34	32	60	20
2000	1100	550	450	350	400	36	34	70	20

Fig. 725—728.

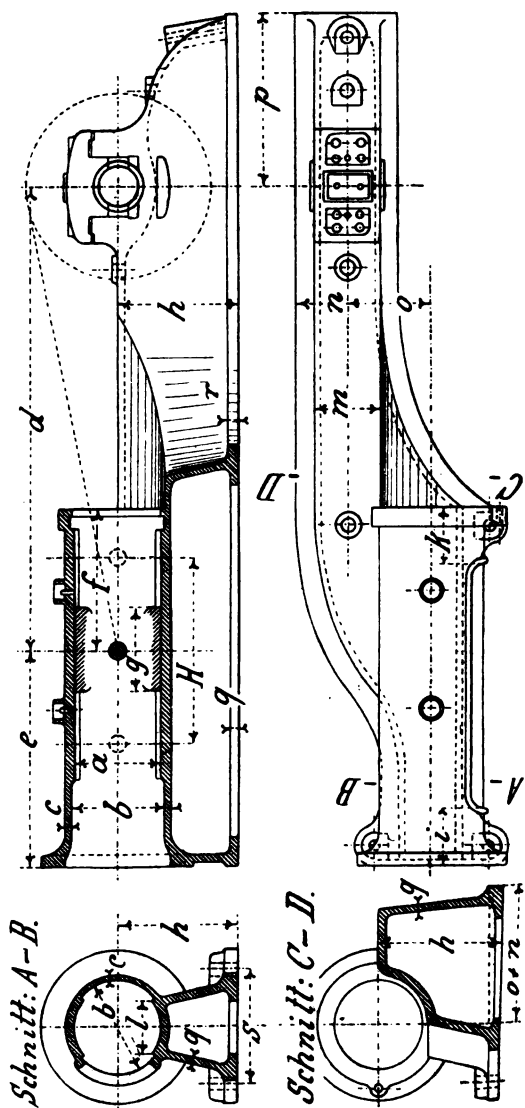


Querhaupt, Fig. 725—728, (passend zum Rahmen S. 176).

Tabelle 98. mm.

Maschine													
H	D	d	a	b	c	e	f	g	h	i	k	l	m
400	250	50	60	80	45	220	400	40	60	120	85	40	120
500	300	55	68	90	50	245	490	45	75	150	93	44	130
600	350	65	75	100	55	270	540	50	90	180	100	52	140
700	400	70	82	105	60	295	600	55	115	210	107	56	165
800	450	75	90	115	65	320	650	60	130	240	115	60	175
900	500	80	100	125	70	350	700	65	150	270	125	64	190
1000	550	90	110	130	75	380	750	70	170	300	135	72	210
1200	700	110	135	160	85	470	800	85	190	340	160	88	250
1400	800	130	160	190	95	560	900	100	210	380	185	104	310
1600	900	150	185	220	110	650	1050	115	240	420	210	120	370
1800	1000	175	210	250	125	750	1300	130	270	460	235	140	430
2000	1100	200	240	280	140	850	1500	150	300	500	265	160	500

Fig. 729—732.



Rahmen ganz aufliegend mit Rundführung. Fig. 729—732.

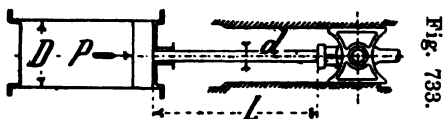
Tabelle 99. mm.

Maschine		a	b	c	d	e	f	g	h	i	k	l	m	n	o	p	q	r	s
H	D																		
400	250	220	240	15	1050	570	320	220	350	140	125	110	145	180	230	430	18	20	430
600	350	300	325	18	1530	750	480	300	475	190	160	155	200	220	310	600	20	25	490
800	450	380	410	21	2000	921	620	370	600	220	185	200	240	260	380	770	23	30	550
1000	550	480	510	23	2500	1115	760	440	700	260	210	240	300	300	480	940	26	35	625
1200	700	580	615	26	3000	1300	900	510	800	285	230	280	380	340	590	1110	28	40	700
1400	800	670	705	29	3500	1440	1050	680	900	310	250	320	440	380	680	1280	30	50	775
1600	900	770	810	32	4000	1570	1200	750	1000	335	275	360	500	420	770	1450	32	60	850
1800	1000	880	900	34	4400	1690	1350	820	1050	360	295	430	550	460	840	1720	34	70	925
2000	1100	960	1000	36	4800	1800	1500	900	1100	380	320	500	620	500	940	1800	36	80	1000

Die Rahmen von 1400 Hub aufwärts erh. 9—10 Fundamentanker. Die Dimensionen des Kurbellagers hierzu s. Tab. 92.

Die Kolbenstange.

Material: Stahl.



Das eine Ende kann als fest eingeklemmt betrachtet werden, dann ist für Zerknickungsfestigkeit:

$$P = 20 \frac{EJ}{m L^2}; \quad J = \frac{d^4 \pi}{64}; \quad E = 2000000$$

$$d = 0,084 \sqrt[4]{P m L^2} \dots \dots \dots (9).$$

Durchschnittlich kann $m = 25$ gesetzt werden, dann ist

$$d = 0,6 \sqrt[4]{P L^2}.$$

Nach einer anderen bewährten Regel wird $d = 1/6 - 1/7$ vom Cylinderdurchmesser.

Beispiel:

Für Maschine $D = 40$ cm $H = 70$ cm ist bei 6 Atm. $P = 7300$
 $L = 100$ cm

$$d = 0,6 \sqrt[4]{7300 \cdot 100^2} = \sim 6,0 \text{ cm.}$$

Keilverbindungen der Kolbenstange mit dem Kreuzkopf s. Abschnitt „Verschiedene Normalien“.

Der Dampfkolben.

Die Höhe b der Kolbenringe findet man sehr verschieden, nach Reulaux ist:

$$b = 18 \sqrt[4]{D} - 3$$

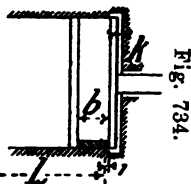
Maasse in mm.

Die Lauflänge L des Cylinders wird

$$L = H + b - 2 \text{ mm.} \dots (10),$$

so dass in der äussersten Stellung der Kolbenring die Lauffläche um ca. 1 mm überragt, Fig. 734.

Der Spielraum k zwischen Kolbenkörper und Cylinderdeckel kann aus folgender Tabelle entnommen werden.



Kolbenspiel k . Fig. 734.

Tabelle 100. mm.

Hub . . . H	200	400	600	800	1000	2000
Kolbenspiel k	4	4	5	6	7	8

Der Dampfeylinder.

Material: Gusseisen.

Wandstärke des Dampfeylinders: $\delta = 2 + \frac{D}{100}$ in cm . (11).

Flanschenstärke: $f = 1,25 \delta$.

Der Cylinderdeckel.

Wandstärke: $\delta = 0,4 D \sqrt{\frac{p}{k}}$ (12).

Beanspruchung: $k = \frac{0,16 D^2 p}{\delta^2}$.

D Lochkreisdurchmesser in cm, δ Wandstärke in cm, k Beanspruchung pro qcm, p Dampfdruck in Atm. Überdruck.

Beispiel:

Es sei: $D = 60$ cm, $p = 6$ Atm., $k = 350$ kg, so wird:

$$\delta = 0,4 \cdot 60 \sqrt{\frac{6}{350}} = 3,1 \text{ cm.}$$

Bei Versteifung durch Rippen könnte die Wandstärke um ein Geringes vermindert werden.

Anzahl und Durchmesser der Deckelschrauben sowie Dimensionen der Dichtungsleiste können aus der Normal-Rohr-Tabelle entnommen werden.

Der Schieberkasten und Schieberkastendeckel.

Material: Gusseisen.

Als fest eingeklemmte Platten zu betrachten.

Wandstärke: $\delta = 0,5 l \sqrt{\frac{p b}{k l}}$. (13). Schieberkasten, Fig. 735.

Beanspruchung: $k = 0,25 \frac{p b l}{\delta^2}$.

Maasse in cm; p in Atm.

Beispiel:

Für Maschine $D = 40$ cm $H = 70$ cm ist mit $p = 6$ Atm.

1. für den Schieberkasten: $l = 56$; $b = 28$; $k = 450$ kg.

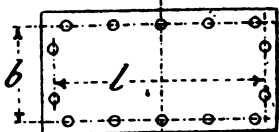
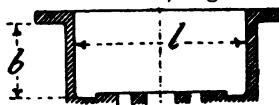
$$\delta = 0,5 \cdot 56 \sqrt{\frac{6 \cdot 28}{450 \cdot 56}} = \sim 2,2 \text{ cm.}$$

2. für den Schieberkastendeckel: $l = 64$; $b = 38$; $k = 450$.

$$\delta = 0,5 \cdot 64 \sqrt{\frac{6 \cdot 38}{450 \cdot 64}} = \sim 2,8 \text{ cm.}$$

Werden Rippen zur Versteifung angewandt, so kann δ etwas verkleinert werden.

Es ist ratsam, den Schieberkasten bei Maschinen von 900 Hub aufwärts nicht anzugliessen, sondern anzuschrauben (s. Fig. 483—485).



Deckel, Fig. 736.

Das Dampfhemd

Die Anwendung eines Dampfhemdes, Fig. 483—485, ist immer zu empfehlen, dasselbe ist günstig für den **Dampfverbrauch**, verhindert die Bildung von **Condensationswasser** während des Betriebes und erleichtert das **Anwärmen** des Cylinders vor dem Inbetriebsetzen der Dampfmaschine.

Mehrkosten der Maschinen durch Anwendung eines Dampfmantels.

Tabelle 101.

Cylinderdurchmesser.	200	300	400	500
Mark	170	230	320	430

Der Schutzmantel (Umkleidung) um den Dampfzylinder.

Material: Eisenblech, Stahlblech oder Holz.

Blechstärke des Mantels $1-1\frac{1}{2}$ mm.

Entfernung der $\frac{5}{16}$ " Befestigungsschraubchen ca. 80 mm.

Der Raum zwischen Mantel und Cylinder wird mit einem schlechten Wärmeleiter ausgefüllt.

Der Fuss des Dampfzylinders.

Behufs Ausgleichung der **Ausdehnung** des Cylinders durch die Wärme, wenden einige Constructeure bei Maschinen von 600 Hub aufwärts eine **Schlittenführung** unter dem Cylinderfuss an (Fig. 737). Man will eine Verbiegung des Cylinders und der Geradföhrung bei fest verankertem Cylinderfuss beobachtet haben als Folge der Ausdehnung durch die Wärme.

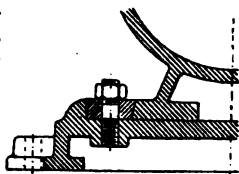


Fig. 737.

Differenz der Cylinderlängen in kaltem und warmem Zustand (Mittelwerte).

Tabelle 102.

Kolbenhub mm	400	600	800	1000	2000
Ausdehnung mm	0,5	0,8	1,1	1,6	3,5

Die Dampfkanäle.

$a b$ Querschnitt des Kanals im Schieberspiegel in qcm.

$a_1 b$ " " Durchlasskanales im Grundschieber

in qcm.

c Kolbengeschwindigkeit in m pro Sec.

v mittlere Dampfgeschwindigkeit in m pro Sec.

F Querschnitt des Dampfeylinders in qcm.

Meistens findet man:

$$a b = \frac{F c}{v} = \frac{F c}{30} \dots \dots \dots (14).$$

Also $v = 30$ m mittlere Dampfgeschwindigkeit.

Je kleiner der Füllungsgrad, desto kleiner kann die mittlere Dampfgeschwindigkeit für den Dampfeintritt genommen werden, also desto kleiner kann der Querschnitt $a_1 b$ des Durchlasskanales und der der Frischdampf-Rohrleitung genommen werden.

$d_1^2 \frac{\pi}{4}$ sei der Querschnitt der Frischdampf-Leitung in qcm.

$d^2 \frac{\pi}{4}$ " " " " Abdampf-Leitung " "

Kanal- und Rohr-Querschnitte.

Tabelle 103.

Dampfeintritt		Dampfaustritt
Füllung bis 0,2	Füllung 0,2—1,0	
$a_1 b = d_1^2 \frac{\pi}{4} = \frac{F c}{40}$ $a b = \frac{F c}{30}$	$a_1 b = a b = d_1^2 \frac{\pi}{4}$ $= \frac{F c}{30}$	Auspuff-Maschinen $d^2 \frac{\pi}{4} = \frac{F c}{25}$ Condens.-Masch. $d^2 \frac{\pi}{4} = \frac{F c}{20}$

Die Maximal-Dampfgeschwindigkeit ist $v \cdot \frac{\pi}{2}$, dieselbe tritt bei 0,5 Füllung ein und kann bis 70 m pro Sec. betragen, ohne merklichen Druckverlust zu erzeugen.

Die Kanalbreite b macht man so breit, wie es eben die Cylinder-Construction gestattet, im Durchschnitt:

$b = 0,6 - 0,7 D$ bei gewöhnlichen Maschinen.

$b = 0,8 D$ bei Maschinen mit Coulissensteuerung.

Die Schieberführung.

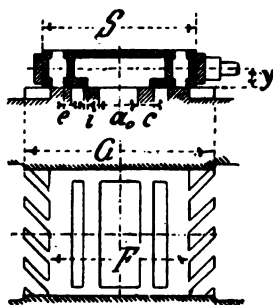
Der Angriff der Schieberstange hat möglichst nahe am Schieberspiegel zu erfolgen, da andernfalls im Laufe der Zeit der Schieberspiegel eine Wölbung bekommen kann. Letzteres wird natürlich um so eher geschehen, je kürzer die Lauflänge F , Fig. 738—741, im Verhältnis zur Schieberlänge S ist, also je mehr der Schieber am Ende seines Hubes überläuft.

Um nun den Schieber möglichst zu entlasten, und doch eine lange Lauflänge zu haben, wendet man häufig die in Fig. 738 bis 739 dargestellte Gitterconstruction an.

Zur Erzielung eines möglichst kleinen Wertes von y eignet sich am besten der Anschluss der Schieberstange mittelst Hammerkopf, oder die Anwendung von Schleberrahmen, Tab. 104.

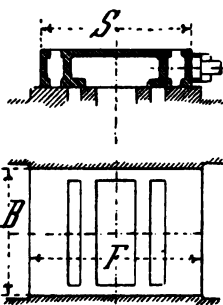
Fig. 738—739.

Fig. 740—741.



$$F = a_0 + 3c + 2t - 2i$$

$$G = S + 1,5t$$



$$F = S + t$$

Die Entlastung der Flachschieber.

Entlastung der Flachschieber wird selten angewandt und sind dem Verfasser wirklich gut functionierende Constructionen nicht bekannt. Eine, bei grossen Schiffsmaschinen häufig angewandte, Entlastung geschieht in der Weise, dass ein kreisförmiger Teil des Schiebers abgedichtet ist, indem ein Ring aus Rotguss auf der bearbeiteten Fläche des Schieberrückens gleitet; dieser Metallring wird von einem schmiedeeisernen Ring gefasst, welcher seine Führung in einer Nuth des Schieberkastendeckels hat und von aussen unter Zwischenlage eines zweiten schmiedeeisernen und eines Gummiringes durch Schrauben angepresst wird.

Eine Abhandlung über Schieber-Entlastungen s. Zeitschr. d. Ver. Deutsch. Ing. 1887, S. 155.

Die Schieberbewegung.

BS sei die Fläche des Schiebers in qcm, Fig. 738—741,

p der Dampfüberdruck in Atm.,

$\mu = 0,15$ der Reibungskoeffizient,

K die zur Bewegung des Schiebers nötige Kraft in kg,

so wird meistens angenommen:

$$K = SB p \mu.$$

Die Erfahrung hat gezeigt, dass diese Rechnung zu **grosse Werte** für K ergibt.

Für eingelaufene Maschinen kann $\mu = 0,07$ gesetzt werden, dann ist die zum Bewegen des Schiebers nötige Kraft

$$K = 0,07 p SB.$$

Den kleinen Reibungskoeffizient kann man sich so erklären, dass zwischen Schieber und Schieberspiegel eine Dampfschicht von geringer Spannung herrscht.

Annähernde Werte über Schieberwiderstand des Grundschiebers in kg und Kraftbedarf A der Schieberbewegung in Sec. mkg sind für $p = 6$ Atm. in nachstehender Tab. enthalten.

Schieberwiderstand

für eingelaufene Maschinen (über 6 Monat im Betrieb).

Tabelle 105.

Cylinderdurchmesser.	200	300	400	500 mm
Schieberwiderstand K	100	200	400	650 kg
Kraftbedarf . . A	10	30	60	100 Sec. mkg

Für die Berechnung der **Excenterstangen, Bolzen** etc. ist jedoch der dreifache Wert von K in Rechnung zu stellen.

Die **Excenterstange** wird auf Zerknickung berechnet und kann $m = 10$ gesetzt werden.

Beispiel:

Für Maschine $D = 40$ cm, $H = 70$ cm ist $P = 3 \cdot 400 = 1200$ kg
 $l = 180$ cm

$$J = \frac{Pl^2 m}{E 10} = \frac{1200 \cdot 180^2 \cdot 10}{2000000 \cdot 10} = 19,44,$$

woraus der Durchmesser der Stange in der Mitte $d = 4,5$ cm.

Die Condenshähne.

Zum Ablassen des Condensationswassers sind nöthig:

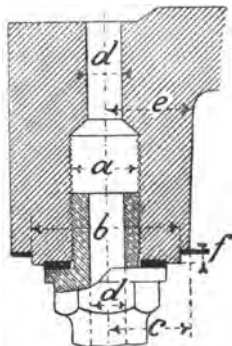
2 Hähne für die beiden Cylinderenden;

1 Hahn zum Schieberkasten;

1 Hahn von 6—10 mm Durchgang ist ferner noch erforderlich, wenn der Cylinder Dampfhemd hat.

Die Rohre der einzelnen Condenshähne dürfen nicht vereinigt, sondern müssen einzeln in's Freie geleitet werden; der Durchmesser der Rohre ist = ca. 1,3 d zu nehmen.

Fig. 744.



Nocken für Condenshähne. Fig. 744.

Tabelle 106. mm.

Cylinder-Durchm.	100—250	300—450	500—650	700—1000
d	10	13	16	20
a	19	23	25	28
b	40	45	50	55
c	25	28	32	35
e	30	32	38	40
f	3	3	5	5

Condenshähne. Fig. 755.

Tabelle 107. mm.

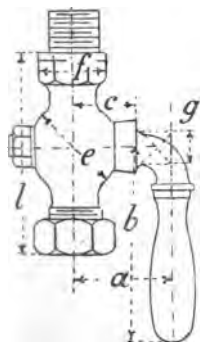


Fig. 745.

d	l	a	b	c	e	f	g
6	80	40	90	25	40	30	8
10	90	45	95	30	45	35	10
13	100	50	105	35	50	40	13
16	110	55	115	40	55	45	16
20	120	60	120	45	60	50	18

Schmiervorrichtungen für Dampfzylinder.

Fig. 746 — 755.

a. Einfachste unvollkommene Methode :

Ein Schmiergefäß mit Doppelküken mitten auf dem Cylinder.

Ein Schmiergefäß auf dem Schieberkasten.

b. Bessere Schmierung :

Ein Selbststöler auf dem Schieberkasten.

Ein Doppelkügen auf dem Cylinder, wird in diesem Falle nur bei Bedarf benutzt.

c. Beste Schmierung :

Eine mechanisch wirkende **Schmierpumpe**, welche durch ein Röhrchen von etwa 2 mm das Öl in die Dampfleitung drückt; das Öl verdampft und teilt sich allen inneren Organen, welche durch Dampf berührt werden, mit.

Die Ölpumpe wird am Maschinenrahmen oder an der Wand des Maschinenhauses montiert.

Die **Bewegung** des Apparats kann von der Schieber- oder Excenter-Stange, Fig. 752—753, oder von irgend einem sich bewegenden Maschinenteil erfolgen. Zur Übertragung können auch Rollen- und Hanfschnur verwendet werden. Für die Einmündung des Schmierröhrchens in das Dampfrohr ist ein **Rückschlag-Ventil** einzuschalten. Fig. 754—755.



Fig. 746 — 747. Rost's Mech. Aich- und Press-Schmierpumpe.

Fig. 748. Wittfeld's Patent-Dampf-Ölungs-Apparat (Klein, Schanzlin & Becker in Frankenthal).



Fig. 749. Mollerup's Patent-Dampf-Ölungs-Apparat.

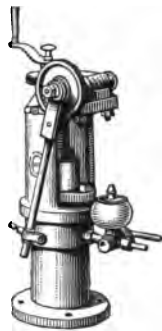


Fig. 750—751. Wittfeld's Patent-Präcisions-Schmierapparat (C. W. Julius Blanke & Cie., Merseburg.)

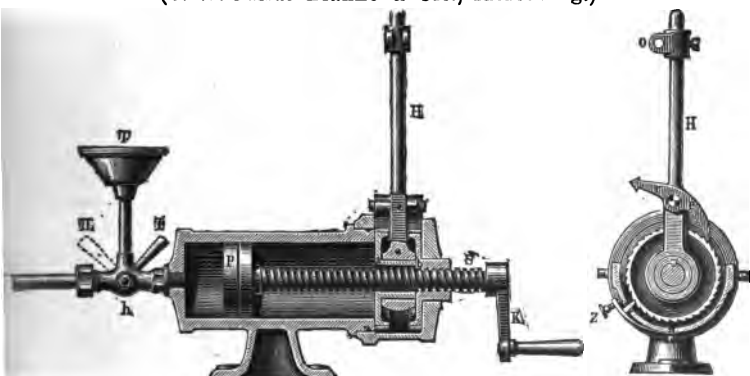


Fig. 752—753.

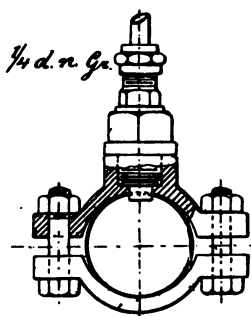
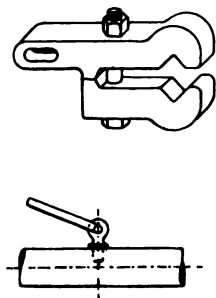


Fig. 754—755.

Das Schwungrad.

Es bezeichne:

N die Anzahl der effektiven Pferdestärken der Maschine,

n die Umdrehungszahl per Minute,

r den Kurbelradius in m,

l die Länge der Pleiße in m,

$\frac{r}{l}$ das Verhältnis der Pleiße zur Pleiße,

G das Gewicht des Schwungradkranzes in kg,

R den mittleren Radius des Kranzes in m,

v die mittlere Umfangsgeschwindigkeit in m pr. Sec.,

$\frac{1}{\delta} = \frac{v_{\max.} - v_{\min.}}{v}$ den Ungleichförmigkeitsgrad,

δ den Gleichförmigkeitsgrad.

Werte für δ .

Gewöhnliche Transmissions-Dampfmaschinen $\delta = 40 - 50$

Für Spinnereibetrieb und electr. Beleuchtung etc. $\delta = 60 - 100$

Für Eincyl.-Dampfmaschinen ist:

$$G = 100 i \frac{\delta N}{v^2 n}; \delta = \frac{G v^2 n}{100 i N}.$$

Der Coefficient i ist abhängig vom Füllungsgrad resp. der Gesamtexpansion und kann aus folgender Tabelle entnommen werden.

Werte von i für $\frac{r}{l} = \frac{1}{4}$ bis $\frac{1}{6}$

und $s = 2$ bis 7% schädlichen Raum.

Tabelle 108.

$\frac{p}{w}$ Gesamt-Expans.	1	2	3	4	5	6	7	8	9	10
h Füllung . . .	1	0,5	0,33	0,25	0,2	0,15	0,1	0,08	0,06	0,00
i Coefficient . .	55	70	80	90	95	100	105	110	115	120

Beispiel:

Für Maschine: $D = 400$; $H = 700$; $n = 85$; $N = 55$; $\frac{r}{l} = \frac{1}{5}$;

$R = 1,6$ m, $v = \frac{2 \cdot 1,6 \pi 85}{60} = 14,2$ m; $h = 0,17$; $\delta = 50$.

ist das Kranzgewicht: $G = 100 \cdot 95 \cdot \frac{50 \cdot 55}{14,2^2 \cdot 85} = 1525$ kg.

Das Gesamtgewicht des Schwungrades incl. Arme und Nabe kann angenommen werden zu:

$$G_f = 1,35 G.$$

Für Zwillings- und Compound-Dampfmaschinen ist:

$$G = 30 i \frac{\delta N}{v^2 n}.$$

N Gesamtleistung der Maschine,

δ findet sich bei Zweicylinder-Maschinen gewöhnlich grösser als 70.

Der Radkranz.

G_s sei das Gewicht des Segmentes von der Länge l ,

$$C = \frac{G_s v^2}{g R} \text{ die Centrifugalkraft.}$$

Man stellt sich das Stück l als einen gleichmässig belasteten fest eingeklemmten Balken vor, die Centrifugalkraft nach aussen wirkend als eine Summe gleicher Kräfte und nehme

$$\frac{C l}{12} = W k.$$

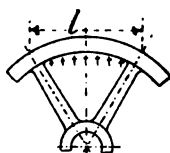


Fig. 756.

Der Schrumpfring a und die Schrauben b .

Die Spannung S_r im Radkranz bezogen auf den Querschnitt $c-d$ kann gerechnet werden zu:

$$S_r = 0,11 v^2 \text{ pr. qcm.}$$

Darin ist die durch die Arme hervorgerufene Biegungsspannung inbegriffen. Auf den ganzen Flächeninhalt f bezogen beträgt die Spannung $= f \cdot S_r$.

Bezeichnet nun noch:

q den Querschnitt zweier Schrumpfringe,

q_r " " " Schrauben,

so ist die Spannung S in den Schrumpfringen und in den Schrauben:

$$S = \frac{f S_r}{q + q_r}.$$

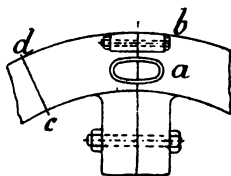


Fig. 757.

Die Arme sind auf Zug (abreißen) durch die Centrifugalkraft und auf Biegung durch das vom Schwungrade zu übertragende Maximalmoment zu berechnen, die Beanspruchung nehme man:

für Gusseisen . . 90 kg. pro qcm,

für Schmiedeeisen 350 " " "

Schwungräder mit hoher Umfangsgeschwindigkeit verlangen eine sehr sorgfältige Kranzverbindung, die zur Verwendung kommenden Schrumpfringe sollen möglichst in der Schwerpunktebene des Radkranzes liegen, keinesfalls aber auf der Innenseite des Kranzes. Die Entfernung vom Schwungrad bis zum Kurbellager soll eine möglichst kleine sein.

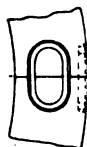
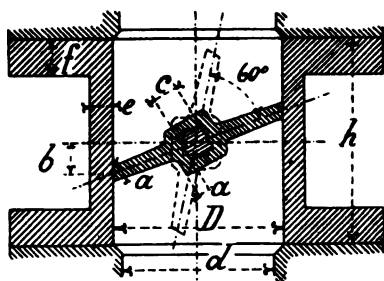


Fig. 758.

**Drosselklappe.** Fig. 758.**Tabelle 109.** mm.

<i>d</i>	<i>D</i>	<i>a</i>	<i>b</i>	<i>c</i>	<i>e</i>	<i>f</i>	<i>g</i>	<i>h</i>
20	30	2	5	8	8	16	130	25
30	40	2	7	10	10	16	140	35
40	50	3	9	10	10	18	150	50
50	60	3	10	10	12	18	160	65
60	70	4	12	12	12	18	175	80
70	80	4	14	12	12	20	185	95
80	90	5	16	13	12	20	200	110
90	100	5	18	14	13	20	215	120
100	105	6	20	15	13	20	230	130
110	125	6	22	16	13	22	240	140
120	135	7	24	18	14	22	250	150
130	150	7	26	20	14	22	260	160
140	160	8	28	22	15	24	275	170
150	170	8	30	24	15	24	290	180

Regulatoren.

Die Theorie der Regulatoren soll hier nicht weiter behandelt werden, da die meisten Dampfmaschinen-Fabrikanten die Regulatoren nicht selbst anfertigen, sondern von Special-Fabrikanten beziehen. Auch existieren über Regulatoren besondere Lehrbücher, z. B. Wüst, Centrifugal-Regulatoren, M. 1,20.

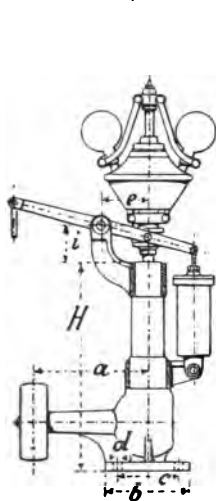


Fig. 759.

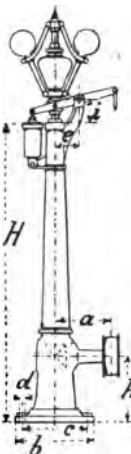


Fig. 760.

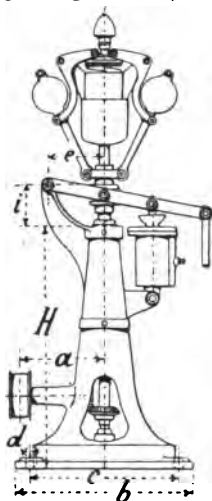


Fig. 761.

Regulatorständer. Eisenwerk Lauchhammer, Lauchhammer. Tabelle 110.

Nummer des Modells	I	II	III	IV
Ständer-Höhe H	550	1550	950	1080
Ausladung der Riemscheibe a	250	290	330	375
Seite der quadratischen Platte b	220	400	700	800
Abstand der Schraubenlöcher c	160	330	600	690
Durchm. „ „ d	20	25	28	30
Ausladung des Armes e	110	125	220	250
Abstand i	125	115	160	180
Gewicht des Ständers, complet mit Hebel, Gleitring, con. Rädchen, Welle und Riemscheibe in kg . . .	110	160	220	230
Preis in Mark	300	320	340	380

Fig. 759 ist hauptsächlich für **liegende Maschinen** zur Befestigung an der Geradföhrung, Fig. 760 für **stehende Maschinen**, Fig. 761 in 2 Grössen für **schwere Gewichts- und Feder-Regulatoren** bestimmt.

Haeder, Dampfmaschinen.

Anwendung der Regulatoren, Pat. Proell.

Unter der in den Tabellen 110—112 enthaltenen Bezeichnung „**Verstellungskraft**“ hat man die **Zug- resp. Druckkraft** zu verstehen, welche bei einer gewissen Geschwindigkeitsänderung in der Hülse entsteht. Ein **Maass** für das **Arbeitsvermögen** des Regulators ist das Produkt aus Verstellungskraft und Hülsenweg. Die Verstellungskraft, welche in den Tabellen auf $\frac{1}{50}$ Tourenänderung bezogen ist, verändert sich, so lange die Abweichung von der normalen Geschwindigkeit **gering** ist, dieser **proportional**, daher zeigen z. B. die in den Tabellen 111—113 angeführten Regulatoren bei $\frac{1}{25}$ also 4% Geschwindigkeitsänderung 1, 2, 3, 4 kg, bei $\frac{1}{100}$ also 1% Geschwindigkeitsänderung 0,25, 0,50, 0,75, 1,0 kg Verstellungskraft. Die Grössenauswahl des Regulators richtet sich nach dem **Wege** bzw. **Drehwinkel** des Regulier- oder Steuerungsorgans und nach der **Kraft**, welche für die Verstellung desselben notwendig ist. Das **Produkt** aus beiden Werten muss nahezu **gleich** dem **Arbeitsvermögen** des Regulators sein, welches in den Tabellen in kgmm angegeben ist. Ist eine grössere Abweichung in der Tourenzahl der Maschine bis zu ca. 4% bei mittlerer Belastung und Schwankungen des Kraftbedarfs um 15% über und unter dem normalen gestattet, so ist das Arbeitsvermögen halb so gross, im entgegengesetzten Falle doppelt so gross zu wählen. Man erhält hiernach im ersteren Falle **leichtere**, im zweiten Falle **schwerere** Regulatoren.

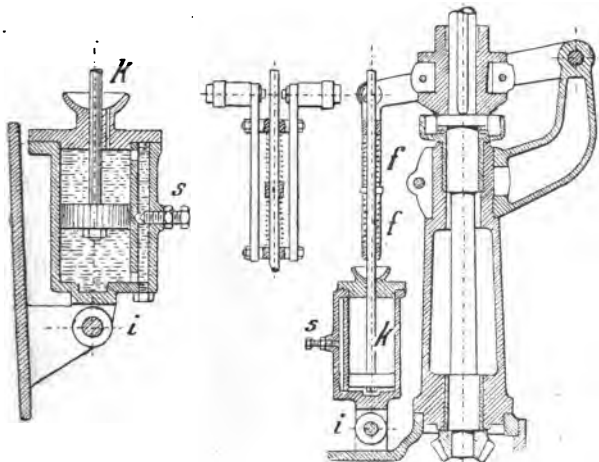
Verbindung der Regulatoren mit einer Oelbremse.

Je **grösser** der Regulator ist und je **schwerer** die in ihm enthaltenen Gewichtsmassen, desto mehr ist es nötig, ihn mit einer **Oelbremse** zu verbinden, um sein unruhiges Schwanken um eine mittlere Gleichgewichtslage — eine Folge der nicht zu umgehenden Trägheit der Massen — zu verhindern. Die Oelbremse wird zweckmässig nach Fig. 762 ausgeführt. An den verlängerten Stellhebel des Regulators wird die Kolbenstange *k* der Oelbremse drehbar angeschlossen, vergl. Fig. 759—761, während sich diese am Boden um einen am Regulatorständer gelagerten Zapfen *i* drehen kann. Auf diese Weise kann die Oelbremse dem Ausschlagbogen des Stellhebels folgen. Der Übertritt des **Oels** oder **Glycerins**, mit welchem der Cylinder gefüllt ist, von der einen Seite nach der anderen wird durch eine Schraube *s* beherrscht, welche während des Ganges der Maschine verstellt werden kann. Fig. 763 zeigt eine **Oelbremse mit Federgehänge**. Während die Oelbremse nach Fig. 762 in der gewöhnlichen und billigen Ausführung eine **starre** Verbindung des Bremskolbens mit dem Regulator aufweist, derzufolge der Regulator nur in dem Maasse ausschlagen kann, als der

Bremskolben es gestattet, zeigt die verbesserte aber etwas teurere Construction eine **elastische** Verbindung. Der Stellhebel des Regulators kann seinen Druck oder Zug nur durch Spiralfedern f auf den Kolben der Oelbremse übertragen, derzufolge der Regulator schneller ausschlagen kann. Unter dem Einfluss der Federn wirkt er momentan statischer. Doch corrigiert der nachfolgende Bremskolben alsbald die Abweichung von der Normaltoureanzahl und stellt diese wieder her. Der Regulator kann in Verbindung mit **dieser Oelbremse fast ganz astatisch** sein. Die Anwendung der Construction empfiehlt sich daher bei Maschinen, bei denen es ganz besonders auf einen sehr gleichförmigen Gang und schnelle Wirkung des Regulators ankommt, wie z. B. bei electrischen Beleuchtungsanlagen oder Betriebsmaschinen für Spinnereien etc.

Fig. 762.

Fig. 763—764.



Veränderung der Tourenzahl am Regulator.

Da die Energie der Regulatoren **fast ganz constant** ist, so ist es statthaft und zulässig, eine Veränderung der Tourenzahl durch eine **zusätzliche** Belastung oder Entlastung der Hülse vorzunehmen. Dieselbe kann durch ein verschiebbares Gewicht auf einem Stellhebel bewirkt werden, welcher während des Ausschlages des Regulators um die horizontale Mittellage schwankt. Auf diese Weise kann man ohne zu grosse Hebelarme und Gewichte zu erhalten, die Tourenzahl des Regulators um 100% über und unter der Normalen verändern.

Regulatoren mit leichter Urne

zur Einwirkung auf Drossel-
klappe, Regulierventil, Aus-
lösungsmechanismus von Prä-
cisionssteuerungen mit gerin-
gem Kraftbedarf.

Ausführung nach Fig. 765.

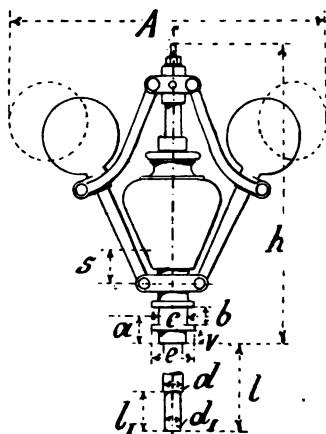


Fig. 765.

Regulatoren, Pat. Proell, mit leichter Urne. Fig. 765.

Tabelle III.

Nummer des Regulators	I	II	III	IV
Grösster Cylinderdurchmesser	200	300	450	600
Tourenzahl pro Minute n	120	100	90	80
Gesamthöhe des Regulators ohne Spindel h	380	470	570	660
Grösste Breitendimension der ausschla- genden Kugeln A	390	500	600	690
Hülsehub s	40	50	60	70
Dicke der Spindel unterhalb Bund . . . d	25	30	35	40
Durchmesser des Zapfens d_1	20	25	30	35
Länge der Spindel l	500	620	750	900
Länge des Zapfens l_1	50	60	70	80
Höhe der Hülse b	20	25	30	35
Innerer Hülsendurchmesser c	40	50	55	65
Ausserer Hülsendurchmesser e	60	75	85	100
Abstand von Mitte Hülse bis Unterkante Bund a	35	45	55	65
Bundhöhe v	14	17	20	25
Verstellungskraft in der Hülse in kg . . Q	0,5	1,0	1,5	2
Arbeitsvermögen des Regulators $E = Qs$ in kgmm Qs	20	50	90	140
Gewicht des Regulators in kg	24	37	60	85

Fig. 766—767.

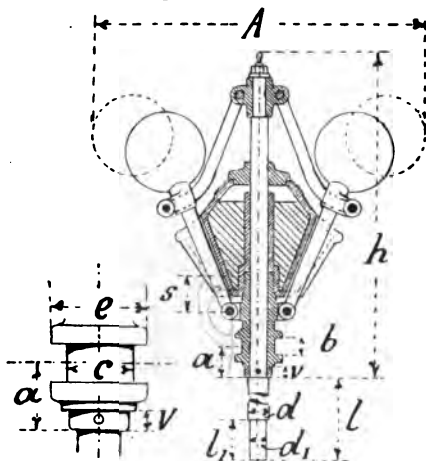
Regulatoren mit schwerer Urne

zur Einwirkung auf Steuerungen mit grossem Kraftbedarf:

Farcot-, Rider-,
Coulissen-, zwang-
läufige

Ventil-Steuerung etc.

Ausführung
nach Fig. 766—767.

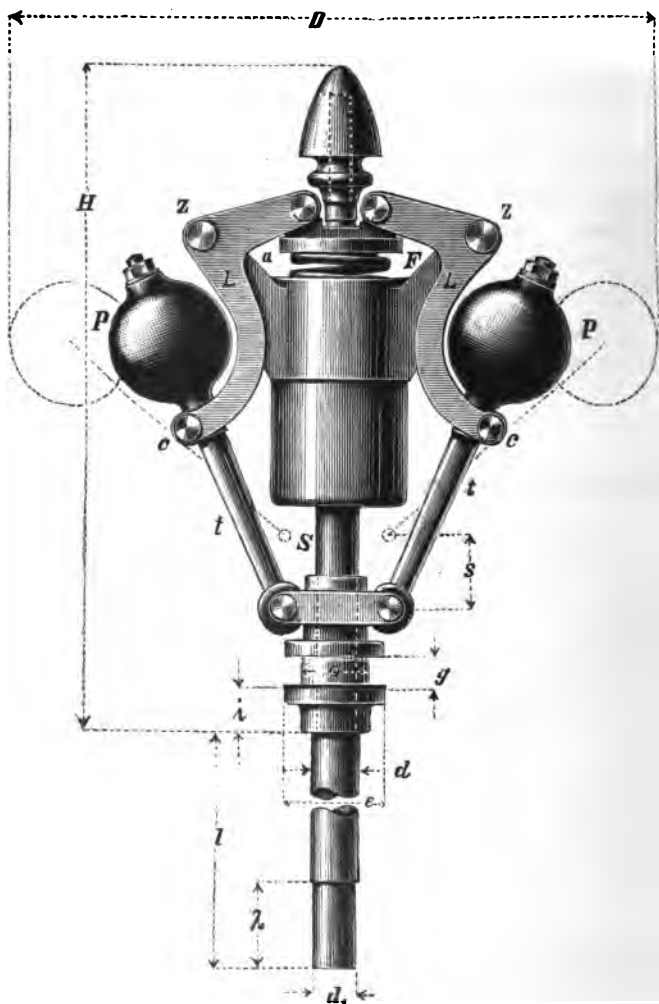


Regulatoren, Pat. Proell, mit schwerer Urne, Fig. 766—767.

Tabelle 112.

Nummer des Regulators	Ia	IIa	IIIa	IVa	Va
Grösster Cylinderdurchmesser . . .	250	400	500	600	700
Tourenzahl pro Minute <i>n</i>	145	130	115	107	120
Gesamthöhe des Regulators ohne Spindel <i>h</i>	420	470	570	660	660
Grösste Breitendimension der ausschlagenden Kugeln <i>A</i>	445	510	615	700	700
Hülsehub <i>s</i>	55	65	75	80	80
Dicke der Spindel unterhalb Bund <i>d</i>	30	30	35	40	40
Durchmesser des Zapfens <i>d₁</i>	25	25	30	35	35
Länge der Spindel <i>l</i>	550	620	750	900	900
Länge des Zapfens <i>l₁</i>	60	60	70	80	80
Höhe der Hülse <i>b</i>	23	25	30	35	35
Innerer Hülsendurchmesser <i>c</i>	45	50	55	65	65
Ausserer Hülsendurchmesser <i>e</i>	70	75	85	100	100
Abstand von Mitte Hülse bis Unterkante Bund <i>a</i>	43	45	55	65	65
Bundhöhe <i>v</i>	16	17	21	25	25
Verstellungskraft in der Hülse in kg <i>Q</i>	1,3	2,0	2,5	3,4	4,3
Arbeitsvermögen des Regulators <i>E = Qs</i> in kgmm <i>Qs</i>	71,5	130	187,5	272	344
Gewicht des Regulators in kg . . .	40	54	85	120	130

Fig. 768.



Eine **kräftige Spiralfeder** ersetzt in diesem neuen Regulator das sonst übliche zur Erzeugung eines gewissen **Betrages** von **Verstellungskraft** nötige **Belastungsgewicht** der Hülse.

Die Federregulatoren brauchen **keine Oelbremse**.

Federregulatoren, Pat. Proell. Fig. 768.

Die Ausführung der Federregulatoren erfolgt in 6 Grössen, geordnet nach dem Betrage der bei $\frac{1}{50}$ Tourenänderung in der Hülse entwickelten Verstellungskraft.

Tabelle 113.

Nummer des Regulators	I	II	III	IV	V	VI
Tourenzahl pro Minute . . . n	190	180	170	160	140	120
Breitendimension D	460	570	685	800	915	1150
Höhe des Regulators . . . H	485	585	695	795	895	1085
Spindellänge l	550	750	900	1000	1150	1300
Spindeldicke d	30	36	40	50	56	60
Zapfenlänge λ	60	70	80	90	100	120
Zapfendicke d_1	26	32	36	46	50	56
Hub der Hülse s	46	58	68	80	92	114
Höhe der Hülse g	23	30	35	40	46	60
Innerer Hülsendurchm. . . c	45	55	64	72	82	100
Äusserer Hülsendurchm. e	70	84	100	116	136	162
Dimension an der Hülse i	31	39	46	48	52	64
Mittlere Verstellungskraft in der Hülse Q	1,5	3	6	10	14	22
Arbeitsvermögen in kg Qs	69	174	408	800	1288	2508
Preis in Mark	220	250	310	390	500	640
Gewicht des Regulators kg	22	38	68	102	170	280

Es werden auf Wunsch auch **andere Kugeln** aufgesetzt, um eine **veränderte** Tourenzahl zu erhalten, wodurch weder die Energie noch die Beweglichkeit des Regulators irgendwie verändert wird.

Ein ausführlicher Aufsatz mit theoretischer Begründung der Wirkungsweise des Regulators findet sich im Jahrgang 1886 Heft 52 der Zeitschr. d. Ver. deutsch. Ing.

Fig. 770.

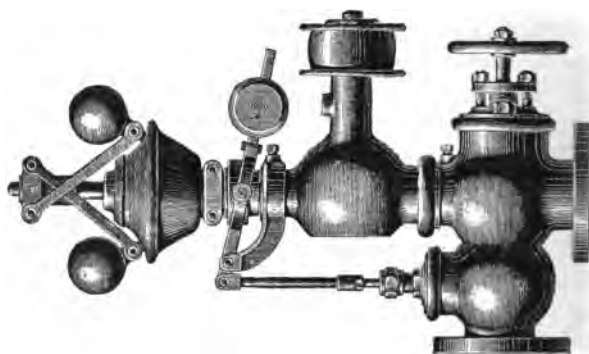
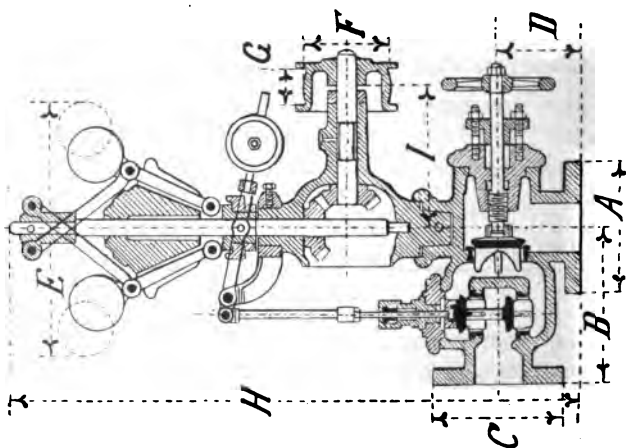


Fig. 769.



**Universal-Regulier-Apparat, Fig. 769—770, von Herm. Hartung, Düsseldorf.
Tabelle 114.**

Laufende Nummer	21	22	23	24	25	26	27	28	29	30
Durchmesser des Dampfrohres	30/35	40	50	60	70	80	90	100	110	120
Gewöhnliche Tourenzahl pr. Min. .	185	185	185	170	170	170	155	155	155	155
Energie in der Ventilstange bei 20% Geschwindigkeitsänderung in kg .	1,8	1,8	1,8	4	4	4	6	6	6	6
Dimension A	130	140	160	175	185	200	215	230	245	260
" B	180	180	185	220	225	230	265	270	270	285
" C	130	140	160	175	185	200	215	230	245	260
" D	95	95	105	115	120	135	145	156	156	175
" E	290	290	290	380	380	380	445	445	445	445
" F	100	100	100	125	125	125	140	140	140	140
" G	50	50	50	65	65	65	70	70	70	70
" H	660	670	750	810	820	845	1045	1065	1065	1080
" J	190	190	190	220	220	220	275	275	275	275
Preis in Mark	175	185	195	220	235	255	280	300	320	385

Die Firma Herm. Hartung fertigt auch als Specialität Schwungkugelregulatoren sog. „Concurrenz-Regulatoren“ an.

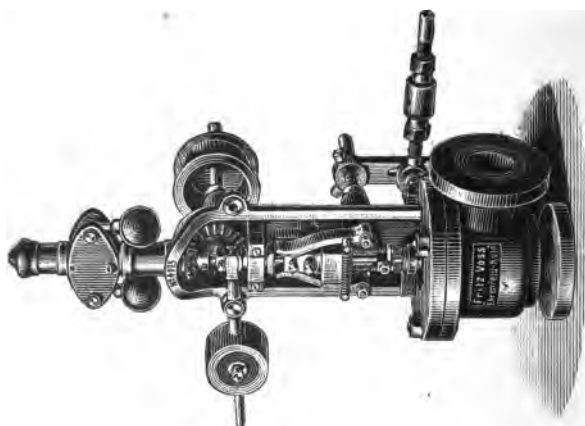


Fig. 772.

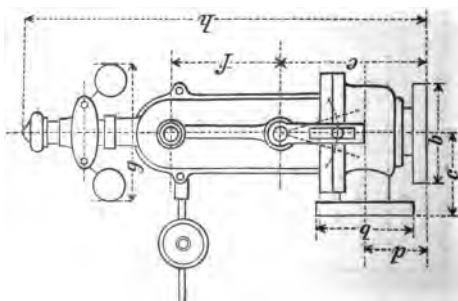


Fig. 771.

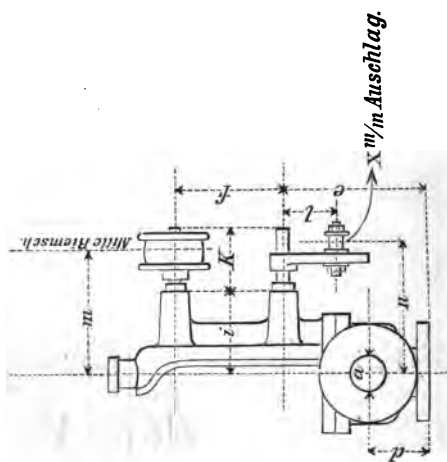


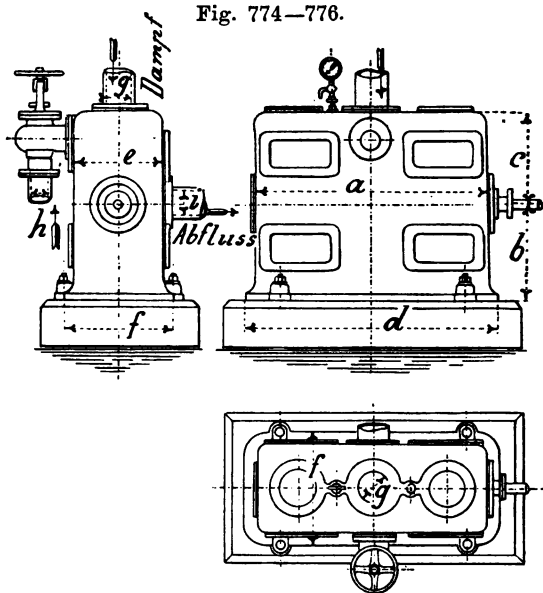
Fig. 773.

Tabelle 115.

Nr.	000	00	0	1	2	3	4	5	6	7	8	9
Rohr-Durchmesser im Lichten	30	40	50	60	75	90	105	125	150	175	200	250
Flantech-Durchmesser	120	140	160	180	200	220	240	260	290	320	360	400
Entfernung	110	110	150	150	185	185	185	240	240	240	300	350
do.	80	80	115	115	150	150	150	200	200	200	250	285
do.	195	195	275	275	350	350	350	445	445	445	565	630
do.	160	160	200	200	260	260	260	315	315	315	410	410
Grösster Durchmesser	190	190	250	250	295	295	295	345	345	345	475	550
Ganze Höhe	575	575	770	770	960	960	960	1200	1200	1200	1500	1570
Entfernung	100	100	150	150	185	185	185	220	220	220	250	250
do.	80	80	100	100	120	120	120	140	140	140	140	140
Mittlere Länge des Ventilhebels	85	85	100	100	125	125	125	150	150	150	200	200
Ausschlag	50	50	60	60	90	90	90	120	120	120	150	150
Hub des Ventils	8	8	12	12	18	18	18	24	24	24	30	30
Durchmesser der Wellen	15	15	20	20	25	25	25	30	30	30	35	35
Von Mitte Apparat bis Mitte Scheibe-Minimum	80	80	125	125	160	160	160	200	200	200	250	250
" " " " Zugstange-	100	100	150	150	167	167	167	215	215	215	275	320

Durch Anwendung von Expansions-Apparaten wird der schädliche Raum der Expansionsperiode um den Inhalt des Schieberkastens vergrössert, man macht deshalb letzteren so klein wie möglich resp. füttert denselben mit Holz aus.

Fig. 774—776.



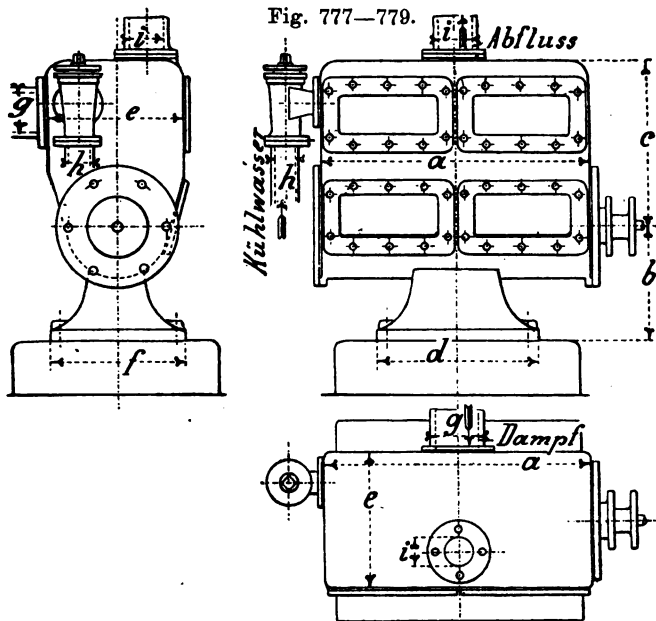
Luftpumpen-Condensator, Fig. 774—776,
(Patent F. Horn) Brinkmann & Cie., Witten.

Construction s. Seite 50—51.

Tabelle 116.

Maschine		Luftpumpe und Condensator									Dampf	Wasser	Abfluss
Hub	Dmtr.	Nro.	Hub	Dmtr.	a	b	c	d	e	f	g	h	i
500	300	2	500	130	850	400	400	950	350	450	90	60	100
600	350	3	600	160	1000	420	430	1100	380	480	110	80	120
700	400	4	700	180	1200	450	450	1300	410	510	125	100	140
800	450	5	800	200	1250	500	500	1380	500	600	140	120	160
900	500	6	900	225	1650	500	520	1760	570	700	160	140	180
1000	550	7	1000	250	1650	700	650	1800	700	900	180	160	200

Fig. 777—779.

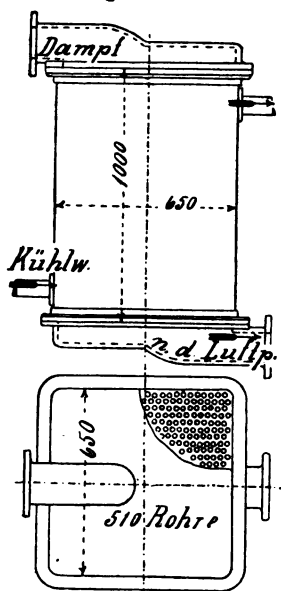


Luftpumpen-Condensator, Fig. 777—779,
 der Eisenhütte Prinz Rudolf, Dülmen. Construction s. S. 48.
 Tabelle 117.

Maschine.		Luftpumpe und Condensator.									Dampf	Wasser	Abfluss
Hub	Dmtr.	Nro.	Hub	Dmtr.	a	b	c	d	e	f	g	h	i
500	300	3	500	110	850	350	500	600	420	400	90	60	70
600	350	5	600	125	950	400	525	700	420	450	100	60	80
700	400	7	700	140	1100	500	600	850	500	550	125	60	90
800	450	9	800	160	1250	600	625	1000	500	700	150	80	100
900	500	11	900	180	1400	600	675	1100	500	800	150	90	125
1000	550	13	1000	200	1500	700	725	1200	550	800	175	100	125

Oberflächen-Condensator.

Fig. 780—781.



Der in Fig. 780—783 dargestellte **Oberflächen-Condensator** hat 32 qm Kühlfläche und ist für $N_i = 160$ Pfst. bestimmt. Die Rohre sind aus Messing und haben 1 mm Wandstärke. Die Dichtung geschieht mittelst Stopfbüchsenpackung. Man rechnet pro Indizierte Pfst. 0,2 qm Kühlfläche.

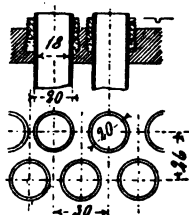


Fig. 782—783.

Das Dampfdiagramm.

Unter „Dampfdiagramm“ soll die graphische Darstellung der Wirkung des Dampfes auf den Dampfkolben verstanden werden. Das Dampfdiagramm giebt Aufschluss über die Spannung des Dampfes vor und hinter dem Kolben für jede beliebige Kurbelstellung.

Es bezeichne in Fig. 784—789

- H den Kolbenhub (beliebig z. B. = 100 mm auftragen),
- h den Füllungsgrad bezogen auf $H = 1$,
- p die Eintrittsdampfspannung in At. abs. in beliebigem Maassstab z. B. 5 mm = 1 At. aufzutragen,
- p_m den mittleren Kolbenüberdruck in kg pro qcm,
- w die Endspannung der Expansionsperiode, wenn der Kolben im toten Punkt angekommen ist,
- p_o den Gegendruck des abziehenden Dampfes in At. abs.,
- s die auf die Kolbenfläche reduzierte Länge des schädlichen Raumes auf einer Seite,
- at die atmosphärische Linie,
- va die absolute Nulllinie (Vacuumlinie),
- ve die Dauer des verfrühten Austritts bezogen auf $H = 1$,
- o die Dauer der Compression bezogen auf $H = 1$,
- oC Dampfdiagramm für Maschinen ohne Condensation,
- mC Dampfdiagramm für Maschinen mit Condensation.

Fig. 784—785 zeigen das Dampfdiagramm einer Volldruckmaschine, der Eintrittsdampf drückt bis zum Ende des Kolbenhubes mit seiner vollen Spannung p auf den Kolben, es ist also hier $p = w$. Der Gegendruck des abziehenden Dampfes beträgt während des ganzen Kolbenweges p_o , es stellt somit das schraffierte Rechteck $(p - p_o)$. H die Arbeitsfläche dar, setzen wir $H = 1$, so ergibt sich der mittlere Kolbenüberdruck

$$p_m = p - p_o.$$

Die Arbeitsfläche des Dampfdiagramms einer Expansionsmaschine wird in ein Rechteck verwandelt von der Länge H und der Höhe p_m . Bezeichnet k den sogenannten Spannungskoeffizienten, so kann man auch setzen für den mittleren Kolbenüberdruck

$$p_m = kp - p_o.$$

Bezeichnet ferner σ die Summe der Arbeitsverluste durch Drosselung, verfrühten Austritt, Gegendruck des abziehenden Dampfes und Compression Fig. 788—789, so ist der resultierende mittlere Kolbenüberdruck:

$$p_m = kp - (p_o + \sigma).$$

Unter der Annahme, dass der Dampf nach einer gleichseitigen Hyperbel expandiert, dass also dem arbeitenden Dampf während des ganzen Kolbenweges ~~noch die Temperatur nicht~~ ^{auch die Temperatur nicht} ~~weder Wärme entzogen~~ ^{noch zugeführt} wird, ist der mittlere Spannungskoeffizient:

$$k = h + (h + s) \log. \text{ nat. } \frac{1 + s}{h + s}$$

Fig. 784.

Fig. 785.

Fig. 786.

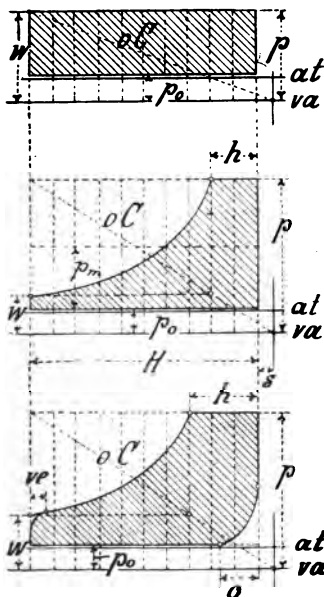


Fig. 788.

Fig. 787.

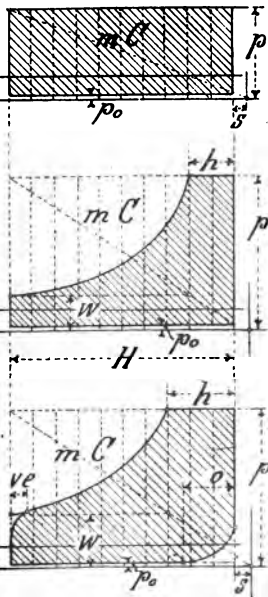


Fig. 789.

Die **Expansionskurve** lässt sich in folgender Weise durch Construction finden

H sei die Länge des Diagramms (den Kolbenhub darstellend),

h der Füllungsgrad, bezogen auf $H=1$,

s die auf die Kolbenfläche reduzierte Länge des schädlichen Raumes auf einer Seite,

p die Anfangsspannung in At. abs,

va die Linie des absoluten Vacuums.

Ziehe von f aus einen Strahl fO , welcher die Linie iq in l schneidet, eine Parallele durch l zur Vacuumlinie va giebt den Endpunkt m der Kurve. Die übrigen Punkte finden sich ebenso, wie aus Fig. 790 ersichtlich.

Die **Compressionskurve** wird in gleicher Weise verzeichnet. Fig. 791.

p_o sei der Gegendruck des abziehenden Dampfes,

o die Dauer der Compression, bezogen auf $H=1$.

Ziehe den Strahl vO , welcher die Gegendrucklinie g in r schneidet, auf einer senkrechten durch r liegt der Punkt n der Kurve. Ziehe ferner $v_I O$, $r_I n_I$ u. s. w.

Fig. 790, Expansionskurve.

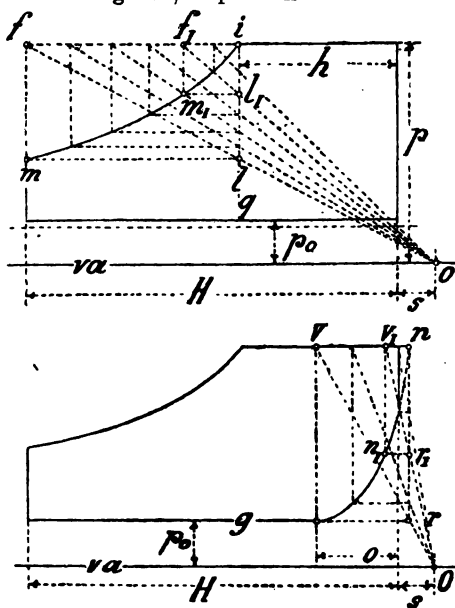


Fig. 791, Compressionskurve.

Einteilung der Steuerungen.

Man unterscheidet im Allgemeinen:

Schiebersteuerungen (Flachschieber, Kolbenschieber),
Ventilsteuerungen,
Hahnsteuerungen,
Gemischte Steuerungen.

A. Schiebersteuerung.

a) Mit einem Schieber:

Einfache Schiebersteuerung (Muschelschieber) für fixe Expansion,
Kolbenschieber (1 Kolbenschieber) " " "
Coulissensteuerung mit einem Schieber u. veränderl. Expansion.

Zu letzterer Gattung gehören die Coulissensteuerungen
von: Stephenson, Gooch, Allan-Trick, Heusingen von Waldegg,
Pius Fink.

b) Mit zwei Schiebern (Doppelschiebersteuerung):

Schleppschiebersteuerung von Farcot,
Guhrauer'sche Steuerung für veränderliche Expansion,
Meyer'sche " " fixe "
" " " veränderliche "
Rider " " "
Kolbenschiebersteuerung für fixe und veränderliche Expansion,
Coulissensteuerung für veränderliche Expansion.

Zu letzterer gehört die Coulissensteuerung von Polonceau.

B. Ventilsteuerung.

a) Zwangsläufige Ventilsteuerung:

Ventilsteuerung mit gewöhnlicher Coulisse und fixer Expansion,
" von Collmann, veränderliche Expansion,
" " Recke, " "
" " Proell, " "
" " Kliebisch, " "
" " König, " "
" " Hartung, " "

b) Ventilsteuerung mit Auslös-Mechanismus:

Ventilsteuerung von Gebr. Sulzer, veränderliche Expansion.

C. Hahnsteuerung.

a) Mit pendelnder Bewegung:

Corlisssteuerung für fixe und veränderliche Expansion,
Proell'sche Hahnsteuerung für " "

b) Mit rotierendem Hahn:

Feodor Siegel, Drehschiebersteuerung für veränderl. Expansion,
L. Ehrhardt, " " " "

Einfache Schiebersteuerung.

Es bezeichnet in Fig. 792—793:

- a die Kanalweite für den Eintritt,
 a_0 " " " " Austritt,
 c " Stegbreite,
 e " äussere Deckung,
 i " innere " "
 r " Excentrizität des Schiebers (halber Schieberhub),
 v das lineare äussere Voreilen (für den Dampfeintritt),
 v_0 " " innere " " (" " Dampfaustritt).

Fig. 792.

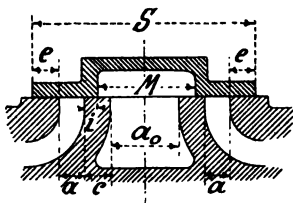
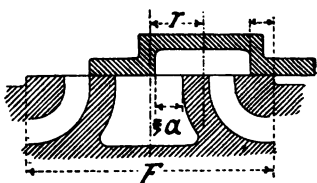


Fig. 793.



Die einfache Schiebersteuerung findet unter normalen Verhältnissen für Eincylinder-Maschinen Anwendung bis zu 250 Cylinderdurchmesser. Der Füllungsgrad beträgt 0,5 bis 0,8. Grosse Füllungsgrade finden sich nur noch bei alten Maschinen, und sucht man häufig die dadurch entstehende grosse Dampfvergeudung durch nachträgliches Anbringen von Expansions-Apparaten zu beseitigen.

Bei einer neu zu entwerfenden Maschine nehme man:

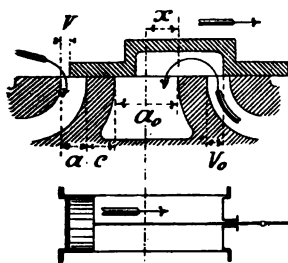
Füllungsgrad 0,5	Füllungsgrad 0,6	Füllungsgrad 0,7
$e = 2a$	$e = 1,3a$	$e = 0,8a$
$i = 0,7a$	$i = 0,5a$	$i = 0,3a$
$r = 0,8a + e$	$r = a + e$	$r = a + e$
$v = 0,25a - 0,5a$	$v = 0,2a - 0,4a$	$v = 0,2a - 0,8a$

Den Maschinen, welche mit hohem Dampfdruck arbeiten (über 7 At. abs.) (Locomobilen z. B. haben der Einfachheit halber meist nur einen Schieber) gebe man 0,5 Füllung.

Kleine Transmissionsdampfmaschinen für mittleren Dampfdruck erhalten 0,6 Füllung, auf keinen Fall gehe man über 0,7 Füllung.

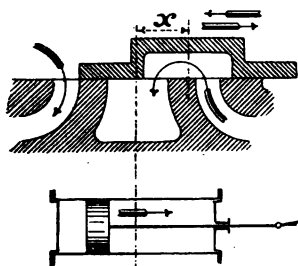
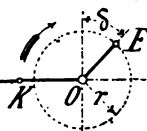
Einfache Schiebersteuerung für kleine Füllungsgrade s. Zeitschr. d. Ver. deutsch. Ing. 1887 Seite 155.

Fig. 794—795.



*Kolben links im todt. Punkt,
linker Einlaßkanal um v ,
rechter Auslaßkanal um v_0
geöffnet.*

$$x = e + v$$



*Schieber in äußerster
Stellung rechts.*

$$x = r$$

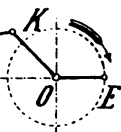
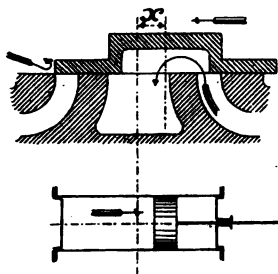


Fig. 796—797.



*Schluß der Einstromung,
Beginn der Expansion.*

$$x = e$$

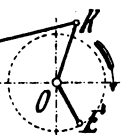
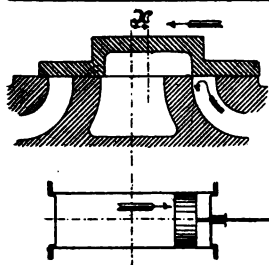


Fig. 798—799.



*Schluß der Ausströmung,
Beginn der Compression.*

$$x = i$$

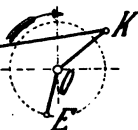


Fig. 800—801.

Das Zeuner'sche Schieberdiagramm.

OX und OY seien 2 aufeinander rechtwinklige Axen, Fig. 802,

Man mache:

$OE = e$ = der äusseren Deckung,

$EV = v$ = dem äusseren linearen Voreilen,

schlage aus O und V mit der halben Excentrizität $= \frac{r}{2}$ Kreisbogen, so ist M der Mittelpunkt des Schieberkreises, $OG = r$ die Richtung des Excenters und δ der Voreilwinkel.

In der Verlängerung von GO ziehe man ebenfalls einen Kreis durch O mit dem Radius $\frac{r}{2}$.

Ferner mache man:

$OJ = i$ = der inneren Deckung und schlage den sogenannten Kurbelkreis Q (beliebig gross).

Die Diagrammkurbel denkt man sich in der Richtung des Pfeiles gedreht, es ist dann, Fig. 803, in der Kurbelrichtung:

OB Beginn des Dampfeintritts rechts,

OX rechter Dampfkanal um das Voreilen v geöffnet (Kurbel im toten Punkt rechts),

OG Grösste Ausweichung des Schiebers nach links,

OD Schluss des rechten Einströmkanales, Beginn der Expansion,

OH Schieber in Mittelstellung,

OF Beginn des Dampfaustritts rechts,

OX_1 rechter Austrittskanal um v_0 geöffnet (Kurbel im toten Punkt links),

OP Grösste Ausweichung des Schiebers nach links,

OL bis ON rechter Auslasskanal ganz geöffnet,

OC rechter Auslasskanal geschlossen, Beginn der Compression,

OH_1 Schieber in Mittelstellung,

OH_1 bis OH Schieber bewegt sich nach links,

OH bis OH_1 Schieber bewegt sich nach rechts.

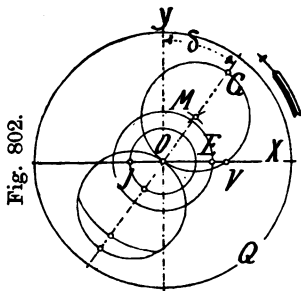


Fig. 802.

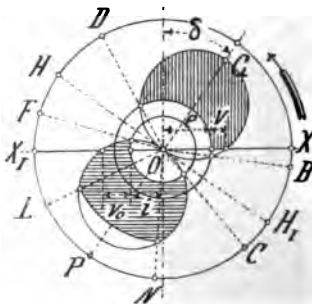


Fig. 803.

Die Excentrizität.

Bis jetzt war angenommen, dass die Excentrizität gleich der Kanalweite plus der äusseren Deckung, dass also

$$r = a + e.$$

Es kann jedoch auch sein

$$r \geq a + e.$$

Fig. 804—805.

$$r < a + e = a_I + e$$

$$a = 12$$

$$a_I = 10$$

$$e = 18$$

$$i = 7$$

$$v = 4$$

$$r = 10 + 18 = 28$$

Fig. 806—807.

$$r > a + e = a + e + m$$

$$a = 12$$

$$m = 2$$

$$e = 18$$

$$i = 7$$

$$v = 4$$

$$r = 12 + 18 + 2 = 32$$

Fig. 804.

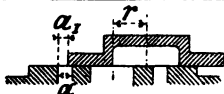
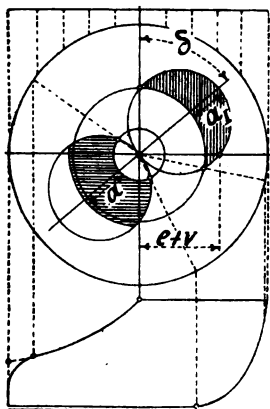


Fig. 805.

Fig. 806.

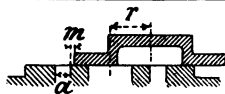
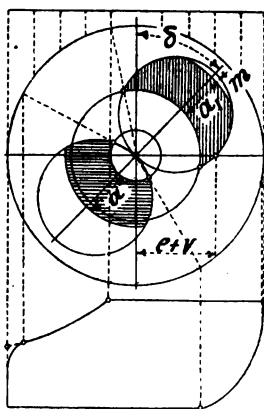


Fig. 807.

Der Füllungsgrad wird desto kleiner, je kleiner man die Excentrizität wählt und genügt es häufig, die grösste Eröffnung des Kanales für den Eintritt

$$a_I = 0,8 a \text{ zu nehmen.}$$

Diagramm

zur einfachen Schiebersteuerung, Fig. 808—810.

OX Schubrichtung des Schiebers,

O Mittelpunkt des Diagramms,

e äussere Deckung (Kreis um *O* mit $2e$ Durchmesser),

i innere Deckung (Kreis um *O* mit $2i$ Durchmesser),

v lineares äusseres Voreilen ($Og = e + v$),

$r = a + e$ Excentrizität des Schiebers (Kreis durch *g* und *O*),

H Durchmesser des Kurbelkreises resp. Kolbenhub (beliebig gross, z. B. 100 oder 200 mm),

Dann ist:

v₀ lineares inneres Voreilen,

OG Richtung des Excenters,

δ der Voreilwinkel des Excenters,

OB Kurbelrichtung für Beginn des Dampfeintritts,

OD " " " der Expansion,

OF " " " des Dampfaustritts,

OC " " " der Compression,

h der Füllungsgrad.

Die Diagrammkurbel denkt man sich in der Richtung des Pfeiles 1, Fig. 808, gedreht; die wirkliche Umdrehungsrichtung der Maschine ist in Fig. 810 mit Pfeil 2 angedeutet. Das Excenter eilt der Kurbel um $90^\circ + \delta$ vor,

OK Richtung der Kurbel,

OG Richtung des Excenters.

Zur deutlichen Übersicht der ganzen Steuerung ist es zweckmässig, unter das Schieberdiagramm stets das Dampfdiagramm zu zeichnen.

Fig. 808.

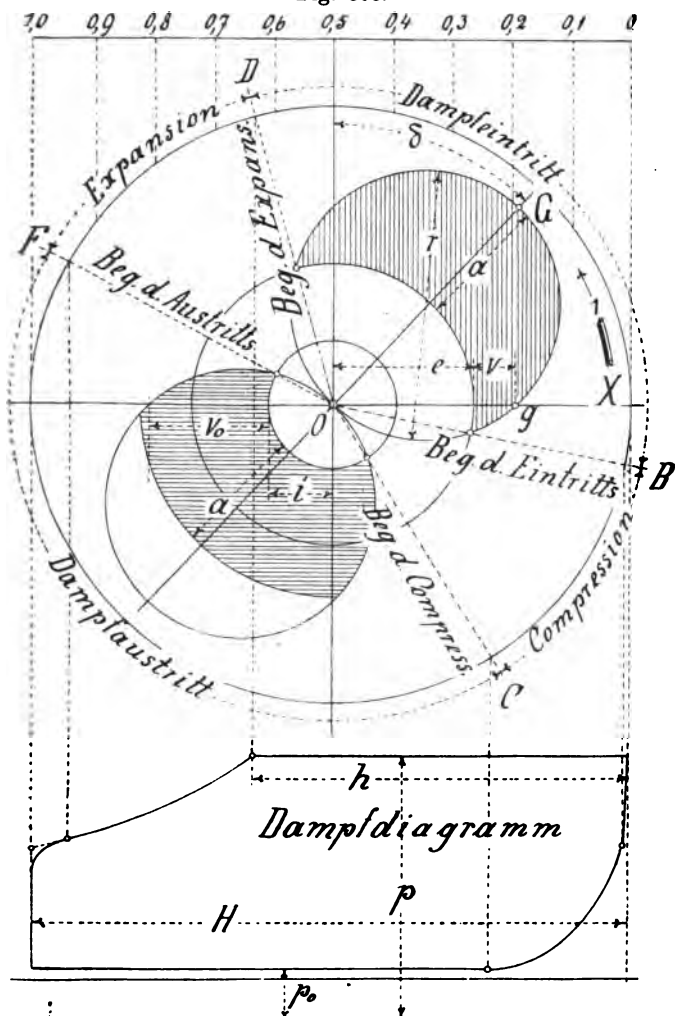


Fig. 809.

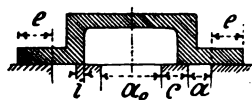
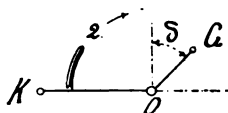


Fig. 810.



Die Meyer'sche Schiebersteuerung.

Fig. 811 Steuerung mit fixer Expansion,

Fig. 812 " " veränderlicher Expansion.

Es bezeichne:

- a die Kanalweite im Schieberspiegel,
- a_I " Weite des Durchlasskanales im Grundschieber,
- a_o " " Austrittskanales,
- c die Stegbreite,
- e die äussere Deckung,
- i " innere " "
- v das lineare äussere Voreilen,
- v_o " " innere " "
- r die Excentrizität des Grundschiebers,
- r_I " " " Expansionsschiebers,
- δ den Voreilwinkel des Grundschiebers,
- δ_I " " " Expansionsschiebers,
- $y = L - l$ die Entfernung der arbeitenden Kanten für die in
Fig. 812 gezeichnete ideelle mittlere Schieberstellung für
einen beliebigen Füllungsgrad,
- z die Verschiebung der Expansionslappen für einen beliebigen
Füllungsgrad.
- I den Schieberkreis des Grundschiebers,
- II " " " Expansionsschiebers,
- III " relativen Schieberkreis.

Fig. 811.

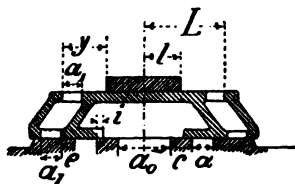
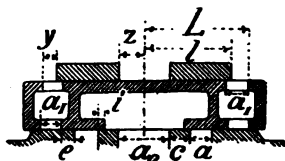


Fig. 812.



Das Schieberdiagramm. Fig. 813.

Der äussere Deckungskreis mit $2e$ Durchmesser,
 der innere „ „ $2i$ „ „
 das äussere lineare Voreilen, und
 der Schieberkreis I mit dem Durchmesser $OG = r =$ Excentrität des Grundschiebers werden aufgetragen wie bei der einfachen Steuerung.

Man wähle ferner den Voreilwinkel des Expansionsexcenters = 60 bis 90° und zeichne den Schieberkreis II mit dem Durchmesser $OE = r_I =$ Excentrität des Expansionsschiebers.

Ziehen wir nun:

GP parallel OE ,

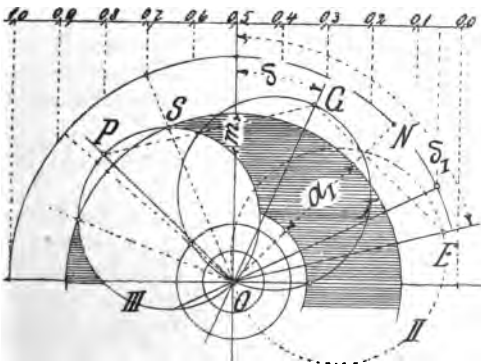
OP „ „ EG ,

so ist OP der Durchmesser des relativen Schieberkreises III .

Die Sehnen des Schieberkreises III geben die Entfernungen der beiden Schiebermittel unter sich an, letztere ist am grössten in der Kurbelstellung OP und zwar gleich OP .

Für einen bestimmten Füllungsgrad z. B. $0,7$ ist $OS = L - l$ und giebt der schraffierte Teil die Grösse der Einströmfläche an. In der Kurbelstellung ON ist der Durchlasskanal ganz geöffnet, in der Kurbelstellung $O, 0,5$ um das Stück m und in der Kurbelstellung OS ist der Durchlasskanal geschlossen. Je weiter die Expansionsplatten auseinander geschoben werden, desto grösser wird l , also $L - l$ kleiner. Bei kleinen Füllungsgraden wird $L - l$ sogar negativ, es schneidet beispielsweise die Kurbelrichtung für $0,05$ Füllung den Schieberkreis III im unteren Quadranten.

Fig. 813.



Diagramm

zur Meyer'schen Schiebersteuerung, Fig. 814—816.

- OX Schubrichtung des Schiebers,
- O Mittelpunkt des Diagramms,
- e äussere Deckung,
- i innere Deckung,
- v lineares äusseres Voreilen,
- r Excentrizität des Grundschiebers,
- OE Richtung des Expansionsexcenters,
- r_1 Excentrizität des Expansionsschiebers,
- GP parallel OE ,
- OP „ EG ,
- OP Durchmesser des relativen Schieberkreises,

Dann ist:

- v_0 lineares inneres Voreilen,
- δ Voreilwinkel des Grundschiebers,
- δ_1 „ „ Expansionsschiebers,
- OP Durchmesser des relativen Schieberkreises *III* gleich der grössten vorkommenden Entfernung der beiden Schiebermittel unter sich,

$y_8 = L - l$ für 0,8 Füllung (Sehne des Schieberkreises *III*),

$y_4 = L - l$ „ 0,4 „ „ „ „ „

$y_0 = L - l$ „ 0,0 „ „ „ „ „ negativ,

z_4 Verschiebung der Expansionsschieberlappen für 0,4 Füllung,

z_0 „ „ „ „ 0,0 „

(0,8 als grösste Füllung angenommen)

- OB Kurbelstellung für Beginn des Dampfeintritts,
- $OO,4$ „ „ „ der Expansion für 0,4 Füllung,
- OD „ „ „ des Abschlusses d. Grundschieb.,
- OF „ „ „ des Dampfaustritts,
- OM „ „ „ der Wieder-Eröffnung des Durchlasskanals bei 0,4 Füllung,

OC Kurbelstellung für Beginn der Compression, Schluss der Dampfausströmung,

Die Sehnen des Schieberkreises *I* geben die Entfernung des Grundschiebermittels von Mitte des Schieberspiegels.

Die Sehnen des Schieberkreises *II* geben die Entfernung des Expansionsschiebermittels von Mitte des Schieberspiegels.

Die Sehnen des Schieberkreises *III* geben die Entfernung der beiden Schiebermittel unter sich.

Fig. 814.

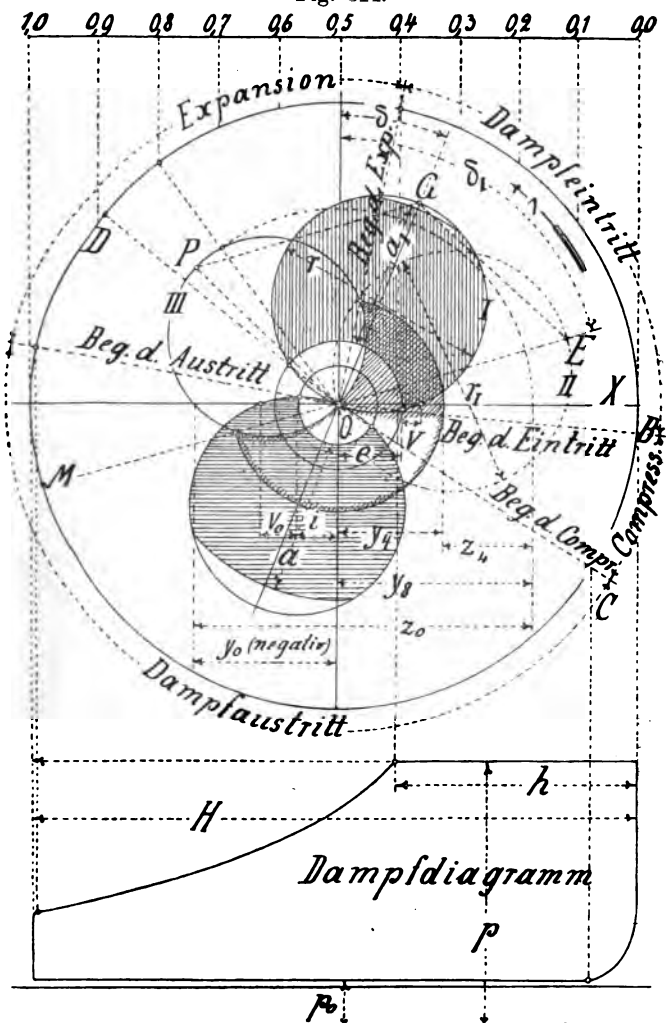


Fig. 815.

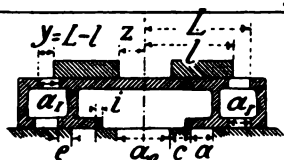
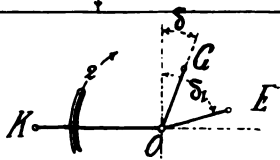


Fig. 816.



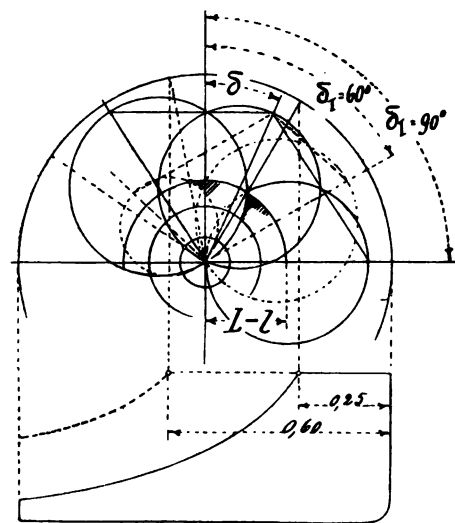
Änderung der Füllungsgrade bei Maschinen mit fixer Expansion.

Maschinen mit fixer Expansion erhalten gewöhnlich $\frac{1}{4}$ bis $\frac{1}{3}$ Cylinderfüllung und sind meistens so eingerichtet, dass durch Verändern des Voreilwinkels δ_r der Füllungsgrad etwas verändert werden kann.

In Fig. 818 ist das Diagramm einer Steuerung mit fixer Expansion dargestellt für $\frac{1}{4}$ Cylinderfüllung, durch Verkleinern des Voreilwinkels δ_r , von 90° auf 60° kann der Füllungsgrad auf 0,6 gebracht werden, es ist dieses im Diagramm punktiert angedeutet.

Einfluss des Voreilwinkels δ_r auf den Füllungsgrad.

Fig. 818.



$$\alpha = 29; \ell = 15; r = 44; v = 3.$$

$$\alpha_r = 25; i = 6,5; r_1 = 44; L - l = 22.$$

$$\text{Voreilw. } \delta_r = 90^\circ; \text{ Füllung} = 0,25.$$

$$\text{" " } = 60^\circ; \text{ " " } = 0,60.$$

Die Ridersteuerung.

Die Ridersteuerung unterscheidet sich von der Meyer'schen Steuerung dadurch, dass die Expansionsplatten durch einen Trapezschieber, welcher eine Cylinderfläche bildet, ersetzt werden. Durch Drehung der Expansionsschieberstange wird die Kantenentfernung $L-l$ variabel, s. Fig. 819. Das Zeuner'sche Schieberdiagramm ist hier ohne weiteres zu verwenden. Verschiedenheiten in der Construction zeigen Fig. 558—561, Fig. 566—571, Fig. 820—822, Fig. 823—826.

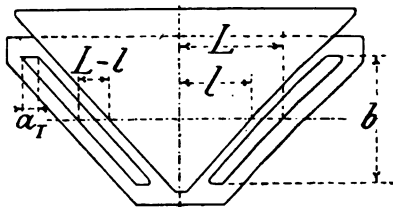


Fig. 819.

Trapez - Schieber, Fig. 820 — 822 und 823 — 826,

E. Leutert, Halle a. S. D. R.-P.

Durch Anwendung eines geteilten Expansionsschiebers c und d und der sich dabei ergebenden kürzeren Dampfkanälen ist ein kleiner Weg für die Verstellung des Expansionsschiebers nötig. Auf dem Rücken des Grundschiebers befinden sich vier Einlasskanäle a_I , a_{II} u. b_I , b_{II} , von denen sich die beiden ersteren zu a , die beiden letzteren zu b vereinigen. Die Einstellung des Expansionsschiebers geschieht durch Drehung der Schieberstange. Bei Berechnung der Reibungsarbeit kommt nur der auf die mit schmalen Arbeitsleisten eingefassten Kanalfächen wirkende Normaldruck in Betracht. Damit nun der Expansionsschieber dem Grundschieber in dem Maasse, als sich dieser am Schieber Spiegel abnutzt ungehindert folgen kann, ist über die vierkantige Expansionsschieberstange eine entsprechende vierkantige Buchse i geschoben, welche von dem Expansionsschieber umschlossen wird. Letztere wird mittels der Feder h an die Dichtflächen des Grundschiebers angedrückt.

Durch die eigentümliche Anordnung der Durchlasskanäle fällt der schädliche Raum für die Expansionsperiode etwas grösser aus.

Fig. 820—822.

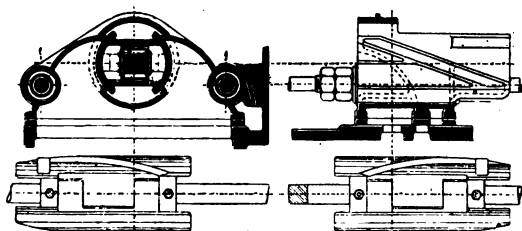
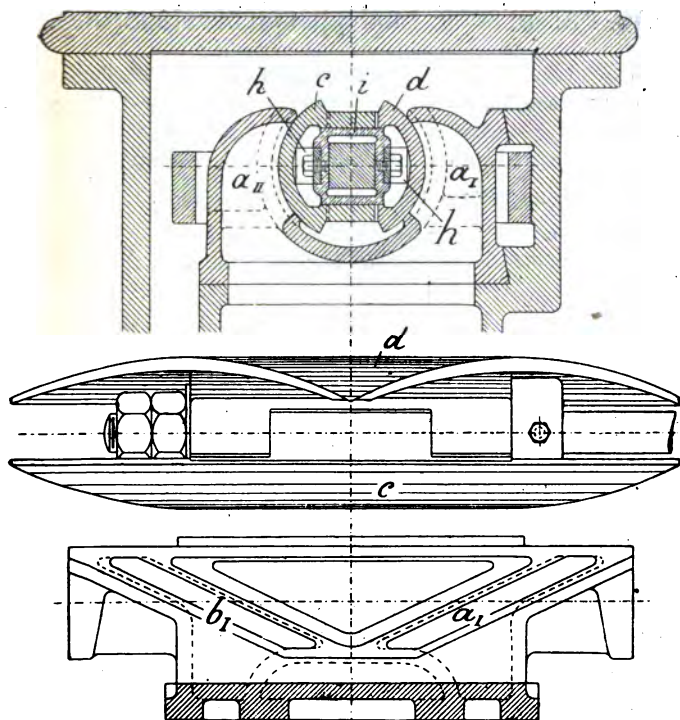


Fig. 823—826.

Die Farcot'sche Schleppschiebersteuerung.

Auf dem Rücken des **Grundschiebers** *A* (Fig. 829) liegt lose der **Expansionsschieber** *B* und wird von ersterem mitgeschleppt. Während jeden einfachen Hubes stösst der Expansionsschieber einmal an den Daumen *C* und wird zur Ruhe genötigt.

Die **variable Füllung** kann 0,0 bis 0,4 betragen.

Die Grenze der grössten erreichbaren Füllung liegt in der Kurbelstellung *OG* und ist vom Voreilwinkel δ abhängig. (Fig. 827.)

Das Diagramm wird in folgender Weise verzeichnet:

δ Voreilwinkel des Grundschiebers,

r Excentrizität „ „

x_f kleinste Abmessung des Daumens (10—25 mm),

$L - l = r + x_f$ constant s. Fig. 827—829.

Es ist dann:

$x_2 = L - l - r \sin \delta$ = der grössten Abmessung des Daumens,

$2k = 2(L - l) - a_f$

$a_f = < 2(L - l - x_2)$

Wenn diese Gleichungen erfüllt werden, wird der **Durchlasskanal** selbst bei dem kleinsten Werte von x noch **vollständig** geöffnet.

Der Wert a_f fällt gewöhnlich klein aus und wendet man deshalb **2 oder mehrere Durchlasskanäle** an.

Um alle Füllungsgrade zu erreichen, ordnet **Gubraner** ein **zweites Excenter** an zum Bewegen der Anschläge, welche schraubenförmig auf der Schieberstange angeordnet sind, Fig. 830. Der Regulator wirkt drehend auf die Schieberstange und gelangen dadurch die verschiedenen Breiten der Anschläge zur Wirkung.

Diese Steuerung hat grosse Ähnlichkeit mit der **Rider-Steuerung**.

Fig. 827—829, Farcot.

Fig. 827.

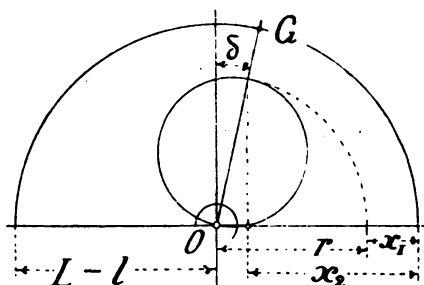


Fig. 828.

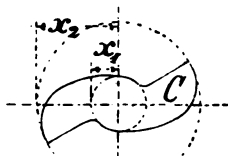


Fig. 829.

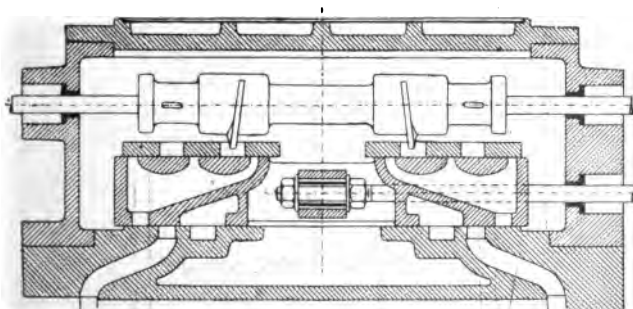
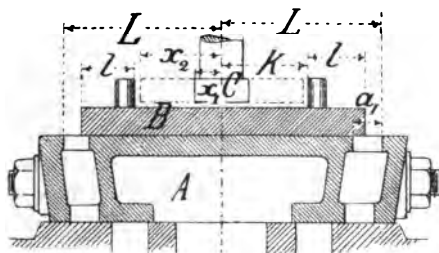


Fig. 830, Guhrauer.

Kolbenschieber.

In Fig. 831 ist der Kolbenschieber einer **einfachen Steuerung** dargestellt. *CC* sind die nach den beiden Cylinderseiten führenden Kanäle, bei *B* tritt der Frischdampf ins Schiebergehäuse und bei *A* entweicht der Dampf ins Freie oder in den Condensator.

Fig. 831.

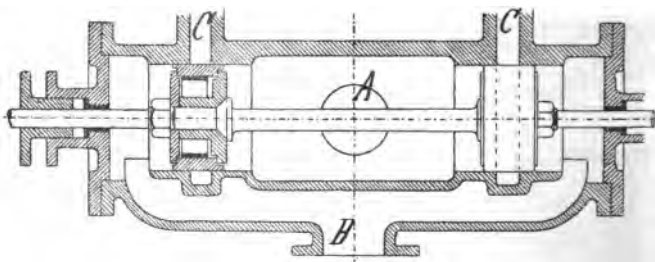
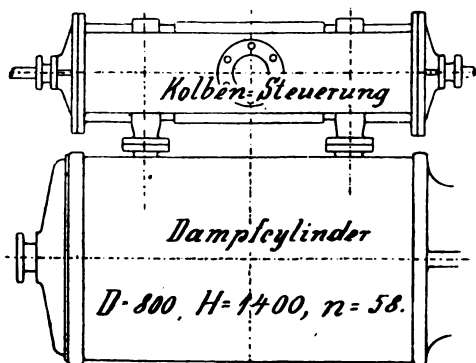


Fig. 832 und Fig. 833—842 zeigen den **Rider-Kolbenschieber** einer Maschine 800 Cylinderdurchmesser, 1400 Kolbenhub bei $n = 85$ Touren pro Minute. Die Steuerung lässt eine Cylinderfüllung von 0,0 bis 0,6 zu, entsprechend einer Drehung der Expansionschieberstange durch den Regulator um 36 Grad.

Fig. 832.



Umsteuerungen.

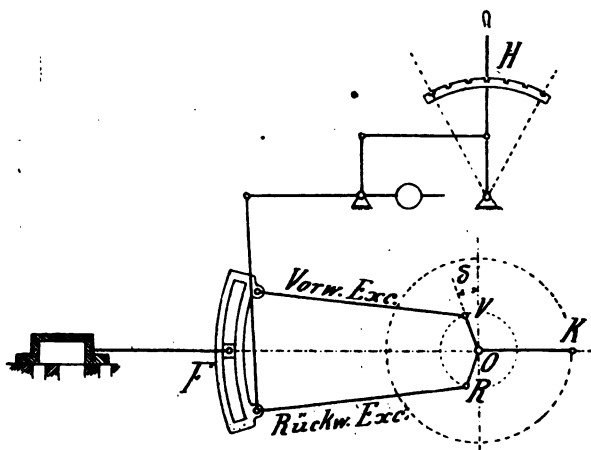
Das Bewirken der Umsteuerung mittelst Coulisse finden wir angewandt bei:

Locomotiven, Schiffsmaschinen, Fördermaschinen.

Die Coulissensteuerung von Stephenson.

Auf der Welle O , Fig. 848, sitzen 2 Excenter OR und OV , von welchen je eine Stange nach dem einen Ende der Coulisse F geht. Die Coulisse hat eine **hakenförmige Leitung**, in welcher ein Gleitstück relativ verschiebbar ist; dieses Gleitstück ist mit der Schieberstange fest verbunden. Der Schieber ist ein gewöhnlicher Maschelschieber.

Fig. 848.



Mit Hülfe des Handhebels H ist man im stande, die Coulisse zu **heben** und zu **senken**, so dass das **Gleitstück** in jede beliebige Stelle gebracht werden kann.

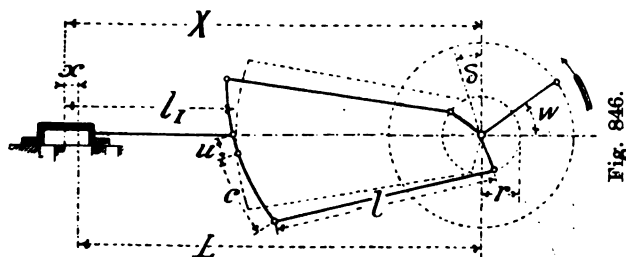
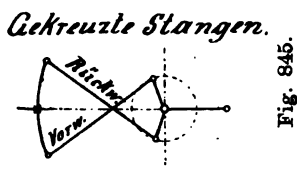
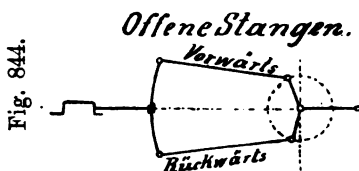
Beim Heben und Senken der Coulisse wird der Schieber verstellt und zwar in folgender Weise:

Ist die **Coulisse gesenkt**, so dass ein Punkt der oberen Hälfte den Gleitbacken führt, so **läuft die Maschine vorwärts** und zwar mit um so grösserer Cylinderfüllung, je tiefer die Coulisse gesenkt wird. Da in diesem Falle hauptsächlich das Excenter OV die Schieberführung übernimmt, so heisst dasselbe **Vorwärts-Excenter**.

Wird die Coulisse **gehoben**, so tritt das Umgekehrte ein, und heisst das Excenter OR das **Rückwärts-Excenter**.

Man unterscheidet: **Offene Stangen** in Fig. 844.

Gekreuzte „ „ „ 845.



Die **beiden Voreilwinkel** δ macht man in der Praxis gewöhnlich gleich gross.

Es bezeichnet in Fig. 846:

r die Excentrizität der beiden Excenter,

δ den Voreilwinkel derselben,

c die halbe Länge der Coulisse gemessen vom Mittelpunkt bis zum Angriffspunkt der Excenterstange,

u die Entfernung des Gleitbackens vom toten Punkt der Coulisse,

u ist positiv zu nehmen bei gesenkter Coulisse,

u „ negativ „ „ „ gehobener „

l die Länge der Excenterstange,

q der Radius der Coulisse,

l_I die Länge der Schieberstange.

Für eine **beliebige** Kurbelstellung dem Drehwinkel w entsprechend ergibt sich für X_m (X mittel)

$$X_m = l + l_I - \frac{r^2}{2l} \cos^2 \delta + (c - u) \frac{l - q}{2lq} = L.$$

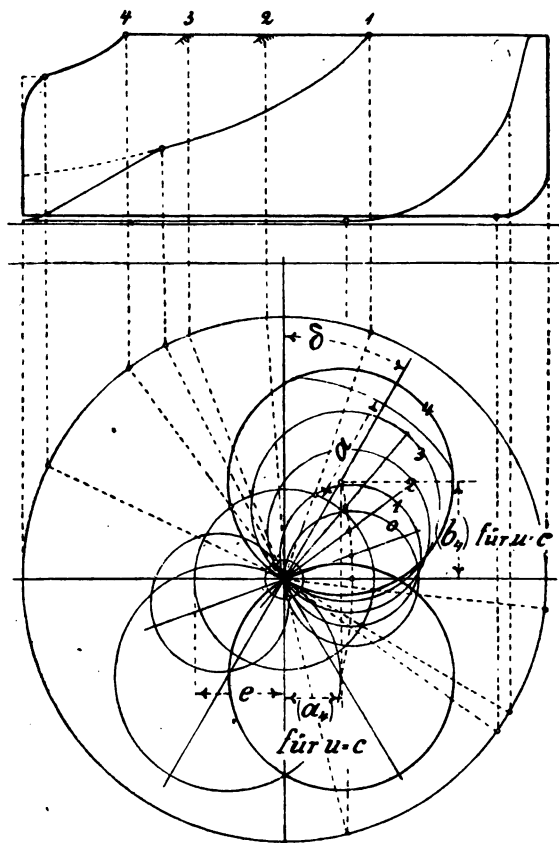
Dieses ist nicht anders möglich, als dass das letzte Glied der Gleichung gleich null wird und daraus ergibt sich $l = q$.

Die Coulisse muss nach einem Kreisbogen gekrümmt sein, dessen ~~Länge~~ ^{Radius} gleich der Länge der Excenterstange ist.

Coulissensteuerung von Stephenson.

Diagramm für offene Stangen, $\frac{1}{2}$ d. nat. Gr.

Fig. 847.



($a = 80$, $r = 60$, $l = 1400$, $c = 150$, $e = 24$, $i = 7$).

$$(a) = \frac{1}{2} r \left(\sin \delta + \frac{c^2 - u^2}{c \cdot l} \cos \delta \right).$$

$$(b) = \frac{1}{2} r \frac{u}{c} \cdot \cos \delta.$$

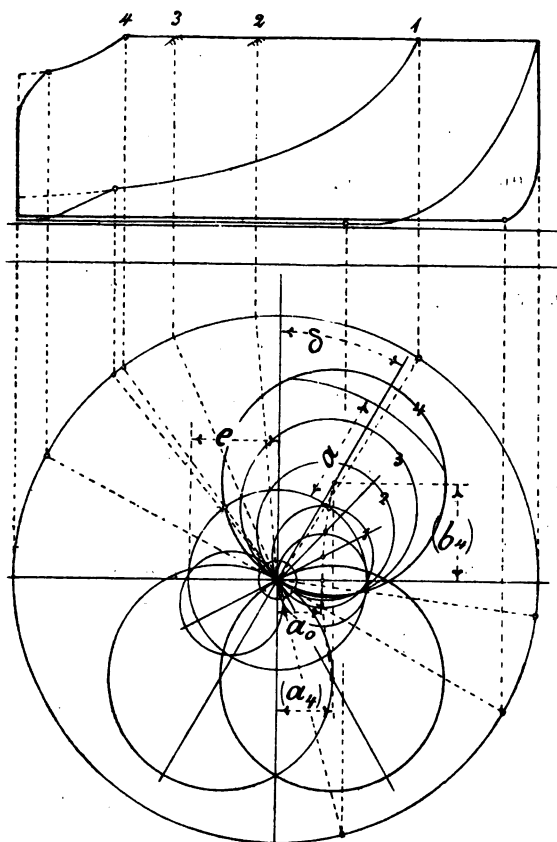
Für u max. = c , Fig. 846, ergibt sich :

Vorwärts Voll	Toter Punkt	Rückwärts Voll
$(a_4) = \frac{1}{2} r \sin \delta.$	$(a_0) = \frac{1}{2} r \sin \delta + \frac{1}{2} r \frac{c}{l} \cos \delta.$	$(a_4) = \frac{1}{2} r \sin \delta.$
$(b_4) = \frac{1}{2} r \cos \delta.$	$(b_0) = 0.$	$(b_4) = -\frac{1}{2} r \cos \delta.$

Coulissensteuerung von Stephenson.

Diagramm für gekreuzte Stangen, $\frac{1}{2}$ d. nat. Gr.

Fig. 848.



($a = 30$, $r = 60$, $l = 1400$, $c = 150$, $e = 24$, $i = 7$).

$$(a) = \frac{1}{2} r (\sin \delta - \frac{c^2 - u^2}{c l} \cdot \cos \delta).$$

$$(b) = \frac{1}{2} r \frac{u}{c} \cos \delta.$$

Für u max. = c , Fig. 846, ergibt sich.

Vorwärts Voll		Toter Punkt	Rückwärts Voll	
$(a_4) = \frac{1}{2} r \sin \delta,$	$(a_0) = \frac{1}{2} r \sin \delta - \frac{1}{2} r \frac{c}{l} \cos \delta,$		$(a_4) = \frac{1}{2} r \sin \delta,$	
$(b_4) = \frac{1}{2} r \cos \delta.$	$(b_0) = 0.$		$(b_4) = -\frac{1}{2} r \cos \delta.$	

Für die **Entfernung** x von Mitte Schieberspiegel bis Mitte Schieber (Fig. 846) erhalten wir als Näherungsformel:

$$\text{offene Stangen: } x = r (\sin \delta + \frac{c^2 - u^2}{c l} \cos \delta) \cos w + \frac{u r}{c} \cos \delta \sin w,$$

$$\text{gekreuzte „ } x = r (\sin \delta - \frac{c^2 - u^2}{c l} \cos \delta) \cos w - \frac{u r}{c} \cos \delta \sin w.$$

Diese Gleichungen haben bessere Formen für Polarordinaten, setzen wir:

$$\text{offene Stangen (a) = } \frac{1}{2} r (\sin \delta + \frac{c^2 - u^2}{c l} \cos \delta),$$

$$(b) = \frac{1}{2} r \frac{u}{c} \cos \delta,$$

$$\text{gekreuzte Stangen (a) = } \frac{1}{2} r (\sin \delta - \frac{c^2 - u^2}{c l} \cos \delta),$$

$$(b) = \frac{1}{2} r \frac{u}{c} \cos \delta.$$

so haben wir die **Gleichung eines Kreises**, welcher durch den Mittelpunkt geht.

Nehmen wir nun an, es sei $u \text{ max.} = c$ und die Führung des Umsteuerhebels sei mit 9 Schlitten in gleichmässigen Entfernungen versehen, so nimmt u **9 verschiedene Werte** an und zwar:

offene Stangen

gekreuzte Stangen

$$\left. \begin{array}{l} u = c \\ u = \frac{3}{4} c \\ u = \frac{1}{2} c \\ u = \frac{1}{4} c \end{array} \right\}$$

Vorwärts

$$\left\{ \begin{array}{l} u = -c \\ u = -\frac{3}{4} c \\ u = -\frac{1}{2} c \\ u = -\frac{1}{4} c \end{array} \right.$$

$$u = 0$$

Toter Punkt

$$u = 0$$

$$\left. \begin{array}{l} u = -\frac{1}{4} c \\ u = -\frac{1}{2} c \\ u = -\frac{3}{4} c \\ u = -c \end{array} \right\}$$

Rückwärts

$$\left\{ \begin{array}{l} u = \frac{1}{4} c \\ u = \frac{1}{2} c \\ u = \frac{3}{4} c \\ u = c \end{array} \right.$$

Diese Werte eingesetzt ergibt:

offene Stangen

gekreuzte Stangen

$$\text{Voll Vorwärts } \left\{ \begin{array}{l} (a) = \frac{1}{2} r \sin \delta \\ (b) = \frac{1}{2} r \cos \delta \end{array} \right.$$

$$\left\{ \begin{array}{l} (a) = \frac{1}{2} r \sin \delta \\ (b) = \frac{1}{2} r \cos \delta \end{array} \right.$$

$$\text{Toter Punkt } \left\{ \begin{array}{l} (a) = \frac{1}{2} r \sin \delta + \frac{1}{2} r \frac{c}{l} \cos \delta \\ (b) = 0 \end{array} \right.$$

$$\left\{ \begin{array}{l} (a) = \frac{1}{2} r (\sin \delta - \frac{1}{2} r \frac{c}{l} \cos \delta) \\ (b) = 0 \end{array} \right.$$

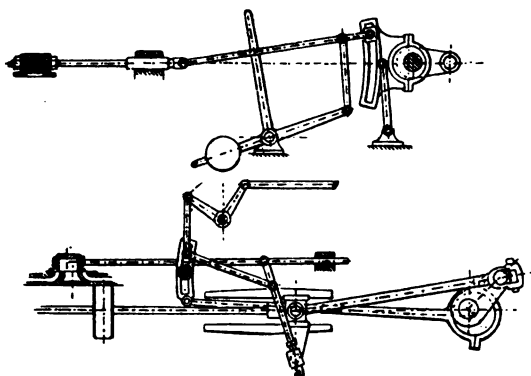
$$\text{Voll Rückwärts } \left\{ \begin{array}{l} (a) = \frac{1}{2} r \sin \delta \\ (b) = -\frac{1}{2} r \cos \delta \end{array} \right.$$

$$\left\{ \begin{array}{l} (a) = \frac{1}{2} r \sin \delta \\ (b) = -\frac{1}{2} r \cos \delta \end{array} \right.$$

Wie aus dem Diagramm, Fig. 847, ersichtlich, ist der Dampfkanal nur bei gesenkter Coulissee **ganz geöffnet**, dagegen wird bei den anderen Coulistenstellungen nur **teilweise** geöffnet. Man macht deshalb die Kanäle möglichst **schmal** und **sehr breit**.

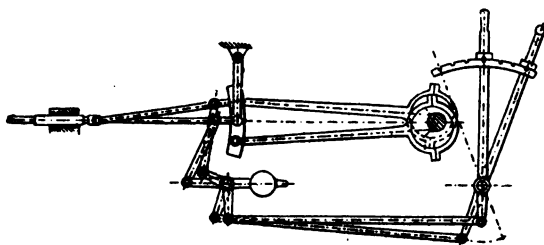
Coulissensteuerung von Pius Fink.

Fig. 849. 1 Schieber, 1 Coulissee.



Coulissensteuerung von Heusinger v. Waldegg.

Fig. 850. 1 Schieber, 1 Coulissee.



Coulissensteuerung von Polonceau.

Fig. 851. 2 Schieber, 2 Coulissen.

Die obigen Umsteuerungen sind näher beschrieben in „Zeuner, Schiebersteuerungen“.

Coulissensteuerung von Gooch.

Fig. 852—853.

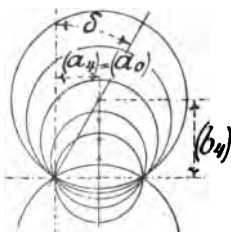
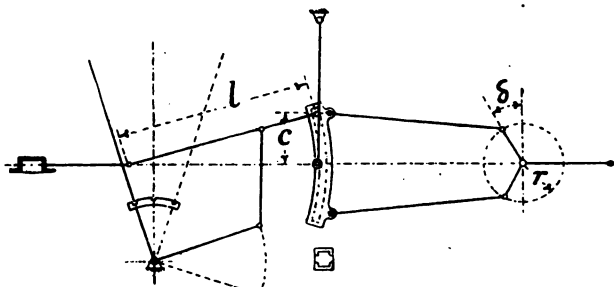


Fig. 854.

Offene Stangen

$$(a) = \frac{1}{2} r (\sin \delta + \frac{c}{l} \cos \delta),$$

$$(b) = \frac{r}{2} \frac{u}{c} (\cos \delta - \frac{c}{l} \sin \delta).$$

Gekreuzte Stangen geben ungünstigere Dampfverteilung und werden für Gooch'sche Coulisse selten angewandt.

Gekreuzte Stangen

$$(a) = \frac{1}{2} r (\sin \delta - \frac{c}{l} \cos \delta),$$

$$(b) = \frac{r}{2} \frac{u}{c} (\cos \delta + \frac{c}{l} \sin \delta).$$

$$u = +c \text{ Voll Vorwärts } u = -c,$$

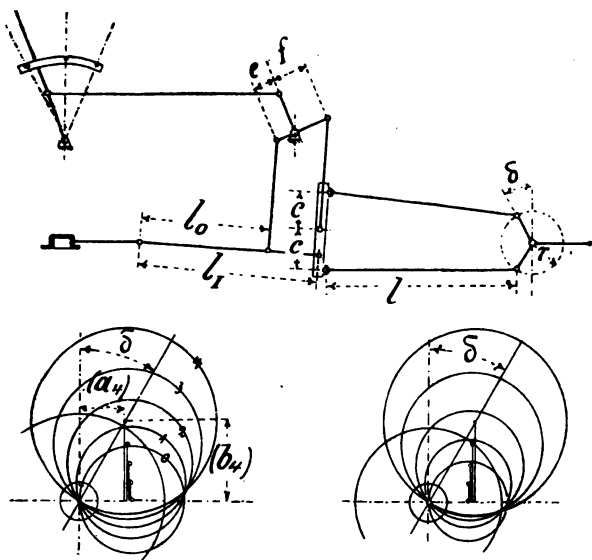
$$u = 0 \text{ Toter Punkt } u = 0,$$

$$u = -c \text{ Voll Rückwärts } u = +c.$$

Im Diagramm für offene Stangen, Fig. 854, liegen alle Mittelpunkte der Schieberkreise in einer Geraden, das **Verellen** ist also für alle Füllungsgrade **constant**.

Coulissen-Steuerung von Allan.

Fig. 855—857.



offene Stangen:

$$(a) = \frac{1}{2} r \left(\sin \delta + \frac{nc^2 - u^2}{nc l} \cos \delta \right)$$

$$(b) = \frac{r u}{2 c} \left[\cos \delta - c \frac{(n-1)}{n l} \sin \delta \right]$$

gekreuzte Stangen:

$$(a) = \frac{1}{2} r \left(\sin \delta - \frac{nc^2 - u^2}{nc l} \cos \delta \right)$$

$$(b) = \frac{r u}{2 c} \left[\cos \delta + c \frac{(n-1)}{n l} \sin \delta \right]$$

Es muss sein:

$$n = 1 + \frac{l_f}{l_o} \cdot \frac{e}{f}$$

und darin

$$\frac{e}{f} = \frac{l_o}{l_f} \left(1 \pm \sqrt{1 + \frac{l}{l_f}} \right)$$

Der Hauptvorteil der Allan'schen Steuerung würde in der einfachen gradlinigen Form der Coulisse liegen. Das Diagramm zeigt fast dieselbe Dampfverteilung wie das der Stephenson'schen Coulissensteuerung, nur etwas gleichmässigeres Voreilen.

Die Schieber-Ellipse.

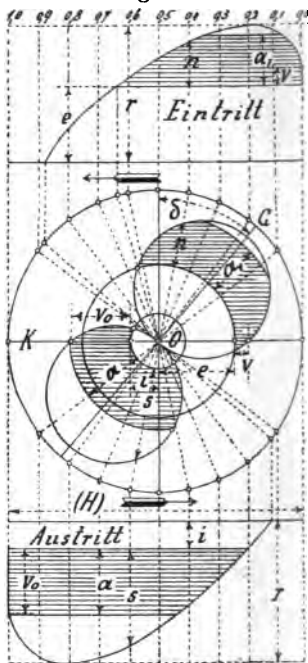
a. für einfache Schiebersteuerung.

Zum leichteren Verständnis des Zeuner'schen Schieberdiagramms führt das Aufzeichnen der **Schieber-Ellipse** Fig. 858. Die endliche Länge der Treibstange soll in nachstehenden Betrachtungen vernachlässigt werden, da es sich nur darum handelt, erstens: das Zeuner'sche Schieberdiagramm verständlich zu machen, und zweitens: die schleichende Schieberbewegung resp. die **Geschwindigkeit**, mit welcher die einzelnen **Kanäle** vom Schieber **geöffnet** oder **geschlossen** werden, zu beobachten.

Man teilt den Durchmesser des Kurbelkreises in 10 Teile, errichtet Senkrechte von einer Horizontalen und trägt die Entfernung von Mitte Schieber bis Mitte Schieberspiegel, also die **Sehnen des Schieberkreises** auf den zugehörigen Verticalen auf. Die Verbindung der gefundenen Punkte giebt die sogenannte **Schieber-Ellipse**. Trägt man nun ferner noch die **Äussere Deckung** e und die für den Eintritt erforderliche Kanalweite a_I auf, so giebt die horizontal schraffierte die **wirkliche Eröffnung** des Kanales an.

Im toten Punkt z. B. ist der Kanal um v und in der Kurbelstellung $0,4$ um das Stück n offen.

Fig. 858.

Fig. 858 $\frac{2}{5}$ der nat. Gr.

Kanalweite	$a_I = 17$	Innere Deckung	$i = 9$
"	$a = 20$	Äusseres Voreilen	$v = 5$
Excentrizität	$r = 45$	Inneres Voreilen	$v_0 = 20$
Äussere Deckung	$e = 25$	Voreilwinkel	$\delta = 41$

b. für Meyer'sche und Rider-Steuerung.

Das Aufzeichnen der Kanal-Eröffnungen des Grundschiebers geschieht in derselben ^{Manier} wie bei der einfachen Steuerung.

In den Fig. 859 und 860 soll hauptsächlich der **Einfluss der Grösse des Voreilwinkels δ** , auf die Geschwindigkeit, mit welcher der Kanal geschlossen wird, gezeigt werden und sind folgende Daten zu Grunde gelegt:

Füllung $h = 0,3$, Durchlasskanal $a_r = 25$, Kanalweite $a = 29$, Äussere Deckung $e = 15$, Innere Deckung $i = 6,5$, Excentrizität des Grundschiebers $r = 44$, Excentrizität des Expansionsschiebers $r_r = 44$, Äusseres lineares Voreilen $v = 3$, Voreilwinkel des Grundschiebers $\delta = 24^\circ$, Maassstab $\frac{2}{5}$ d. nat. Gr.

Voreilwinkel

d. Expans.-Sch. $\delta_r = 90^\circ$.

Fig. 859.

d. Expans.-Sch. $\delta_r = 60^\circ$.

Fig. 860.

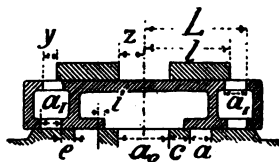
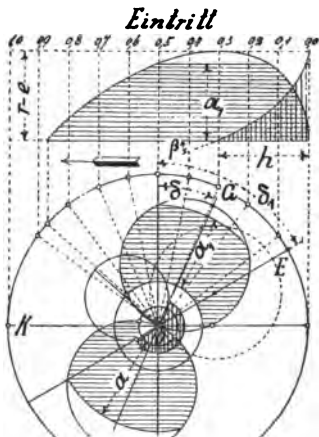
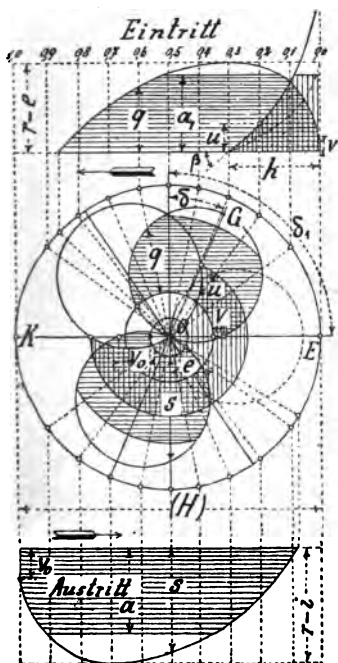


Fig. 861.

Um nun die Eröffnung des Durchlasskanales zu erhalten, tragen wir die Entfernung der arbeitenden Kanten der Expansionsschieberfläche als Ordinaten auf, so giebt die vertical schraffierte Fläche die Eröffnung des Durchlasskanales an. Ein Vergleich von Fig. 859 mit Fig. 860 zeigt, dass der Dampfeintritt bei $\delta_r = 90^\circ$ sich günstiger gestaltet als bei $\delta_r = 60^\circ$, welches an der Grösse des **Eintrittswinkels β** sofort erkenntlich.

Ventilsteuerung.

Ventilsteuerung wird hauptsächlich bei **grösseren Maschinen** (etwa von 700 Hub aufwärts) angewandt.

Fig. 862—864 zeigen doppelsitzige Steuerventile.

Fig. 862.

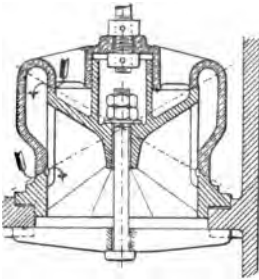
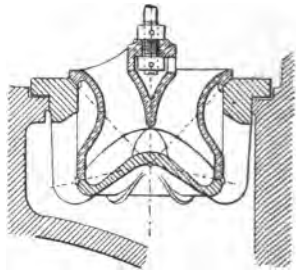


Fig. 863.



Die Constructionen der Ventilmaschinen zeigen eine solche Vielseitigkeit, und sind, grösstenteils patentiert oder Special-Constructionen, dass es zu weit führen würde, die einzelnen Systeme zu behandeln und soll deshalb in Nachstehendem nur einiges darüber gesagt sein.

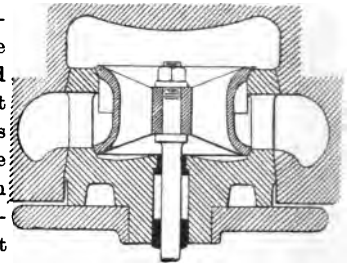


Fig. 864.

Eine für **Fördermaschinen** früher sehr häufig angewandte Ventilsteuerung ist in Fig. 865—866 dargestellt.

EE sind die Dampfeinlassventile,

AA „ „ Dampfauslassventile,

DD „ „ Dampfkanäle, welche nach den beiden Cylinderseiten führen.

Die **Ventilbewegung** erfolgt mittelst Winkelhebel, welcher letztere durch ein **Excenter** in Bewegung gesetzt werden. Damit ein sicherer Abschluss der Ventile erfolgt, ist jede Ventilstange an ihrem oberen Ende mit einem Gewicht beschwert.

Die Ventilsteuerung arbeitet genau wie eine gewöhnliche **Muschelschlehersteuerung**, man kann demnach die Stange *M* durch eine **beliebige Coullisse** bewegen, und durch deren Verstellung sowohl die Maschine umsteuern, als auch die Füllung ändern.

Fig. 865.

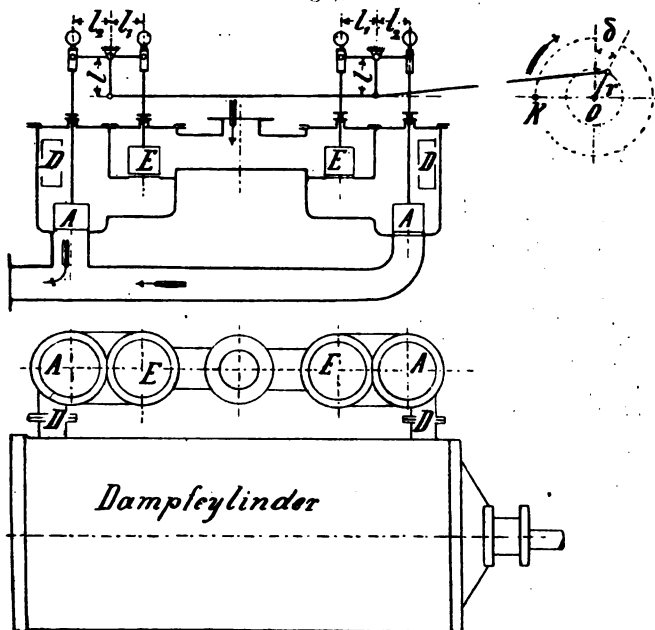


Fig. 866.

Es bezeichne :

h den Hub des Ventiles,

v das Voreilen,

s oberer Spielraum zwischen Hebelende und Schlitz, wenn die Excentrizität in der mittleren Lage steht,

d_1 Durchm. der Einlassventile; d_2 Durchm. der Auslassventile,

h_1 Hub " " h_2 Hub " "

l_1 Hebellänge der " l_2 Hebellänge der "

l Hebellänge s. Fig. 865,

so haben wir folgendes :

$$\frac{l_2}{l_1} = \frac{h_2}{h_1}$$

$$r = \frac{l}{l_1} (h + s)$$

$$r \sin \delta = \frac{l}{l_1} (s + v)$$

$$\sin \delta = \frac{l (s + v)}{l_1 r}$$

Collmann - Steuerung, Fig. 867 u. 868, der Görlitzer Maschinenbau - Anstalt.

Fig. 867.



Die Steuerung (Fig. 867) ist im Momente der Eröffnung des Einströmventiles gezeichnet, und bewegt sich die Steuerwelle oben gegen den Cylinder mit gleicher Tourenzahl der Maschine.

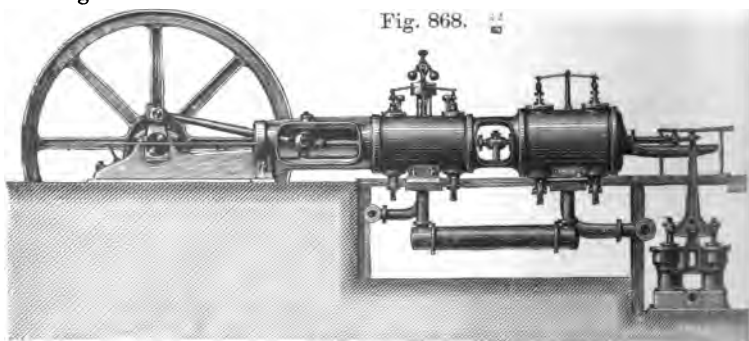
Durch das Knie *kni* wird die constante Bewegung von *k*, sowie die vom Regulator aus variable, das Knie durchbiegende Bewegung des Gleitstückes *l*, im Gelenk *i* zur Ventilbewegung vereinigt. Durch die Verschiebung des Gleitstückes *l* wird die Cylinderfüllung zwischen 0 bis 0,9 variable.

Zur Ventilbewegung ist ein im Folgenden beschriebener Gegenhebel - Mechanismus *i t g h* eingeschaltet.

Im ersten Momente der Ventil-Eröffnung legt sich die Schiene *it* infolge der Aufwärtsbewegung von *i* bei *h* gegen die Schiene *gh*, wodurch das oben am Cylinder angeordnete Ventil langsam angehoben wird. Im nächsten Bewegungsmoment aber rückt infolge der abwälzenden Bewegung der zwei Schienen der Berührungspunkt derselben gegen *i* vor und erfolgt eine sehr rasche Ventilbewegung.

In ähnlicher Weise erfolgt der Ventilschluss sehr rasch, jedoch im letzten Bewegungsmoment (ca. $\frac{1}{4}$ bis $\frac{1}{2}$ mm vor Schluss des Ventiles) wird infolge der entgegengesetzten Abwälzung der zwei Schienen und der Verlegung des Berührungspunktes derselben nach *h* das Ventil langsam auf seinen Sitz aufgesetzt.

Fig. 868.



Compound-Dampfmaschine mit Condensation und hinter einander liegenden Cylindern.

Präcisions-Ventilsteuerung von Recke
der Hannover'schen Maschinenbau-Anstalt. Fig. 869.

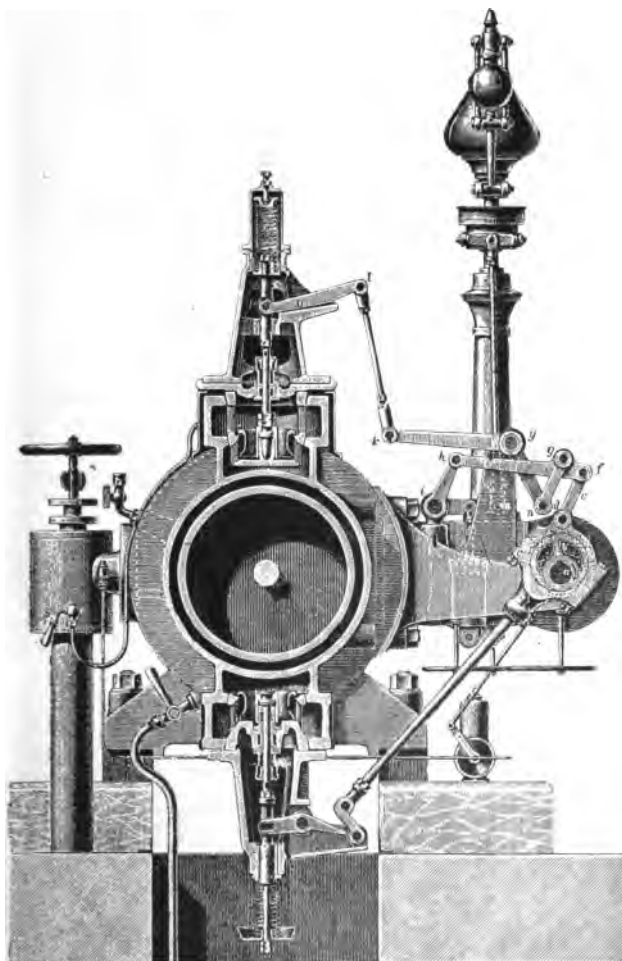


Fig. 869.

Zwangsläufige Ventilsteuerung von Dr. R. Proell.

Fig. 870—871.

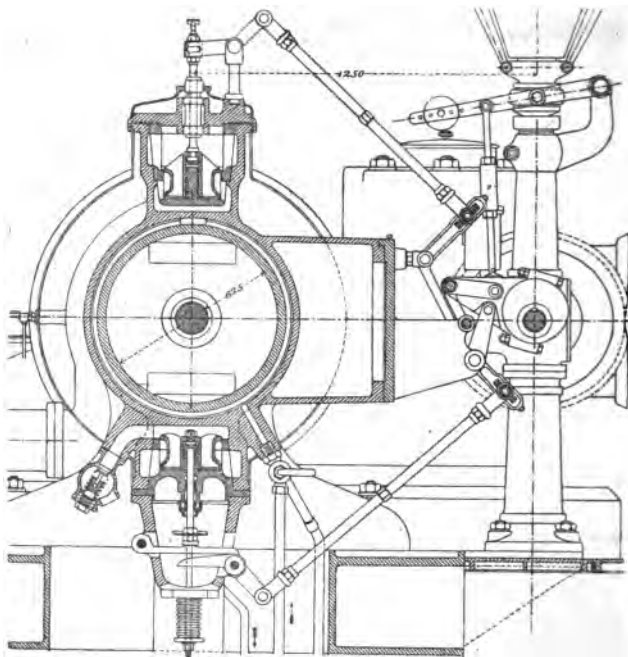


Fig. 870.

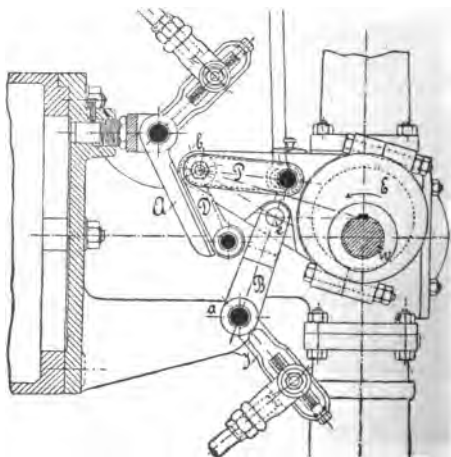


Fig. 871.

Zwangläufige Ventilsteuerung von Kliebisch,
der Cottbuser Maschinenbau-Anstalt. Fig. 872—873.

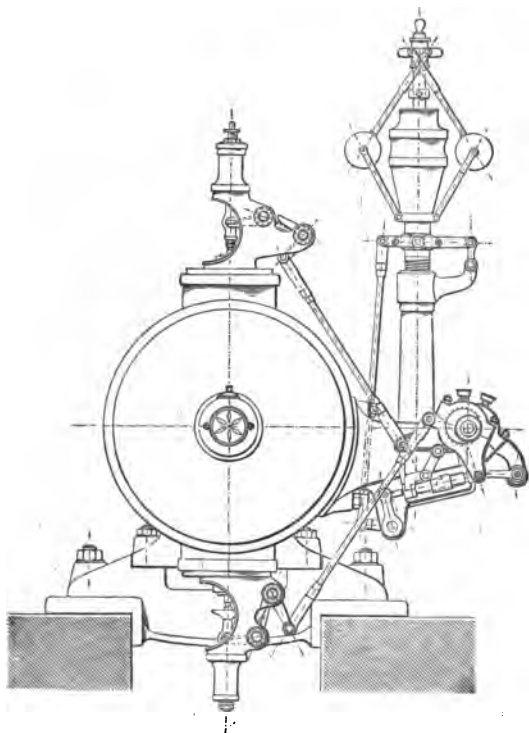


Fig. 872.

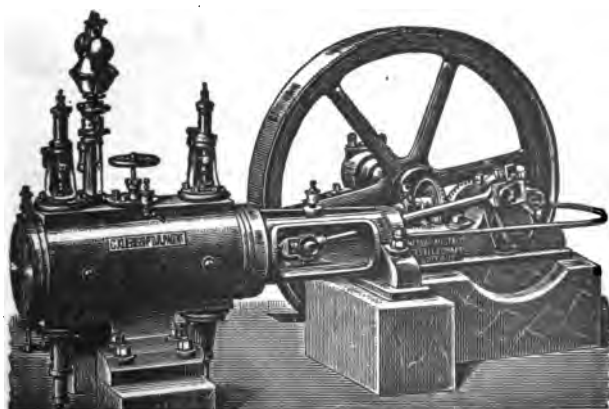


Fig. 873.

Zwangläufige Ventilsteuerung von Ed. König und der Dampf- und Spinneret-Maschinenfabrik Chemnitz.

Fig. 874.

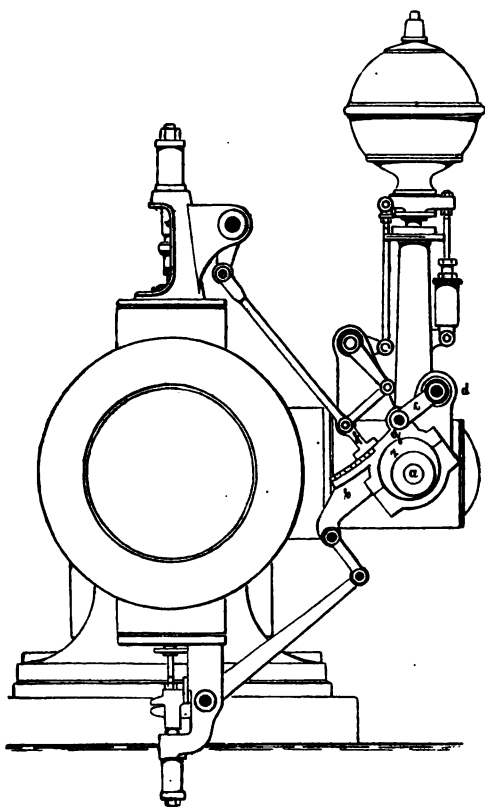


Fig. 874.

Der Excenterring ist mit einer Nase *b* versehen, in *g* aufgehängt und wird durch den Lenker *c* mit einem festen Drehpunkt *d* so gesteuert, dass die inneren Punkte der Nase *b* sich früher und mit kürzerem Wege senken als die äusseren Punkte derselben, entsprechend kleinen resp. grossen Füllungsgraden, welche Bewegung auf den Doppelhebel mittelst Übertrager *f* einwirkt.

(Dinglers polytechn. Journal Jahrg. 1888 No. 3).

Zwangsläufige Ventilsteuerung von Hartung der Harzer Actien-Gesellschaft, Nordhausen a/H.

Fig. 875—876.

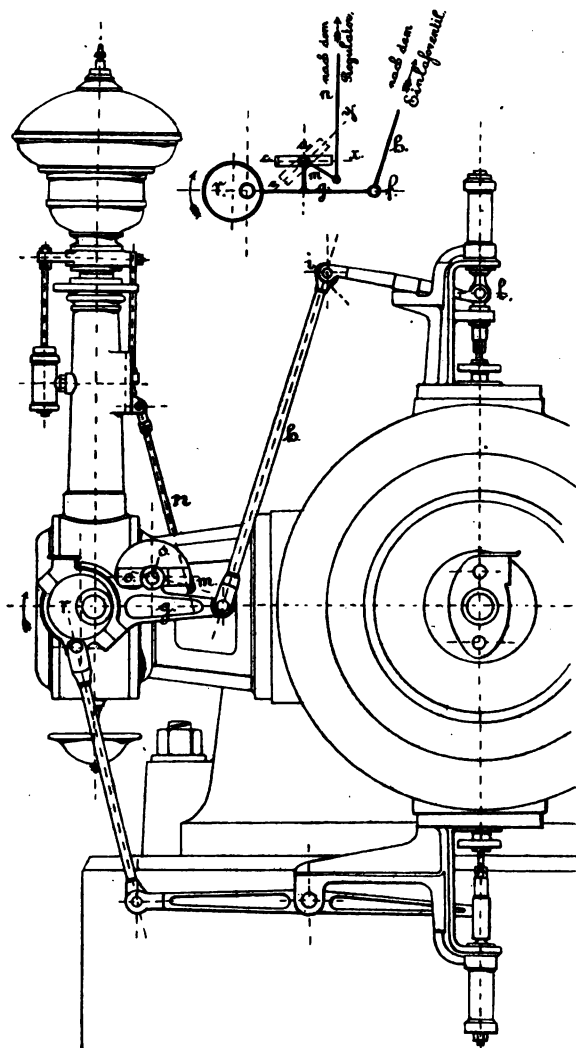


Fig. 875—876.

Sulzer-Steuerung mit Auslös-Mechanismus.

Gebr. Sulzer, Winterthur.

Fig. 877—878.

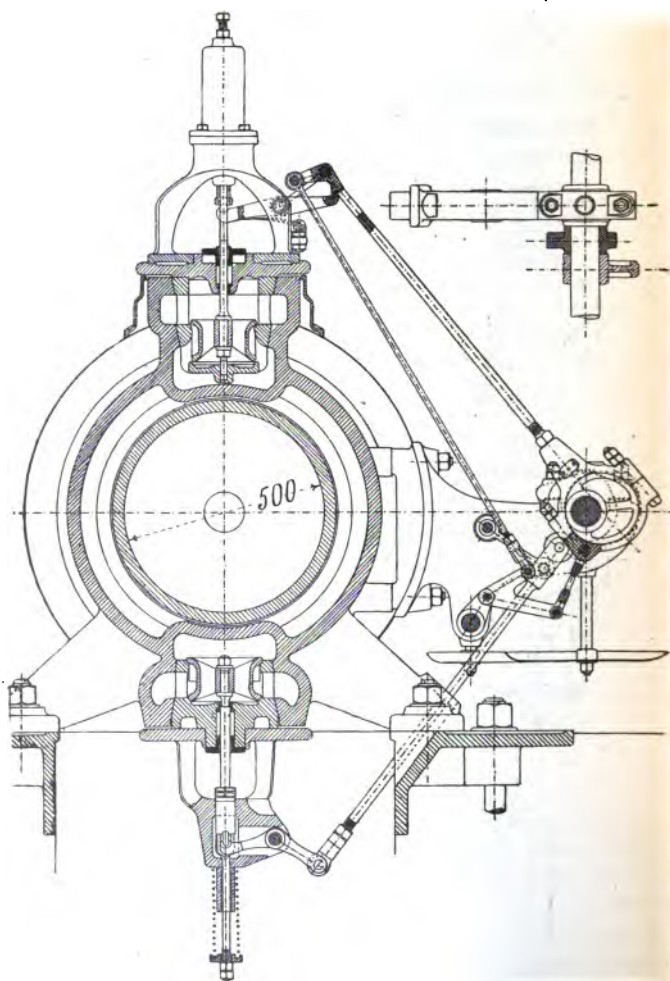


Fig. 877—878.

Corliss - Steuerung. Fig. 879—880.

Fig. 879.

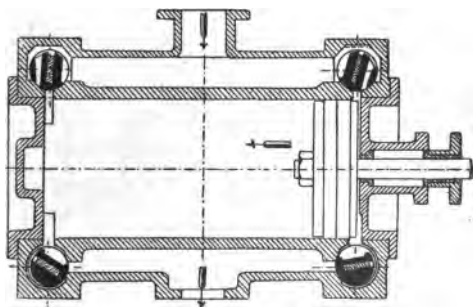
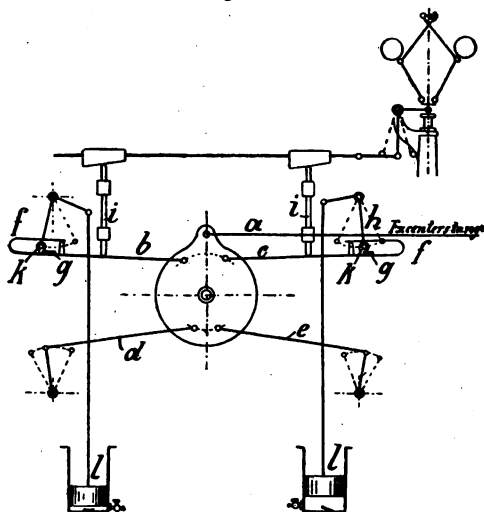


Fig. 880.

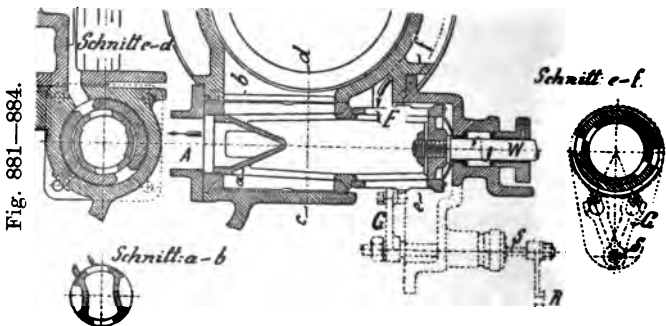
Bei allen Corliss-Steuerungen sind immer **4 Steuerungsteile** vorhanden; die Schieber, Hähne etc. stehen nur während der Einströmung mit dem Mechanismus in Verbindung, werden aber plötzlich unabhängig von diesem und schliessen somit sofort.

Besondere Vorteile der Corliss-Steuerung sind:
Sehr kleiner schädlicher Raum,
Ein sehr schnelles Abschliessen der Einströmung.

In Fig. 879—880 ist eine der ältesten Corliss-Steuerungen dargestellt. Vor dem Dampfzylinder, Fig. 880, liegt ein fünf-armiges Hebelwerk, Fig. 879, welches mit Zapfen an einer Scheibe befestigt ist. Der eine Hebel *a*, welcher die Scheibe in **schaukelnde Bewegung** setzt, führt nach dem Excenter; die anderen Hebel *b c d e* führen nach den Corliss-Hähnen. Der Hebel *c* hat eine Feder *f* und einen Knaggen *g*. Wird nun am Hebel *a* geschoben, so wird der Hebel *h* und somit der Hahn in drehende Bewegung gesetzt, bis z. B. der Hebel *c* an ein Hindernis *i* stösst, so wird die Feder *f* nachgeben und der Knaggen *g* vom Bolzen *k* entfernt. Jetzt wird der Hebel durch das Gewicht *l* in seine ursprüngliche Lage plötzlich zurückgeführt und somit der Hahn **geschlossen**. Um das starke Aufschlagen des Gewichtes zu verhindern, ist das Gehäuse des letzteren mit einer Klappe und einem Lufthahn versehen.

Die erste Corliss-Steuerung hat schon eine Menge constructiver Änderungen erfahren, die jedoch hier nicht weiter erwähnt werden sollen.

Drehschiebersteuerung für veränderl. Expansion, Feodor Siegel, Schönebeck a/Elbe. Fig. 881—884.



In Fig. 881—884 bedeutet:

- W* die Spindel für den rotierenden Grunddrehschieber,
- E* Expansionshaube,
- R* Hebel für den Regulator-Angriff,
- S* Spindel für die Gabel *G*, welche letztere mittelst eines Röllchens die Expansionshaube auf den entsprechenden Füllungsgrad einstellt.
- A* Kanal für den Dampfaustritt.

Abschnitt VII.

Effect-Berechnung und Dampfverbrauch.

	Seite
Effect-Berechnung	252
Tabelle des Spannungscoeffizienten k	253
Arbeitsverlust durch Drosselung des Eintrittsdampfes . . .	254
" " verfrühten Austritt	254
" " Gegendruck des abziehenden Dampfes . . .	255
" " Compression	255
" " Spannungsabfall b. Compound-Masch.	254
Schädl. Raum mit Tabelle	256
Vorläufige Werte von p_m	256
Tabelle der Endspannung f. d. vorteilhafteste Normalleistung .	257
" " Füllungen bei gegebener Endspannung	258
" " Wirkungsgrade	259
" des Leergangswiderstandes	259
Werte der zusätzlichen Reibung	259
Werte des Gegendruckes und der Arbeitsverluste für normale Verhältnisse	260
Beispiel zur Berechnung einer Maschine ohne Condens. . .	260
" " " " " mit " 	261
Maximalleistung	261
Werte des Gegendruckes und der Arbeitsverluste für die Maximalleistung	261
Tabelle der nominellen und Maximalleistungen für Eincylinder-Auspuff-Maschinen	262
Tabelle der nominellen und Maximalleistungen für Eincylinder-Condensation-Maschinen	263
Effectberechnung der Compound-Maschine	264
Beispiel zur Effectberechnung einer Compound-Maschine . .	264—265
Volumverhältnis des Hoch- und Nieder-Druckcylinders . .	265
Der Receiver	265
Tabelle der nominellen und Maximalleistungen für Compound-Maschinen	266
Dampfdiagramm der Normalleistung für Comp.-Maschinen .	267
" " Maximalleistung " " " 	267
Der Dampfverbrauch	268
Tabelle über den Einfluss des schädlichen Raumes auf den Dampfverbrauch ohne Condensation	269
Tabelle über den Einfluss des schädlichen Raumes auf den Dampfverbrauch mit Condensation	269
Tabelle des Dampfverbrauchs für Eincyl.-Auspuff-Maschinen .	270
" " " " " Condens.-	271
" " " " " Comp.-Masch. mit Condens. . . .	272
Kohlenverbrauch einiger Wasserwerke	273
Speisewassermenge mit Beispiel	274
Einspritzwassermenge	275
Die Luftpumpe	275

~~3-25-2000~~

██████████ - - - - - taken.

Fällung A und der

119

des **schlächten**

Handwritten: *Handwritten text, possibly a signature or name, is visible in the top right corner of the page.*

SECRET

Wann ist der Arbeits-

 d

ein

nő

las

zu

Ex

Be

mit

No

der

snic

tige

But

sch

Ää

1

Werte des Spannungskoeffizienten k .

Tabelle 118.

Füllung h	Schädliche Räume s .								
	20/o	30/o	40/o	50/o	60/o	70/o	80/o	90/o	100/o
0,00	0,079	0,107	0,130	0,152	0,172	0,191	0,210	0,226	0,240
0,02	0,151	0,173	0,199	0,210	0,230	0,250	0,260	0,274	0,289
0,04	0,204	0,224	0,246	0,257	0,275	0,292	0,302	0,314	0,328
0,06	0,255	0,273	0,292	0,303	0,321	0,332	0,343	0,353	0,366
0,08	0,305	0,321	0,337	0,348	0,363	0,371	0,383	0,392	0,403
0,10	0,356	0,369	0,381	0,392	0,403	0,412	0,422	0,432	0,440
0,12	0,394	0,406	0,417	0,427	0,437	0,446	0,455	0,464	0,472
0,14	0,431	0,442	0,452	0,462	0,470	0,479	0,487	0,495	0,503
0,16	0,467	0,477	0,486	0,496	0,502	0,511	0,518	0,525	0,533
0,18	0,502	0,513	0,519	0,529	0,533	0,542	0,548	0,554	0,562
0,20	0,535	0,545	0,552	0,559	0,565	0,571	0,577	0,584	0,590
0,22	0,564	0,573	0,578	0,586	0,592	0,597	0,603	0,609	0,615
0,24	0,592	0,600	0,606	0,612	0,618	0,622	0,628	0,633	0,639
0,26	0,619	0,626	0,631	0,637	0,643	0,646	0,652	0,656	0,662
0,28	0,645	0,651	0,655	0,661	0,667	0,669	0,675	0,678	0,683
0,30	0,670	0,675	0,680	0,685	0,689	0,692	0,696	0,700	0,704
0,32	0,693	0,697	0,702	0,706	0,710	0,714	0,718	0,721	0,725
0,34	0,715	0,718	0,723	0,726	0,730	0,739	0,738	0,741	0,745
0,36	0,736	0,738	0,743	0,745	0,749	0,756	0,757	0,760	0,764
0,38	0,756	0,757	0,762	0,763	0,767	0,772	0,775	0,778	0,782
0,40	0,773	0,775	0,779	0,781	0,784	0,787	0,794	0,797	0,800
0,42	0,791	0,792	0,794	0,798	0,801	0,803	0,810	0,812	0,815
0,44	0,808	0,809	0,810	0,814	0,817	0,818	0,824	0,826	0,829
0,46	0,824	0,825	0,823	0,829	0,832	0,834	0,837	0,839	0,842
0,48	0,838	0,840	0,839	0,843	0,846	0,845	0,849	0,851	0,854
0,50	0,850	0,852	0,854	0,856	0,857	0,858	0,862	0,864	0,866
0,55	0,879	0,881	0,883	0,885	0,886	0,886	0,889	0,890	0,891
0,60	0,906	0,908	0,910	0,912	0,913	0,913	0,914	0,915	0,916
0,65	0,927	0,929	0,931	0,932	0,933	0,934	0,935	0,935	0,936
0,70	0,947	0,949	0,951	0,952	0,953	0,953	0,954	0,954	0,955
0,75	0,962	0,964	0,966	0,967	0,968	0,968	0,968	0,968	0,973
0,80	0,976	0,978	0,980	0,980	0,981	0,981	0,981	0,981	0,981
0,90	0,994	0,995	0,995	0,995	0,996	0,997	0,997	0,998	0,998

Beispiel. Gegeben: Füllung $h = 0,2$, schädlicher Raum $s = 70/o$.
so ist der Spannungskoeffizient $k = 0,571$.

Effect - Berechnung.

Es bezeichne:

N_i die **indicierte** Leistung in Pferdestärken,

N_e " **effective** " " "

Q " **wirksame Kolbenfläche** in qcm,

H den **Kolbenhub** in m,

n die **Anzahl der Umdrehungen** pro Minute,

c die **Kolbengeschwindigkeit** in m pro Secunde,

h den **Füllungsgrad** bezogen auf $H = 1$,

p die **mittlere Eintrittsspannung** in Atm. abs.,

k den **Spannungskoeffizienten**, abhängig von der Füllung h und der Grösse des schädlichen Raumes s , Tabelle 118,

s die auf die Kolbenfläche reducierte Länge des **schädlichen Raumes** auf einer Seite bezogen auf $H = 1$,

p_m den **mittleren** für den Kolben wirksamen **Dampfüberdruck** auf einer Seite in kg pro qcm,

p_o den **Gegendruck** des abziehenden Dampfes in kg pro qcm,

σ die auf die Kolbenfläche reducierte **Summe der Arbeitsverluste** durch Compression, Drosselung des Eintrittsdampfes, verfrühten Austritt und Gegendruck des austretenden Dampfes bei Beginn des Austritts in kg pro qcm,

so ist:

$$c = \frac{2 H n}{60} = \frac{H n}{30}; \quad n = \frac{30 c}{H},$$

$$N_i = \frac{Q c p_m}{75},$$

der mittlere Kolbenüberdruck:

$$p_m = kp - (p_o + \sigma).$$

Der **Spannungskoeffizient** bestimmt sich nach:

$$k = h + (h + s) \log. nat. \frac{1 + s}{h + s}; \quad \text{Tabelle 118.}$$

Der **Gegendruck** p_o des abziehenden Dampfes ist abhängig von der Endspannung w und der Grösse der Dampfaustrittskanäle.

Tabelle 131, giebt Werte des Gegendruckes p_o für normale Verhältnisse, ca. 30 m mittlere Geschwindigkeit des abziehenden Dampfes, und für die **Summe der Arbeitsverluste** σ .

Werte des Spannungskoeffizienten k .

Tabelle 118.

Füllung h	Schädliche Räume s .								
	20%	30%	40%	50%	60%	70%	80%	90%	100%
0,00	0,079	0,107	0,130	0,152	0,172	0,191	0,210	0,226	0,240
0,02	0,151	0,173	0,199	0,210	0,230	0,250	0,260	0,274	0,289
0,04	0,204	0,224	0,246	0,257	0,275	0,292	0,302	0,314	0,328
0,06	0,255	0,273	0,292	0,303	0,321	0,332	0,343	0,353	0,366
0,08	0,305	0,321	0,337	0,348	0,363	0,371	0,383	0,392	0,403
0,10	0,356	0,369	0,381	0,392	0,403	0,412	0,422	0,432	0,440
0,12	0,394	0,406	0,417	0,427	0,437	0,446	0,455	0,464	0,472
0,14	0,431	0,442	0,452	0,462	0,470	0,479	0,487	0,495	0,503
0,16	0,467	0,477	0,486	0,496	0,502	0,511	0,518	0,525	0,533
0,18	0,502	0,513	0,519	0,529	0,533	0,542	0,548	0,554	0,562
0,20	0,535	0,545	0,552	0,559	0,565	0,571	0,577	0,584	0,590
0,22	0,564	0,573	0,578	0,586	0,592	0,597	0,603	0,609	0,615
0,24	0,592	0,600	0,606	0,612	0,618	0,622	0,628	0,633	0,639
0,26	0,619	0,626	0,631	0,637	0,643	0,646	0,652	0,656	0,662
0,28	0,645	0,651	0,655	0,661	0,667	0,669	0,675	0,678	0,683
0,30	0,670	0,675	0,680	0,685	0,689	0,692	0,696	0,700	0,704
0,32	0,693	0,697	0,702	0,706	0,710	0,714	0,718	0,721	0,725
0,34	0,715	0,718	0,723	0,726	0,730	0,739	0,738	0,741	0,745
0,36	0,736	0,738	0,743	0,745	0,749	0,756	0,757	0,760	0,764
0,38	0,756	0,757	0,762	0,763	0,767	0,772	0,775	0,778	0,782
0,40	0,773	0,775	0,779	0,781	0,784	0,787	0,794	0,797	0,800
0,42	0,791	0,792	0,794	0,798	0,801	0,803	0,810	0,812	0,815
0,44	0,808	0,809	0,810	0,814	0,817	0,818	0,824	0,826	0,829
0,46	0,824	0,825	0,823	0,829	0,832	0,834	0,837	0,839	0,842
0,48	0,838	0,840	0,839	0,843	0,846	0,845	0,849	0,851	0,854
0,50	0,850	0,852	0,854	0,856	0,857	0,858	0,862	0,864	0,866
0,55	0,879	0,881	0,883	0,885	0,886	0,886	0,889	0,890	0,891
0,60	0,906	0,908	0,910	0,912	0,913	0,913	0,914	0,915	0,916
0,65	0,927	0,929	0,931	0,932	0,933	0,934	0,935	0,935	0,936
0,70	0,947	0,949	0,951	0,952	0,953	0,953	0,954	0,954	0,955
0,75	0,962	0,964	0,966	0,967	0,968	0,968	0,968	0,968	0,973
0,80	0,976	0,978	0,980	0,980	0,981	0,981	0,981	0,981	0,981
0,90	0,994	0,995	0,995	0,995	0,996	0,997	0,997	0,998	0,998

Beispiel. Gegeben: Füllung $h = 0,2$, schädlicher Raum $s = 70\%$,
so ist der Spannungskoeffizient $k = 0,571$.

Die Arbeits-Verluste.

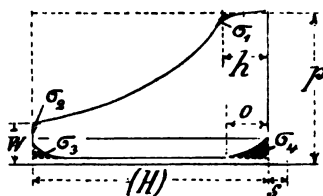


Fig. 885.

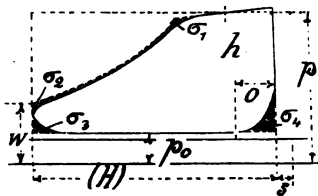


Fig. 886.

Es bezeichne ferner (auf die Kolbenfläche resp. den ganzen Kolbenweg reduciert):

- σ_1 Arbeitsverlust durch Drosselung des Eintrittsdampfes,
- σ_2 " " verfrühten Austritt,
- σ_3 " " Gegendruck des abziehenden Dampfes,
- σ_4 " " Compression,
- σ_5 " " Spannungsabfall bei Compoundmasch.,

$\sigma = \sigma_1 + \sigma_2 + \sigma_3 + \sigma_4 + \sigma_5$ die Summe dieser Verluste.

Der Arbeitsverlust σ_1 durch Drosselung des Eintrittsdampfes wächst mit der Grösse des Füllungsgrades h ; für Maschinen mit gewöhnlicher Schiebersteuerung (Meyer, Rider etc.) ist σ_1 aus Tabelle 119 zu entnehmen.

Werte der Drosselung σ_1 . Tabelle 119.

Füllung . . . h	0,05	0,10	0,15	0,20	0,30	0,40	0,50	0,60	0,70
Ohne Dampfhemd	0,08	0,10	0,12	0,15	0,18	0,20	0,24	0,26	0,28
Mit Dampfhemd .	0,03	0,04	0,05	0,07	0,08	0,10	0,12	0,14	0,15

Bis 20% verfrühten Austritt ist der Arbeitsverlust σ_2 verschwindend klein. Manche Steuerungen bedingen jedoch einen noch früheren Austritt des expandierenden Dampfes (z. B. einfache Schiebersteuerung für kleine Füllungsgrade, Coulissensteuerung etc.). Der dadurch hervorgerufene Arbeitsverlust σ_2 ist in Tabelle 120 angegeben.

Werte des verfrühten Austritts σ_2 . Tabelle 120.

Verfrühter Austritt	Ohne Condensation Endspannung w in At. abs.				Mit Condensation Endspann. w in At. abs.		
	1,2	2	3	4	1	2	3
0,02	0,000	0,000	0,000	0,000	0,000	0,000	0,000
0,05	0,000	0,005	0,010	0,015	0,005	0,008	0,010
0,10	0,003	0,015	0,030	0,040	0,020	0,025	0,030
0,20	—	0,080	0,090	0,100	0,060	0,080	0,090
0,30	—	0,100	0,130	0,150	—	—	—

Der **Arbeitsverlust** σ_3 durch Gegendruck des abziehenden Dampfes bei Beginn des Austrittes ist abhängig vom inneren Voreilen v_0 und der Endspannung w , Tabelle 121.

Werte des Gegendruckes σ_3 .

Tabelle 121.

Inneres Voreilen v_0	Ohne Condensation Endspannung w in At. abs.				Mit Condensation Endspann. w in At. abs.		
	1,25	2	3	4	1	2	3
$v_0 = a$	0,000	0,003	0,010	0,030	0,005	0,010	0,020
$v_0 = 0,5a$	0,005	0,008	0,015	0,040	0,010	0,050	0,080
$v_0 = 0,2a$	0,020	0,030	0,040	0,070	0,040	0,080	0,120
$v_0 = 0$	0,040	0,090	0,100	0,120	0,080	0,100	0,180

Werte der Compression σ_4 .

Tabelle 122. Ohne Condensation ($p_0 = 1,15$).

Com- pression O	Schädliche Räume s .								
	20%	30%	40%	50%	60%	70%	80%	90%	100%
0,00	0	0	0	0	0	0	0	0	0
0,025	0,016	0,015	0,014	0,013	0,012	0,009	0,008	0,006	0,005
0,050	0,044	0,039	0,034	0,029	0,024	0,019	0,016	0,013	0,010
0,075	0,065	0,060	0,055	0,050	0,045	0,040	0,034	0,027	0,020
0,10	0,109	0,097	0,080	0,063	0,056	0,053	0,049	0,048	0,047
0,15	—	0,190	0,164	0,138	0,120	0,102	0,088	0,075	0,070
0,20	—	—	0,244	0,228	0,204	0,180	0,160	0,140	0,120
0,25	—	—	—	0,312	0,288	0,265	0,248	0,230	0,210
0,30	—	—	—	—	0,375	0,351	0,333	0,315	0,264

Tabelle 123. Mit Condensation ($p_0 = 0,22$).

0,00	0	0	0	0	0	0	0	0	0
0,025	0,002	0,002	0,002	0,002	0,001	0,001	0,001	0,001	0,001
0,050	0,005	0,004	0,003	0,003	0,002	0,001	0,001	0,001	0,001
0,075	0,010	0,009	0,008	0,006	0,004	0,003	0,002	0,001	0,001
0,10	0,020	0,018	0,015	0,011	0,009	0,007	0,005	0,003	0,002
0,15	0,037	0,033	0,029	0,024	0,020	0,018	0,016	0,014	0,012
0,20	0,058	0,054	0,047	0,040	0,036	0,032	0,028	0,024	0,022
0,25	0,077	0,072	0,065	0,057	0,054	0,051	0,045	0,037	0,034
0,30	0,108	0,099	0,087	0,075	0,068	0,060	0,057	0,054	0,051

Der in Tabelle 122 u. 123 angegebene **Arbeitsverlust σ_4 durch Compression** ist abhängig von der Compressionsdauer O und der Gegendruck-Dampfspannung p_0 . Die Grösse des schädlichen Raumes richtet sich nach der Construction der Steuerung und beträgt Tabelle 124.

Grösse des schädlichen Raumes s , reduciert auf die Kolbenfläche für $H=1$.

Tabelle 124.

Art der Steuerung.			
Normalien. Abschnitt III.	halb.Schieber Fig. 243—246 und Kolbenschieber Fig. 881—842	Ventil	Corliiss- hahn
0,06—0,08	0,03—0,06	0,04	0.025

Die obigen Werte für s gelten für **normale Kolbengeschwindigkeiten c** etwa gleich denen in Tabelle 92 angegebenen.

Bei **schnelllaufenden** Maschinen mit hoher Kolbengeschwindigkeit kann der schädliche Raum s bis zum doppelten Werte steigen.

Die der **öconomisch günstigsten Leistung** einer Maschine bei mittleren Brennstoffpreisen entsprechende **Endspannung w** ist nach Tabelle 125 und 126 zu wählen.

Die öconomisch günstigste Leistung einer Maschine ist diejenige, bei welcher die Kosten des Maschinenbetriebes einschliesslich Verzinsung, Amortisation und Reparaturen der Maschine und des Dampfkessels zu einem Minimum werden.

Vorläufige Werte von p_m

für die nominelle Leistung (mit und ohne Condensation),
für Überschlagsrechnungen genügend.

$p_m =$	Admissionsspannung in Atm. abs.						
	4	5	6	7	8	9	10
	1,6	1,8	2,1	2,4	2,6	2,8	3,1

Werte der Endspannung w

in At. abs. für die öconomisch vorteilhafteste Normalleistung.

Tabelle 125. Eíncylinder-Maschinen.

Indiz. Pfst. N_i	Auspuff-Maschinen.				Condensations-Maschinen.			
	Admissionsspannung p in At. abs.							
	4—5,5	6—7,5	8—9	10	4—5,5	6—7,5	8—9	10
2—5	2,0	2,0	2,1	2,2	—	—	—	—
5—10	1,8	1,8	1,9	2,1	—	—	—	—
10—50	1,6	1,7	1,8	2,0	0,8	0,9	1,0	1,1
50—100	1,5	1,6	1,7	1,9	0,8	0,9	1,0	1,1
100—200	1,4	1,5	1,6	1,8	0,7	0,8	0,9	1,0
200 u. mehr	1,3	1,4	1,5	1,7	0,7	0,8	0,9	1,0

Tabelle 126. Compound-Maschinen.

10—50	—	—	1,6	1,7	0,7	0,8	0,9	1,0
50—100	—	—	1,5	1,6	0,7	0,8	0,8	0,9
100—500	—	—	1,4	1,5	0,6	0,7	0,8	0,9
500 u. mehr	—	—	1,3	1,4	0,5	0,6	0,7	0,8

Beispiel: Die günstigste Endspannung w ist für eine Eincyl.-Maschine mit Condensation von $N_i = 150$ Pferdekraft und 7 At. abs. Admissionsspannung laut Tabelle = 0,8 At. abs. Der entsprechende Füllungsgrad ist aus Tabelle 127 zu entnehmen und beträgt bei 7% schäd. Raum 0,052.

Werte der Füllungen h bei gegebener Endspannung w

unter Berücksichtigung der Grösse des schädlichen Raumes von 3 bis 7 Prozent.

Tabelle 127.

At. abs.	$p = 8 \text{ At. abs.}$			$p = 7 \text{ At. abs.}$			$p = 6 \text{ At. abs.}$			$p = 5 \text{ At. abs.}$			$p = 4 \text{ At. abs.}$		
	$s = 3\%$	5%	7%	3%	5%	7%	3%	5%	7%	3%	5%	7%	3%	5%	7%
w															
0,6	0,047	0,027	0,012	0,058	0,040	0,021	0,073	0,055	0,037	0,093	0,076	0,059	0,124	0,106	0,090
0,7	0,061	0,042	0,023	0,073	0,055	0,037	0,090	0,072	0,054	0,114	0,097	0,080	0,150	0,134	0,118
0,8	0,073	0,055	0,037	0,088	0,070	0,052	0,107	0,090	0,072	0,135	0,118	0,101	0,176	0,160	0,144
0,9	0,086	0,068	0,053	0,103	0,085	0,067	0,124	0,107	0,096	0,155	0,139	0,123	0,202	0,186	0,171
1,0	0,098	0,081	0,064	0,117	0,100	0,083	0,141	0,125	0,108	0,176	0,160	0,144	0,229	0,212	0,197
1,2	0,127	0,107	0,095	0,147	0,130	0,113	0,174	0,160	0,144	0,217	0,202	0,183	0,279	0,265	0,251
1,4	0,150	0,133	0,117	0,176	0,160	0,144	0,210	0,195	0,179	0,255	0,244	0,229	0,337	0,318	0,305
1,6	0,178	0,160	0,144	0,205	0,190	0,174	0,244	0,230	0,215	0,299	0,286	0,272	0,389	0,370	0,358
1,8	0,202	0,186	0,171	0,234	0,220	0,205	0,279	0,265	0,251	0,340	0,328	0,315	0,434	0,422	0,412
2,0	0,227	0,212	0,197	0,265	0,250	0,235	0,313	0,300	0,287	0,382	0,370	0,358	0,485	0,475	0,465
2,5	0,292	0,278	0,264	0,337	0,325	0,312	0,399	0,387	0,375	0,485	0,475	0,465	0,614	0,606	0,600
3,0	0,356	0,343	0,331	0,411	0,400	0,390	0,485	0,475	0,465	0,588	0,580	0,572	0,742	0,737	0,732
3,5	0,420	0,409	0,398	0,485	0,475	0,465	0,571	0,562	0,554	0,693	0,685	0,679	0,871	0,868	0,862
4,0	0,485	0,475	0,465	0,558	0,550	0,541	0,656	0,650	0,643	0,794	0,790	0,786	1,000	1,000	1,000
4,5	0,549	0,540	0,531	0,632	0,625	0,617	0,742	0,737	0,731	0,897	0,893	0,890	—	—	—
5,0	0,610	0,600	0,599	0,705	0,700	0,695	0,830	0,821	0,811	1,000	1,000	1,000	—	—	—

Beispiel: Gegeben ist Endspannung $w = 1,2 \text{ At. abs.}$, der schädliche Raum $s = 5\%$ und die Admissionsspannung $p = 7 \text{ At. abs.}$, so ist der Füllungsgrad $h = 0,13$.

Vorläufige Wirkungsgrade η und $\frac{1}{\eta}$

für normale Verhältnisse und für die öconomisch günstigste Endspannung w . **Tabelle 128.**

$\frac{N_e}{c}$	Auspuffmaschinen			Condensationsmaschinen					
	$\frac{N_i}{c}$	η	$\frac{1}{\eta}$	Eincylinder			Compound		
				$\frac{N_i}{c}$	η	$\frac{1}{\eta}$	$\frac{N_i}{c}$	η	$\frac{1}{\eta}$
3	4	0,68	1,47	—	—	—	—	—	—
4	5	0,69	1,44	—	—	—	—	—	—
5	7	0,70	1,43	—	—	—	—	—	—
6	8	0,71	1,41	—	—	—	—	—	—
8	11	0,72	1,39	—	—	—	—	—	—
10	13	0,73	1,37	14	0,70	1,43	—	—	—
12	16	0,74	1,35	16	0,71	1,41	—	—	—
16	21	0,75	1,33	21	0,72	1,39	—	—	—
20	26	0,76	1,31	27	0,73	1,37	28	0,71	1,41
25	32	0,77	1,30	33	0,74	1,35	34	0,72	1,39
30	38	0,78	1,28	39	0,75	1,33	41	0,73	1,37
40	50	0,79	1,26	52	0,76	1,31	54	0,74	1,35
50	62	0,80	1,25	65	0,77	1,30	66	0,75	1,33
70	86	0,81	1,23	89	0,78	1,28	91	0,76	1,31
100	122	0,82	1,22	126	0,79	1,26	130	0,77	1,30
150	180	0,83	1,20	187	0,80	1,25	192	0,78	1,28
250	297	0,84	1,19	307	0,81	1,23	315	0,79	1,26
500	590	0,85	1,18	610	0,82	1,22	625	0,80	1,25
1000	1160	0,86	1,16	1200	0,83	1,20	1230	0,81	1,23
1500	1725	0,87	1,15	1785	0,84	1,19	1830	0,82	1,22
2000	2240	0,88	1,12	2320	0,85	1,18	2400	0,83	1,20

$l = l' + l''$ Leergangs-Widerstand für Auspuff-Maschinen,
 $l = l'_c + l''_c$ " " " " Condens.-Maschinen,
 μ Coefficient der zusätzlichen Reibung für Eincyl.-Maschinen,
 μ_z " " " " Zweicyl.- " "
dann ist die effective Leistung für:

$$\text{Eincyl.-Masch.: } N_e = \frac{Q c (p_m - l)}{75 (1 + \mu)};$$

$$\text{Zweicyl.-Masch.: } N_e = \frac{Q c (p_m - l)}{75 (1 + \mu_z)}.$$

Werte von l'' , l''_c , μ , μ_z .

Tabelle 129.

D	200	400	600	800	1000
l''	0,13	0,07	0,04	0,03	0,02
l''_c	0,22	0,11	0,07	0,05	0,04
μ	0,18	0,14	0,12	0,10	0,08
μ_z	0,20	0,16	0,13	0,11	0,10

Werte von l' , l'_c .

Tabelle 130.

p	4	6	8
l'	0,08	0,10	0,12
l'_c	0,12	0,14	0,16

p Dampfdruck in At.

Bei sorgfältig ausgeführten und gut eingelaufenen Maschinen ist der Coefficient der zusätzlichen Reibung μ bis zu 30% kleiner anzunehmen.

Der Arbeitsverlust σ für normale Verhältnisse.

Für die in Abschnitt III behandelten Normalien und für nominelle Leistung der Maschine können σ und p_0 aus Tabelle 181 entnommen werden.

Werte für Arbeitsverlust σ und Gegendruck p_0 für normale Verhältnisse.

Tabelle 181.

	Eincylinder-Maschine			Compound
	Auspuff o C		Condensat. m C	Condensat. mit Dampfhemd
	ohne Dampfhemd	mit Dampfhemd	mit Dampfhemd	
$\sigma_1 =$	0,14	0,05	0,05	0,05
$\sigma_2 =$	0,00	0,00	0,00	0,00
$\sigma_3 =$	0,02	0,01	0,01	0,01
$\sigma_4 =$	0,04	0,04	0,02	0,02
$\sigma_5 =$	—	—	—	0,11
$\sigma =$	0,20	0,10	0,08	0,19
$p_0 =$	1,15	1,15	0,22	0,21
$p_0 + \sigma =$	1,35	1,25	0,30	0,40

Beispiel:

Die nominelle Leistung der Maschine $D = 0,4$ m, $H = 0,7$ m, $n = 85$, $p = 7$ At. abs. ist zu bestimmen (Steuerung o C oder m C)
Wirksame Kolbenfläche $= 1256,6 - 28,3 = \sim 1228$ qcm,

Kolbengeschwindigkeit $c = \frac{2 \cdot H \cdot n}{60} = \frac{2 \cdot 0,7 \cdot 85}{60} = 1,98$ m.

Der schädliche Raum ist nach Tabelle 124 $= 7\%$ anzunehmen.

a. Als Auspuffmaschine ohne Dampfhemd.

Endspannung nach Tabelle 125 . . . $w = 1,6$ At. abs.,

Füllung " " 127 . . . $h = 0,17$,

Spannungskoeffizient nach Tabelle 118 $k = 0,526$,

Gegendruck p_0 nach Tabelle 181 . . 1,15

Arbeitsverlust σ " " 181 . . 0,20 } $p_0 + \sigma = 1,35$,

somit ist:

$p_m = kp - (p_0 + \sigma) = 0,526 \cdot 7 - (1,15 + 0,2) = 2,33$ kg pr. qcm.

$N_i = \frac{Q c p_m}{75} = \frac{1228 \cdot 1,98 \cdot 2,33}{75} = 75,5$.

Der Leergangs-Widerstand ist nach Tabelle 129 und 180

$l = l' + l'' = 0,11 + 0,07 = 0,18$.

Die zusätzliche Reibung $\mu = 0,14$.

Folglich die effective Leistung:

$N_e = \frac{Q c (p_m - l)}{75 (1 + \mu)} = \frac{1228 \cdot 1,98 (2,33 - 0,18)}{75 (1 + 0,14)} = \sim 60$ Pfst.

b. Als Condensationsmaschine.

Endspannung nach Tab. 125 . . . $w = 0,9$ At. abs.,

Füllung nach Tab. 127 . . . $h = 0,07$,

Spannungscoeffizient nach Tab. 118 $k = \frac{0,882 + 0,871}{2} = \sim 0,85$,

Gegendruck p_0 nach Tab. 131 . . . 0,22 }
 Arbeitsverlust σ „ „ 131 . . . 0,08 } $p_0 + \sigma = 0,30$,

somit ist:

$$p_m = kp - (p_0 + \sigma) = 0,85 \cdot 7 - 0,3 = 2,15,$$

$$N_i = \frac{Q c p_m}{75} = \frac{1228 \cdot 1,98 \cdot 2,15}{75} = \sim 70.$$

Der Leergangswiderstand ist nach Tab. 129 u. 130

$$l = l'_c + l''_c = 0,15 + 0,11 = 0,26,$$

die zusätzliche Reibung $\mu = 0,14$,

folglich die effective Leistung:

$$N_e = \frac{Q c (p_m - l)}{75 (1 + \mu)} = \frac{1228 \cdot 1,98 (2,15 - 0,26)}{75 \cdot (1 + 0,14)} = \sim 53 \text{ Pfst.}$$

Die Maximalleistung.

Als grössten Füllungsgrad h nimmt man gewöhnlich für Eincylinder-Transmissionsdampfmaschinen mit vom Regulator beeinflusster Steuerung 0,6 an und bezeichnet die dieser Füllung entsprechende Leistung als Maximalleistung.

Werte für Arbeitsverlust σ und Gegendruck p_0 für die Maximalleistung.

Tabelle 132.

	$h = 0,6, p = 7$ At. abs. Eincylinder-Maschine			Hochdruck $h' = 0,5$ Compound
	Auspuff o C		Condensat. m C	Condensat. mit Dampfhemd
	ohne Dampfhemd	mit Dampfhemd	mit Dampfhemd	
$\sigma_1 =$	0,26	0,14	0,14	0,13
$\sigma_2 =$	0,00	0,00	0,00	0,00
$\sigma_3 =$	0,07	0,07	0,08	0,08
$\sigma_4 =$	0,04	0,04	0,03	0,03
$\sigma_5 =$	—	—	—	0,20
$\sigma =$	0,37	0,25	0,25	0,44
$p_0 =$	1,20	1,20	0,35	0,30
$p_0 + \sigma =$	1,57	1,45	0,60	0,74

Werte der nominellen und Maximal-Leistung.

Eencylinder - Auspuffmaschinen, Steuerung der Normalen o C.

Tabelle 133.

Hab.	Durchg.				o/o	Nominelle Leistung; $p = 7$ At. abs.								Pro indiz. Pfst. und Stunde.		Maximal-Leistung $h = 0,6, p = 7$ At. abs.				
		n	c	Q		s	w	h	k	p_0	σ	p_m	N_i	η	N_e	Dampf kg	Kohle kg	N_e	Dampf pro N_i	Kohle pro N_i
300	200	150	1,50	309	8	1,8	0,2	0,577	1,15	0,20	2,68	16	0,72	11	10	20	2,9	22	23	3,3
400	250	120	1,60	476	8	1,7	0,18	0,548	1,15	0,20	2,47	25	0,74	18	15	18	2,6	30	21	3,0
500	300	106	1,76	687	8	1,7	0,18	0,548	1,15	0,20	2,47	39	0,75	29	25	17	2,5	50	20	2,9
600	350	95	1,90	938	7	1,6	0,17	0,527	1,15	0,20	2,33	55	0,77	42	40	16	2,4	75	19	2,7
700	400	85	1,98	1228	7	1,6	0,17	0,527	1,15	0,20	2,33	75	0,78	58	55	15	2,15	100	19	2,7
800	450	77	2,05	1557	7	1,6	0,17	0,527	1,15	0,20	2,33	90	0,79	78	75	14,5	2,1	140	18	2,6
900	500	70	2,10	1925	6	1,5	0,16	0,502	1,15	0,20	2,16	116	0,80	92	90	14	2	180	18	2,6
1000	550	65	2,16	2331	6	1,5	0,16	0,502	1,15	0,20	2,16	145	0,80	116	110	13	1,9	230	17	2,5

Eincylinder-Condensations-Maschinen, Steuerung nach Normalien in C. Tabelle 134.

Hab	Durchm.				o/o	Nominelle Leistung; $p = 7$ At. abs.										Pro indiz. Pfst. und Stunde.		Maximal-Leistung $h = 0,6, p = 7$ At. abs.		
		D	n	c		Q	s	w	h	k	p_o	σ	p_m	N_i	η	N_e	Dampf kg	Kohle kg	N_e	Dampf pro N_i
H																				
500	300	106	1,76	687	8	1,03	0,08	0,38	0,22	0,08	2,36	38	0,72	27	25	14	2	60	17	2,4
600	350	95	1,9	938	7	0,9	0,07	0,37	0,22	0,08	2,15	51	0,73	37	35	13	1,9	90	17	2,4
700	400	85	1,98	1228	7	0,9	0,07	0,37	0,22	0,08	2,15	70	0,75	52	50	12,5	1,8	130	16	2,3
800	450	77	2,05	1557	7	0,9	0,07	0,37	0,22	0,08	2,15	92	0,76	70	65	12	1,8	170	16	2,3
900	500	70	2,10	1925	6	0,85	0,067	0,34	0,22	0,08	2,08	112	0,76	85	80	11,5	1,7	210	15	2,2
1000	550	65	2,16	2331	6	0,85	0,067	0,34	0,22	0,08	2,08	139	0,77	107	100	11	1,6	260	15	2,2

Die **fettgedruckte** Anzahl der Pferdekraften ist für die nominelle Bezeichnung geeignet. Der Dampf- u. Kohlenverbrauch sind in kg pro indiz. Pferdekraft u. Stunde angegeben. Je kleiner der schädliche Raum s , desto grösser bei gleicher Leistung die Füllung h . Soll z. B. die Maschine $\frac{400}{700}$ bei $s = 4\%$ 75 indiz. Pferdestärke leisten, so ist annähernd $h = 0,17 + 0,07 - 0,04 = 0,20$ Füllung.

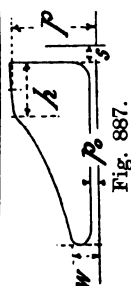


Fig. 887.

Effect-Berechnung der Compound-Maschine.

Die **Leistung** der **Compound-Maschine** ist gleich der einer Eincylinder-Maschine mit dem **grossen Cylinder**, bei welcher **die- selbe Gesamtexpansion** stattfindet wie bei der Compound-Maschine.

Die Gesamtexpansion ist: $\frac{\text{Admissionsdruck abs.}}{\text{Endspannung abs.}} = \frac{p}{w}$

Es bezeichne wieder (s. auch Fig. 889—890):

h, s, w Füllung, schäd. Raum, Endspannung,

d, h', s', w' Werte für den **Hochdruckcylinder**,

D, h'', s'', w'' " " " **Niederdruckcylinder**,

$\frac{V}{v}$ das Verhältniss der Cylindervolumen,

Q den **Querschnitt** des Niederdruckcylinders,

h_i die **ideelle Füllung**, reducirt auf den grossen Cylinder, entsprechend der Gesamtexpansion des Dampfes,

$s_i = \frac{s''}{v}$ der zur Bestimmung von p_m einzuführende **ideelle**

Wert für den **schädlichen Raum**.

Dann ist bei gleichem Hub beider Cylinder (von Spannungs-
abfall abgesehen)

ohne Berücksichtigung des
schäd. Raumes

$$\frac{V}{v \cdot h'} = \frac{p}{w''} = \frac{1}{h'} \cdot \frac{1}{h''}$$

mit Berücksichtigung des schäd.
Raumes

$$\frac{V \cdot (1 + s'')}{v \cdot (h' + s')} = \frac{p}{w''} = \frac{1}{h' + s'} \cdot \frac{1}{h'' + s''}$$

Beispiel: Die nominelle Leistung einer Compound-Maschine mit Condensation ist zu bestimmen, gegeben sind:

Durchmesser des Hochdruckcylinders . . . $d = 400$ mm,

" " Niederdruckcylinders . . . $D = 610$ "

Gemeinschaftlicher Hub $H = 700$ "

Verhältniss der Cylindervolumen $\frac{V}{v} = 2,35$,

Umdrehungen pro Minute $n = 75$

Admissionsdruck $p = 7$ At. abs.,

Schädlicher Raum des Niederdruckcylinders $s'' = \sim 5\%$,

so ist:

Endspannung $w = w''$ nach Tabelle 126 . . . $w = 0,8$ At. abs.,

Ideeller schädlicher Raum $s_i = \frac{0,05}{2,35} = \sim$. . . $s_i = 0,02$,

Ideelle Füllung nach Tabelle 127 $\sim h_i = 0,1$,

Spannungskoeffizient nach Tabelle 118 . . . $k = 0,356$,

Gegendruck u. Arbeitsverlust, nach Tab. 181, $p_0 + \sigma = 0,40$.

also der mittlere Kolbenüberdruck:

$$p_m = kp - (p_0 + \sigma) = 0,356 \cdot 7 - 0,4 = 2,09 \text{ kg pro qcm,}$$

die Kolbengeschwindigkeit:

$$c = \frac{2 \cdot 0,7 \cdot 75}{60} = 1,75 \text{ m pr. Sec.}$$

die wirksame Kolbenfläche $Q = 2922 - 42 = 2880$ qcm,

folglich die **indizierte** Leistung:

$$N_i = \frac{Q c p_m}{75} = \frac{2880 \cdot 1,75 \cdot 2,09}{75} = \sim 140.$$

Der Leergangs-Widerstand ist nach Tab. 129 u. 130

$$l = l'_c + l''_c = 0,15 + 0,11 = 0,26,$$

die zusätzliche Reibung $\mu_z = 0,16$,

folglich die **effective** Leistung:

$$N_e = \frac{Q c (p_m - l)}{75 \cdot (1 + \mu_z)} = \frac{2880 \cdot 1,75 \cdot (2,09 - 0,26)}{75 \cdot (1 + 0,16)} = \sim 106 \text{ Pfst.}$$

Der Füllungsgrad h' für den Hochdruckcylinder bestimmt sich wie folgt:

Es ist die Gesamt-Expansion $\frac{p}{w''} = \frac{7}{0,8} = 8,75$; wenn nun $s' = s'' = 0,05$ ist, dann beträgt:

$$\frac{V(1 + s'')}{v(h' + s')} = \frac{2,35 \cdot 1,05}{h' + 0,05} = 8,75, \quad h' = \frac{2,35 \cdot 1,05}{8,75} - 0,05 = 0,23,$$

Die Endspannung des Hochdruckcylinders ergibt sich (siehe auch Seite 267)

$$w' = \frac{(h' + s') \cdot p}{1 + s'} = \frac{(0,23 + 0,05) \cdot 7}{1,05} = 1,86,$$

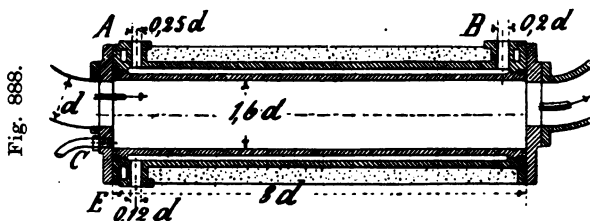
und erhalten wir als mittleren Arbeitsdruck für den Niederdruckcylinder, bei Annahme von 0,4 At. Spannungsabfall:

$$p'' = 1,86 - 0,4 = 1,46.$$

Daraus folgt:

$$h'' = \frac{w''(1 + s'')}{p''} - s'' = \frac{0,8 \cdot 1,05}{1,46} - 0,05 = 0,525.$$

Der Receiver. Fig. 888.



Es bezeichnet in Fig. 888:

d den **Durchmesser** der **Übergangsleitung**,

A „ Frischdampfeintritt vom Dampfmantel des Niederdruckcylinders,

B „ Frischdampfaustritt zum Dampfmantel des Hochdruckcylinders,

C „ Condensationswasserabfluss des Receivers,

E „ „ „ „ Receivermantels.

Compound-Maschinen für 7 At. abs. mit Condensation.
Tabelle 135.

Hub	Hochdr. Cyl.	Niederdr. Cyl.	Nominelle Leistung $p = 7$ At. abs.										Pro indiv. Pfst. und Stunde.		Zugkraft in kg	Maximal-Leistung.						
			$\frac{V}{v}$	n	c	Q	s_i	w	h_i	k	p_o	σ	p_m	N_i			η	N_e	Dampf pr. N_i			
H	d	D																				
500	300	450	2,3	90	1,5	1560	2	0,8	0,10	0,356	0,21	0,19	2,09	65	0,73	47	45	8,5	1,3	11	68	11,4
600	350	530	2,3	80	1,6	2170	2	0,8	0,10	0,356	0,21	0,19	2,09	96	0,74	71	70	8,2	1,26	16	107	10,8
700	400	610	2,35	75	1,75	2880	2	0,8	0,10	0,356	0,21	0,19	2,09	140	0,76	106	100	7,9	1,20	22	151	10,2
800	450	690	2,37	70	1,86	3690	2	0,75	0,09	0,33	0,21	0,19	1,91	174	0,76	132	130	7,6	1,07	27	208	9,6
900	500	770	2,39	67	2,01	4605	2	0,75	0,09	0,33	0,21	0,19	1,91	235	0,76	179	175	7,3	1,0	34	280	9,0
1000	550	850	2,42	65	2,16	5610	2	0,75	0,09	0,33	0,21	0,19	1,91	308	0,77	237	230	7,0	0,95	43	374	8,5

Der Hochdruckcylinder erhält variable Füllung von 0,0 bis 0,5, Compression $\sigma' = 0,07$,

Der Niederdruckcylinder erhält fixe Expansion von 0,5 Füllung, Compression $\sigma'' = 0,18$,

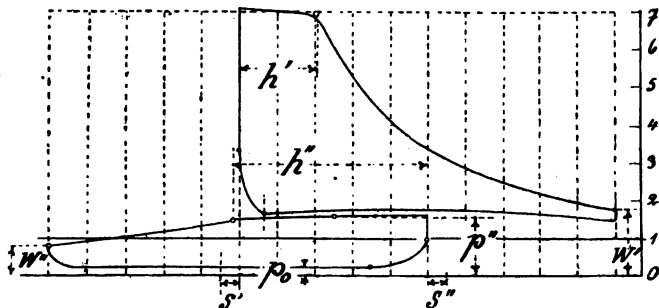
$\frac{V}{v}$ Verhältnis der Cylindervolumen; Q Querschnitt des Niederdruckcylinders; s_i Ideeller schädlicher Raum = $\frac{\sigma'}{V}$;

h_i Ideelle Füllung; w Endspannung abs.

Dampfdiagramm der Normal-Leistung

für die in Tab. 135 angegebenen Compound-Maschinen.

Fig. 889.



$$w' = \frac{(h' + s') p}{1 + s'}; \quad w'' = \frac{(h'' + s'') p''}{1 + s''}$$

$$h' = \frac{w' (1 + s')}{p} - s'; \quad h'' = \frac{w'' (1 + s'')}{p''} - s''$$

$$w' - p'' \text{ Spannungsabfall.}$$

Die Leistungen der beiden Cylinder sind annähernd gleich.

Dampfdiagramm der Maximal-Leistung

für die in Tab. 135 angegebenen Compound-Maschinen.

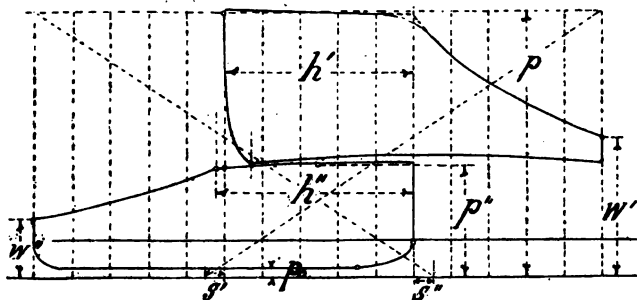


Fig. 890.

Der Dampfverbrauch.

S sei der **Gesamt-Dampfverbrauch** pro Stunde,

S_i „ „ **Dampfverbrauch** pro indiz. Pferdest. und Stunde.

Im wesentlichen ist der Dampfverbrauch pro indiz. Pfdst. und Stunde abhängig von der Stärke der Maschine, der Admissionsspannung p , der Grösse des schädlichen Raumes s und der Endspannung w .

Bedeutet:

Q die wirksame Kolbenfläche in qcm,

c die Kolbengeschwindigkeit in m pro Sec.,

$h + s$ Füllung plus schäd. Raum, bezogen auf $H = 1$,

γ Gewicht eines cbm Dampfes von der Admissionsspannung p ,

D Cylinderdurchmesser in cm,

p_m den mittleren Kolbenüberdruck in kg pro qcm,

h_i, s_i entsprechende ideelle Werte der Compound-Maschinen, so kann gesetzt werden für den Gesamt-Dampfverbrauch pro Stunde

a. Eincylinder-Maschinen

$$S = \underbrace{0,86 Q c (h + s) \gamma}_{\text{nutzbar}} + \underbrace{5 D \sqrt{p_m}}_{\text{Dampfverlust}}$$

b. Compound-Maschinen

$$S = 0,86 Q c (h_i + s_i) \gamma + 3 D \sqrt{p_m}$$

Der Dampfverbrauch pro indizierte Pferdekraft und Stunde ist dann:

$$S_i = \frac{S}{N_i}$$

Der Einfluss des schädlichen Raumes auf den Dampfverbrauch kann verringert werden durch genügend hohe Compression, event. bis zum Anfangsdruck p . Bei Maschinen mit Schiebersteuerung und namentlich bei Condensationsmaschinen ist dieses schwer erreichbar; man muss sich dort mit einem geringeren Compressions-Enddruck begnügen.

In Tabelle 136 und 137 ist der **Einfluss** des **schädlichen Raumes** auf den Dampfverbrauch S_i dargestellt, für eine Ein-cylinder-Maschine von $D = 400$, $H = 700$ bei Annahme von **keiner** oder **geringer Compression**.

Einfluss des schädlichen Raumes auf den Dampfverbrauch S_i

(S_i in kg pro indiz. Pferdekraft und Stunde.)

Ohne Condensation.

Tabelle 136.

	$p = 7; p_m = 2,3;$ $p_o + \sigma = 1,85; k = 0,54$			$p = 4; p_m = 1,54;$ $p_o + \sigma = 1,4; k = 0,738$		
$s =$	3%	6%	9%	3%	6%	9%
$h =$	0,20	0,185	0,17	0,36	0,345	0,33
$w =$	1,6	1,63	1,67	1,5	1,52	1,54
$h + s =$	0,23	0,245	0,26	0,39	0,405	0,42
$S_i =$	14,1	15,0	15,9	21,1	22,0	22,9

Mit Condensation.

Tabelle 137.

	$p = 7; p_m = 2,29;$ $p_o + \sigma = 0,30; k = 0,37$			$p = 4; p_m = 1,86;$ $p_o + \sigma = 0,8; k = 0,54$		
$s =$	3%	6%	9%	3%	6%	9%
$h =$	0,1	0,082	0,065	0,20	0,18	0,165
$w =$	0,88	0,94	1,00	0,90	0,92	0,94
$h + s =$	0,13	0,142	0,155	0,23	0,24	0,255
$S_i =$	11,4	12,3	13,6	15,2	15,8	16,8

Wie aus Tabelle 136 ersichtlich, gebraucht die Maschine 400 Durchm. 700 Hub mit 7 Atm. abs. und 6% schädlichen Raum 15 — 14,1 = 0,9 kg, also ca. 6% Dampf mehr als bei 3% schädlichen Raum; vorausgesetzt gleiche Compressionsverhältnisse.

Dampf-Verbrauch in kg
pro indiz. Pferdest. und Stunde (für die nominelle Leistung).

Eincylinder-Auspuffmaschinen

mit Expansions-Steuerung.

Tabelle 138.

$D =$ Cyldrchrn. in mm $c =$ Kolbengeschwin- digk. in m pr. Sec.	Schäd- Raum s	Abs. Admissionsspannung p in At.					
		4	5	6	7	8	9
$D = 200$ $c = 1,3 - 1,8$	3%	28,5	24,0	21,0	19,0	17,0	15,0
	6 "	30,0	25,0	22,0	20,0	18,0	16,0
	9 "	31,5	26,0	23,0	21,0	19,0	17,0
$D = 300$ $c = 1,5 - 2$	3 "	24,0	20,0	18,0	16,0	14,0	13,0
	6 "	25,0	21,0	19,0	17,0	15,0	14,0
	9 "	26,0	22,0	20,0	18,0	16,0	15,0
$D = 400$ $c = 1,6 - 2,1$	3 "	21,0	18,0	16,0	14,0	13,0	12,0
	6 "	22,0	19,2	17,0	15,0	14,0	13,0
	9 "	23,0	20,0	18,0	16,0	15,0	14,0
$D = 500$ $c = 1,8 - 2,3$	3 "	20,0	17,0	15,0	13,0	12,0	11,5
	6 "	21,0	18,0	16,0	14,0	13,0	12,5
	9 "	22,0	19,0	17,0	15,0	14,4	13,5
$D = 600$ $c = 2 - 2,5$	3 "	19,5	16,0	14,0	12,6	11,5	11,0
	6 "	20,5	17,0	15,0	13,5	12,5	12,0
	9 "	21,5	18,0	16,0	14,3	13,5	13,0
$D = 700$ $c = 2,2 - 2,8$	3 "	19,0	16,0	14,0	12,4	11,4	10,6
	6 "	20,0	17,0	15,0	13,2	12,2	11,5
	9 "	21,0	18,0	16,0	14,0	13,0	12,4
$D = 800$ $c = 2,4 - 3,0$	3 "	18,6	15,0	13,0	12,0	11,0	10,4
	6 "	19,5	16,0	14,0	12,8	11,8	11,2
	9 "	20,4	17,0	15,0	13,6	12,6	12,0
$D = 900$ $c = 2,5 - 3,2$	3 "	18,0	15,0	13,0	11,8	11,0	10,3
	6 "	19,0	16,0	14,0	12,5	11,8	11,0
	9 "	20,0	17,0	15,0	13,3	12,6	11,7

Beispiel :

Der Dampfverbrauch einer Eincylinder-Auspuff-Maschine von 400 Cyl.-Drchm. 700 Hub ist:

bei 5 At. abs. und 3% schäd. Raum 18 kg pro indiz. Pfst. u. Stunde,

" 8 " " " 9% " " 15 " " " " " "

Bei **exacten** und **gut eingelaufenen Maschinen** kann der Dampfverbrauch bis zu 15% **geringer** ausfallen.

Dampf-Verbrauch in kg
pro indiz. Pferdest. und Stunde (für die nominelle Leistung).
Eincylinder-Condensations-Maschinen.

Tabelle 139.

$D = \text{Cyl. Drehm. in mm}$ $c = \text{Kolbengeschwin-}$ $\text{digk. in m pr. Sec.}$	Schädl. Raum	Abs. Admissionsspannung p in At.					
	s	4	5	6	7	8	9
$D = 200$ $c = 1,3 - 1,8$	3 0/0	20,0	17,5	16,0	15,0	14,0	13,0
	6 "	21,0	18,5	17,0	16,0	15,0	14,0
	9 "	22,0	19,5	18,0	17,0	16,0	15,0
$D = 300$ $c = 1,5 - 2$	3 "	17,0	15,0	13,8	12,6	11,7	11,0
	6 "	18,0	16,0	15,0	13,8	12,8	12,0
	9 "	19,0	17,0	16,0	15,0	14,0	13,0
$D = 400$ $c = 1,6 - 2,1$	3 "	15,0	13,4	12,4	11,3	10,7	10,0
	6 "	15,8	14,4	13,4	12,3	11,7	11,0
	9 "	16,5	15,4	14,4	13,4	12,7	12,0
$D = 500$ $c = 1,8 - 2,3$	3 "	14,0	12,5	11,5	10,5	10,0	9,5
	6 "	14,7	13,5	12,5	11,4	11,0	10,5
	9 "	15,5	14,5	13,5	12,4	12,0	11,5
$D = 600$ $c = 2 - 2,5$	3 "	13,0	11,5	10,8	10,0	9,5	9,0
	6 "	13,6	12,5	11,8	11,0	10,5	10,0
	9 "	14,4	13,5	12,8	12,0	11,5	11,0
$D = 700$ $c = 2,2 - 2,8$	3 "	12,5	11,2	10,5	9,6	9,1	8,7
	6 "	13,0	12,0	11,5	10,5	10,0	9,5
	9 "	13,5	13,0	12,5	11,4	11,0	10,2
$D = 800$ $c = 2,4 - 3$	3 "	12,0	11,0	10,0	9,2	8,8	8,5
	6 "	12,5	12,0	11,0	10,0	9,6	9,2
	9 "	13,0	13,0	12,0	10,8	10,2	10,0
$D = 900$ $c = 2,5 - 3,2$	3 "	11,5	10,3	9,6	9,0	8,6	8,0
	6 "	12,0	11,3	10,5	9,8	9,5	8,8
	9 "	12,5	12,3	11,4	10,6	10,4	9,6

Beispiel :

Der Dampfverbrauch einer Eincyl.-Condensations-Maschine von 400 Cyl.-Drehm. 700 Hub ist :

bei 5 At. abs. u. 3 0/0 schäd. Raum 13,4 kg pro indiz. Pfst. u. Stunde,

" 8 " " " 9 0/0 " " 12,7 " " " " " " "

Bei **exakten** und **gut eingelaufenen Maschinen** kann der Dampfverbrauch bis zu 15 0/0 **geringer** ausfallen.

Dampf-Verbrauch in kg

pro indiz. Pferdest. und Stunde (für die nominelle Leistung).

Compound-Maschinen mit Condensation.

Tabelle 140.

D = Niederdruck-Cylinderdrehm. in mm c = Kolbengeschwindigk. in m pr. Sec.	Schädl. Raum	Abs. Admissionsspannung p in At.					
	s''	4	5	6	7	8	9
$D = 400$ $c = 1,4 - 1,8$	3 0/0	12,0	10,6	9,7	9,0	8,3	7,8
	6 "	12,2	10,8	10,0	9,3	8,6	8,1
	9 "	12,4	11,0	10,3	9,6	8,9	8,4
$D = 500$ $c = 1,5 - 2$	3 "	11,0	10,0	9,0	8,4	7,9	7,4
	6 "	11,3	10,2	9,3	8,7	8,0	7,7
	9 "	11,6	10,4	9,6	9,0	8,3	8,0
$D = 600$ $c = 1,6 - 2,1$	3 "	10,4	9,4	8,4	7,8	7,4	7,0
	6 "	10,6	9,6	8,7	8,1	7,7	7,3
	9 "	10,8	9,8	9,0	8,4	8,0	7,6
$D = 700$ $c = 1,7 - 2,2$	3 "	10,0	8,9	8,2	7,6	7,1	6,6
	6 "	10,2	9,1	8,5	7,9	7,4	6,9
	9 "	10,4	9,3	8,8	8,2	7,7	7,2
$D = 800$ $c = 1,8 - 2,4$	3 "	9,5	8,5	7,8	7,2	6,8	6,4
	6 "	9,7	8,7	8,1	7,5	7,1	6,7
	9 "	9,9	8,9	8,3	7,8	7,4	7,0
$D = 900$ $c = 1,9 - 2,6$	3 "	9,2	8,2	7,6	7,0	6,6	6,2
	6 "	9,4	8,4	7,9	7,3	6,9	6,5
	9 "	9,6	8,6	8,2	7,6	7,2	6,8
$D = 1000$ $c = 2,0 - 2,8$	3 "	9,0	8,0	7,4	6,9	6,5	6,0
	6 "	9,2	8,2	7,7	7,2	6,8	6,3
	9 "	9,4	8,4	8,0	7,5	7,1	6,6

s'' schädl. Raum des Niederdruckcylinders:

Bei **exacten** und **gut eingelaufenen Maschinen** kann der Dampfverbrauch bis zu 10 0/0 **geringer** ausfallen.

Die Frage des Brennmaterial-Verbrauchs tritt immer mehr in den Vordergrund und hat Verfasser auf folgender Seite eine Tabelle zusammengestellt, dessen Werte einem Berichte der Commission für Wasserstatistik entnommen sind.

Betriebsresultate einiger Wasserwerke 1888/89
aus der statistischen Zusammenstellung des „Deutschen Vereins der Gas- und Wasserfachm.“
Tabelle 141.

Ort	Dampfmaschine	Kessel- Druck Atm.	Pfst.	Brennmaterial		Verbrauch pro 1 Pfst. u. Stunde. kg
				Art		
Würzburg	1 Compound-Masch., 2 eincyl. Masch. m. Cond.	6	38	Westf. Steinkohlen		1,58.
Duisburg	Lieg. Maschine mit Condensation	5	59	Steinkohlen		1,93
Heilbronn	" " "	6	31	Westf. Steinkohlen		2,06
Bonn	" " "	6	53	" "		2,17
Colmar	Lieg. Maschine	6,5	45	Saarkohlen		2,47
Regensburg	Balancier-Maschine mit Condensation	6	28	Böhm. Steinkohlen		2,78
Neuwied	Verticale Compound-Maschine	8	11	Westf. "		3,63
Rudolstadt	Lieg. Maschine mit Condensation	6,5	11	Zwickauer "		3,57
Weimar	" " "	6	24	Westf. "		3,68
Remscheid	" " "	6	30	" "		3,68
Chemnitz	Balancier-Maschine mit Condensation	4,5	14	Sächsische "		3,94
Mainz	Lieg. Maschine	7	—	Westf. "		4,50
Kiel	1 Compound-Maschine u. 1 Zwillings-Masch.	6	32	Engl. "		4,72
Bremerhaven	Lieg. Maschine mit Condensation	5	12	Westf. "		5,49
Darmstadt	" " "	6,5	37	Steinkohl.-Briquettes		1,17
Halberstadt	2 Zwillings-Säulen-Maschinen mit Condens.	3	29	Braunkohlen		6,51
Stade	Lieg. Maschine	5	5	Presskohlen		6,36

Die Speisewassermenge.

Die Speisepumpe ist so einzurichten, dass dieselbe das **2,2fache** für den **normalen** Betrieb benötigte Wasserquantum zu liefern imstande ist.

Die, gewöhnlich von einem Excenter von der Schwungradwelle aus angetriebene, **Maschinenspeisepumpe** ist einfach wirkend.

Es bedeute:

S den Gesamtdampfverbrauch pro Stunde in kg,

d „ Durchmesser der Speisepumpe in cm,

h „ Hub „ „ „ „

n die Tourenzahl pro Minute,

φ den Wirkungsgrad der Pumpe ($\varphi = 0,80$),

so ist zu nehmen für einfach wirkende Pumpen:

$$d^2 \frac{\pi}{4} h = \frac{2,2 S}{n 60 \varphi},$$

$$d^2 \frac{\pi}{4} h n 60 \varphi = 2,2 S.$$

Beispiel :

Zur Maschine $D = 400$, $H = 700$, $n = 85$, ohne Condensation ist eine Speisepumpe mit Excenterantrieb zu construieren.

Nach Tabelle 188 ist der **Dampfverbrauch** pro Stunde

$$S = 75 \cdot 15 = 1125 \text{ kg},$$

also ist das **Pumpenvolumen**

$$d^2 \frac{\pi}{4} h = \frac{2,2 \cdot 1125}{85 \cdot 60 \cdot 0,8} = \sim 0,6 \text{ Liter.}$$

Dazu würde passen Plungerdurchm. $d = 90$ mm, Plungerhub $h = 100$ mm.

Die **Wassergeschwindigkeit** in den Saug- und Druckröhren, sowie in den Ventilen betrage ca. 1 m pr. Sec., im **Maximum** 1,8 m.

Handelt es sich um Speisung mittelst **Dampfpumpe** oder **Injecteur**, oder um lange Saug- und Druckleitungen, so beachte man Abschnitt XII „Rohrleitung und Armaturen“, und Abschnitt XVI „Pumpen“.

Die Einspritzwassermenge bei Condensation.

Als **Maximal-Einspritzwassermenge** bei Condensations-Maschinen kann das **15fache** des verbrauchten Dampf-Gewichtes angenommen werden.

Die Maschine $D = 400$, $H = 700$, $n = 85$ mit Condensation verbraucht nach Tabelle 139 an Dampf $70 \cdot 12,9 = 861$ kg pro Stunde, die Einspritzwassermenge müsste also betragen:

$$875 \cdot 15 = 13125 \text{ Liter} = \sim 13 \text{ cbm pro Stunde.}$$

Ist **nicht genügend** Wasser vorhanden, so begnügt man sich unter Umständen auch mit der Hälfte des obigen Wertes, und nimmt ein etwas geringeres Vacuum in Kauf.

Pro Pfst. und Stunde kann man $0,2 - 0,3$ cbm Einspritzwasser annehmen, je nach der Temperatur des Kühlwassers und der Höhe der Endspannung w .

Die Kühlwasserleitung ist bei langer Saugleitung und grosser Saughöhe **genügend weit** zu machen. Beträgt die Saughöhe **mehr als 7 m**, so ist eine **Kaltwasserpumpe** einzuschalten. Letztere wird meistens einfach wirkend construiert und der Berechnung derselben die Einspritzwassermenge zu Grunde gelegt.

Die Luftpumpe oder Warmwasserpumpe.

Für **einfach** wirkende **Luftpumpen** nehme man das vom Kolben durchlaufene Volumen $= \frac{1}{3}$, für **doppelt** wirkende $= \frac{1}{6}$ vom Dampfzylindervolumen.

Bei horizontalen Maschinen mit mässiger Kolbengeschwindigkeit findet man meistens die Kolbenstangen der Pumpe und des Dampfzylinders direct mit einander gekuppelt.



* Druckfehler s. Nachtrag S. 410.

Abschnitt VIII.

Die Wirkung der Massen in der Dampfmaschine.*)

Inhaltsverzeichnis.

	Seite
Gewicht der hin- und hergehenden Massen	276—277
Beschleunigungsdruck, Fliehkraft	278—279
Einfluss der Massen	280
Druckwechsel im Gestänge	280—281
Enddruck der Compression für Auspuff-Maschinen . . .	281
„ „ „ „ Condens.-Maschinen . . .	281
Tabelle für die auf die Kolbenfläche reducierte Fliehkraft im toten Punkt für Maschinen bis 1800 Hub	282
Beispiel	282
Fehlerglied mit Tabelle	283

Es sei:

P das Gewicht der hin- und hergehenden Massen in kg,

f die wirksame Kolbenfläche in qcm,

so kann man annehmen für horizontale stationäre Maschinen

$$\text{ohne Condensation } \frac{P}{f} = 0,28,$$

$$\text{mit „ „ } \frac{P}{f} = 0,30,$$

die hin- und hergehenden Teile einer Dampfmaschine von 40 cm Cylinderdurchm. würden also wiegen:

$$P = 40^2 \frac{\pi}{4} \cdot 0,28 = \sim 350 \text{ kg,}$$

Bezeichnen wir ferner mit:

H den Kolbenhub in m,

r den Kurbelhalbmesser in m,

n die Zahl der Umdrehungen pro Min.,

$v = \frac{2 r \pi n}{60}$ die mittlere Umfangsgeschwindigkeit im Kurbelkreis in m pro Sec.

a. Treibstange unendlich lang.

Der Beschleunigungsdruck ist der Horizontal-Componente der Centripetalkraft für die zugehörige Neigung des Kurbelarmes gleich. Am toten Punkte ist diese Componente gleich der vollen Centripetalkraft gleich der Fliehkraft, d. h. jener Teil vom Gesamtdampfdruck auf den Kolben, welcher zu

*) S. auch Rädinger, „Maschinen mit hoher Kolbengeschwindigkeit“.

Beginn der Bewegung zur Beschleunigung der Massen verwendet wird, ist gleich der **Fliehkraft**

$$F = \frac{P v^2}{g r}$$

Dieser Druck muss auf der **ganzen Kolbenfläche** geübt werden, daher entfällt auf die **Flächeneinheit** der Druck

$$q_1 = \frac{F}{f}$$

Am höchsten Punkt der Kurbel ist die Komponente gleich null, d. h. es wird gar kein Druck mehr zur Beschleunigung der Massen verzehrt, da der Kolben dieselbe Geschwindigkeit mit dem Kurbelzapfen erlangt hat, es ist also hier $q = 0$.

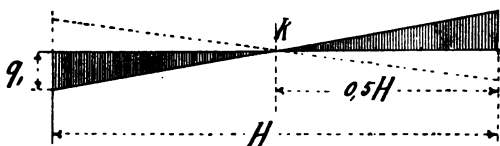
An einem mittleren Punkte ist der von der Kolbenflächeneinheit beanspruchte Druck zur Beschleunigung:

$$q = \frac{F}{f} \cos w,$$

worin w den Neigungswinkel des Kurbelradius gegen seine tote Lage bedeutet.

Im weiteren Verfolg findet Radinger, dass man die Beschleunigungsdrücke als Ordinaten einer geraden Linie darstellen kann, welche im Punkte k , Fig. 891, die Abscissenachse schneidet, hier ist $q = 0$.

Fig. 891.



Beispiel:

Die **Einwirkung der Massen** der Maschine $D = 0,4$ m, $H = 0,7$ m, $n = 100$ ist zu bestimmen für **unendlich lange Treibstange**.

Es ist:

$$P = 0,28 \cdot 40^2 \frac{\pi}{4} = \sim 350 \text{ kg},$$

$$v = \frac{2 \cdot 0,35 \cdot 3,14 \cdot 100}{60} = 3,66 \text{ m.}$$

Die **Fliehkraft**:

$$F = \frac{P v^2}{g r} = \frac{350 \cdot 3,66^2}{9,81 \cdot 0,35} = 1365 \text{ kg.}$$

Der von der Kolbenflächeneinheit beanspruchte Druck zur **Beschleunigung im toten Punkt** ist:

$$q_1 = \frac{F}{f} = \frac{1365}{40^2 \frac{\pi}{4}} = 1,08 \text{ kg pro qcm.}$$

b. Die Treibstange von endlicher Länge.

L sei die Länge der Treibstange,

$\frac{r}{L}$ das Verhältniß des Kurbelarmes zur Treibstangenlänge,

so ist der Teil des Dampfdruckes, welcher zur Beschleunigung der Massen verwendet wird, wenn die Kurbel unter dem Winkel w gegen ihre tote Lage geht, pro Flächeneinheit:

$$q = \frac{F}{f} \left(\cos w \pm \frac{r}{L} \cos 2w \right),$$

also am toten Punkte:

$q_I = \frac{F}{f} \left(1 + \frac{r}{L} \right)$ für den **Hingang** des Kolbens gegen das Kurbellager,

$q_{II} = \frac{F}{f} \left(1 - \frac{r}{L} \right)$ für den **Rückgang** des Kolbens.

Der Weg, welchen der Kolben beim Neigungswinkel w der Kurbel zurückgelegt hat, ist:

$$s = r \left(\sin w + \frac{1}{2} \frac{r}{L} \sin^3 w \right).$$

Der Weg s lässt sich am besten durch directe Construction erhalten.

Nehmen wir nun **durchschnittlich** $\frac{r}{L} = \frac{1}{5}$, so ist Fig. 892

für **Hingang** des Kolbens gegen
das Kolbenlager

Rückgang des Kolbens

$$w = 0 \quad q_I = \frac{6}{5} \frac{F}{f}$$

$$q_I = \frac{4}{5} \frac{F}{f}$$

$$w = 180^\circ \quad q_{II} = -\frac{4}{5} \frac{F}{f}$$

$$q_{II} = -\frac{6}{5} \frac{F}{f}$$

$$w = 79^\circ \quad q = 0, s = 0,46 H$$

$$q = 0, s = 0,54 H$$

Den positiven Wert links
abwärts auftragen.

Den positiven Wert rechts
abwärts auftragen.

Beispiel:

Für das auf voriger Seite angegebene Beispiel würden wir also mit Berücksichtigung der endlichen Länge der Treibstange,

bei $\frac{r}{L} = \frac{1}{5}$, erhalten für den Hingang des Kolbens:

$$q_I = \frac{6}{5} \cdot \frac{1365}{40^2 \pi \frac{4}{4}} = 1,32 \text{ kg pro qcm,}$$

$$q = 0 \text{ bei } s = 0,46 H,$$

$$q_{II} = \frac{4}{5} \cdot \frac{1365}{40^2 \pi \frac{4}{4}} = 0,88 \text{ kg pro qcm.}$$

Diese Werte sind in Fig. 892 maassstäblich (5 mm = 1 At.) aufgetragen und in Fig. 893 mit dem Dampfdiagramm einer Volldruckmaschine für 5 At. abs. Admissionsdruck **vereinigt**. Man sieht aus diesem Druckdiagramm, dass bei Beginn des Kolbenhubes, wenn der Kolben gegen das Kurbellager zu geht, **nicht der ganze Admissionsdruck** auf den Kurbelzapfen wirkt, sondern nur **der Druck** $p - q_I - p_o$, also in unserm Falle $5 - 1,32 - 1,2 = 2,48$ At. Der Druck $q_I = 1,32$ At. wird eben zum Ingangsetzen der hin- und hergehenden Massen verwendet.

Am Ende dieses Kolbenhubes dagegen ist der auf den Kurbelzapfen übergehende Kolbendruck:

$$= p + q_{II} - p_o = 5 + 0,88 - 1,2 = 4,68 \text{ At.}$$

Fig. 892.

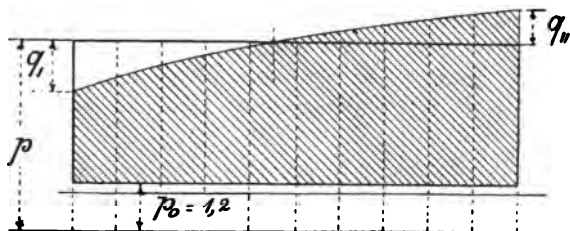
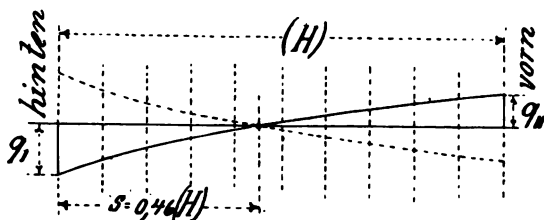


Fig. 893.

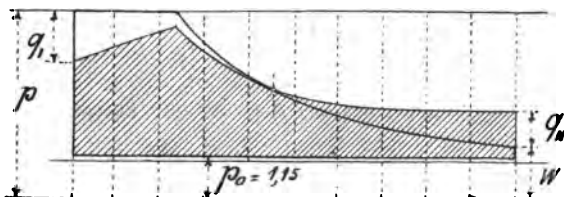


Fig. 894.

Fig. 895 zeigt den Einfluss der Massen für dieselbe Maschine, jedoch mit Expansion von 0,4 Cylinderfüllung und $p = 5$ At. abs. Admissionsspannung. Aus dem Diagramm ist ersichtlich, dass **unter Umständen** bei **schnelllaufenden** Maschinen, welche mit **grossen** Füllungen arbeiten, Massen und Dampfdruck am Ende des Kolbenhubes den Admissionsdruck **weit überragen** und fast seine doppelte Grösse annehmen können. S. auch Fig. 896.

Da kommt uns nun die **Compression** sehr gut zu statten und es erscheint für den ersten Augenblick am vorteilhaftesten, die Compression so zu wählen, dass in dem toten Punkte der Enddruck der Compression gleich dem Enddruck des Dampfes plus dem Massendruck ist, Fig. 895, dass also das Gestänge im toten Punkte **vollständig entlastet** ist und **dort** der Druckwechsel stattfindet.

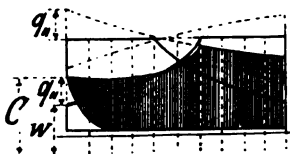


Fig. 895.

Bei der Steuerung A_e , Seite 96—97, findet dieses statt bei einer Admissionsspannung von 7 At. abs.

In den Normalien o C, Seite 100—101, ist gleichfalls auf Entlastung des Gestänges im toten Punkte Rücksicht genommen.

Die sich dadurch bei langsam gehenden Maschinen ergebende geringe Compression hat den Nachteil, dass im toten Punkte **plötzlich** der **ganze** Admissionsdruck auf den Kolben wirkt und dadurch eine **Erschütterung** in der Maschine hervorbringen könnte.

Verfasser hält es nicht für so wichtig, wo der Druckwechsel stattfindet, sondern **wie er stattfindet**. Er soll vor allen Dingen **sanft** erfolgen und dieses ist nur **mit Hilfe der Compression** möglich.

Bei Maschinen mit Doppelschiebersteuerung und grossen schädlichen Räumen ist es allerdings schwierig, genügende Compression zu erzielen, die meisten Constructeure scheuen die sich durch die grosse äussere Deckung ergebenden **grossen Schieber** und **Excenter**.

Immerhin sollte man darauf achten, dass der Enddruck der Compression bei Auspuff-Maschinen mindestens die Hälfte des Admissionsdruckes beträgt und bei Condensations-Maschinen soviel eben erreicht werden kann.

Man wende deshalb auch für Auspuff-Maschinen die in den Normalien mit **m C** bezeichnete Steuerung an und nur bei geteilten Schiebern, also mit geringen schädlichen Räumen, die Steuerung o C.

Die Höhe des **Enddrucks** der **Compression** $C = \frac{(o + s) p_o}{s}$ kann bei gegebener Grösse s des schädlichen Raumes und Compressionsdauer o aus folgenden Tabellen 143 und 144 entnommen werden.

Enddruck der Compression in At. abs.

Auspuff - Maschinen, $p_o = 1,15$.

Tabelle 143.

Com- pression o	Schädliche Räume s								
	20%	30%	40%	50%	60%	70%	80%	90%	100%
0,00	1,15	1,15	1,15	1,15	1,15	1,15	1,15	1,15	1,15
0,025	2,55	2,10	1,87	1,73	1,63	1,56	1,50	1,47	1,44
0,050	4,00	3,06	2,59	2,30	2,11	1,97	1,87	1,78	1,72
0,075	5,46	4,03	3,31	2,87	2,57	2,38	2,28	2,11	2,01
0,10	6,90	4,90	4,03	3,45	3,07	2,79	2,59	2,42	2,30
0,15	—	6,90	5,46	4,60	4,00	3,60	3,31	3,06	2,87
0,20	—	—	6,90	5,75	4,98	4,43	4,03	3,70	3,45
0,25	—	—	—	6,90	5,95	5,29	4,74	4,34	4,02
0,30	—	—	—	—	6,90	6,07	5,46	4,98	4,60

Condensations-Maschinen, $p_o = 0,2$.

Tabelle 144.

0,00	0,20	0,20	0,20	0,20	0,20	0,20	0,20	0,20	0,20
0,025	0,45	0,37	0,33	0,30	0,28	0,27	0,26	0,26	0,25
0,050	0,70	0,53	0,45	0,40	0,37	0,34	0,33	0,31	0,30
0,075	0,95	0,70	0,57	0,50	0,45	0,41	0,38	0,37	0,35
0,10	1,20	0,86	0,70	0,60	0,53	0,48	0,45	0,42	0,40
0,15	1,70	1,20	0,95	0,80	0,70	0,63	0,57	0,53	0,50
0,20	2,20	1,53	1,20	1,00	0,86	0,77	0,70	0,64	0,60
0,25	2,70	1,86	1,45	1,20	1,03	0,97	0,82	0,75	0,70
0,30	3,20	2,20	1,70	1,40	1,20	1,05	0,95	0,86	0,80

Werte von $q_I = \frac{F}{f}$ (unendlich lange Treibstange).

Tabelle 145.

Hub	Drehm.	Umdrehungen n pro Min.							
H	D	50	75	100	150	200	300	400	500
150	100	0,04	0,08	0,15	0,35	0,60	1,40	2,50	4,0
300	200	0,10	0,21	0,40	0,90	1,60	3,50	—	—
500	300	0,18	0,42	0,70	1,50	3,00	—	—	—
700	400	0,27	0,60	1,00	2,50	4,30	—	—	—
900	500	0,34	0,75	1,30	3,00	5,40	—	—	—
1100	600	0,40	0,90	1,60	3,50	—	—	—	—
1200	700	0,45	1,05	1,80	4,00	—	—	—	—
1400	800	0,50	1,20	2,10	4,70	—	—	—	—
1600	900	0,60	1,35	2,40	5,40	—	—	—	—
1800	1000	0,70	1,50	2,70	6,00	—	—	—	—

Beispiel:

Es sei:

$H = 1200, D = 700, n = 150$
so ist nach Tabelle 145

$$q_I = 4, \frac{r}{L} \text{ sei } \frac{1}{5},$$

also $q_I = 4 \cdot \frac{6}{5} = 4,8 \text{ kg}$
pro qcm für den Hingang
und $q_I = 4 \cdot \frac{4}{5} = 3,2 \text{ kg}$
für den Rückgang;

wenn $p = 7 \text{ At. abs.}$,
 $h = 0,2 \text{ Füllung}$,
 $s = 60\% \text{ schäd. Raum}$,

so ergibt sich das Druck-

diagramm Fig. 896 und zwar vertical schraffiert für den Hingang und horizontal schraffiert für den Rückgang.

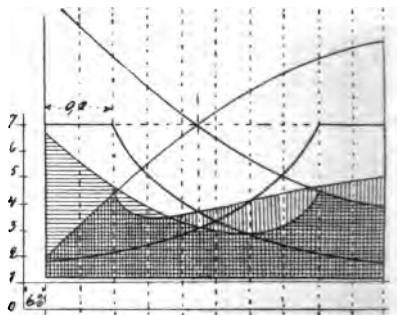


Fig. 896.

Inhaltsverzeichnis

zu Abschnitt IX.

	Seite
Bremsversuche	285
Der Prony'sche Zaum	285
Indikatoren	285
Hubreductoren	286
Hubreductionsapparat	287
Stopfen, Rohrleitung und Dreiweghahn	287
Hauptgesichtspunkte bei Indikatorversuchen	288
Berechnung der Leistung aus den Diagrammen	289
Das Rankinisieren der Diagramme	290
Zusammenstellung von Indikatordiagrammen	291
Fehlerhafte Steuerung	292



Abschnitt IX.

Brems- und Indikator-Versuche.

Mit Hülfe der **Indikator-Versuche** lässt sich die indizierte Leistung einer Dampfmaschine ermitteln und das Functionieren der Steuerung kontrollieren. Handelt es sich um Feststellung der effectiven Leistung, so sind noch Brems-Versuche notwendig und verwendet man dazu den Prony'schen Zaum, Fig. 898.

Es sei:

G das angehängte Gewicht in kg,
 l der Hebelarm in m,
 n die Tourenzahl pr. Min., so ist die
 effective Leistung der Maschine

$$N_e = \frac{\pi n l}{30 \cdot 75} \cdot G.$$

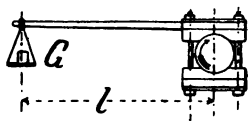


Fig. 898.

Das Gewicht des Hebels wird ausbalanciert.

Gleichzeitig mit den Bremsversuchen sind in bestimmten Zwischenräumen Indikator-Diagramme zu nehmen und nach letzteren das durchschnittliche N_i zu bestimmen, es ist dann der Nutzeffect:

$$\eta = \frac{N_e}{N_i}.$$

Indikatoren. Fig. 899—901.

Richard's.

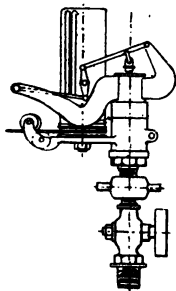


Fig. 899.

Thompson.

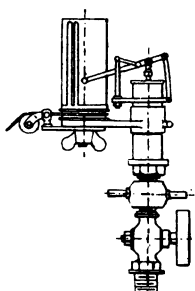


Fig. 900.

Crosby.

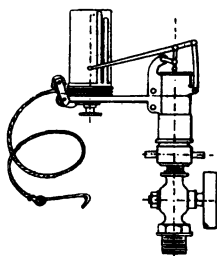
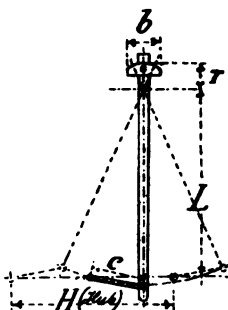


Fig. 901.

Zur Reduction des Kolbenhubes auf den Umfang der Papirtrommel ist ein Hubverminderer, Fig. 902—906 und Fig. 908—909, oder ein Hubreductions-Apparat, Fig. 910—911, einzuschalten.

Fig. 902.



Man nehme:

$$L = \frac{5}{4} H, \quad c = 0,3 H,$$

dann wird bei einer Diagrammlänge l

$$r = \frac{5}{4} l \quad (l = 80 - 120 \text{ mm})$$

$$b = 1,5 r.$$

Je kleiner L und c , desto ungenauer wird das Diagramm, bei unendlich langem L wird das Diagramm vollkommen.

Für Untersuchungen, welche ein möglichst genaues Resultat ergeben sollen, ist $L = 2 H$ zu nehmen.

Handelt es sich nur um Untersuchung der **Steuerung**, so ist es zweck-

mässig, die beiden Cylinderenden mittelst Rohre und einem **Dreiweghahn**, Fig. 910—911, zu vereinigen, die dadurch erhaltenen **Doppel-Diagramme**, Fig. 907, lassen eine Verschiedenheit in den Füllungsgraden etc. leicht erkennen.

Bei ganz genauen Untersuchungen und langen Cylindern kann jedoch die Rohrleitung zum Indikator von schädlichem Einfluss auf das Diagramm werden und empfiehlt es sich, in diesem Falle **zwei** Indikatoren, Fig. 908—909, zu verwenden.

Fig. 903—904.

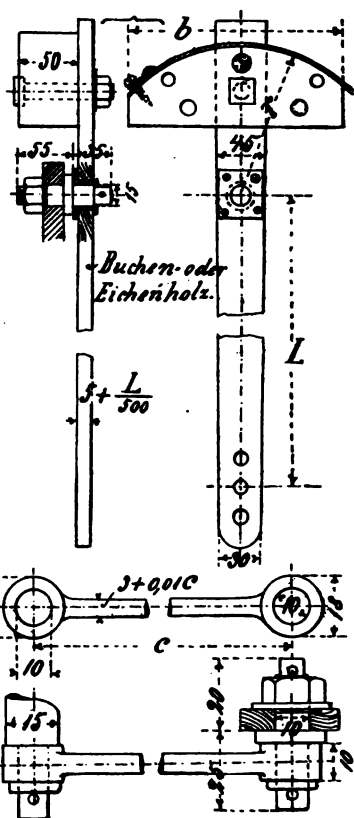


Fig. 905—906.

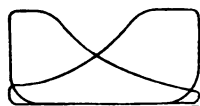
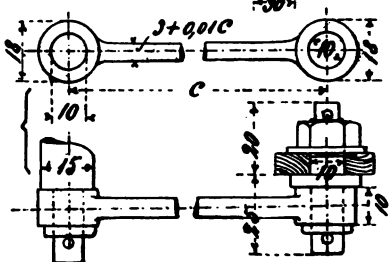


Fig. 907.

Fig. 908 — 909.

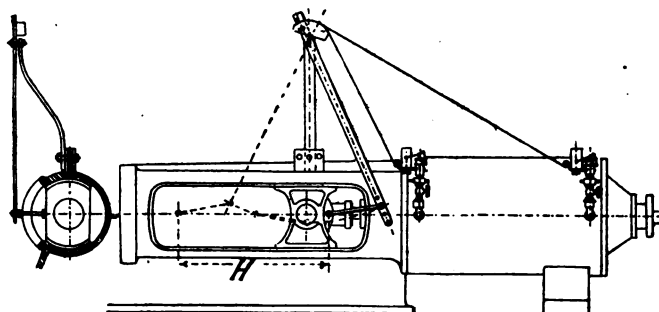


Fig. 910 — 911.

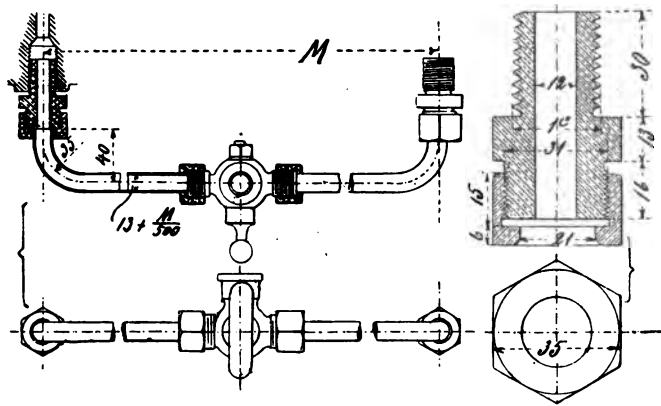
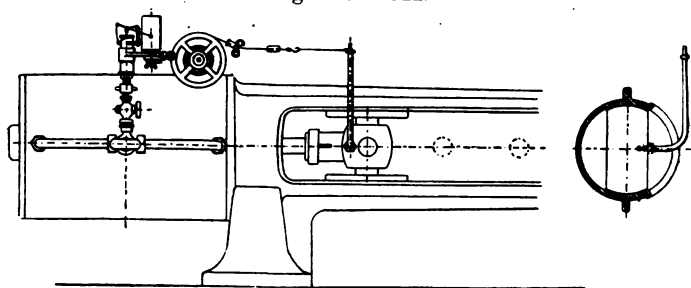


Fig. 912 — 913.

Fig. 914 — 915.

Die **Nocken** an den Cylinderenden haben meist 1" engl. Gewinde und ist in Fig. 914 — 915 ein für den Anschluss der Rohre passender Stopfen angegeben. Die Dichtung zwischen Stopfen und Rohren geschieht mittelst Bleischeiben, dieselben müssen **genügend grosse Löcher** haben und dürfen nicht zu stark sein, da sonst ein Zusammendrücken derselben beim Anziehen der Überwurfmutter und somit ein **Verengen** der **Durchgangsöffnung** stattfindet.

Hauptgesichtspunkte bei Indikator-Versuchen.

Nach Anbringung des Indikatorhahnes und der Rohre sind letztere gehörig **auszublasen** durch langes offen lassen des Hahnes während des Ganges der Maschine, alsdann sehe man nach dem Dampfdruck des Kessels zur Einsetzung der **richtigen Feder**. Die Federn sind gewöhnlich gezeichnet und bedeutet z. B. 6 kg, dass die Feder **nur** für einen Dampfüberdruck bis zu 6 kg pro qcm also 6 At. verwendet werden darf. Nachdem die gewählte Feder eingesetzt ist, wird der Indikator auf den Hahn gesetzt und der Antrieb der Indikatortrommel durch die Schnur geregelt.

Dass die Trommel auf keiner Seite anstösst, ist auch während der Versuche öfters zu kontrollieren. Die Länge der Schnur wird durch das **Holzplättchen** mit 4 Löchern, Fig. 916 — 917, bequem geregelt.

Vor dem Aufstecken des Papieres falte man dasselbe an den Enden etwas um, dieses erleichtert das Aufstecken und Glattspannen des Papieres.

Man hake nun zuerst die Schnur ein und ziehe die **atmosphärische Linie** durch sanftes Aufdrücken des Schreibstiftes, während der Indikatorhahn geschlossen bleibt, öffne den letzteren und drücke den Schreibstift abermals an, etwa während 3 Umdrehungen der Maschine, dann ist der **Schreibstift abzustellen** und der Hahn zu schliessen.

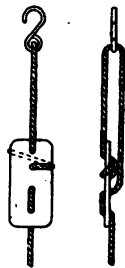


Fig. 916—917.

Jedes Diagramm ist mit einer **fortlaufenden Nummer**, dem **Dampfdruck** des Kessels, der **Tourenzahl** der Maschine, der **Versuchszeit**, dem **Maassstab** der Feder, dem **Cylinderdurchmesser** und **Hub** der Maschine, sowie mit den **Kolbenstangenstärken** vorn und hinten zu versehen.

Berechnung der Leistung.

Man ziehe die Ordinaten $a_1, a_2, a_3 \dots$ bis a_{10} im Abstände von $1/10$ der Diagrammlänge, für a_0 und a_{10} in einer Entfernung vom Rande gleich ein Viertel der Breite eines Teiles; jede Ordinate wird als Mittellinie eines Trapezes betrachtet, dessen event. krummlinige Begrenzung in eine gradlinige zu verwandeln ist. Die mittlere Ordinate des Diagramms in mm ergibt sich:

$$a_m = 1/10 \left(a_0 + a_1 + a_2 + a_3 + \dots + a_9 + \frac{a_{10}}{2} \right).$$

Ist z. B. für das Diagramm die Indikatorfeder 8 mm = 1 kg benutzt worden, so ist der mittlere Dampfüberdruck $p_m = \frac{a_m}{8}$ kg pro qcm. Man kann auch die sämtlichen a -Werte direct mit dem Maassstab messen, welcher der Indikatorfeder entspricht, dann ist $p_m = a_m$.

Eine ähnliche Methode zur Bestimmung des abs. mittleren Kolbendruckes kp und des Gegendruckes ist die folgende: Man teilt das Diagramm in 10 Teile und misst die Ordinaten $y, y_1 \dots$ bis y_{10} der Fläche in dem Maassstab, welcher der Feder des Indikators entspricht und zwar in kg pro qcm, nun addiert man nach der Simpson'schen Regel:

$$\begin{aligned} y + y_{10} &= S_1, \\ y_1 + y_3 + y_5 + y_7 + y_9 &= S_2, \\ y_2 + y_4 + y_6 + y_8 &= S_3, \end{aligned}$$

so ist der mittlere abs. Druck hinter dem Kolben:

$$kp = \frac{S_1 + 4 S_2 + 2 S_3}{30}.$$

Die Ordinaten für den mittleren Gegendruck $g^*)$ des abziehenden Dampfes sind dem schraffierten Teil zu entnehmen.

Dann ist $p_m = kp - g$ und die indiz. Leistung $N_i = \frac{Qc p_m}{75}$.

Um die Nutzleistung zu erhalten, muss ein Leerlauf-Diagramm der Maschine genommen und daraus der mittlere Druck l ermittelt werden.

Dann ist

$$N_e = \frac{Qc(p_m - l)}{75(1 + \mu)}.$$

Der Coefficient der zusätzlichen Reibung μ ist aus Tabelle 129 zu entnehmen.

*) $g = p_0 + \sigma_3 + \sigma_4$ s. Fig. 885–886.

Fig. 918.

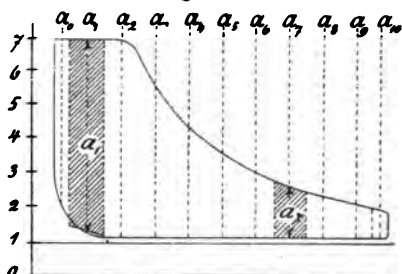


Fig. 919.

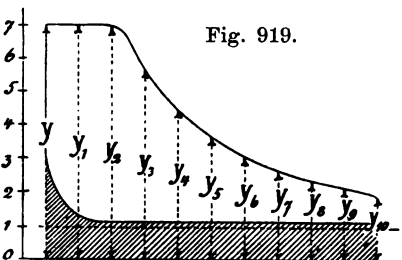
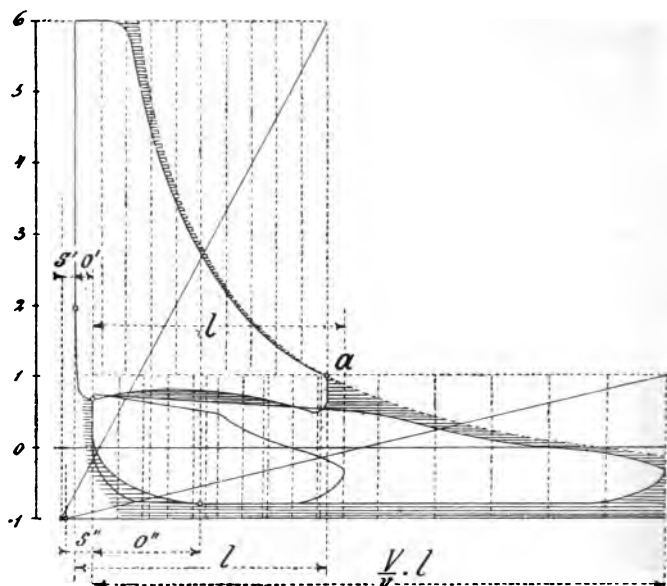


Fig. 920.



Das Rankinisieren der Diagramme für Compound-Maschinen.

Man zeichnet die gleichzeitig genommenen Diagramme von zusammengehörigen Seiten des Hoch- und Niederdruckcylinders, auf **gleichen Maassstab** und **gleiche Länge l** gebracht, unter einander in der Weise, dass das Diagramm des Niederdruckcylinders um den Kolbenweg, der Compression o' des Hochdruckcylinders, s. Fig. 920, nach rechts gelegt wird, und verlängert nun das Diagramm des Niederdruckcylinders im Verhältnis der Cylindervolumen $\frac{V}{v}$.

Durch den Endpunkt a des Hochdruckdiagramms legt man die Mariottesche Linie, so ergibt die horizontal schraffierte Fläche die **Arbeitsverluste** gegenüber des rein theoretischen Diagramms einer directen Eincylinder-Maschine im Niederdruckcylinder allein (von Gegendruck, Compression etc. abgesehen). In Fig. 920 bedeutet:

- | | |
|-------|--|
| s' | schädlicher Raum des Hochdruckcylinders, |
| s'' | " " Niederdruckcylinders, |
| o' | Compression " Hochdruckcylinders, |
| o'' | " " Niederdruckcylinders. |

Zusammenstellung von Indikator-Diagrammen

ohne Condensation

mit Condensation

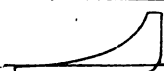
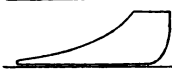


Fig. 921—922. Normal. Indikator-diagramm einer guten Expansionssteuerung.



Fig. 923—924. Diagramme einer Maschine ohn. Expansionssteuerung, Regulator auf Drosselventil wirkend.

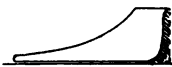


Fig. 925—926. Verfrühter Dampfeintritt, unregelmässiger Gang bei leichtem Schwungrad.

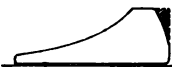


Fig. 927—928. Verspäteter Dampfeintritt, Mangel an Voreilung.



Fig. 929—930. Durch undichte Steuerung strömt noch während der Expansion Dampf zu.



Fig. 931—932. Fehlerhafte Doppelschiebersteuerung, der Expansionschieber öffnet schon wieder, bevor der Grundschieber abgeschlossen hat.

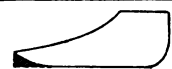


Fig. 933—934. Verspäteter Dampfaustritt oder zu enge Austrittskanäle.



Fig. 935—936. Die Maschine ist für die indiz. Leistung zu gross.

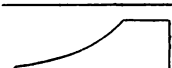


Fig. 937—938. Mangel an Compression.

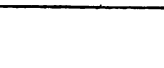


Fig. 939. Zu hohe Compression kann bei Condensation nicht gut auftreten.

Die den schraffierten Flächen entsprechende Arbeit geht verloren.

Beispiel einer fehlerhaften Steuerung.

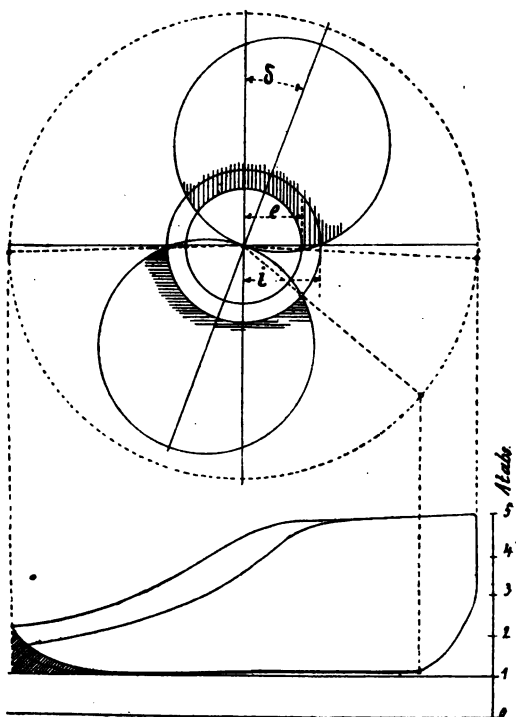
Ein sehr häufig von jungen Constructeuren gemachter Fehler des Grundschiebers der Meyer'schen oder Rider-Steuerung ist in Fig. 940 dargestellt. Das Indikatordiagramm sowie die Maasse der Steuerung sind der 1886 gebauten Zwilling-Dampfmaschine einer Schneidemühle in Duisburg entnommen.

Der Constructeur hat durch die verhältnismässig grosse innere Deckung genügende Compression erzielen wollen, aber dabei übersehen, für den entweichenden Dampf genügenden Voraustritt zu schaffen.

Durch diesen Fehler gehen bei obengenannter Maschine ca. 6% von der Leistung verloren.

Fehlerhafte Steuerung einer Maschine $H=1000$, $D=500$, $n=70$.

Fig. 940, $\frac{2}{5}$ d. nat. Gr.



Abschnitt X.

Schiffsmaschinen und Dreistufige Expansions- Maschinen.

Compound - Maschinen.

	Seite
Compound-Schiffsmaschine für Raddampfer	294—296
Tabelle zur Compound-Schiffsmaschine für Raddampfer .	297
Compound-Schiffsmaschine für Schraubendampfer . . .	298
Tabelle zur Comp.-Schiffsmaschine für Schraubendampfer	298

Umsteuerungen für Schiffsmaschinen.

Hackworth	299
Klug	299
Linke	299
Joy	299

Dreifach - Expansions - Maschinen.

a. Als Schiffsmaschine.

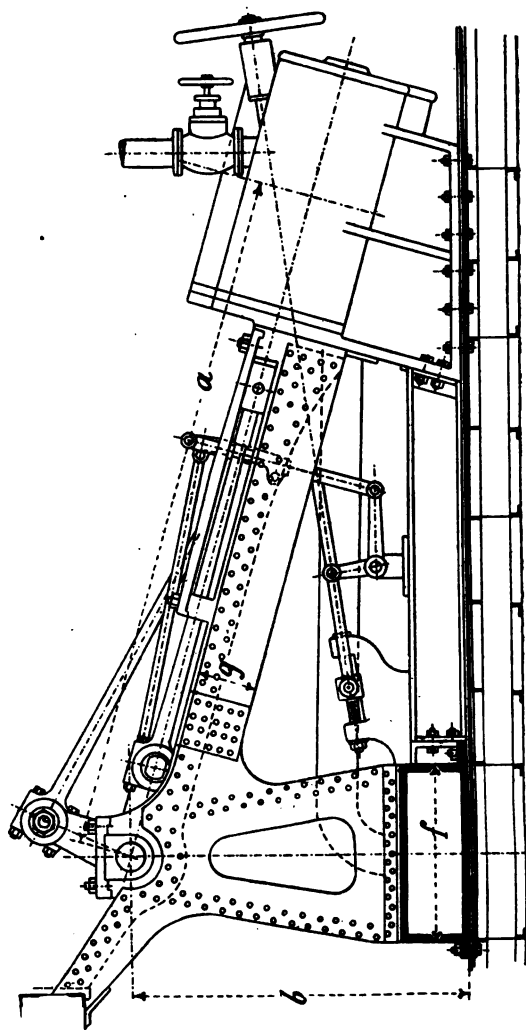
Verschiedene Bauarten	300
Tabelle für den Entwurf von Dreistufig - Expansions- Maschinen mit Condensation	301
Stellung der Kurbeln zu einander	301

b. Als stationäre Maschine.

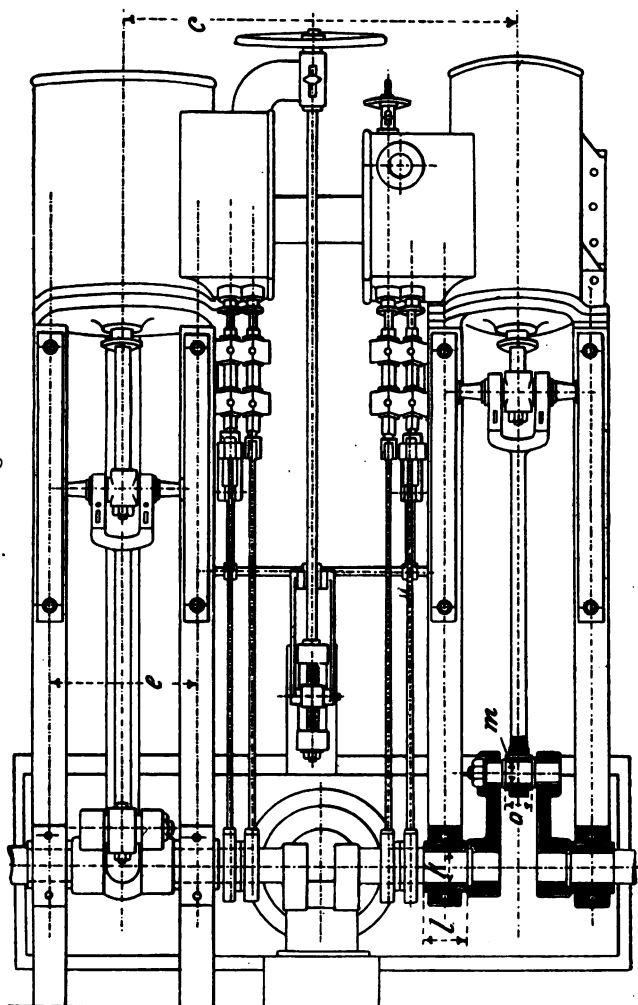
Versuche an einer Dreifach - Expansions - Maschine mit Tabelle der Hauptdimensionen	302
Diagramme dazu sowie Angabe der indiz. Leistung . . .	303

Compound - Schiffsmaschine für Raddampfer.

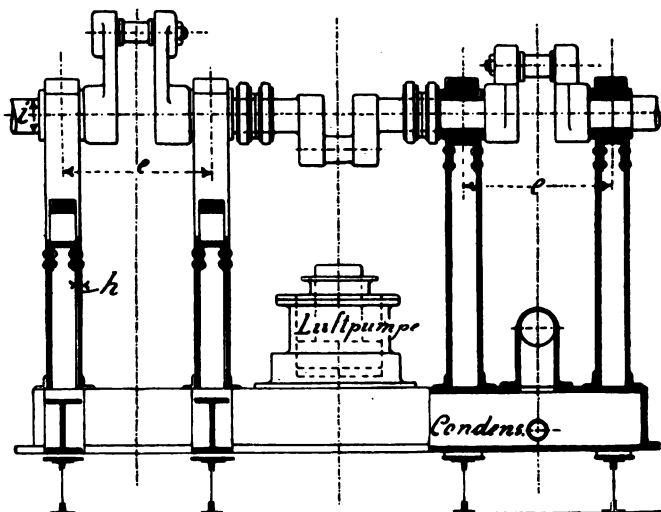
Aufriß. Fig. 941.



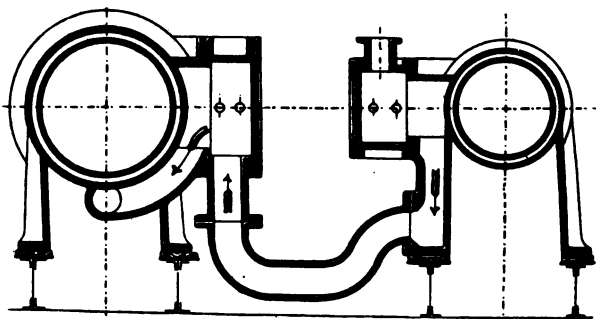
Grundriss. Fig. 942.



Querschnitt, Fig. 943,
 durch
 die Geradföhrung. die Kurbellager.



Querschnitt durch die Dampfeylinder, Fig. 944.

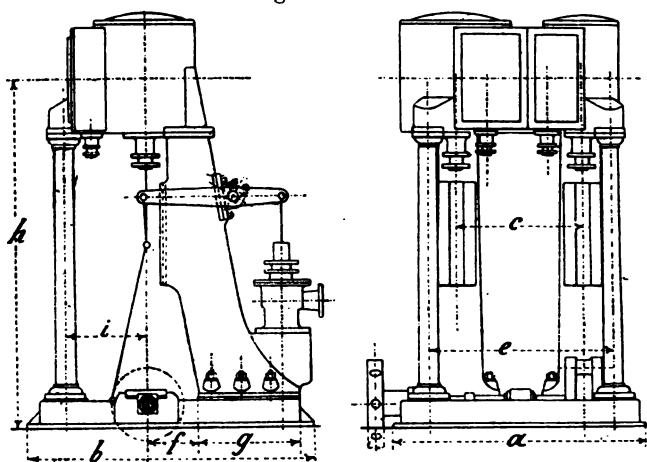


Compound-Schiffsmaschinen für Raddampfer, Fig. 941—944, für 7 Atm. Überdruck.

Tabelle 147.

			$\frac{V}{v}$		Atm. Abs.									Blech		Welle		Kurbel- lager		Kurbel- zapfen		Gewicht in kg	
H	d	D		n	p	N _i	a	b	c	e	f	g	h	i	k	l	m	o	G				
500	310	500	2,5	50	8	40	2200	1200	1300	500	600	180	8	150	130	200	90	170	4000				
600	370	600	2,5	46	8	60	2600	1300	1600	600	700	240	9	165	145	220	105	190	6500				
800	460	800	2,5	40	8	125	3400	1450	2000	750	850	300	9	200	170	240	130	220	15000				
1000	550	1000	2,5	38	8	210	4200	1600	2400	920	1000	400	10	240	210	290	165	260	28000				
1200	650	1200	2,5	35	8	350	5000	1700	2800	1100	1100	500	11	300	250	340	200	320	47000				
1400	750	1400	2,5	32	8	500	5900	1800	3200	1300	1200	650	12	350	300	400	240	380	70000				
1600	880	1600	2,5	30	8	700	6800	1900	3600	1500	1300	800	13	400	350	460	280	430	100000				

Fig. 945—946.



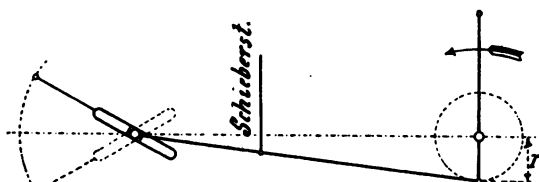
Compound-Schiffsmaschinen für Schraubendampfer, Fig. 945—946, für 6—7 Atm. Überdruck.

Tabelle 148.

Gemeinschaftl. Hub . . . H	200	250	300	350	400	500	600
Durchm. d. Hochdruckcyl. d	135	170	200	235	285	350	430
Durchm. d. Niederdr.-Cyl. D	210	270	310	370	450	550	670
Verhältnis der Cyl.-Vol. $\frac{V}{v}$	2,5	2,5	2,5	2,5	2,5	2,5	2,5
Verhältnis $H:d$	1,5	1,5	1,5	1,5	1,4	1,4	1,4
Umdrehungen pro Min. . . n	280	260	245	230	210	180	150
Kolbengeschwindigk. i. m c	1,8	2,1	2,4	2,6	2,8	3,0	3,0
N_i bei 7 Atm. Überdruck N_i	25	50	80	120	180	270	400
Dimension a	600	750	950	1150	1400	1850	2300
" b	600	750	950	1150	1400	1850	2300
" c	240	300	420	500	600	950	1200
" e	500	625	750	875	1050	1400	1800
" f	140	175	210	250	280	350	420
" g	260	320	390	450	520	650	780
" h	1050	1300	1500	1800	2000	2500	3000
" i	200	250	320	380	430	550	660
Gewicht in kg G	800	1600	2800	4500	7000	12000	23000

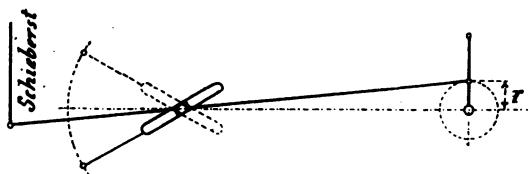
Umsteuerungen für Schiffsmaschinen.

Ausser den schon in Abschnitt „Steuerungen“ behandelten Umsteuerungen finden sich im Schiffsmaschinenbau hauptsächlich noch folgende vor:*)



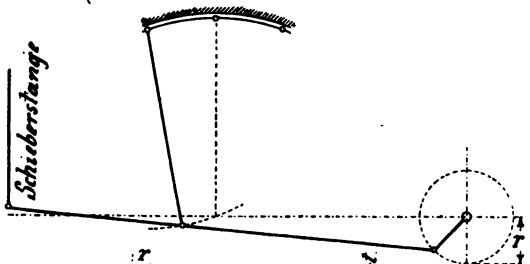
Hackworth.

Fig. 947.



Hackworth.

Fig. 948.



Klug.

Fig. 949.

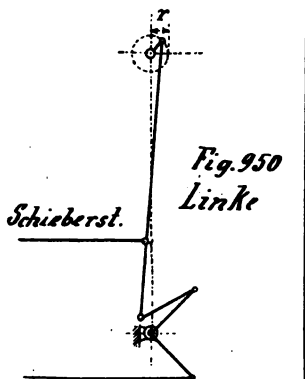
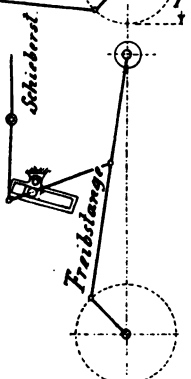


Fig. 950
Linke



Joy.

Fig. 951.

*) Zeitschr. d. Ver. deutsch. Ing. 1885, Seite 949.

Die Dreifach-Expansions-Maschine.

a. Als Schiffsmaschine.

Im **Schiffsmaschinenbau** wächst die Anwendung des Systems der **dreistufigen** Expansion mit jedem Jahre.

Die zur Verwendung kommenden Anordnungen der Drei- und Vierfach-Expansionsmaschinen lassen nach Otto H. Müller jun.*) 4 Hauptarten erkennen.

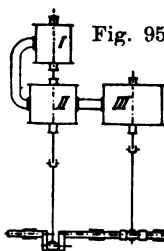


Fig. 952.

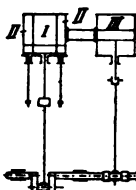


Fig. 953.

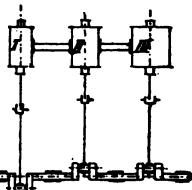


Fig. 954.

1) Fig. 952. Die Maschine hat 2 Krummzapfen, die beiden ersten Cylinder sitzen über einander. Diese Anordnung braucht wenig Breite und ist bequem für die Umgestaltung v. Compound-Maschinen. Ein besonderer Fall ist Fig. 953, bei welchem II ringförmig um I angeordnet ist.

2) Die Maschine besitzt 3 Krummzapfen unter je 120° verstellt. Diese Anordnung ist für Neubauten allgemein, da die Welle ausserordentlich gleichmässig auf Torsion beansprucht wird. Fig. 954.

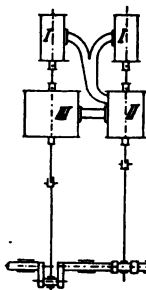


Fig. 955.

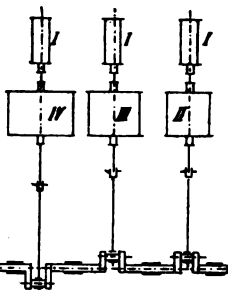


Fig. 956.

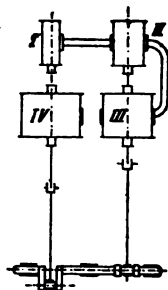


Fig. 957.

3) Der Hochdruckcylinder wird halbiert und über II u. III aufgestellt, Fig. 955. Fig. 956 Vierfach-Expansions-Maschine, drei Hochdruckcylinder stehen über II, III u. IV und je ein Cylinderpaar wirkt auf einen Krummzapfen.

4) Eine nur für Vierfach-Expansionsmaschinen mögliche Anordnung ist in Fig. 957 dargestellt und wird in neuerer Zeit mit Vorliebe beim Umbau der Compoundmaschinen benutzt.

*) S. Zeitschr. d. Ver. deutsch. Ing. 1897, Seite 443.

Für den Entwurf von stehenden dreistufigen Expansions-Maschinen mit Condensation

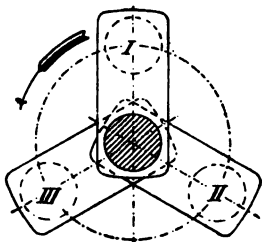
für ca. 10 At. Überdruck.

Tabelle 149.

Gemeinschaftl. Hub . . H	400	600	800	1000	1200	1400	1600	1800	2000
Hochdruckcy- linder I . d_1	230	340	460	570	680	800	900	1000	1100
Mitteldruck- cyl. II . d_2	360	550	735	920	1100	1300	1475	1650	1800
Niederdruck- cyl. III . d_3	600	900	1200	1500	1800	2100	2400	2700	3000
Cylinder- verhältnisse (abgerundet)	II:I	2,6	2,6	2,6	2,6	2,6	2,6	2,7	2,7
	III:II	2,7	2,7	2,7	2,7	2,7	2,8	2,7	2,7
	III:I	7,0	7,0	7,0	7,0	7,0	6,9	7,0	7,3
Umdre- hungen . n	200	140	120	100	85	77	70	66	60
Kolbenge- schwindigkeit	2,66	2,8	3,2	3,33	3,4	3,6	3,73	3,95	4,00
N_i bei 10 At. Überdr. N_i	280	675	1350	2200	2800	4000	5600	7400	9300
Dampfver- brauch in kg	7,2	7,0	7,0	6,8	6,6	6,4	6,2	6,1	6,0

Obiger Tabelle 149 sind die für 10 At. Überdruck am gebräuchlichsten und eingeführtesten Cylinderverhältnisse zu Grunde gelegt.

Werden die Maschinen nach Fig. 954 gebaut, so zeigt Fig. 958 die **Reihenfolge der Kurbeln**, damit beim Vorwärtsgang die Dampfmenge, mit welcher die obere Seite des Hochdruckcylinders beschickt wird, ebenfalls in der oberen Seite des folgenden Cylinders wirken muss; der Dampf also in der kürzesten Zeit (ohne Aufstauchung) seine Arbeit in der Maschine verrichtet.*)



*) S. Zeitschr. d. Ver. deutsch. Ing. 1896, No. 24.

b. Als stationäre Maschine.

Ob überhaupt und unter welchen Verhältnissen die Dreifach-Expansionsmaschine, als **stat. Masch.**, dem Compound-System vorzuziehen ist, darüber gehen die Ansichten sehr auseinander. Zu Gunsten der **Dreifach-Expansionsmaschine** spricht die bessere Ausnützung des hochgespannten Dampfes (10 At.) und der daraus sich ergebende geringere Dampf-Verbrauch.

Als **Nachteil** muss angesehen werden, dass die Anzahl der (sich teils bewegenden) Maschinenteile um ca. $\frac{1}{3}$ vergrößert wird, und dadurch Wartung und Reparaturkosten sich ungünstiger gestalten. Ausserdem ist die Leerlauf-Arbeit grösser, also der Nutzeffect kleiner als bei einer Compound-Maschine.

Die Versuche, welche Prof. Schröter an einer von der Augsburger Maschinenfabrik gebauten **stationären** Dreifach-Expansionsmaschine anstellte, sind in einer sehr interessanten Abhandlung in der Zeitschr. d. Ver. deutsch. Ing. 1890 Nr. 1 veröffentlicht.

Die Maschine hatte zwei um 90° versetzte Kurbeln und liegen die Cylinder I (Hochdruck) und II (Mitteldruck) hintereinander mit gemeinschaftlicher Kolbenstange, Cylinder III (Niederdruck) auf der anderen Seite des Schwungrades.

Für 10 At. Überdruck bestimmt und mit Condensation versehen, sollte die Maschine bei 70 Touren pro Minute 200 indizierte Pferdekkräfte normal leisten.

Die Hauptdimensionen zeigt Tabelle 150.

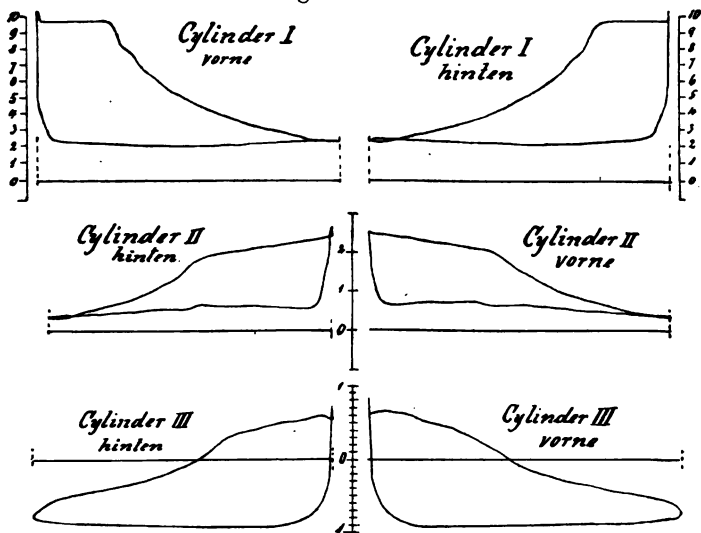
Dreifach-Expansions-Maschine.
Tabelle 150.

	Cylinder I		Cylinder II		Cylinder III	
	vorn	hinten	vorn	hinten	vorn	hinten
Durchm. in cm . .	28,2		45,07		70,13	
Kolbenstange in cm	7,5	8,5	8,5	0	8,5	8,5
Hub in m	1,000		1,000		1,0005	
Cylinder-Verhältnis	1		2,73		6,63	
Cylinder-Verhältnis			1		2,34	
p_m kg pro qcm . .	3,40	3,28	0,903	0,921	0,872	0,862

Der in der untersten Zeile angegebene mittlere Kolbenüberdruck p_m wurde aus 5 verschiedenen Versuchen ermittelt.

Von den erhaltenen Diagrammen ist ein Satz in Fig. 959 bis 964 in verkleinertem Massstab dargestellt.

Fig. 959—964.



Indizierte Leistung:

Cylinder I vorne 31,7 Pfst.

" II hinten 20,1 "

" III " 48,5 "

zusammen 200,5 indiz. Pfst.

Indizierte Leistung:

Cylinder I hinten 31,4 Pfst.

" II vorne 19,5 "

" III " 49,3 "

Als Dampferzeuger dient ein Dürer'scher Röhrenkessel von 164 qm wasserberührter Heizfläche und 13 At. concessioniertem Betriebsdruck, während den Versuchen wurden jedoch nur 10 At. Überdruck erzeugt.

Der Dampfverbrauch wurde auf 5,68 kg pro indiz. Pfst. und Stunde festgesetzt.

Ein Leerlauf-Diagramm bei abgenommenen Seilen ergab 23,8 Pfst., also $11\frac{1}{2}$ Prozent der Normalleistung.

Anmerkung des Verfassers:

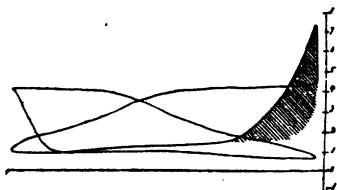
Die obigen Diagramme dürfen durchaus nicht als Muster dienen, weil durch richtige Verhältnisse die Schleifen an den Enden der Expansionsperioden des Hoch- und Mitteldruck-cylinders hätten vermieden werden können. Wäre auf einen **Spannungsabfall** von mindestens 0,2 At. beim Hoch- und

Mitteldruckcylinder Rücksicht genommen, so würde das Resultat ein noch günstigeres geworden sein.

Die **Compression** des Hochdruck- und Mitteldruck-Cylinders nehme man **möglichst gering**, damit bei etwas stärkerer Beanspruchung der Maschine der Enddruck der Compression den Admissionsdruck nicht übersteigt und die Schleifen in den Diagrammen vor Beginn des Dampfeintritts vermieden werden.

Auch die **Hochdruckcylinder** der **Compoundmaschinen** haben meist zu viel Compression. Beistehende Figur 965 zeigt das Diagramm des Hochdruckcylinders der Compound-Maschine vom Rheinschraubendampfer „Matador“. Die Compression wird durch fehlerhafte Steuerung auf 7,2 At. Überdruck gesteigert, während der Admissionsdruck nur 4,2 At. beträgt. Die schraffierte Fläche giebt den dadurch entstehenden Verlust an. Für häufig an der Maschinen-Achse vorgekommene Brüche sind vielleicht obige Fehler Ursache.

Fig. 965.



Abschnitt XI.

Dampfkessel und Schornsteine.

	Seite
Kessel der Görlitzer Maschinenbau-Act.-Ges.	306—309
Cylindrischer (einfach runder) Kessel	306
„ Ober- und Unterkessel	306
Kessel mit Wellrohr und innerer Feuerung	306
Galloway-Kessel mit „ „	306
Cornwall-Kessel mit 2 Feuerröhren und äusserer Feuerung	307
„ „ 2 „ „ innerer „	307
Röhrenkessel mit untenliegender Feuerung	307
Combinierter Cornwall- und Röhrenkessel	308
Röhrenkessel System Dupuis	308
Field'scher Röhrenkessel	309
Wasser-Rohrkessel von Petry-Dereux, Düren . . .	308
Stehender Röhrendampfkessel von Arndt & Marichal, Aachen	309
Cornwall-Kessel mit Pat.-Feuerrohr von Moritz Jahr, Gera (Reuss)	309
Wasser-Röhrenkessel von E. Willmann, Dortmund . .	310
Batterie-Dampferzeuger der Motorenfabrik Merse- burg	310
Röhrenkessel von Dürr & Cie., Ratingen	311
Circulationsdampfkessel von Petry-Dereux, Düren . .	311
Normalien von Cornwall-Kesseln mit Tab. 151	312
Einmauerung von „ „ „ 152	313
Raumbedarf der Circulations-Röhrenkessel mit Tab. 153 .	314
Schornsteine mit Tabelle	315
Exact-Deflectoren von Keidel & Cie.	316
Polizeiliche Bestimmungen über die Anlegung von Dampf- kesseln	316—318
Auszug aus den Verordnungen vom 24. Juni 1872 . . .	319

**Dampfkessel, Fig. 966—980 u. 982—983,
der Görlitzer Maschinenbau-Act.-Ges., Görlitz.**



Fig. 966—967. **Cylinderischer (einfach runder) Kessel.*)**

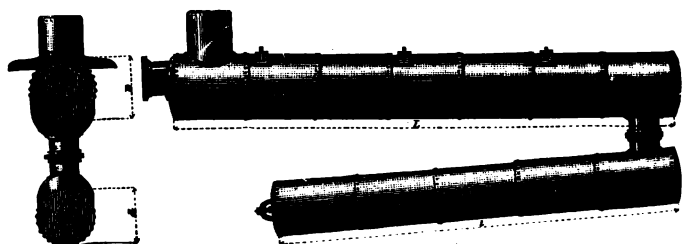


Fig. 968—969. **Cylinderischer Ober- und Unterkessel.*)**

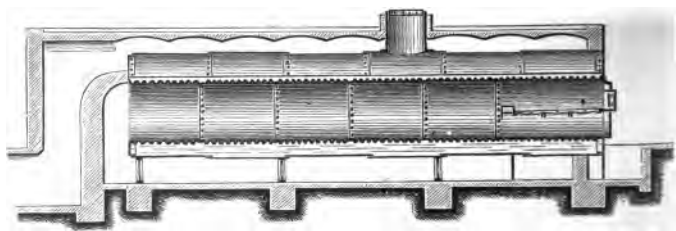


Fig. 970. **Kessel mit Wellrohr und Innerer Feuerung.*)**

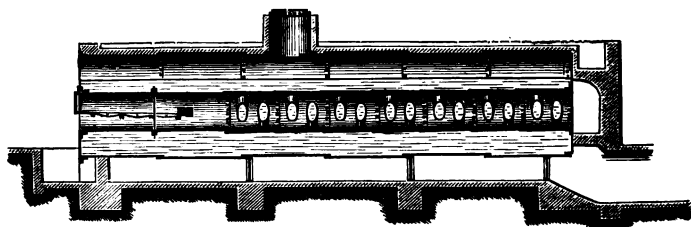


Fig. 971. **Galloway-Kessel mit Innerer Feuerung.*)**

Die mit *) bez. Kessel sind von der Görlitzer Maschinenbau-Act.-Ges., Görlitz.

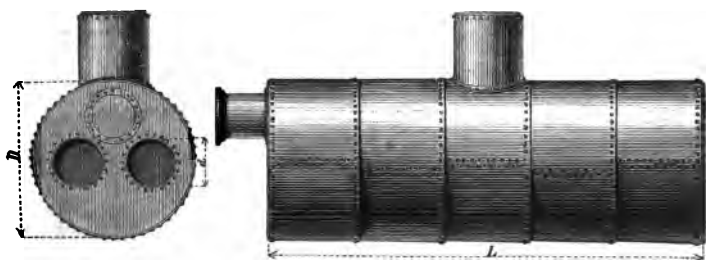


Fig. 972—973. **Cornwall-Kessel mit zwei Feuerrohren und aussen liegender Planrost- oder Treppenrost-Feuerung.*)**

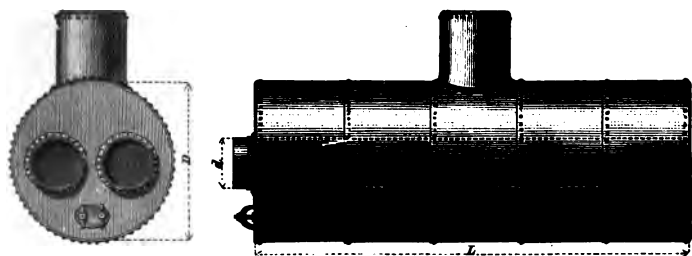


Fig. 974—975. **Cornwall-Kessel mit zwei Feuerrohren und innerer Feuerung.*)**



Fig. 976—977. **Röhrenkessel mit untenliegender Feuerung.*)**

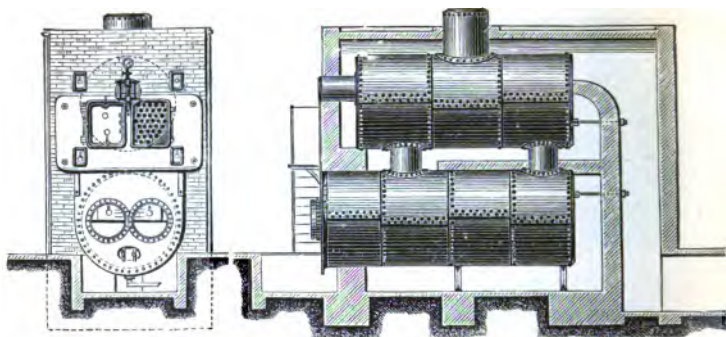


Fig. 978—979. **Combinierter Cornwall- und Röhrenkessel.*)**

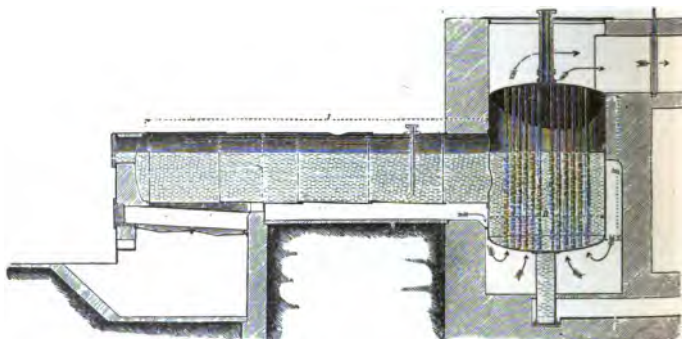


Fig. 980. **Röhrenkessel, System Dupuls.*)**

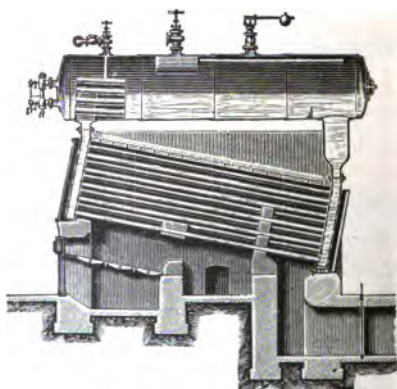


Fig. 981. **Wasser-Rohrkessel**
von Petry-Dereux, Düren (Rheinland).

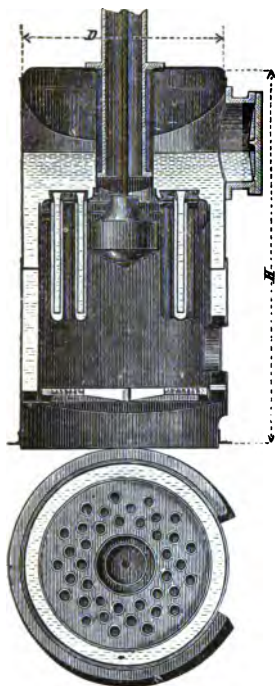


Fig. 982—983.
Field'scher Röhrenkessel.*)

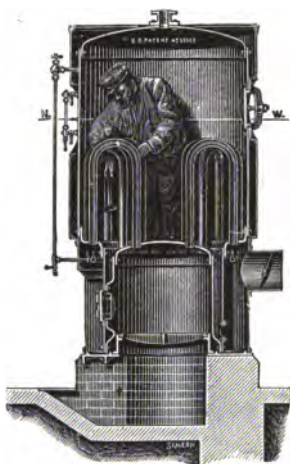
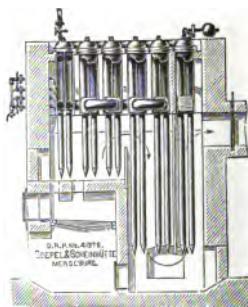
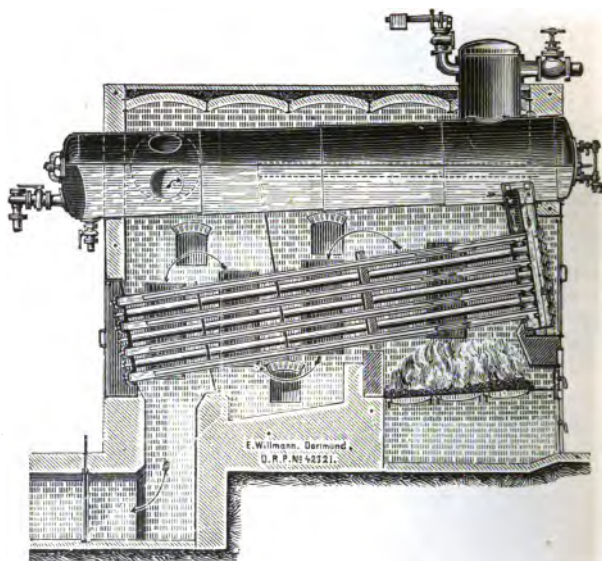


Fig. 984.
Röhrendampfkessel D. R.-P.
von Arndt & Marichal,
Aachen.



Fig. 985—986. **Cornwall-Kessel mit Pat.-Feuerrohr**
von Moritz Jahr, Gera (Reuss).

**Fig. 987. Willmann's Wasserröhren-Kessel D. R.-P.,
Wasser- und Dampfwege vollständig getrennt,
von E. Willmann, Dortmund.**



**Fig. 988. Batterie-Dampf-Erzeuger D. R.-P.
der Motorenfabrik Merseburg.**

Fig. 989. **Röhrendampfkessel**
von Dürr & Cie., Ratingen b. Düsseldorf.

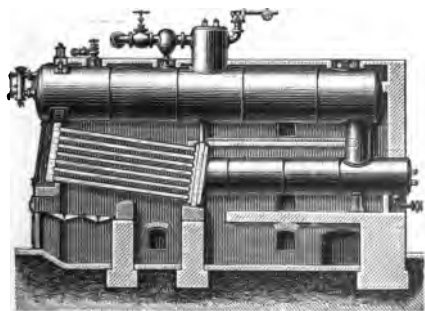
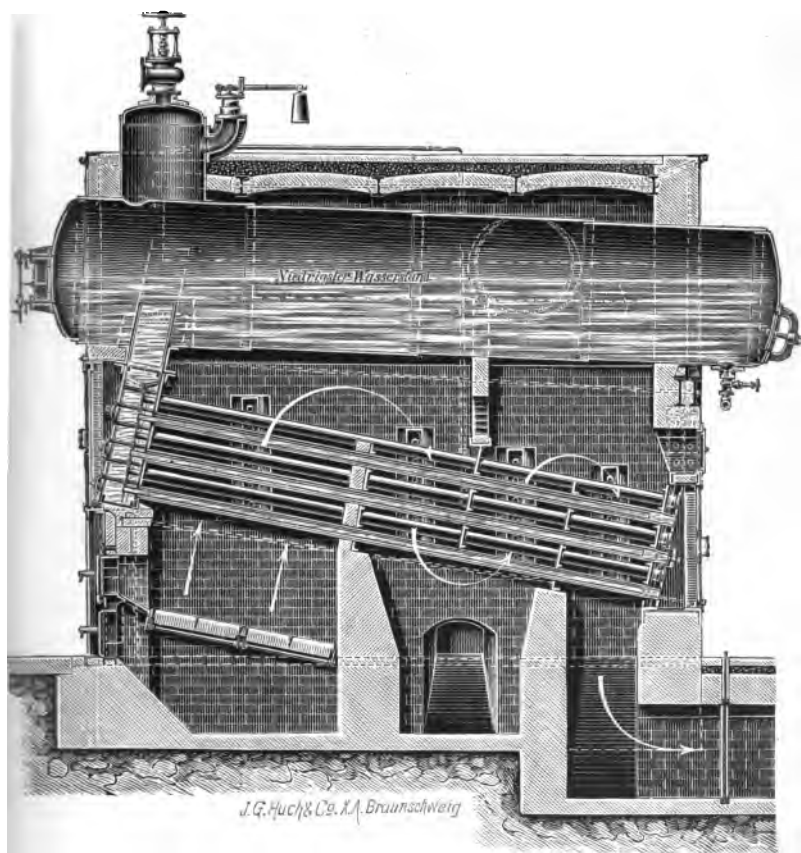


Fig. 990.
Circulations - Dampfkessel
D. R.-P.
von Petry-Dereux,
Düren (Rheinland).

Fig. 991—992.

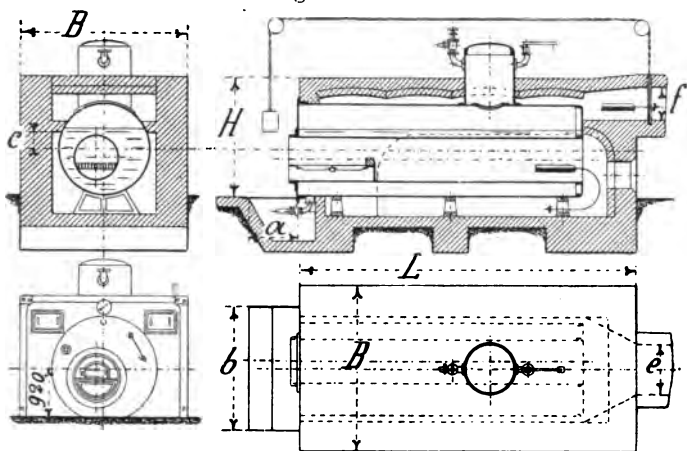


Cornwall-Kessel, Fig. 991—992, mit innen liegender Feuerung.

Tabelle 151.

Ne	Wasser- belegte Hei- fläche in qm	Rost			Kessel					
		qm	a	b	l	D	Flammrohr		Dom	
							Zahl	d	e	f
2	5	0,23	510	450	1850	1000	1	450	470	600
4	9	0,35	700	510	2850	1150	1	510	550	680
6	13	0,47	875	540	3750	1200	1	540	600	740
8	16	0,56	970	580	4300	1255	1	580	630	770
10	20	0,67	1070	630	4850	1300	1	630	650	800
15	28	0,87	1200	750	6000	1450	1	750	700	850
20	34	1,19	1040	2 × 580	5650	1725	2	580	785	940
25	40	1,30	1100	2 × 580	6400	1725	2	580	785	940
30	48	1,50	1200	2 × 630	7000	1800	2	630	800	980
35	56	1,75	1400	2 × 630	8150	1800	2	630	800	980
40	64	2,00	1470	2 × 680	8750	1900	2	680	850	1050
45	72	2,25	1500	2 × 750	9400	2100	2	750	900	1100
50	80	2,50	1670	2 × 750	10000	2100	2	750	900	1100

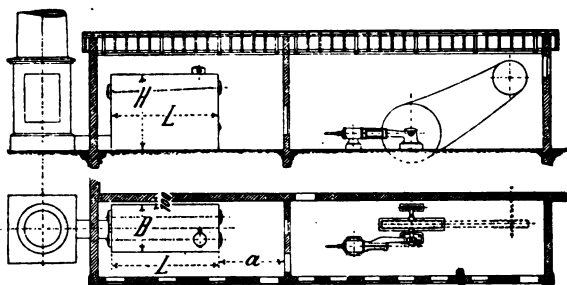
Fig. 993—996.



Kessel-Einmauerung, Fig. 993—996, (zum Kessel Fig. 991—992).

Tabelle 152.[illegible]

Fig. 997—998.



Ungefährer Raumbedarf der Circulations-Röhrenkessel,

Fig. 997—998.

Tabelle 153.

Pferdekr.	Heizfl.				
N_e	qm	a	L	B	H
6	9	2,6	3,2	1,5	3,4
8	12	2,7	3,5	1,6	3,5
10	15	2,8	3,8	1,7	3,6
15	23	2,9	4,1	1,8	3,7
20	30	3,0	4,4	1,9	3,8
25	38	3,1	4,7	2,0	3,9
30	45	3,2	5,0	2,1	4,0
35	53	3,3	5,2	2,2	4,1
40	60	3,4	5,4	2,3	4,2
45	68	3,5	5,6	2,4	4,3
50	75	3,6	5,8	2,5	4,4
60	90	3,7	6,0	2,6	4,5
70	105	3,8	6,1	2,7	4,6
80	120	3,9	6,2	2,8	4,7
90	135	4,0	6,3	2,9	4,8
100	150	4,1	6,4	3,0	4,9
125	188	4,2	6,5	3,2	5,0
150	225	4,3	6,6	3,5	5,2
175	263	4,4	6,7	3,7	5,4
200	300	4,5	6,8	3,9	5,6

Maasse sind in Meter angegeben.

Das Maass a , die Entfernung von der Feuerung bis zur Wand, gilt auch für Cornwall-Kessel.

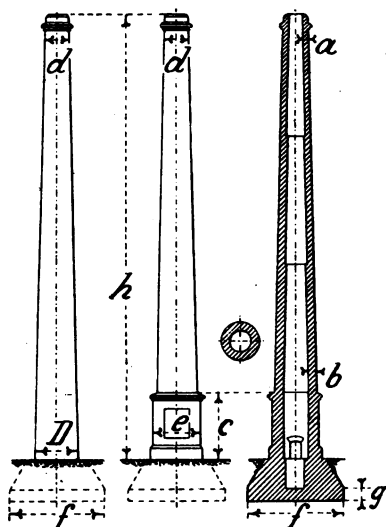


Fig. 999—1002.

Schornsteine für normale Verhältnisse. Fig. 999—1002.

Tabelle 154.

N_e	Heizfl. qm	in m h	d	D	a	b	c	e	f	g
10	20	16	900	1550	200	300	3000	1750	2100	600
15	28	18	950	1700	200	320	3500	1950	2600	650
25	40	22	1000	1950	200	350	4000	2250	3100	700
40	64	30	1100	2350	200	420	4500	2700	4500	750
55	88	35	1200	2700	200	460	5000	3100	5000	800
75	110	38	1300	2950	200	500	5500	3450	5400	850
90	130	40	1400	3300	200	540	5700	3900	5700	900
110	160	42	1500	3600	200	580	6000	4250	6000	950

Der obere lichte Durchmesser ist $= d - 2a$. Bei gelochten Formsteinen wird die Wandstärke $= \frac{3}{4}a$ resp. $\frac{3}{4}b$.

Exact-Deflectoren. Fig. 1003 — 1004.

Keidel & Co., Berlin W.



Fig. 1003.



Fig. 1004.

Allgemeine polizeiliche Bestimmungen über die Anlegung von Dampfkesseln.

I. Bau der Dampfkessel.

§ 1. Die vom Feuer berührten Wandungen der Dampfkessel, der Feuerröhren und der Siederöhren dürfen nicht aus Gusseisen hergestellt werden, sofern deren lichte Weite bei cylindrischer Gestalt 25 Centimeter, bei Kugelgestalt 40 Centimeter übersteigt.

Die Verwendung von Messingblech ist nur für Feuerröhren, deren lichte Weite 10 Centimeter nicht übersteigt, gestattet.

§ 2. Die um oder durch einen Dampfkessel gehenden Feuerzüge müssen an ihrer höchsten Stelle in einem Abstände von mindestens 10 Centimeter unter dem festgesetzten niedrigsten Wasserspiegel des Kessels liegen. Bei Dampfschiffskesseln von 1 bis 2 Meter Breite muss der Abstand mindestens 15 Centimeter, bei solchen von grösserer Breite mindestens 25 Centimeter betragen.

Diese Bestimmungen finden keine Anwendung auf Dampfkessel, welche aus Siederöhren von weniger als 10 Centimeter Weite bestehen, sowie auf solche Feuerzüge, in welchen ein Erglühen des mit dem Dampf- raume in Berührung stehenden Theiles der Wandungen nicht zu befürchten ist. Die Gefahr des Erglühens ist in der Regel als ausgeschlossen zu betrachten, wenn die vom Wasser bespülte Kesselfläche, welche von dem Feuer vor Erreichung der vom Dampfe bespülten Kesselfläche bestrichen wird, bei natürlichem Luftzuge mindestens zwanzigmal, bei künstlichem Luftzuge mindestens vierzigmal so gross ist, als die Fläche des Feuerrostes.

II. Ausrüstung der Dampfkessel.

§ 3. An jedem Dampfkessel muss ein Speiseventil angebracht sein, welches bei Abstellung der Speisevorrichtung durch den Druck des Kesselwassers geschlossen wird.

§ 4. Jeder Dampfkessel muss mit zwei zuverlässigen Vorrichtungen zur Speisung versehen sein, welche nicht von derselben Betriebsvorrich-

tung abhängig sind, und von denen jede für sich imstande ist, dem Kessel die zur Speisung erforderliche Wassermenge zuzuführen. Mehrere zu einem Betriebe vereinigte Dampfkessel werden hierbei als ein Kessel angesehen.

§ 5. Jeder Dampfkessel muss mit einem Wasserstandsglase und mit einer zweiten geeigneten Vorrichtung zur Erkennung seines Wasserstandes versehen sein. Jede dieser Vorrichtungen muss eine gesonderte Verbindung mit dem Innern des Kessels haben, es sei denn, dass die gemeinschaftliche Verbindung durch ein Rohr von mindestens 60 Quadratcentimeter lichtem Querschnitt hergestellt ist.

§ 6. Werden Probirhähne zur Anwendung gebracht, so ist der unterste derselben in der Ebene des festgesetzten niedrigsten Wasserstandes anzubringen. Alle Probirhähne müssen so eingerichtet sein, dass man behufs Entfernung von Kesselstein in gerader Richtung hindurchstossen kann.

§ 7. Der für den Dampfkessel festgesetzte niedrigste Wasserstand ist an dem Wasserstandsglase, sowie an der Kesselwandung oder dem Kesselmauerwerke durch eine in die Augen fallende Marke zu bezeichnen.

§ 8. Jeder Dampfkessel muss mit wenigstens einem zuverlässigen Sicherheitsventile versehen sein.

Wenn mehrere Kessel einen gemeinsamen Dampfsammler haben, von welchem sie nicht einzeln abgesperrt werden können, so genügen für dieselben zwei Sicherheitsventile.

Dampfschiffs-, Locomobil- und Locomotivkessel müssen immer mindestens zwei Sicherheitsventile haben. Bei Dampfschiffskesseln, mit Ausschluss derjenigen auf Seeschiffen, ist dem einen Ventile eine solche Stellung zu geben, dass die vorgeschriebene Belastung vom Verdeck aus mit Leichtigkeit untersucht werden kann.

Die Sicherheitsventile müssen jederzeit gelüftet werden können. Sie sind höchstens so zu belasten, dass sie bei Eintritt der für den Kessel festgesetzten Dampfspannung den Dampf entweichen lassen.

§ 9. An jedem Dampfkessel muss ein zuverlässiges Manometer angebracht sein, an welchem die festgesetzte höchste Dampfspannung durch eine in die Augen fallende Marke zu bezeichnen ist.

An Dampfschiffskesseln müssen zwei dergleichen Manometer angebracht werden, von denen sich das eine im Gesichtskreise des Kesselwärters, das andere, mit Ausnahme der Seeschiffe, auf dem Verdecke an einer für die Beobachtung bequemen Stelle befindet. Sind auf einem Dampfschiffe mehrere Kessel vorhanden, deren Dampf Räume mit einander in Verbindung stehen, so genügt es, wenn ausser den an den einzelnen Kesseln befindlichen Manometern auf dem Verdecke ein Manometer angebracht ist.

§ 10. An jedem Dampfkessel muss die festgesetzte höchste Dampfspannung, der Name des Fabrikanten, die laufende Fabriknummer und das Jahr der Anfertigung in leicht erkennbarer und dauerhafter Weise angegeben sein.

III. Prüfung der Kessel.

§ 11. Jeder neu aufzustellende Dampfkessel muss nach seiner letzten Zusammensetzung vor der Einmauerung oder Ummantelung unter Verschluss sämtlicher Öffnungen mit Wasserdruck geprüft werden.

Die Prüfung erfolgt bei Dampfkesseln, welche für eine Dampfspannung von nicht mehr als fünf Atmosphären Überdruck bestimmt sind, mit dem zweifachen Betrage des beabsichtigten Überdrucks, bei allen übrigen Dampfkesseln mit einem Drucke, welcher den beabsichtigten Überdruck um fünf Atmosphären übersteigt. Unter Atmosphärendruck wird ein Druck von einem Kilogramm auf den Quadratcentimeter verstanden.

Die Kesselwandungen müssen dem Probedruck widerstehen, ohne eine bleibende Veränderung ihrer Form zu zeigen und ohne undicht zu werden. Sie sind für undicht zu erachten, wenn das Wasser bei dem höchsten Drucke in anderer Form als der von Nebel oder feinen Perlen durch die Fugen dringt.

§ 12. Wenn Dampfkessel eine Ausbesserung in der Kesselfabrik erfahren haben, oder wenn sie behufs der Ausbesserung an der Betriebsstätte blossgelegt worden sind, so müssen sie in gleicher Weise, wie neu aufzustellende Kessel, der Prüfung mittelst Wasserdrucks unterworfen werden.

Wenn bei Kesseln mit innerem Feuerrohr ein solches Rohr, und bei den nach Art der Locomotivkessel gebauten Kesseln die Feuerbüchse

behufs Ausbesserung oder Erneuerung herausgenommen oder, wenn bei cylindrischen und Siederkesseln eine oder mehrere Platten neu eingezogen werden, so ist nach der Ausbesserung oder Erneuerung ebenfalls die Prüfung mittelst Wasserdrucks vorzunehmen. Der völligen Blosslegung des Kessels bedarf es hier nicht.

§ 18. Der bei der Prüfung ausgeübte Druck darf nur durch ein genügend hohes offenes Quecksilbermanometer oder durch das von dem prüfenden Beamten geführte amtliche Manometer festgestellt werden.

An jedem Dampfkessel muss sich eine Einrichtung befinden, welche dem prüfenden Beamten die Anbringung des amtlichen Manometers gestattet.

IV. Aufstellung der Dampfkessel.

§ 14. Dampfkessel, welche für mehr als vier Atmosphären Überdruck bestimmt sind, und solche, bei welchen das Product aus der feuerberührten Fläche in Quadratmetern und der Dampfspannung in Atmosphären-Überdruck mehr als zwanzig beträgt, dürfen unter Räumen, in welchen Menschen sich aufzuhalten pflegen, nicht aufgestellt werden. Innerhalb solcher Räume ist ihre Aufstellung unzulässig, wenn dieselben überwölbt, oder mit fester Balkendecke versehen sind.

An jedem Dampfkessel, welcher unter Räumen, in welchen Menschen sich aufzuhalten pflegen, aufgestellt wird, muss die Feuerung so eingerichtet sein, dass die Einwirkung des Feuers auf den Kessel sofort gehemmt werden kann.

Dampfkessel, welche aus Siederöhren von weniger als 10 Centimeter Weite bestehen, und solche, welche in Bergwerken unterirdisch oder in Schiffen aufgestellt werden, unterliegen diesen Bestimmungen nicht.

§ 15. Zwischen dem Mauerwerke, welches den Feuerraum und die Feuerzüge feststehender Dampfkessel einschliesst, und den dasselbe umgebenden Wänden muss ein Zwischenraum von mindestens 8 Centimeter verbleiben, welcher oben abgedeckt und an den Enden verschlossen werden darf.

V. Allgemeine Bestimmungen.

§ 16. Wenn Dampfkesselanlagen, die sich zur Zeit bereits im Betriebe befinden, den vorstehenden Bestimmungen aber nicht entsprechen, eine Veränderung der Betriebsstätte erfahren sollen, so kann bei deren Genehmigung eine Abänderung in dem Baue der Kessel nach Maassgabe der §§ 1 und 2 nicht gefordert werden. Dagegen finden im übrigen die vorstehenden Bestimmungen auch für solche Fälle Anwendung.

§ 17. Die Centralbehörden der einzelnen Bundesstaaten sind befugt, in einzelnen Fällen von der Beachtung der vorstehenden Bestimmungen zu entbinden.

§ 18. Die vorstehenden Bestimmungen finden keine Anwendung:

1. auf Kochgefässe, in welchen mittelst Dampfes, der einem anderweitigen Dampftwickler entnommen ist, gekocht wird;
2. auf Dampfüberhitzer oder Behälter, in welchem Dampf, der einem anderweitigen Dampftwickler entnommen ist, durch Einwirkung von Feuer besonders erhitzt wird;
3. auf Kochkessel, in welchen Dampf aus Wasser durch Einwirkung von Feuer erzeugt wird, sofern dieselben mit der Atmosphäre durch ein unverschlissbares, in den Wasserraum hinabreichendes Standrohr von nicht über 5 Meter Höhe und mindestens 8 Centimeter Weite verbunden sind.

§ 19. In Bezug auf die Kessel in Eisenbahnlocomotiven bleiben auch ferner noch die Bestimmungen des Bahnpolizeireglements für Eisenbahnen vom 3. Juni 1870 in Geltung.

Berlin, den 29. Mai 1871.

Der Reichskanzler.

In Vertretung:

(gez.) Delbrück.

Auszug aus den Verordnungen vom 24. Juni 1872.

Alle zwei Jahre soll eine äussere und alle sechs Jahre eine innere Untersuchung der Kessel stattfinden. Erstere umfasst die Vorrichtungen zum Speisen, zur Erkennung des Wasserstandes, zur Regelung und Absperrung des Zuges und zur Erkennung des Dampfdruckes. Zu untersuchen sind ferner: Zustand der Sicherheitsventile, sowie der ganzen Feuerungsanlage; auch ist zu prüfen, ob der Kesselwärter die zur Sicherheit des Betriebes vorhandenen Vorrichtungen und deren Behandlung kennt.

Bei der innern Untersuchung ist der Kessel kalt zu legen. Sie erstreckt sich auf den Zustand der ganzen Kesselanlage, innen und aussen und ist mit einer Wasserdruckprobe verbunden. Sofern die Untersuchung es nötig macht, ist Mauerwerk oder sonstige Umhüllung des Kessels teilweise oder ganz zu entfernen. — Erhebliche Unregelmässigkeiten ermächtigen den Beamten zur Wiederholung der Untersuchung im folgenden Jahre. Werden Gefahr bringende Mängel nicht beseitigt, findet eine neue Untersuchung nach Ablauf der Frist zur Beseitigung der Mängel statt.

Die äussere Revision erfolgt ohne vorherige Anzeige; die innere wird mindestens vier Wochen vorher angemeldet und möglichst mit dem Kesselbesitzer vereinbart.

Bewegliche Kessel sind im Laufe des Revisionsjahrs nach erfolgter Aufforderung an einem beliebigen Orte des Revisionsbezirks zur Untersuchung bereit zu stellen.

Dampfschiffskessel sollen vor dem Beginn der Fahrperiode untersucht und im Betriebe nicht gestört werden.

Stellt man einen Kessel zur Untersuchung nicht bereit, so ist dessen Betrieb bis auf Weiteres still zu legen.

Der Kesselbesitzer hat die zur Untersuchung nöthige Hülfe unentgeltlich zu beschaffen.

Für jeden Kessel ist ein Revisionsbuch zur Eintragung des Befundes der Untersuchung zu halten. — Für Abstellung der entdeckten Mängel hat die Polizei zu sorgen.

Die äussere Untersuchung kostet 15 M. für einen oder den ersten Kessel, für folgende nur halb so viel, falls deren Untersuchung in dasselbe Jahr fällt, was im Allgemeinen geschehen soll.



Inhaltsverzeichnis

zu Abschnitt XII.

	Seite
Der Leitungswiderstand	321
Tabelle der Werte des Leitungswiderstandes resp. Spannungsabfalles	321
Beispiel	321
Die Dampfcondensation in der Rohrleitung	322
Beispiel mit Tabelle der Vergleichswerte zur Ermittlung der günstigsten Dampfgeschwindigkeit	322—323
Wasserabscheider und Wasserableiter	323
Rohrleitungs-Umhüllung und Preistabelle	323
Wasserabscheider :	
J. Losenhausen	324
Bopp & Reuter	324
Fainholzer Wasserabscheider	324
Aug. C. Funcke	324
Condensationswasserableiter :	
J. Losenhausen	325
Fainholzer Condenstopf	325
Maschinen- und Armaturfabrik Frankenthal	325
" " Magdeburg	325
C. W. Jul. Blanke & Cie.	325
Raumbedarf und Preise der Wasserabscheider und Wasserableiter mit Tabelle	326
Condensationswasserhahn am Absperrventil	326
Ausdehnung der Rohrleitungen	327
Federrohre und Krümmer aus Kupfer mit Tabelle	327
Normal-Tabelle für gusseiserne Flantschenröhren	328—329
Flantschenverbindungen für schmiedeeiserne Rohre	330
Tabelle der Wandstärken für Kupferrohre	331
Kostenvoranschlag für Frischdampfleitungen mit Tabelle	331
Abdampfleitung und Wasserabscheider auf Auspuffrohr	332
Rohrleitung und Speisevorrichtungen zum Kessel	332
Tabelle der Durchmesser der Speiseleitungen	332
Vorwärmer der Eisenhütte Prinz Rudolf, Dülmen mit Tabelle	333
Verfahren zum Reinigen von Kesselspeisewasser :	
A. L. G. Dehne	334
E. Kreis	335
Grimme, Natalis & Co.	335
Maschinen- und Armaturfabrik Frankenthal	336
Verfahren zum Reinigen der Kessel :	
Zirnité & Hasse	336—337
Martin van Look	337



Abschnitt XII.

Rohrleitung und Armaturen.

a. Frischdampfleitung. Der Leitungswiderstand.

Bedeutet:

z den Leitungswiderstand in kg auf 1 qcm Rohrquerschnitt,
 γ die Dampfdichte, Gewicht eines cbm Dampfes in kg,
 l die Länge der Leitung in m,
 d den Durchmesser der Leitung in m,
 u die Dampfgeschwindigkeit in m pro Sec.,
 so ist nach Prof. Fischer:*)

$$z = \frac{0,0015 \cdot \gamma \cdot \frac{l}{d} \cdot u^2}{10000}$$

Die Richtigkeit dieser Formel wird bestätigt durch Versuche des Prof. Gutermuth.*) Mit Hülfe der obigen Formel ist nachstehende Tabelle berechnet.

Werte des Leitungswiderstandes resp. des Spannungs-Abfalles z

in kg pro qcm oder At. für $\frac{l}{d} = 100$.

Tabelle 155.

Dampf- überdruck p in At.	Dampfgeschwindigkeit u in m pro Sec.								
	10	15	20	25	30	40	50	75	100
1	0,002	0,004	0,007	0,010	0,015	0,027	0,04	0,092	0,16
3	0,003	0,007	0,013	0,020	0,029	0,052	0,08	0,18	0,32
5	0,005	0,010	0,019	0,030	0,043	0,076	0,12	0,26	0,47
7	0,006	0,014	0,025	0,039	0,056	0,100	0,15	0,35	0,62
9	0,008	0,017	0,030	0,048	0,070	0,124	0,20	0,43	0,76
14	0,012	0,025	0,045	0,070	0,100	0,180	0,28	0,63	1,12

Beispiel: Eine Dampfmaschine sei vom Kessel $l = 60$ m entfernt, der lichte Durchm. der Dampfleitung betrage $d = 0,15$ m,

also $\frac{l}{d} = \frac{60}{0,15} = 400$,

die Dampfgeschwindigkeit sei $u = 30$ m,
 der Dampfüberdruck im Kessel $p = 7$ At.,

für $\frac{l}{d} = 100$ ist der Druckverlust nach Tabelle . $z = 0,056$ At..

also für $\frac{l}{d} = 400$ ist der Druckverlust $z = \frac{400}{100} \cdot 0,056 = 0,224$ At.

Bei Annahme von $u = 75$ m Dampfgeschw. wäre $z = 0,35 \cdot \frac{400}{100} = 1,4$ At.

*) S. Zeitschr. d. Ver. deutsch. Ing. 1887, Seite 718 u. 749.

Die Dampf-Condensation in der Rohrleitung.

Die **Wasserbildung** infolge äusserer Abkühlung ist nach Prof. Gutermuth wesentlich von der Zeit abhängig, unabhängig jedoch von der Geschwindigkeit und Masse des durch die Leitung strömenden Dampfes. Es wird daher dieser Verlust relativ zu des pro Zeiteinheit durch die Leitung gehenden Dampfes um so **kleiner**, je **grösser** die Geschwindigkeit des letzteren ist. Mit dieser Zunahme der Geschwindigkeit wächst jedoch anderseits der **Spannungs-Abfall**. Es muss deshalb für eine bestimmte herzuleitende Dampfmenge eine Geschwindigkeit geben, bei welcher der Arbeitsverlust durch Spannungsabfall und Dampfcondensation ein Minimum wird.

Bei einer **gut umhüllten Rohrleitung** kann man pro qm Innen-Rohrfläche und Stunde ca. 1,5 kg Condensationswasser annehmen, und lässt sich dann mit Hülfe von Tabelle 156 für einen bestimmten Fall die günstigste Dampfgeschwindigkeit bestimmen.

* **Beispiel:** Eine Dampfmaschine für 5 At. Überdruck hat $D = 50$ cm Cylinderdurchm., $c = 2,0$ m Kolbengeschwindigkeit pro Sec., so wäre die bei voller Cylinderfüllung durch die Leitung strömende Dampfmenge:

$$Q = 0,502 \frac{\pi}{4} \cdot 2,0 = \sim 0,39 \text{ cbm} = 0,39 \cdot 3,23 = 1,26 \text{ kg pro Sec.}$$

Die Länge der Rohrleitung betrage **150 m**, und es soll der günstigste Rohrdurchm. bestimmt werden.

Vorerst sei angenommen:

Dampfgeschwindigkeit $u = 15$ m, dann ist:

$$\begin{aligned} \text{der Rohrquerschnitt} & \dots \dots \dots d^2 \frac{\pi}{4} = \frac{0,39}{15} = 0,026 \text{ qm,} \\ \text{daraus} & \dots \dots \dots d = \dots \dots \dots 0,180 \text{ m,} \\ \text{also} & \dots \dots \dots \frac{l}{d} = \frac{150}{0,180} = 833. \end{aligned}$$

Druckverlust pro $\frac{l}{d} = 100$ n. Tab. 155 $z = 0,01$ At.,

$$" \quad " \quad \frac{l}{d} = 833 \dots \dots \dots z_s = 0,01 \cdot \frac{833}{100} = 0,0833 \text{ At.}$$

Dampfverlust durch Spannungsabfall in kg pro Stunde:

$$V_s = d^2 \frac{\pi}{4} u \frac{z_s}{p} \gamma \cdot 3600 = 0,026 \cdot 15 \cdot \frac{0,083}{6} \cdot 3,23 \cdot 3600 = 62,5 \text{ kg.}$$

Ganze Rohr-Innenfläche $\cdot d \pi l = 0,180 \cdot \pi \cdot 150 = \sim 85$ qm,

Condensationswasser pr. St. $V_c = 1,5 \cdot 85 = 127,5$ kg,

Also **Gesamtverlust** $\dots \dots V_g = V_s + V_c = 62,5 + 127,5 = 190$ kg,

Verlust in Prozenten der durchströmenden Dampfmenge

$$\frac{190 \cdot 100}{1,26 \cdot 3600} = 4,2\%$$

* Beispiel unrichtig s. Nachtrag S. 406.

Nun rechnet man noch für andere Dampfgeschwindigkeiten die Verluste und entwirft ein Schema, Tabelle 156.

Vergleichswerte zur Ermittlung der günstigsten Dampfgeschwindigkeit, für das vorstehende Beispiel.

Tabelle 156.

u	$d^2 \frac{\pi}{4}$	d	$\frac{l}{d}$	z	z_s	V_s	f	V_c	V_g	Gesamt-Dampf-Verlust in Prozent	Kosten der Leitung Mark
5	0,079	0,310	485	0,003	0,014	10,3	146	220	230	5,1	10000
10	0,039	0,225	670	0,005	0,035	26,5	106	159	185,5	4,05	7000
15	0,026	0,180	833	0,01	0,083	62,5	85	127,5	190	4,2	5000
20	0,0195	0,155	970	0,019	0,182	136	73	110	246	5,4	4000
25	0,0156	0,14	1070	0,03	0,310	234	66	99	333	7,3	3500
30	0,0112	0,12	1250	0,06	0,750	570	56	84	654	14,4	3000

Obige Tabelle zeigt, dass für das vorstehende Beispiel das **Minimum der Verluste** (volle Cylinderfüllung) zwischen 10 und 15 m Dampfgeschwindigkeit eintreten wird. Je nachdem nun auch der Kostenpunkt der Leitung mitspricht, wird man sich für $u = 20$ bis 25 m entsprechend 5,4 bis 7,3% Gesamt-Verlust entscheiden. Handelt es sich um eine **Expansionsmaschine** von $\frac{1}{4}$ Füllung, so wird der Verlust V_s ca. nur $\frac{1}{4}$ so gross. V_c dagegen behält seine Grösse. Es würde in diesem Falle, für $u = 25$ m, $V_g = \frac{V_s}{4} + V_c = \sim 160$ kg, in Prozenten der bei $\frac{1}{4}$ Füllung

durchgehenden Dampfmenge also: $\frac{160 \cdot 4 \cdot 100}{1,26 \cdot 3600} = 14,1\%$. Die günstigste Dampfgeschwindigkeit wird wie oben ermittelt.

Wasserabscheider und Wasserableiter.

Die **Frischdampf-Rohrleitung** ist vom Kessel aus mit etwas Gefälle nach der Maschine zu legen, und am tiefsten Punkt entweder ein **Wasserabscheider** und ein selbstthätiger **Condenswasser-Abieler**, oder nur ein **Wasserableiter**, welcher direct mit der Rohrleitung verbunden wird, anzubringen.

Auf sehr **gute Umhüllung** der Rohrleitung ist immer Rücksicht zu nehmen, die ungefähren Preise einer solchen sind in Tabelle 157. enthalten.

Preisüberschlag einer guten Umhüllung der Dampfrohre in Mk. pro lfd. Meter.

Tabelle 157.

Rohrdrchm. . . . mm	40	60	80	100	125	150	200
Preis pro lfd. m . Mk.	2,00	2,30	2,60	2,90	3,10	3,50	4,00
Rohrdrchm. . . . mm	250	300	350	400	450	500	600
Preis pro lfd. m . Mk.	4,50	5,00	6,00	7,00	8,00	9,00	10,00

Wasserabscheider. Fig. 1005—1009.

Fig. 1005. D. R.-P.
J. Losenhausen, Düsseldorf.

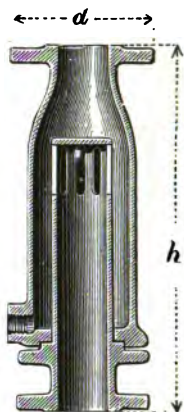
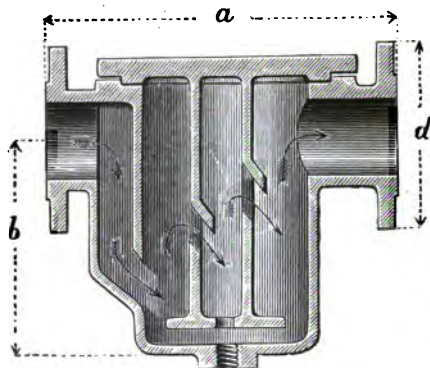


Fig. 1006. D. R.-P.
J. Losenhausen, Düsseldorf.

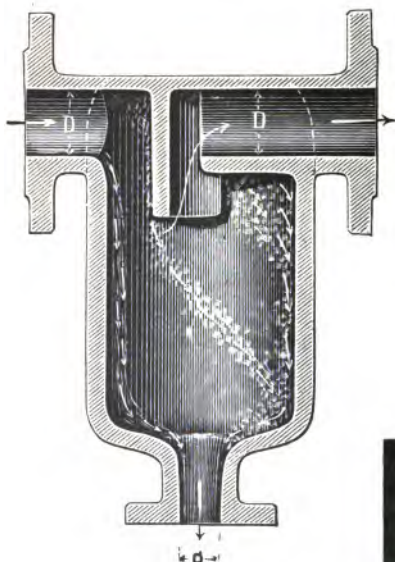


Fig. 1007.
Bopp & Reuter,
Mannheim.

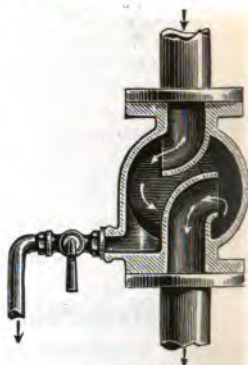


Fig. 1008.
Hannoversche
Centralheizungs- und
Apparate-Bau-Anstalt
Hainholz b. Hannover.



Fig. 1009.
Aug. C. Funcke, Hagen.

Condensationswasser-Ableiter. Fig. 1010—1015.



Fig. 1010. D. R.-P.
J. Losenhausen, Düsseldorf.

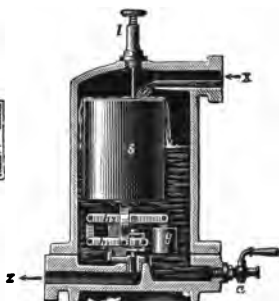


Fig. 1011. Pat. Bolze.
Hainholzer Condensstopf.

Fig. 1012. D. R.-P.
Maschinen- und Armatur-
Fabrik, Frankenthal.

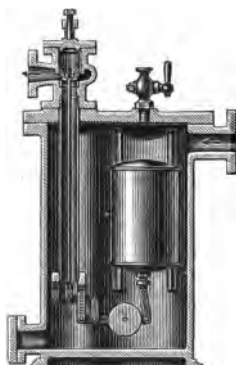
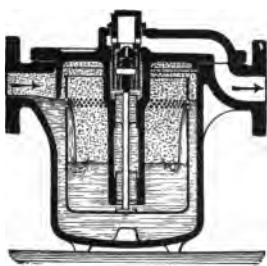


Fig. 1013. D. R.-P.
Maschinen- und Armatur-
Fabrik, Magdeburg.

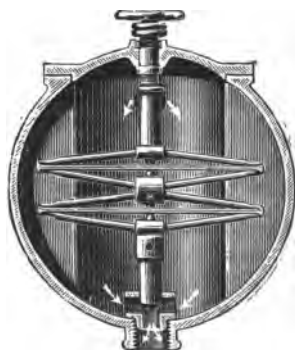


Fig. 1014—1015. Pat. Kuhlmann.
C. W. Julius Blanche & Co., Merseburg.

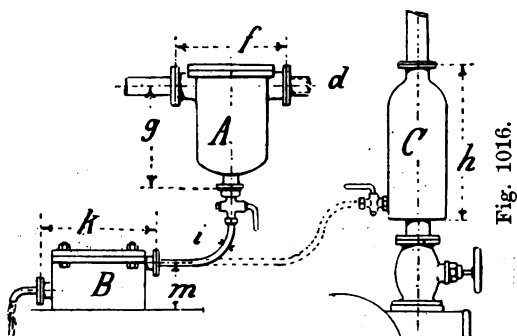


Fig. 1016.

Ungefährer Raumbedarf und Preise der Wasserabscheider und Condenswasser-Ableiter.

Tabelle 158.

d Rohrdrehm. mm	40	50	60	70	80	90	100	125	150	200
f . . . "	300	300	300	350	400	400	500	550	600	700
g . . . "	180	180	180	200	230	260	300	350	400	500
i . . . "	15	15	20	20	25	25	25	30	30	35
k . . . "	130	130	140	150	160	170	180	200	250	300
m . . . "	80	80	85	85	90	100	110	130	150	170
Preis A Mk.	25	30	40	50	60	70	80	110	150	200
" B "	30	30	40	40	50	50	60	70	80	90
h . . . mm	400	450	500	525	550	600	700	800	900	1100
Preis C Mk.	25	25	30	35	40	50	60	90	110	150

In Tab. 158 ist der Preis A für einen Wasser-Abscheider mit mehreren Scheidewänden wie z. B. Fig. 1005 angenommen, Abscheider mit keiner oder nur einer Scheidewand kosten etwa die Hälfte.

Bei kürzeren Leitungen kleinerer Dampfanlagen, welche vertikal in den Schieberkasten einmünden, begnügt man sich durch Anbringen eines **Condenshahnes** an das Absperrventil, Fig. 1017, und öffnet denselben, bevor das Ventil aufgedreht wird.

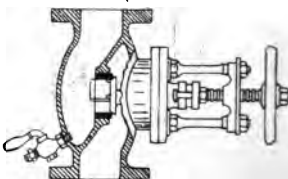


Fig. 1017.

Die Ausdehnung der Rohrleitungen.

Für die **Längenausdehnung** der Rohre kann pro lfd. m 1,3 mm angenommen werden, und müssen die Federrohre Fig. 1018 bei der Montage, um ca. $\frac{1}{8}$ der aus obigem sich ergebenden Längenausdehnung auseinander gespannt, eingeschaltet werden.

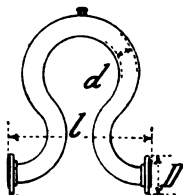


Fig. 1018.

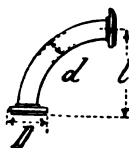


Fig. 1019.

Federrohre und Rohrkrümmer aus Kupfer für Dampfleitungen von 7 Atm. Überdruck.

Tabelle 159.

Rohr- drchm. <i>d</i> mm	Federrohre aus Kupfer				Knierohre aus Kupfer Fig. 1019		Flanschen abgedreht	
	für eine Längenausdehnung von						Äuss. Drchm.	Preis p. Paar
	50 mm		100 mm				<i>D</i>	
	<i>l</i>	Preis Mk.	<i>l</i>	Preis Mk.	<i>l</i>	Preis Mk.		Mk.
40	500	20	500	20	140	4	150	4
50	500	25	500	30	150	5	160	4
60	500	30	600	40	160	6	175	5
70	600	40	600	50	170	7	185	5
80	600	50	700	60	180	8,5	200	6
90	750	70	700	80	190	11	215	7
100	750	90	800	110	200	15	230	8
125	750	120	800	150	225	20	260	11
150	1000	160	1000	200	250	28	290	13
175	1000	200	1000	270	275	35	320	16
200	1000	250	1250	350	300	45	350	18
225	1250	300	1250	440	325	55	370	19
250	1250	360	1500	540	350	65	400	20
275	1250	430	1500	660	375	75	425	21
300	1250	520	1600	800	400	90	450	22

Normalien für gusseiserne

aufgestellt von dem Verein deutscher Ingenieure und

Tabelle

Lichter Durchm. d. Rohres D	Normale Wandstärke δ	Äußerer Durchm. d. Rohres D_1	Durchm. des Flansches D'	Dicke des Flansches d	Breite der Dichtungsleiste b	Höhe der Dichtungsleiste h	Lochkreisdurchmesser D''	Anzahl der Schrauben	Stärke der Schrauben s	Länge der Schrauben l	
mm	mm	mm	mm	mm	mm	mm	mm	Stück	mm	engl	mm
40	8	56	140	18	25	3	110	4	13	$1\frac{1}{2}$	70
50	8	66	160	18	25	3	125	4	15,5	$\frac{5}{8}$	75
60	8,5	77	175	19	25	3	135	4	15,5	$\frac{5}{8}$	75
70	8,5	87	185	19	25	3	145	4	15,5	$\frac{5}{8}$	75
80	9	98	200	20	25	3	160	4	15,5	$\frac{5}{8}$	75
90	9	108	215	20	25	3	170	4	15,5	$\frac{5}{8}$	75
100	9	118	230	20	28	3	180	4	19	$\frac{3}{4}$	85
125	9,5	144	260	21	28	3	210	4	19	$\frac{3}{4}$	85
150	10	170	290	22	28	3	240	6	19	$\frac{3}{4}$	85
175	10,5	196	320	22	30	3	270	6	19	$\frac{3}{4}$	85
200	11	222	350	23	30	3	300	6	19	$\frac{3}{4}$	85
225	11,5	248	370	23	30	3	320	6	19	$\frac{3}{4}$	85
250	12	274	400	24	30	3	350	8	19	$\frac{3}{4}$	100
275	12,5	300	425	25	30	3	375	8	19	$\frac{3}{4}$	100
300	13	326	450	25	30	3	400	8	19	$\frac{3}{4}$	100
325	13,5	352	490	26	35	4	435	10	22,5	$\frac{7}{8}$	105
350	14	378	520	26	35	4	465	10	22,5	$\frac{7}{8}$	105
375	14	403	550	27	35	4	495	10	22,5	$\frac{7}{8}$	105
400	14,5	429	575	27	35	4	520	10	22,5	$\frac{7}{8}$	105
425	14,5	454	600	28	35	4	545	12	22,5	$\frac{7}{8}$	105
450	15	480	630	28	35	4	570	12	22,5	$\frac{7}{8}$	105
475	15,5	506	655	29	40	4	600	12	22,5	$\frac{7}{8}$	105
500	16	532	680	30	40	4	625	12	22,5	$\frac{7}{8}$	105
550	16,5	583	740	33	40	5	675	14	26	1	120
600	17	634	790	33	40	5	725	16	26	1	120
650	18	686	840	33	40	5	775	18	26	1	120
700	19	738	900	33	40	5	830	18	26	1	120
750	20	790	950	33	40	5	880	20	26	1	120

n Mülheim a./d. Ruhr.

Flanschenröhren vom Jahre 1882,

dem deutschen Verein von Gas- und Wasserfachmännern.

160.

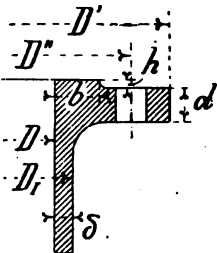
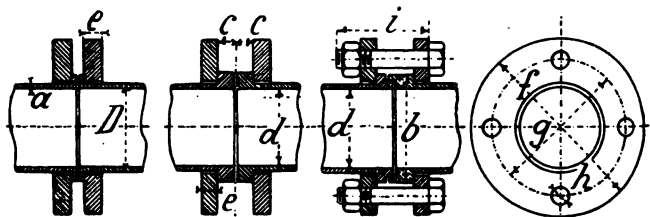
Durchm. des Schraubenlochs \varnothing	Übliche Baulänge	Gewicht eines glatten Rohrstücks von 1 m Länge	Gewicht eines Flansches nebst Anschluß	Gewicht eines Rohres von vorstehender Baulänge	Gewicht pro lauf. m bei vorstehender Baulänge		
mm	m	kg	kg	kg	kg		
15	2	8,75	1,89	21,28	10,64	Verstärkte Wanddicke δ	Gewicht eines Rohres von vorsteh. Baulänge, abgerundet
17	2	10,57	2,41	25,96	12,98		
17	3	13,26	2,96	45,70	15,23	mm	kg
17	3	15,20	3,21	52,02	17,34		
17	3	18,24	3,84	62,40	20,80	mm	kg
17	3	20,29	4,37	69,61	23,20		
21	3	22,34	4,96	76,94	25,65	10,5	108
21	3	29,10	6,26	99,82	33,27	11	135
21	3	36,44	7,69	124,70	41,57	11,5	163
21	3	44,36	8,96	151,00	50,33	12	194
21	3	52,86	10,71	180,00	60,00	13	231
21	3	61,95	11,02	207,89	69,30	14	358
21	4	71,61	12,98	312,40	78,10	14	394
21	4	81,85	14,41	356,22	89,06	15	456
21	4	92,68	15,32	401,36	100,34	16	529
25	4	104,08	19,48	455,28	113,82	16	570
25	4	116,07	21,29	506,86	126,72	17	646
25	4	124,04	24,29	544,74	136,19	18	725
25	4	136,89	25,44	598,44	149,61	18	770
25	4	145,15	27,64	635,88	158,97	19	858
25	4	158,87	29,89	695,26	173,82	20	950
25	4	173,17	32,41	757,50	189,38	21	1047
25	4	188,04	34,69	821,54	205,39	22	1213
28,5	4	212,90	44,28	940,16	235,04	23	1375
28,5	4	238,90	47,41	1050,42	262,61	24	1548
28,5	4	273,86	50,13	1195,70	298,93	25	1737
28,5	4	311,15	56,50	1357,60	339,40	26	1929
28,5	4	350,76	59,81	1522,66	380,67		

Fig. 1020.

Für Dampfdruckleitungen, welche Ausdehnungen und Zusammenziehungen durch Warm- und Kaltwerden ausgesetzt sind, ist es zu empfehlen, namentlich die Röhren von 125 mm l. W. an nach den beigedruckten verstärkten Wanddicken zu nehmen.

Fig. 1021—1024.



Flanschenverbindungen, Fig. 1021—1024,
für schmiedeeiserne Rohre.

Tabelle 161. mm.

<i>d</i>	<i>D</i>	<i>a</i>	<i>b</i>	<i>c</i>	<i>e</i>	<i>f</i>	<i>g</i>	<i>h</i>	<i>i</i>	
33,5	38	2,25	50	12	8	96	68	3	12	55
36,5	41,5	2,5	54	12	8	99	71	3	12	55
39,5	44,5	2,5	57	12	8	103	75	3	12	55
43,5	47,5	2,5	60	12	8	106	78	3	12	55
45,5	51	2,75	65	13	10	116	84	3	14	63
48,5	54	2,75	68	13	10	121	89	3	14	63
51,5	57	2,75	72	13	10	124	92	3	14	63
54	60	3	75	13	10	129	97	3	14	63
57,5	63,5	3	80	15	12	133	101	3	14	71
64	70	3	86	15	12	140	108	4	14	71
70	76	3	94	15	12	146	114	4	14	71
74	83	3,5	100	15	12	163	126	4	17	74
82	89	3,5	108	16	14	169	132	4	17	80
88	95	3,5	115	16	14	175	138	4	17	80
94,5	102	3,75	122	16	14	185	148	4	17	80
100,5	108	3,75	128	16	14	191	154	4	17	80
106,5	114	3,75	135	16	14	197	160	4	17	80
112,5	121	4,25	142	16	14	204	167	4	17	80
118,5	127	4,25	150	18	16	226	179	4	21	94
124,5	133	4,25	156	18	16	231	184	4	21	94
131	140	4,5	164	18	16	239	192	4	21	94
137	146	4,5	170	18	16	245	198	6	21	94
143	152	4,5	176	18	16	254	207	6	21	94
150	159	4,5	185	20	16	261	214	6	21	98
156	165	4,5	192	20	16	269	222	6	21	98
162	171	4,5	200	20	16	275	228	6	21	98
169	178	4,5	206	23	18	286	240	6	21	108
180	191	5,5	220	23	18	300	253	6	21	108
191	203	6	235	23	20	313	366	6	21	112

Wandstärken der Dampfleitungsrohre aus Kupfer.

Tabelle 162.

Lichter Bohr- Drehm.	Dampfüberdruck in At.										
	d	1	2	3	4	5	6	7	8	9	10
40	1,0	1,0	1,0	1,5	1,5	1,5	2,0	2,0	2,0	2,5	
50	"	"	1,5	"	"	2,0	"	"	2,5	"	
60	"	1,5	"	"	2,0	"	"	2,5	"	"	
70	1,5	"	"	2,0	"	"	2,5	"	"	3,0	
80	"	"	2,0	"	"	2,5	"	"	3,0	"	
90	"	2,0	"	"	2,5	"	"	3,0	"	"	
100	2,0	"	"	2,5	"	"	3,0	"	"	3,5	
125	"	"	2,5	"	"	3,0	"	"	3,5	"	
150	"	2,5	"	"	3,0	"	"	3,5	"	"	
175	2,5	"	"	3,0	"	"	3,5	"	"	4,0	
200	"	"	3,0	"	"	3,5	"	"	4,0	"	
225	"	3,0	"	"	3,5	"	"	4,0	"	5,0	
250	3,0	"	"	3,5	"	"	4,0	"	5,0	"	
275	"	"	3,5	"	"	4,0	"	5,0	"	"	
300	"	3,5	"	"	4,0	"	5,0	"	"	6,0	

Die **fettgedruckten** Wandstärken sind für Dampfüberdruck von 4—7 At. üblich.

Kosten-Voranschlag für Frischdampfleitung für 7 At. Druck pro lfd. m incl. Flansch (ohne Krümmung).

Tabelle 163.

Rohrdrehm d	40	60	80	100	125	150	200	250	300
Gusseisen . .	3	4	5	7	11	15	25	35	45
Schmiedeeisen	4	6	8	12	17	23	35	50	60
Kupfer . . .	7	12	17	23	35	45	70	95	120

Federrohre und Krümmer s. Tab. 159.

Beispiel: Eine Rohrleitung aus Kupfer hat 60 mm Drehm., ist 80 m lang und hat 8 Krümmer.

Nach Tab. 163 kostet die gerade Leitung $80 \cdot 12 = 960$ Mk.,

" " 159 kosten die 8 Krümmer $8 \cdot 6 = 48$ "

Summa 1008 Mk.

Die Umkleidung dazu würde nach Tab. 157 pro lfd. m 2,30 Mk. kosten.

b. Die Abdampfleitung.

Die **Dampfgeschwindigkeit** in der Abdampfleitung betrage im Maximum:

für Auspuffmaschinen

25 m pro Sec.,

für Condensationsmaschinen

20 m pro Sec.

Der in Fig. 1025 dargestellte **Wasserabscheider** von Aug. C. Funcke in Hagen für **Auspuff-Rohre** hat den Zweck, das Ausschleudern des condensierten Wassers, Oeles etc. zu verhindern.

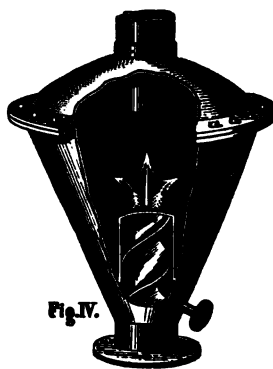


Fig. 1025.

Die Rohrleitung für die Kesselspeisung.

Zur **Kesselspeisung** sind polizeilich vorgeschrieben:

Zwei von einander unabhängige Speisevorrichtungen.

Diese können bestehen aus:

- 1) einer Maschinenspeisepumpe und einer Handpumpe,
- 2) " " " einem Injector,
- 3) " " " einer Dampfmaschine,
- 4) " Dampfmaschine und einer Handpumpe,
- 5) " " " einem Injector,
- 6) zwei Injectoren,
- 7) einem Injector und einer Handpumpe.

Durchmesser der Speiseleitungen.

Tabelle 164.

Pferdekräfte N_e	10	15	25	40	60	80	100	150
Drchm. f. Maschinen- u. Dampf.	26	35	45	50	60	65	70	80
Drchm. f. Injector u. Handpumpe	15	18	20	25	33	40	45	50

Die **Saughöhe** der **Injectoren** kann bei kaltem Wasser und nicht zu langen Leitungen bis zu 6 m gesteigert werden. Die Temperatur des Speisewassers kann bis zu 60° C. betragen, und erhöht der Injector dieselbe um ca. 50° C.

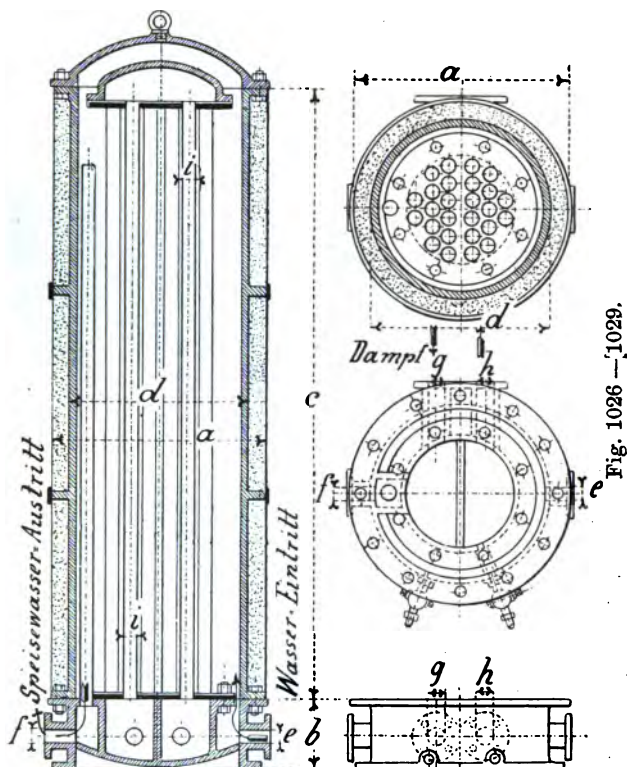


Fig. 1026 — 1029.

**Vorwärmer, Fig. 1026 — 1029,
der Eisenhütte Prinz Rudolf Dülmen.**

Tabelle 165.

No.	Pferde- kräfte	Heizfl. qm	a	b	c	d	Speisewass.-		Dampf-		Heizrohre	
							Eintr. e	Austr. f	Eintr. g	Austr. h	Zahl	i
1	10	0,7	450	300	1050	350	30	30	60	60	4	50
2	15	1,0	450	300	1550	350	40	40	70	70	4	50
3	25	1,5	500	350	1500	400	50	50	80	80	6	50
4	40	2,5	660	350	1700	550	50	50	90	90	10	50
5	60	3,5	710	350	1700	600	50	50	100	100	14	50
6	80	6,0	710	350	2200	600	60	60	125	125	18	50
7	100	8,5	870	400	1900	750	60	60	150	150	30	50
8	125	10,0	870	400	2200	750	70	70	150	150	30	50
9	150	16,5	1130	450	1800	1000	80	80	175	175	60	50

Vorrichtungen zum Reinigen des Speisewassers, Fig. 1030 — 1034.

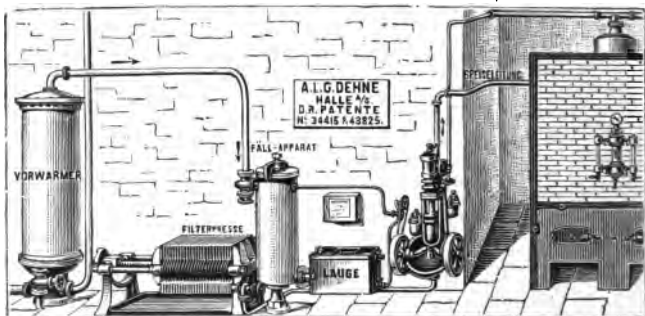
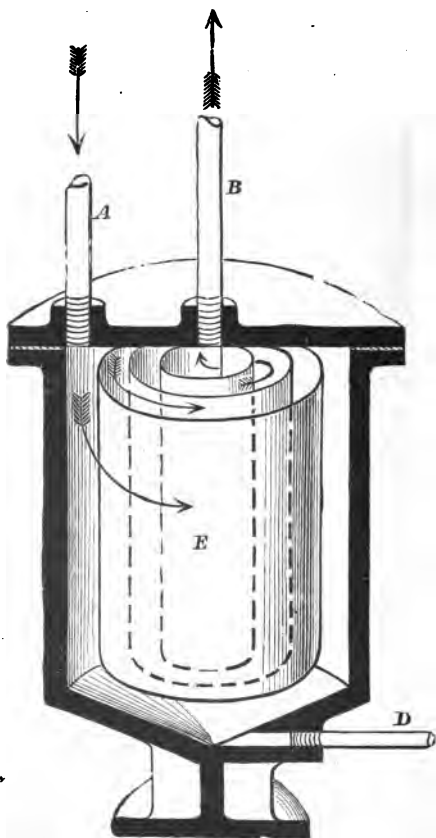


Fig. 1030. A. L. G. Dehne.

Fig. 1031. D. R.-P.
Eugen Kreiss, Hamburg.

Im Innern des Kessels ist eine Schaumauffange-Platte quer über das Wasserniveau gelegt. Diese Schaumauffange-Platte ist mit dem in Fig. 1031 dargestellten Ausscheider durch das Rohr A verbunden, während durch das Rohr B das gereinigte Wasser in den Kessel gelangt. Die sich am Boden des Ausscheiders absetzenden Unreinigkeiten sind von Zeit zu Zeit durch den Ausblase-Hahn D abzu- blasen.

Fig. 1032. **Automatischer Schlammfänger.** D. R.-P. Grimme, Natalis & Co., Braunschweig.

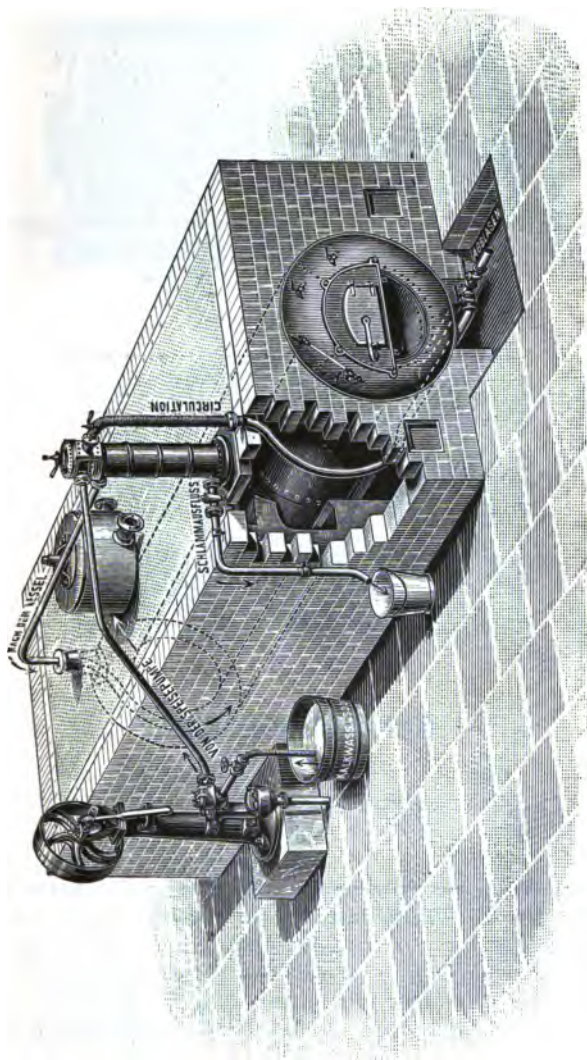


Fig. 1033—1034. D. R.-P.
Maschinen- und Armaturenfabrik, Frankenthal.

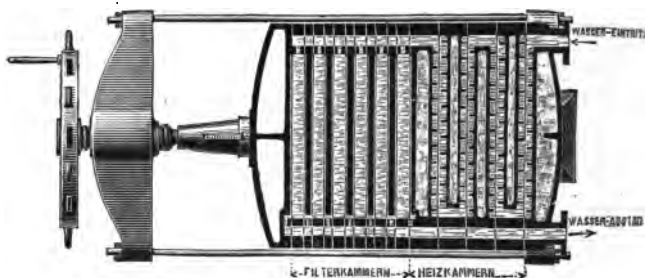


Fig. 1033.

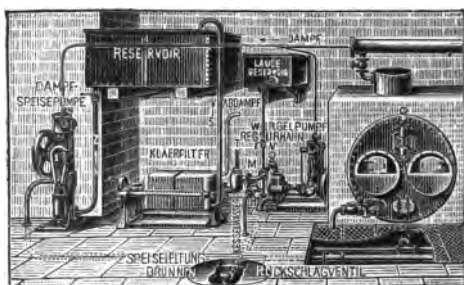


Fig. 1034.

Kesselsteinlösemittel.

Jedes **ungereinigte** Wasser enthält mehr oder weniger grosse Mengen von **Mineralbestandteilen** — besonders schwefelsauren und kohlensauren Kalk und Magnesia — die sich beim Umdampfen des Wassers in Form von sogenanntem **Kesselstein** an den Wandungen des Kessels als **harte Kruste** ausscheiden. Die **Entfernung des Kesselsteins** muss von Zeit zu Zeit erfolgen. In den meisten Fällen geschieht dieses jetzt noch durch Ausklopfen mit scharfen Hämmern. Für solche Fälle, wo eine Einrichtung zum Reinigen des Speisewassers nicht besteht, oder schlecht anzubringen ist, bringt die Firma Zirnité & Hasse in Witten a. d. Ruhr, Dr. Zirnité's kesselsteinlösendes Mittel in den Handel. Bei Anwendung desselben bildet sich kein fester Stein, sondern ein feiner Schlamm, der leicht aus dem Kessel entfernt werden kann.

In ähnlicher Weise wirkt das Antilebetolith-Verfahren
von Martin van Look, Barmen.



Fig. 1035.

Abschnitt XIII.

Lieferungsbedingungen, Garantien und Kosten der Dampfanlagen.

Aus der **Offerte** auf Lieferung einer **Dampfmaschine** müssen folgende Daten ersichtlich sein:

Bauart und **System** der Maschine,
 ob mit oder ohne **Condensation**,
Cylinderdurchmesser, **Kolbenhub**, **Tourenzahl**,
 Nominelle **Leistung** der Maschine bei . . . At. Überdruck,
 Art der Steuerung,
 Durchmesser und Breite des **Schwungrades**,
 Ungefähres Gesamtgewicht der Maschine,
Preis der Maschine compl. incl. Absperrventil, Fundamentankern,
 Schmiergefäßen etc. franco Waggon,
 Preis der Maschinenspeisepumpe.

Zahlungsbedingungen:

$\frac{1}{3}$ bei Bestellung,
 $\frac{1}{3}$ bei Ablieferung,
 den Rest 3 Monate später,
 Reisekosten und Tagelöhner für den **Monteur**,
Lieferzeit.

Event. noch: **Dampfverbrauch** pro indizierte oder effective Pferdekraft für die Normalleistung der Maschine.

Ungleichförmigkeit resp. das Maximum der eintretenden Tourenveränderung für den Leergang und die Belastung der Maschine in Proz. (für electr. Beleuchtung 1,5 bis höchstens 20%).

Kürzung der Kaufsumme um 2—5% für jede Woche verspätete Lieferung.*)

Garantie: Alle durch fehlerhafte Construction oder mangelhafte Ausführung sich zeigenden Mängel, welche innerhalb eines Jahres vorkommen sollten, werden kostenfrei ab Fabrik nachgeliefert. (Für die durch Auswechslung fehlerhafter oder zerbrochener Stücke etwa herbeigeführte Betriebsstörung oder sonstigen Schaden ist der Fabrikant nicht haftbar.)

*) Das Recht auf Entschädigung erlischt, wenn die ersten eintreffenden Teile vom Besteller angenommen werden, ohne dass letzterer Einspruch erhebt.

Aus der Offerte auf Lieferung eines **Dampfkessels** müssen folgende Daten ersichtlich sein :

System des Kessels,
 Art der **Feuerung**,
 Wasserbespülte **Heizfläche** in qm,
 Grösse der **Rostfläche**,
 Hauptdimensionen des Kessels,
 Concessionierter **Betriebsdruck**,
Preis, compl., mit grober und feiner Armatur,
 Verzeichnis der groben und feinen Armatur,
 Ungefähres Gesamtgewicht des Kessels,

Zahlungsbedingungen.

$\frac{1}{3}$ bei Bestellung,
 $\frac{1}{3}$ bei Ablieferung,
 den Rest 3 Monate später.

Lieferzeit.

Event. noch: Wieviel der Kessel pro qm Heizfläche und Stunde bei normaler Wartung und Verwendung einer gewissen Sorte Kohlen (z. B. gewöhnlicher Förderkohle) ... kg Dampf von einer gewissen Spannung zu erzeugen imstande ist.

Verdampfungsfähigkeit des Kessels.

Kürzung der Kaufsumme um 2 — 5 % für jede Woche verspätete Lieferung.

Dass sämtliche mit der Stichflamme in Berührung kommende Bleche aus Ia. Feuerblech-Qualität hergestellt, die übrigen Bleche den Würzburger Bedingungen entsprechen müssen.

Vor dem Beschneiden sämtlicher Bleche ist einem Sachverständigen (z. B. Kesselrevisor) behufs Abnahme rechtzeitig Mitteilung zu machen.

Eine **Spelsevorrichtung**, bestehend aus:

1 Injecteur mit Dampf- und Druckleitung (ohne Saugeleitung) incl. Montage wird gewöhnlich vom Fabrikanten mit offeriert.

Die Einmauerung des Dampfkessels excl. Material wird auch häufig vom Fabrikanten des Kessels übernommen und von dazu geschulten Leuten ausgeführt.

Garantie.

1 Jahr, während welcher Zeit diejenigen Fehler, die durch fehlerhafte Construction oder mangelhafte Ausführung entstehen, vom Lieferanten zu beseitigen sind.

Kosten-Überschlag in Mk. von Kessel- und Maschinen-Anlagen

für 10—150 Pferdekraft (Auspuffmaschinen 6 At. Überdruck, ohne Condensation).

Tabelle 166.

Pferdestärken effect. . .	10	15	25	40	60	80	100	150
Dampfmaschine	2000	3100	4000	5500	7500	10000	13000	16000
Fundament der Maschine	70	120	200	300	400	500	600	900
Montage der Maschine .	50	75	100	130	160	200	250	400
Dampfkessel	2000	3000	4500	6000	7500	10000	13000	16000
Fundament des Kessels .	50	80	120	160	200	250	300	450
Einmauerung des Kessels	250	400	600	800	1000	1200	1500	2000
Dampfleitung	150	300	500	700	1000	1300	1550	1900
Wasserabscheidung . .	60	90	120	150	180	210	250	320
Umhüllung der Leitung .	15	30	45	60	80	100	130	180
Speiseleitung	40	80	120	160	200	250	300	400
Pumpe, Injectoren . .	300	400	500	650	800	900	1000	1200
Vorwärmer	200	300	400	500	600	750	950	1200
Kessel- u. Maschinenhaus	2000	3000	4000	5000	6000	7000	8000	9000
Schornstein	800	1000	1350	1800	2500	3500	5000	7000
Div. kleinere Arbeiten .	115	125	145	190	180	240	270	350
Summa in Mark	8100	12100	16700	22100	28300	36400	46100	57300

Kohlenverbr. i. 10 Stund. Ctr. 5,5

50

Condensation erhöht den Gesamtanlagepreis um 10 Prozent und vermindert den Kohlenverbrauch um 20 Prozent

"

15

"

"

"

"

"

"

80

"

Abschnitt XIV.

Verschiedene Motoren.

Horizontale Dampfmaschinen.

	Seite
Wegelin & Hübner, Halle a/S.	342—345
E. Leutert, Halle a/S.	346
Sundwiger Eisenhütte, Sundwig	346
Arndt & Marichal, Aachen	346

Wanddampfmaschinen.

Wegelin & Hübner, Halle a/S.	347—348
E. Leutert, Halle a/S.	349

Stehende Dampfmaschinen.

E. Leutert, Halle a/S.	350—351
Wegelin & Hübner, Halle a/S.	352—353

Receiver-Compoundmaschinen.

Ph. Swiderski, Leipzig-Plagwitz	354—355
Görlitzer Maschinenbau-Anstalt, Görlitz	356

Schnelllaufende Dampfmaschinen.

Feod. Siegel, Schönebeck a/d. E.	357
Ph. Swiderski, Leipzig-Plagwitz	358
Sundwiger Eisenhütte, Sundwig	358
Proell'sche Hahnsteuerung	358
K. & Th. Möller, Brackwede i/Westf.	359

Locomobilen.

R. Wolf, Magdeburg-Buckau	360—361
Menk & Hambrock, Ottensen b/Hamburg	361

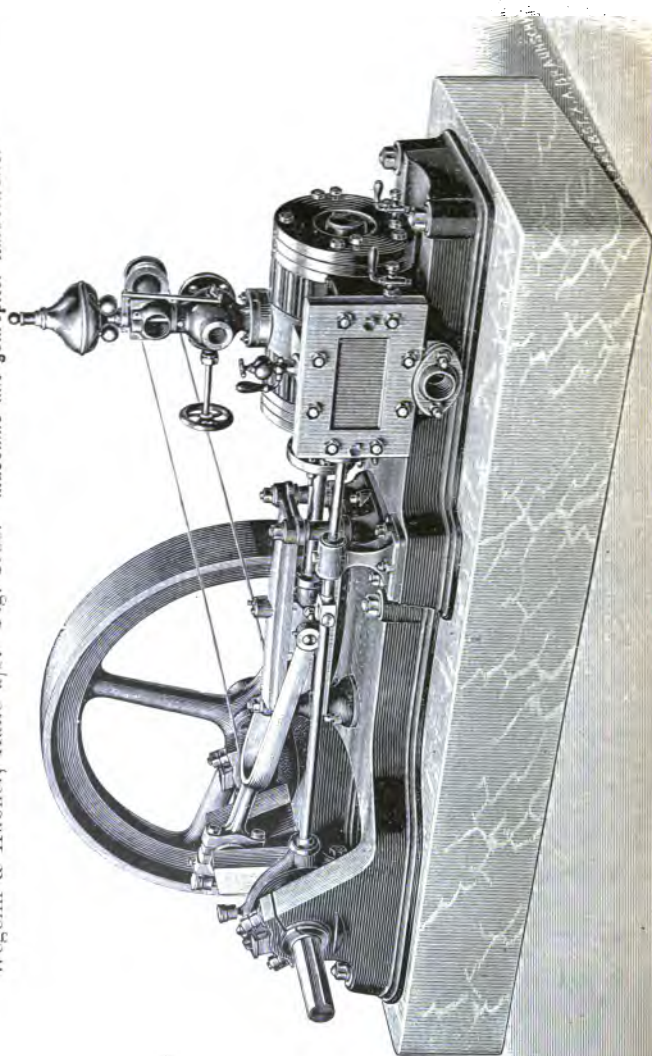
Gasmotoren.

Oscar & Robert Wilberg, Magdeburg	362
Gasmotorenfabrik Deutz, Deutz	363

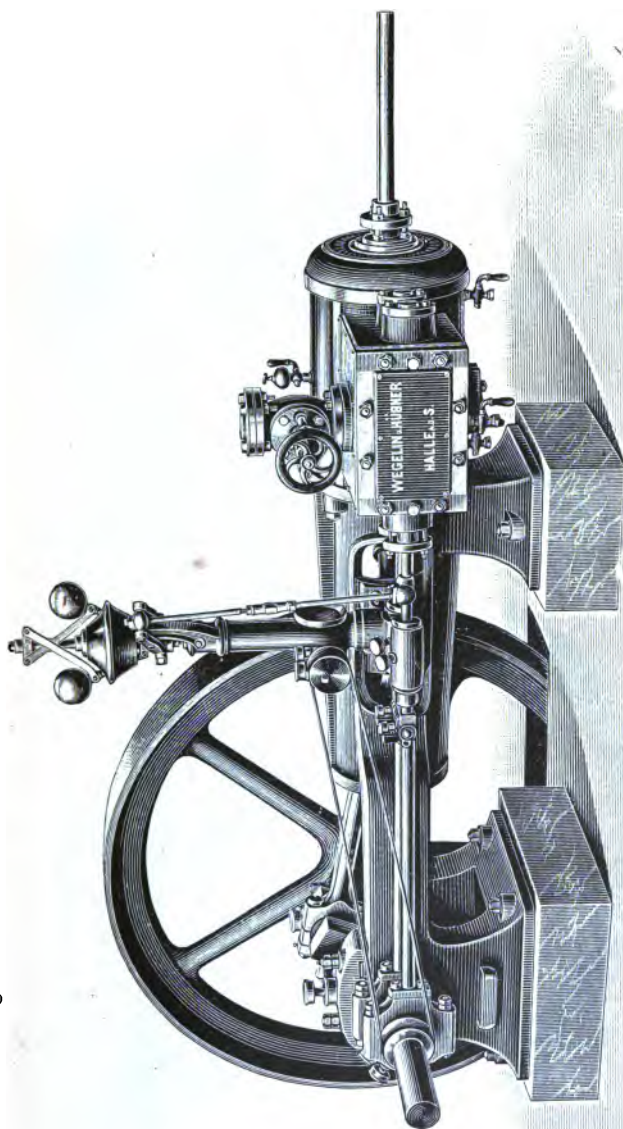
Heißluftmotor.

H. F. Eckert, A.-G., Berlin O.	363
--	-----

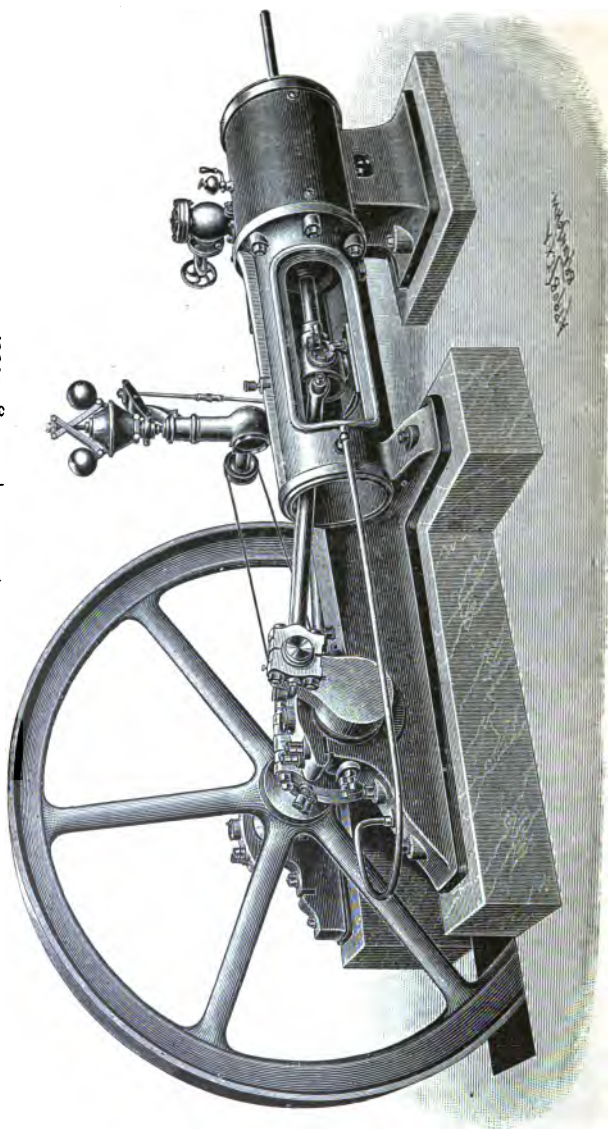
Wegelin & Hübner, Halle a/S. Fig. 1036. Maschine mit gekröpfter Kurbelwelle.



Wegelin & Hübner, Halle a/S. Fig. 1037. Maschine mit Doppelbajonett-Gestell.



Wegelin & Hübner, Halle a/S. Fig. 1088.



Preisliste zu Fig. 1038 von Wegelin & Hübner, Halle a/S.
Tabelle 167.

Pferde- kräfte	Dampfzylinder		Touren pro Minute	Schwungrad		Un- gefäßes Gewicht kg	Preis der Maschine			Preis der Kessel- speise- pumpe extra Mk
	Durch- messer Millimeter	Hub Millimeter		Durch- messer Millimeter	Breite Millimeter		mit fixer Expansion Mk.	mit Meyer'scher Expansion Mk.	mit Rider- Expansion Mk.	
5—6	180	300	130	1250	180	1500	1400	1600	1750	150
6—7	200	300	130	1250	200	1600	1500	1700	1850	150
7—9	200	350	120	1400	200	2000	1800	2000	2100	150
10—12	250	350	120	1400	220	2200	2000	2200	2300	200
12—14	250	400	110	1600	200	3200	2550	2750	2900	200
14—16	280	400	110	1600	220	3600	2750	2950	3100	200
16—18	280	450	100	1800	220	4400	3400	3600	3750	200
18—20	300	450	100	1800	250	4800	3650	3850	4000	225
20—24	300	500	90	2000	230	5200	4100	4350	4500	225
24—26	330	500	90	2000	280	5500	4400	4650	4850	225
28—32	330	550	85	2200	250	5900	4850	5100	5300	225
32—35	350	550	85	2200	300	6200	5100	5350	5550	250
35—38	350	600	80	2500	280	6500	5450	5700	5900	250
38—42	400	600	80	2500	300	6800	5700	6000	6250	300
42—45	400	700	75	3000	300	8300	6400	6750	7000	300
45—50	450	700	75	3000	350	9000	6900	7300	7600	350

E. Leutert, Halle a/S.



Fig. 1039.

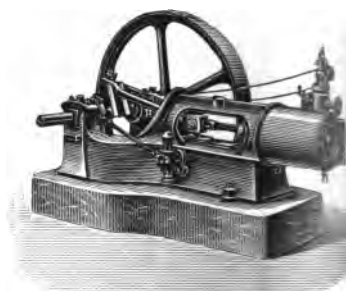


Fig. 1040.

Sundwiger Eisenhütte, Sundwig.

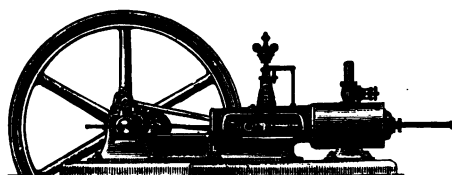


Fig. 1041.

Arndt & Marichal, Aachen.

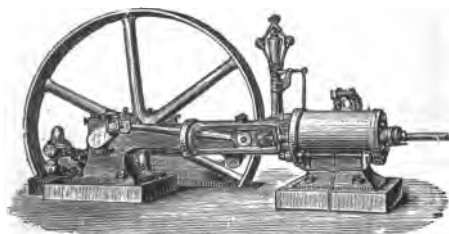


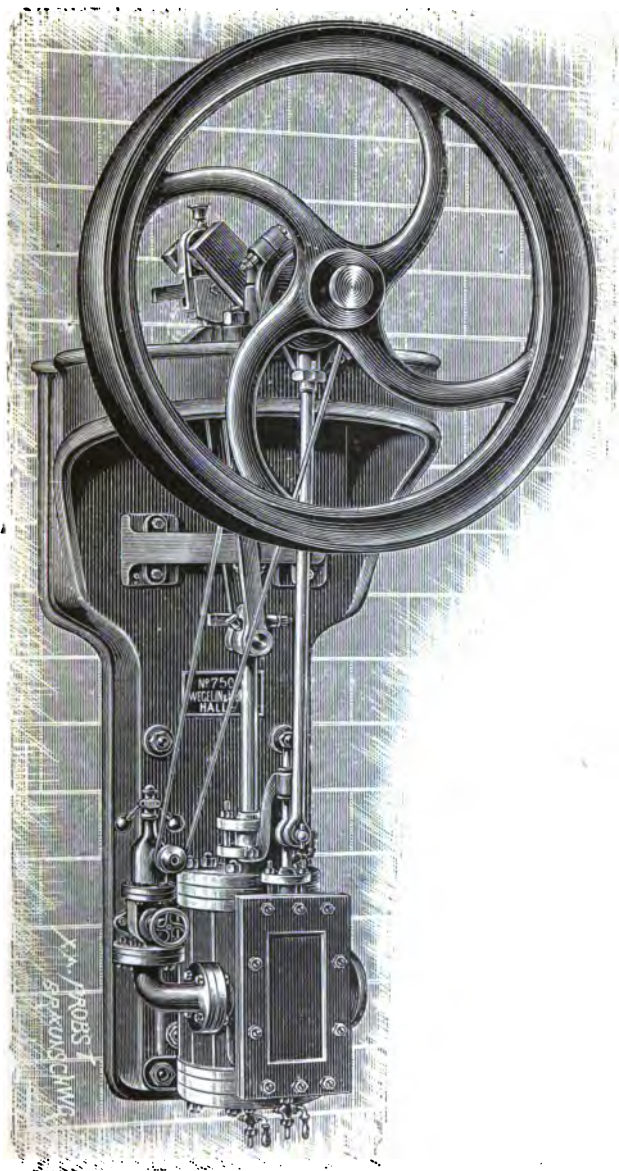
Fig. 1042.



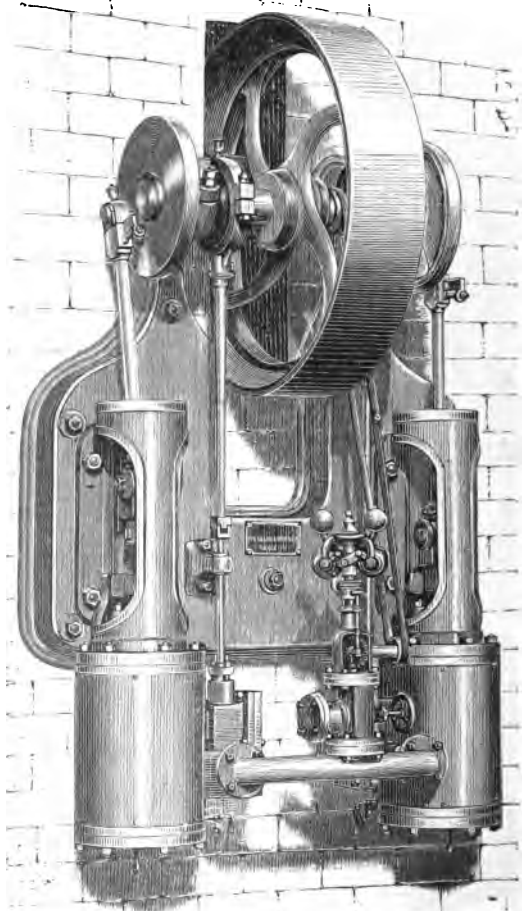
Fig. 1043.

Wegelin & Hübner, Halle a/S.

Fig. 1044. **Wanddampfmaschine** mit rechtwinkelig zur Wand gelagerter Schwungradwelle.



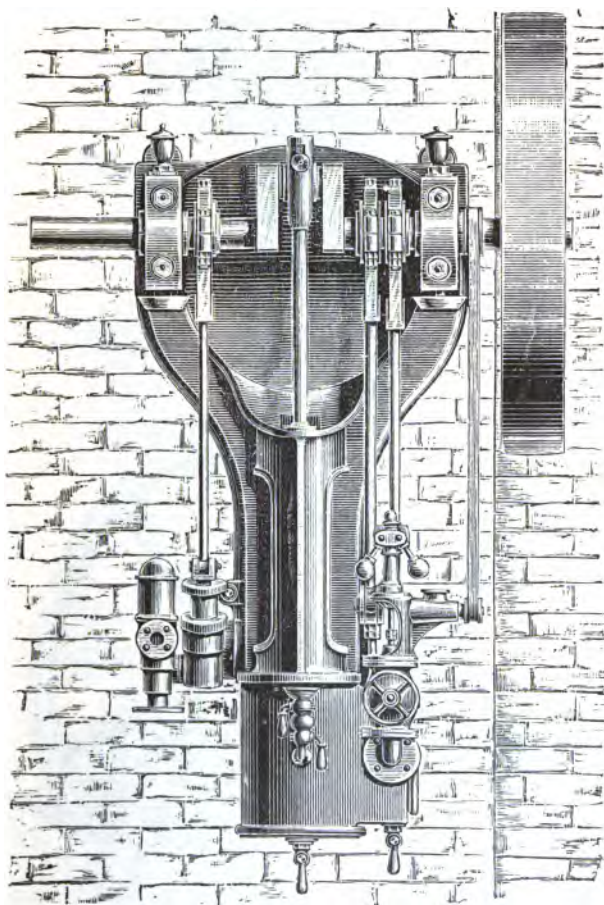
Wegelin & Hübner, Halle a/S.
Fig. 1045. **Zwillings-Wanddampfmaschine.**



VERLAG VON F. A. E. HEUE Leipzig

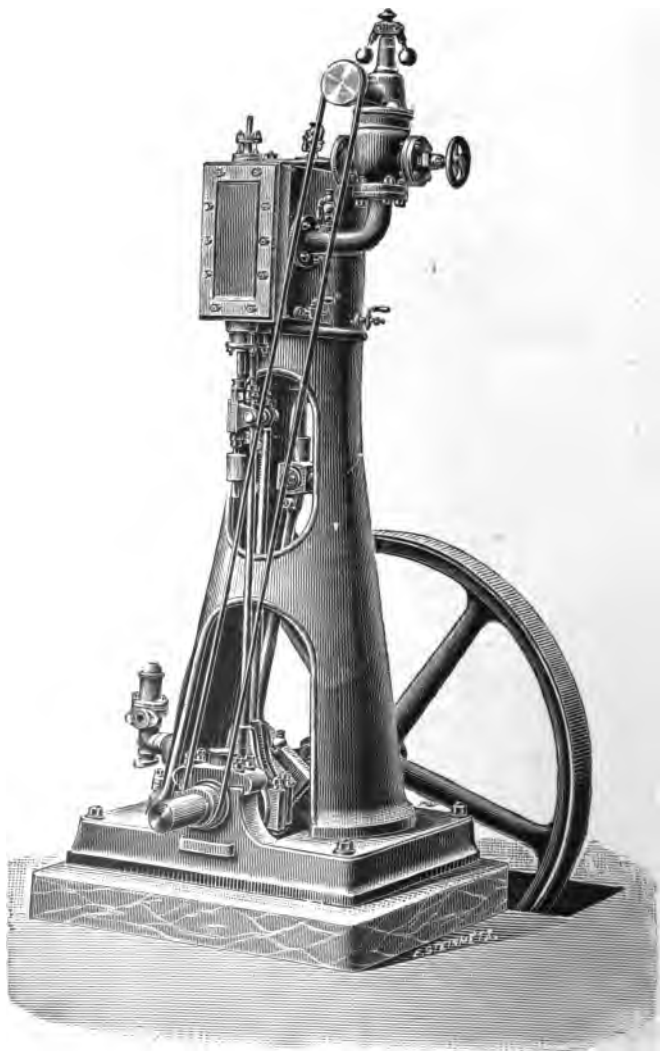
E. Leutert, Halle a/S.

Fig. 1046. **Wanddampfmaschine.**



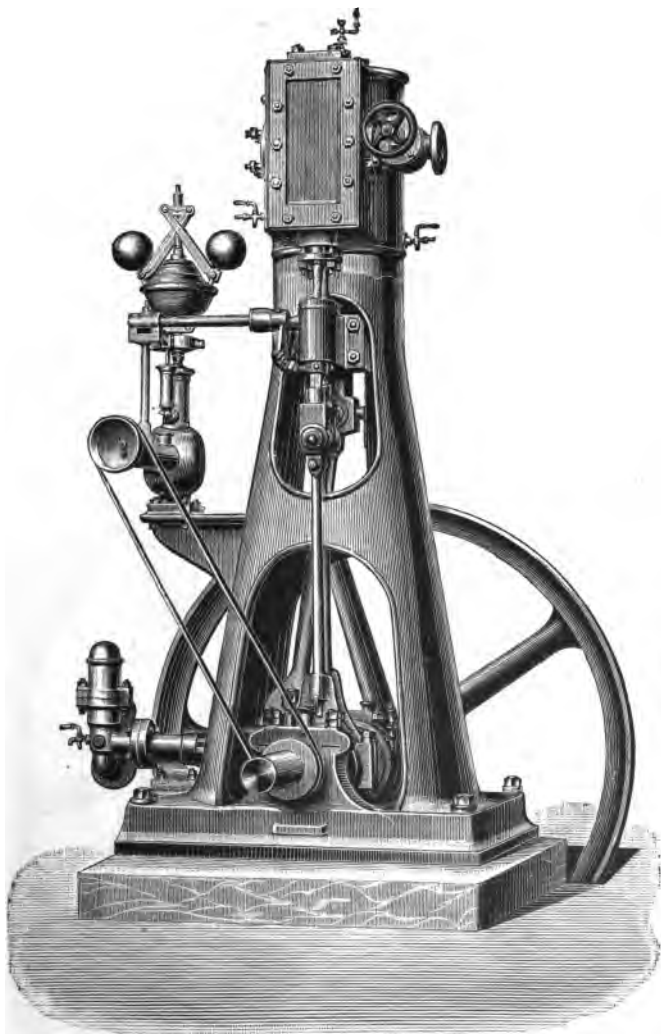
E. Leutert, Halle a/S.

Fig. 1047. **Stehende Dampfmaschine.**

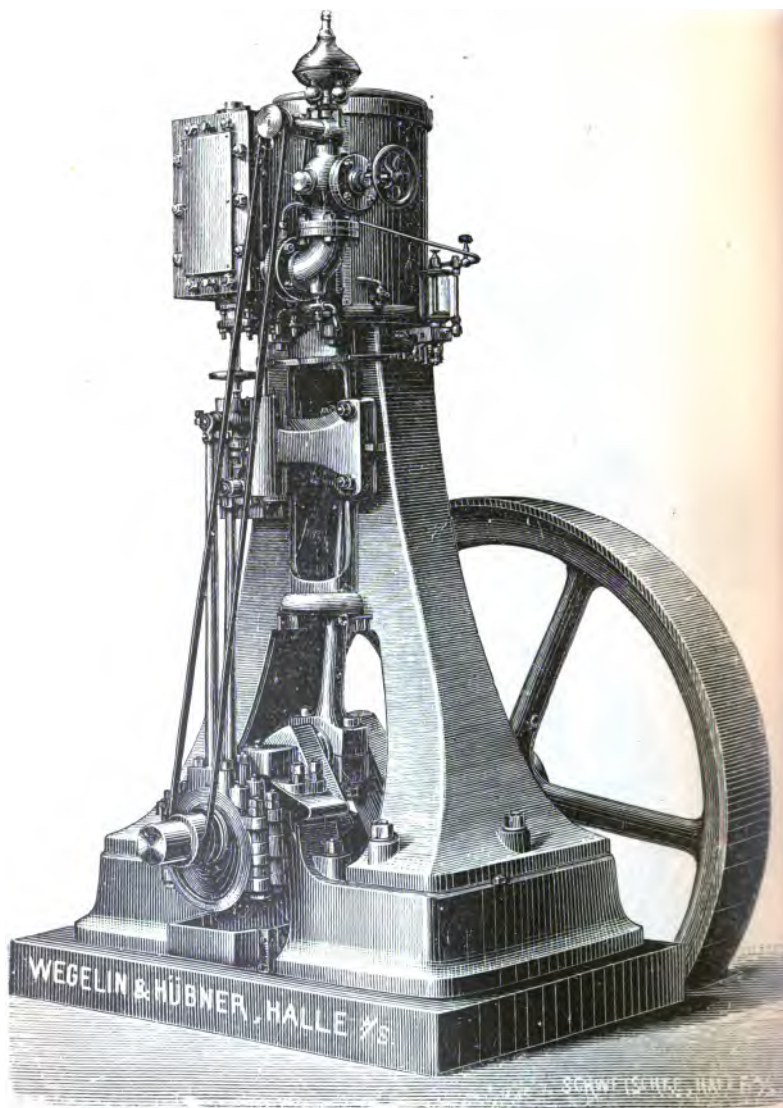


E. Leutert, Halle a/S.

Fig. 1048. **Stehende Dampfmaschine.**



Wegelin & Hübner, Halle a/S.
Fig. 1049. **Ständer - Dampfmaschine.**



Preisliste

zu Fig. 1049, von Wegelin & Hübner, Halle a/S.

Tabelle 168.

Pferde- kräfte	Dampfzylinder		Touren pro Minute	Schwungrad		Ungefährtes Gewicht in Kilo	Preis der Maschine		
	Durch- messer	Hub		Durch- messer	Breite		mit fixer Expansion in Mark	mit Meyer'scher Expansion in Mark	mit Rider- Expansion in Mark
		Millimeter			Millimeter				
5—6	180	300	130	1250	180	1400	1400	1600	1750
6—7	200	300	130	1250	200	1600	1500	1700	1850
8—9	230	300	130	1400	200	1800	1650	1850	2000
10—12	250	350	120	1400	220	2100	2000	2200	2350
13—15	280	350	120	1600	200	2400	2200	2400	2550
16—18	300	350	120	1600	220	2800	2400	2600	2750
18—20	300	400	110	1600	240	3400	2900	3100	3300
22—25	330	400	110	1600	280	3800	3100	3300	3500
25—30	350	400	110	1600	300	4200	3300	3550	3800

Ph. Swiderski, Leipzig.

Compoundmaschinen ohne Condensation

zum Betriebe von Electro-
Dynamomaschinen.

Tabelle 169.

Effective Pferde- stärken	Kolben- hub	Umdre- hungen pr. Min.	Preis Mark
15	250	200	3600
20	250	200	4400
30	300	190	5700
45	300	190	7000
60	300	190	8100
80	350	180	9200
100	350	180	10200
120	350	180	11300

Die angegebenen Kräfte werden bei dem günstigsten Füllungsgrade geleistet, welcher je nach der Dampfspannung 0,15 bis 0,20 vom Niederdruckcylinder beträgt. Die Maximalkräfte sind um 20% (bei 6 Atm. Überdruck im Schieberkasten) bis 50% (bei 8,5 Atm.) höher.

Ph. Swiderski, Leipzig-Plagwitz.

Fig. 1050, Receiver-Compound-Maschine mit Condensation.



Receiver-Compoundmaschinen (System Woolf mit um 90° versetzten Kurbeln), Fig. 1050.

Tabelle 170.

Effect. Pferdest.	10	15	20	27	35	45	58	75	95	125	160	200	250	300	375	450	525	600
Cyl.-Bohrungen	150 220	180 265	205 300	230 345	260 390	290 430	320 480	350 540	390 600	430 660	480 730	510 790	550 860	600 940	650 1020	690 1100	740 1170	780 1230
Hub	350	400	450	500	550	600	650	700	750	800	850	900	1000	1050	1150	1200	1250	1300
Umdreh. pr. Min.	130	116	106	98	90	86	83	80	78	77	75	73	68	66	64	63	62	61
Preis m. Cond. M.	4200	5250	6200	7350	8400	10000	12200	14900	18200	22000	26200	31500	37800	44100	52500	59900	67200	73500
„ ohne „ M.	3500	4450	5350	6450	7150	8500	10400	12700	15450	18900	22600	27200	32800	38300	45800	52300	58800	64500

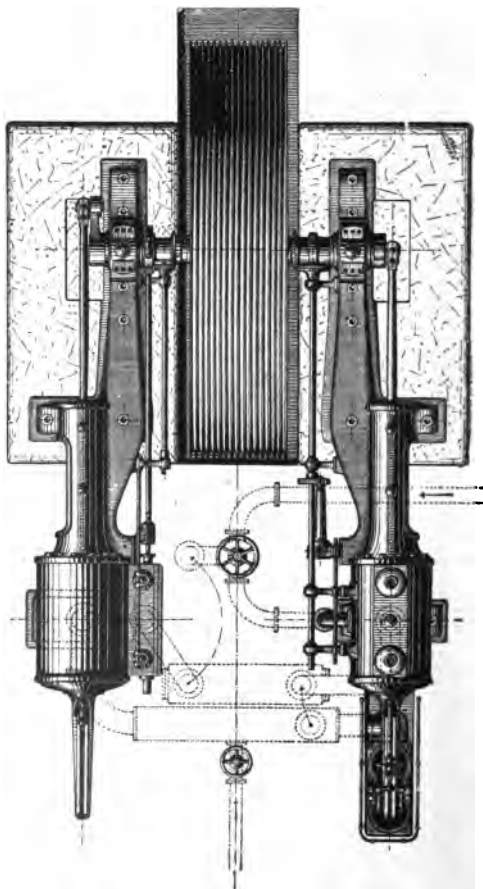
Die angegebenen Kräfte der Condensationsmaschinen werden bei einer Dampfeintrittsspannung von 6 At. Überdruck und 0,1 Gesamtfüllung geleistet.

Beide Cylinder und der Receiver haben Dampfmanötel.

Bei Wegfall der Condensation werden die Cylinder ohne Dampfmanötel ausgeführt.

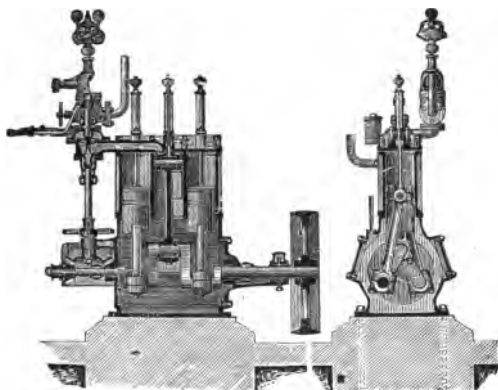
Görlitzer Maschinenbau-Anstalt, Görlitz.

Fig. 1051. Grundriss einer Compound-Maschine mit Condensation.



Feodor Siegel, Schönebeck a/d. E.

Fig. 1052—1053. **Patent Dreicylinder-Dampfmaschine.**

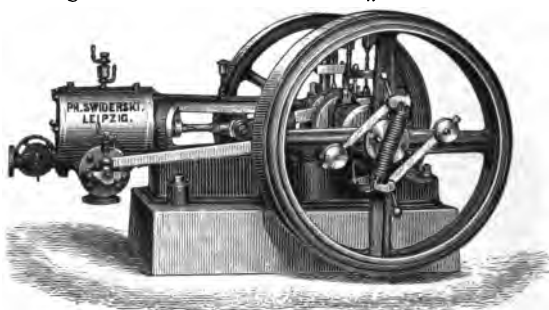


Dimensionen zu Fig. 1052—1053 von Feod. Siegel,
Schönebeck.

Tabelle 171.

Cylinder- Durchmesser mm	Hub mm	Touren pr. Min.	Kolbengeschwin- digkeit in m pro Secunde.	Admissionsdruck (Überdruck)				
				5 At.	6 At.	7 At.	8 At.	10 At.
				Füllungsgrade				
				0,3	0,25	0,2	0,15	0,125
				Effective Pferdestärken				
65	100	500	1,66	1,8	1,9	1,9	2,1	2,3
75	115	450	1,72	2,5	2,7	2,7	2,9	3,2
85	130	400	1,73	3,2	3,5	3,5	3,6	3,9
100	150	350	1,75	4,5	4,9	4,9	5,1	5,5
120	180	300	1,80	7,8	8,5	8,5	7,4	8,2
150	220	280	2,05	14,0	15,1	15,1	13,1	14,4
160	240	265	2,12	16,5	17,7	17,7	15,4	16,9
180	260	250	2,16	21,3	22,9	22,9	20,0	22,0
200	280	235	2,19	27,6	29,8	29,8	25,2	27,6
225	300	220	2,20	36,3	39,2	39,2	32,0	35,0
250	320	205	2,18	41,0	44,4	44,5	39,6	43,5
275	340	195	2,21	51,8	55,2	57,3	48,3	53,0
305	360	185	2,24	62,8	68,0	68,0	59,7	65,5
340	390	175	2,27	85,0	102,2	92,3	76,0	83,0
375	420	165	2,31	105,0	114,0	114,0	94,0	103,0

Ph. Swiderski, Leipzig-Plagwitz.
 Fig. 1054. **Schnellläufer Patent „Dörfel-Proell“.**



Sundwiger Eisenhütte, Gebr. von der Becke & Co., Sundwig.
 Fig. 1055. **Schnellläufer Patent „Dörfel-Proell“.**

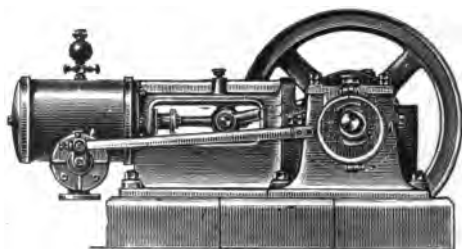


Fig. 1056 — 1060. **Proell'sche Hahnsteuerung.**

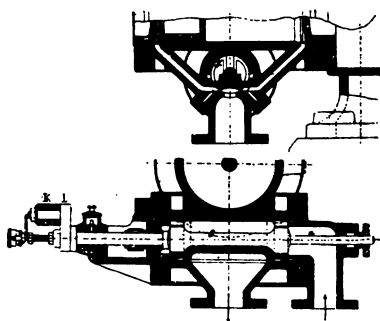


Fig. 1056 — 1057.

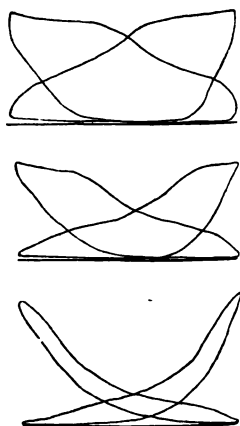
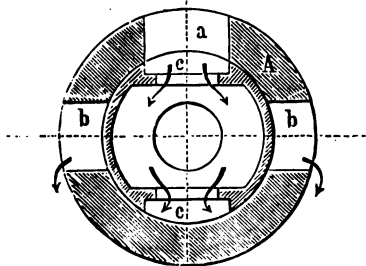
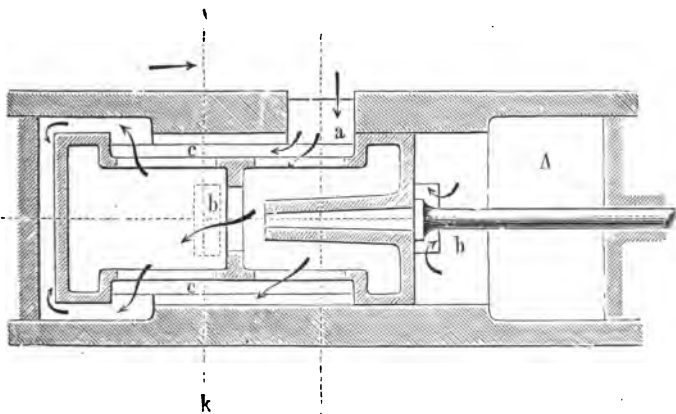
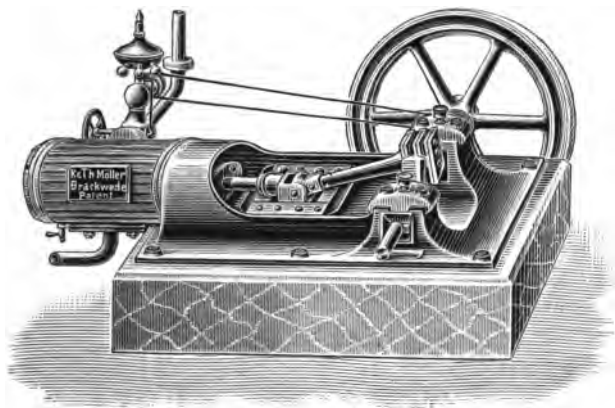
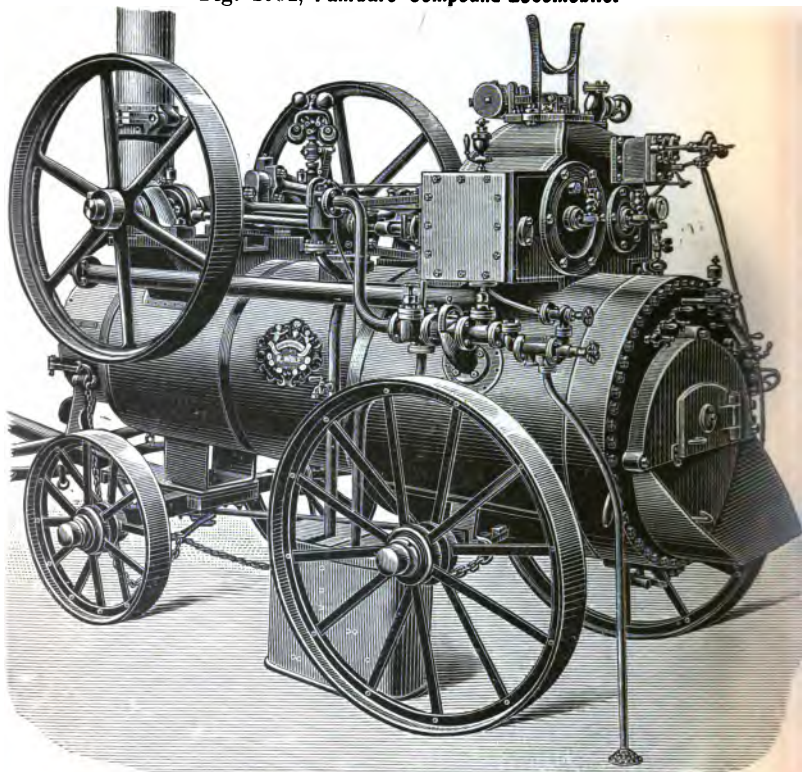


Fig. 1058 — 1060.

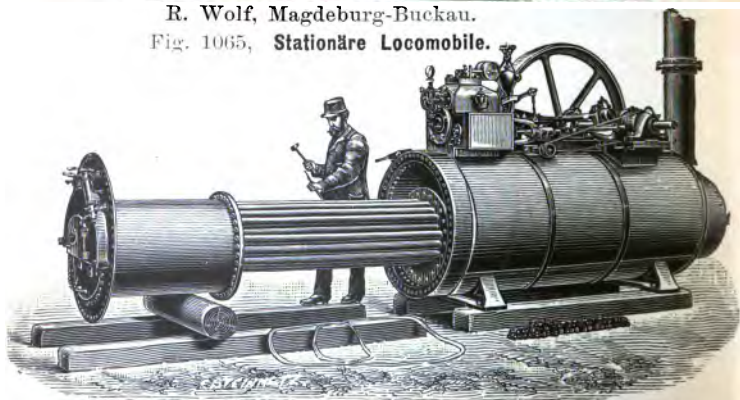
K. & Th. Möller, Brackwede i/Westf.
 Fig. 1061—1063, **Maschinen mit Gräbner's Arbeitskolbensteuerung.**



R. Wolf, Magdeburg-Buckau.
Fig. 1064, **Fahrbare Compound-Locomobile.**

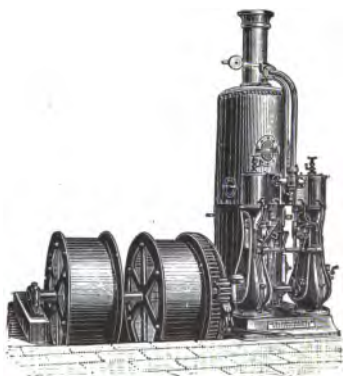
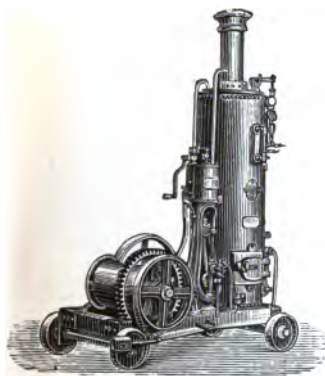
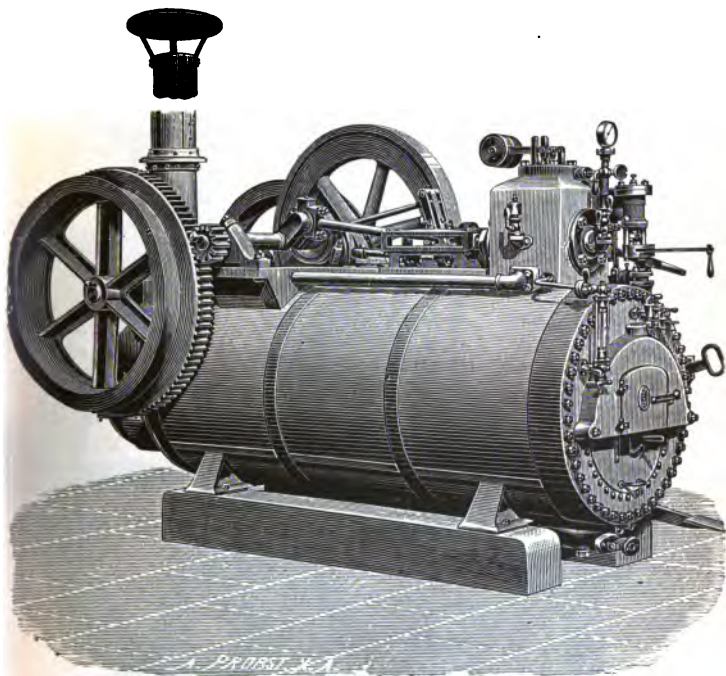


R. Wolf, Magdeburg-Buckau.
Fig. 1065, **Stationäre Locomobile.**



R. Wolf, Magdeburg-Buckau.

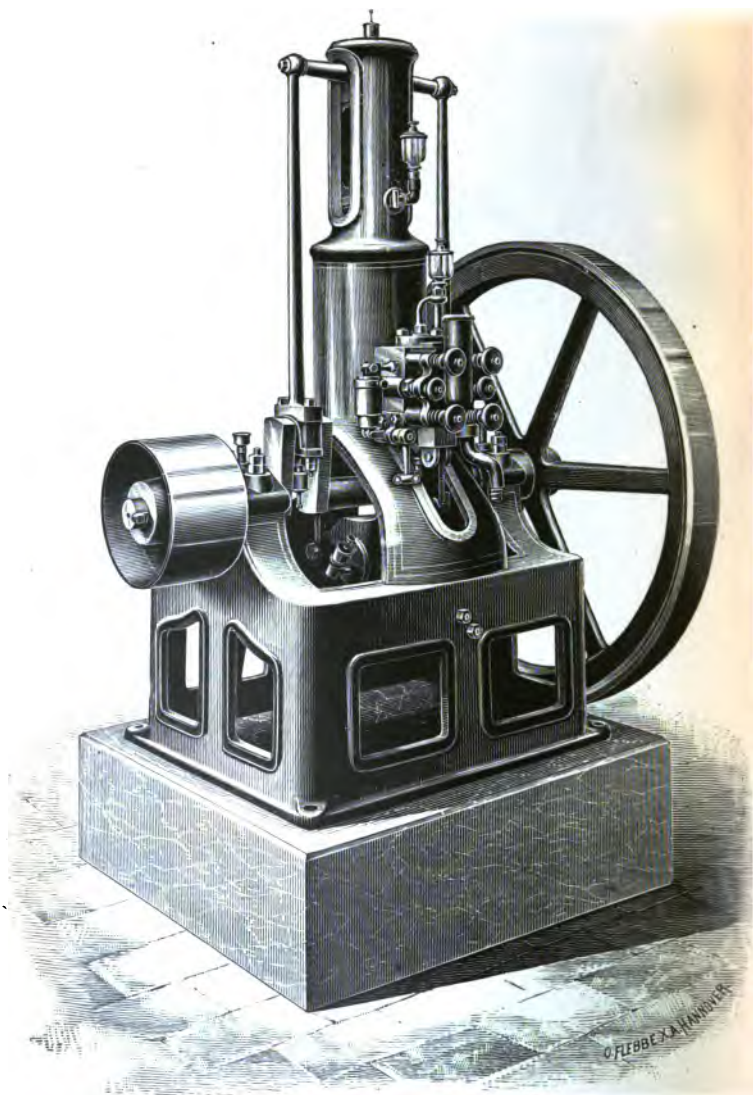
Fig. 1066, **Stationäre Locomobile** mit Stephenson'scher Umsteuerung und direct am Kessel montiertem Förderzeug.



Menk & Hambrock, Ottensen b. Hamburg.

Fig. 1067—1068, **Transportable Fördermaschinen und Dampfwinden.**

Oscar & Robert Wilberg, Magdeburg-Sudenburg.
Fig. 1069, Gasmotor „Victoria“.



Gasmotorenfabrik Deutz in Deutz.

Fig. 1070—1071. **Otto's neuer Motor, liegend oder stehend.**



Fig. 1072. **Heissluft-Motor System „Benier“.**

Tabelle 172

zu Fig. 1072 v. H. F. Eckert, A.-G., Berlin O.

Hauptdimensionen und Gewichte.

Marke	BC	BD	BE	BF	BG	BH
Effective Pferdekraft . . HP	4	6	9	12	15	20
Cokesverbrauch p. Pferdekraft und Stunde . . kg	1,7	1,5	1,3	1,2	1,1	1,0
Umdrehungszahl pro Minute	120	110	105	100	95	90
Länge incl. Schwungrad . mm	2600	2900	3200	3300	3400	3600
Breite mm	1200	1300	1400	1500	1600	1700
Höhe mm	2100	2300	2500	2700	2800	3000
Ungefähres Gewicht . . kg	2400	3000	3800	4500	5000	6000

Inhaltsverzeichnis

zu Abschnitt XV.

	Seite
Tabelle für Gasgewinde	365
Tabelle für flaches Gewinde	365
Whitworth'sche Schraubentabelle	366
Schraubensicherung mit Tabelle	367
Lagerschalen aus Weiss- und Rotguss mit Tabelle	368
Stirnzapfen und Abrundung der Lagerläufe mit Tabelle	369
Torsionskeile, Hohl-, Flach-, Nuten- und Doppelkeile mit Tabelle	370
Keilverbindungen (für Kolbenstangen etc.) mit Tabelle	371
Durchlasshähne mit Tabelle	372
Stopfbüchsen und Stopfbüchsgehäuse mit Tabelle	372—373
Ventilkegel mit Tabelle	374
Absperr-Ventile mit Tabelle	375
Tabelle der Elasticitäts- und Festigkeitscoefficienten	376—377
Zug- und Druckfestigkeit	378
Schub- oder Scheerfestigkeit	378
Biegungsfestigkeit	378
Zerknickungsfestigkeit	379
Torsionsfestigkeit	379
Zusammensetzung der Torsions- u. Biegungsfestigkeit	379—380
Trägheits- und Widerstandsmomente für verschiedene Quer- schnitte mit Tabelle	380
Polares Trägheits- u. Widerstandsmoment für den runden Querschnitt	380
Tabelle der Trägheits- und Widerstandsmomente des runden Querschnittes für $d = 1 - 100$	381
Kreisumfang- und Inhaltstabelle	382—383
Reductionstabelle von At. auf Pfd. pro \square Zoll engl.	383
Reductionstabelle von At. auf cm Quecksilbersäule	383
Temperatur und Gewicht der gesättigten Wasserdämpfe	384
Spezifische Gewichte	385
Gewichte von Quadrat- und Rundeisen	385
Gewichte von Metallblechen	385
Gewichte von Flacheisen	386



Abschnitt XV.

Verschiedene Normalien und Tabellen.

Gasgewinde. Fig. 1073.

Tabelle 173.

Für die lichte Rohrweite		Äusserer Durchm.	Kern- Durchm.	Anzahl der Gänge auf 1" engl.	Gewinde- tiefe
Zoll	mm	D mm	d mm		mm
1/4	6	13	11	19	1
3/8	10	16	14	19	1
1/2	13	21	18,5	14	1 1/4
5/8	16	23,5	21	14	1 1/4
3/4	20	26	23,5	14	1 1/4
7/8	22,3	29	26	11	1 1/2
1	25,4	33	30	11	1 1/2
1 1/4	32	42	37	11	1 1/2
1 1/2	38	47	44	11	1 1/2
1 3/4	44,5	54	51	11	1 1/2
2	50,8	60,3	57,3	11	1 1/2
2 1/4	57	66,6	63,6	11	1 1/2
2 1/2	63,5	76,2	73,2	11	1 1/2
2 3/4	70	80	77	11	1 1/2
3	79,2	89	86	11	1 1/2

Fig. 1073.

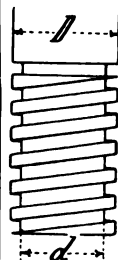


Flaches Gewinde. Fig. 1074.

Tabelle 174.

Äuss. Durchmesser D		Kern- Durchm.	Anzahl der Gänge auf 1" engl.	Gewinde- tiefe
Zoll	mm	d mm		mm
5/8	16	12	5 1/2	2
3/4	20	15	5	2 1/2
7/8	23	17	4 1/2	3
1	26	20	4	3
1 1/8	29	22	3 1/2	3 1/2
1 1/4	33	26	3 1/2	3 1/2
1 3/8	36	28	3	4
1 1/2	39	31	3	4
1 5/8	43	33	2 1/2	5
1 3/4	46	36	2 1/2	5
1 7/8	50	38	2 1/4	6
2	52	40	2 1/4	6
2 1/4	59	46	2	6 1/2
2 1/2	65	52	2	6 1/2
2 3/4	72	58	1 3/4	7
3	78	64	1 3/4	7

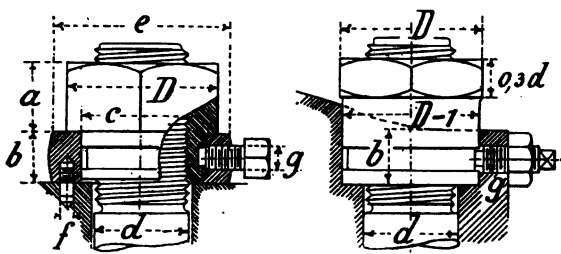
Fig. 1074.



Whitworth'sches Schraubensystem. **Tabelle 175.**

Durchmesser des glatten Bolzens in mm abgerund.	Schrauben - Bolzen			Zu- lässige Be- lastung in kg	Kopf und Mutter			Unterlegscheibe		Gewicht			
	Gewinde-Durch- messer in den Spitzen	Kern- Durchm. in mm	Zahl der Gänge auf 1" engl.		Kopf- höhe	Schlüs- sel- weite	Kreis um das Mutter- sechseck	Durch- messer	Dicke	von 100 mm Bolzen- länge kg	des Kopfes kg	der Mutter- u. Unterleg- scheibe incl. darin befindl. Bol- zen in kg	
	Zoll engl.	mm	d_f	A	P	h	W	—	U	u	B	K	M
7	$\frac{1}{4}$	6,35	4,72	20	50	5	15	17,5	20	1,5	0,03	0,008	0,01
8	$\frac{5}{16}$	7,94	6,09	18	80	6	16	18,5	21	1,5	0,04	0,01	0,01
10	$\frac{3}{8}$	9,52	7,36	16	120	7	19	22	25	2	0,06	0,02	0,02
12	$\frac{7}{16}$	11,11	8,64	14	160	8	22	25,5	29	2	0,09	0,03	0,04
13	$\frac{1}{2}$	12,70	9,91	12	210	9	24	28	32	2,5	0,10	0,04	0,06
16	$\frac{5}{8}$	15,87	12,92	11	370	11	27	31	35	3	0,15	0,06	0,10
20	$\frac{3}{4}$	19,05	15,74	10	540	14	33	38	43	4	0,24	0,11	0,18
23	$\frac{7}{8}$	22,22	18,54	9	750	16	38	44	50	4	0,32	0,18	0,28
26	1	25,40	21,33	8	1000	18	42	48,5	55	4	0,41	0,25	0,37
29	$1\frac{1}{8}$	28,57	23,87	7	1200	20	45	52	58	4	0,51	0,32	0,47
32	$1\frac{1}{4}$	31,75	26,92	7	1600	22	50	58	65	5	0,62	0,42	0,65
35	$1\frac{3}{8}$	34,92	29,46	6	1900	24	54	62,5	70	5	0,75	0,55	0,87
39	$1\frac{1}{2}$	38,10	32,68	6	2300	27	60	69,5	78	6	0,93	0,75	1,16
42	$1\frac{5}{8}$	41,27	35,28	5	2700	29	64	74	84	6	1,08	0,95	1,41
45	$1\frac{3}{4}$	44,45	37,84	5	3100	32	68	78,5	88	7	1,24	1,15	1,66
48	$1\frac{7}{8}$	47,62	40,38	4,5	3600	34	72	83	93	7	1,40	1,37	2,04
51	2	50,82	43,43	4,5	4100	36	76	88	98	8	1,58	1,62	2,44
58	$2\frac{1}{4}$	57,15	49,02	4	5300	40	85	97,5	110	9	2,05	2,30	3,55
64	$2\frac{1}{2}$	63,50	55,37	4	6700	45	94	109	121	9	2,50	3,10	4,72
70	$2\frac{3}{4}$	69,85	60,45	3,5	8000	49	103	119	134	10	3,00	4,08	6,12
77	3	76,20	66,80	3,5	9800	54	112	130	145	12	3,62	5,32	8,98

Fig. 1075—1076.

**Schraubensicherung, Fig. 1075—1076.****Tabelle 176. mm.**

<i>d</i>	Gewinde in Zoll	<i>D</i>	<i>a</i>	<i>b</i>	<i>c</i>	<i>e</i>	<i>f</i>	<i>g</i>
13	$\frac{1}{2}$	22	10	11	20	30	3	6
16	$\frac{5}{8}$	26	12	12	23	33	3	6
20	$\frac{3}{4}$	30	14	13	26	40	4	10
23	$\frac{7}{8}$	34	16	14	29	46	4	10
26	1	39	18	15	33	50	4	10
30	$1\frac{1}{8}$	43	20	16	36	55	5	10
33	$1\frac{1}{4}$	47	23	18	40	62	5	10
36	$1\frac{3}{8}$	53	25	20	45	65	6	10
40	$1\frac{1}{2}$	58	27	21	50	74	6	13
43	$1\frac{5}{8}$	64	30	22	55	80	6	13
46	$1\frac{3}{4}$	69	33	24	60	85	6	13
50	$1\frac{7}{8}$	75	36	26	65	90	8	13
52	2	82	40	28	70	95	8	13
60	$2\frac{1}{4}$	89	44	30	75	105	9	13
65	$2\frac{1}{2}$	96	48	32	80	115	9	13
70	$2\frac{3}{4}$	103	52	34	85	130	10	16
78	3	110	55	36	92	140	10	16

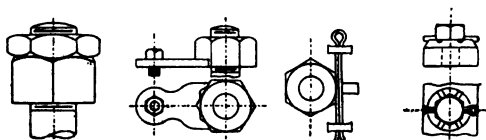
**Schraubensicherungen. Fig. 1077—1082.**

Fig. 1083—1084.

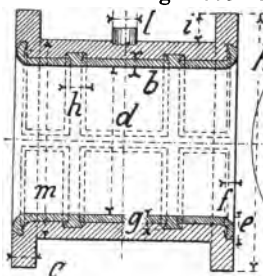
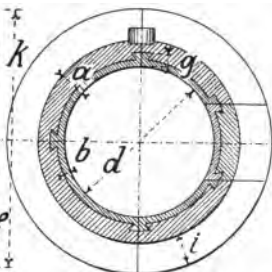


Fig. 1085.

**Lagerschalen. Fig. 1083—1085. Tabelle 177. mm.**

d	Gusseisen mit Weissgussfutter, Fig. 1083—1084.											Rotguss Fig. 1085.				
	a	b	c	e	f	g	h	i	k	l	m	n	o	p	q	r
70	—	—	—	—	—	—	—	—	—	—	—	8	10	86	10	20
80	—	—	—	—	—	—	—	—	—	—	—	9	11	98	10	20
90	—	—	—	—	—	—	—	—	—	—	—	10	12	110	10	22
100	20	6	14	16	13	12	15	16	172	24	140	10	12	120	10	24
110	22	6	14	18	14	12	15	18	190	24	154	11	13	132	12	24
120	22	6	15	20	15	12	16	18	200	26	164	12	14	144	12	26
130	24	7	15	20	15	14	16	20	218	26	178	12	15	154	12	26
140	26	7	16	21	16	14	17	20	232	28	192	13	16	166	14	28
150	28	7	16	22	16	14	17	22	250	28	206	13	16	176	14	28
160	30	8	18	23	16	16	18	24	268	30	220	14	17	188	16	30
170	30	8	20	23	18	16	18	24	278	30	230	14	18	198	16	30
180	32	8	20	24	18	16	19	26	296	32	244	15	18	210	18	32
190	33	9	22	26	18	17	19	28	312	34	256	16	19	222	18	34
200	35	9	24	27	20	17	20	30	330	36	270	18	20	236	20	36
220	38	9	26	28	20	17	21	33	342	38	276	19	22	258	22	36
240	41	10	28	30	22	18	22	36	394	40	322	20	24	280	24	40
260	44	10	30	30	22	18	23	38	424	40	348	21	25	302	26	40
280	44	10	34	32	24	18	24	40	448	42	368	22	26	324	28	42
300	50	11	36	34	24	19	25	44	488	42	400	24	28	348	30	42
320	53	11	36	34	26	19	26	46	518	44	426	25	30	370	32	44
340	56	11	38	36	26	19	27	50	552	46	452	26	33	392	34	46
360	59	12	38	38	28	21	28	54	586	48	478	28	34	416	36	48
380	62	12	40	38	28	21	29	58	620	48	504	30	35	440	38	48
400	65	12	40	40	32	21	30	60	650	50	530	31	36	462	40	50
450	72	12	42	42	32	21	32	65	724	52	594	35	40	520	45	52
500	80	15	42	44	34	25	34	70	800	54	660	38	44	576	50	54

Eine gute Legierung für Weissmetall ist:
5,4 Teile Kupfer, 7,8 Teile Antimon, 86,8 Teile Zinn.

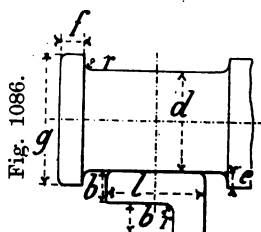


Fig. 1086.

Stirnzapfen

und Schablone zur Abrundung der Lagerläufe. Fig. 1086.

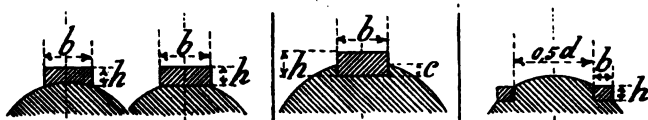
Tabelle 178. mm.

d	e	f	g	r	l	b
40	5	8	50	3	40	20
50	6	10	62	3	50	25
60	7	10	74	3	60	30
70	8	10	86	4	70	35
80	9	12	98	4	80	35
90	10	12	110	4	90	35
100	10	12	120	5	100	40
110	11	15	132	5	110	40
120	12	18	144	6	120	50
130	12	18	154	6	120	50
140	13	20	166	7	120	50
150	13	20	176	7	120	50
160	14	22	188	8	120	50
170	14	22	198	8	120	50
180	15	25	210	9	120	50
190	16	25	222	9	120	50
200	18	25	236	10	130	50
220	19	30	258	10	130	50
240	20	30	280	12	130	50
260	21	30	302	13	130	50
280	22	30	324	14	130	50
300	24	30	348	15	130	50
320	25	30	370	16	140	50
340	26	35	392	17	140	50
360	28	35	416	18	140	50
380	30	40	440	20	140	50
400	31	40	462	20	140	50
450	35	45	522	22	140	50
500	38	50	576	25	140	50

Fig. 1087—1088.

Fig. 1089.

Fig. 1090.



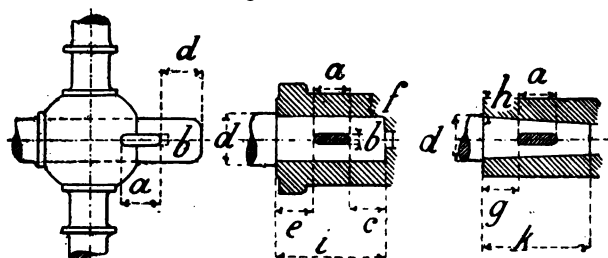
Torsionskeile, Fig. 1087—1090.

Tabelle 179. mm.

Welle <i>d</i>	Hohl- u. Flachkeil Fig. 1087—1088.		Nutenkeil Fig. 1089.			Doppelkeil Fig. 1090.	
	<i>b</i>	<i>h</i>	<i>b</i>	<i>h</i>	<i>c</i>	<i>b</i>	<i>h</i>
20—29	11	4	11	6	2	—	—
30—39	13	5	13	7	2	—	—
40—49	15	6	15	8	3	—	—
50—59	17	6	17	9	3	—	—
60—69	19	7	19	10	4	—	—
70—79	21	7	21	12	4	—	—
80—89	23	8	23	13	5	—	—
90—99	25	10	25	14	5	—	—
100—119	30	12	30	16	6	—	—
120—139	—	—	34	18	7	—	—
140—159	—	—	38	20	8	—	—
160—179	—	—	42	22	8	—	—
180—199	—	—	46	24	9	—	—
200—219	—	—	50	27	10	25	20
220—239	—	—	55	30	12	28	22
240—259	—	—	60	34	13	30	24
260—279	—	—	65	36	14	33	26
280—299	—	—	70	38	15	35	28
300—324	—	—	75	40	16	38	30
325—349	—	—	80	43	17	40	32
350—374	—	—	86	46	18	43	34
375—399	—	—	92	50	20	46	36
400—449	—	—	100	55	22	50	40
450—500	—	—	110	60	24	55	44

Den Anzug des Keiles nehme man = $\frac{1}{100}$ von der Länge.

Fig. 1091 — 1093.

**Keilverbindungen.** Fig. 1091—1093.**Tabelle 180.** mm.

<i>d</i>				Gusseisen		Schmiedeeisen			
	<i>a</i>	<i>b</i>	<i>c</i>	<i>e</i>	<i>f</i>	<i>g</i>	<i>h</i>	<i>i</i>	<i>k</i>
30	24	8	20	25	16	20	10	70	68
35	28	9	25	30	18	22	12	85	80
40	32	10	30	34	20	25	13	95	93
45	36	11	32	38	22	28	14	105	102
50	40	12	35	44	24	32	16	120	114
60	50	15	42	52	30	38	18	145	138
70	57	18	50	60	35	44	22	165	161
80	64	21	56	63	40	50	25	190	181
90	72	23	63	72	45	55	28	210	203
100	80	25	70	80	50	65	30	230	229
125	105	32	85	100	60	80	35	290	287
150	140	37	105	120	70	100	40	365	366
200	200	50	140	160	85	130	50	500	498

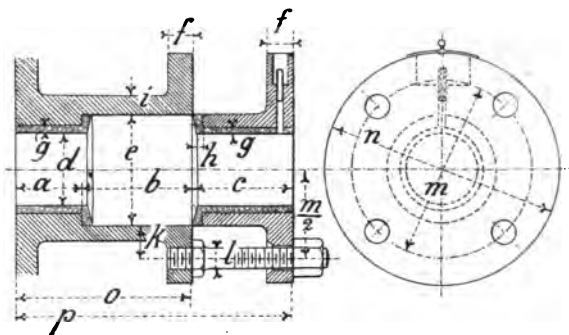


Fig. 1094—1095.

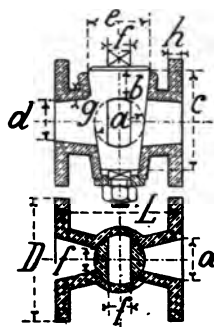


Fig. 1096—1097.

Hähne. Fig. 1096—1097.

Tabelle 181. mm.

<i>d</i>								Gusseisen		Bronze	
	<i>L</i>	<i>D</i>	<i>a</i>	<i>b</i>	<i>c</i>	<i>e</i>	<i>f</i>	<i>g</i>	<i>h</i>	<i>g</i>	<i>h</i>
15	80	80	20	12	42	25	9	10	12	6	8
20	90	95	26	15	55	32	12	11	13	6	8
25	100	110	33	18	70	40	15	11	14	7	10
30	120	120	40	22	85	50	18	12	14	7	10
35	130	130	46	26	95	59	21	12	16	8	12
40	140	140	53	30	110	65	24	13	16	8	12
45	160	150	60	34	125	74	27	13	18	9	12
50	170	160	66	38	140	82	30	13	18	9	12
60	200	175	80	45	160	99	36	13	18	9	12
70	230	185	93	50	190	115	42	14	19	10	14
80	260	200	106	60	220	131	48	14	19	10	14
90	290	215	120	68	250	148	54	15	20	11	15
100	320	230	133	75	280	167	60	15	20	11	15

Stopfbüchsen. Fig. 1094—1095.

Tabelle 182. mm.

										Schrauben					
<i>d</i>	<i>a</i>	<i>b</i>	<i>c</i>	<i>e</i>	<i>f</i>	<i>g</i>	<i>h</i>	<i>i</i>	<i>k</i>	Zahl	<i>l</i>	<i>m</i>	<i>n</i>	<i>o</i>	<i>p</i>
10	10	40	39	26	12	—	4	8	17	2	10	60	88	50	89
12	10	43	42	30	13	—	4	8	18	2	10	66	95	53	95
14	10	46	45	33	14	—	4	8	19	2	10	71	100	56	101
16	15	49	48	36	15	—	4	8	20	2	13	76	110	64	112
18	15	52	51	40	16	—	5	10	22	2	13	84	118	67	118
20	15	55	53	43	17	3	5	10	23	2	13	89	122	70	123
23	15	58	57	50	18	3	5	10	24	2	13	98	132	73	130
26	20	62	60	55	19	3	5	11	25	2	13	105	138	82	142
30	20	66	63	60	20	4	6	12	25	2	16	110	144	86	149
33	25	70	67	65	21	4	6	12	27	2	16	119	160	95	162
36	30	75	71	70	22	4	6	13	29	2	16	128	168	105	176
40	30	80	75	75	23	5	7	14	30	2	16	135	174	110	185
43	35	85	79	80	24	5	7	15	32	2	20	144	192	120	199
46	35	90	82	85	25	5	8	15	33	2	20	151	200	125	207
50	40	100	86	90	26	6	8	16	34	3	20	158	206	135	221
55	45	105	91	95	27	6	8	17	34	3	20	163	212	145	236
60	50	105	96	100	28	7	9	18	34	3	20	168	216	155	251
65	55	110	101	105	29	7	9	19	35	3	20	175	230	165	266
70	60	115	106	110	30	8	10	20	35	3	23	180	234	175	281
75	65	120	110	120	30	8	10	21	38	3	23	196	250	185	295
80	70	125	115	125	31	8	10	22	40	4	23	205	254	195	310
85	75	130	119	130	31	9	11	23	40	4	23	210	270	205	324
90	80	135	124	135	32	9	11	24	40	4	26	215	274	215	339
95	85	140	128	140	32	9	11	25	40	4	26	220	280	225	353
100	90	150	134	150	34	10	12	26	44	4	30	238	304	240	374
105	90	155	138	155	34	10	12	27	44	4	30	243	308	245	383
110	95	160	143	160	35	10	12	28	44	4	30	248	314	255	398
115	95	165	147	165	35	10	13	28	44	4	30	253	318	260	407
120	100	170	152	170	36	11	13	29	45	4	30	260	322	270	422
125	100	180	157	180	37	11	13	30	47	4	33	274	348	280	437
130	105	185	162	185	38	11	14	30	48	4	33	281	352	290	452
135	105	190	167	190	38	11	14	30	48	4	33	286	358	295	462
140	110	195	171	195	39	12	15	31	49	4	36	293	372	305	476
145	110	200	175	200	39	12	15	31	49	4	36	298	376	310	485
150	120	210	180	210	40	12	16	32	52	4	36	314	392	330	510
160	120	215	184	220	41	13	16	33	54	4	40	328	412	335	519
170	130	220	188	230	42	13	17	33	54	4	40	338	422	350	538
180	130	225	193	240	43	13	17	33	54	4	40	348	432	355	548
190	140	230	197	250	44	13	18	34	55	4	40	360	452	370	567
200	140	235	200	265	45	14	18	35	58	4	43	383	470	375	575

Fig. 1100—1101.

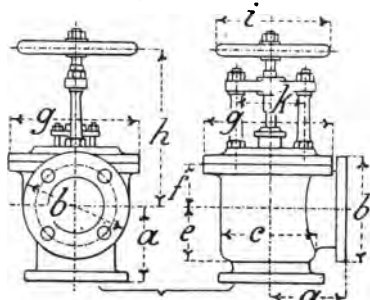
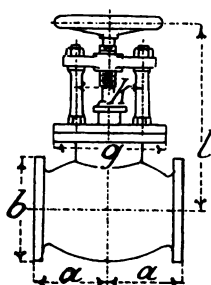


Fig. 1102.

**Ventile.** Fig. 1100—1102.**Tabelle 184.** mm.

<i>d</i>	<i>a</i>	<i>b</i>	<i>c</i>	<i>e</i>	<i>f</i>	<i>g</i>	<i>h</i>	<i>i</i>	<i>k</i>	<i>l</i>
20	70	100	25	35	35	110	160	130	50	225
30	80	120	50	55	55	125	180	140	60	240
40	90	140	75	60	60	140	200	150	70	260
50	100	160	90	65	65	160	220	170	80	280
60	110	175	105	70	70	180	240	180	90	300
70	120	185	120	75	75	200	260	200	100	320
80	130	200	135	80	80	220	280	210	110	340
90	140	215	150	90	85	240	300	230	120	360
100	150	230	165	100	90	260	320	240	130	380
110	160	245	180	110	95	280	340	250	140	400
120	170	260	200	120	100	300	360	270	150	420
130	180	275	215	130	110	320	380	280	160	440
140	190	285	230	140	115	335	400	300	170	460
150	200	290	240	150	120	350	425	310	175	475

Elastizitäts- und in Kilogramm

Tabelle

Material	Elastizitäts-Modul		Bruchmodul K für ruhende Belastung				Tragmodul T Elastizitätsgrenze			
	Zug u. Druck E	Schub G	Zug	Druck	Biegung	Schub	Zug	Druck	Biegung	Drehung
Schmiedeeisen in Stäben . .	2000000	800000	3800	3800	5000	3500	1400	1400	—	—
Eisenblech = *) .	2000000	800000	3000	—	—	2400	—	—	—	—
„ \perp . .	—	—	2700	—	—	—	—	—	—	—
Bessemerstahl .	2150000	860000	5500	—	8000	4000	3000	3000	3000	1450
Gussstahl . . .	2150000	860000	7500	—	—	—	—	—	—	1450
Federgussstahl, gehärtet . .	2150000	860000	—	—	—	—	—	—	—	—
Gusseisen . . .	1000000	400000	1250	7500	2550	1500	750	1500	800	—
Phosphorbronze	950000	380000	4000	—	—	—	1300	—	—	—
Bronze	700000	280000	2000	—	—	—	385	—	—	—
Kupferblech, gehämmert . .	1110000	440000	—	—	—	—	1400	1400	—	—
Eiche, Buche, Esche	120000	—	950	480	720	70	270	120	—	—
Kiefer, Fichte, Tanne	110000	—	800	400	600	50	270	120	—	—

Es gelten die zulässigen Beanspruchungen

unter a, wenn die Belastung eine ruhende ist,

unter b, wenn die Beanspruchung eine wechselnde ist derart, dass die hervorgerufenen Spannungen abwechselnd von Null bis zu einem Maximum wachsen und dann wieder bis auf Null zurückgehen (wiederholte Biegung, Dehnung und Drehung nach einer Richtung hin),

unter c, wenn die Beanspruchung eine wechselnde ist derart, dass die

*) = bedeutet parallel zur Walzrichtung,

\perp bedeutet senkrecht zur Walzrichtung.

Festigkeitscoefficienten*)

pro Quadratcentimeter.

185.

Zulässige Belastung k													
Zug k_1			Druck k_2		Biegung k_3			Schub k_4			Drehung k_5		
a	b	c	a	b	a	b	c	a	b	c	a	b	c
900	600	300	900	600	900	600	300	720	480	240	360	240	120
900	600	300	—	—	—	—	—	—	—	—	—	—	—
—	—	—	—	—	—	—	—	720	480	240	—	—	—
1350	900	450	1350	900	1350	900	450	1080	720	360	540	360	180
1500	1000	500	1500	1000	1500	1000	500	1200	800	400	600	400	200
—	—	—	—	—	—	4300	—	—	—	—	—	—	—
300	200	100	900	600	450	300	150	—	160	—	150	100	50
750	500	250	—	—	750	500	250	—	—	—	300	200	100
300	200	100	—	—	300	200	100	—	—	—	—	—	—
900	—	—	—	—	—	—	—	—	—	—	—	—	—
120	66	—	—	—	120	66	} mittlere Werte	—	—	—	—	—	—
80	60	—	—	—	80	60		—	—	—	—	—	—

dadurch hervorgerufenen Spannungen abwechselnd von einem grössten negativen Wert stetig wachsen bis zu einem grössten positiven, in absoluter Beziehung gleichgrossen Wert, dann wieder abnehmen u. s. w. (wiederholte Biegung oder Drehung nach entgegengesetzter Richtung u. s. w.).

Für zwischenliegende Beanspruchungen können dazwischenliegende Werte angenommen werden.

Beim Auftreten von Stössen in den Constructionsteilen ist die zulässige Beanspruchung kleiner anzunehmen.

*) S. auch „Uhlich“ „Die Festigkeitslehre“.

Zug- und Druckfestigkeit.

P sei die Zug- resp. Druckkraft in kg,
 F die Querschnittsfläche in qcm,
 dann ist die Beanspruchung in kg pro qcm

$$k_1 = \frac{P}{F} \text{ resp. } k_2 = \frac{P}{F}.$$

Schub- oder Scheerfestigkeit.

Die zulässige Beanspruchung ist $\frac{4}{5}$ derjenigen der Zugfestigkeit, also: $k_4 = \frac{4}{5} k_1$; $k_4 = \frac{P}{F}$.

Beispiel: Der Kreuzkopfkeil der Dampfmaschine $\frac{550}{1000}$ ist 2,1 cm breit und 6,4 cm hoch, der axiale Kolbendruck beträgt 11600 kg, für den in 2 Querschnitten beanspruchten Keil ist $k_4 = \frac{11600}{2 \cdot 21 \cdot 6,4} = 438 \text{ kg pro qcm}$. Es ist hier die Beanspruchung unter c massgebend und würde nach Tabelle 185 für Gussstahl 400 kg pro qcm zulässig sein.

Die Biegezugfestigkeit.

P sei die biegende Kraft in kg,
 M_b das Biegemoment in cmkg,
 W das Widerstandsmoment pro qcm, s. Tab. 188 u. 189,
 k_3 die Beanspruchung in kg pro qcm, s. Tab. 185,

dann ist: $M_b = W k_3$; $k_3 = \frac{M_b}{W}$.

Werte der Biegemomente.

Tabelle 186.

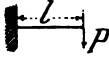
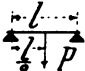
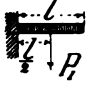

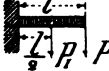
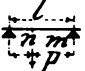

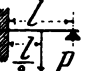
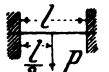
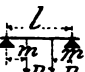

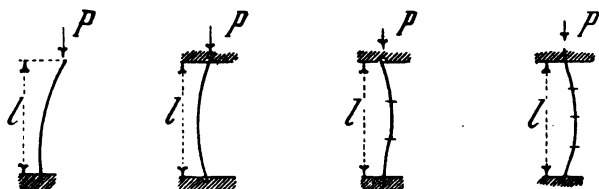
Fig. 1108—1108.		Fig. 1109—1113.	
Belastung	Biegemoment	Belastung	Biegemoment
	Pl		$\frac{Pl}{4}$
	$\frac{Pl}{2}$		$\frac{Pl}{8}$
	$(P + \frac{Pl}{2})l$		$\frac{Pl}{8}$
	$\frac{Pl}{8}$		$\frac{Pl}{16}$
	$\frac{Pl}{8}$		Pm
	$\frac{Pl}{12}$		

Fig. 1114—1117.



Werte der Zerknickungsfestigkeit.

Tabelle 187.

$P = \frac{2,5 J E}{m l^2}$	$P = \frac{10 J E}{m l^2}$	$P = \frac{20 J E}{m l^2}$	$P = \frac{40 J E}{m l^2}$
$\frac{l}{d} > 10$	$\frac{l}{d} > 20$	$\frac{l}{d} > 30$	$\frac{l}{d} > 40$

m Sicherheitsgrad.

Giebt beim runden Querschnitt $\frac{l}{d}$ resp. Länge dividiert durch Durchmesser kleinere Werte als in der letzten Rubrik, so ist der Stab auf Druck zu berechnen.

Die Torsionsfestigkeit.

P sei die auf Torsion wirkende Kraft in kg,
 r der Hebelarm, an welchem P wirkt in cm,
 d der Durchmesser der auf Torsion beanspruchten Welle in cm,

k_5 die zulässige Belastung nach Tab. 185,
 J_p das polare Trägheitsmoment (s. Seite 380),
 a der Abstand der äussersten Faser,

so ist: $M_d = \frac{J_p}{a} k = W_p k.$

Zusammensetzung der Torsions- u. Biegefestigkeit.

Ist M_d das Drehungsmoment,

M_b das Biegemoment,

dann ist das ideelle Biegemoment, welches beide ersetzt (Annäherungsformel nach Poncelet)

wenn $M_b > M_d$. . . $(M_b)_i = 0,975 M_b + 0,25 M_d$

wenn $M_b < M_d$. . . $(M_b)_i = 0,625 M_b + 0,6 M_d.$

Beispiel: Die Kurbelwelle, Fig. 1118, der Maschine, 45 cm Drchm., 80 cm Hub, hat in der Mitte 25 cm Drchm. Das Gewicht des Schwungrades ist $G = 3000$ kg.

Für 6 At. Überdruck bestimmt sich das Torsionsmoment nach:

$$M_d = P_r = 9350 \cdot 40 = 374000 \text{ cmkg.}$$

Das Biegemoment

Fig. 1118.

$$M_b = \frac{G \cdot m \cdot n}{m + n} = \frac{3000 \cdot 90 \cdot 100}{190} = 142100 \text{ cmkg.}$$

Da $M_d > M_b$ so ist das ideelle Biegemoment

$$(M_b)_i = 0,625 \cdot 142100 + 0,6 \cdot 374000 = 313212 \text{ kg,}$$


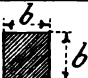



also die Beanspruchung pro qcm

$$k = \frac{(M_b)_i}{W} = \frac{313212}{1584} = \sim 204 \text{ kg.}$$

Werte von „ J “ und „ W “.

Tabelle 188.

Fig. 1119—1123.

Querschnitt.	Trägheitsmoment.	Widerstandsmoment.
	$J = \frac{b h^3}{12}$	$W = \frac{b h^2}{6}$
	$J = \frac{b^4}{12}$	$W = \frac{b^3}{6}$
	$J = \sim 0,05 d^4$	$W = \sim 0,1 d^3$
	$J = \sim 0,05 (D^4 - d^4)$	$W = \sim \frac{0,1 (D^4 - d^4)}{D}$
	$J = \sim 0,05 b h^3$	$W = \sim 0,1 b h^2$

Werte des polaren Trägheitsmomentes J_p und des polaren Widerstandsmomentes W_p für den kreisrunden Querschnitt.

$J_p = \frac{\pi}{32} d^4 = \sim 0,1 d^4$	$W_p = \frac{\pi}{16} d^3 = \sim 0,2 d^3$
---	---

Trägheitsmoment $J = \frac{\pi \cdot d^4}{64}$

und Widerstandsmoment $W = \frac{\pi \cdot d^3}{32}$

des kreisförmigen Querschnittes bezogen auf den Durchmesser d .

Tabelle 189.

d	J	W	d	J	W	d	J	W
1	0,0491	0,0982	35	73662	4209	69	1112660	32251
2	0,7854	0,7854	36	82448	4580	70	1178588	33674
3	3,976	2,651	37	91998	4973	71	1247393	35138
4	12,57	6,283	38	102354	5387	72	1319167	36644
5	30,68	12,27	39	113561	5824	73	1393995	38192
6	63,62	21,21	40	125664	6283	74	1471963	39783
7	117,9	33,67	41	138709	6766	75	1553156	41417
8	201,1	50,27	42	152745	7274	76	1637662	43096
9	322,1	71,57	43	167820	7806	77	1725571	44820
10	490,9	98,17	44	183984	8363	78	1816972	46589
11	718,7	130,7	45	201289	8946	79	1911967	48404
12	1018	169,6	46	219787	9556	80	2010619	50265
13	1402	215,7	47	239531	10193	81	2113051	52174
14	1886	269,4	48	260576	10857	82	2219347	54130
15	2485	331,3	49	282979	11550	83	2329605	56135
16	3217	402,1	50	306796	12272	84	2443920	58189
17	4100	482,3	51	332086	13023	85	2562392	60292
18	5153	572,6	52	358908	13804	86	2685120	62445
19	6397	673,4	53	387323	14616	87	2812205	64648
20	7854	785,4	54	417393	15459	88	2943748	66903
21	9547	909,2	55	449180	16334	89	3079853	69210
22	11499	1045	56	482750	17241	90	3220623	71569
23	13737	1194	57	518166	18181	91	3366165	73982
24	16286	1357	58	555497	19155	92	3516586	76448
25	19175	1534	59	594810	20163	93	3671992	78968
26	22432	1726	60	636172	21206	94	3832492	81542
27	26087	1932	61	679651	22284	95	3998198	84173
28	30172	2155	62	725332	23398	96	4169220	86859
29	34719	2394	63	773272	24548	97	4345671	89601
30	39761	2651	64	823550	25736	98	4527664	92401
31	45333	2925	65	876240	26961	99	4715315	95259
32	51472	3217	66	931420	28225	100	4908738	98175
33	58214	3528	67	989166	29527			
34	65597	3859	68	1049556	30869			

Kreisumfang und Inhalt.

Tabelle 190.

Durch- messer	Um- fang	Inhalt	Durch- messer	Um- fang	Inhalt	Durch- messer	Um- fang	Inhalt
0,5	1,571	0,1964	21	65,97	346,36	41,5	130,4	1352,7
1	3,142	0,7854	21,5	67,54	363,05	42	131,9	1385,4
1,5	4,712	1,7671	22	69,12	380,13	42,5	133,5	1418,6
2	6,283	3,1416	22,5	70,69	397,61	43	135,1	1452,2
2,5	7,854	4,9087	23	72,26	415,48	43,5	136,7	1486,2
3	9,425	7,0686	23,5	73,83	433,74	44	138,2	1520,5
3,5	11,000	9,6211	24	75,40	452,39	44,5	139,8	1555,3
4	12,566	12,566	24,5	76,97	471,44	45	141,4	1590,4
4,5	14,173	15,902	25	78,54	490,87	45,5	142,9	1626,0
5	15,71	19,635	25,5	80,11	510,71	46	144,5	1661,9
5,5	17,28	23,758	26	81,68	530,93	46,5	146,1	1698,2
6	18,85	28,274	26,5	83,25	551,55	47	147,7	1734,9
6,5	20,42	33,183	27	84,82	572,56	47,5	149,2	1772,1
7	21,99	38,485	27,5	86,39	593,96	48	150,8	1809,6
7,5	23,56	44,179	28	87,96	615,75	48,5	152,4	1847,5
8	25,13	50,265	28,5	89,54	637,94	49	153,9	1885,7
8,5	26,70	56,745	29	91,11	660,52	49,5	155,5	1924,4
9	28,27	63,617	29,5	92,68	683,49	50	157,1	1963,5
9,5	29,85	70,882	30	94,25	706,86	50,5	158,7	2003,0
10	31,42	78,540	30,5	95,82	730,62	51	160,2	2042,8
10,5	32,99	86,590	31	97,39	754,77	51,5	161,8	2083,1
11	34,56	95,033	31,5	98,96	779,31	52	163,4	2123,7
11,5	36,13	103,87	32	100,53	804,25	52,5	164,9	2164,8
12	37,70	113,10	32,5	102,10	829,58	53	166,5	2206,2
12,5	39,27	122,72	33	103,63	855,30	53,5	168,1	2248,0
13	40,84	132,73	33,5	105,24	881,41	54	169,6	2290,2
13,5	42,41	143,14	34	106,8	907,92	54,5	171,2	2332,8
14	43,98	153,94	34,5	108,4	934,82	55	172,8	2375,8
14,5	45,55	165,13	35	110,0	962,11	55,5	174,4	2419,2
15	47,12	166,71	35,5	111,5	989,80	56	175,9	2463,0
15,5	48,69	188,69	36	113,1	1017,88	56,5	177,5	2507,2
16	50,27	201,06	36,5	114,7	1046,35	57	179,1	2551,8
16,5	51,84	213,82	37	116,2	1075,21	57,5	180,6	2596,7
17	53,41	226,98	37,5	117,8	1104,47	58	182,2	2642,1
17,5	54,98	240,53	38	119,4	1134,11	58,5	183,8	2687,8
18	56,55	254,47	38,5	121,0	1164,16	59	185,4	2734,0
18,5	58,12	268,80	39	122,5	1194,59	59,5	186,9	2780,5
19	59,69	283,53	39,5	124,1	1225,40	60	188,5	2827,4
19,5	61,26	298,65	40	125,7	1256,6	60,5	190,1	2874,8
20	62,83	314,16	40,5	127,2	1288,2	61	191,6	2922,5
20,5	64,40	330,06	41	128,8	1320,3	61,5	193,2	2970,6

Durch- messer	Um- fang	Inhalt	Durch- messer	Um- fang	Inhalt	Durch- messer	Um- fang	Inhalt
62	194,8	3019,1	75	235,6	4417,9	88	276,5	6082,1
62,5	196,4	3068,0	75,5	237,2	4477,0	88,5	278,0	6151,4
63	197,9	3117,2	76	238,8	4536,5	89	279,6	6221,1
63,5	199,5	3166,9	76,5	240,3	4596,3	89,5	281,2	6291,2
64	201,1	3217,0	77	241,9	4656,6	90	282,7	6361,7
64,5	202,6	3267,5	77,5	243,5	4717,3	90,5	284,3	6432,6
65	204,2	3318,3	78	245,0	4778,4	91	285,9	6503,9
65,5	205,8	3369,6	78,5	246,6	4839,8	91,5	287,5	6575,5
66	207,3	3421,2	79	248,2	4901,7	92	289,0	6647,6
66,5	208,9	3473,2	79,5	249,8	4963,9	92,5	290,6	6720,1
67	210,5	3525,7	80	251,3	5026,5	93	292,2	6792,9
67,5	212,1	3578,5	80,5	252,9	5089,6	93,5	293,7	6866,1
68	213,6	3631,7	81	254,5	5153,0	94	295,3	6939,8
68,5	215,2	3685,3	81,5	256,0	5216,8	94,5	296,9	7013,8
69	216,8	3739,3	82	257,6	5281,0	95	298,5	7088,2
69,5	218,3	3793,7	82,5	259,2	5345,6	95,5	300,0	7163,0
70	219,9	3848,5	83	260,8	5410,6	96	301,6	7238,2
70,5	221,5	3903,6	83,5	262,3	5476,0	96,5	303,2	7313,8
71	223,1	3959,2	84	263,9	5541,8	97	304,7	7389,8
71,5	224,6	4015,2	84,5	265,5	5607,9	97,5	306,3	7466,2
72	226,2	4071,5	85	267,0	5674,5	98	307,9	7543,0
72,5	227,8	4128,2	85,5	268,6	5741,5	98,5	309,4	7620,1
73	229,3	4185,4	86	270,2	5808,8	99	311,0	7697,7
73,5	230,9	4242,9	86,5	271,7	5876,5	99,5	312,6	7775,6
74	232,5	4300,8	87	273,3	5944,7	100	314,2	7854,0
74,5	234,0	4359,2	87,5	274,9	6013,2			

Reduction von:

Druck der At. abs. in kg pro qcm auf Pfund pro □ Zoll engl.

Tabelle 191.

At. abs. . . .	1	2	3	4	5	6	7	8	9	10
Pfd. pr. □ Zoll engl. .	14,2	28,4	42,6	56,8	71,0	85,2	99,4	114	128	142

Reduction von:

Luftleere in At. abs. auf Quecksilbersäule in cm.

Tabelle 192.

At. abs. . . .	0,1	0,2	0,3	0,4	0,5	0,6	0,7	0,8	0,9	1,0
Quecksilbersäule in cm	7,6	15,2	22,8	30,4	38,0	45,6	53,2	60,8	68,4	76,0

Temperatur und Gewicht der gesättigten Wasserdämpfe.

Tabelle 193.

At. abs. pr. 1 kg pr. qcm	Tempe- ratur in Grad C	Dampf- gewicht in kg pr. cbm	At. abs. pr. 1 kg pr. qcm	Tempe- ratur in Grad C	Dampf- gewicht in kg pr. cbm
<i>p</i>	<i>t</i>	<i>γ</i>	<i>p</i>	<i>t</i>	<i>γ</i>
0,0	—	—	3	132.8	1,633
0,1	45.6	0.067	3,2	135	1,735
0,2	59.8	0,128	3,5	138.1	1,888
0,3	68.7	0.188	3.8	141	2,039
0,4	75.5	0.246	4	142.8	2.140
0.5	80,9	0,303	4,2	144.6	2.224
0,6	85.5	0.360	4.5	147.1	2,390
0,7	89.5	0.416	4.8	149.5	2.539
0.8	93	0,472	5	151	2.641
0,9	96.2	0,527	5.5	154.6	2,886
1,0	99.1	0,582	6	157.9	3.132
1,1	101.8	0.637	6.5	161.1	3,376
1,2	104.2	0,691	7	164	3,619
1,3	106.6	0.745	7,5	166.8	3.861
1,4	108.7	0.798	8	169.5	4,103
1,5	110.8	0.852	8.5	172	4,344
1,6	112.7	0,905	9	174.4	4,583
1,7	114.5	0,958	9,5	176.7	4.822
1,8	116.3	1.011	10	178.9	5.061
1,9	118	1.064	10.5	181	5.297
2,0	119.6	1,116	11	183	5,534
2,1	121,1	1,168	11,5	185	5,770
2,2	122.6	1,221	12	186.9	6,006
2,3	124	1,273	12,5	188.8	6,238
2,4	125.4	1,325	13	190.6	6,473
2,5	126,7	1,376	13,5	192.3	6,707
2,6	128	1,428	14	194	6,940
2,7	129,3	1,479	14,5	195.6	7,174
2,8	130,5	1,531	15	197,2	7,402
2,9	131,7	1,582			

Specifische Gewichte (abgerundet). Tabelle 195.

Gusseisen	7,3	Rotguss	8,7
Schmiedeeisen und Stahl	7,8	Weissguss	7,3
Kupfer	8,8	Blei	11,4

Quadrat- u. Rundeisen pro lfd. m in kg. Tabelle 196.

Dicke in Drehm.	Eisen □	Eisen ○	Dicke in Drehm.	Eisen □	Eisen ○	Dicke in Drehm.	Eisen □	Eisen ○	Dicke in Drehm.	Eisen □	Eisen ○
5	0,20	0,15	29	6,54	5,14	56	24,4	19,2	140	153	120
6	0,28	0,22	30	7,00	5,50	58	26,2	20,6	145	164	129
7	0,38	0,30	31	7,48	5,87	60	28,0	22,0	150	175	137
8	0,50	0,39	32	7,97	6,26	62	29,9	23,5	160	199	156
9	0,63	0,50	33	8,88	6,65	64	31,9	25,0	170	225	176
10	0,78	0,61	34	8,99	7,06	66	33,5	26,6	180	252	198
11	0,94	0,74	35	9,53	7,49	68	36,0	28,3	190	281	221
12	1,12	0,88	36	10,1	7,92	70	38,1	29,9	200	311	244
13	1,32	1,03	37	10,7	8,37	72	40,3	31,7	210	343	269
14	1,53	1,20	38	11,2	8,82	74	42,6	33,5	220	377	295
15	1,75	1,38	39	11,8	9,29	76	44,9	35,3	230	412	323
16	1,99	1,56	40	12,5	9,78	78	47,3	37,2	240	448	351
17	2,25	1,77	41	13,1	10,3	80	49,8	39,1	250	486	381
18	2,52	1,98	42	13,7	10,8	85	56,2	44,2	260	527	414
19	2,81	2,21	43	14,4	11,3	90	63,0	49,5	270	569	447
20	3,11	2,44	44	14,9	11,8	95	70,2	55,2	280	612	480
21	3,43	2,70	45	15,8	12,4	100	77,8	61,1	290	656	515
22	3,73	2,96	46	16,5	12,9	105	85,6	67,4	300	702	551
23	4,12	3,23	47	17,2	13,5	110	94,1	73,9	310	750	588
24	4,48	3,52	48	17,9	14,1	115	103	80,8	320	799	627
25	4,86	3,82	49	18,7	14,7	120	112	88,0	330	849	667
26	5,26	4,13	50	19,5	15,3	125	122	95,5	340	902	708
27	5,67	4,46	52	21,0	16,5	130	132	103	350	956	750
28	6,10	4,79	54	22,7	17,8	135	142	111	360	1011	794

Gewicht von 1 qm Blech in kg. Tabelle 197.

Dicke in mm	Schmiede- eisen	Guss- eisen	Guss- stahl	Kupfer	Messing	Zink	Blei
1	7,8	7,3	7,9	8,9	8,6	6,9	11,4
2	15,6	14,5	15,7	17,8	17,1	13,8	22,8
3	23,3	21,8	23,6	26,7	25,7	20,7	34,2
4	31,1	29,0	31,5	35,6	34,2	27,6	45,6
5	38,9	36,3	39,4	44,5	42,8	34,5	57,0
6	46,7	43,5	47,2	53,4	51,3	41,4	68,4
7	54,5	50,8	55,1	62,3	59,9	48,3	79,8
8	62,2	58,0	63,0	71,2	68,4	55,2	91,2
9	70,0	65,3	70,8	80,1	77,0	62,1	102,6
10	77,8	72,5	78,7	89,0	85,5	69,0	114,0
11	85,6	79,8	86,6	97,9	94,1	75,9	125,4
12	93,4	87,0	94,4	106,8	102,6	82,8	136,8
13	101,1	94,3	102,3	115,7	111,2	89,7	148,2
14	108,9	101,5	110,2	124,6	119,7	96,6	159,6
15	116,7	108,8	118,1	133,5	128,3	103,5	171,0
16	124,5	116,0	125,9	142,4	136,8	110,4	182,4
17	132,3	123,3	133,8	151,3	145,4	117,3	193,8
18	140,0	130,5	141,7	160,2	153,9	124,2	205,2
19	147,8	137,8	149,5	169,1	162,5	131,1	216,6
20	155,6	145,0	157,4	178,0	171,0	138,0	228,0

Gewichte der Flacheisen pro lfd. m in kg. Tab. 194.

Dicke in mm	Breite in mm													
	10	15	20	25	30	35	40	45	50	60	70	80	90	100
1	0,08	0,12	0,16	0,20	0,23	0,27	0,31	0,35	0,39	0,47	0,55	0,62	0,70	0,78
2	0,16	0,23	0,31	0,39	0,47	0,55	0,62	0,70	0,78	0,94	1,09	1,25	1,40	1,56
3	0,23	0,35	0,47	0,58	0,70	0,82	0,94	1,05	1,17	1,40	1,64	1,87	2,10	2,34
4	0,31	0,47	0,62	0,78	0,94	1,09	1,25	1,40	1,56	1,87	2,18	2,49	2,80	3,12
5	0,39	0,58	0,78	0,97	1,17	1,36	1,56	1,75	1,95	2,34	2,73	3,12	3,51	3,90
6	0,47	0,70	0,94	1,17	1,40	1,64	1,87	2,10	2,34	2,80	3,27	3,74	4,21	4,67
7	0,55	0,82	1,09	1,36	1,64	1,91	2,18	2,45	2,73	3,27	3,82	4,36	4,91	5,45
8	0,62	0,94	1,25	1,56	1,87	2,18	2,49	2,80	3,12	3,74	4,36	4,99	5,61	6,23
9	0,70	1,05	1,40	1,75	2,10	2,45	2,80	3,16	3,51	4,21	4,91	5,61	6,31	7,01
10	0,78	1,17	1,56	1,95	2,34	2,73	3,12	3,51	3,90	4,67	5,45	6,23	7,00	7,79
11	0,86	1,29	1,71	2,14	2,57	3,00	3,43	3,86	4,29	5,14	6,00	6,86	7,71	8,57
12	0,94	1,40	1,87	2,34	2,80	3,27	3,74	4,21	4,67	5,61	6,54	7,48	8,41	9,35
13	1,01	1,52	2,03	2,53	3,04	3,54	4,05	4,56	5,06	6,08	7,09	8,10	9,11	10,1
14	1,09	1,64	2,18	2,73	3,27	3,82	4,36	4,91	5,45	6,54	7,63	8,73	9,82	10,9
15	1,17	1,75	2,34	2,92	3,51	4,09	4,67	5,26	5,84	7,01	8,18	9,35	10,5	11,7
16	1,25	1,87	2,49	3,12	3,74	4,36	4,99	5,61	6,23	7,48	8,73	9,97	11,2	12,5
17	1,32	1,99	2,65	3,31	3,97	4,64	5,30	5,96	6,62	7,95	9,27	10,6	11,9	13,2
18	1,40	2,10	2,80	3,51	4,21	4,91	5,61	6,31	7,01	8,41	9,82	11,2	12,6	14,0
19	1,48	2,22	2,96	3,70	4,44	5,18	5,92	6,66	7,40	8,88	10,4	11,8	13,3	14,8
20	1,56	2,34	3,12	3,90	4,67	5,45	6,23	7,01	7,79	9,35	10,9	12,5	14,0	15,6
21	1,64	2,45	3,27	4,09	4,91	5,73	6,54	7,36	8,18	9,82	11,5	13,1	14,7	16,4
22	1,71	2,57	3,43	4,29	5,14	6,00	6,86	7,71	8,57	10,3	12,0	13,7	15,4	17,1
23	1,79	2,69	3,59	4,48	5,38	6,27	7,17	8,06	8,96	10,8	12,5	14,3	16,1	17,9
24	1,87	2,80	3,74	4,67	5,61	6,54	7,48	8,41	9,35	11,2	13,1	15,0	16,8	18,7
25	1,95	2,92	3,90	4,87	5,84	6,82	7,79	8,76	9,74	11,7	13,6	15,6	17,5	19,5
26	2,03	3,04	4,05	5,06	6,08	7,09	8,10	9,11	10,1	12,2	14,2	16,2	18,2	20,3
27	2,10	3,16	4,21	5,26	6,31	7,36	8,41	9,47	10,5	12,6	14,7	16,8	18,9	21,0
28	2,18	3,27	4,36	5,45	6,54	7,63	8,73	9,82	10,9	13,1	15,3	17,5	19,6	21,8
29	2,26	3,39	4,52	5,65	6,78	7,91	9,04	10,2	11,3	13,6	15,8	18,1	20,3	22,6
30	2,34	3,51	4,67	5,84	7,01	8,18	9,35	10,5	11,7	14,0	16,4	18,7	21,0	23,4
31	2,42	3,62	4,83	6,04	7,25	8,45	9,66	10,9	12,1	14,5	16,9	19,3	21,7	24,2
32	2,49	3,74	4,99	6,23	7,48	8,72	9,97	11,2	12,5	15,0	17,5	20,0	22,4	24,9
33	2,57	3,86	5,14	6,43	7,71	9,00	10,3	11,6	12,9	15,4	18,0	20,6	23,1	25,7
34	2,65	3,97	5,30	6,62	7,95	9,27	10,6	11,9	13,2	15,9	18,5	21,2	23,8	26,5
35	2,73	4,09	5,45	6,82	8,18	9,54	10,9	12,3	13,6	16,4	19,1	21,8	24,5	27,3
36	2,80	4,21	5,61	7,01	8,41	9,82	11,2	12,6	14,0	16,8	19,6	22,4	25,2	28,0
37	2,88	4,32	5,77	7,21	8,65	10,1	11,5	13,0	14,4	17,3	20,2	23,1	25,9	28,8
38	2,96	4,44	5,92	7,40	8,88	10,4	11,8	13,3	14,8	17,8	20,7	23,7	26,6	29,6
39	3,04	4,56	6,08	7,60	9,11	10,6	12,2	13,7	15,2	18,2	21,3	24,3	27,3	30,4
40	3,12	4,67	6,23	7,79	9,35	10,9	12,5	14,0	15,6	18,7	21,8	24,9	28,0	31,2
41	3,19	4,79	6,39	7,99	9,58	11,2	12,8	14,4	16,0	19,2	22,4	25,6	28,8	31,9
42	3,27	4,91	6,54	8,18	9,82	11,5	13,1	14,7	16,4	19,6	22,9	26,2	29,5	32,7
43	3,35	5,03	6,70	8,37	10,1	11,7	13,4	15,1	16,8	20,1	23,5	26,8	30,2	33,5
44	3,43	5,14	6,86	8,57	10,3	12,0	13,7	15,4	17,1	20,6	24,0	27,4	30,9	34,3
45	3,51	5,26	7,01	8,76	10,5	12,3	14,0	15,8	17,5	21,0	24,5	28,0	31,6	35,1
46	3,58	5,38	7,17	8,96	10,8	12,5	14,3	16,1	17,9	21,5	25,1	28,7	32,3	35,8
47	3,66	5,49	7,32	9,15	11,0	12,8	14,7	16,5	18,3	22,0	25,6	29,3	33,0	36,6
48	3,74	5,61	7,48	9,35	11,2	13,1	15,0	16,8	18,7	22,4	26,2	29,9	33,7	37,4
49	3,82	5,73	7,63	9,54	11,5	13,4	15,3	17,2	19,1	22,9	26,7	30,5	34,4	38,2
50	3,90	5,84	7,79	9,74	11,7	13,6	15,6	17,5	19,5	23,4	27,3	31,2	35,1	39,0

Abschnitt XVI.

Pumpen und Compressoren.

Wasserpumpen:

	Seite
Berechnung der Wasserpumpen	388
Anordnung der Windkessel	388
Kraftbedarf	388
Tabelle der Gefällverluste in der Rohrleitung	389
Beispiel und Allgemeines	389
Tabelle der Wandstärken für gusseiserne Röhren mit hohem, innerem Druck	390—391

Handspeisepumpen:

A. L. G. Dehne, Halle a/S.	392
E. Leutert, Halle a/S.	392

Pumpen mit Dampf- und Riemenbetrieb:

Maschinen- und Armaturfabrik Frankenthal	393
Wolff & Meinel, Halle a/S.	394—395
E. Leutert, Halle a/S.	398

Duplex-Pumpen:

Worthington-Pumpen-Compagnie, Berlin C	396—397
Koch, Bantelmann & Paasch, Magdeburg	397
Wolff & Meinel, Halle a/S.	398
Dimensionen u. Preise d. Kesselspeisepumpen	398—399

Compressoren:

Berechnung der Leistung	399—400
Werte der Temperaturerhöhung	400
Kraftbedarf	400
Überschlagswerte des mittleren Kolbenwiderstandes	400
Tabelle des Kraftbedarfs, um 1 cbm angesaugte Luft auf <i>p</i> At. zu pressen	400
Kühlvorrichtungen	400—401
Dimensionen, Gewichte und Preise der Luftcompressoren	401
Der Druckausgleich resp. die Überströmung	401
Luftcompressionsmaschinen mit Tabelle von Rud. Meyer, Mülheim (Ruhr)	402—403
Schieber-Luftcompressor von Burckhardt & Weiss, Basel	404

a. Wasserpumpen.

Es bezeichne:

Q das zu hebende Wasserquantum in cbm pr. Minute,
 D den Durchmesser des Pumpenkolbens in m,
 F den wirksamen Querschnitt des Pumpenkolbens in qm,
 s den Kolbenhub in m,
 n die Anzahl der Doppelhübe resp. Umdrehungen pr. Min.,
 c die Kolbengeschwindigkeit in m pr. Min.,
 $\varphi = 0,8$ bis $0,9$ den Wirkungsgrad der Pumpe,

so ist für:

einfach wirkende Pumpen

$$Q = F s n \varphi = \frac{D^2 \pi c}{4} \frac{\varphi}{2}$$

$$D = \sqrt{\frac{8 Q}{\pi c \varphi}}$$

doppelt wirkende Pumpen

$$Q = F 2 s n \varphi = D^2 \frac{\pi}{4} c \varphi$$

$$D = \sqrt{\frac{4 Q}{\pi c \varphi}}$$

Die mittlere **Kolbengeschwindigkeit** c nehme man 10 bis 30 m pr. Min.

Die **Wassergeschwindigkeit** in den Saug- und Druckröhren betrage etwa 1 m pro Sec., im Maximum 1,5 m. Je länger die Leitungen, desto kleiner sollen die Wassergeschwindigkeiten genommen werden.

In den **Ventilen** betrage die Wassergeschwindigkeit nicht über 1 m pr. Sec. Den **Hub der Ventile** nehme man etwa $\frac{1}{4}$ bis $\frac{1}{2}$ vom Durchmesser.

Den **Saugwindkessel** soll man nach Riedler*) nahe unterhalb der Saugventile anbringen und das Luftvolumen des Windkessels gleich dem fünf- bis zehnfachen Hubvolumen der Pumpe machen.

Der **Druckwindkessel** ist möglichst nahe an die Druckventile zu legen und das Luftvolumen des Druckwindkessels soll mindestens gleich dem 6 bis 12fachen Hubvolumen der Pumpe sein.

Je länger die Leitungen sind, um so grösser sollen die Windkessel sein,

Der **Kraftbedarf** in Pferdekräften

$$K = \eta \frac{H Q 1000}{75 \cdot 60} = 0,22 \eta H Q,$$

worin bedeutet:

H Druckhöhe plus Saughöhe in m,

$\eta = 1,2 - 1,5$ je nach der Güte der Pumpe.

*) Taschb. d. Hütte 1889.

Werte der Gefällverluste h

In den Wasserleitungsröhren (für $L = 100$ m Rohrlänge),

v Wassergeschwindigkeit in m pro Sec., d Rohrdurchmesser in mm.

Tabelle 198.

v	Rohrdurchmesser d												
	30	40	50	60	70	80	100	150	200	300	400	500	1000
0,25	0,4	0,26	0,19	0,15	0,12	0,10	0,08	0,05	0,03	0,02	0,01	—	—
0,50	1,8	1,0	0,78	0,61	0,50	0,42	0,32	0,20	0,14	0,10	0,07	0,05	0,02
0,75	3,8	2,3	1,8	1,35	1,1	0,9	0,75	0,45	0,32	0,21	0,15	0,12	0,05
1,00	7,1	4,2	3,1	2,5	2,0	1,7	1,3	0,8	0,58	0,38	0,27	0,21	0,1
1,25	9,8	6,5	3,85	3,8	3,1	2,65	2,0	1,25	0,90	0,6	0,45	0,35	0,15
1,50	16	9,5	7,0	5,5	4,5	3,8	2,9	1,8	1,3	0,8	0,6	0,5	0,2
2,00	30	17,0	12,5	9,8	8,0	6,7	5,1	3,2	2,3	1,5	1,0	0,9	0,4

Beispiel: Eine Pumpe ist vom Brunnen $L = 200$ m entfernt. Der Rohrdurchmesser d der Saugleitung ist 100 mm. Die Wassergeschwindigkeit $v = 1,25$ m pro Sec. Nach Tabelle 198 beträgt der Gefällverlust $h = \frac{200}{100} \cdot 2 = 4$ m. Wenn also die Pumpe direct über dem Brunnen steht, kann sie eine 4 m grössere Saughöhe vertragen.

Allgemeines.

Die Saugleitungen sollen nach der Pumpe zu steigen. Der sogenannte schäd. Raum soll möglichst klein sein. Man hat also vor allem darauf zu achten, dass das Saugventil so nahe als es die Construction zulässt, an dem Druckventil sitzt; und der unbearbeitete Teil bei Plungern nicht zu weit ist.

Bei Saug- und Druckröhren, die auf- oder absteigen, sammelt sich an hochgelegenen Stellen Luft an, die durch Luft-hähne entfernt werden muss.

Ursachen eines schlechten Pumpenbetriebes können sein: Undichte Kolben, schlecht verpackte Stopfbüchsen, undichte Röhren, Klappen und Ventile, verstopfte Saugröhren, zu grosse schäd. Räume.

Jedes Saugrohr soll mit einem Saugkorb versehen sein, dessen Durchgangsquerschnitt gleich dem 2,5- bis 3-fachen Saugrohrquerschnitt zu nehmen ist.

Tabelle der Wandstärken für guss-

Die Wandstärken sind berechnet nach der Formel
mit Erhöhung des bei D stehenden Faktors

Die Weisbach'sche Formel $\delta = 0,00238 \cdot p \cdot D + 8,6 \text{ mm}$

Lichter Drehm. des Rohres D mm	$\delta = 0,0025 D + 8$ mm	$\delta = 0,0036 D + 8$ mm	$\delta = 0,0048 D + 8$ mm	$\delta = 0,0060 D + 8$ mm	$\delta = 0,0072 D + 8$ mm	$\delta = 0,0088 D + 8$ mm
mm	δ für $p=10$	δ für $p=15$	δ für $p=20$	δ für $p=25$	δ für $p=30$	δ für $p=40$
40	9	9,5	10	10,5	11	12
50	9,5	10	10,5	11	11,5	13
60	9,5	10	11	11,5	12,5	14
70	10	10,5	11,5	12	13	14,5
80	10	11	12	13	14	15,5
90	10,5	11,5	12,5	13,5	14,5	16,5
100	10,5	11,5	13	14	15,5	17,5
125	11	12,5	14	15,5	17	20
150	12	13,5	15,5	17	19	22,5
175	12,5	14,5	16,5	18,5	20,5	25
200	13	15	18	20	22,5	27
225	13,5	16	19	21,5	24	29,5
250	14,5	17	20	23	26	32
275	15	18	21,5	24,5	28	34,5
300	15,5	19	23	26	29,5	37
325	16	20	24	27,5	31,5	39
350	17	21	25	29	33	41,5
375	17,5	21,5	26	30,5	35	44
400	18	22,5	27	32	37	46,5
425	18,5	23	28,5	33,5	38,5	
450	19,5	24	29,5	35	40,5	
475	20	25	31	36,5	42	
500	21	26	32	38	44	
550	22	28	34,5	41		
600	23	29,5	37	44		
650	24,5	31,5	39			
700	26	33	41,5			
750	27	35	44			

in Mülheim a/d. Ruhr.

eiserne Röhren bei hohem Druck.

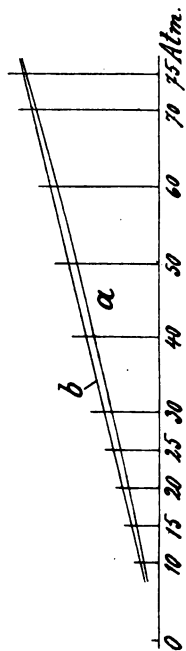
$$\delta = D \cdot \frac{1}{2} \frac{p}{k} \left[1 + \frac{1}{2} \frac{p}{k} + \frac{1}{6} \left(\frac{p}{k} \right)^2 \right] + C$$

nach nebenstehender Curve b.

liefert übereinstimmende Stärken.

$\delta = 0,120 D + 8$ mm	$\delta = 0,144 D + 8$ mm	$\delta = 0,168 D + 8$ mm	$\delta = 0,180 D + 8$ mm	δ = Wandstärke D = lichter Durchmesser p = Druck in kg pr. qcm k = zulässige Beanspruchung d. Materials auf Zug = 250 C = Const. = 8.
δ für $p=50$	δ für $p=60$	δ für $p=70$	δ für $p=75$	
13	14	15,5	15,5	a. Curve, den in obiger Formel bei D stehenden Faktor darstellend, b. Linie, den der Berechnung der Wandstärken zu Grunde gelegten, bei D stehenden Faktor darstellend.
14	15	16,5	17	
15	16,5	18	19	
16,5	18	20	20,5	
17,5	19,5	21,5	22,5	
19	21	23	24	
20	22,5	25	26	
23	26	29	30,5	
26	29,5	33	35	
29	33	37,5		
32	37	41,5		
35	40,5			
38	44			
41				
44				

Fig. 1124.



Für einen geringeren Druck als 10 Atmosphären empfiehlt es sich, die Wandstärke entsprechend 5 bis 20 % zu vermindern.

Für $p = 5$ ist
 $\delta = 0,014 D + 8$ mm.

Fig. 1125—1126. A. L. G. Dehne, Halle a/S.

Fig. 1125.

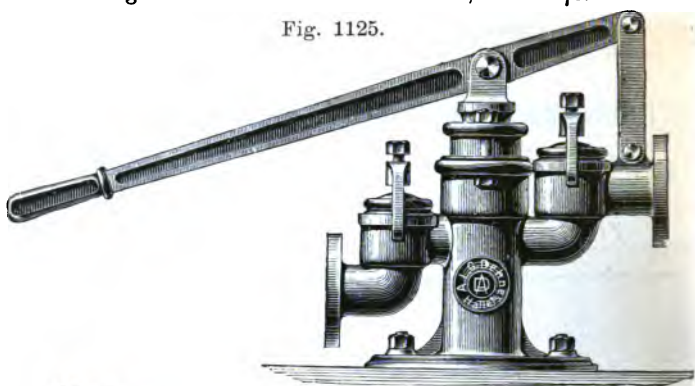


Fig. 1126.

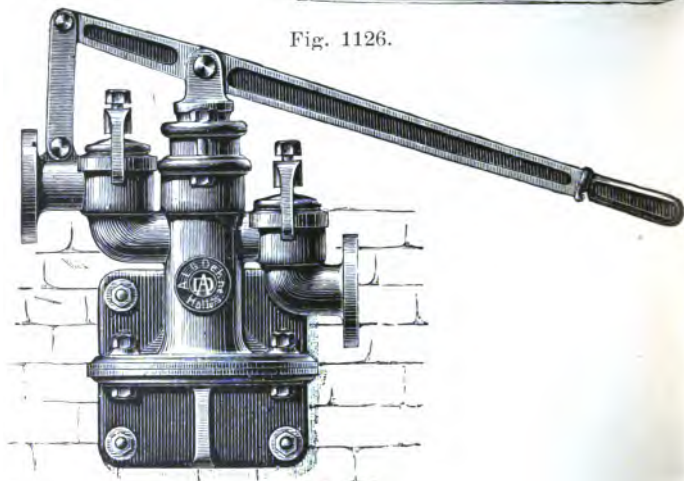
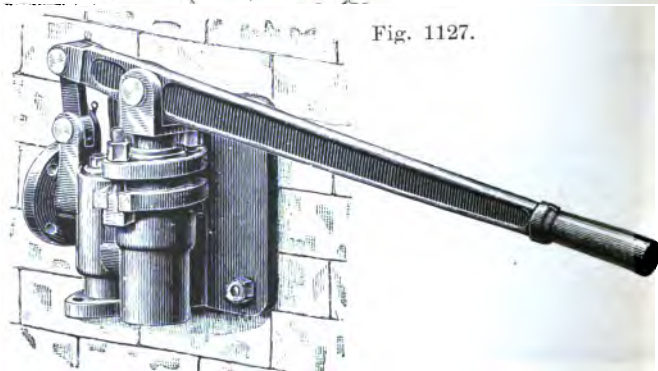
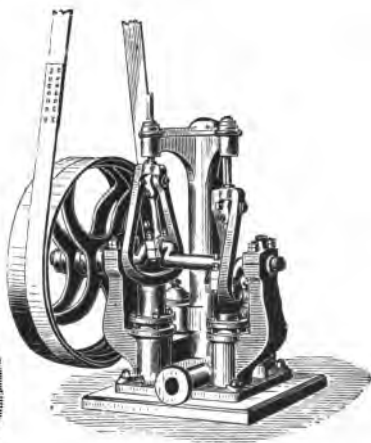
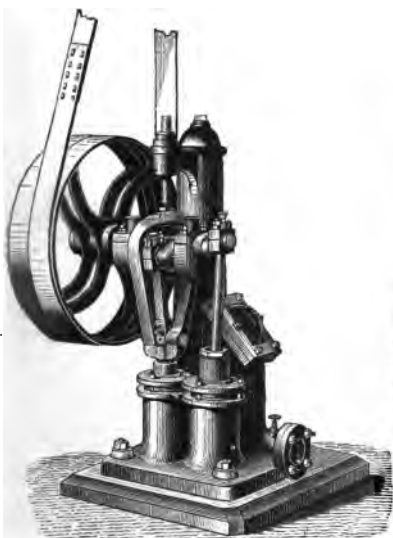
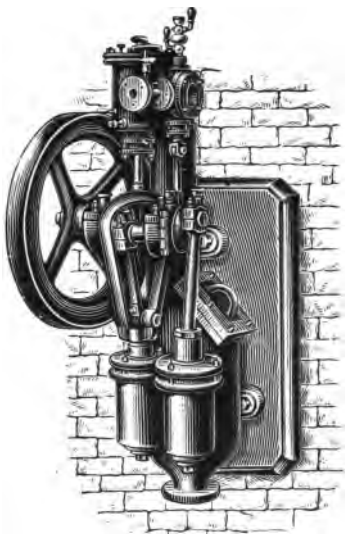
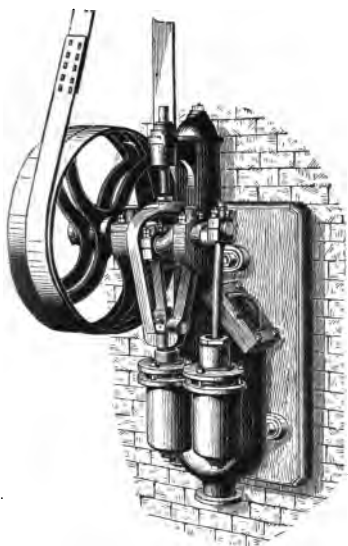


Fig. 1127.



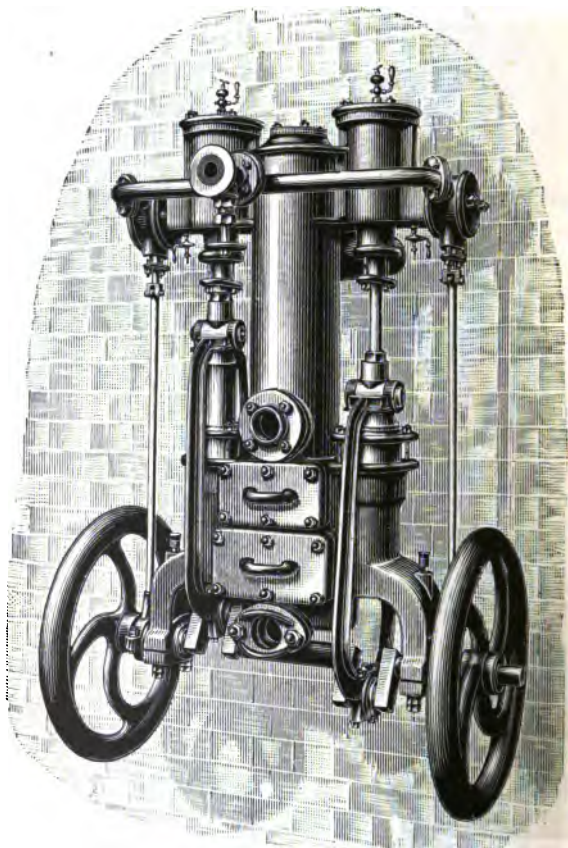
E. Leutert, Halle a/S.

Fig. 1128—1131. Maschinen- & Armaturfabrik vorm. Klein,
Schanzlin & Becker, Frankenthal.



Wolff & Meinel, Halle a/S.

Fig. 1182, **Zwillings-Wanddampfpumpe.**



Wolff & Meinel, Halle a/S.

Fig. 1188. **Stehende Compound-Dampfpumpe mit Condensation.**

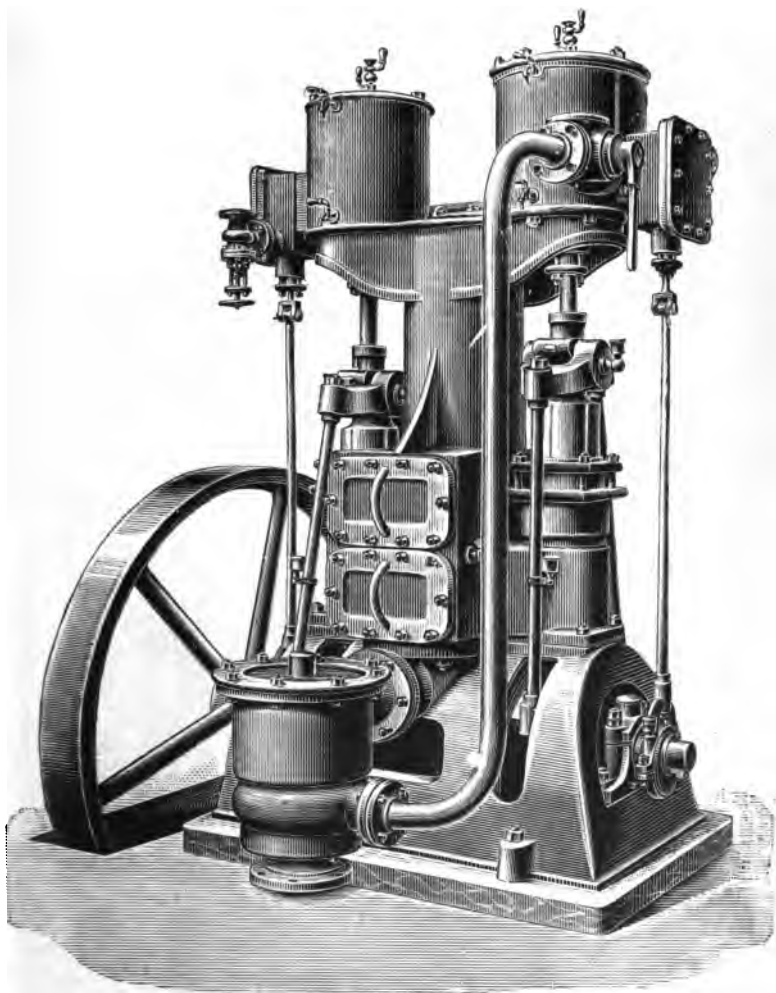


Fig. 1134—1139. Worthington-Pumpen-Compagnie, Berlin C.

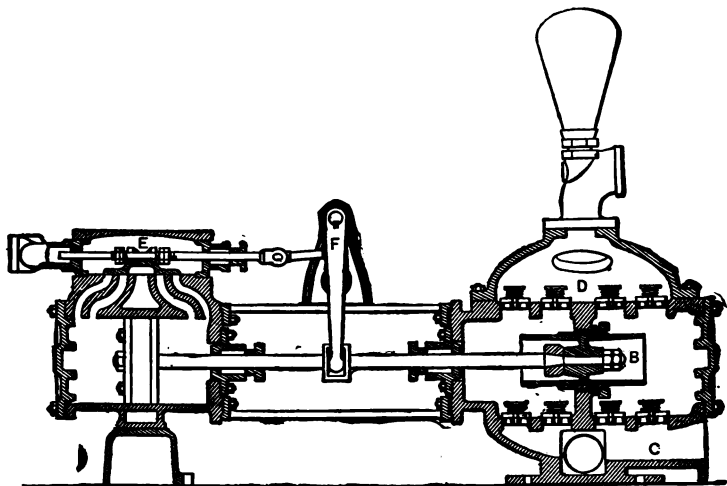


Fig. 1134.



Fig. 1135.



Fig. 1136.

Fig. 1137.



Fig. 1138.

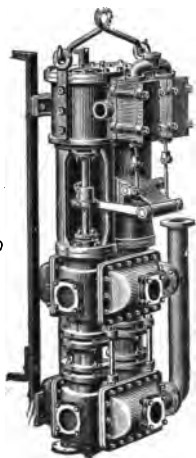


Fig. 1139.

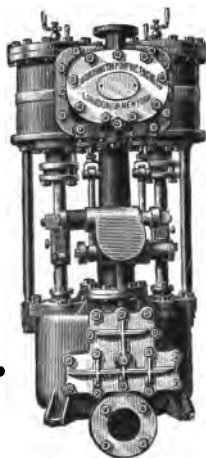


Fig. 1140.

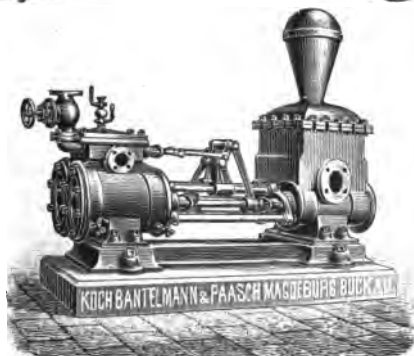


Fig. 1140. Koch, Bantelmann & Paasch, Magdeburg-Buckau.

Fig. 1141. Wolff & Meinel, Halle a/S.

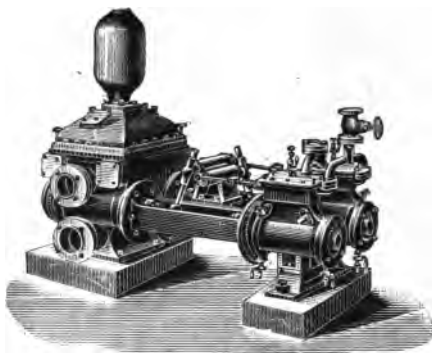
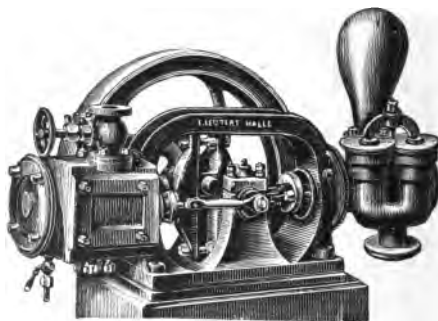


Fig. 1142. E. Leutert, Halle a/S.



Hand-Speisepumpen.

Tabelle 200. Dimensionen und Preise.

Kolben-		Leistung in Litern pr. Min.	Durchmesser der Saug- und Druckrohre mm	Preis der Pumpe. Mk.
Durchmesser mm	Hub mm			
30	100	3	20	35
40	100	6	25	45
50	140	12	30	55
65	140	24	40	75

Dampf-Speisepumpen.

Tabelle 201. Dimensionen und Preise.

Durchm. der Plungerkolben . .	70	85	100	125	150	175
" " Dampfzylinder . .	120	130	150	175	200	230
Hub	120	150	180	210	240	270
Tourenzahl	120	95	85	70	60	55
Leistung pr. Minute	50	70	120	180	250	350
Genügt zum Speisen von Dampf- kesseln bis Pferdekkräfte . .	40	60	100	150	220	300
Lichte Weite des Saugrohres . .	50	60	80	90	110	130
" " " Druckrohres . .	40	50	65	80	90	100
" " d. Dampfzuleitung . .	20	26	26	33	33	40
" " " Dampfableitung . .	26	33	33	40	40	50
Ungefähres Gewicht	350	450	550	700	1200	1300
Preis der Dampfmaschinen . . .	450	550	700	900	1000	1200

Zwillings-Dampfmaschinen leisten das Doppelte und kosten das 1,5 fache.

b. Luftcompressionsmaschinen.

Es bezeichne:

Q das effectiv angesaugte Luftquantum in cbm pr. Min.,
 p_i die Spannung des angesaugten Luftquantums in At. abs.
 c die mittlere Kolbengeschwindigkeit in m pr. Min.,
 F den wirksamen Querschnitt des Luftzylinders in qm,
 $\varphi = 0,8 - 0,95$ den volumetrischen Wirkungsgrad, das Verhältnis des wirklich angesaugten zum theoretischen Luftquantum, je nach der Güte der Luftpumpe; dann ist das effectiv angesaugte Luftquantum einer doppeltwirkenden Luftcompressionsmaschine: $Q = F c \varphi$ cbm pr. Min.

Bedeutet ferner noch:

q das Volumen der auf p At. abs. gepressten Luftmenge Q in cbm pr. Min. (von derselben Temperatur).

Dann ist:
$$\frac{Q}{q} = \frac{p}{p_i}$$

Beispiel: Der Luftzylinder eines Compressors hat 0,4 m Durchm. und 0,6 m Hub bei $n = 80$ Touren pr. Min., die Kolbenstange hat 0,06 m Durchm.

Es ergibt sich: die Kolbengeschwindigkeit $c = 2 \cdot 0,6 \cdot 80 = 96$ m pr. Min., und die wirksame Kolbenfläche $F = \sim 0,123$ qm. Der volumetrische Wirkungsgrad sei $\varphi = 0,85$, so ist:

$$Q = 0,123 \cdot 96 \cdot 0,85 = \sim 10 \text{ cbm pr. Min.}$$

entsprechend $\frac{10}{5} = 2$ cbm Luft von 5 Abs. abs. Spannung.

Durch das Comprimieren der Luft von $t_0 = 20^\circ \text{ C.}$ wird die Temperatur auf t_c° s. Tab. 202. erhöht

Werte der Endtemperatur t_c in Grad C.

Tabelle 202.

Compressionsdr. in At. abs. $t =$	1	2	3	4	5	6	7	8	9	10
Temperat. ohne Kühlung t_c	20,85	130	165	194	220	242	260	280	300	
" m. Mantelkühlung	20,34	54	75	100	125	150	170	200	220	

Der Kraftbedarf.

Für gewöhnliche Compressoren, welche aus atmosphärischer Luft ansaugen, kann der mittlere Kolbenwiderstand des Luftcylinders (p_m) aus nachstehender Tabelle entnommen werden.

Überschlagswerte des mittleren Kolbenwiderstandes (p_m) in kg pro qcm.

Tabelle 203.

Enddruck in At. abs.	1	2	3	4	5	6	7	8	9	10
(p_m)	0	0,8	1,1	1,4	1,7	1,9	2,1	2,3	2,5	2,8

Für das vorstehende Beispiel wäre also, wenn die Luftmenge von 1 At. abs. auf 5 At. abs. gedrückt würde, nach Tabelle 203 (p_m) = 1,7 und der Kraftbedarf

$$K = \frac{F \cdot c(p_m)}{75 \cdot 60} = \frac{1230 \cdot 96 \cdot 1,7}{75 \cdot 60} = \sim 43 \text{ Pfdst.}$$

Die genaue Feststellung des mittleren Kolbenwiderstandes (p_m) muss in jedem Falle unter Berücksichtigung der Art der Pumpe sowie der Vollkommenheit der Kühlung erfolgen.

Ungefährer Kraftbedarf in Pferdest., um 1 cbm pro Min. angesaugte Luft auf p At. abs. zu pressen.

Tabelle 204.

Enddruck in At. abs.	1	2	3	4	5	6	7	8	9	10
Kraftbedarf in Pfdst.	0	2	2,8	3,5	4,3	4,8	5,3	5,8	6,3	7,0

Man unterscheidet: **Trockene Luftcompressoren** und solche mit **Einspritzvorrichtung**, bei ersteren wird die durch das Comprimieren erwärmte Luft mittelst eines um den Luftcylinder liegenden Kühlmantels, in welchem das Wasser cirkuliert, abgekühlt.

Die Kühlvorrichtung der Luftcompressoren mit Einspritzung wirkt derart, dass ein feiner Wasserstrahl, welcher sich in feinen Nebel zerstäubt, während der Saugperiode eingeführt wird.

Hauptdimensionen, Gewichte und Preise von Luftcompressoren (kurz bauend).

Tabelle 205.

Durchmesser des		Hub mm	Touren- zahl pro Min. <i>n</i>	Effectiv angesaug- tes Luft- quantum l. obm p. M. <i>Q</i>	Pferdest. bei 5 At. Überdr. Luft- pressung	Gesamt- Gewicht kg	Preis Mk.
Blas- cylinders mm	Dampf- cylinders mm						
250	300	350	110	3,3	15	3000	4000
300	350	400	105	5,2	25	4500	5000
350	400	450	100	7,6	35	6500	6500
400	450	500	95	10,4	45	9000	8500
450	500	600	90	13,6	60	12000	10000
500	550	650	85	18,8	80	15000	12000
550	600	700	80	23,4	100	18000	13500
600	675	750	75	27,8	120	21500	15000
650	750	800	70	33,3	145	25000	16500
700	800	900	65	39,6	170	28500	18000
800	900	1000	60	53	225	34000	21000

Die Überströmung.

Bei jedem Hubwechsel des Compressors entweicht die im schäd. Raum sich befindliche gepresste Luft ins Freie, und sucht man diesen Verlust zu umgehen, indem die Luft auf die andere Kolbenseite geführt wird, und sich dort mit dem Saugvolumen mischt, dass also auf der Saugseite schon bei Beginn des Zusammenpressens eine höhere Spannung herrscht, als diejenige, welche der Compressor ansaugt. Man sucht also durch die **Überströmung** den Einfluss der schäd. Räume auf die Leistungsfähigkeit wegzuschaffen resp. zu verringern.

Prof. Wellner erreicht die Überströmung in der Weise, dass in der Cylinderwandung Kanäle

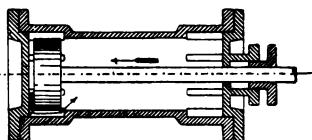
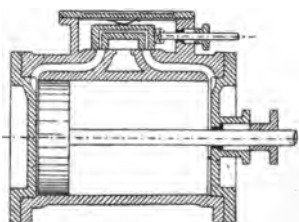


Fig. 1144.

Fig. 1145.



ausgespart sind, Fig. 1144, welche in der Nähe jeden Hubendes ein Überströmen der vom Kolben zusammengepressten Luft auf dessen Rückseite bewirken.

In dem in Fig. 1145 dargestellten Patent der Schieber-Luftcompressoren von Burckhardt & Weiss, Basel, findet die Überströmung durch einen extra in den Steuerschieber eingegossenen Kanal statt.

Luftcompressions-Maschine, Fig. 1146—1149, von Rud. Meyer, Mülheim (Ruhr).

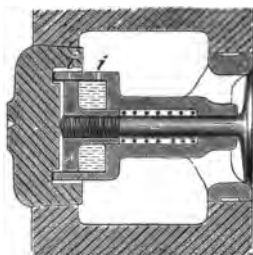


Fig. 1146. Saugventil.

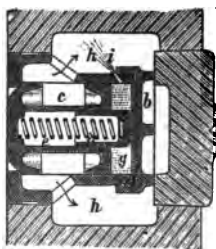


Fig. 1147. Druckventil.

Fig. 1146—1147. Die Luft-Cata-ract-Ventile, D. R.-P., bezwecken einen schnellen elastischen Rückgang des Kegels und verhindern den harten Aufschlag desselben.

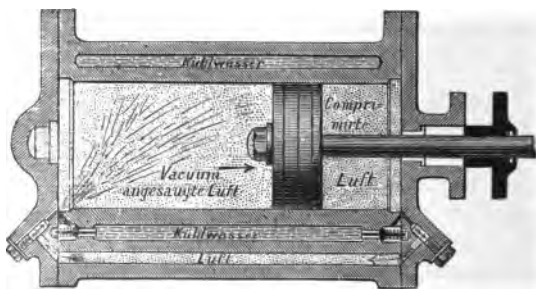


Fig. 1148.

Luftcylinder mit Mantel und Patent-Einspritzkühlung.

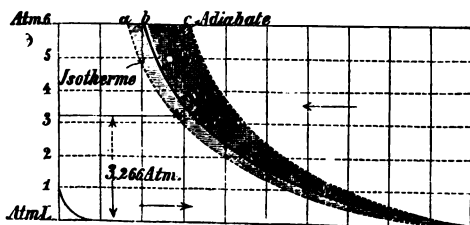
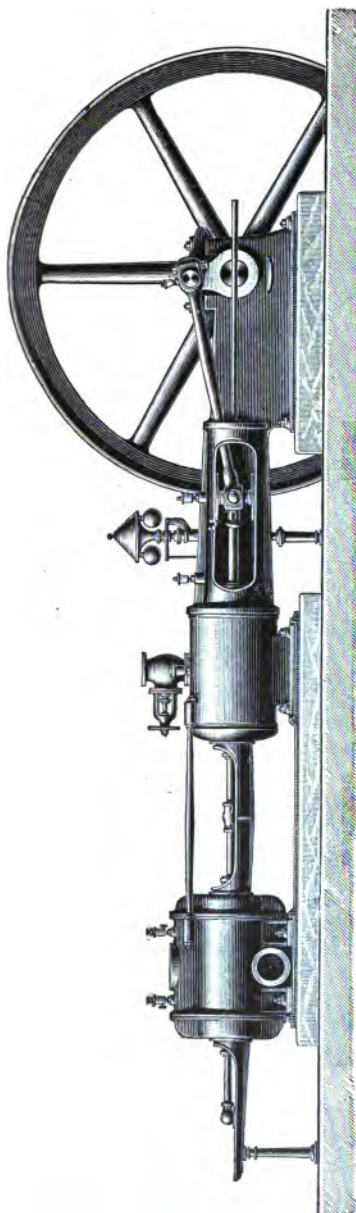


Fig. 1149.

Diagramm eines Luftcylinders mit Patent-Cataract-Ventilen.



Hauptdimensionen und Gewichte der Patent-Luftcompressoren Fig. 1150

von Rud. Meyer, Mülheim a/d. Ruhr.

Tabelle 206.

Luftcylinderdurchmesser in mm	250	350	300	350	400	450	600	650
Dampfzylinderdurchmesser in mm	350	350	400	400	500	500	700	700
Gemeinschaftlicher Hub in mm	500	500	650	650	860	860	1000	1000
Touren pro Min.	100	100	80	80	70	70	60	60
Theoretisch angesaugtes Luftquantum in cbm pr. Min.	4,9	9,6	7,4	10,0	15,1	19,1	34,0	40,0
Kolbengeschwindigkeit in m pro Sec.	1,6	1,6	1,73	1,73	2,00	2,00	2,00	2,00
Ungefähres Gesamtgewicht in kg	5000	5500	8250	8700	14500	15500	25000	27000

Blascylinder mit äusserer Kühlung. Pat. Burckhardt & Weiss.

Fig. 1051.

Totte Saughe

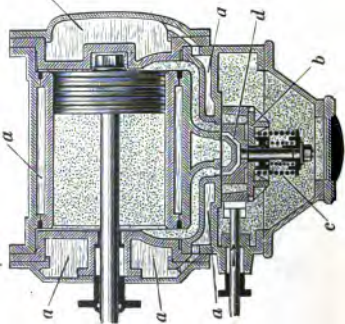


Fig. 1052.

Oberströmung

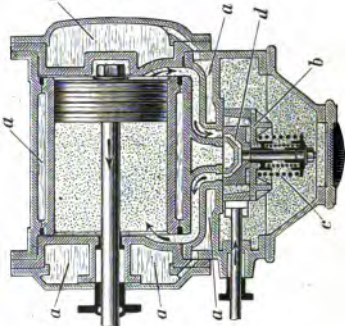
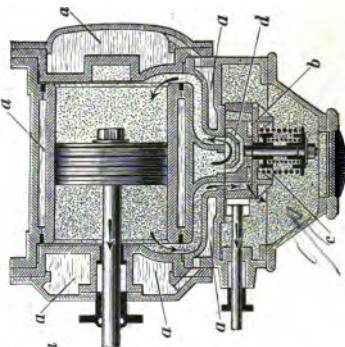


Fig. 1053.

Arbeitsperiode



a Kühlmantel b Rückschlagventil c Schieberventil d Druckausgleichs-Canal

Wie aus den Figuren ersichtlich, geschieht die Überströmung in der Weise, dass die am Hubende auf der jeweiligen Druckseite im schäd. Raum comprimierte Luft beim Hubwechsel durch den Überströmkanal nach der Saugseite übergeleitet, und von dort beim nächsten Hub nutzbar weiter gedrückt wird.

Fig. 1154.

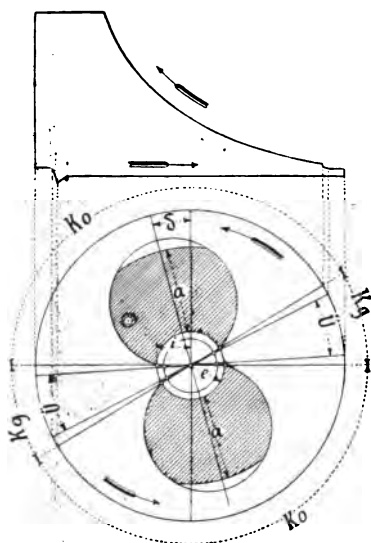


Fig. 1154 zeigt das Schieber- und ~~Dampf~~^{Luft}-Diagramm eines Schieberluftcompressors mit Überströmung von Burckhardt & Weiss, Basel.

Es bezeichnet in Fig. 1154
 K_o Kanäle geöffnet,
 K_g Kanäle geschlossen,
 U Überströmung,

a Kanalweite,
 δ Voreilwinkel,
 e äussere Deckung,
 i innere Deckung, } $e = i$.

Der Radius des inneren Kreises, durch welchen Beginn und Ende der Überströmung bestimmt sind, ist gleich der Weite des Überströmkanals Fig. 1145 zu nehmen.

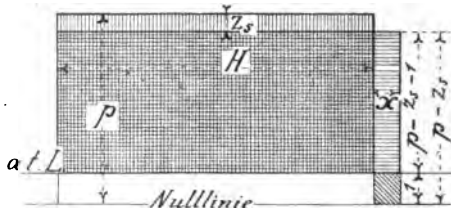
Ausführliche Abhandlung der Compressoren Burckhardt & Weiss s. Zeitschr. d. Ver. Deutsch. Ing. 1885 Seite 929.

Nachtrag.

Betrifft Seite 322.

Bestimmung des Arbeitsverlustes durch Spannungsabfall in langen Rohrleitungen.

Fig. 1155.



I. Volldruckmaschinen ohne Condensation.

Es bedeutet im Diagramm Fig. 1155:

$F_a = H(p-1)$ den nutzbaren Dampf bei Eintritt in die Leitung (die vertical schraffierte Fläche),

$F_e = (H+x) \cdot (p-z_s-1)$ den nutzbaren Dampf beim Austritt aus der Leitung (die horizontal schraffierte Fläche),

so ist der Dampfverlust durch Spannungsabfall:

$$F_v = F_a - F_e = H(p-1) - (H+x) \cdot (p-z_s-1) \quad (1)$$

Inbezug auf die abs. Dampfmenge ist:

$$pH = (p-z_s)(H+x) \text{ und}$$

$$x = \frac{z_s H}{p-z_s} \quad (2)$$

Diesen Wert in Gl. (1) eingeführt und $H=1$ gesetzt, ergibt nach gehörigen Reductionen:

$$F_v = x = \frac{z_s}{p-z_s} \quad (3)$$

Dieser Verlust ist im Diagramm durch die Fläche $x \cdot 1$ dargestellt und schräg schraffiert.

Der Arbeitsverlust durch Spannungsabfall lässt sich ausdrücken durch einen ideellen Dampfverlust in kg pro Stunde und beträgt demnach:

$$V_s = 3600 d^2 \frac{\pi}{4} u \gamma \frac{F_v}{F_a} = 3600 d^2 \frac{\pi}{4} u \gamma \frac{z_s}{(p-z_s)(p-1)}$$

II. Expansionsmaschinen ohne Condensation.

Handelt es sich um eine Expansionsmaschine, so ist die aus dem Dampfverbrauch resultierende **mittlere** Dampfgeschwindigkeit und Dampfmenge in Rechnung zu bringen. Der ganze Inhalt der Rohrleitung kann als Reservoir angesehen werden, und wird die Dampfgeschwindigkeit beim Eintritt in die Leitung constant sein, dagegen beim Eintritt in die Maschine abwechselnd von Null bis zu einem Maximum steigen.

Es bedeute noch, für ein und dasselbe Diagramm, also gleiche Endspannung:

p_m den mittl. Kolbenüberdruck ohne Spannungsabfall

p_m' " " " " mit " "

so ist: $V_s = 3600 d^2 \frac{\pi}{4} u \gamma \frac{p_m - p_m'}{p_m}$ kg pr. St.

Soll der Verlust durch Spannungsabfall möglichst vermieden werden, so ist am Ende der Leitung kurz vor der Maschine ein Dampfreservoir anzubringen.

1. Beispiel: Eine Dampfmaschine von 100 indiz. Pfdst. verbraucht pro Stunde 1300 kg = \sim 360 cbm Dampf von 6 At. Überdruck. Es soll der günstigste Rohrdurchmesser für 500 m und 100 m Leitungslänge bestimmt werden.

Vorerst sei angenommen:

Dampfgeschwindigkeit $u = 10$ m pro Sec., dann ist:

der Rohrquerschnitt $d^2 \frac{\pi}{4} = \frac{360}{3600 \cdot 10} = 0,01$ qm,

daraus $d = 0,115$ m, also $\frac{l}{d} = \frac{500}{0,115} = 4350$,

Druckverlust pro $\frac{l}{d} = 100$ n. Tab. 155 . . $z = 0,005$ At.,

" " $\frac{l}{d} = 4350$; $z_s = 0,005 \frac{4350}{100} = 0,22$ At.

Ideeller **Dampfverlust** durch Spannungsabfall in kg pro Stunde:

$$V_s = 3600 d^2 \frac{\pi}{4} u \gamma \frac{p_m - p_m'}{p_m}$$

$$= 3600 \cdot 0,01 \cdot 10 \cdot 3,62 \cdot 0,015 = 20 \text{ kg}$$

Ganze Rohr-Innenfläche $f = 0,115 \cdot \pi \cdot 500 = 185$ qm,

Condensationswasser pr. St. $V_c = 185 \cdot 1,5 = \sim 280$ kg.

Also **Gesamtverlust** $V_g = V_s + V_c = 20 + 280 = 300$ kg p. St.

Verlust in Prozenten der durchgehenden Dampfmenge:

$$\frac{300 \cdot 100}{1300} = 23 \%$$

Nun rechnet man noch für andere Dampfgeschwindigkeiten die Verluste und entwirft ein Schema.

$N_i = 100$, Dampfüberdruck 6 At., Dampf = 1300 kg pro Std., Länge der Leitung 500 m											
u	$d^2 \frac{\pi}{4}$	d	$\frac{l}{d}$	z	z_s	V_s	f	V_c	V_g	Gesamt- Dampf- Verlust in pCt.	Kosten der Leitung Mk.
10	0,010	0,115	4350	0,005	0,22	20	185	280	300	23	7000
15	0,0066	0,090	5550	0,012	0,651	60	141	212	272	21	6000
20	0,0050	0,080	6250	0,022	1,375	140	126,5	190	330	25	5000
30	0,0039	0,065	7700	0,050	3,85	550	102	150	700	54	4000
$N_i = 100$, Dampfüberdruck 6 At., Dampf = 1300 kg pro Std., Länge der Leitung 100 m											
10	0,010	0,115	870	0,005	0,044	3	36	54	57	4,4	1500
15	0,0066	0,090	1110	0,012	0,130	8	28	42	50	3,8	1200
20	0,0050	0,080	1250	0,022	0,275	30	25	37,5	67	5,2	1000
30	0,0039	0,065	1540	0,050	0,770	70	20	30	100	7,7	800
45	0,0022	0,055	1820	0,112	2,038	260	17	25,5	285	22	700

Ein Vergleich der Resultate für 500 m Rohrlänge zu 100 m Rohrlänge zeigt, dass das Minimum der Verluste in beiden Fällen zwischen 15 und 20 m Dampfgeschwindigkeit pro Secunde eintreten wird, und dass es bei 500 m Rohrlänge 21 %, bei 100 m Rohrlänge 3,8 % beträgt, sowie dass mit der Länge der Leitung der Verlust ganz bedeutend wächst. Für eine Rohrlänge von 500 m ist, wie aus der Tabelle ersichtlich, eine Dampfgeschwindigkeit von 30 m unzulässig, da in diesem Falle ein Spannungsabfall von 3,85 At., entsprechend einem Gesamtverluste von 54 % stattfindet.

2. Beispiel: Für eine Dampfmaschine von 0,5 m Cylinder-Durchmesser, 2,1 m Kolbengeschwindigkeit pro Secunde und 3 At. Überdruck ist für verschiedene Leitungslängen und Füllungsgrade ein Schema zur Wahl des Rohrdurchmessers zu entwerfen und zwar:

a. Länge der Leitung 500 m, Maschine volle Füllung.

b. " " " 500 m, " $\frac{1}{2}$ "

c. " " " 100 m, " $\frac{1}{2}$ "

a. Dampfüberdruck 3 At., Dampf 3100 kg = 1440 cbm pro Stunde, volle Füllung, Länge der Leitung = 500 m.											
u	$d^2 \frac{\pi}{4}$	d	$\frac{l}{d}$	z	z_s	V_s	f	V_c	V_g	Gesamt Dampfver- lust l. pCt	Kosten der Leitung Mk.
10	0,039	0,225	2220	0,003	0,065	17	355	533	550	18	16000
15	0,026	0,180	2777	0,007	0,194	52	283	425	477	15	13000
20	0,019	0,155	3225	0,013	0,420	118	245	368	486	16	11000
30	0,013	0,130	3846	0,029	1,115	387	205	308	695	23	9000
b. Dampfüberdruck 3 At., Dampf 1550 kg = 720 cbm pro Stunde, halbe Füllung, Länge der Leitung = 500 m.											
10	0,019	0,160	3125	0,003	0,094	30	251	377	407	26	10000
15	0,013	0,130	3846	0,007	0,269	90	204	306	396	25	8000
20	0,010	0,110	4545	0,013	0,591	230	173	260	490	31	6500
30	0,006	0,090	5550	0,029	1,609	680	141	212	892	57	4000
c. Dampfüberdruck 3 At., Dampf 1550 kg = 720 cbm pro Stunde. halbe Füllung, Länge der Leitung = 100 m.											
10	0,019	0,160	625	0,003	0,019	8	50	75	83	5,3	2400
15	0,013	0,130	769	0,007	0,054	20	41	62	82	5,3	1800
20	0,010	0,110	909	0,013	0,118	40	35	53	93	6,0	1500
30	0,006	0,090	1110	0,029	0,322	100	28	42	142	9,2	800
45	0,004	0,075	1330	0,066	0,878	320	24	36	356	23	700

III. Condensationsmaschinen.

Zur Bestimmung des ideellen Dampfverlustes bei Condensationsmaschinen ist ebenfalls die Dampfgeschwindigkeit in der Leitung nach dem **Dampfverbrauch** der Maschine (und nicht nach der mittleren Kolbengeschwindigkeit) einzusetzen. V_s fällt hier kleiner aus, als bei Auspuffmaschinen und muss für jeden Fall extra ermittelt werden.

Die Einspritz-Wassermenge bei Condensation.

Als **Maximal-Einspritz-Wassermenge** bei Condensations-Maschinen kann das **30 fache** des verbrauchten Dampfgewichtes angenommen werden.

Die Maschine $D = 400$, $H = 700$, $n = 85$ mit Condensation verbraucht nach Tabelle 134 an Dampf $70 \cdot 12,5 = 875$ kg pro Stunde, die Maximal-Einspritz-Wassermenge wäre also:

$$875 \cdot 30 = 26250 \text{ l} = \sim 26 \text{ cbm pro Stunde.}$$

Ist **nicht genügend** Wasser vorhanden, so begnügt man sich unter Umständen auch mit der Hälfte des obigen Wertes und nimmt ein etwas geringeres Vacuum in Kauf.





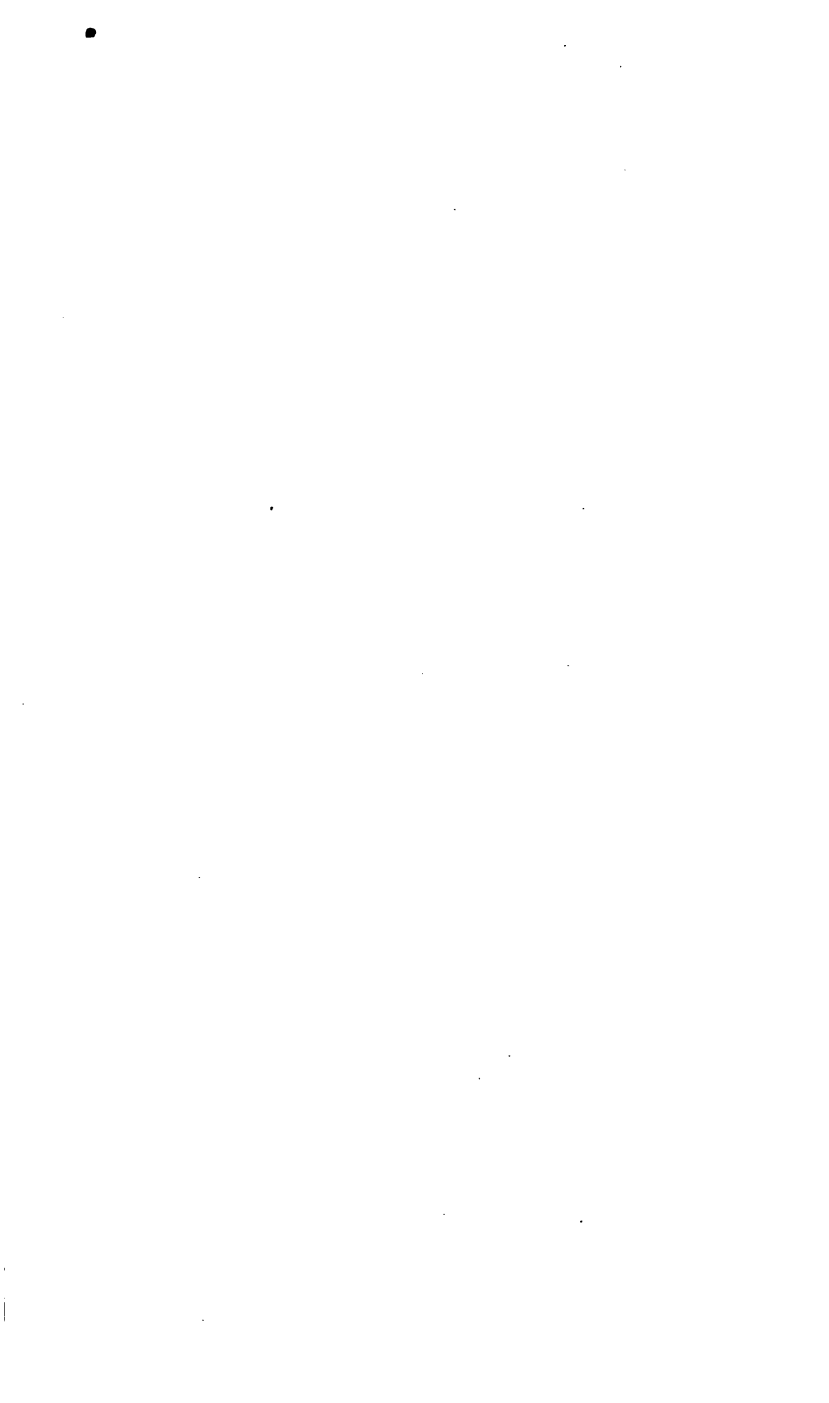


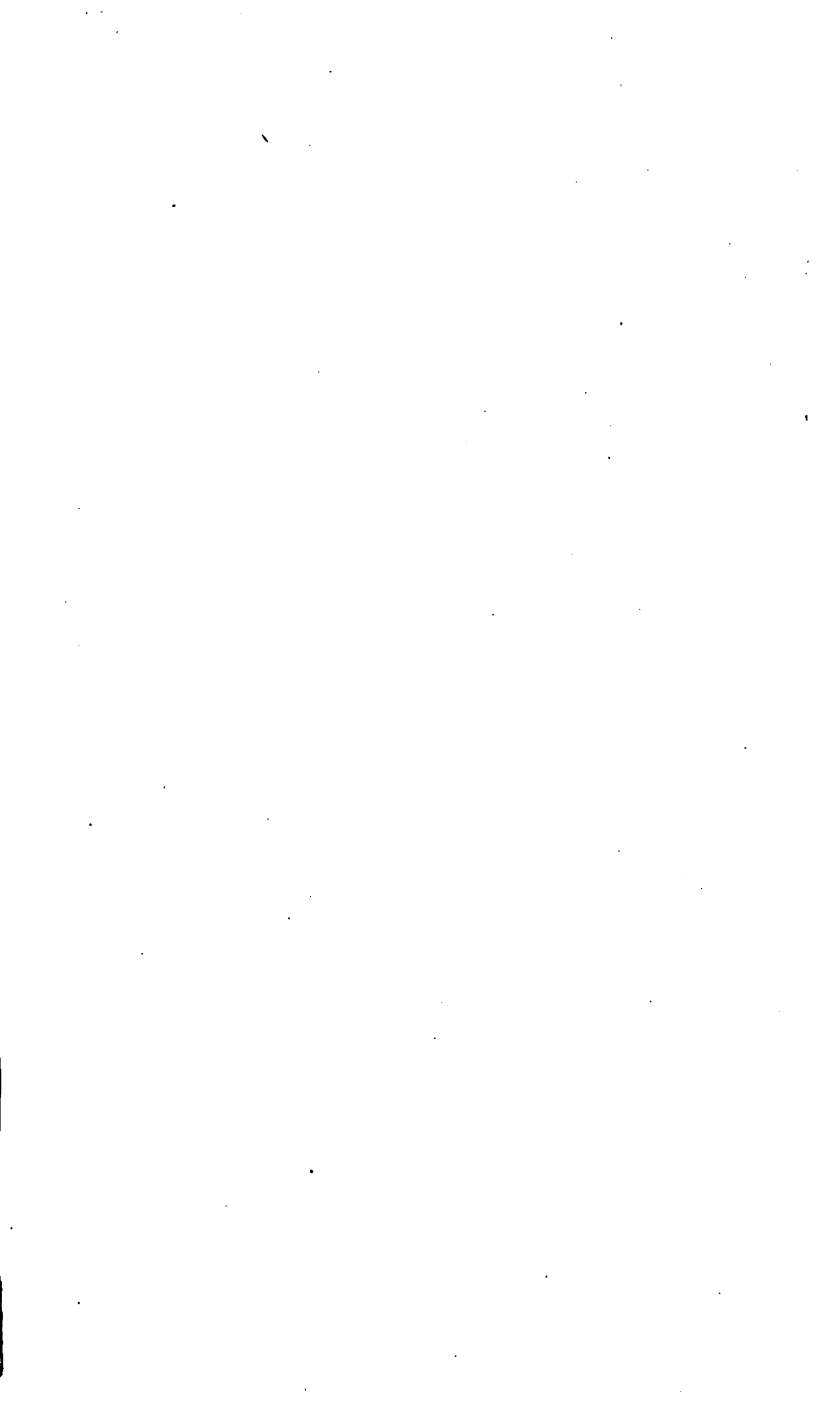




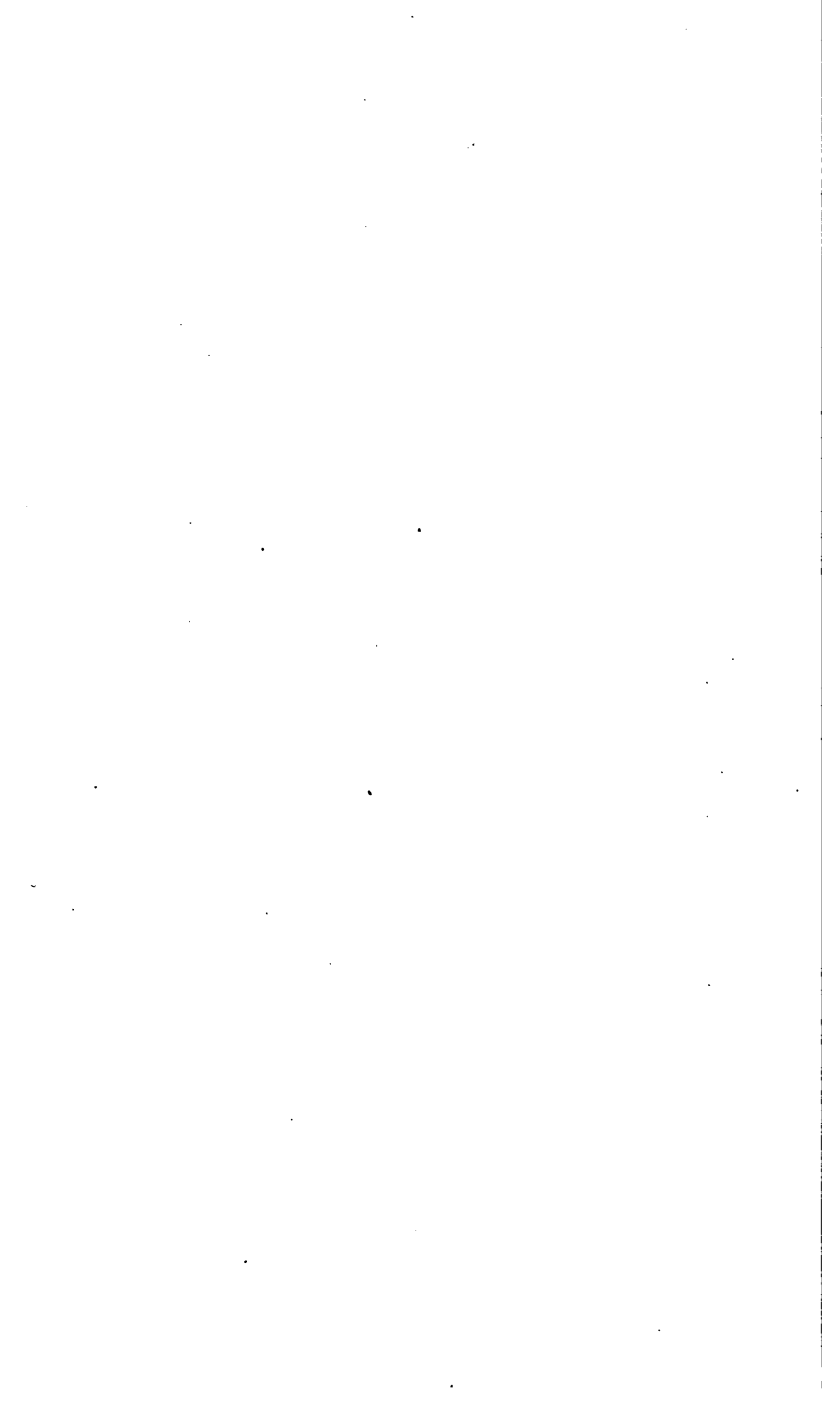


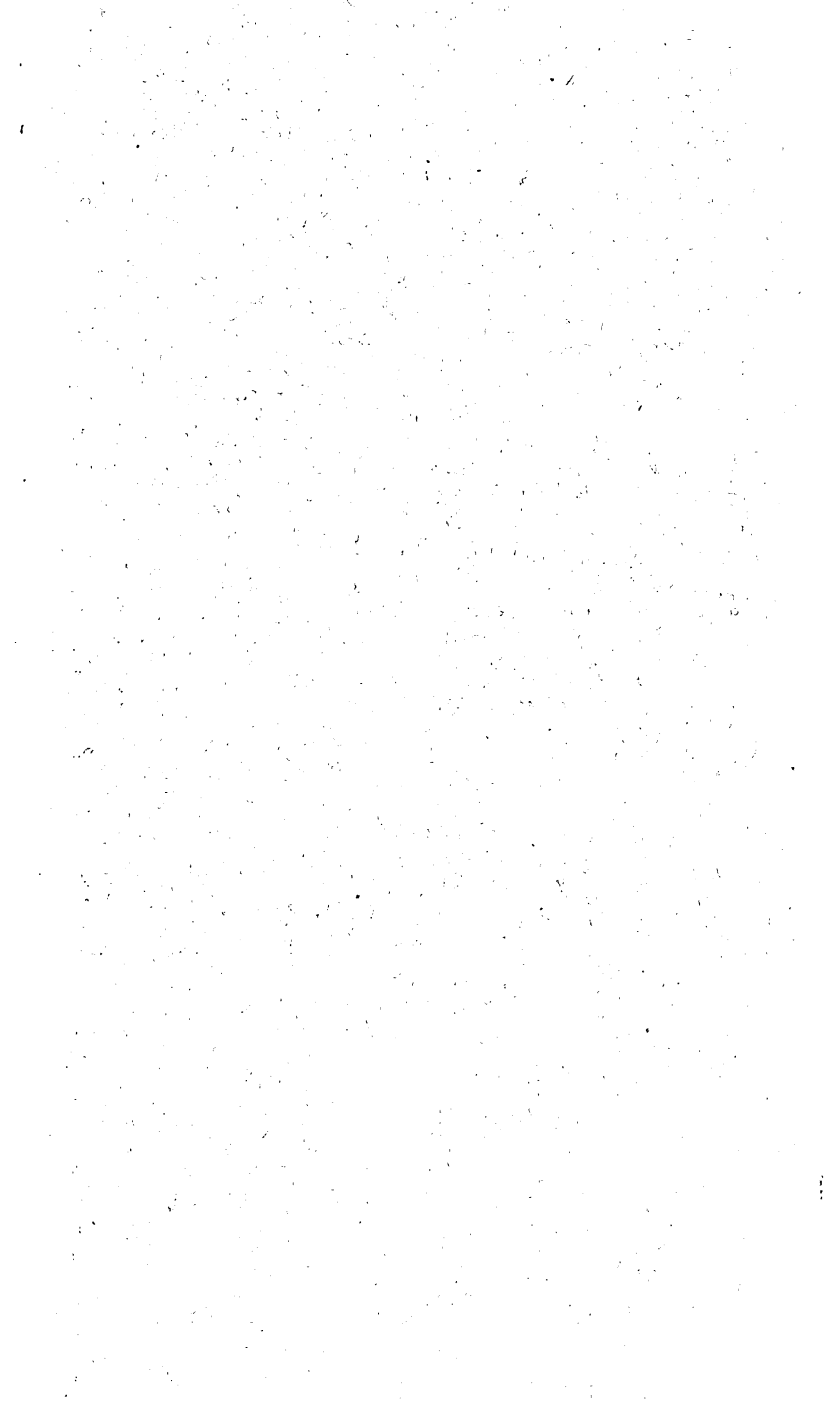


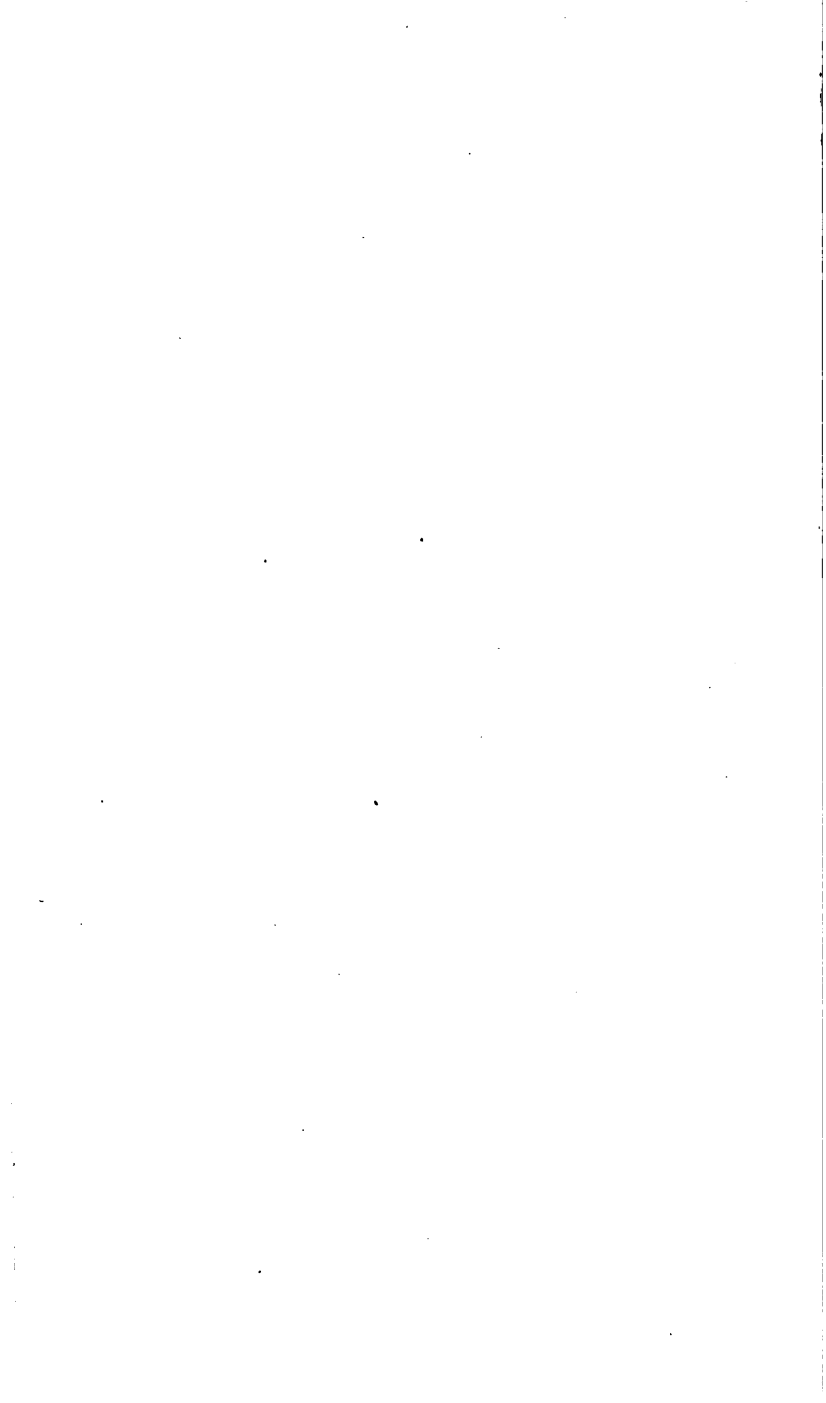










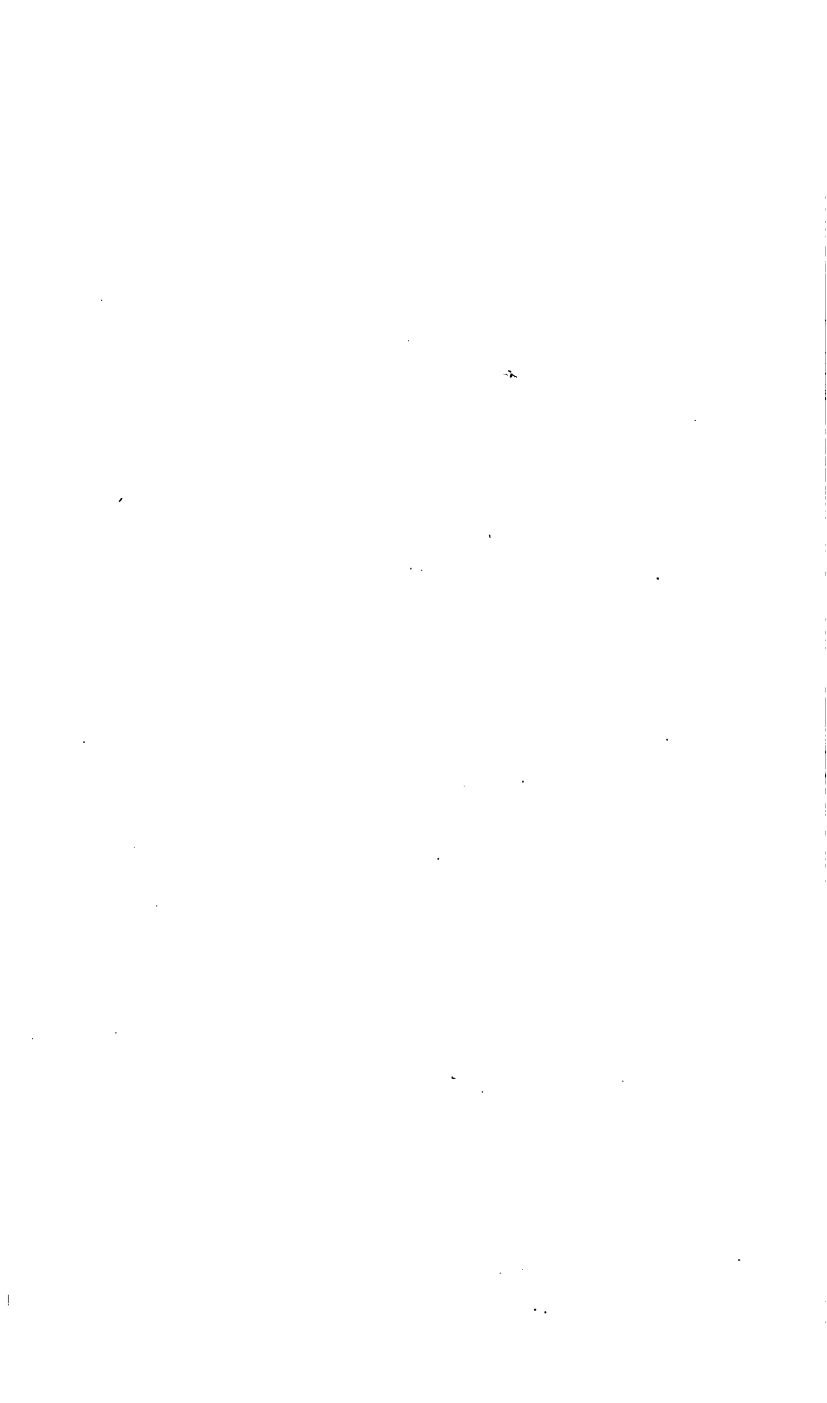


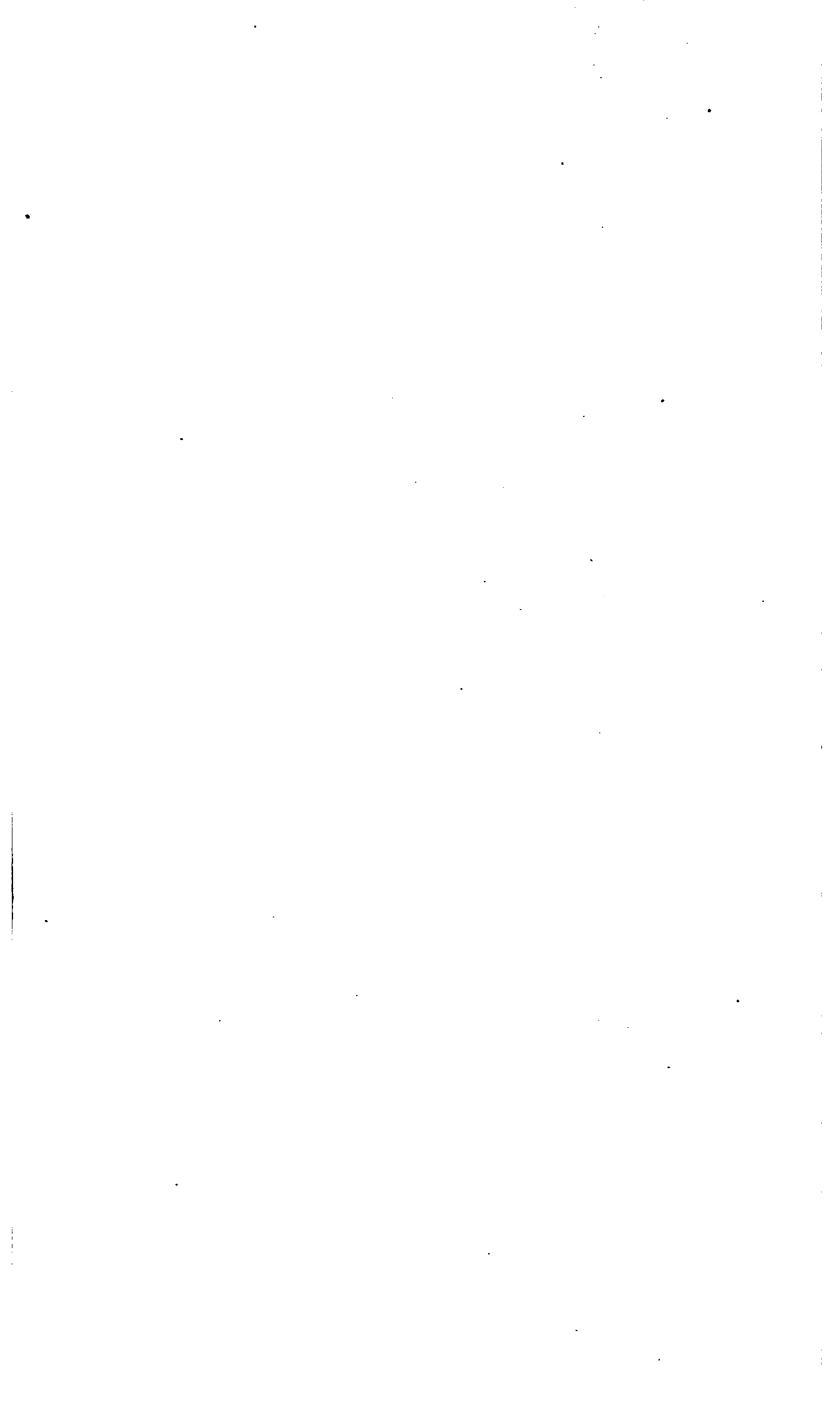


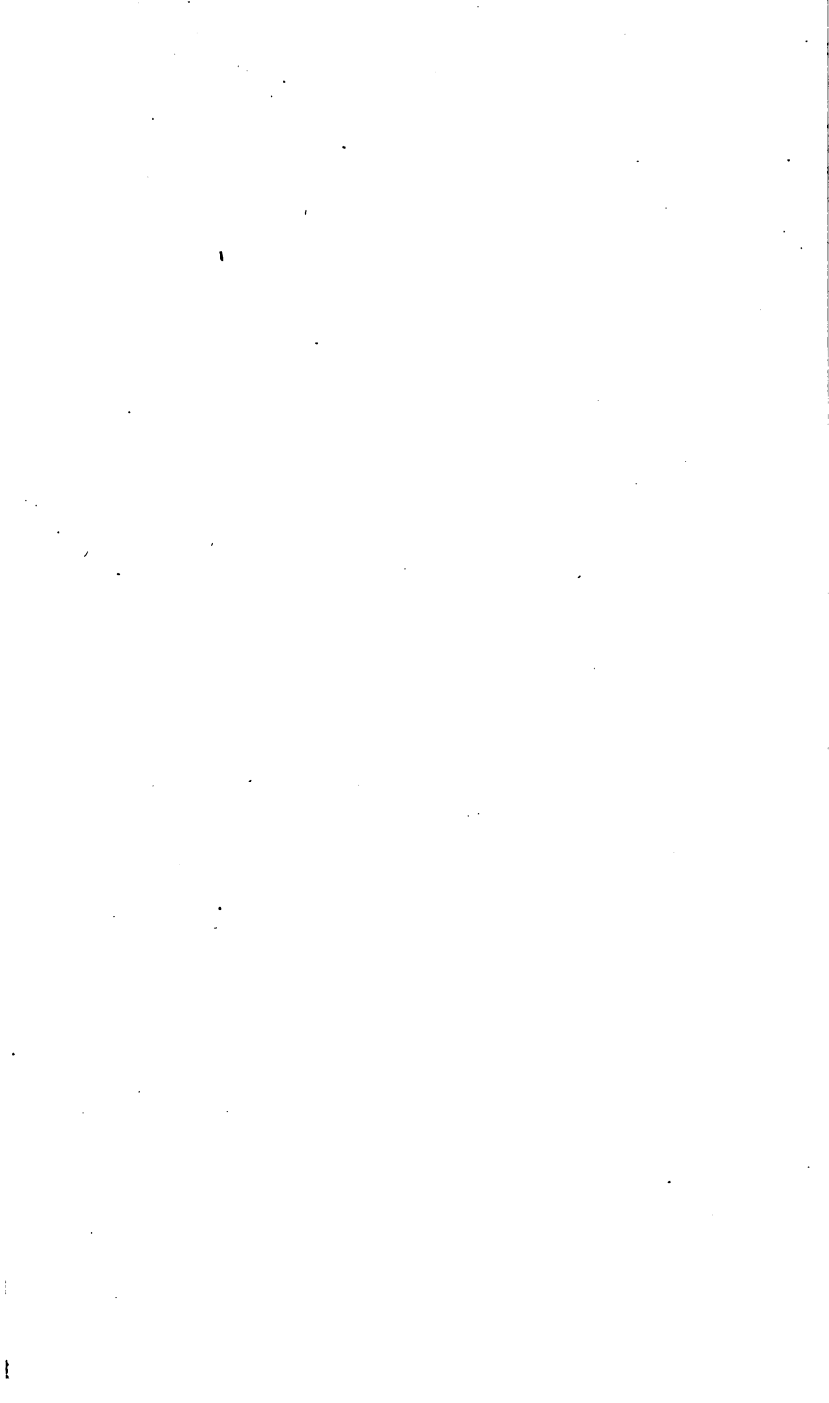












71

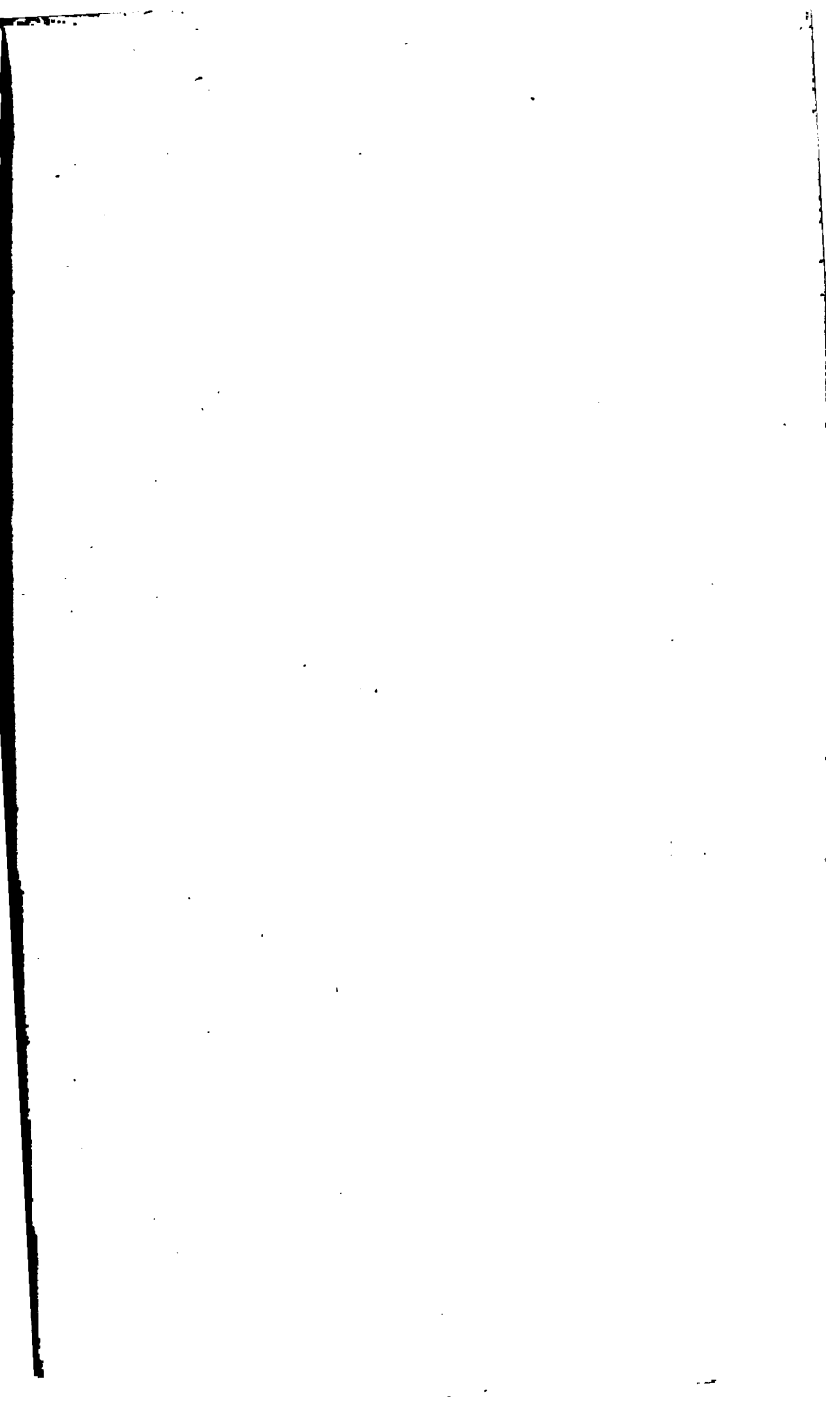
01\06

48393

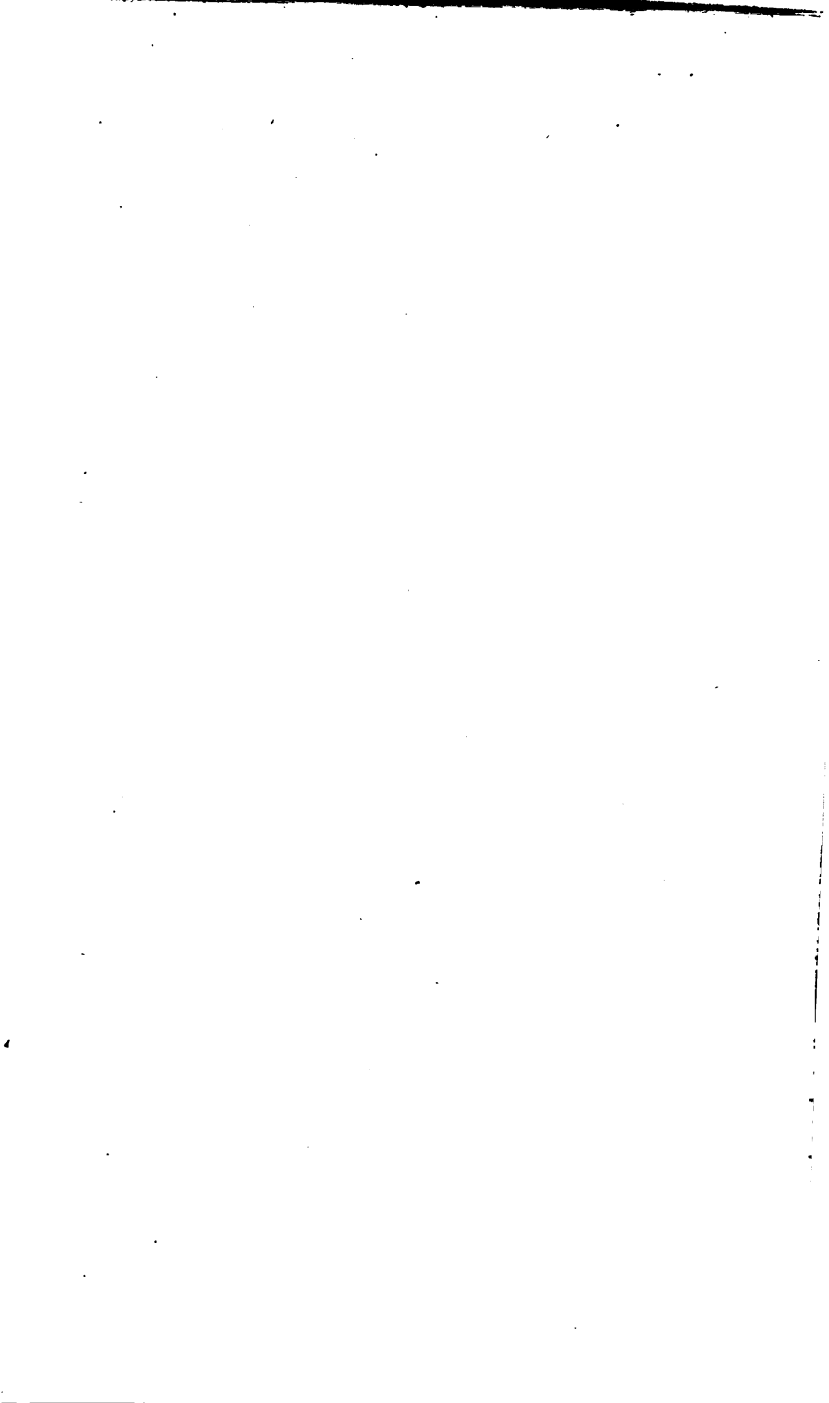
1

BUI

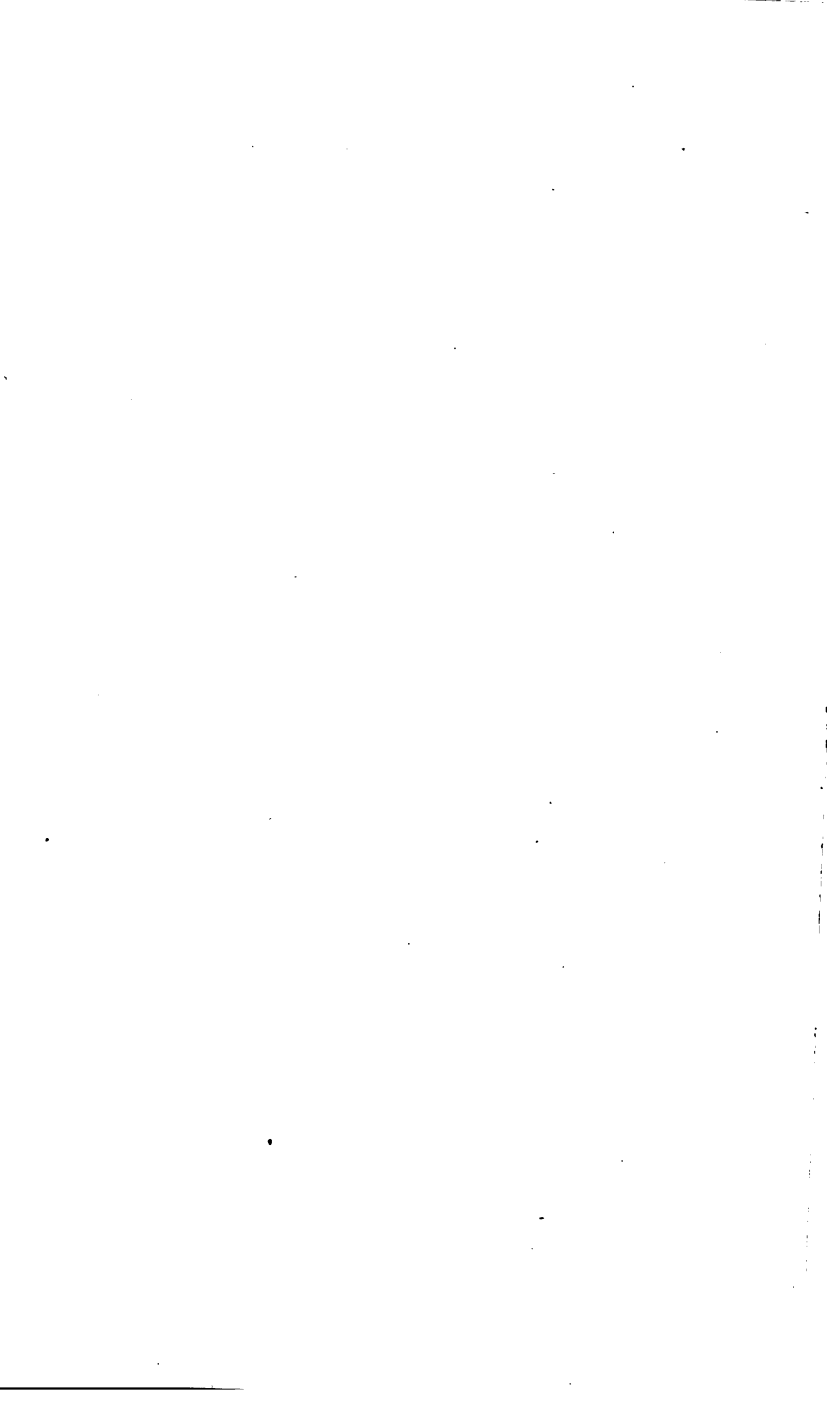


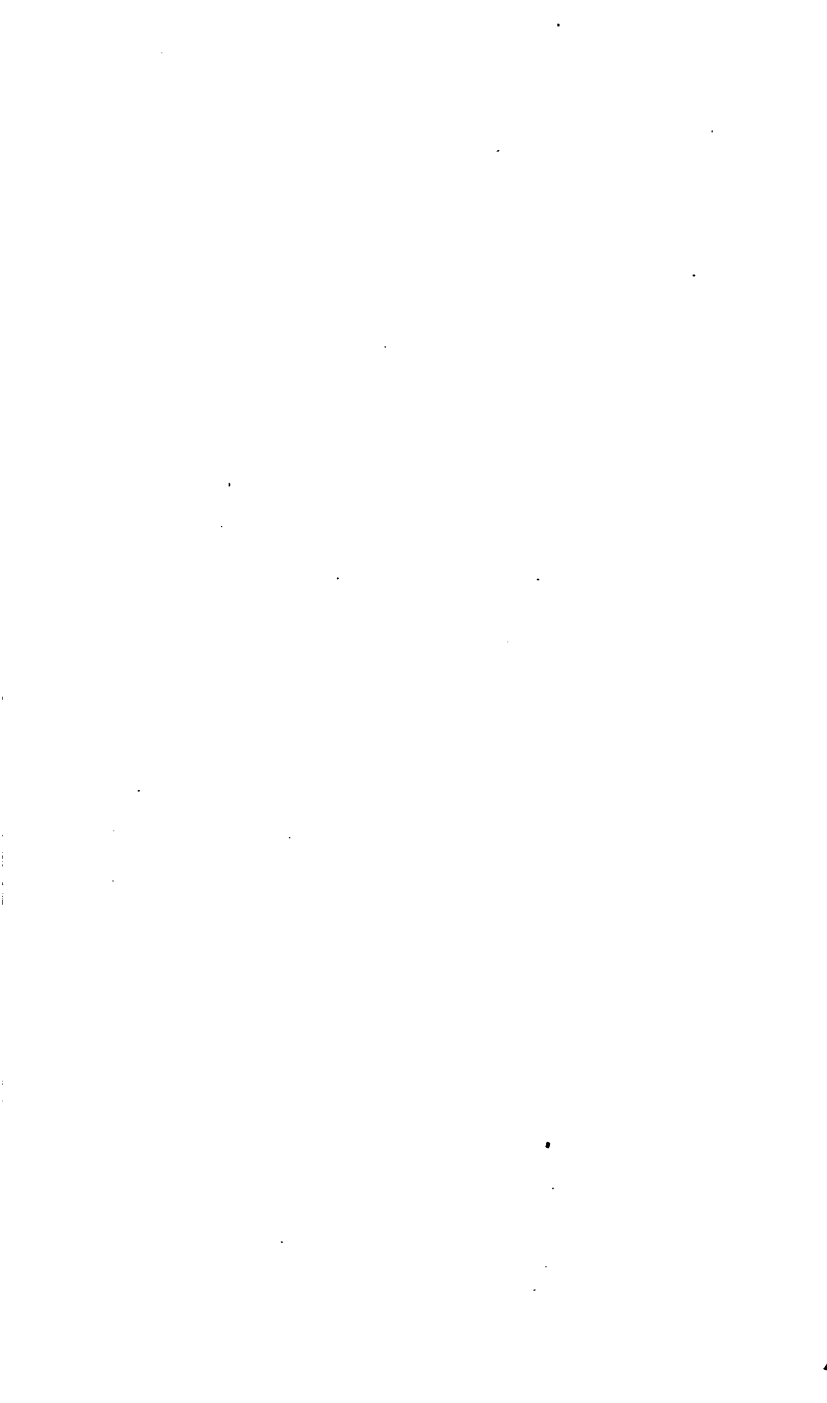


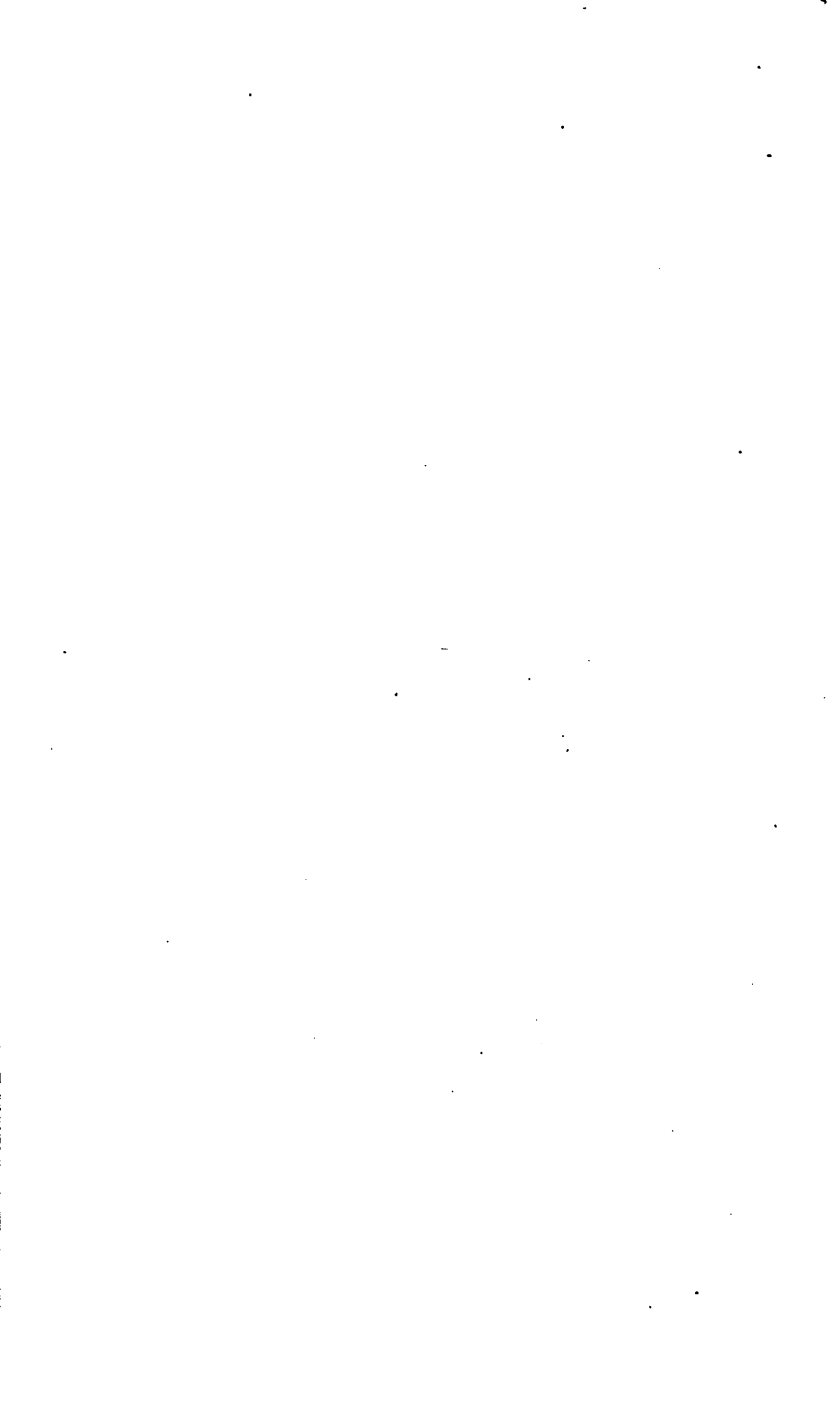




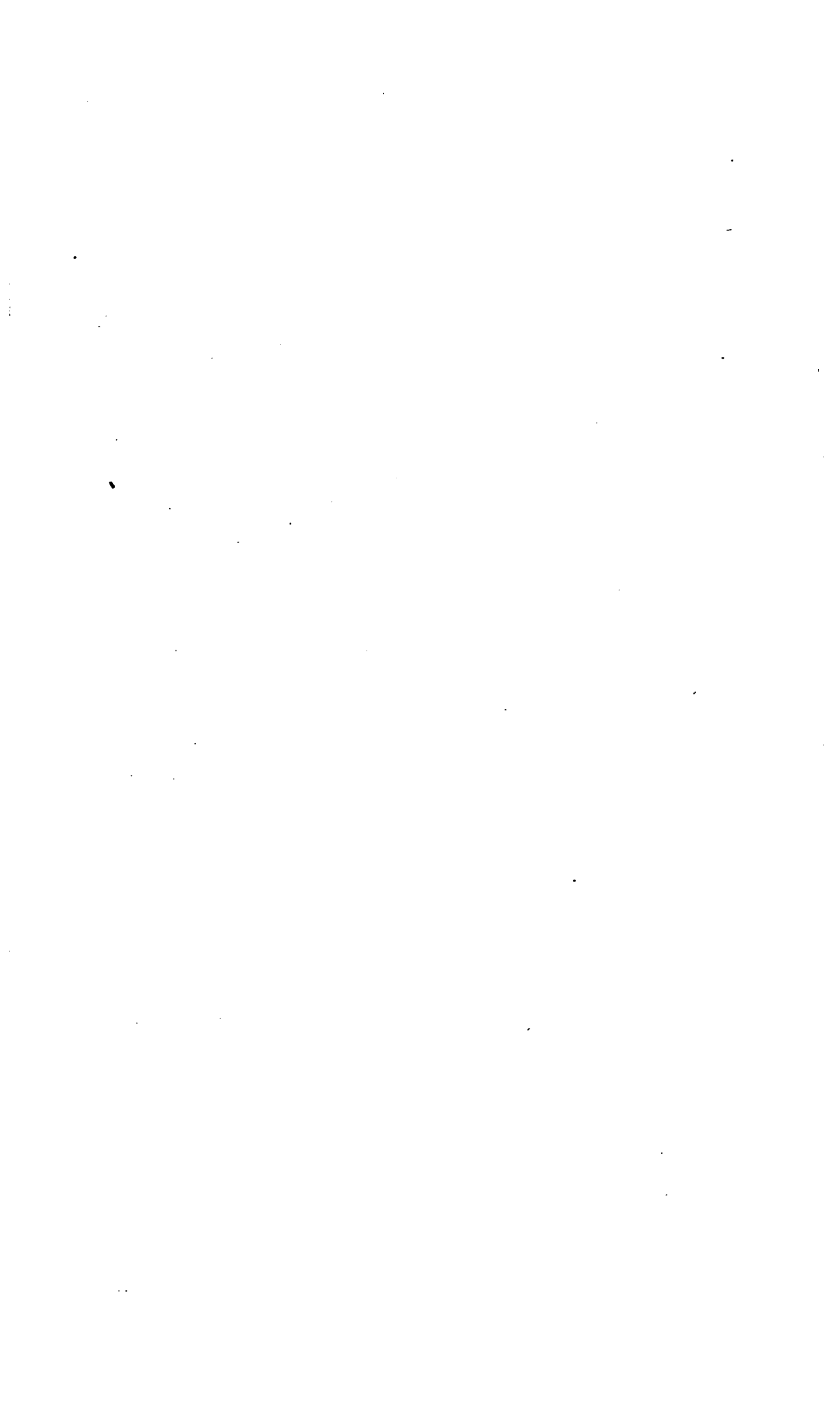












89089672414



B89089672414A

89089693386



b89089693386a

R.F. WENDT LIBRARY
UW COLLEGE OF ENGR.
215 N. RANDALL AVENUE
MADISON, WI 53706

89089693386



B89089693386A